

## エアロゾルの保守性について

(1) 格納容器フィルタベント系の設計条件について

格納容器フィルタベント系の設計条件としては、エアロゾル移行量を 300kg に設定している。(別紙 9)

(2) 事故シナリオに応じたエアロゾル移行量について

a. エアロゾルが発生する事故シナリオの選定について

ベント実施時には、希ガスやガス状よう素(無機よう素及び有機よう素)を除く核分裂生成物及び構造材がエアロゾルとして格納容器フィルタベント系に流入する。エアロゾルが発生する事故シナリオは、格納容器破損防止対策の有効性評価の対象とする事故シーケンスのうち、以下に示すMA A P 解析上の特徴を踏まえ、原子炉圧力容器が健全な事故シーケンスである「雰囲気圧力・温度による静的負荷(格納容器過圧・過温破損)(残留熱代替除去系を使用しない場合)」を選定している。

- (a) 原子炉圧力容器内に溶融炉心が存在する場合は、炉心が再冠水し溶融炉心の外周部が固化した後でも、溶融炉心中心部は溶融プール状態を維持する。一方、原子炉圧力容器破損時は、原子炉圧力容器破損前に水張りしたペデスタル部で溶融炉心の一部が粒子化するとともに、最終的にはクエンチする。エアロゾル移行量は溶融炉心の温度が高い方がより多くなるため、原子炉圧力容器が健全な場合がより保守的な評価となる。
- (b) 原子炉圧力容器内に溶融炉心が存在する場合は、溶融炉心冠水時において溶融炉心上部の水によるスクラビング効果を考慮していない。一方、溶融炉心がペデスタル部に存在する場合は、溶融炉心上部の水によるスクラビング効果を考慮している。以上より、スクラビング効果を考慮していない原子炉圧力容器が健全な場合がより保守的な評価となる。

b. 対象シーケンスにおけるエアロゾル移行量について

「雰囲気圧力・温度による静的負荷(格納容器過圧・過温破損)(残留熱代替除去系を使用しない場合)」シーケンスにおける格納容器フィルタベント系へ流入するエアロゾル移行量を表 1 に示す。本シーケンスの有効性評価では W/W ベントを優先して実施することとしているが、ここでは D/W ベントを実施した場合のエアロゾル移行量もあわせて示している。表 1 より、エアロゾル移行量は W/W ベント時より D/W ベント時の方が多く約 3.5kg であるが、格納容器フィルタベント系で設計上想定するエアロゾル移行量はこれを十分上回る 300kg である。

表1 静的負荷シーケンスにおけるF Pエアロゾル移行量

放出する系統	F Pエアロゾル移行量
W／Wベント	約0.0018kg
D／Wベント	約3.5kg

## フィルタ装置における化学反応熱について

フィルタ装置に移行してくるエアロゾル及びガス状放射性よう素との化学反応による発熱及び化学反応生成物の影響について評価した結果を以下に示す。

### (1) ベンチュリスクラバにおける化学反応熱の影響

ベンチュリスクラバで捕集されるエアロゾルと無機よう素について、スクランピング水との化学反応に伴い発生する反応熱量と、ベンチュリスクラバにおいて捕集された放射性物質から発生する崩壊熱量を比較する。

#### a. ベンチュリスクラバにおけるエアロゾルの化学反応熱量

ベンチュリスクラバで捕集されるエアロゾルは、核分裂生成物エアロゾルとコンクリートから生成するエアロゾルがある。エアロゾルのうち、非水溶性及び難水溶性のものは化学反応しないと考えられるが、ここでは、フィルタ装置に流入するエアロゾル全量(300kg)について化学反応するものとした。さらに、最も反応熱が大きくなる [ ] : コンクリートから生成するエアロゾルの一種)で代表した場合の化学反応による発熱量を計算した。

ベンチュリスクラバに捕集された [ ] の化学反応熱は以下のとおり表せる。

[ ]

ここで、それぞれの化学種の標準生成エンタルピーは以下の値である。

(参考図書1)

[ ]

これらの値より、 [ ] となる。よって、1 mol の [ ]

[ ] が反応すると約 [ ] の発熱量となる。

ベンチュリスクラバにおいて捕集されるエアロゾル [ ] の量は以下の値を用いる。

$$\begin{aligned} \cdot [ ] \text{の量} &= 300 \text{ (kg)} \\ \cdot [ ] \text{分子量} &= [ ] \text{ (g/mol)} \end{aligned}$$

よって、ベンチュリスクラバにおいて捕集されるエアロゾル [ ] の量は約 [ ] であるので、反応熱量は約 [ ] の発熱となる。

本資料のうち、枠囲みの内容は機密に係る事項のため公開できません。

b. ベンチュリスクラバにおける無機よう素の化学反応熱量

ベンチュリスクラバにおける化学反応の熱化学方程式は以下のとおりである。

[REDACTED]

ここで、それぞれの化学種の標準生成エンタルピーは以下の値となる。

(参考図書 1)

[REDACTED]

これらの値より [REDACTED] となる。よって、1 mol の無機よう素 ( $I_2$ ) が反応すると約 [REDACTED] の発熱量となる。

事故時に炉内に内蔵されるよう素元素量は約 [REDACTED] である。 NUREG-1465 (参考図書 2) に基づき、格納容器内へのよう素の放出割合を 61%， Regulatory Guide 1.195 (参考図書 3) に基づき、無機よう素生成割合を 91% とすると、ベンチュリスクラバにおける無機よう素の量は以下のとおりである。

- 無機よう素 ( $I_2$ ) の量 = [REDACTED] (g)
- 無機よう素 ( $I_2$ ) 分子量 = 253.8 (g/mol)

よって、ベンチュリスクラバにおいて捕集される無機よう素 ( $I_2$ ) の量は約 [REDACTED] であるので、反応熱量は約 [REDACTED] の発熱となる。

c. 影響評価

a, b で算出したエアロゾル及び無機よう素の化学反応熱量の合計は

[REDACTED] の発熱となり、設計上考慮しているスクラバ容器内発熱量 (370kW) の [REDACTED] の積算値 [REDACTED] に対して約 [REDACTED] % であり、スクラビング水の水位挙動等への影響は十分小さい。

(2) 銀ゼオライトフィルタにおける化学反応熱の影響

銀ゼオライトフィルタにおいてガス状放射性よう素の化学吸着により発生する反応熱量と銀ゼオライトフィルタにおいて捕集されたガス状放射性よう素から発生する崩壊熱量を比較する。

本資料のうち、枠囲みの内容は機密に係る事項のため公開できません。

a. 銀ゼオライトフィルタにおける有機よう素の化学反応熱量

銀ゼオライトフィルタにおける有機よう素の吸着反応の熱化学方程式は以下のとおりである。

ここで、それぞれの化学種の標準生成エンタルピーは以下の値となる。

(参考図書 1)

これらの値より、となる。よって、1mol の有機よう素 ( $\text{CH}_3\text{I}$ ) が反応すると約の発熱量となる。

事故時に炉内に内蔵されるよう素元素量は約である。NUREG-1465 (参考図書 2) に基づき、格納容器内へのよう素の放出割合を 61%, Regulatory Guide 1.195 (参考図書 3) に基づき、有機よう素生成割合を 4%とする。また、よう素重量から有機重量への補正 (よう化メチルの分子量／よう素の原子量 ≈ 1.12) を設定値とすると、銀ゼオライトフィルタにおける有機よう素の量は以下のとおりである。

- ・有機よう素 ( $\text{CH}_3\text{I}$ ) の量 =  (g)
- ・有機よう素 ( $\text{CH}_3\text{I}$ ) 分子量 = 141.9 (g/mol)

よって銀ゼオライトフィルタに流入する有機よう素はであるので、反応熱量はの発熱となる。

b. 銀ゼオライトフィルタにおける無機よう素の化学反応熱量

銀ゼオライトフィルタにおける無機よう素の吸着反応の熱化学方程式は以下のとおりである。

ここで、それぞれの化学種の標準生成エンタルピーは以下の値となる。

(参考図書 1)

熱化学方程式及び標準生成エンタルピーより、[ ] となる。よって、1mol の無機よう素 ( $I_2$ ) が反応すると約 [ ] の吸熱量となる。

事故時に炉内に内蔵されるよう素元素量は約 [ ] である。NUREG-1465 (参考図書2) に基づき、格納容器内へのよう素の放出割合を 61%, Regulatory Guide 1.195 (参考図書3) に基づき、無機よう素生成割合を 91%, ベンチュリスクラバにおける DF を 100 とすると、銀ゼオライトフィルタにおける無機よう素の量は以下のとおりである。

- ・無機よう素 ( $I_2$ ) の量 = [ ] (g)
- ・無機よう素 ( $I_2$ ) 分子量 = 253.8 (g/mol)

よって、銀ゼオライトフィルタに流入する無機よう素は約 [ ] であるので、反応熱量は [ ] の吸熱となる。

#### c. 影響評価

a. b. で算出したガス状放射性よう素の化学反応熱量の合計は [ ] [ ] の発熱となり、ガス状放射性よう素が [ ] で銀ゼオライトフィルタに捕集されると考えると、約 [ ] となり、以下の評価式にて銀ゼオライトフィルタの上昇温度を評価した。

$$\text{上昇温度}(\text{°C}) = \frac{\text{銀ゼオライトフィルタ内の発熱量}(W)}{(\text{比熱}(\text{J/kg°C}) \cdot \text{窒素ガス流量}(\text{m}^3/\text{s}) \cdot \text{窒素ガス密度}(\text{kg/m}^3))}$$

ここで、銀ゼオライトフィルタに流入する窒素ガスの条件は以下のとおり設定した。

- ・窒素ガス流量 = 100 (Nm<sup>3</sup>/h)
- ・窒素ガス比熱 = 1040 (J/kg · °C)
- ・窒素ガス密度 = 1.25 (kg/Nm<sup>3</sup>)

以上より、銀ゼオライトフィルタの上昇温度は約 [ ] °C と評価でき、よう素の再揮発等への影響は十分小さい。

#### (3) ベンチュリスクラバにおける化学反応生成物の影響

ベンチュリスクラバにおける無機よう素の化学反応は以下のとおりである。

[ ]  
スクラビング水には化学薬剤として [ ] 及び [ ] [ ] を添加しており、無機よう素 ( $I_2$ ) が流入することによって、溶解状態の [ ] と [ ] が生成する。

本資料のうち、枠囲みの内容は機密に係る事項のため公開できません。

スクラビング水に含まれる [ ] の量は約 [ ] , [ ] の量は約 [ ] である。一方、事故時に炉内に内蔵されるよう素元素量は約 [ ] である。NUREG-1465（参考図書2）に基づき、格納容器内へのよう素の放出割合を61%、Regulatory Guide 1.195（参考図書3）に示される無機よう素生成割合を91%とすると、ベンチュリスクラバにおいて捕集される I<sub>2</sub> の量は約 [ ] となるため、生成する [ ] の量は約 [ ] , [ ] の量は約 [ ] となる。

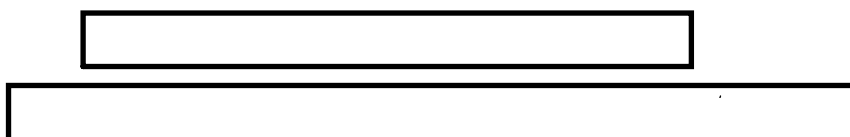
ここで、それぞれの化学種の分子量は以下の値である。

- [ ] の分子量 = [ ] (g/mol)
- [ ] の分子量 = [ ] (g/mol)

よって、[ ] は約 [ ] , [ ] は約 [ ] となる。スクラバ容器4基のスクラビング水の保有水量約 [ ] であり、[ ] の濃度は約 [ ] , [ ] の濃度は約 [ ] と微量であることから、構造材への腐食の影響はないと考えられ、これらの物質は中性であるため、スクラビング水の pH にも影響しない。

#### (4) 銀ゼオライトフィルタにおける化学反応生成物の影響

銀ゼオライトフィルタにおける有機よう素と無機よう素の化学反応はそれぞれ以下のとおりである。



この化学反応による化学反応生成物である [ ] には爆発の恐れがあることが知られている。[ ] については、[ ] と [ ] が発生するため、格納容器内で発生する有機よう素の濃度を以下のとおり算出する。

格納容器内で発生する有機よう素は [ ] であり、仮に温度を 200°C (473K) で圧力を保守的に 1atm とすると [ ] となり、D/W 自由空間容積は約 [ ] m<sup>3</sup> であるため、格納容器内の有機よう素の濃度は約 [ ] となる。

よって、有機よう素が銀ゼオライトフィルタで反応し生成する [ ] の濃度は約 [ ] であると評価でき、一般に有機化合物の可燃性限界の下限濃度は数%オーダーであることからこのような極低濃度において爆発の恐れはない（参考図書4）。

[ ] については、熱や光で分解する性質がある。[ ] は 400°C 以上の高温状態において、数時間程度 [ ] を通気した場合に起こることが知られているが、銀ゼオライトフィルタの温度は 400°C に対して十分低く抑えることができる。また、[ ] , [ ] , 銀ゼオライトフィルタは容器内の

本資料のうち、枠囲みの内容は機密に係る事項のため公開できません。

遮光された環境にあるため、光分解によるよう素の放出は発生しない。□

銀ゼオライトフィルタにおける無機よう素との化学反応においては、□  
の他の化学反応生成物は、安定な固体である□及び極低濃度の□  
であり、銀ゼオライトフィルタの性能に与える影響はない。

本資料のうち、枠囲みの内容は機密に係る事項のため公開できません。

«参考図書»

1. 化学便覧基礎編改訂3， 5版
2. NUREG-1465 “Accident Source Terms for Light-Water Nuclear Power Plants”  
Feb. 1995
3. Regulatory Guide 1.195, “Methods and assumptions for evaluating radiological consequences of design basis accidents at light-water nuclear power reactors”
4. M. G. Zabetakis, "Flammability Characteristics of Combustible Gases and Vapor." U. S. Bureau of Mines Bulletin 627. 1965

### スクラビング水の粘性の変化が除去性能に与える影響について

ベント時に格納容器からスクラバ容器に可溶性及び不溶性エアロゾルが流入し、スクラビング水中のエアロゾル濃度の増加に伴い、スクラビング水の粘性が増加することが考えられる。

可溶性及び不溶性エアロゾルによる粘性変化に関する評価を以下に示す。

#### (1) 可溶性エアロゾルによるスクラビング水の粘性変化による影響

エアロゾルが可溶性の場合、スクラバ溶液中では捕集したエアロゾルが溶解し、溶液中の可溶成分濃度が上昇する。可溶性のアルカリ成分及び中性塩成分が共存した場合の粘性率の変化（25°C）を図1、2に示す。

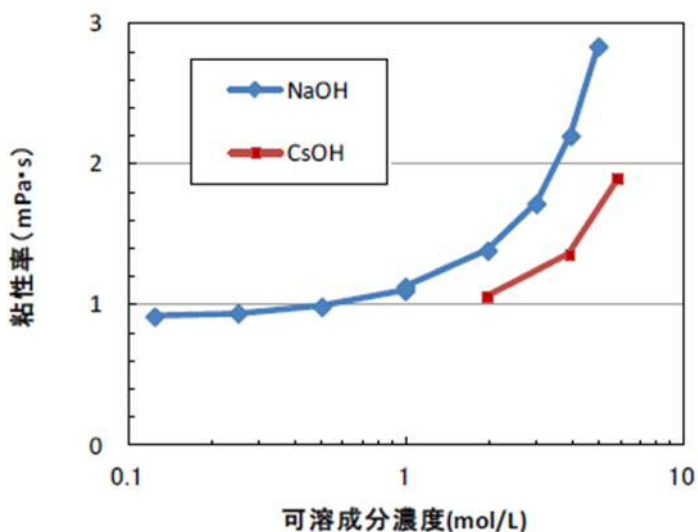


図1 可溶性のアルカリ成分が共存した場合の粘性率の変化（25°C）  
(NaOH : 参考図書1, 3, CsOH : 参考図書3)

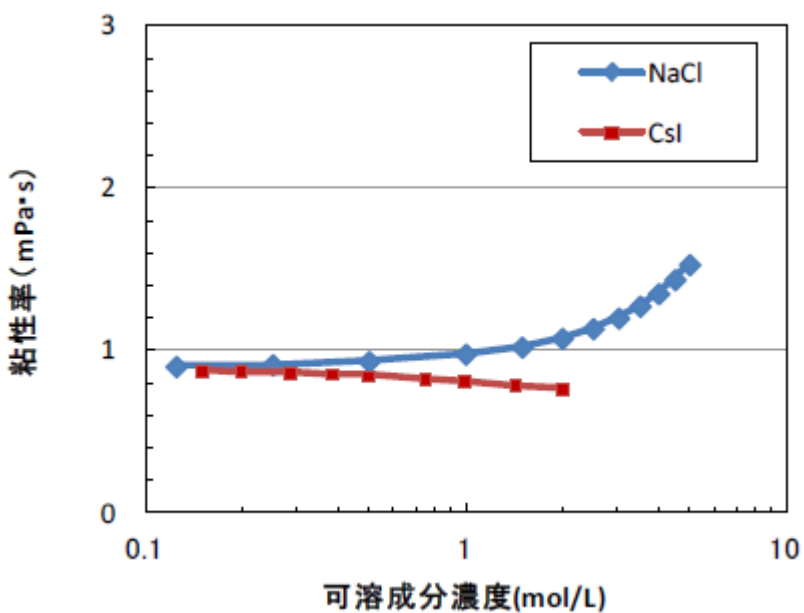


図2 可溶性の中性塩成分が共存した場合の粘性率の変化 (25°C)  
(NaCl : 参考図書4, CsI : 参考図書5)

スクラバ容器のスクラビング水に含まれる化学薬剤の濃度は、通常水位(約 [ ] )で [ ] であり、下限水位(約 [ ])ではそれぞれ [ ] に相当する。ベント時に格納容器からスクラバ容器に移行するエアロゾル重量を保守的に300kgとし、仮に全量がセシウム元素とした場合、可溶性エアロゾルのスクラビング水の濃度は約 [ ] となる。これらのモル濃度を合計し、水酸化ナトリウムとして25°Cの水に溶解した際の粘性率を評価すると、約 [ ] となる。

ここで、JAVA試験でのスクラビング水に含まれる化学薬剤の濃度は、[ ] [ ] であり、このモル濃度を合計し、水酸化ナトリウムとして25°Cの水に溶解した際の粘性率を評価すると、約 [ ] となる。JAVA試験におけるスクラビング水の粘性率と比較すると、スクラバ容器のスクラビング水の粘性率は25°Cにおいて約 [ ] 高いと評価できる。

## (2) 不溶性エアロゾルによるスクラビング水の粘性変化による影響

エアロゾルが不溶性の場合、スクラバ溶液中ではコロイド等の懸濁粒子濃度が上昇すると考えられる。このような懸濁粒子が分散した溶液の粘性率はアインシュタインの粘度式によって評価することができる(参考図書1)。

[ ] 本資料のうち、枠囲みの内容は機密に係る事項のため公開できません。

$$\eta / \eta_0 = 1 + 2.5\phi$$

$\eta$  : 懸濁液の粘性率

$\eta_0$  : 分散溶媒の粘性率 (25°Cにおける水の粘性率 0.8902 mPa · s)

$\phi$  : 懸濁粒子の容積分率

上式を用いて、懸濁粒子濃度が粘性率に及ぼす影響を評価した結果を図3に示す(AINSHUTAINの粘度式の成立限界である容積分率2%までを記載)。

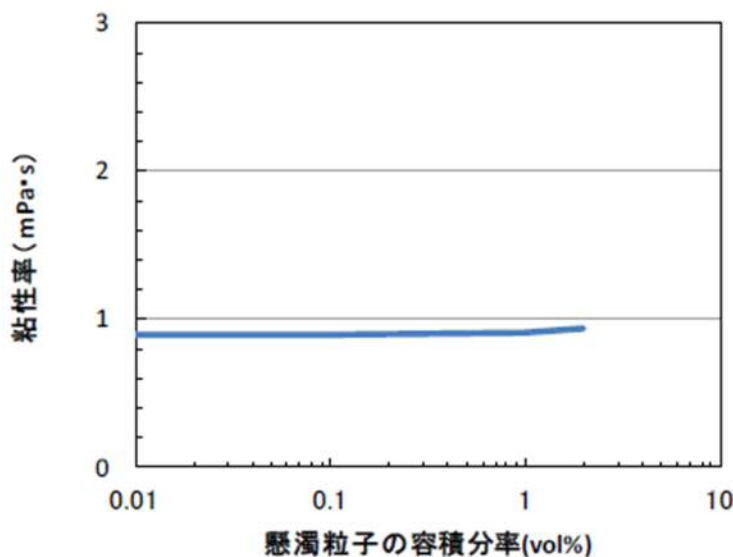


図3 懸濁粒子が共存した場合の粘性率の変化 (25°C)

ベント時に格納容器からスクラバ容器に移行するエアロゾル重量を保守的に300kgとし、仮にエアロゾルの比重を  $2.2\text{g/cm}^3$  (MCCIで発生する可能性のある  $\text{SiO}_2$  の比重:参考図書2)とした場合、下限水位(約 [ ] )での不溶性エアロゾルの容積分率は約 [ ] であり、粘性率はほとんど変化しないため、不溶性エアロゾルによる粘性率への影響はほとんどないと考えられる。

### (3) 温度が粘性に及ぼす影響

液体の粘性率は温度が上昇するにつれて低下する。純水の粘性率の温度依存性を図4に示す。

JAVA試験におけるスクラビング水の粘性率と比較すると、スクラバ容器のスクラビング水の粘性率は25°Cにおいて約 [ ] 高いと評価できるが、ベントガスの流入によりスクラビング水の温度は上昇し、粘性率は低下するため、スクラビング水の粘性がスクラバ容器における除去性能に及ぼす影響はないと考えられる。

本資料のうち、枠囲みの内容は機密に係る事項のため公開できません。

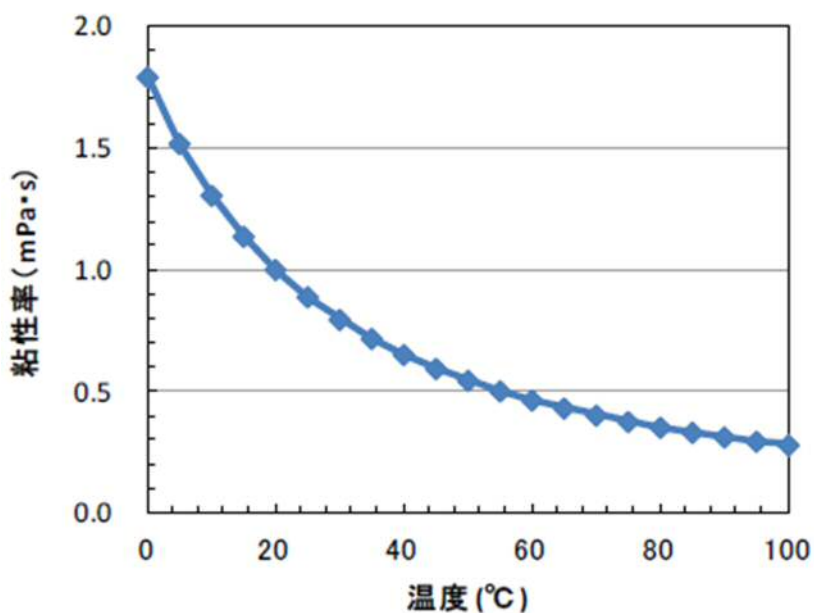


図4 純水の粘性率の温度依存性（参考図書1）

なお、エアロゾルには有機物が含まれていないため、温度が上昇した場合にも粘性率を著しく大きくさせることはない。

#### 《参考図書》

1. 化学便覧改訂3版基礎編II
2. 岩波理化学辞典第3版
3. Pal M. Sipos, Glenn Hefter, and Peter M. May, Viscosities and Densities of Highly Concentrated Aqueous MOH Solutions ( $M^+$ )  $Na^+$ ,  $K^+$ ,  $Li^+$ ,  $Cs^+$ ,  $(CH_3)_4N^+$  at 25.0°C, J. Chem. Eng. Data, 45, 613–617 (2000)
4. Joseph Kestin, H. Ezzat Khalifa and Robert J. Correia, Tables of the Dynamic and Kinematic Viscosity of Aqueous NaCl Solution in the Temperature Range 20–150°C and the Pressure Range 0.1–35 MPa, J. Phys. Chem. Ref. Data, Vol. 10, No. 1 (1981)
5. Grinnell Jones and Holmes J. Fornwalt, The Viscosity of Aqueous Solutions of Electrolytes as a Function of the Concentration. III. Cesium Iodide and Potassium Permanganate, J. Am. Chem. Soc., 58 (4), 619–625 (1936)

## フィルタ装置（スクラバ容器）の基数の違いによる影響について

フィルタ装置のうちスクラバ容器を4基構成にすることに対して、フィルタ性能へ影響しないよう設計上考慮している事項は以下のとおりである。図1にフィルタ装置廻りの系統概要を示す。

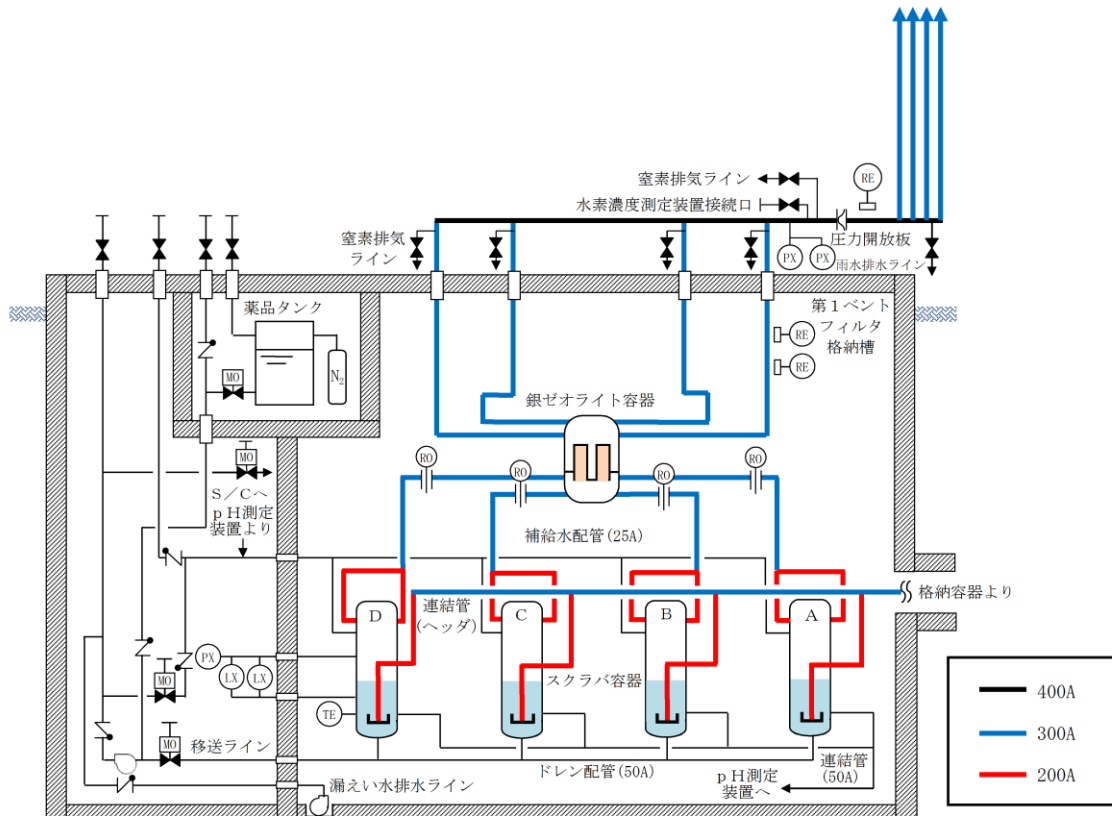


図1 フィルタ装置廻り系統概要図

### (1) 配管圧損

各スクラバ容器廻りの配管圧損の差が十分小さくなるよう、配管のルート計画を考慮しており、スクラバ容器入口側に連結管（ヘッダ）、スクラバ容器出口側に流量制限オリフィスを設置している。これにより、各スクラバにおけるガス流速（体積流量）を出来るだけ均一になるよう設計しており、各フィルタ装置と接続している分岐部～オリフィスまでの配管の圧損差は、最大でも約 [ ] と小さく、この圧損差による蒸気流量のばらつきは [ ] 程度である。したがって、スクラバ容器が4基構成であっても各スクラバ容器のベンチュリスクラバにおけるエアロゾル除去性能に有意な影響はない。また、4つのスクラバ容器は第1ベントフィルタ格納槽内に区画された一つのエリアに設置し、第1ベントフィルタ格納槽の躯体により遮蔽してい

本資料のうち、枠囲みの内容は機密に係る事項のため公開できません。

るため、線量の偏りによる外部への影響はない。ルート別の配管長さ（曲げ数）を表1、ルート別の流速を表2、各フィルタ装置の配管圧損、流量の差を表3に示す。なお、流量制限オリフィス下流はオリフィス穴径に応じた流量となるため、銀ゼオライト容器入口における各スクラバ容器からのガス流速（体積流量）はほぼ一定となる。

表1 ルート別の配管長さ（曲げ数）(単位:m)

配管 ルート	分岐～スクラバ容器		スクラバ容器～オリフィス		合計	
	300A (曲げ)	200A (曲げ)	300A (曲げ)	200A (曲げ)	300A (曲げ)	200A (曲げ)
A						
B						
C						
D						

注) オリフィス～銀ゼオライト容器の配管長さは同一のため省略

表2 ルート別の流速(単位:m/s)

配管 ルート	分岐～スクラバ容器		スクラバ容器～オリフィス	
	200A	300A	200A	300A
A				
B				
C				
D				

表3 各フィルタ装置の配管圧損、流量の差

	フィルタ装置A	フィルタ装置B	フィルタ装置C	フィルタ装置D
配管圧損の差 (kPa [dif])*				
質量流量 (kg/s)				
体積流量 @ベンチュリ ノズル部 (m <sup>3</sup> /s)				

\*分岐～オリフィスの区間

本資料のうち、枠囲みの内容は機密に係る事項のため公開できません。

## (2) スクラビング水位

各スクラバ容器の液相部は連結管により相互に接続しており、各スクラバ容器の水位は同一となるような設計としている。なお、この連結管の配管径は 50A であり、スクラバ容器に流入するエアロゾル粒径に対して十分に大きな設計としており、スクラバ容器へのエアロゾル移行量を考慮してもスクラビング水の粘性率への影響は小さいため、当該ラインが閉塞する恐れはない。

## (3) 気相部圧力

各スクラバ容器の気相部は、補給水用配管を通じて連結させることにより、1つの金属フィルタに過大な圧力がかからない設計としている。なお、気相部に含まれるエアロゾルは、スクラビング後の粒径の小さなエアロゾルのみとなるため、当該ラインが閉塞する恐れはない。

## (4) 薬剤濃度

フィルタ装置（スクラバ容器）への薬剤の補給については、図 2 に記載のとおり、常設設備により補給が可能な設計としている。

各スクラバ容器への補給ラインは容器毎にそれぞれ設置している。各ラインの配管圧損は小さく、各スクラバ容器の液相部は、連結管により相互に接続しているため、ほぼ均等に補給でき、スクラビング水位および薬剤の濃度は均一になると考えられるが、薬剤の補給後は図 3 に記載のとおり循環運転を実施し、スクラビング水の均一性を確保する設計としている。

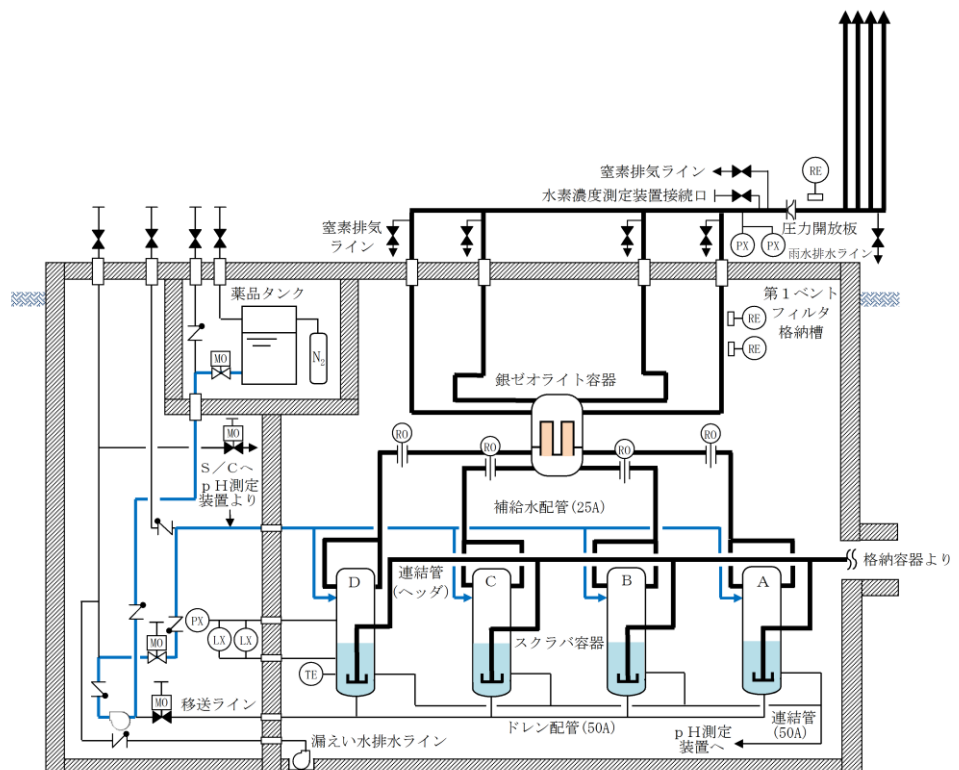


図2 フィルタ装置廻り系統概要図（補給時）

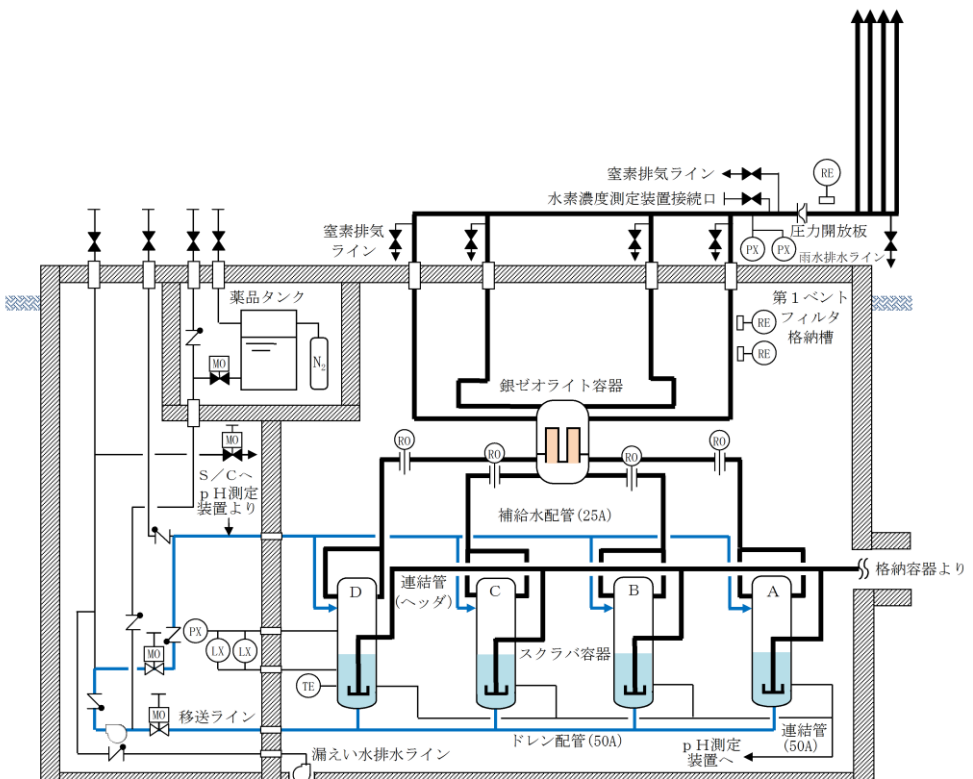


図3 フィルタ装置廻り系統概要図（循環運転時）

(参考1) スクラバ容器基数による影響及び影響評価結果について

格納容器フィルタベント系は、スクラバ容器4基の構成としていることに対してフィルタ性能へ影響しないよう設計上考慮しているが、基数による影響を網羅的に確認するため、格納容器フィルタベント系の設計で考慮した事項からスクラバ容器基数による影響が考えられる項目を抽出した。スクラバ容器基数による影響及び影響評価結果を表1に示す。

表1 スクラバ容器基数による影響及び影響評価結果（1／2）

格納容器フィルタベント系の設計方針に対するスクラバ容器基数による影響	スクラバ容器4基構成における設計考慮事項	影響評価結果	
排気容量 (ベントガス流量)	スクラバ容器1基当たりのベントガス流量がばらつく可能性がある。	・各スクラバ容器廻りの配管圧損の差を小さくする。	・ベントガス流量が出来るだけ均一になるよう設計しており、ベントガス流量のばらつきは小さい。
放射性物質の除去	スクラバ容器1基当たりのベントガス流量にばらつきがでることで各フィルタ部において除去性能検証試験範囲から逸脱する可能性がある。	・各スクラバ容器廻りの配管圧損の差を小さくする。	・ベントガス流量のばらつきは小さいため、各スクラバ容器においてベントガス流量が除去性能検証試験範囲から逸脱することはなく、放射性物質の除去性能への影響はない。
金属フィルタの閉塞	エアロゾルはベントガス流量が大きいスクラバ容器へ多く流入することになり、一部の金属フィルタが閉塞する可能性がある。	・各スクラバ容器廻りの配管圧損の差を小さくする。 ・スクラバ容器の液相部及び気相部をそれぞれ連結管で接続する。	・ベントガス流量のばらつきは小さいため、各スクラバ容器へエアロゾルがほぼ均等に流入すること及び金属フィルタへ移行するエアロゾル量は金属フィルタの許容負荷量に対して小さいことを確認していることから、金属フィルタが閉塞する可能性はない。
薬剤濃度	格納容器内で発生した酸性物質はベントガス流量が大きいスクラバ容器へ多く流入することになり、一部のスクラバ容器のスクラビング水のpHが下がる可能性がある。	・各スクラバ容器廻りの配管圧損の差を小さくする。 ・スクラバ容器の液相部及び気相部をそれぞれ連結管で接続する。 ・薬剤補給後は、スクラバ容器の循環運転を行う。	・ベントガス流量のばらつきは小さいため、各スクラバ容器へ酸性物質がほぼ均等に流入すること及びスクラビング水は十分な量の薬剤を保有していることから、薬剤濃度への影響はない。 ・各スクラバ容器には薬剤を補給できる設計としており、薬剤補給後はスクラビング水を循環させることで均一性を確保することから薬剤濃度への影響はない。
スクラビング水位	放射性物質はベントガス流量が大きいスクラバ容器へ多く流入することになり、捕集した放射性物質の崩壊熱により一部のスクラバ容器のスクラビング水位が下がる可能性がある。	・各スクラバ容器廻りの配管圧損の差を小さくする。 ・スクラバ容器の液相部及び気相部をそれぞれ連結管で接続する。	・ベントガス流量のばらつきは小さいため、各スクラバ容器へ放射性物質がほぼ均等に流入すること及び各スクラバ容器の液相部及び気相部をそれぞれ連結管で接続し、スクラバ容器のスクラビング水位が等しくなるよう設計していることから、スクラビング水位への影響はない。

表1 スクラバ容器基数による影響及び影響評価結果（2／2）

格納容器フィルタベント系の設計方針に対するスクラバ容器基数による影響	スクラバ容器4基構成における設計考慮事項	影響評価結果	
系統の冗長性	系統に冗長性を持たせている格納容器の接続位置とベント弁は、フィルタ装置入口配管の分岐部より上流側にあるため、スクラバ容器の基数による影響なし。	—	—
位置的分散	全てのスクラバ容器を第1ベントフィルタ格納槽内に区画された一つのエリアに設置しているため、スクラバ容器の基数による影響なし。	—	—
水素対策	可搬式窒素供給装置により窒素置換が可能なため基数による影響なし。	—	—
悪影響防止	他系統とは弁により隔離しているため、スクラバ容器の基数による影響なし。	—	—
現場操作	ベント弁は、フィルタ装置入口配管の分岐部より上流側にあるため、スクラバ容器の基数による影響なし。	—	—
補給・排水操作	各スクラバ容器に補給水配管及びドレン配管を設置することから、スクラバ容器の基数による影響なし。	—	—
排気処理	放出口の高さは、スクラバ容器の基数による影響なし。	—	—
外部事象、地震、津波、溢水、火災、環境条件に対する考慮	全てのスクラバ容器を第1ベントフィルタ格納槽内に区画された一つのエリアに設置しているため、スクラバ容器の基数による影響なし。	—	—
作業員被ばく低減	全てのスクラバ容器を第1ベントフィルタ格納槽内に区画された一つのエリアに設置しているため、スクラバ容器の基数による影響なし。	—	—
圧力開放板	スクラバ容器出口配管の合流部に圧力開放板を設置することから、スクラバ容器の基数による影響なし。	—	—
水素及び放射性物質濃度の監視	スクラバ容器出口配管の合流部より下流側に水素濃度計及び放射線モニタを設置することから、スクラバ容器の基数による影響なし。	—	—
スクラバ容器周りの計装	各スクラバ容器に水位、圧力及び温度を監視する計器を設置することから、スクラバ容器の基数による影響なし。スクラビング水pH計は、液相部の連結管に設置することから、スクラバ容器の基数による影響なし。	—	—
試験又は検査	各スクラバ容器に点検用のマンホールを設置していることから、スクラバ容器の基数による影響なし。	—	—

## (参考2) ベントガス流量のばらつきに対する影響評価の詳細について

格納容器フィルタベント系は、スクラバ容器4基構成としており、スクラバ容器1基当たりのベントガス流量にばらつきが発生することで、スクラバ容器の性能に影響がでる可能性がある。このため、スクラバ容器1基当たりのベントガス流量のばらつきが発生した場合の影響を評価した。

### 1. ベントガス流量のばらつきの評価

フィルタ装置入口配管の分岐部から各スクラバ容器入口までの圧力損失とベントガス流量を評価した結果、フィルタ装置の入口流量比の差は格納容器内圧力1Pd時において [REDACTED]、格納容器内圧力2Pd時において [REDACTED] であった。フィルタ装置入口側の圧力損失及びガス流量を表1及び表2に示す。

表1 PCV圧力1Pdにおけるフィルタ装置入口側の圧力損失及びガス流量

	圧力損失 (kPa)	スクラバ容器 入口ガス流量 (m <sup>3</sup> /s)	スクラバ容器 入口ガス流速 (m/s)	流量比 (%)
スクラバ容器A	[REDACTED]	[REDACTED]	[REDACTED]	[REDACTED]
スクラバ容器B	[REDACTED]	[REDACTED]	[REDACTED]	[REDACTED]
スクラバ容器C	[REDACTED]	[REDACTED]	[REDACTED]	[REDACTED]
スクラバ容器D	[REDACTED]	[REDACTED]	[REDACTED]	[REDACTED]

表2 PCV圧力2Pdにおけるフィルタ装置入口側の圧力損失及びガス流量

	圧力損失 (kPa)	スクラバ容器 入口ガス流量 (m <sup>3</sup> /s)	スクラバ容器 入口ガス流速 (m/s)	流量比 (%)
スクラバ容器A	[REDACTED]	[REDACTED]	[REDACTED]	[REDACTED]
スクラバ容器B	[REDACTED]	[REDACTED]	[REDACTED]	[REDACTED]
スクラバ容器C	[REDACTED]	[REDACTED]	[REDACTED]	[REDACTED]
スクラバ容器D	[REDACTED]	[REDACTED]	[REDACTED]	[REDACTED]

本資料のうち、枠囲みの内容は機密に係る事項のため公開できません。

## 2. 流量のばらつきによる影響

スクラバ容器1基当たりの流量のばらつきが発生した場合には、以下の影響により、所定の性能を発揮することができない可能性がある。

### (1) 性能検証試験範囲からの逸脱

格納容器フィルタベント系は、想定する運転範囲としてベントガス流量を [REDACTED] としており、このベントガス流量が各スクラバ容器に均等に分配されるように設計している。このため、スクラバ容器1基当たりのベントガス流量にばらつきが発生し、各スクラバ容器で想定している流量が増減することで、想定している運転範囲から逸脱する可能性がある。この結果、除去性能検証試験で確認された試験範囲から逸脱し、所定の除去性能が発揮できない可能性がある。

### (2) エアロゾルによる金属フィルタの閉塞

スクラバ容器1基当たりのベントガス流量にばらつきが発生することにより、一部のスクラバ容器のベントガス流量が大きくなる。この結果、流量が大きくなったスクラバ容器に流入するエアロゾル量が増加し、金属フィルタの閉塞が発生する可能性がある。

### (3) 格納容器内で発生した酸性物質によるスクラビング水のpHの異常低下

スクラバ容器1基当たりのベントガス流量にばらつきが発生することにより、一部のスクラバ容器のベントガス流量が大きくなる。この結果、流量が大きくなったスクラバ容器に流入する酸性物質の量が増加し、スクラビング水のpHが異常に低下する可能性がある。

### (4) 捕集した放射性物質の崩壊熱によるスクラビング水位の異常低下

スクラバ容器1基当たりのベントガス流量にばらつきが発生することにより、一部のスクラバ容器のベントガス流量が大きくなる。この結果、流量が大きくなったスクラバ容器に流入する放射性物質が多くなり、放射性物質の崩壊熱が大きくなることでスクラビング水が異常に低下する可能性がある。

[REDACTED]  
本資料のうち、枠囲みの内容は機密に係る事項のため公開できません。

### 3. ベントガス流量のばらつきによる影響評価

スクラバ容器 1 基当たりのベントガス流量のばらつきが発生した場合の影響について評価を行い、所定の性能に影響がないことを確認している。確認結果の詳細は以下のとおり。

#### (1) 性能検証試験範囲からの逸脱

格納容器圧力 2 Pd 時におけるベントガス流量のばらつき [ ] に対する影響評価結果は以下のとおり。

##### a. ベンチュリスクラバ

図 1 にベンチュリノズルにおけるガス流速に対して整理した除去性能検証試験結果を示す。図 1 より、流量にはばらつきが発生した場合においても、除去性能検証試験で除去係数 DF1,000 以上を満足していることから、ベンチュリスクラバにおける運転範囲への影響はない。

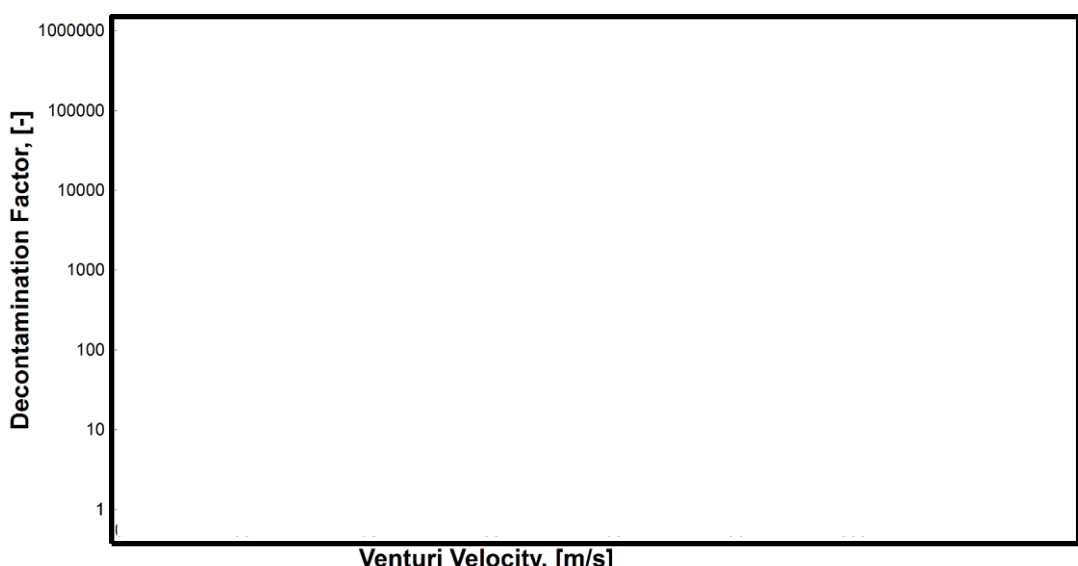


図 1 ベンチュリノズル部におけるガス流速に対する除去係数

なお、ベンチュリスクラバでは、無機よう素も捕集・保持するが、除去性能に影響を与える因子はスクラバ溶液の pH であり、流速に依存しないためベンチュリスクラバにおける無機よう素の捕集・保持に影響はない。

##### b. 金属纖維フィルタ

図 2 に金属纖維フィルタにおけるガス流速に対して整理した除去性能検証試験結果を示す。図 2 より、流量にはばらつきが発生した場合においても、除去性能検証試験で除去係数 DF1,000 以上を満足していることから、金属纖維フィルタにおける運転範囲への影響はない。

本資料のうち、枠囲みの内容は機密に係る事項のため公開できません。

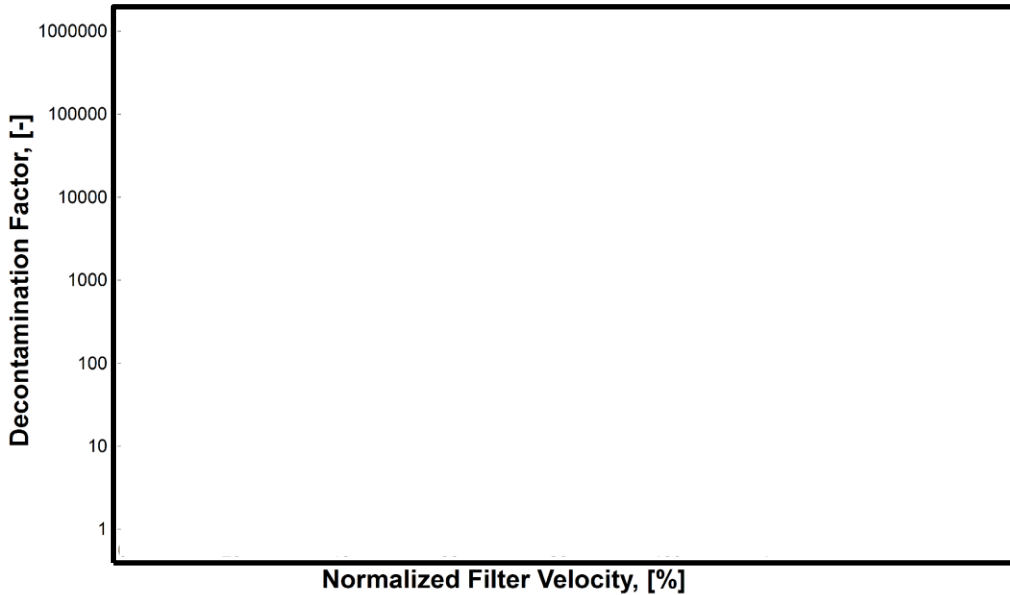


図2 金属フィルタ部におけるガス流速に対する除去係数

### (2) エアロゾルによる金属フィルタの閉塞

想定するエアロゾル量(300kg)がスクラバ容器に均等に流入した場合の金属纖維フィルタへの移行量は [ ] であり、ベントガス流量が [ ] 増加した場合においてもその移行量は [ ] ( $[ ] \times [ ]$ ) のため、金属纖維フィルタの閉塞のリスクが極めて低い運用が可能な負荷量 [ ] に対して小さいため、金属纖維フィルタの閉塞が生じる可能性はない。なお、有効性評価（雰囲気圧力・温度による静的負荷（格納容器過圧・過温破損）（残留熱代替除去系を使用できない場合））におけるエアロゾルの金属フィルタへの移行量は [ ] であり、金属纖維フィルタの閉塞のリスクが極めて低い運用が可能な負荷量に対して十分小さい。

なお、金属フィルタのドレン配管の口径は [ ] であり、これに対してスクラバ容器に流入するエアロゾルの粒子径は [ ] で極めて小さく、また、ドレンが排出できる十分な配管口径であることから、ドレン配管において閉塞が発生するおそれはないと評価できる。（別紙24）

### (3) 格納容器内で発生した酸性物質によるスクラビング水のpHの異常低下

保守的に格納容器内で発生した酸性物質（約 [ ] mol）が全てスクラバ容器へ移行した場合、スクラビング水をアルカリ性に維持するためには [ ] mol 以上の [ ] が必要となり、その濃度は [ ] である。これに余裕をみて待機時には、スクラビング水の濃度を [ ] 以上とすることで、[ ] としている。

本資料のうち、枠囲みの内容は機密に係る事項のため公開できません。

ベントガス流量が [ ] 増加した場合のスクラバ容器 1 基当たりの酸性物質の移行量は、[ ] であり、待機時のスクラバ容器 1 基当たりの [ ] より小さいためスクラビング水の pHへの影響はない。

#### (4) 捕集した放射性物質の崩壊熱によるスクラビング水位の異常低下

ベントガス流量が [ ] 増加した場合に、一部のスクラバ容器に流入する放射性物質が多くなるため、その崩壊熱により一部のスクラバ容器のスクラビング水の蒸発量は増加する。一方、他のスクラバ容器では流入する放射性物質が少なくなるためスクラビング水の蒸発量は減少することになり、4基のスクラバ容器全体とした場合における蒸発量はベントガス流量が同等の場合と同様であり、スクラビング水位の低下への影響はない。また、一部のスクラバ容器のスクラビング水が減少した場合は、連結管によりスクラビング水の水位は均一となる設計としているため、スクラビング水位の低下への影響はない。

[ ] 本資料のうち、枠囲みの内容は機密に係る事項のため公開できません。

### (参考3) 気相部及び液相部の連結管について

格納容器フィルタベント系は、スクラバ容器4基の構成としており、スクラバ容器の気相部及び液相部をそれぞれ連結管により接続している。連結管の設置目的及び連結管の口径の根拠を以下に示す。

#### 1. 連結管の設置目的

スクラバ容器に気相部及び液相部に設置する連結管の設置目的(役割)を以下に示す。

##### (1) 気相部の連結管

- a. 各スクラバ容器気相部の圧力を同等にすることで1つの金属フィルタに過大な圧力がかからないようにする。また、スクラバ容器の水位を同等とする。
- b. 補給設備へ接続する。

##### (2) 液相部の連結管

- a. 各スクラバ容器の水位を同等とする。
- b. pH測定装置へ接続する。

#### 2. 連結管配管径の適切性

配管口径については、むやみに圧力損失が増え、動力、最高使用圧力を増加させることがないように、また、浸食、配管振動を生じさせないように、配管内流速を表1に示す目安以下に抑えることを考慮して選定している。

表1 配管内流速の目安

液体の種類	波動の状態	基準流速
淡水		
蒸気・ガス		

スクラビング水はベントに伴い、蒸気凝縮、捕集された放射性物質の発熱による蒸発等により増減するが、液相部の連結管によりスクラビング水が移動し、移動したスクラバ溶液と同等量のベントガス等が気相部の連結管を流れることで、スクラビング水位は同等となる。この際、スクラバ容器の気相部の圧力は同等となる。

本資料のうち、枠囲みの内容は機密に係る事項のため公開できません。

よって、スクラビング水の水位差が生じた場合において、表1より液相部の配管内流速を [ ] 以下、気相部の配管内流速を [ ] 以下に抑えることを考慮し、液相部の連結管を50A、気相部の連結管を25Aと設定している。

### (1) スクラビング水が均一になる場合の配管内流速

スクラビング水の水位が等しくなる場合の液相部及び気相部の配管内流速について確認するため、何らかの要因で2基のスクラバ容器のスクラビング水の水位差が [ ]<sup>\*1</sup> から均一になった場合について評価する。評価は、2基のスクラバ容器とそれらを接続する連結管をモデルとした。評価モデルを図1に示す。

\*1 : スクラバ容器の機能を喪失しない範囲（スクラビング水の上限水位～下限水位）における水位差として設定

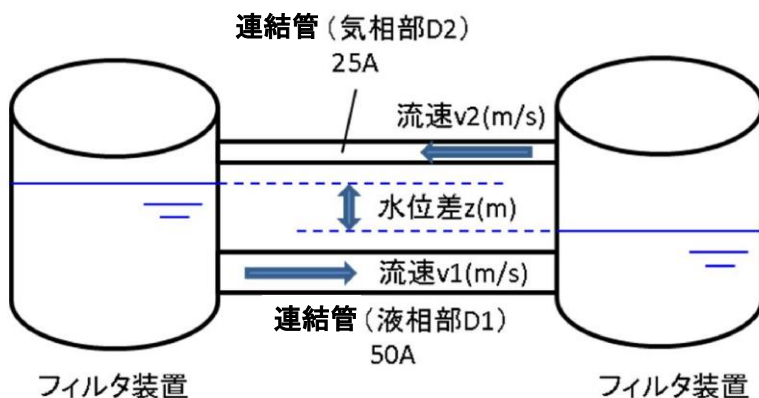


図1 評価モデル図

2基のスクラバ容器に水位差が生じた場合の液相部の連結管の流速は以下の式に基づき計算する。

$$\Delta h = \lambda \frac{L v^2}{D 2g}$$

$\Delta h$  : 壓力損失 (初期水位差  $z$  : [ ])

$\lambda$  : 管摩擦係数 ([ ])

L : 連結管の長さ

D : 連結管内径

V : 流速

g : 重力加速度 ( $9.80665\text{m/s}^2$ )

本資料のうち、枠囲みの内容は機密に係る事項のため公開できません。

流体抵抗である L/D の算出にあたり、配管内流速が大きくなるよう、最も距離が短いスクラバ容器C～Dの連結管の長さを選択した。

表2 連結管の流体抵抗

連結管	L/D
スクラバ容器A～B	
スクラバ容器A～C	
スクラバ容器A～D	
スクラバ容器B～C	
スクラバ容器B～D	
スクラバ容器C～D	

評価の結果、液相部の配管内流速は [ ] となる。また、気相部の連結管は、液相部の連結管を流れる流量と同等のベントガス等が流れるため、気相部の連結管の配管内流速は [ ] となる。

以上より、液相部の目安 [ ] 以下かつ気相部の目安 [ ] 以下であり、液相部の配管口径 50A 及び気相部の配管口径 25A で問題ないことを確認した。

(2) スクラビング水をサプレッション・チェンバへ移送する場合の配管内流速  
ベント終了後のスクラビング水のサプレッション・チェンバへの移送については、移送ポンプの定格流量である約  $10 \text{ m}^3/\text{h}$  が 50A の配管内を流れることを考えた場合、流速は約  $1.3 \text{ m/s}$  となる。

以上より、液相部の目安 [ ] 以下であるため、液相部の配管口径 50A で問題ないことを確認した。

[ ] 本資料のうち、枠囲みの内容は機密に係る事項のため公開できません。

(参考4) スクラバ容器に水位差が発生した場合の液面振動

格納容器フィルタベント系は、ベントガス流量を同等とする設計及び4基のスクラバ容器を連結管で接続する設計としており、スクラビング水の水位差が生じることは考えにくい。

仮に、何らかの要因によりスクラバ容器に水位が発生した場合の液面振動について評価を行った。評価は、2台のスクラバ容器とそれらを接続する連結管をモデルとした。評価モデルを図1に示す。

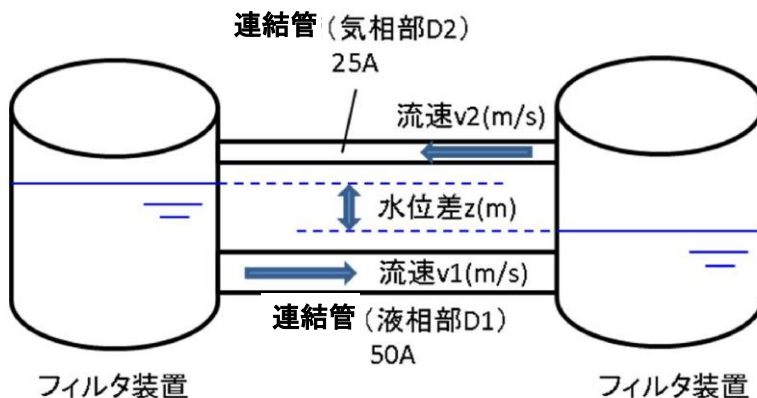


図1 評価モデル図

2台のスクラバ容器に水位差が生じた場合の液面振動の水位差 $z$ と固有振動数 $f_u$ は以下の式に基づき計算する。

$$\frac{dz}{dt} = \frac{\sqrt{2n}}{m} \sqrt{mz + 1 - (mz_0 + 1) \exp\{m(z - z_0)\}} \quad (\text{式 } 1)$$

$$m = \frac{2gcF_1F_2}{lf(F_1+F_2)} \quad (\text{式 } 2)$$

$$n = \sqrt{\frac{gf(F_1+F_2)}{l(F_1+F_2)}} \quad (\text{式 } 3)$$

$$f_u = \frac{n}{2\pi} \quad (\text{式 } 4)$$

- |        |                                    |
|--------|------------------------------------|
| F1, F2 | : スクラバ容器 1 基の断面積 (□)               |
| c      | : 連結管の摩擦抵抗係数 (□)                   |
| f      | : 連結管の断面積 (□)                      |
| l      | : 連結管の長さ (□)                       |
| g      | : 重力加速度 (9.80665m/s <sup>2</sup> ) |
| z      | : 水位差 (m)                          |
| $z_0$  | : 初期水位差 (□)                        |
| $f_u$  | : 固有振動数 (Hz)                       |

本資料のうち、枠囲みの内容は機密に係る事項のため公開できません。

振幅が最大になるとき、液面の時間変化( $dz/dt$ )は0になると考えられることから、(式1)は以下の式へ変形できる。

$$mz + 1 - (mz_0 + 1)\exp\{m(z - z_0)\} = 0 \quad (\text{式 } 5)$$

ここで、(式2)より  $m = \boxed{\phantom{0}}$  となる。また、振幅が最大となる場合の水位差は、図2に示すとおり  $z < 0$  となることから(式5)内の  $\exp\{m(z - z_0)\} \rightarrow 0$  となるため、振幅の最大値は以下の式で計算できる。

$$mz + 1 = 0$$

よって、

$$z = -\frac{1}{m} = -1.41(\text{mm})$$

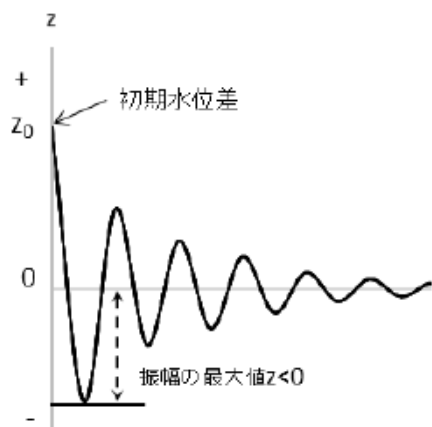


図2 振幅のイメージ

以上より、何らかの要因により水位差が  $\boxed{\phantom{0}}$  となった場合の液面振動の振幅は最大でも  $\boxed{\phantom{0}}$  であり、液面振動を考慮しても上限水位である  $\boxed{\phantom{0}}$  に対し余裕があるため液面振動による影響はない。 $\boxed{\phantom{0}}$

$\boxed{\phantom{0}}$  その時のスクラバ溶液の最高水位は約  $\boxed{\phantom{0}}$  であり、有効性評価における7日後の水位は下限水位に対し余裕がある。  
また、(式3)及び(式4)より液面振動の固有振動数  $f_u$  は  $\boxed{\phantom{0}}$  未満であり、剛構造であるスクラバ容器の  $\boxed{\phantom{0}}$  に対し十分小さいことから、液面振動がスクラバ容器と共に振ることはない。

なお、スクラバ容器4基間での液面振動を評価するため、前述の評価において、スクラバ容器断面積  $F_s$  を2基分の断面積として評価を実施した結果、液面振動の振幅は最大でも  $\boxed{\phantom{0}}$  未満であり、固有振動数は  $\boxed{\phantom{0}}$  未満であることから液面振動の影響はないと考えられる。

本資料のうち、枠囲みの内容は機密に係る事項のため公開できません。

## (参考5) 格納容器フィルタベント系の設計経緯について

格納容器フィルタベント系の当初設計、設計変更内容及びフィルタ性能への影響評価については以下のとおり。

### (1) 当初設計

- ・ フィルタベント設備のシステム設計としては、海外でスクラバ容器を2基構成とした実績があり、島根2号機においても地下格納槽内の配置スペースの観点で容器をコンパクトに設計するため、スクラバ容器を複数基とする設計が可能であることをベンダーに確認したことから、スクラバ容器を複数基で構成するシステムを採用した。
- ・ スクラバ容器の容量として、スクラバ容器の設計崩壊熱量370kWに対応できるスクラビング水量を確保するため、性能検証試験(JAVA試験)で使用された容器と同等の高さのスクラバ容器を4基設置することとした。
- ・ スクラバ容器を4基構成したことから、フィルタ装置出口配管についても4本構成とした。

### (2) 設計変更

- ・ フィルタベント設備の設計を進める段階で、スクラバ容器では捕集できない有機よう素を捕集するために銀ゼオライト容器を追加することを決定し、スクラバ容器下流に追設した。銀ゼオライト容器については、必要な容量と設置スペースを考慮し、1基構成とした。
- ・ 銀ゼオライト容器の追設に伴い、流量制限オリフィスの位置を銀ゼオライト上流としたことにより、フィルタ装置出口配管4本にそれぞれ設置することとしていた圧力開放板にかかる圧力が低下し、圧力開放板の破裂枚数に応じた配管圧損を計算した結果、圧力開放板が2枚破裂すると残り2枚の圧力開放板上流の圧力が設定破裂圧力80 kPa[gage]を下回ることを確認したため、フィルタ装置出口配管について途中で1本の配管(400A)に合流させ、圧力開放板を1個設置する設計に変更した。

### (3) フィルタ性能への影響評価

- ・ スクラバ容器を4基構成とした場合でも、各スクラバ容器の配管圧損の差が十分小さくなるよう配管のルート計画を考慮しており、ベント流量のバラつきを評価した結果、性能に影響は無いことを確認している。
- ・ フィルタ装置出口配管を4本構成とした場合でも、フィルタ装置出口配管の圧力損失が小さくなるよう配管口径を300Aとし、流量制限オリフィスにおける圧力差を確保することで、ベントガス流速の運転範囲が性能検証試験範囲内であることを確認している。

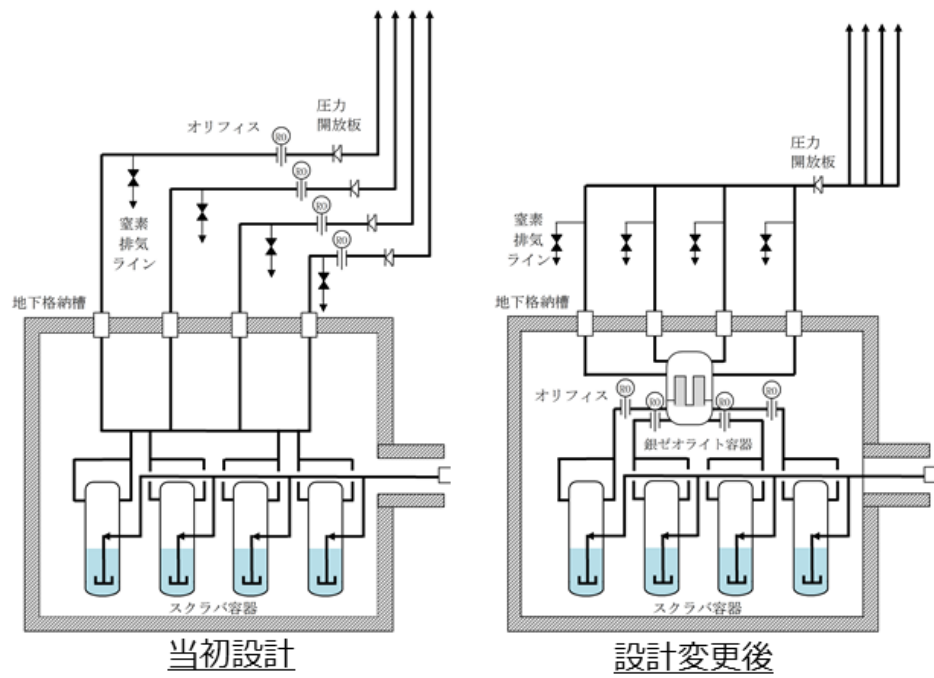


図1 格納容器フィルタベント系の設計変更の経緯

## 格納容器フィルタベント系の漏えいに対する考慮について

格納容器フィルタベント系は、フィルタ装置入口配管、フィルタ装置（スクラバ容器、銀ゼオライト容器）、フィルタ装置出口配管等で構成し、材料としては、ステンレス鋼、炭素鋼を使用し、重大事故時においても所定の機能を確保・維持できるよう、使用環境を考慮した設計条件を設定し、構造設計を行っている。また、炭素鋼配管外面には防錆のため塗装を施し、特に屋外に敷設される配管の外面については、海塩粒子の付着による腐食防止の観点から、エポキシ系等の防食塗装を行う。

格納容器フィルタベント系の構造に関する主な設計条件を表1、格納容器フィルタベント系の材料範囲図を図1に示す。

表1 格納容器フィルタベント系の主な構造設計条件

項目	設計条件
最高使用圧力	853kPa [gage] (流量制限オリフィスまで)
	427kPa [gage] (流量制限オリフィス以降)
最高使用温度	200°C
機器クラス	重大事故等クラス2
耐震仕様	基準地震動 S s にて機能維持

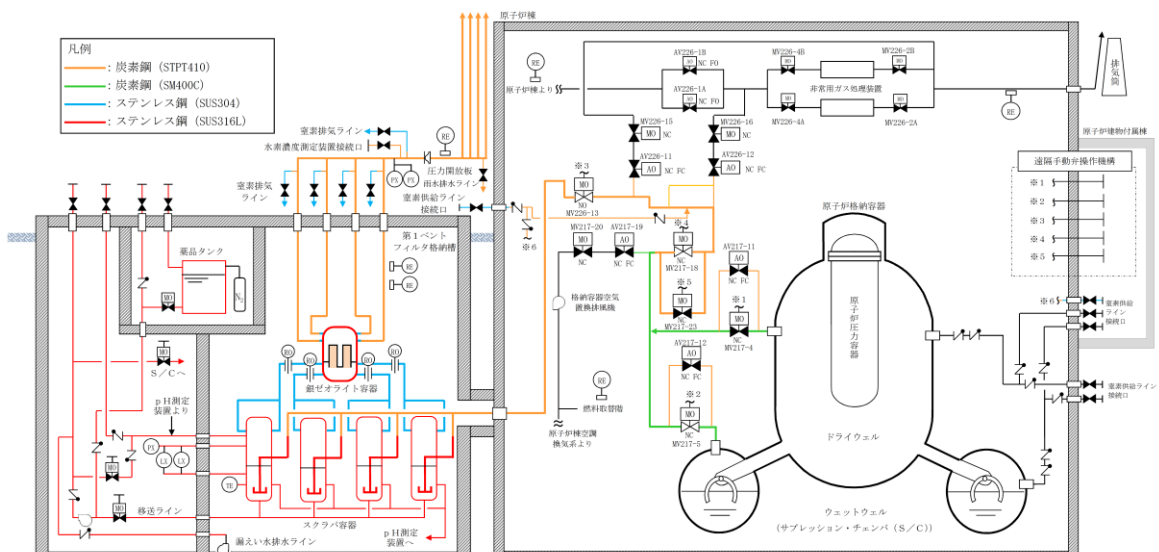


図1 格納容器フィルタベント系の材料範囲図

格納容器フィルタベント系のうち、スクラバ容器については、容器内部に保有しているスクラビング水の通常状態での性状（高アルカリ性）と重大事故時に放出される放射性物質を捕集・保持すること（高線量下）を考慮して、頑健性を高めた構造設計に加えて、スクラビング水の漏えい防止対策として、スクラバ容器接液部における設計上の考慮事項を設けている。スクラビング水の漏えい防止に係る設計上の具体的な考慮事項を表2、格納容器フィルタベント系の構造概略図を図2に示す。

表2 スクラビング水の漏えい防止に係る設計上の考慮事項

接液部	漏えい防止に係る設計上の考慮事項
スクラバ容器本体	<ul style="list-style-type: none"> <li>➤ マンホール蓋は溶接閉止構造とし、漏えいポテンシャルを低減した設計とする。溶接部は、製作時に溶接規格に基づき非破壊検査を実施し、欠陥がないことを確認する。</li> <li>➤ 接液部は、化学薬剤（□）が添加されたスクラビング水に通常晒されること、重大事故におけるベント時にはスクラビング水が高温（200°C）となることを考慮し、耐食性に優れたステンレス鋼を材料として選定することにより、漏えいポテンシャルの低減を図る。</li> </ul>
配管・弁 ・ベントガス入口管 ・ドレンライン ・容器連絡管 ・計装ライン	<ul style="list-style-type: none"> <li>➤ 容器・配管・弁の取り合いは、原則溶接接続とし、漏えいポテンシャルを低減した設計とする。溶接部は、製作時に溶接規格に基づき非破壊検査を実施し、欠陥がないことを確認する。</li> <li>➤ 弁箱と弁蓋の取り合い部のようなフランジ接続部は、適切なガスケットパッキンを使用し、ボルトの締め付け管理により、漏えい防止を図る。（表3参照）</li> <li>➤ 接液部は、化学薬剤（□）が添加されたスクラビング水に通常晒されること、重大事故におけるベント時にはスクラビング水が高温（200°C）となることを考慮し、耐食性に優れたステンレス鋼を材料として選定することにより、漏えいポテンシャルの低減を図る。</li> </ul>

本資料のうち、枠囲みの内容は機密に係る事項のため公開できません。

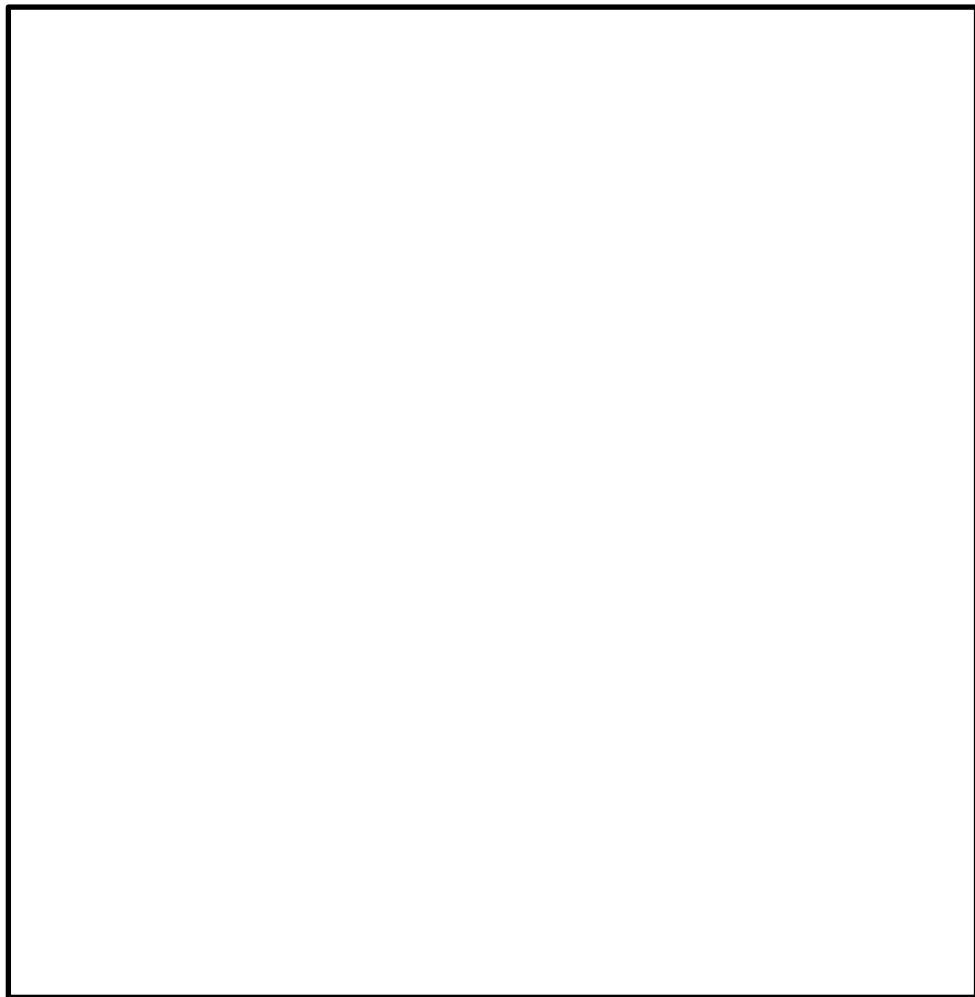


図2 スクラバ容器の構造概略図

表3 主なパッキン類の使用箇所

パッキン類の使用部位	パッキン類の材質
バタフライ弁と配管の接続部（フランジ構造）	黒鉛製
弁グランド部	黒鉛製
弁ボンネット部（フランジ構造）	黒鉛製

以上のとおり、格納容器フィルタベント系は、設計・製作・検査により、スクラビング水の漏えい防止を図ることとしているが、万一眼にスクラバ容器外にスクラビング水が漏えいした場合でも、漏えいの早期検出や構造的に漏えいの拡大が防止できる設計とする。具体的には、スクラバ容器を設置している第1ベントフィルタ格納槽（鉄筋コンクリート造）内への漏えい水滞留箇所（溜めマス）及び漏えい検知器の設置、格納槽のコンパートメント化（樹脂系塗装等による想定水没部の防水処理）を行う。第1ベントフィルタ格納槽の貫通部は、図3に示すとおり想定水没部以上の位置にあり、貫通部から外部への漏えいの恐れのない設計となっている。（別紙18）

本資料のうち、枠囲みの内容は機密に係る事項のため公開できません。

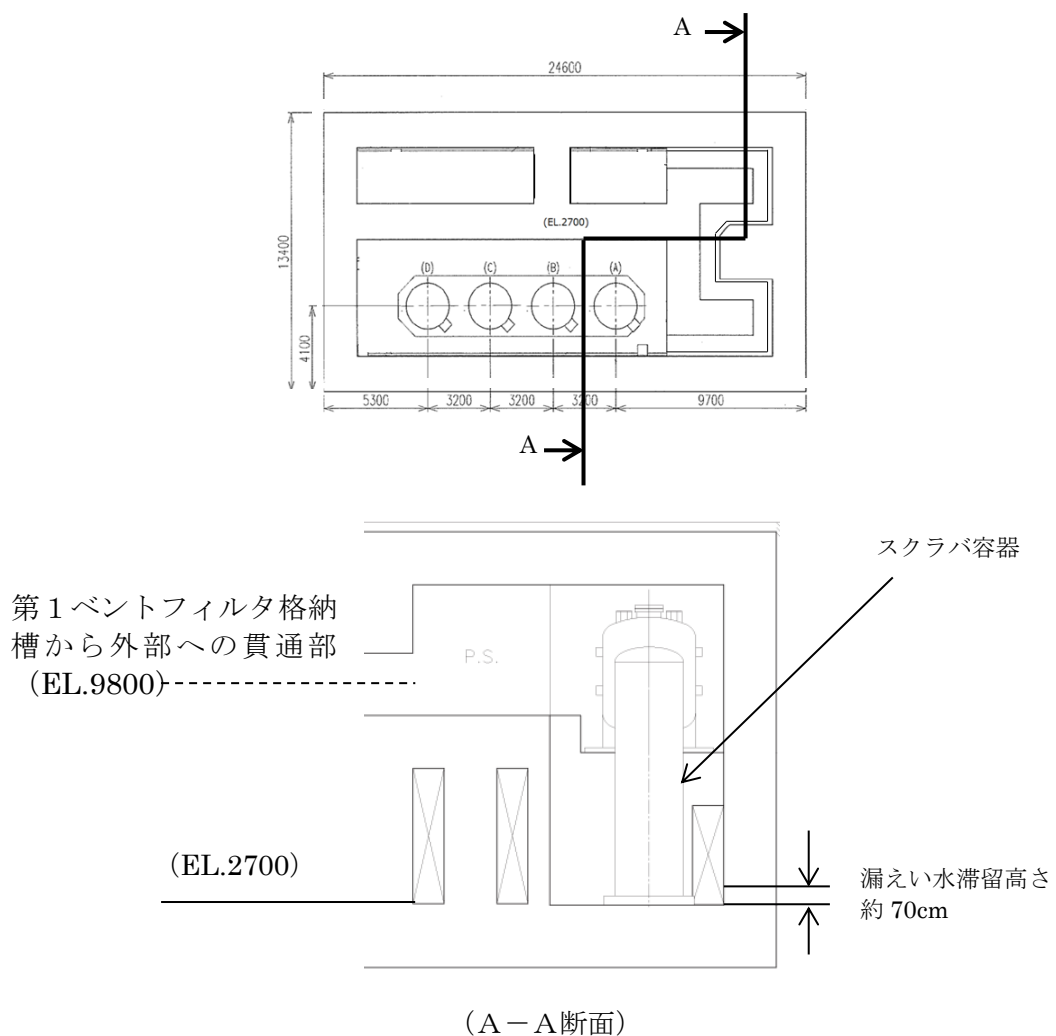


図3 第1ベントフィルタ格納槽から外部への貫通部と  
漏えい水の高さの関係

### 格納容器フィルタベント系の外部事象に対する考慮について

格納容器フィルタベント系は、自然現象（地震及び津波を除く。）及び外部人為事象の外部事象、内部溢水並びに意図的な航空機衝突に対して、原子炉建物外の地下の第1ベントフィルタ格納槽内に配置する等、表1（1/5～5/5）のとおり考慮した設計とする。

なお、想定する外部事象は、「設置許可基準規則」第四十三条（重大事故等対処設備）において考慮する事象とする。ただし、洪水、地滑り、生物学的事象（海生生物）、ダムの崩壊、有毒ガス及び船舶の衝突については、発電所の立地及び格納容器フィルタベント系の設置場所等により、影響を受けないことから考慮する必要はない。

表1 格納容器フィルタベント系の外部事象に対する考慮（1/5）

外部事象		影響モード	設置場所	設計方針
自然現象	風 (台風)	荷重 (風) 荷重 (飛来物)	屋内 屋外	竜巻による影響に包含される。
	竜巻	荷重 (風) 荷重 (飛来物) 荷重 (気圧差)	屋内	原子炉建物又は地下の第1ベントフィルタ格納槽内に設置されている部位については、外殻の原子炉建物又は第1ベントフィルタ格納槽により防護する設計とする。
			屋外	屋外に設置される排気配管、圧力開放板については、竜巻飛来物等により損傷する可能性があるため、損傷が確認された場合は、必要に応じて原子炉の運転を停止し補修を行う。
	凍結	凍結	屋内	原子炉建物又は地下の第1ベントフィルタ格納槽内に設置されている部位については、外気温の影響を受け難く、また、凍結の影響を考慮すべきスクラビング水を内包するスクラバ容器には、保温材を取り付けることにより凍結しない設計とする。
			屋外	屋外に設置されている排気配管については、雨水排水ラインを設けることにより雨水が蓄積しない構造とし、凍結により機能が損なわれるおそれがない設計とする。
	降水	浸水 荷重	屋内	原子炉建物又は地下の第1ベントフィルタ格納槽内に設置されている部位については、止水処理を実施することにより、降水による浸水、荷重の影響は受けない。
			屋外	屋外に設置される排気配管、圧力開放板は、滞留水の影響を受け難い位置に設置するとともに、系統開口部から降水が浸入し難い構造とすることにより、必要な機能が損なわれるおそれがない設計とする。

表1 格納容器フィルタベント系の外部事象に対する考慮（2/5）

外部事象	影響モード	設置場所	設計方針
自然現象	積雪	荷重（積雪） 閉塞	屋内 原子炉建物又は地下の第1ベントフィルタ格納槽内に設置されている部位については、外殻の原子炉建物又は第1ベントフィルタ格納槽により防護する設計とする。
		屋外	屋外に設置される排気配管、圧力開放板については、積雪し難い構造とともに、系統開口部から降雪が浸入し難い構造とすることにより、必要な機能が損なわれるおそれがない設計とする。なお、多量の積雪が確認される場合には、除雪を行う等、適切な対応を実施する。
	積雪と地震の組合せ	荷重（積雪） + 地震力	屋内 原子炉建物又は地下の第1ベントフィルタ格納槽内に設置されている部位については、外殻の原子炉建物又は第1ベントフィルタ格納槽により防護する設計とする。
		屋外	屋外に設置されている排気配管、圧力開放板については、積雪し難い構造となっており、積雪と地震を組み合わせても影響は増長しない。 なお、多量の積雪が確認される場合には、除雪を行う等、適切な対応を実施する。
	落雷	雷サージによる電気・計装設備の損傷	屋内 屋外 落雷の影響を考慮すべき設備については、排気筒、各建物等への避雷針、棟上導体の設置、接地網の布設による接地抵抗の低減を行う等の雷害防止により、必要な機能が損なわれるおそれがない設計とする。
	火山の影響（降下火砕物）	荷重 閉塞 腐食	屋内 原子炉建物又は地下の第1ベントフィルタ格納槽内に設置されている部位については、外殻の原子炉建物又は第1ベントフィルタ格納槽により防護する設計とする。
	屋外	屋外に設置される排気配管、圧力開放板については、降下火砕物が堆積し難い構造とともに、系統開口部から降下火砕物が侵入し難い構造とすることにより、必要な機能が損なわれるおそれがない設計とする。 なお、降下火砕物の堆積が確認される場合には、除灰を行う等、適切な対応を実施する。 化学的影響（腐食）防止のため、屋外に敷設される排気配管（炭素鋼配管）外面には防食塗装を行う。	

表1 格納容器フィルタベント系の外部事象に対する考慮（3/5）

外部事象		影響モード	設置場所	設計方針
自然現象	火山の影響と風、積雪との組合せ	荷重（降下火碎物） +荷重（風） +荷重（積雪）	屋内	原子炉建物又は地下の第1ベントフィルタ格納槽内に設置されている部位については、外殻の原子炉建物又は第1ベントフィルタ格納槽により防護する設計とする。
			屋外	屋外に設置されている排気配管、圧力開放板については、降下火碎物の堆積及び積雪し難い構造となっており、火山の影響、風及び積雪を組み合わせても、影響は増長しない。なお、降下火碎物の堆積及び積雪が確認される場合には、除灰、除雪を行う等、適切な対応を実施する。
	生物学的事象	電気的影響 (小動物による電気設備の損傷)	屋内	原子炉建物又は地下の第1ベントフィルタ格納槽内に設置されている部位については、外殻の原子炉建物又は第1ベントフィルタ格納槽により防護する設計とする。
			屋外	地下の第1ベントフィルタ格納槽外に設置されている端子箱貫通部等にはシールを行うことにより、小動物の侵入を防止する設計とする。 屋外に設置されている系統開口部から小動物が浸入し難い構造とすることにより、必要な機能が損なわれるおそれがない設計とする。
	外部火災	森林火災	屋内 屋外	機器を内包する原子炉建物、地下の第1ベントフィルタ格納槽及び屋外に設置される機器は、防火帯の内側に配置し、森林との間に適切な離隔距離を確保することで、必要な機能が損なわれるおそれがない設計とする。 ばい煙等の二次的影響に対して、ばい煙等が建物内に流入するおそれがある場合には、原子炉建物の換気空調設備の外気取入ダンパを閉止し、影響を防止する。

表1 格納容器フィルタベント系の外部事象に対する考慮（4/5）

外部事象		影響モード	設置場所	設計方針	
外部人為事象	外部火災	近隣工場等の火災・爆発	温度（熱） 爆風圧 飛来物	屋内 屋外	近隣の産業施設、発電所周辺の道路を通行する燃料輸送車両、発電所周辺を航行する燃料輸送船及び敷地内の危険物タンク（重油タンク、ガスタービン発電機用軽油タンク等）による火災、爆発による爆風圧、飛来物に対して、離隔距離を確保し、影響を受けない設計とする。
	電磁的障害		サーボ・ノイズによる計測制御回路への影響	屋内 屋外	日本工業規格（JIS）等に基づき、ラインフィルタや絶縁回路の設置により、サーボ・ノイズの侵入を防止するとともに、鋼製筐体や金属シールド付ケーブルの適用により電磁波の侵入を防止する設計とする。
	（偶発的な航空機落下等）飛来物		衝突による衝撃力 火災による熱影響	屋内 屋外	意図的な航空機衝突による影響に包含される。

表1 格納容器フィルタベント系の外部事象に対する考慮（5/5）

外部事象	影響モード	設置場所	設計方針
内部溢水	没水 被水 蒸気による環境条件の悪化	屋内	<p>内部溢水発生時は、自動隔離又は手動隔離により、漏えい箇所の隔離操作を行う。また、漏えい箇所の隔離が不可能な場合においても、漏えい水は、開放ハッチ部、床ファンネルを介し建物最地下階へと導く設計としていることから、ベント操作を阻害することはない。</p> <p>隔離弁については、没水、被水等の影響により中央制御室からの操作機能を喪失する可能性があるものの、人力での現場操作が可能であり機能は維持される。</p> <p>必要な監視機器については、没水、被水、蒸気に対する防護対策を講じ、機能を維持する設計とする。</p>
		屋外	対象外
意図的な航空機衝突	衝突による衝撃力 火災による熱影響	屋内	原子炉建物又は地下の第1ベントフィルタ格納槽内に設置されている部位については、外殻の原子炉建物又は第1ベントフィルタ格納槽により防護されると考えられる。
		屋外	屋外に設置される排気配管、圧力開放板については、航空機の衝突による衝撃力及び航空機燃料火災による熱影響により損傷する可能性があるため、損傷が確認された場合は必要に応じて原子炉の運転を停止して補修を行う。

### 地震による損傷の防止に関する耐震設計方針の説明

格納容器フィルタベント系は、設置許可基準の三十九条における常設耐震重要重大事故防止設備兼常設重大事故緩和設備に該当し、基準地震動  $S_s$  による地震力に対して重大事故等に至るおそれがある事故に対処するために必要な機能が損なわれるおそれがないものであることとしている。

そこで、地震荷重と組み合わせる荷重を以下の通り設定し、その荷重により発生する応力を評価している。また、許容応力状態を  $V_A S$  とし、さらに重大事故等時における運転状態を考慮して設定した設計温度にて、許容限界を設定する。その上で、発生応力が許容限界以下であることを確認することで、基準地震動  $S_s$  に対する機器の健全性を確認している。

表1 フィルタ装置の耐震設計条件

荷重の組合せ	許容応力状態	温度条件
$D + P_{SAD} + M_{SAD} + S_s$	$V_A S^{*1}$	$T_{SA}$

表2 配管の耐震設計条件

荷重の組合せ	許容応力状態	温度条件
$D + P_{SAD} + M_{SAD} + S_s$	$V_A S^{*1}$	$T_{SA}$

\*1 :  $V_A S$  として  $IV_A S$  としての許容限界を用いる。

#### 【各記号の注釈】

$D$  : 死荷重

$P_{SAD}$  : 重大事故等時の状態（運転状態V）における運転状態等を考慮して当該設備に設計上定められた設計圧力による荷重

$M_{SAD}$  : 重大事故等時の状態（運転状態V）における運転状態等を考慮して当該設備に設計上定められた機械的荷重

$S_s$  : 基準地震動  $S_s$  により定まる地震力

$T_{SA}$  : 重大事故における運転状態を考慮して設定した設計温度

なお、当該設計における荷重の組み合わせと許容限界としては、原子力発電所耐震設計技術指針(重要度分類・許容応力編 JEAG4601・補 - 1984, JEAG4601-1987

及び JEAG JEAG4601-1991 追補版) (日本電気協会 電気技術基準調査委員会 昭和 59 年 9 月, 昭和 62 年 8 月及び平成 3 年 6 月) 及び発電用原子力設備規格 (設計・建設規格 JSME S NC1-2005(2007 追補版含む) (日本機械学会 2005 年 9 月, 2007 年 9 月)に準拠したものである。

## 格納容器フィルタベント系使用後の保管管理

格納容器フィルタベント系使用後には、フィルタ装置には多量の放射性物質が捕捉されるため、捕捉された放射性物質が環境に放出することができないよう、適切に保管する必要がある。格納容器フィルタベント系使用後のフィルタ装置の保管方針を以下に示す。

### 【スクラバ容器】

格納容器フィルタベント系使用後は、スクラビング水を格納容器へ移送し、スクラビング水に捕捉された放射性物質が環境へ放出しないよう気中保管とする。

なお、スクラバ容器内にスクラビング水が保管されていたとしても、後段の金属フィルタにより、スクラビング水から環境への放射性物質の放出を防止可能であるが、放射性物質の放出リスクを更に低減するため、スクラビング水を格納容器へ移送する。

また、金属フィルタは、捕捉したエアロゾルの崩壊熱が、周囲への放熱によって十分冷却されるため、金属フィルタの過熱による放射性物質の再浮遊は生じないことを確認している。(別紙 36)

### 【銀ゼオライト容器】

格納容器フィルタベント系使用後は、気中保管とする。

銀ゼオライトフィルタで捕集したガス状放射性よう素については、銀ゼオライトからのような素の脱離反応が考えられ、400°C以上の高温状態かつ、数時間程度水素を通気した場合に起こることが知られている。(別紙 38)

しかし、上記のとおり、スクラビング水を格納容器へ移送することにより、放射線分解により発生する水素を銀ゼオライトフィルタへ流入しないようにし、ガス状放射性よう素の再揮発を防止する。

さらに、捕捉したガス状放射性よう素の崩壊熱が、周囲への放熱によって十分冷却されるため、温度の観点からもガス状放射性よう素の再揮発は生じないことを確認している。(別紙 38)

なお、格納容器フィルタベント系使用後には、放出口手前に設置している放射線モニタにて、フィルタ装置からの放射性物質の放出がないことを確認する。

## 第1ベントフィルタ格納槽内における漏えい対策について

格納容器フィルタベント系の各設備については、スクラビング水の性状（高アルカリ性）と重大事故等時に放出される放射性物質の捕集・保持（汚染水の貯蔵）を達成するよう、構造材には耐食性に優れた材料を選定し、重大事故等時の使用環境条件及び基準地震動  $S_s$  に対して機能維持するような、構造設計としている。また、フィルタ装置内のスクラビング水は移送ポンプによりサプレッション・チャレンバ等に移送することとなるが、これらの設備についても漏えいし難い構造としている。

図1に排水設備の構成を、表1に各部位の設計上の考慮事項を示す。

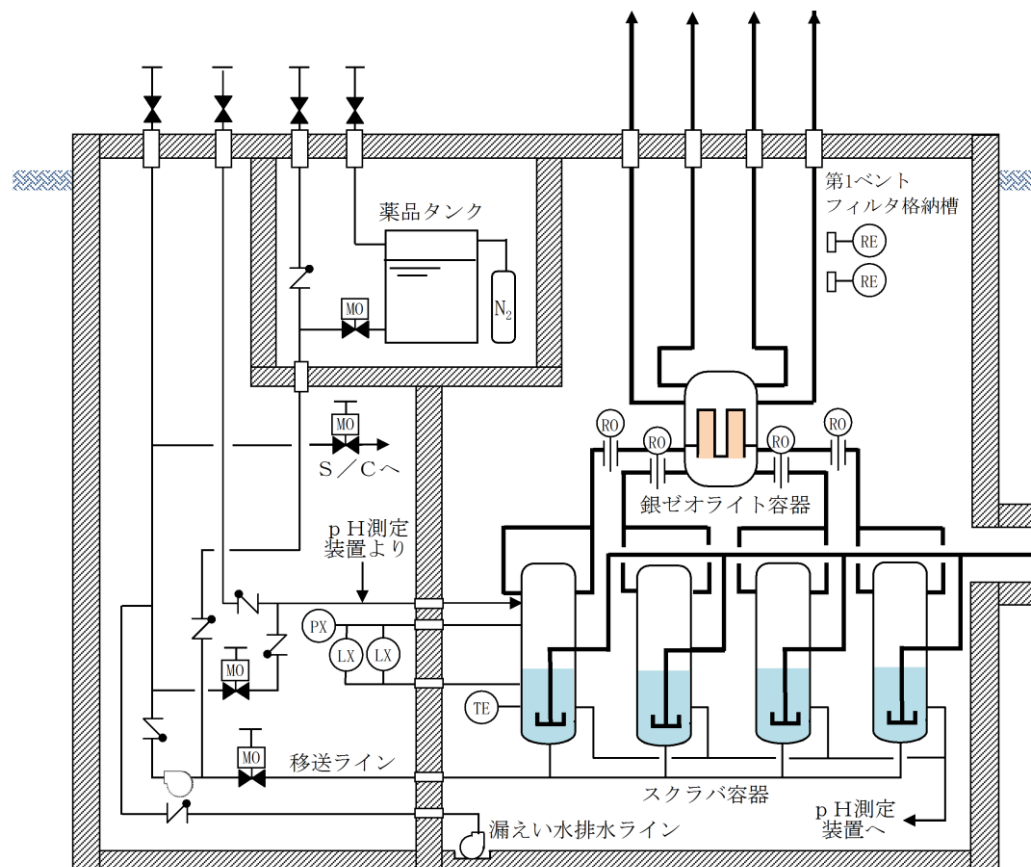


図1 排水設備の構成

表1 各部位の設計上の考慮事項

部位	設計考慮内容
移送ポンプ (キャンドポンプ)	<ul style="list-style-type: none"> <li>・高温、高アルカリ性 [ ] 放射線を考慮し、耐食性に優れたステンレス鋼を採用することで、健全性を確保する。</li> <li>・シール部に使用するパッキンについては、温度・圧力・放射線の影響を考慮して、黒鉛を採用する。</li> <li>・軸封部は密閉され、漏えいしない構造とする(図2参照)。</li> </ul>
配管・弁	<ul style="list-style-type: none"> <li>・高温、高アルカリ性 [ ] 放射線を考慮し、耐食性に優れたステンレス鋼を採用することで、健全性を確保する。</li> <li>・配管、弁の接続部は原則溶接構造とし、漏えいのリスクを低減した設計とする。また、「発電用原子力設備規格 設計・建設規格」の規定を適用して設計するとともに、基準地震動 <math>S_s</math> に対して機能を維持するよう設計する。</li> <li>・フランジ接続部や弁のグランド部には、温度・圧力・放射線の影響を考慮して、黒鉛を採用する。</li> </ul>

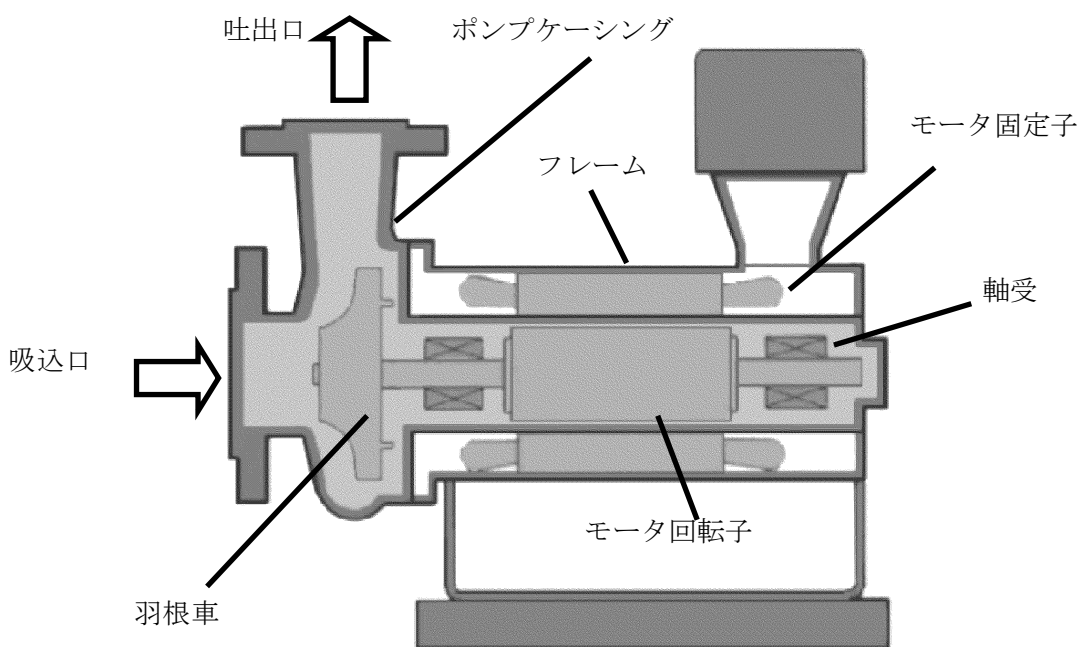


図2 一般的なキャンドポンプの構造

### (1) 第1ベントフィルタ格納槽の設計上の考慮

格納容器フィルタベント系を設置する地下構造の第1ベントフィルタ格納槽は、鉄筋コンクリート造の地中構造物で岩盤上に設置し、基準地震動  $S_s$  に対し機能維持するよう構造設計し、設計・製作・検査により、スクラビング水の漏えい防止を図ることとしているが、万ースクラバ容器外にスクラビ

本資料のうち、枠囲みの内容は機密に係る事項のため公開できません。

ング水が漏えいした場合でも、漏えいの早期検出や構造的に漏えいの拡大が防止できる設計とする。具体的には、スクラバ容器を設置している第1ベントフィルタ格納槽（鉄筋コンクリート造）内への漏えい水滞留箇所（溜めマス）及び漏えい検知器の設置、格納槽のコンパートメント化（樹脂系塗装等による想定水没部の防水処理）を行う。第1ベントフィルタ格納槽の貫通部は、図4に示すとおり想定水没部以上の位置にあり、貫通部から外部への漏えいの恐れのない設計となっている。

## (2) 漏えい時等の対応

漏えいしたスクラビング水は、第1ベントフィルタ格納槽から排水が可能な構成とする。第1ベントフィルタ格納槽は、図5に示すとおりベントフィルタ室（排水ポンプエリア）、移送ポンプエリア、計器室で構成され、計器エリア及び移送ポンプエリア内で万一、漏えいが発生した場合には、側溝を介してベントフィルタ室の溜めマスへ排水できる構造となっており、常設の排水ポンプによりサプレッション・チェンバもしくは外部へ排出できる構成としている。

排水ポンプが使用できない場合は、ベントフィルタ室上部のハッチより可搬のポンプを搬入して外部へ排出する。また、漏えいを早期に検知できるようベントフィルタ室に漏えい検知器を設置し、その警報を中心制御室に発報するとともに、状況に応じた排水が可能な構成としている。

具体的には、放射性物質を含まない場合は外部、放射性物質を含む場合はサプレッション・チェンバにそれぞれ移送する。

表2に排水ポンプの仕様を、図3に排水設備系統概略図を、図4に第1ベントフィルタ格納槽断面図を示す。

表2 排水ポンプ仕様

型式：水中ポンプ

容量：約 $2\text{m}^3/\text{min}$

揚程：約50m

台数：1

駆動源：電動駆動（交流）

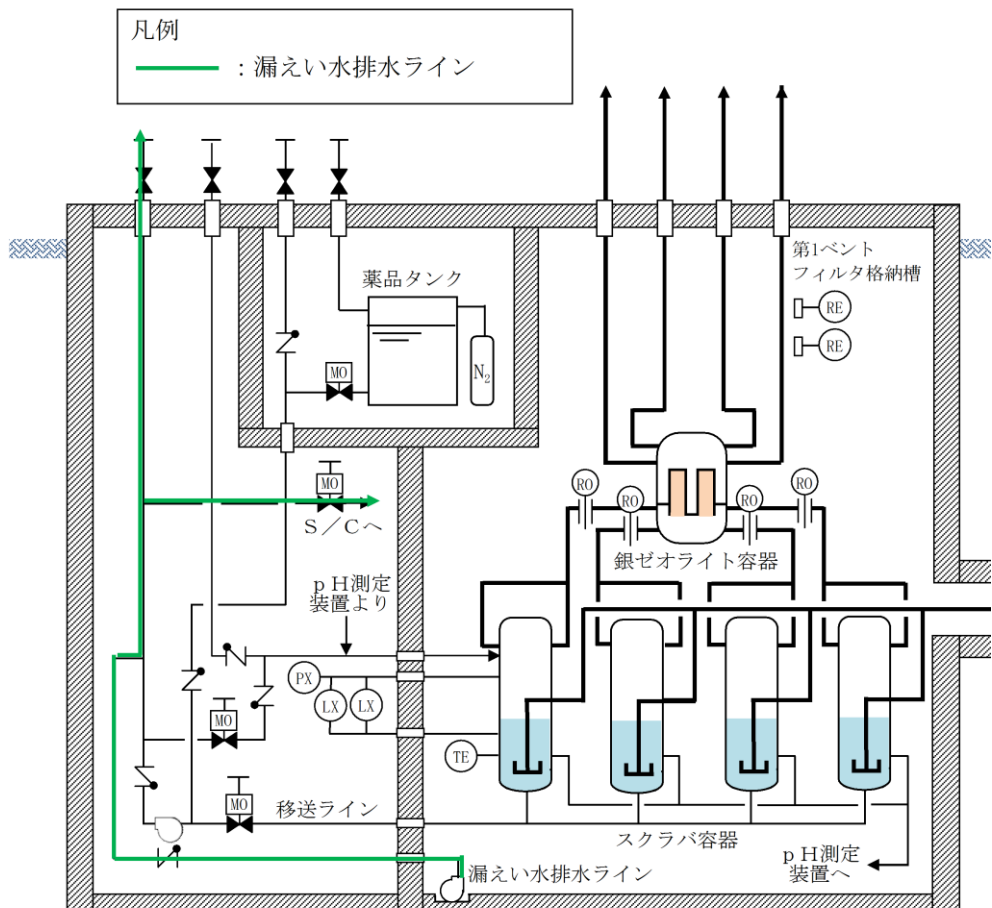


図3 排水設備系統概略図

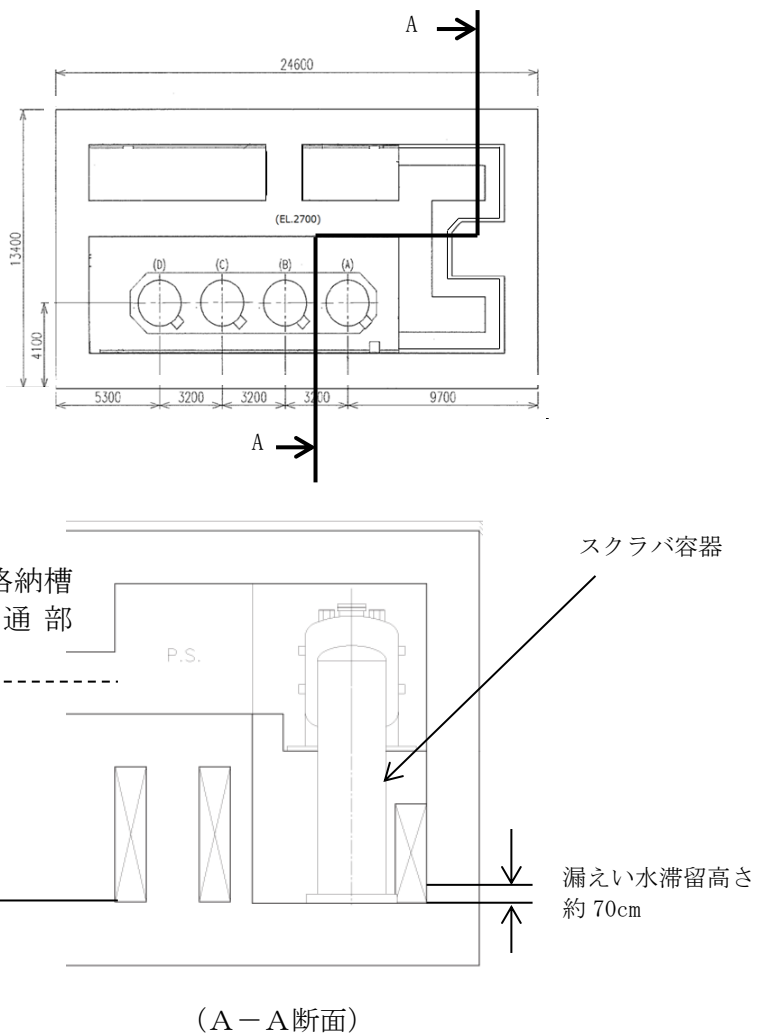


図4 第1ベントフィルタ格納槽から外部への貫通部と  
漏えい水の高さの関係

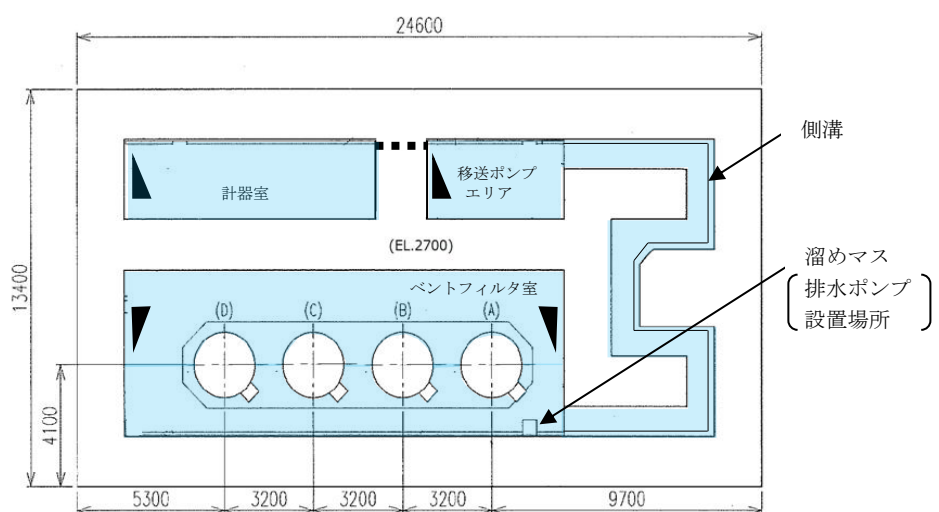


図5 第1ベントフィルタ格納槽での想定漏えい範囲図

### (3) 排水ポンプを使用した場合の移送

第1ベントフィルタ格納槽内で漏えいが発生した場合には、側溝を介してベントフィルタ室の溜めマスに排水できる構造としているため、排水ポンプを用いて漏えい水を原子炉格納容器内（サプレッション・チェンバ）等に移送する。原子炉格納容器（サプレッション・チェンバ）への移送においては、常設配管を経て移送するが、排出先が原子炉格納容器（サプレッション・チェンバ）以外の場合には、外部接続口から移送先の間は可搬ホースを使用する。

ベントフィルタ室から排水ポンプを用いた移送経路の概要図を図6に示す。

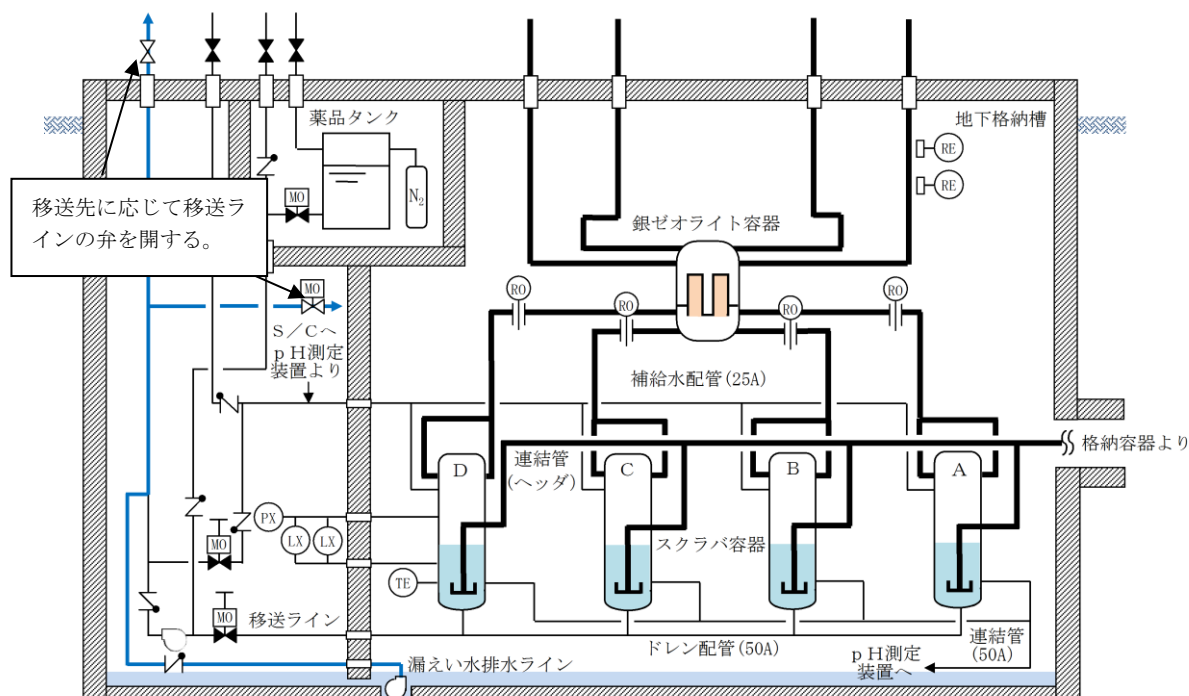


図6 ベントフィルタ室から排水ポンプを用いた移送経路の概要図

### (4) 可搬型ポンプを使用した場合の移送

排水ポンプを使用した漏えい水の移送ができない場合は、可搬型ポンプ（水中ポンプ）をベントフィルタ室上部のハッチより投入し、外部へ移送する。

発電所内に配備しているクレーン車によりハッチを開けて、可搬型のポンプを搬入する。

ベントフィルタ室から可搬型ポンプを用いた移送経路の概要図を図7に示す。ベントフィルタ室上部のハッチから可搬型ポンプを投入するルート図を図8に示す。

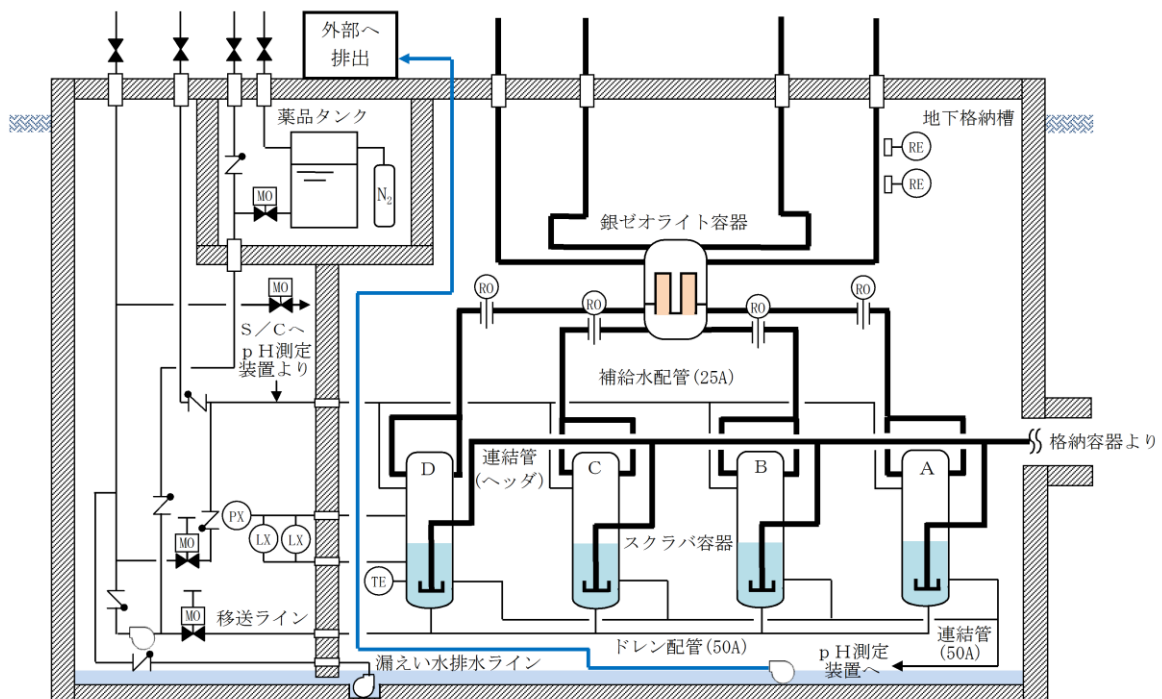
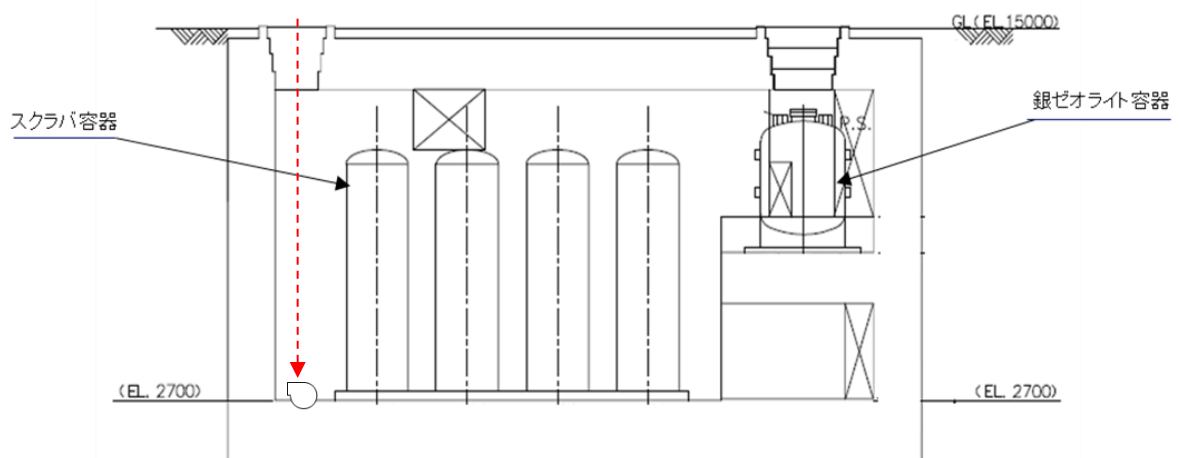
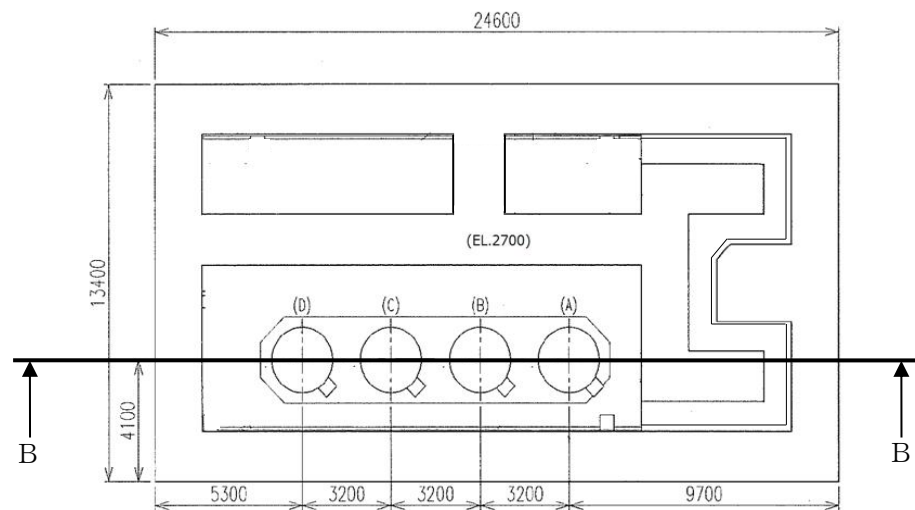


図7 ベントフィルタ室から可搬型ポンプを用いた移送経路の概要図



(B-B 断面)

図8 ベントフィルタ室上部のハッチから可搬型ポンプを  
投入するルート図

## 配管内面に付着した放射性物質による発熱の影響について

フィルタ装置上流の配管内面には放射性物質（エアロゾル）が付着することが想定されることから、その放射性物質の崩壊熱による温度上昇が配管の構造健全性に与える影響について検討した。

検討対象とする状態は、以下の 2 ケースを想定した。

### 【ケース 1】

ベント中を想定し、配管内に高温の蒸気が流れ、なおかつ配管内面に付着した放射性物質からの発熱が加わった状態。

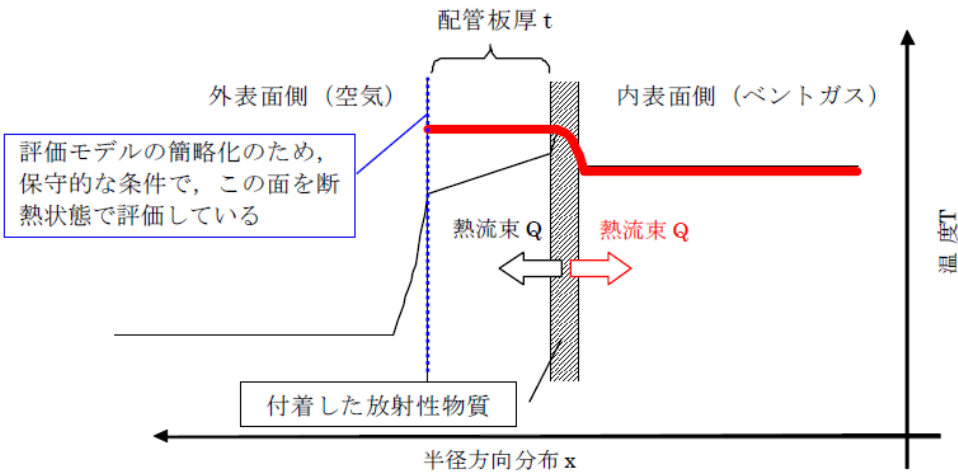
### 【ケース 2】

ベント停止後を想定し、配管内面に放射性物質が付着した後で配管内ベントガス流れがないため、放射性物質からの発生熱がこもる状態。

まず、【ケース 1】として、図 1 に示すような配管の半径方向の温度分布を考慮して評価を行った。配管内には高温のベントガス流れが存在し、配管内面には放射性物質が付着して崩壊熱による発熱を行っている。この場合、放射性物質の崩壊熱による熱量は配管内面・外面双方に放熱され、配管板厚方向に熱勾配ができるが、本評価では保守的に配管外面は断熱されているものとした。

【ケース 1】の温度評価条件を表 1 に示す。

なお、ベントガス温度については、図 2 に示すとおりベント開始後、格納容器圧力及び雰囲気温度が低下し、その後溶融炉心からの放熱によって格納容器雰囲気温度が 170°C 以下となる。



注；実際の伝熱状態は——で示すような分布になると想定されるが、保守的な評価となるよう配管外面を断熱し、全ての熱流束がベントガス側に移行する評価とした。  
(赤線で示されるような熱流束の与え方と分布)

図 1 配管内表面の温度評価（ケース 1 のイメージ）

表 1 配管内表面の温度上昇評価条件【ケース 1】

項目	条件
評価シナリオ	有効性評価シナリオ「大破断 LOCA + 全交流動力電源喪失 + 全 ECCS 機能喪失 (D/W ベント)」
P C V より流入する崩壊熱量	7.2kW
配管内発熱割合 (F P 付着割合)	10%/100m
配管外径、板厚	300A, Sch40
配管熱流束	7.7W/m <sup>2</sup>
質量流量	1.4 kg/s (ベント後期 (ベント 1 ヶ月後の蒸気流量))
ベントガス温度	170°C

ベント時のガス温度条件を踏まえて配管内面の温度を評価する。図2に大LOCA+SBO+ECCS機能喪失シナリオにおけるD/Wベント時の格納容器内の温度推移を示す。ベント時に最も配管内ガス温度が高い条件としてはベント開始直後であり、概ね170°Cとなる。

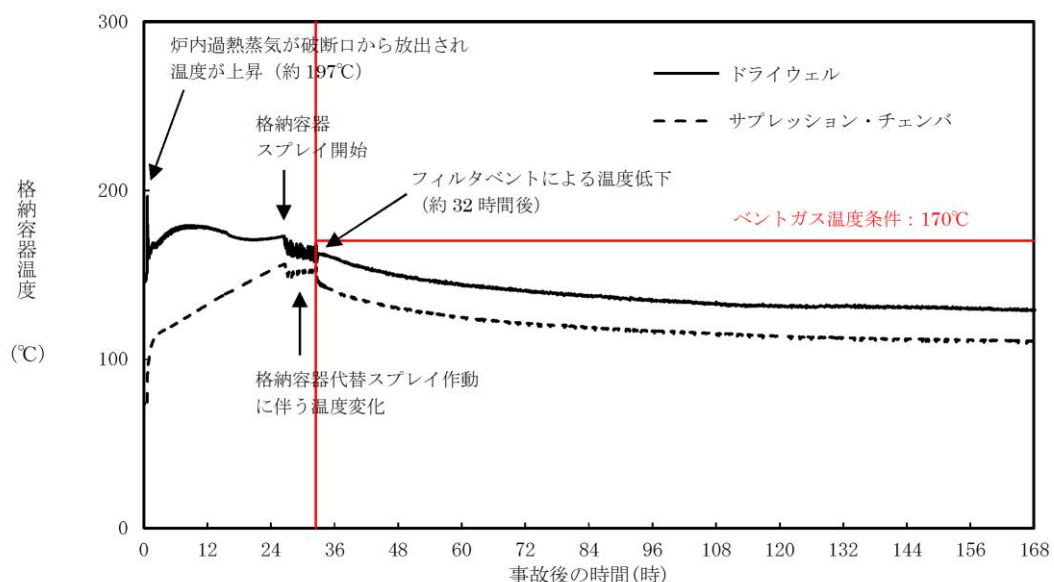


図2 格納容器内温度推移  
(大LOCA+SBO+ECCS機能喪失シナリオ, 32hr 後 D/W ベント)

格納容器より流入する崩壊熱量は7.2kW、配管内面に付着する放射性物質量の割合は(参考)にて設定した10%/100mを用いる。評価にあたっては保守的な条件として、付着割合の全量の放射性物質が付着した条件で発熱しているものとする。また、ベントガス流量については流速が低くなることで熱伝達率が低くなり、保守的な評価となることから、ベント後1ヶ月の蒸気流量である1.4kg/sを用いた。

配管内表面に付着する放射性物質の崩壊熱による配管内面の温度上昇は、以下の式で算出した温度上昇量で評価する。

$$\Delta T = q / h \quad \cdots \text{式 (1)}$$

$\Delta T$  : 放射性物質の崩壊熱による配管内表面の温度上昇 ( $^{\circ}\text{C}$ )

$q$  : 配管熱流束 ( $\text{W}/\text{m}^2$ )

$h$  : 配管内表面の熱伝達率 ( $\text{W}/(\text{m}^2 \cdot \text{K})$ )

$$h = Nu \times k / d \quad \cdots \text{式 (2)}$$

$Nu$  : ヌッセルト数

$k$  : 水蒸気の熱伝導率 ( $0.034 (\text{W}/(\text{m} \cdot \text{K}))$ )

$d$  : 水力等価直径 (m)

ここで、 $Nu$  を算出するに当たり円管内乱流の熱伝達率を表現するものとして Kays の式を引用した (式 (3))。

$$Nu = 0.022 Re^{0.8} \times Pr^{0.5} \quad \cdots \text{式 (3)}$$

$Re$  : レイノルズ数

$Pr$  : プラントル数 (1.1 : 保守的に  $170^{\circ}\text{C}$  の飽和蒸気の値を設定)

$$Re = v \times d / \nu \quad \cdots \text{式 (4)}$$

$v$  : 流速 (約  $22.5 (\text{m}/\text{s})$  : 質量流量から換算)

$d$  : 水力等価直径 (m)

$\nu$  : 水蒸気の動粘性係数 (約  $3.6 \times 10^{-6} (\text{m}^2/\text{s})$ )

これより、配管内面の温度上昇は  $0.03^{\circ}\text{C}$  程度であると評価できる。ベントガスの温度は  $170^{\circ}\text{C}$  程度であることから、蒸気の温度上昇分を考慮しても、配管内表面温度は配管設計における最高使用温度である  $200^{\circ}\text{C}$  を下回っているため、配管の健全性に影響を与えることはない。

次に、【ケース2】として、図3に示すような配管の半径方向の温度分布を考慮して評価を行った。配管内はベントガス流れがないものとし、配管内面には放射性物質が付着して崩壊熱による発熱を行っている。

ここで、評価対象の配管板厚は10.3mmであり、炭素鋼の熱伝導率が50W/(m·K)程度であることから、板厚方向の温度勾配は微小であると考えることができる。そのため、配管内表面の温度はほぼ配管外表面温度と同等であると考え、配管内部の熱量による温度を評価する方法としてJIS A 9501“保温保冷工事施工基準”的表面温度および表面熱伝達率の算出方法を用いて、配管外表面温度を評価する。

【ケース2】の温度評価条件を表2に示す。

なお、評価条件については、【ケース1】と同様に「大破断LOCA+全交流動力電源喪失+全ECCS機能喪失(D/Wベント)」を想定する。

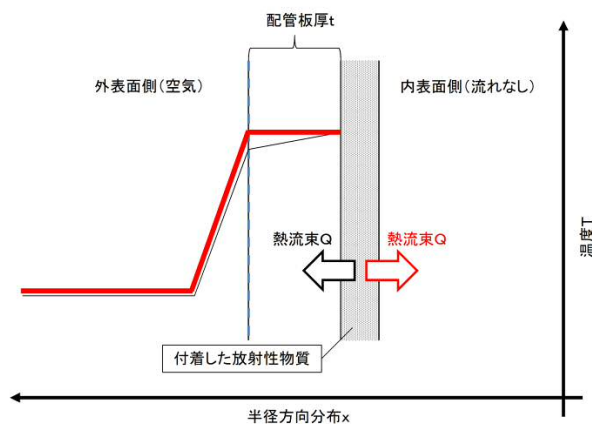


図3 配管内表面の温度評価(ケース2のイメージ)

表2 配管内表面の温度上昇評価条件【ケース2】

項目	条件
評価シナリオ	有効性評価シナリオ「大破断LOCA+全交流動力電源喪失+全ECCS機能喪失(D/Wベント)」
PCVより流入する崩壊熱量	7.2kW
配管内発熱割合 (FP付着割合)	10%/100m
配管外径、板厚	300A, Sch40
配管熱流束	7.7W/m <sup>2</sup>
配管外表面放射率	0.80(酸化鉄相当の放射率※1)
環境温度	120°C

※1：日本機械学会 伝熱工学資料 改訂第5版

評価式の概要は以下の通りとなる。

$$T = (q / h_{se}) + T_{atm} \quad \dots \text{式 (5)}$$

T : 配管外表面温度 (°C)

q : 配管熱流束 (W/m<sup>2</sup>)

h<sub>se</sub> : 配管外表面熱伝達率 (W/(m<sup>2</sup> · K))

T<sub>atm</sub> : 環境温度 (°C)

この式(5)におけるqとh<sub>se</sub>は以下の式で表される。

$$q = Q / S \quad \dots \text{式 (6)}$$

$$h_{se} = h_r + h_{cv} \quad \dots \text{式 (7)}$$

Q : 単位長さあたりの配管内面での発熱量 (W/m)

S : 単位長さあたりの配管外表面積 (m<sup>2</sup>)

h<sub>r</sub> : 放射による配管外表面熱伝達率 (W/(m<sup>2</sup> · K))

h<sub>cv</sub> : 対流による配管外表面熱伝達率 (W/(m<sup>2</sup> · K))

上記の  $h_r$  は以下の式で表される。

$$h_r = \varepsilon \times \sigma \times \left( \frac{(T+273.15)^4 - (T_{atm}+273.15)^4}{(T-T_{atm})} \right) \quad \dots \text{式 (8)}$$

$\varepsilon$  : 配管外表面放射率 (0.80)

$\sigma$  : ステファン・ボルツマン定数 ( $5.67 \times 10^{-8}$  (W/ (m<sup>2</sup> · K<sup>4</sup>)))

$h_{cv}$  については、JIS A 9501 “保温保冷工事施工基準” 付属書 E (参考) 表面温度および表面熱伝達率の算出方法における、垂直平面及び管 (Nusselt の式) 及び水平管 (Wamsler,Hinlein の式) をもとに対流熱伝達率を算出した。垂直管 (式 (9), (10)) と水平管 (式 (11)) とで得られる  $h_{cv}$  を比較し、小さいほうの値を用いることで保守的な評価値を得るようにしている。

$$h_{cv} (\text{垂直管}) = 2.56 \times (T - T_{atm})^{0.25} \quad ((T - T_{atm}) \geq 10\text{K}) \quad \dots \text{式 (9)}$$

$$h_{cv} (\text{垂直管}) = 3.61 + 0.094 \times (T - T_{atm}) \quad ((T - T_{atm}) < 10\text{K}) \quad \dots \text{式 (10)}$$

$$h_{cv} (\text{水平管}) = 1.19 \times \left( \frac{(T - T_{atm})}{D_0} \right)^{0.25} \quad \dots \text{式 (11)}$$

$D_o$  : 配管外径 (m)

これらにより評価した結果、配管外表面温度は約 121°C となる。

以上の結果から、配管内表面温度は配管設計における最高使用温度である 200°C を下回っているため、配管内表面に付着した放射性物質の崩壊熱は、ベントにおける配管の構造健全性に影響を与えることはない。

なお、これらの式を含めた評価については、JIS A 9501において、適用範囲が -180°C ~ 1000°C となっており、適用に対して問題ないことを確認している。また管外径などの寸法にかかる制約条件は規定されていない。

(参考) 配管内面への放射性物質付着量の考え方について

配管内面への放射性物質（エアロゾル）の付着量を設定するにあたっては、NUREG/CR-4551 を参照し、付着量を設定する主要なパラメータとして沈着速度に着目して、配管内面への沈着割合を検討した。

NUREG/CR-4551 “Evaluation of Severe Accident Risks: Qualification of Major Input Parameters MACCS INPUT”<sup>\*1</sup>は、環境拡散評価(MELCOR Accident Consequence Code System : MACCS 計算)についての文献となっており、その評価には、エアロゾル粒子径、エアロゾル粒子密度、対象物の表面粗さで沈着速度を整理した Sehmel のモデルが用いられている。

この Sehmel の沈着速度モデルに基づき、配管内面の表面粗さ 0.001cm( $10\mu\text{m}$ )と粒子密度  $4\text{ g/cm}^3$ を想定した、PCVより放出される粒子径ごとの沈着速度(図1参照)を用いて配管内面への沈着割合(エアロゾルの沈着速度と配管内のベントガス通過時間から算出された、流れているベントガス中のエアロゾルが壁面に到達する割合)を以下のとおり評価した。

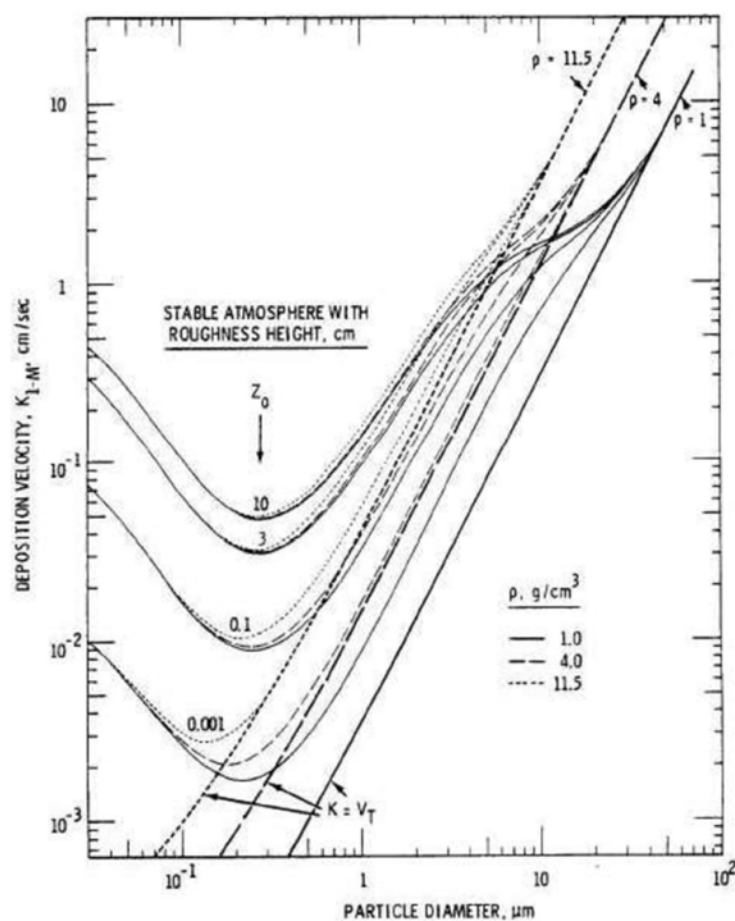


図1 エアロゾル粒子径と沈着速度の関係

評価条件は、島根 2 号炉を対象として、配管長さ 100m、配管内径 600mm 及び 300mm、2 Pd 及び最小流量で排気される蒸気流量を適用する。また、考慮する粒子径分布は「冷却材喪失（大破断 LOCA）+ECCS 注水機能喪失+全交流動力電源喪失）（ドライウェルベント）」（別紙 48（参考 1 図 2））に基づくものとした。

これらの条件から、100m の配管をベントガスが通過する時間を算出し、その時間に粒径ごとの沈着速度を乗じて、ベントガス通過時間中に配管内面方向にどれだけのエアロゾルが移動するかを評価する。この移動した粒子の総和について、ベントガス通過中のエアロゾル総量に対する割合を算出することで沈着割合を評価する。

評価の考え方を図 2 に、評価結果を表 1 に示す。

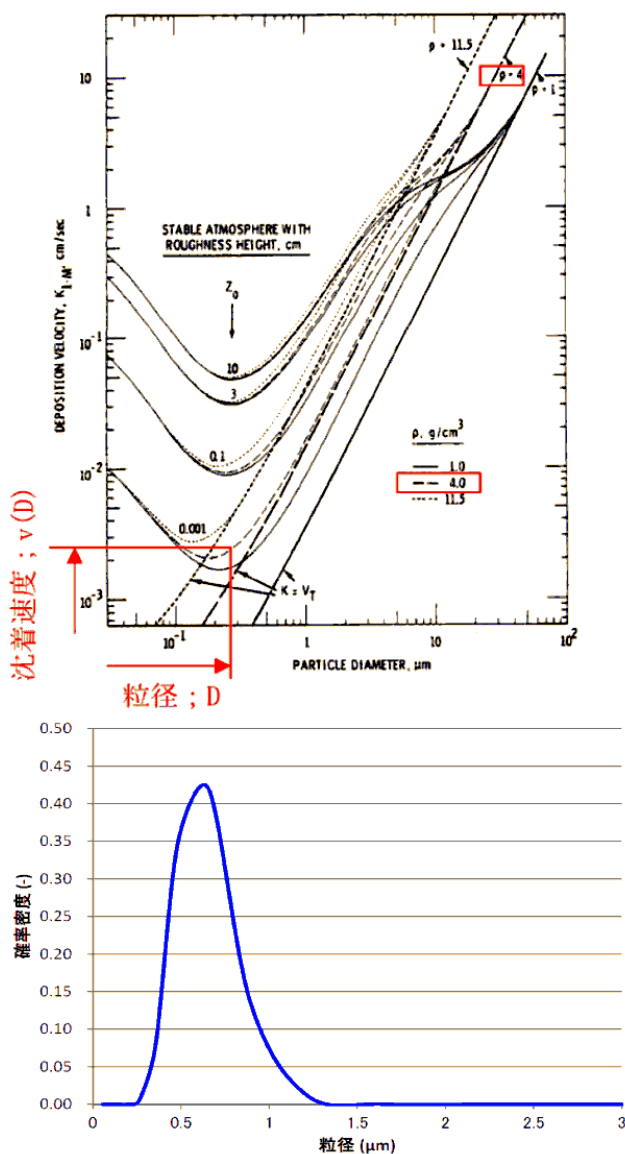


図 2 沈着割合評価の考え方(1/2)

図 1に基づき、粒径分布の確率密度( $P(D)$ )を算出する。

別紙 48（参考 1 図 2）に基づき、各粒径ごとの沈着速度を設定する。

次頁に続く

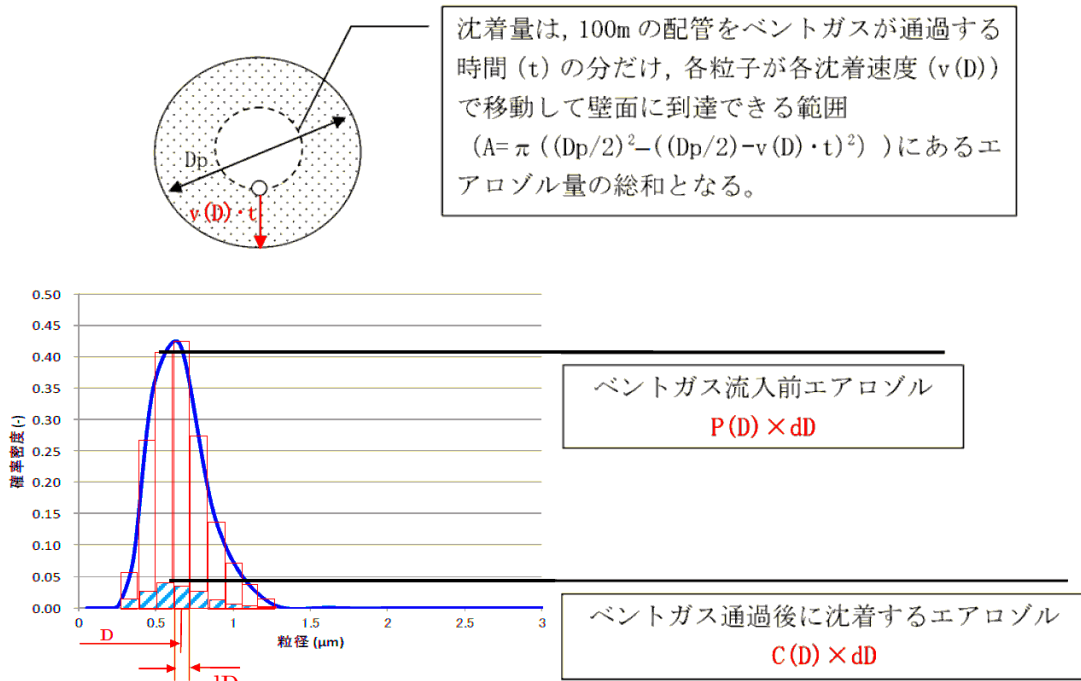


図2 沈着割合評価の考え方(2/2)

上記の関係から、沈着割合 R は以下の式で表される。

$$R = \left( \frac{\sum C(D) \times dD}{\sum P(D) \times dD} \right) \times 100 = \left( \frac{\sum C(D) \times dD}{\sum P(D) \times dD} \right) \times 100 = \left( \frac{\sum C(D)}{\sum P(D)} \right) \times 100$$

ここで、C(D) は以下の式で表される。

$$C(D) = P(D) \times \left( \frac{\pi \left( \frac{D_p}{2} \right)^2 - \pi \left( \left( \frac{D_p}{2} \right) - v(D) \cdot t \right)^2}{\pi \left( \frac{D_p}{2} \right)^2} \right)$$

$$= P(D) \times \left( \frac{\left( \frac{D_p}{2} \right)^2 - \left( \left( \frac{D_p}{2} \right) - v(D) \cdot t \right)^2}{\left( \frac{D_p}{2} \right)^2} \right)$$

表1 排気される蒸気流量に対する沈着割合評価結果

300A配管部

項目	パラメータ	単位	2Pd	最小流量
配管条件	長さ	m	100	
	内径	m	0.3	
沈着条件	沈着速度の分布	cm/s	$2 \times 10^{-3}$ ~ $5 \times 10^{-1}$	
排気条件	蒸気流量	kg/s	17.7	3.1
	蒸気流速	m/s	56.9	42.3
沈着割合	%		0.2	0.3

600A配管部（PCV出口部）

項目	パラメータ	単位	2Pd	最小流量
配管条件	長さ	m	100	
	内径	m	0.6	
沈着条件	沈着速度の分布	cm/s	$2 \times 10^{-3}$ ~ $5 \times 10^{-1}$	
排気条件	蒸気流量	kg/s	17.7	3.1
	蒸気流速	m/s	13.1	10.1
沈着割合	%		0.5	0.6

表1より、最小流量であっても約0.6%の沈着割合となることが評価された。以上を踏まえ、エルボ部などといった部位での沈着量がばらつくことを考慮し、100mあたり10%を配管への沈着割合として放射性物質の付着量を設定する。

※1：“Evaluation of Severe Accident Risks: Qualification of Major Input Parameters MACCS INPUT”， NUREG/CR-4551 Vol. 2 Rev. 1 Pt. 7, 1990

## ステンレス構造材、膨張黒鉛パッキンの妥当性について

スクラビング水接液部に使用するパッキン類には、使用環境（温度、圧力、放射線量、高アルカリ環境）を考慮して膨張黒鉛を選定することとしている。

また、スクラバ容器や入口配管等のスクラビング水の接液部については、容器内部に保有しているスクラビング水の通常状態の性状（高アルカリ性）及び重大事故時に放出される放射性物質の捕集・保持（汚染水の貯蔵）を考慮して、耐食性に優れたステンレス鋼を材料として選定している。

材料選定にあたって考慮した事項について、以下にまとめた。

### (1) ステンレス等構造材の選定根拠について

フィルタ装置や入口配管等のスクラビング水の接液部については、図1に示すように、内部に保有しているスクラビング水の通常状態の性状（高アルカリ性）及び重大事故時に放出される放射性物質の捕集・保持（汚染水の貯蔵）を考慮して、耐食性に優れたステンレス鋼を材料として選定している。

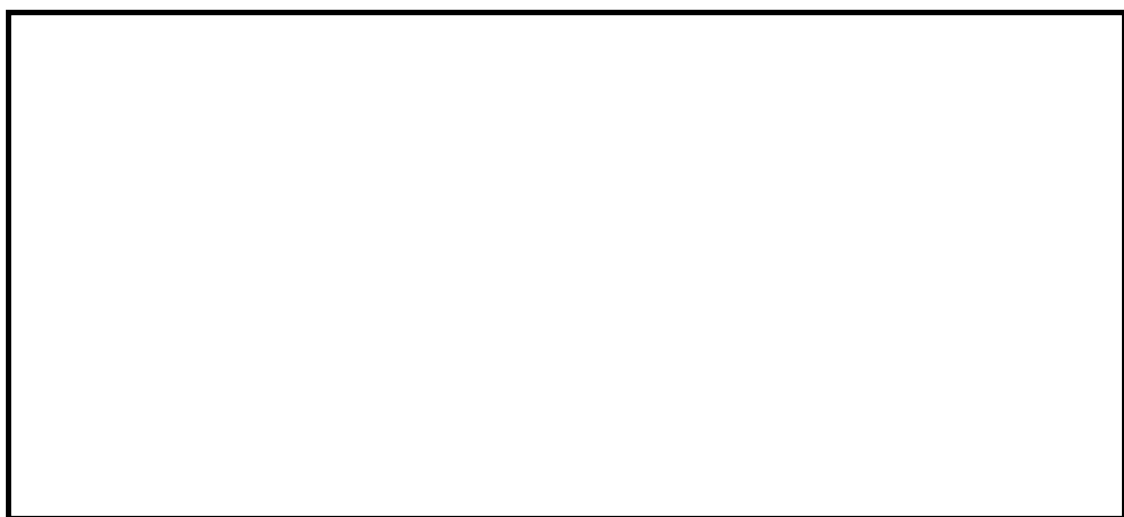


図1 フィルタ装置（スクラバ容器）構造図

スクラビング水はpH [ ] の強アルカリ性であることから、各材料について、全面腐食、局部腐食（孔食、すきま腐食）及び応力腐食割れが想定されるため、これらについて検討する。

本資料のうち、枠囲みの内容は機密に係る事項のため公開できません。

## (2) ステンレス鋼の腐食評価

### a. 全面腐食

全面腐食は、金属表面の全面にわたってほとんど同一の速度で浸食が進む腐食形態である。オーステナイト系ステンレス鋼は、図2に示すように、pH 2以上では不動態化するため、実機のようなアルカリ環境を維持している環境においては全面腐食に対して十分な抵抗性がある。

系統待機時は pH [ ] で水質が維持されることから、不動態化が保てる事となる。

同じオーステナイト系ステンレス鋼であるSUS316L等の適用材料についても同様の傾向を示すことから、全面腐食の発生は考え難い。

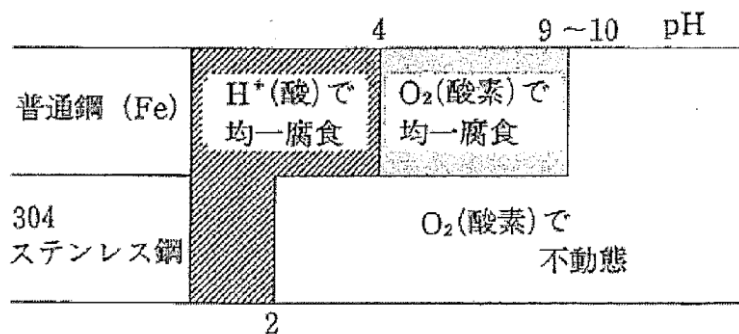


図2 大気中酸素に接する水中環境におけるSUS304の腐食形態とpHの関係（参考図書1）

### b. 孔食

孔食は、ステンレス鋼のように表面に生成する不動態化膜によって耐食性が保たれている金属において、塩化物イオン等の影響で不動態皮膜の一部が破壊され、その部分において局部的に腐食が進行する腐食形態である。

孔食の過程としてはpHの低下によって生じる脱不動態化現象を想定しており、孔食発生の領域は図3に示すように、SUS304ではpH7と比べpH12のほうが狭く、アルカリ環境においては孔食発生のリスクは低減される。同じオーステナイト系ステンレス鋼であるSUS316L等においても同様の傾向となり、実機のような高アルカリを維持している環境では孔食が起こる可能性は低い。

なお、系統待機時はpH [ ] であり、塩化物イオンの濃度も十分低いと考えられるので、孔食は発生しないものと考えられる。

また、無機よう素については、フィルタ装置（スクラバ容器）に移行するものの、その大部分についてはスクラビング水中に捕集されることから、気相部における無機よう素の濃度は非常に低く、ベントガスにO<sub>2</sub>はほとんど含まれないことから、腐食が起こる可能性は低いと考えられる。

本資料のうち、枠囲みの内容は機密に係る事項のため公開できません。

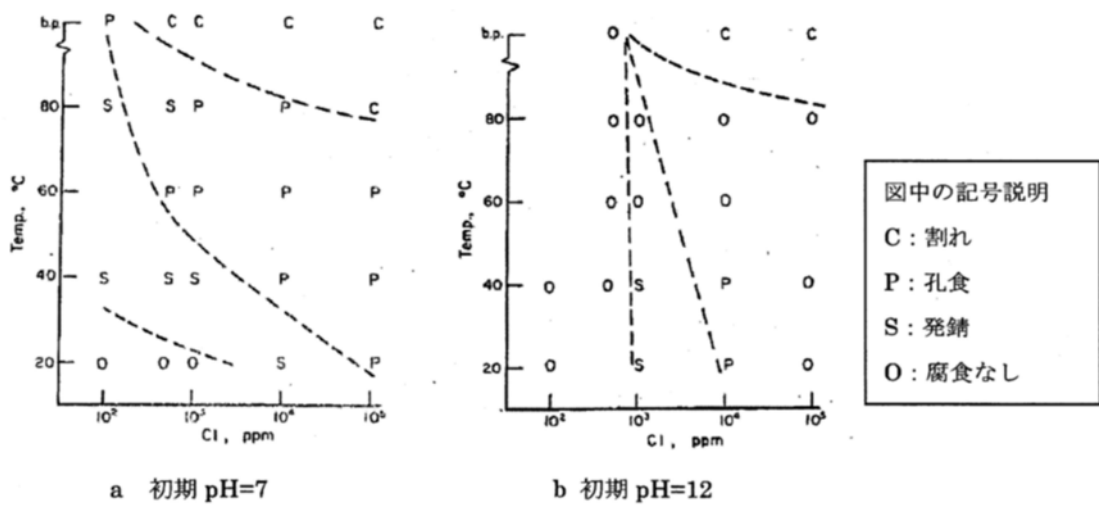


図3 304ステンレス鋼のNaCl溶液中における腐食形態に及ぼす  
塩化物イオン濃度と温度の影響(参考図書2)

### c. すきま腐食

ステンレス鋼表面上の異物付着、構造上のすきま部分において進行する腐食形態であり、その成長過程は孔食と類似している。第4図にSUS304とSUS316の中性環境におけるすきま腐食発生に対する塩化物イオン濃度と温度の影響を示す(参考図書3)。

すきま腐食のすきま部の腐食環境は、孔食の食孔内部の環境に類似しているおり、pHの低下によって生じる脱不動態化現象のために局部的に腐食が進展するが、アルカリ環境では中性環境に比べて孔食の発生リスクが低減されることが前述の図3に示されており、実機のような高アルカリを維持している環境ではすきま腐食が起こる可能性は低い。

同じオーステナイト系ステンレス鋼である SUS316L 等の適用材料についても同様の傾向を示すものと評価する。

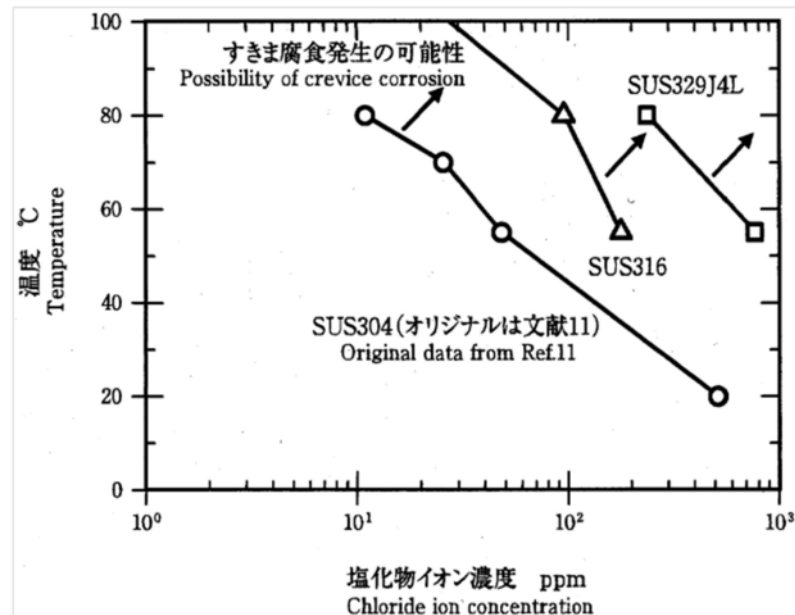


図4 SUS304 と SUS316 の中性環境におけるすきま腐食に対する塩化物イオン濃度と温度の影響

d. 応力腐食割れ (SCC)

腐食性環境におかれた金属材料に引張応力が作用して生ずる割れであり、材料、応力、環境の3要因が重畠した場合に発生する現象である。

[ ] 環境でのステンレス鋼の耐食性の検討は、一般産業の分野で豊富な実績があり、その一例を図5に示す。スクラビング水に添加する [ ] であるため、SUS304 及び SUS316 に SCC が発生するとしている領域から大きく外れており、SCC が発生する可能性は低い。

本資料のうち、枠囲みの内容は機密に係る事項のため公開できません。

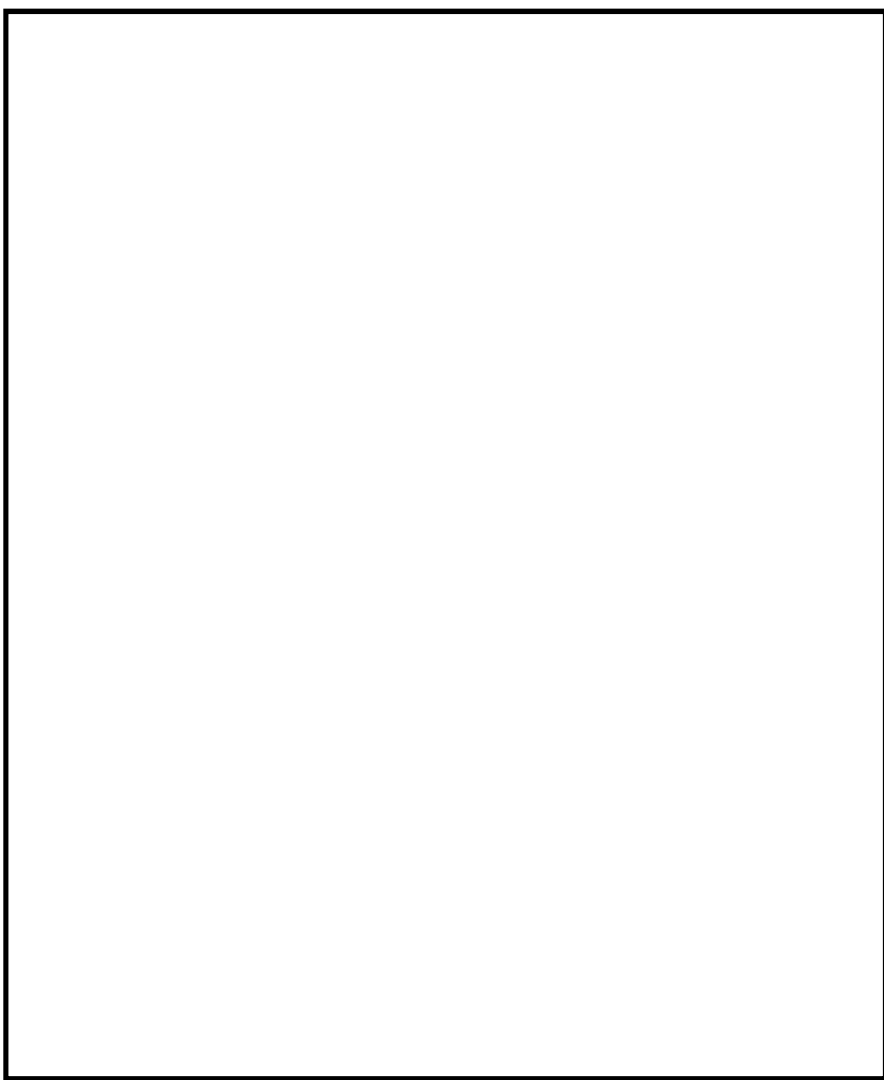


図 5 SUS316 の [REDACTED] の耐食性（参考図書 4）

また、図 6 に [REDACTED] における SUS304 の低ひずみ速度試験 (SSRT) 結果を示す。本試験における [REDACTED] である。

この試験で観察された SCC は粒界型応力腐食割れ (IGSCC) であり、銳敏化していない試験片では IGSCC の発生は認められていない。この IGSCC は銳敏化による耐食性の低下が原因となって生ずるもので、銳敏化を起こし難い材料の採用によって防止可能である。

実機においては、低炭素ステンレス鋼である SUS316L 等のような銳敏化し難い材料を使用していることから、[REDACTED] で IGSCC が生じる可能性は低い。

[REDACTED]  
本資料のうち、枠囲みの内容は機密に係る事項のため公開できません。

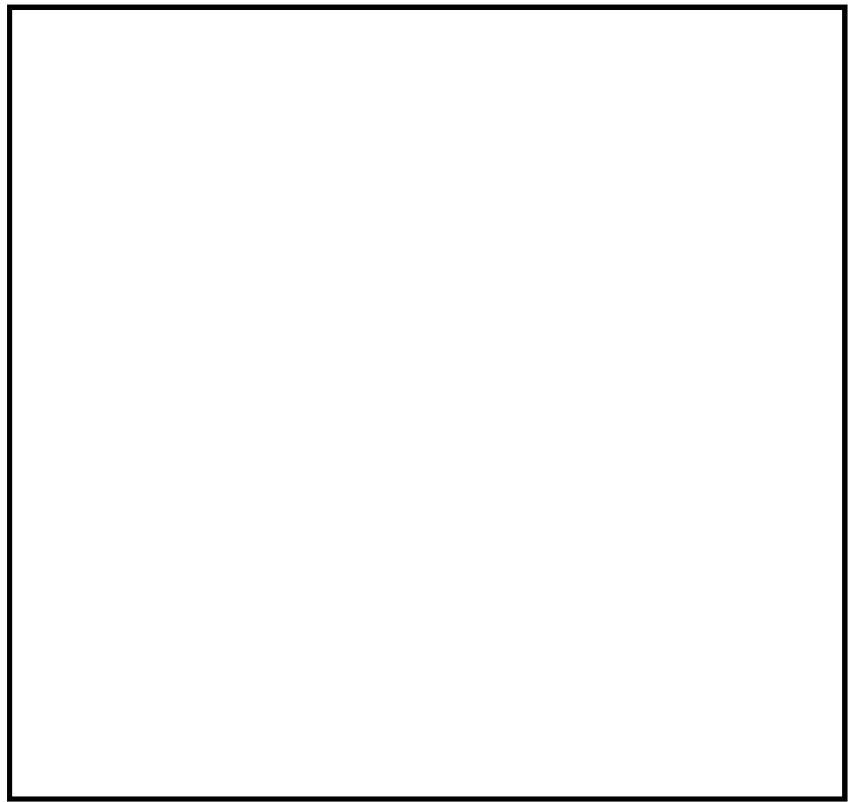
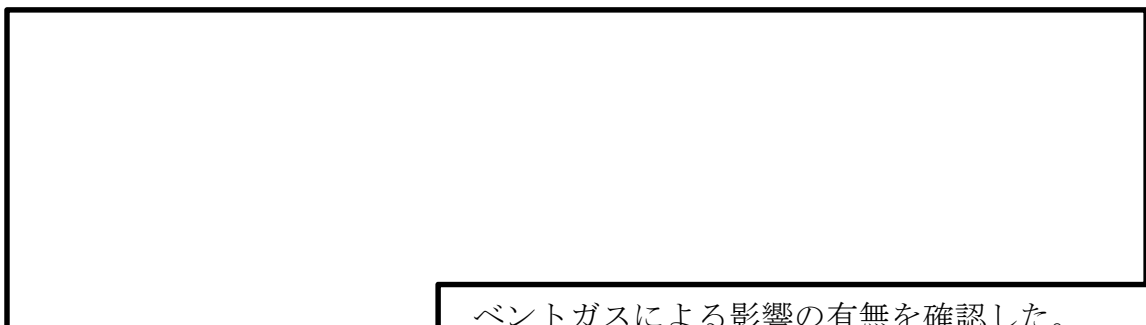


図 6 [REDACTED]における304ステンレス鋼のSSRT結果  
(参考図書5)

(3) ベンチュリノズルの耐エロージョン性

- a. JAVA PLUS 試験時に使用したベンチュリノズルの確認



[REDACTED] ベントガスによる影響の有無を確認した。

[REDACTED] 本資料のうち、枠囲みの内容は機密に係る事項のため公開できません。

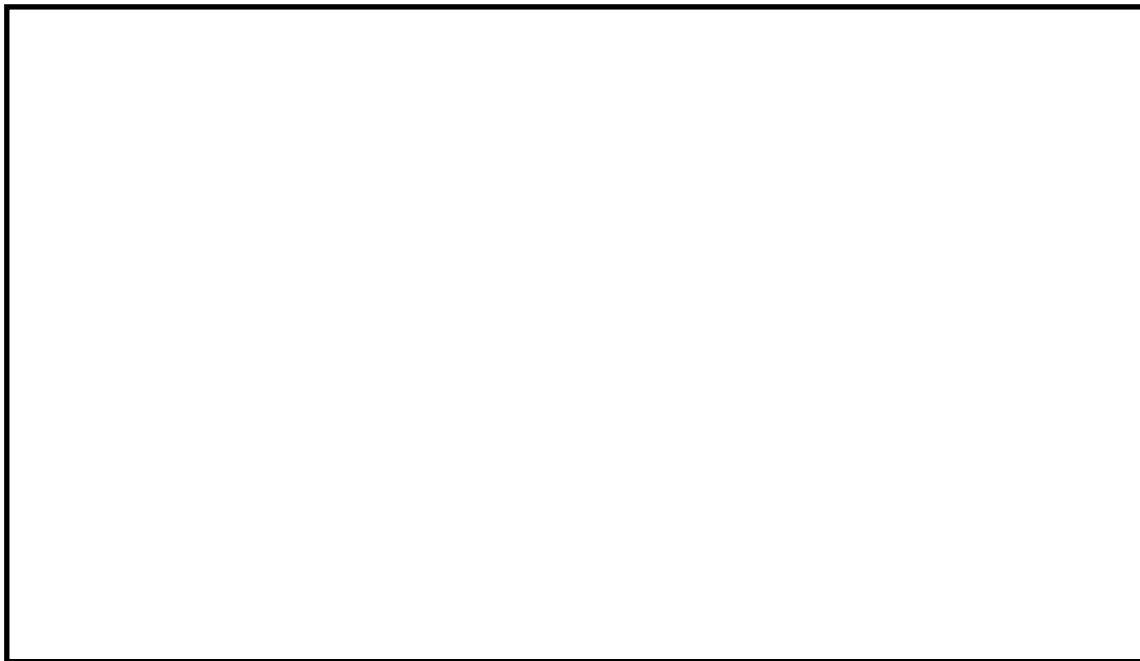


図7 ベンチュリノズル内面観察部位

ベンチュリノズル内面観察部位及び結果を図7, 表1に示す。

液滴衝撃エロージョンは蒸気とともに加速されるなどして高速となった液滴が、配管等の壁面に衝突したときに、局部的に大きな衝撃力を発生させ、それにより配管等の表面の酸化膜や母材が侵食される現象である。液滴衝撃エロージョンは非常に進展の速い減肉の一種であることから、発生ポテンシャルがあれば、表1に示す [REDACTED] のと考えられる。

したがって、ベンチュリノズルは液滴衝撃エロージョンを含む実際のベント環境に対して十分な耐性がある。

本資料のうち、枠囲みの内容は機密に係る事項のため公開できません。

表1 ベンチュリノズル内面観察結果

部位	未使用品	使用後
①		
②		
③		
④		
⑤		

本資料のうち、枠囲みの内容は機密に係る事項のため公開できません。

b. ベントガス流速におけるエロージョン発生の評価

(a) 評価部位

ベンチュリノズルのように高速で流体が流れる部位の減肉モードとしては、流れ加速型腐食及び液滴衝撃エロージョンが対象となるが、

液滴衝撃エロージョンは、高速の液滴が壁面に衝突し、発生する衝撃力によって壁面が局所的に減肉する現象であり、ある一定の衝突速度以上の場合において、液滴の衝撃速度が速いほど、また、衝突角度が90度に近いほど減肉が発生しやすい。

図8に示すように、ベンチュリノズルは、

液滴衝撃エロージョンの発生は考え難い。

(b) 液滴の衝突速度

液滴の衝突速度は、

液滴が衝突する速度を以下の式を用いて算出した。計算に用いるベンチュリノズル部におけるガス流速は、流速が速いほど液滴衝撃エロージョンが発生しやすいことから、島根原子力発電所2号炉の運転範囲における最大値である    とした。

本資料のうち、枠囲みの内容は機密に係る事項のため公開できません。

### (c) 評価結果

ベントガス流速は、[REDACTED]で算出し  
た場合は約[REDACTED]で算出し  
た場合は約[REDACTED]となり、「発電用設備規格 配管減肉管理に関する規格  
(2005年度版)(増訂版) JSME S CA1-2005」によるステンレス鋼のエロージョン限界流速である70 m/sを下回っており、液滴衝撃エロージョンの発生は考えられない。

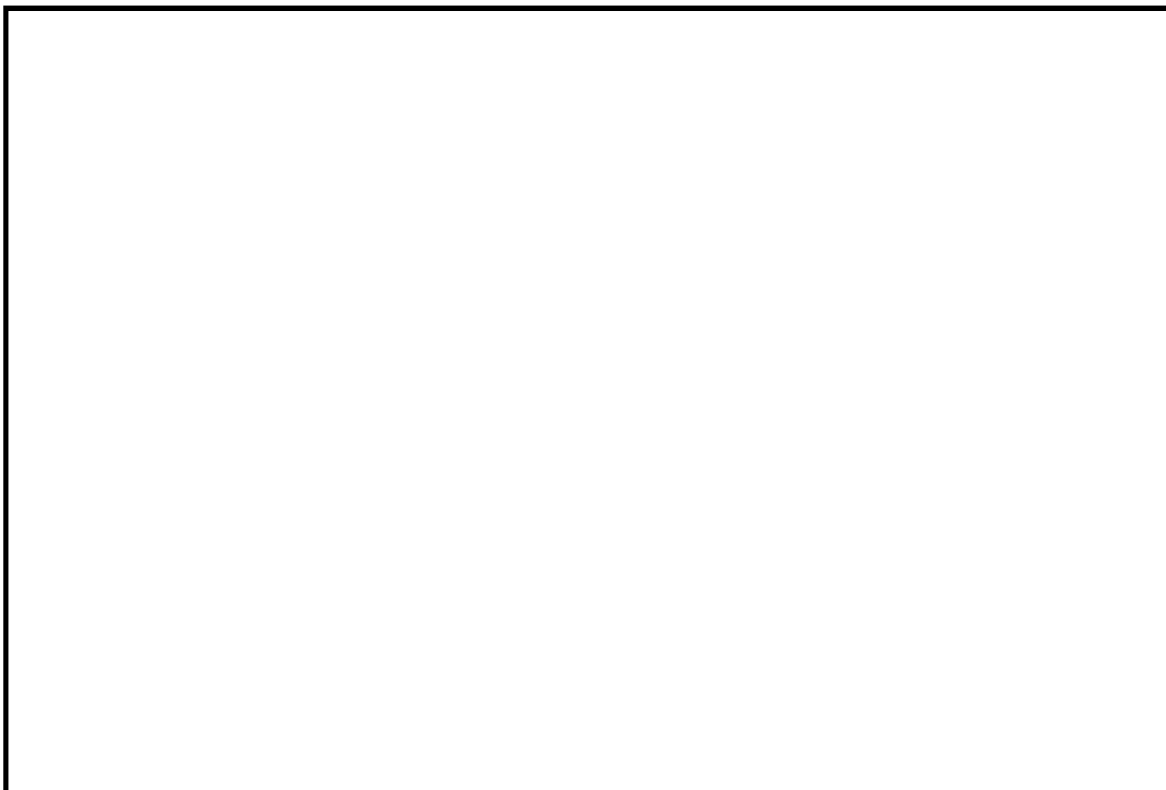


図8 ベンチュリノズル内のガスの流路について

### (4) 黒鉛パッキン類の選定根拠について

格納容器フィルタベント系に使用する弁等には、耐漏えい性確保のため、使用環境(温度、圧力、放射線量、高アルカリ環境)を考慮して膨張黒鉛系のパッキン、ガスケットを使用する。

膨張黒鉛については、有機系(ゴム又は樹脂)シール材に比較して、十分な耐熱性、耐放射線性能、耐アルカリ性の特性を有しており、0.8MGyの放射線照射後による400°Cの熱劣化試験においてもシール性能が確保できる安定性の高いシール材である。

黒鉛パッキン類の選定にあたっては、格納容器フィルタベント系の最高使用温度200°C、最高使用圧力853kPaの使用環境に応じ、十分な耐性を有するものを選定することとしている。

本資料のうち、枠囲みの内容は機密に係る事項のため公開できません。

また、メーカーの試験実績より [REDACTED] の照射に対しても機械的性質に変化はみられないことが確認されており、無機物であることから十分な耐放射線性も有し、アルカリ溶液にも耐性があり、100%の [REDACTED] に対しても適用可能である。

劣化については、黒鉛の特性として、400°C以上の高温で酸素雰囲気下では酸化劣化が進むため、パッキンが痩せる（黒鉛が減少する）ことでシール機能が低下することが知られているが、格納容器フィルタベント系を使用する環境は200°C以下であることから、酸化劣化の懸念はない。

したがって、膨張黒鉛パッキンは系統待機時、ベント時のいずれの環境においても信頼性があるものと評価する。

#### 〈参考図書〉

1. 腐食・防食ハンドブック，腐食防食協会編，平成12年2月
2. J. E. Truman, "The Influence of chloride content, pH and temperature of test solution on the occurrence of cracking with austenitic stainless steel", Corrosion Science, 1977
3. 宮坂松甫：荏原時報，腐食防食講座－海水ポンプの腐食と対策技術（第5報），No. 224, 2009年
4. ステンレス鋼便覧 第3版 ステンレス協会編
5. 電力中央研究所報告，研究報告：280057，“チオ硫酸ナトリウム水溶液中におけるSUS304ステンレス鋼のSCC挙動”財団法人電力中央研究所 エネルギー・環境技術研究所，昭和56年10月
6. 発電用設備規格 配管減肉管理に関する規格（2005年度版）（増訂版）JSME S CA1-2005

[REDACTED]  
本資料のうち、枠囲みの内容は機密に係る事項のため公開できません。

## スクラビング水の保有水量の設定根拠について

### (1) スクラバ容器水位の設定の考え方

ベント運転に伴いスクラバ容器内の水位は変動するが、その変動水位がフィルタ装置の性能維持を保証する上限・下限水位の範囲に収まるよう、系統待機モードにおけるスクラバ容器水位の管理値を設定している。スクラバ容器水位の管理値を図1に示す。

スクラバ容器内の水位挙動は、ベント運転直後のスタートアップ期間とその後のベント運転中で異なる挙動を示す。スタートアップ期間は、スクラビング水、容器鋼材及び配管の昇温に伴うベントガス中の蒸気の凝縮によりスクラバ容器水位は上昇する。また、ベント運転中は、スクラビング水に捕集される放射性物質の発熱（スクラバ容器内発熱量）及びスクラバ容器に流入するベントガスの入熱とスクラバ容器及び配管からの放熱のバランスにより水位が変動する。

系統待機モードにおけるスクラバ容器水位の管理値（水位高、水位低）は、以下のとおり設定・確認をしている。

a . 水位高設定値

水位高設定値は、ベント運転直後のスタートアップ期間における凝縮による水位上昇を考慮して上限水位に至らないことを以下のとおり確認し、設定している。

本資料のうち、枠囲みの内容は機密に係る事項のため公開できません。

b. 水位低設定値

水位低設定値は、系統設計条件であるスクラバ容器内発熱量（370kW）における蒸発による水位低下が24時間以上継続しても、下限水位に至らないことを確認し、設定している。

本資料のうち、枠囲みの内容は機密に係る事項のため公開できません。

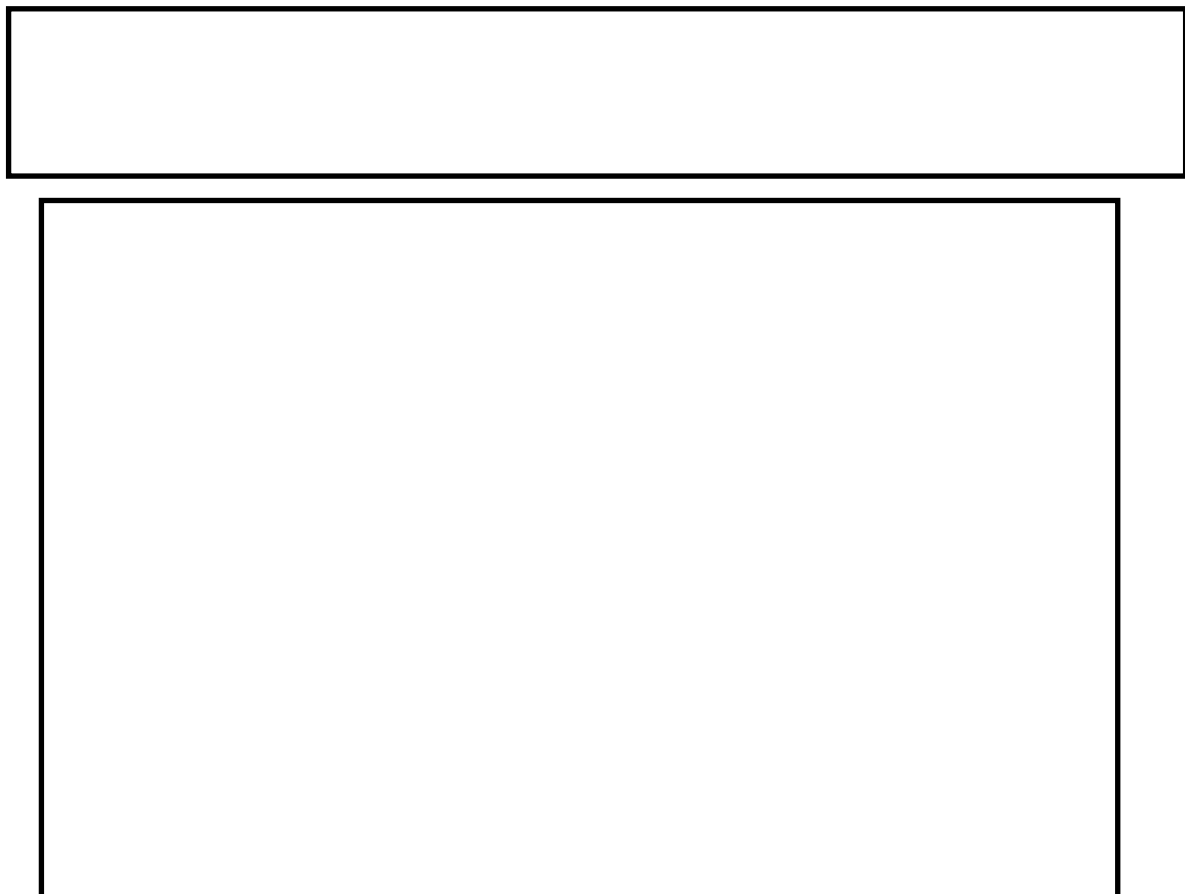


図1 スクラバ容器水位の管理値

(2) ベント運転中の水位挙動（有効性評価ベース）

有効性評価のうち格納容器過圧・過温破損モード（大LOCA+SBO+ECCS機能喪失）におけるスクラバ容器内発熱量を用いた水位挙動の評価を以下に示す。



本資料のうち、枠囲みの内容は機密に係る事項のため公開できません。

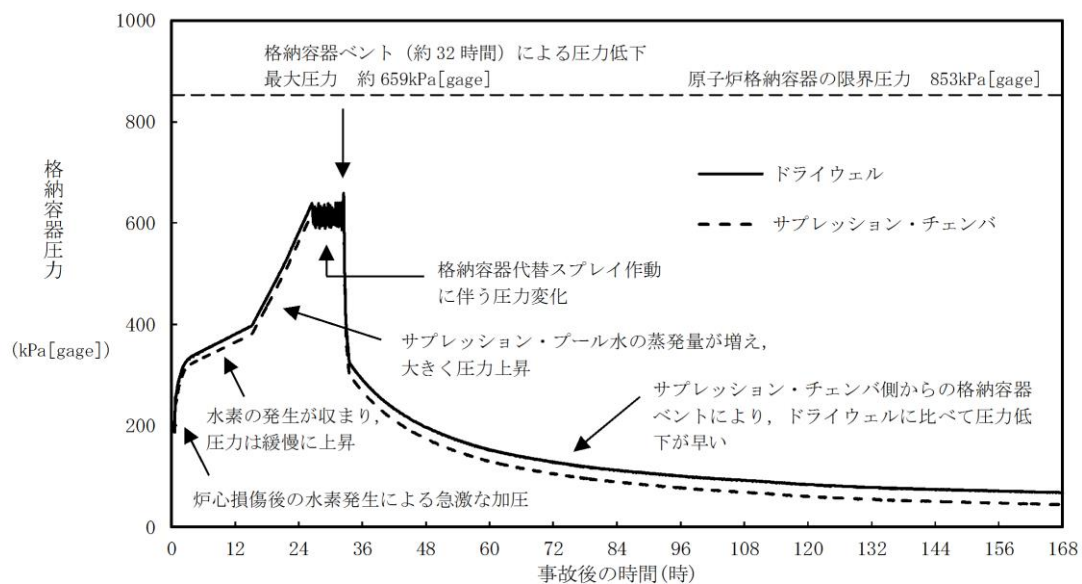


図 2 ベント時の格納容器圧力推移

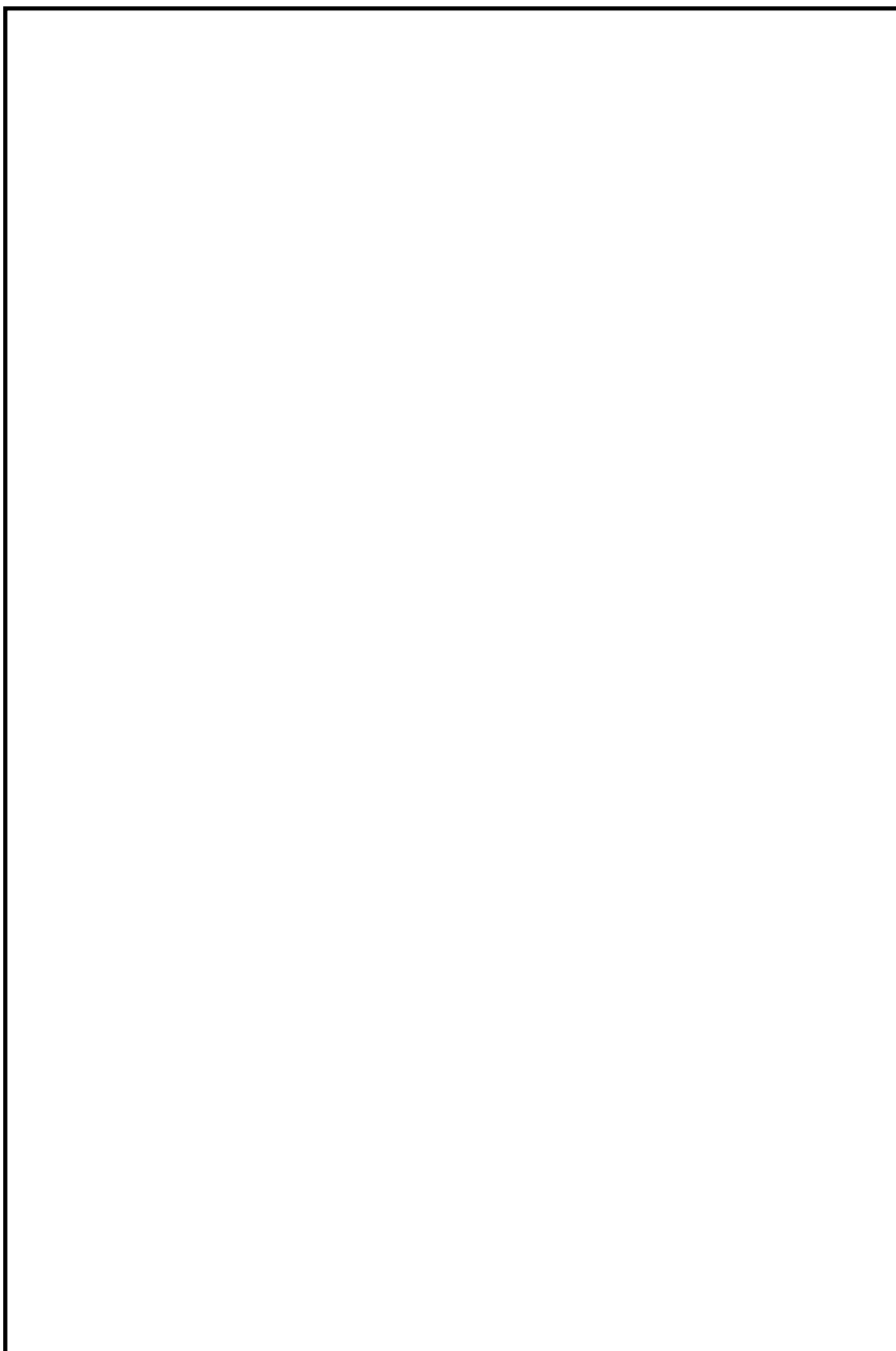


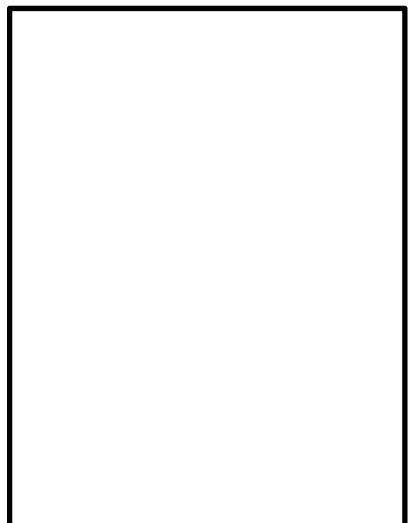
図3 スクラビング水位挙動（大LOCA+SB0+ECCS機能喪失事象）

本資料のうち、枠囲みの内容は機密に係る事項のため公開できません。

(参考) スクラビング水の下限水位の設定について

スクラビング水位について、ベンチュリノズルの頂部まで水位があれば、設計上期待しているDFが確保できることを以下のとおり確認した。

ベンチュリスクラバは、図1のようにスクラビング水を微小液滴にしてベントガス中に噴霧させることで除去効率を上げている。



- ①ベンチュリノズル下方よりベントガスが流入
- ②スロート部でベントガス流速が増大
- ③スクラビング水がベントガス中に噴霧(微小液滴)
- ④ガスとスクラビング水が接触する面積が大きくなり除去効率が上がる
- ⑤ベントガス及び液滴は方向を変えられ、スクラビング水中に斜め下に排出

図1 ベンチュリスクラバにおける除去原理

#### ①エアロゾルのDFについて

- ・ベンチュリスクラバ内のガス流速と水滴速度が異なることで、ガス中のエアロゾルが水滴に衝突し水滴に付着する現象を用いたものであることから、慣性衝突による除去が支配的と考えられる。
- ・そのメカニズムから、DFに影響するのはガス流速及びエアロゾル粒径であり、水位はベンチュリスクラバによるエアロゾル除去原理が有効となるベンチュリノズル上端以上であればよい。
- ・JAVA試験によるエアロゾルのDFの結果を図2及び図3に示す。図に示すとおり、様々なガス流速と質量中央径が異なるエアロゾルで試験が行われているが、ガス流速及び質量中央径によるDFへの有意な影響は見られず、スクラビング水位をベンチュリノズル上端とした試験においても、設計条件DF 1,000 以上を十分に確保できている。

本資料のうち、枠囲みの内容は機密に係る事項のため公開できません。

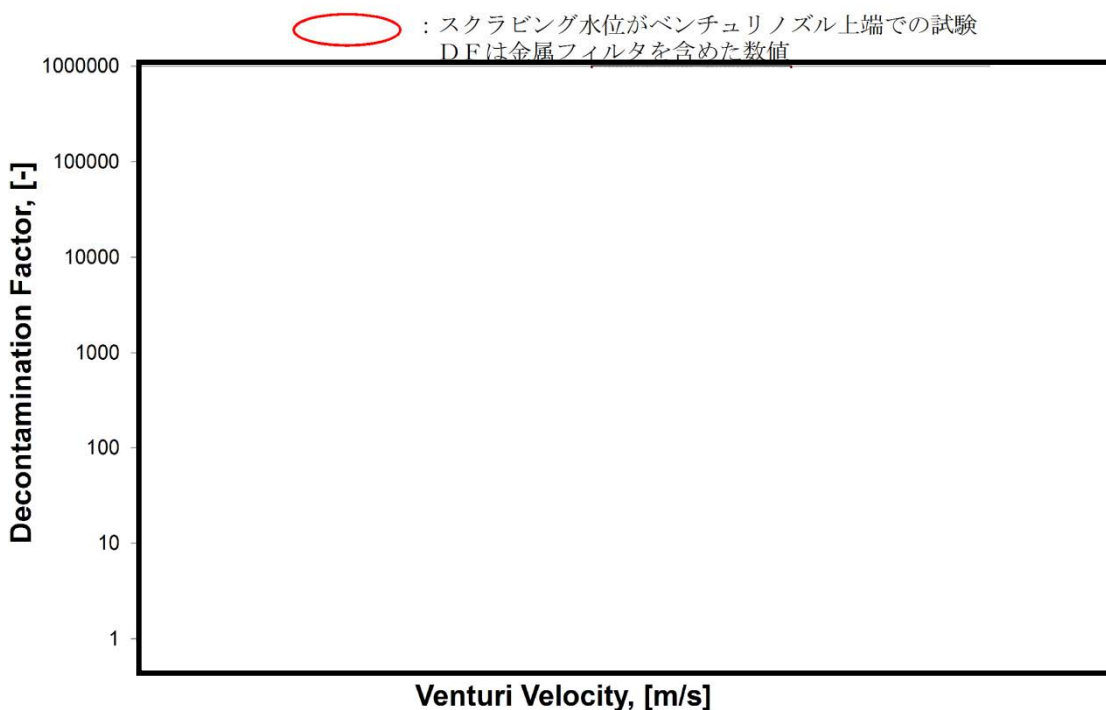


図2 ベンチュリノズル部におけるガス流速に対する除去係数

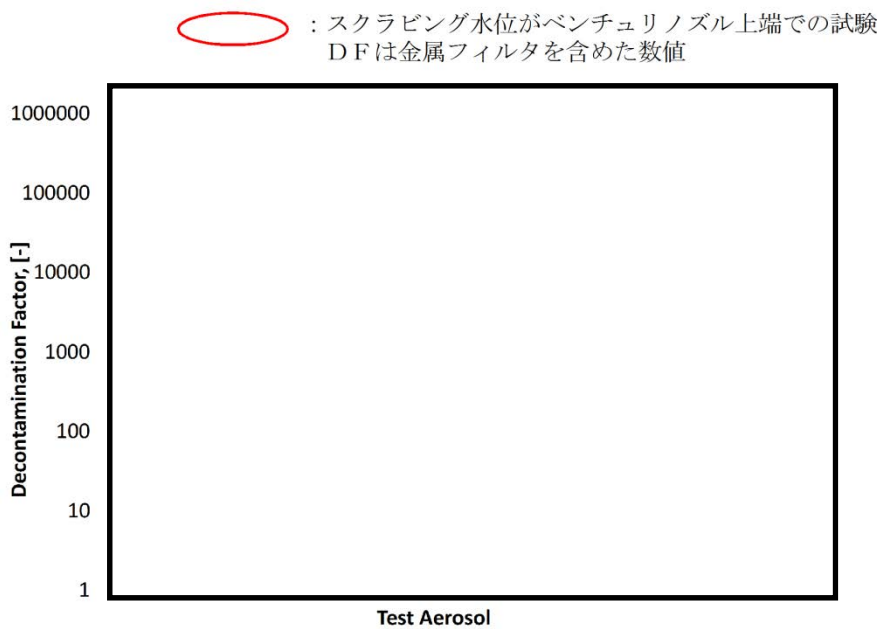


図3 エアロゾル粒径に対する除去係数

## ②無機よう素のD Fについて

- ・スクラビング水に添加された薬剤との化学反応により非揮発性のよう素イオンに変化させ、スクラビング水中に捕集・保持することから、スクラビング水のpHがD Fに影響する主要なパラメータであり、水位はベンチュリスクラバによる除去原理が有効となるベンチュリノズル上端以上であればよい。

本資料のうち、枠囲みの内容は機密に係る事項のため公開できません。

- JAVA 試験による無機よう素のDFの結果を図4に示す。スクラビング水位がベンチュリノズル上端となっている試験は、無機よう素の捕集の観点から厳しい条件である低pHにおいても、設計条件DF100以上を確保できている。

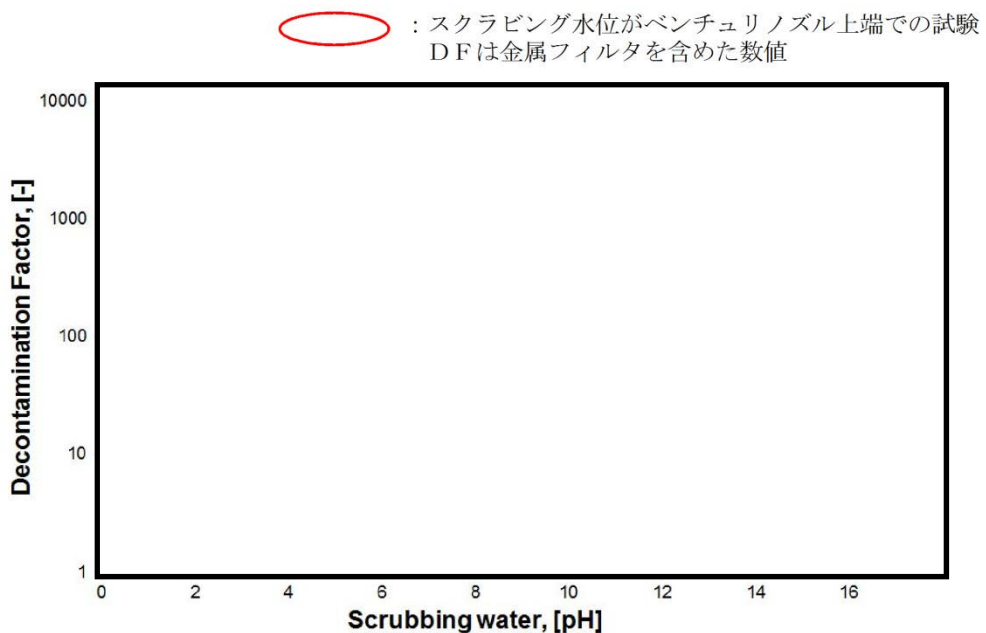


図4 pHに対する無機よう素の除去係数

したがって、スクラビング水位の下限水位をベンチュリノズル上端とすることは適切と考える。

実運用における系統待機時（通常時）のスクラビング水位は、ベンチュリノズルの上端（300mm）を十分に上回る1,700mmとし、FPが多く流入するベント開始初期のスクラビング水位を十分に確保し、ベント中においても、スクラビング水位800mm以上を確保するようスクラビング水を補給する運用とする。

スクラビング水のpHについては、

であることを確認し、ベント中におけるスクラビング水のアルカリ性を維持する運用とする。

本資料のうち、枠囲みの内容は機密に係る事項のため公開できません。

(参考) スクラビング水スロッシングの影響について

格納容器フィルタベント系であるスクラバ容器について、地震時にスロッシングが発生することで、スクラビング水が金属フィルタ下端まで到達する可能性がある。そこで、保守的な評価となるハウスナー理論を用いてスロッシング高さを評価した。

ハウスナー理論により、スロッシング高さ  $d_{\max}$  は以下のように算出できる。

$$d_{\max} = \frac{0.408 \cdot R \cdot \coth(1.84 \frac{h}{R})}{\frac{g}{\omega_N^2 \cdot \theta_h \cdot R} - 1} = \boxed{\quad} [mm]$$

ここで、

$$\cdot \omega_N = \sqrt{\frac{1.84}{R} \cdot g \cdot \tanh(1.84 \frac{h}{R})} = \boxed{\quad} [s^{-1}]$$

$$\cdot \theta_h = 1.534 \cdot \frac{S_A}{\omega_N^2 \cdot R} \cdot \tanh(1.84 \frac{h}{R}) = \boxed{\quad}$$

・ R : スクラバ容器半径（内径）  
 $\boxed{\quad}$  [mm]

・ h : スクラビング水上限水位  
 $\boxed{\quad}$  [mm]

・ g : 重力加速度 9806.65 [mm/s<sup>2</sup>]

・ S<sub>A</sub> : 応答加速度  
 $\boxed{\quad}$  [mm/s<sup>2</sup>]

(評価用地震動 (2×Ss-1) に基づき保守的に設定)

金属フィルタは上限水位から  
 $\boxed{\quad}$  mm 上方に設置しており、スロッシング高さは最大でも  
 $\boxed{\quad}$  mm と算出されることから、スクラビング水は金属フィルタ下端まで到達しないと評価できる。

評価結果を図1に示す。

また、スクラビング水位が下限水位の場合についても、上記と同様に評価を実施した結果を以下に示す。

$$d_{\max} = \frac{0.408 \cdot R \cdot \coth(1.84 \frac{h}{R})}{\frac{g}{\omega_N^2 \cdot \theta_h \cdot R} - 1} = \boxed{\quad} [mm]$$

本資料のうち、枠囲みの内容は機密に係る事項のため公開できません。

ここで、

$$\cdot \omega_N = \sqrt{\frac{1.84}{R} \cdot g \cdot \tanh\left(1.84 \frac{h}{R}\right)} = \boxed{\phantom{000}} [s^{-1}]$$

$$\cdot \theta_h = 1.534 \cdot \frac{S_A}{\omega_N^2 \cdot R} \cdot \tanh\left(1.84 \frac{h}{R}\right) = \boxed{\phantom{000}}$$

- R : スクラバ容器半径（内径）  
 [mm]
- h : スクラビング水下限水位  
 [mm]
- g : 重力加速度 9806.65 [mm/s<sup>2</sup>]
- S<sub>A</sub> : 応答加速度  
 [mm/s<sup>2</sup>]

(評価用地震動 (2×Ss-1) に基づき保守的に設定)

ベンチュリノズルの一部が気相部に露出するものの、露出している時間は格納容器ベント実施期間と比較して非常に小さく、ベンチュリスクラバの後段には金属フィルタも設置していることから、格納容器ベントにより放出される放射性物質のトータル量に影響を与えるものではないと考える。

評価結果を図2に示す。

本資料のうち、枠囲みの内容は機密に係る事項のため公開できません。

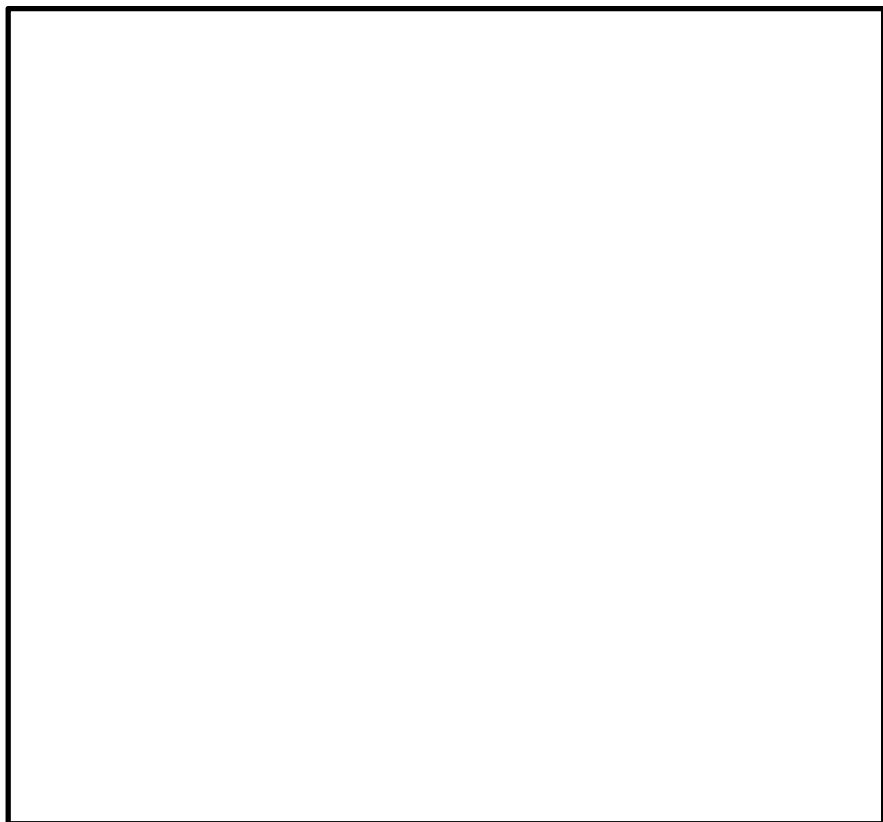


図1 スクラビング水スロッシング評価結果（上限水位）



図2 スクラビング水スロッシング評価結果（下限水位）

本資料のうち、枠囲みの内容は機密に係る事項のため公開できません。

## フィルタ装置の各構成要素における機能について

フィルタ装置は、①ベンチュリスクラバ、②金属フィルタ、③銀ゼオライトフィルタの3つのセクションで構成され、その構成要素は以下のとおりである。フィルタ装置（スクラバ容器）の機能模式図を図1、フィルタ装置の概略構造図を図2に示す。

- ① ベンチュリスクラバ・・・ベンチュリノズル、スクラビング水、多孔板
- ② 金属フィルタ・・・プレフィルタ、湿分分離機構、メインフィルタ
- ③ 銀ゼオライトフィルタ・・・銀ゼオライト

※ ②、③の間・・・流量制限オリフィス

ベントガスは、ベンチュリスクラバ（①）でまず処理され、ベントガスに含まれるエアロゾル及び無機よう素の大部分が、スクラビング水中への保持により捕集される。さらに、金属フィルタ（②）では、①では捕集しきれなかったエアロゾルを捕集する。また、①②及び流量制限オリフィスの後段に設置する銀ゼオライトフィルタ（③）では、ガス状放射性よう素を捕集する。①②はスクラバ容器内に格納し、③は銀ゼオライト容器内に格納する。

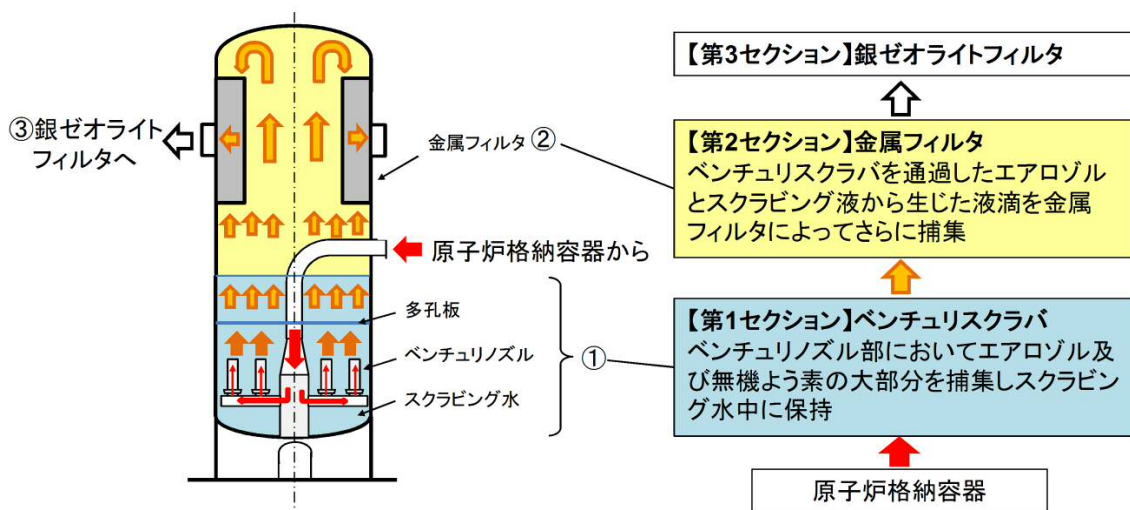


図1 フィルタ装置（スクラバ容器）の機能模式図

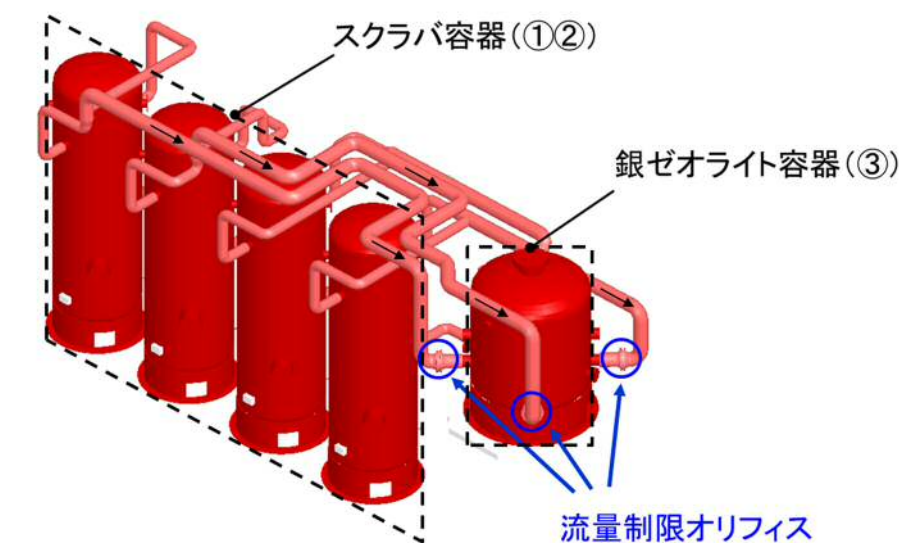
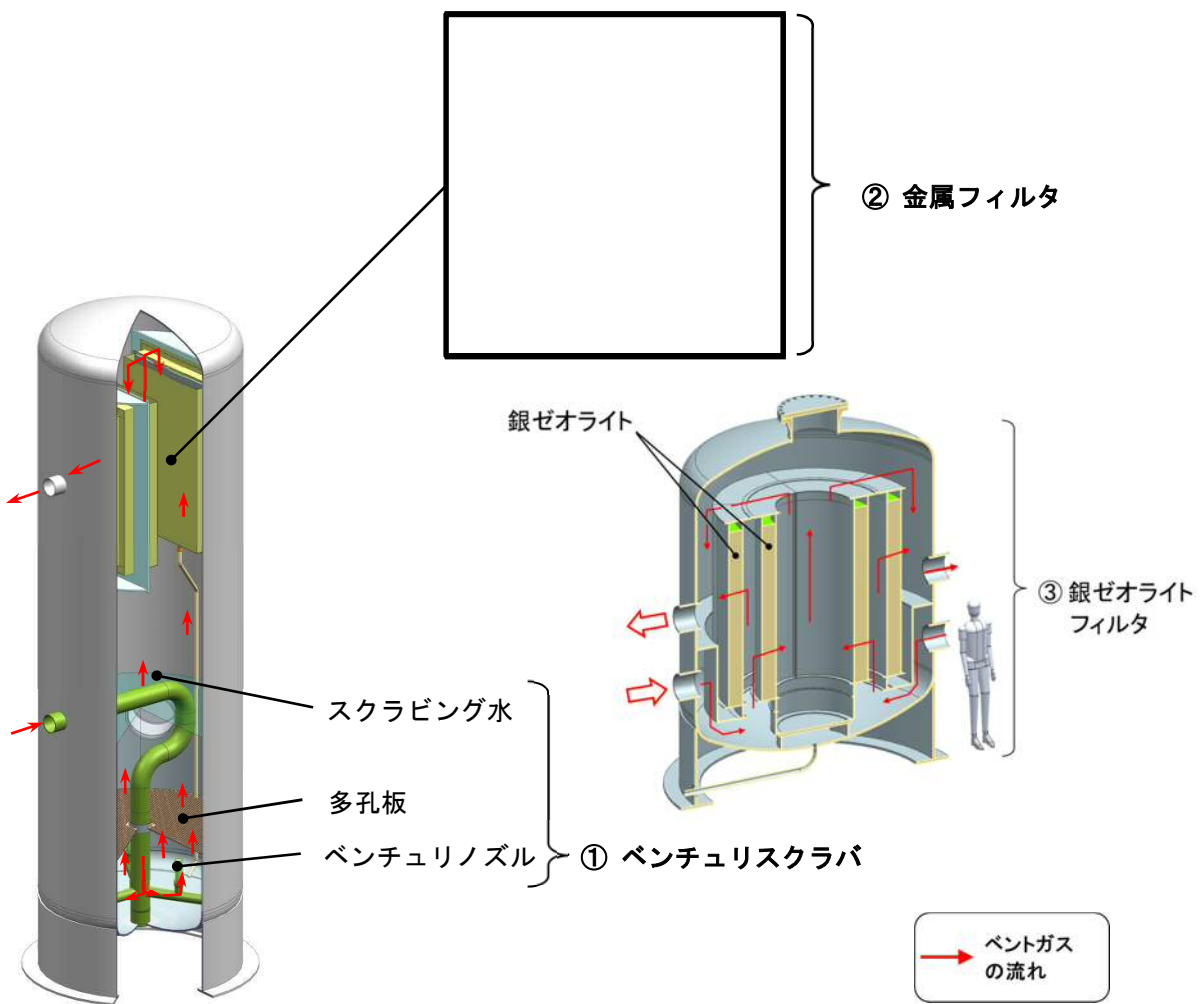
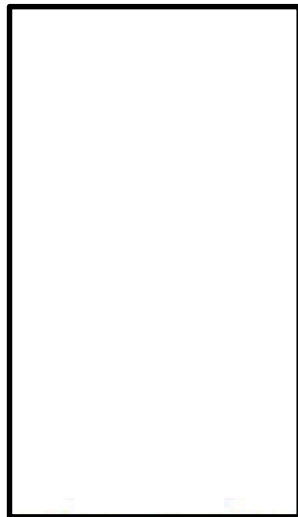
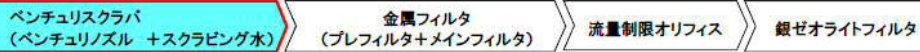


図2 フィルタ装置 概略構造図

本資料のうち、枠囲みの内容は機密に係る事項のため公開できません。

## ①ベンチュリスクラバの機能

1



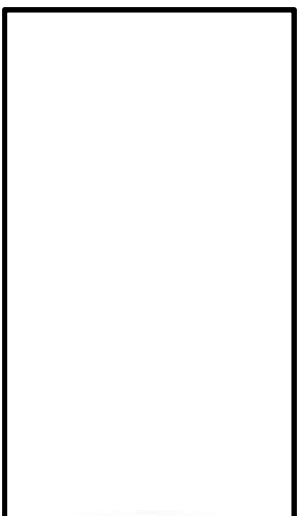
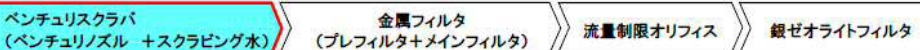
ベンチュリスクラバには以下の機能がある。

- 機能(1)…【エアロゾル、無機よう素の捕集】  
ベンチュリノズルの絞り部からスクラビング水(アルカリ性水溶液)を吸い込み、微細な液滴となったスクラビング水をベントガスと高速で接触させることにより、大部分のエアロゾル及び無機よう素(気体)をスクラビング水中に捕集する。
- 機能(2)…【エアロゾル、無機よう素の保持】  
捕集したエアロゾル及び無機よう素をスクラビング水中に保持する。
- 機能(3)…【崩壊熱の除去】  
放射性物質から発生する熱をスクラビング水の蒸発により大気へ輸送する。

フィルタ装置(スクラバ容器)機能模式図

## ①ベンチュリスクラバの機能(1)【エアロゾルの捕集】

2

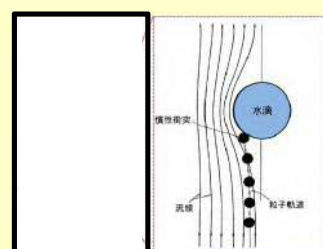


ベンチュリノズルでは、絞り部からスクラビング水を吸い込み、微細な液滴となつたスクラビング水がベントガスと高速で接触することにより、大部分のエアロゾルを捕集する。

- 現象:  
ベンチュリ効果によってスクラビング水をノズル内に吸い込み、ガス流中に液滴を噴霧(いわゆる霧吹き)し、微細な液滴を形成させる。その際に、ベントガスと液滴の速度差により、液滴とベントガス中のエアロゾルが接触し、エアロゾルが液滴内に捕集される。

- 主な原理:  
慣性衝突効果

- 性能への主な影響因子:  
ガス流速、エアロゾル粒径

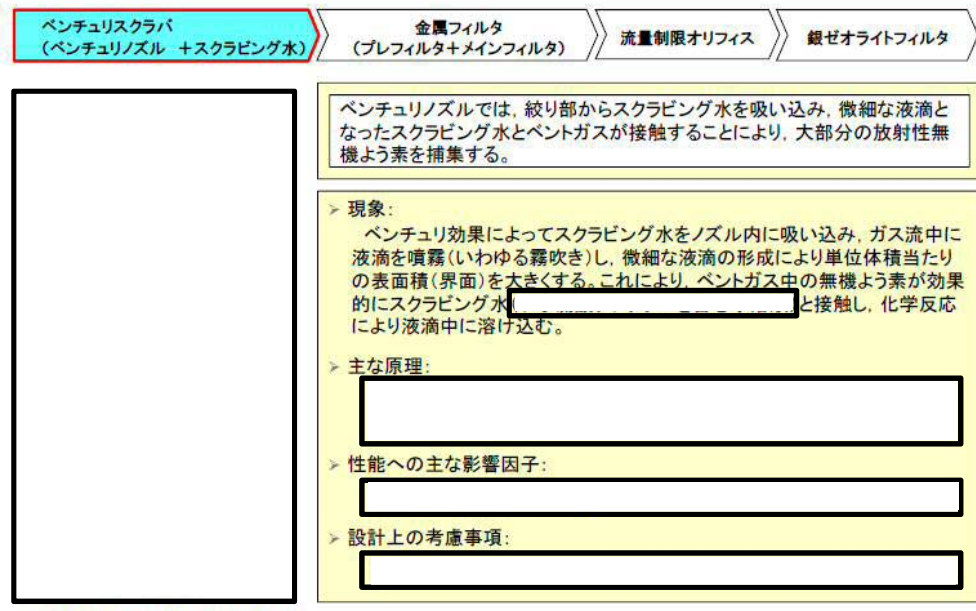


フィルタ装置(スクラバ容器)機能模式図

本資料のうち、枠囲みの内容は機密に係る事項のため公開できません。

## ①ベンチュリスクラバの機能(1)【無機よう素の捕集】

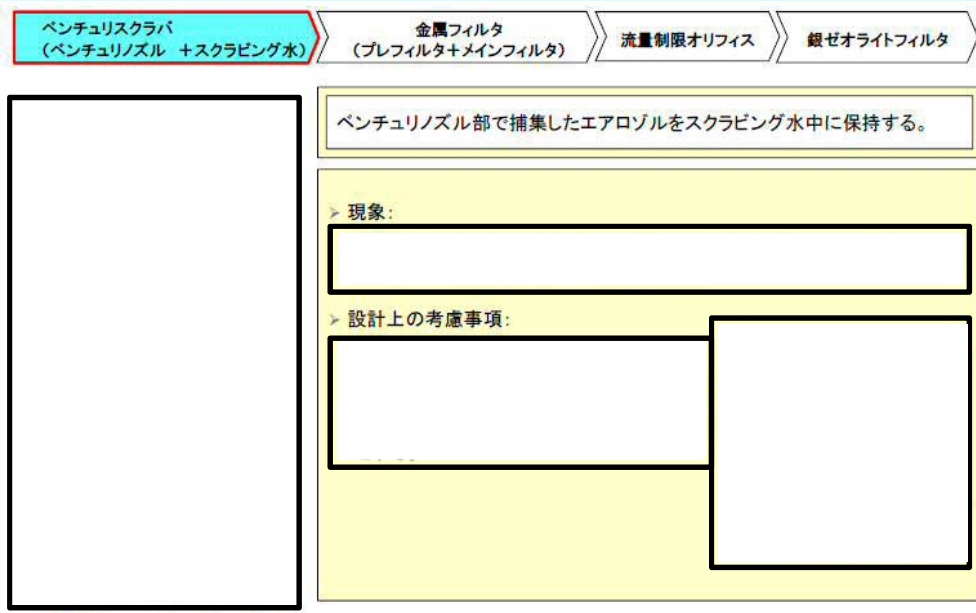
3



フィルタ装置(スクラバ容器)機能模式図

## ①ベンチュリスクラバの機能(2)【エアロゾルの保持】

4



フィルタ装置(スクラバ容器)機能模式図

本資料のうち、枠囲みの内容は機密に係る事項のため公開できません。

## ①ベンチュリスクラバの機能(2)【無機よう素の保持】

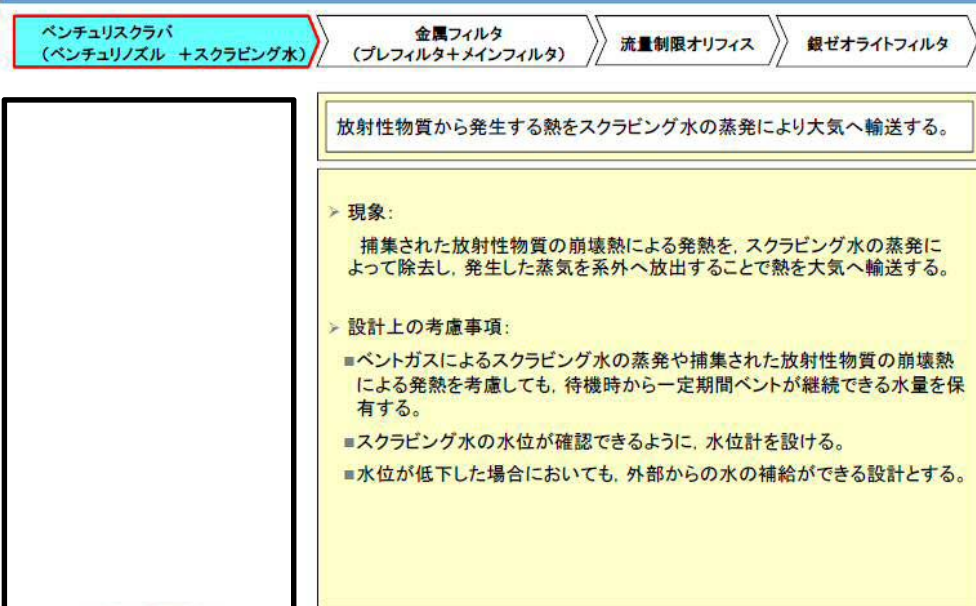
5



フィルタ装置(スクラバ容器)機能模式図

## ①ベンチュリスクラバの機能(3)【崩壊熱の除去】

6

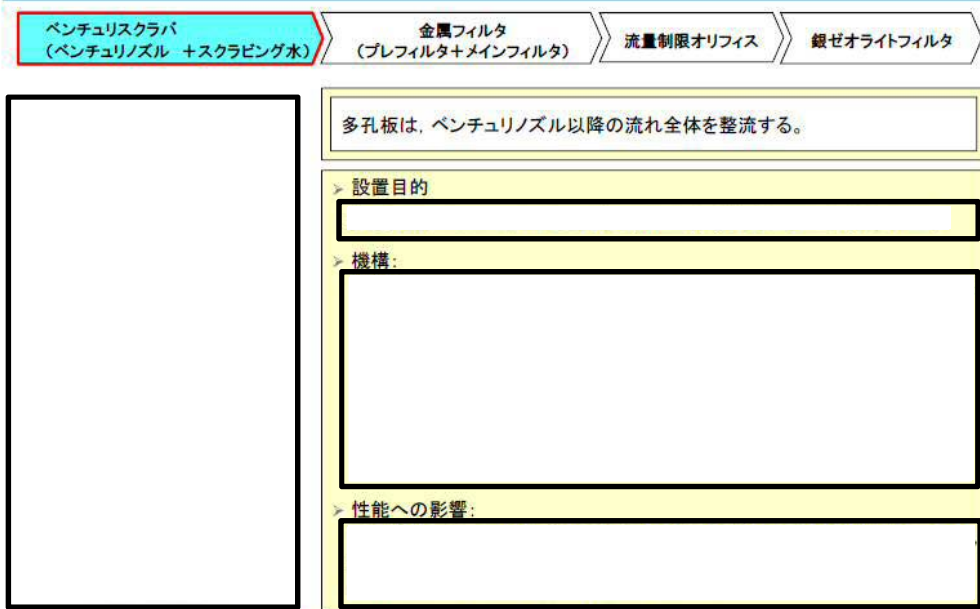


フィルタ装置(スクラバ容器)機能模式図

本資料のうち、枠囲みの内容は機密に係る事項のため公開できません。

## 多孔板の機能

7



フィルタ装置(スクラバ容器)機能模式図

## ベンチュリスクラバにおける現象【蒸気凝縮】

8

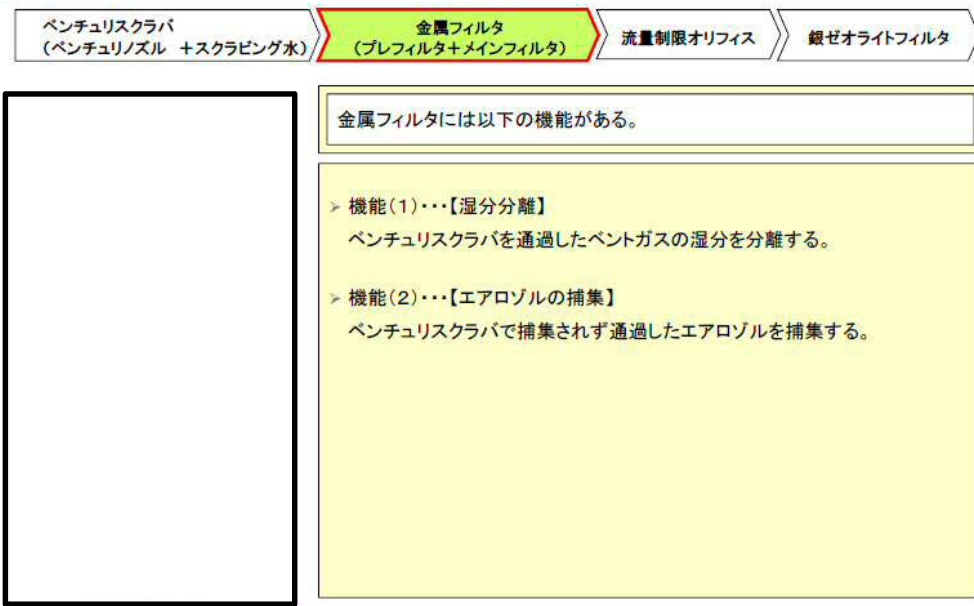


フィルタ装置(スクラバ容器)機能模式図

本資料のうち、枠囲みの内容は機密に係る事項のため公開できません。

## ②金属フィルタの機能

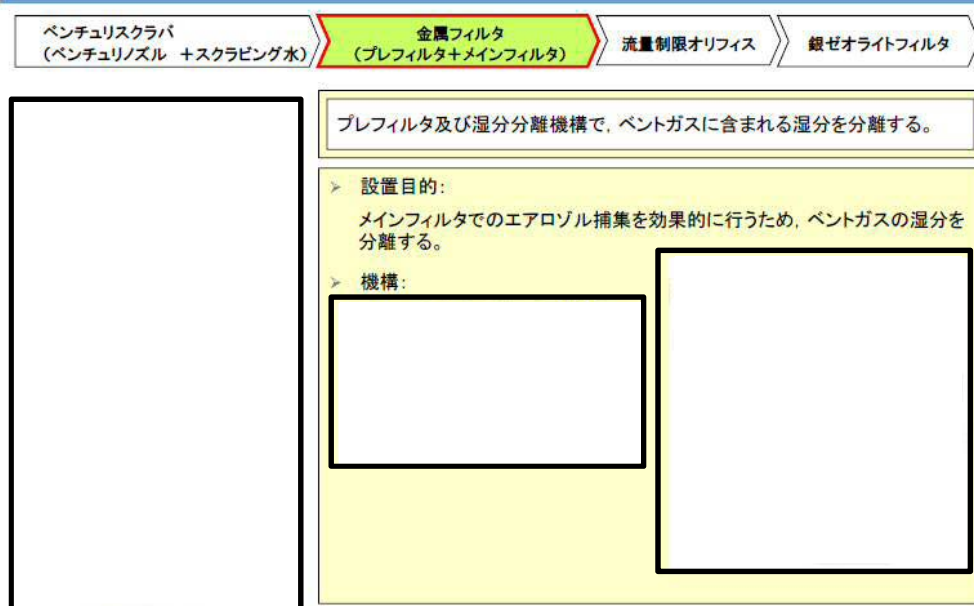
9



フィルタ装置(スクラバ容器)機能模式図

## ②金属フィルタの機能(1)【湿分分離】

10

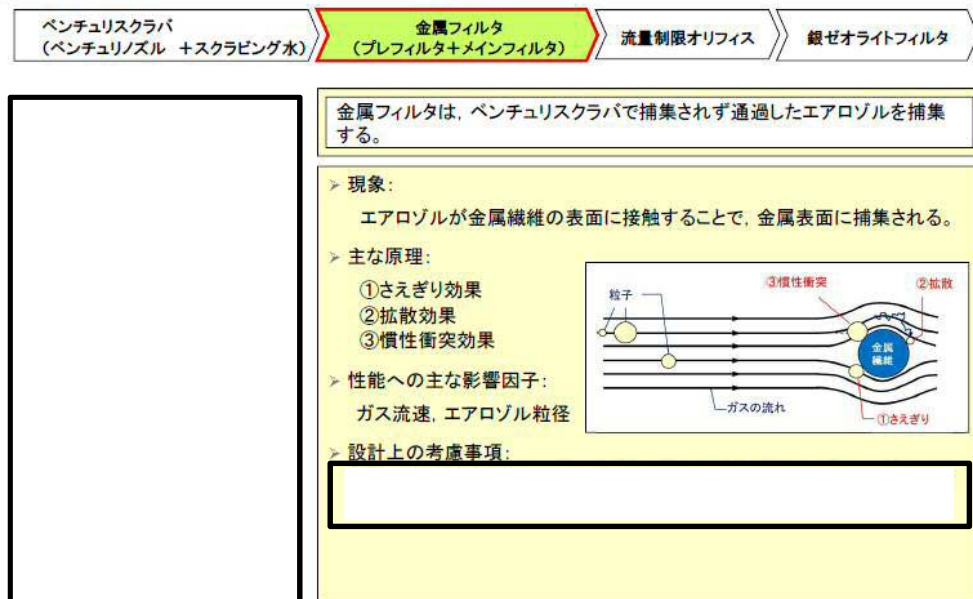


フィルタ装置(スクラバ容器)機能模式図

本資料のうち、枠囲みの内容は機密に係る事項のため公開できません。

## ②金属フィルタの機能(2)【エアロゾルの捕集】

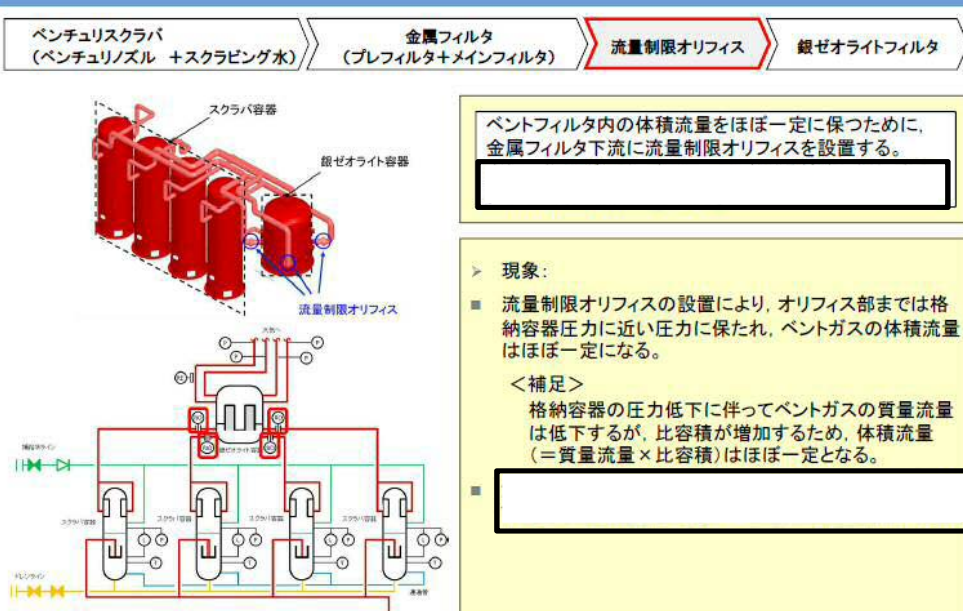
11



フィルタ装置(スクラバ容器)機能模式図

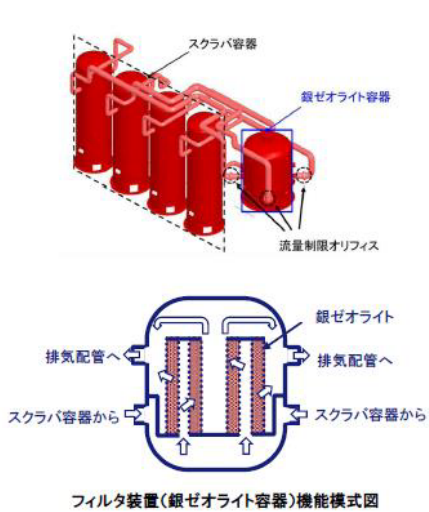
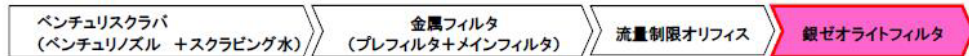
## 流量制限オリフィスの機能

12



### ③銀ゼオライトフィルタの機能

13



銀ゼオライトフィルタでは、ガス状放射性よう素(無機よう素及び有機よう素)を捕集する。

▶ 現象:

\_\_\_\_\_とベントガス中のよう素を反応させて捕集する。

▶ 主な原理:

▶ 性能への主な影響因子:

- ・適切な滞留時間となるように吸着材の充てん量を設定
- ・想定されるよう素量を捕集できるように吸着材の充てん量を設定

本資料のうち、枠囲みの内容は機密に係る事項のため公開できません。

## (参考1) フィルタ装置におけるエアロゾル除去の物理現象

### a. ベンチュリスクラバ

ベンチュリスクラバは、ベンチュリノズル、スクラビング水等で構成し、ベントガスに含まれるエアロゾルを捕集し、保持する。ベントガス中に含まれるエアロゾルは、ガス流速を大きくすることでスロート部に発生する負圧によって吸入されるスクラビング水と慣性衝突させることにより捕集する。ベンチュリノズルの概略を図1に示す。



図1 ベンチュリノズルの概略図

エアロゾルの除去係数DFと透過率 $P_t$ は逆数の関係にあり、ベンチュリノズルを通過するエアロゾルの透過率について、以下のように表される。（参考図書1）

$$P_t = \exp\left(-\frac{V^*}{V_g}\right) = \exp\left(-\frac{V^* Q_L}{V_L Q_g}\right) \quad \dots \dots \quad (\text{式1})$$

ここで、 $V^*$ はベンチュリノズル内に吸い込まれた液滴を通過するガス体積を表し、ベンチュリノズルを通過する時間で積分することにより、以下のとおり求めることができる。

本資料のうち、枠囲みの内容は機密に係る事項のため公開できません。

$$V^* = \int_0^T \eta_d |u_d - u_g| A_d dt \quad \dots \dots \quad (\text{式 } 2)$$

$$\eta_d = \frac{K^2}{(K + 0.7)^2} = \frac{1}{\left(\frac{1+0.7}{K}\right)^2} \quad \dots \dots \quad (\text{式 } 3)$$

$$K = \frac{2\tau_p |u_d - u_g|}{d_d} = \frac{2C\rho_p d_p^2 |u_d - u_g|}{18\mu d_d} \quad \dots \dots \quad (\text{式 } 4)$$

$V^*$  : 液滴通過ガス体積       $\tau_p$  : 緩和時間       $V_g$  : ガス体積  
 $A_d$  : 液滴断面積       $V_L$  : 液滴体積       $K$  : 慣性パラメータ  
 $Q_g$  : ガス体積流量       $C$  : すべり補正係数       $Q_L$  : 液滴体積流量  
 $\mu$  : ガス粘性係数       $\eta_d$  : 捕集効率係数       $\rho_p$  : エアロゾル密度  
 $u_g$  : ガス流速       $d_p$  : エアロゾル粒径       $u_d$  : 液滴速度       $d_d$  : 液滴径

式4で表される慣性パラメータKは、図2に示す曲線運動の特徴を表すストークス数と同義の無次元数である。ストークス数が0のとき、エアロゾルは完全に流線に沿って移動し、ストークス数が大きくなるにしたがって、エアロゾルの運動方向を変化させにくくなることから、慣性衝突が起こりやすくなる。

式4から、慣性パラメータに影響を与える因子として、エアロゾル密度、エアロゾル粒径、液滴径、ガス粘性係数、ガスと液滴の速度差が挙げられる。

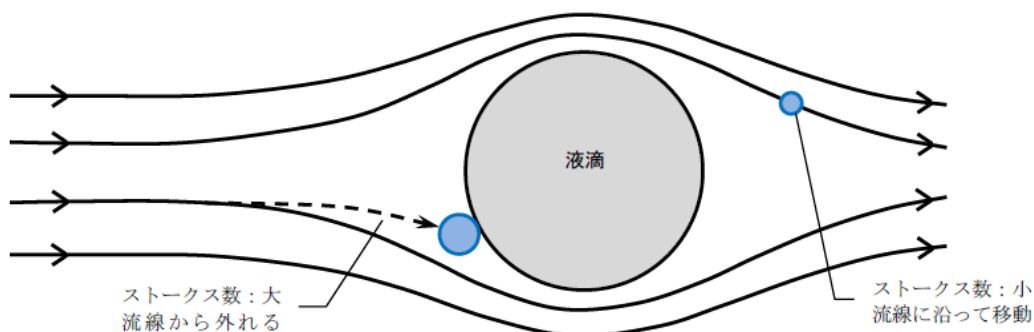


図2 ストークス数とエアロゾルの流れの関係

ベンチュリノズル入口ではガス流速が大きく液滴速度が小さいが、ベンチュリノズル内を通過する過程において次第に液滴速度が増加し、ガス流速を上回る。ベンチュリノズルでは、このガスと液滴の速度差を利用し、ガス中に含まれるエアロゾルと液滴を衝突させることによりエアロゾルを捕集する。

式1より、透過率は $V^*/V_L$ が影響し、補足するエアロゾル量（積算量）は、ベンチュリノズル入口近傍のガスと液滴の速度差の大きい領域において急速に増加し、その後、緩やかに増加していくことがわかる。この関係はベンチュリノズルの形状によって決まり、式4で表される慣性パラメータに影響を与える因子の液滴径、液滴とガスの速度差はガス流速に帰着される。エアロゾル密度、ガス粘性係数については、ベント実施中の変動幅が小さいため、慣性パラメータの変動は小さい。エアロゾル粒径については、粒径が小さくなるにつれて慣性パラメータが小さくなる変動幅が大きいことから、除去効率に与える影響を無視することができない。

したがって、ベンチュリノズルの除去効率に影響を与えるパラメータは、「ガス流速」と「エアロゾル粒径」である。

なお、framatom社 (AREVA社) では実機と同一形状のベンチュリノズルを使用してJAVA試験を行っており、実機の運転範囲を包絡するガス流量の範囲で試験を実施した結果から除去性能の評価を行っている。

#### b. スクラビング水

ベンチュリノズルを通過したベントガスは、気泡としてスクラビング水中を浮上する。気泡に含まれるエアロゾルの挙動を図3に示す。

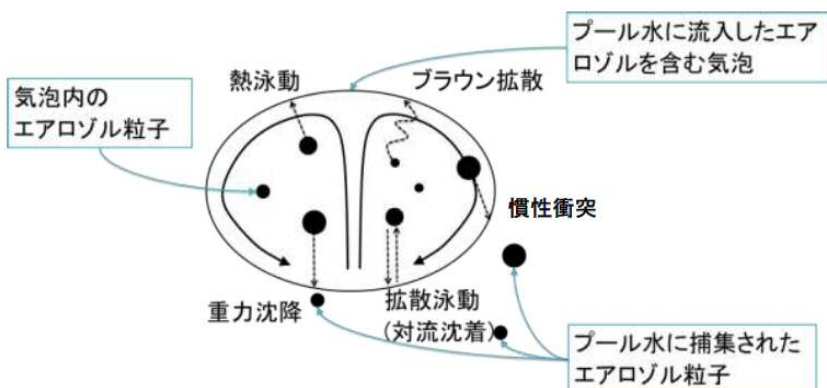


図3 スクラビング水中を浮上する気泡中のエアロゾル

重力沈降、慣性衝突については、粒径の大きいエアロゾルに対して効果的にはたらき、ブラウン拡散については、粒径の小さいエアロゾルに対して効果的にはたらき、拡散泳動（対流沈着）、熱泳動については、気泡とスクラビング水の温度勾配が大きいときに効果的にはたらく。

### c. 金属フィルタ

金属フィルタは、プレフィルタ、湿分分離機構及びメインフィルタで構成され、

ンチュリスクラバを通過した気泡がスクラビング水の水面に達した際、細かい飛沫が生成される。この飛沫がベントガスに同伴して金属フィルタへ到達した際、

(a) プレフィルタ

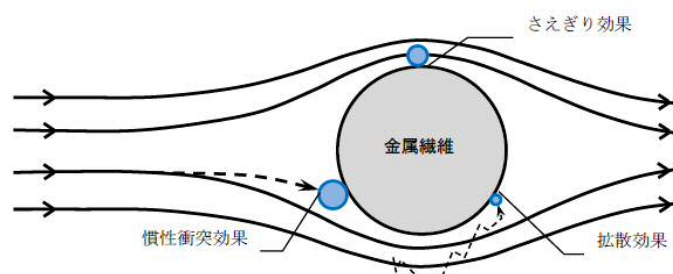


図4 プレフィルタにおける飛沫の分離

本資料のうち、枠囲みの内容は機密に係る事項のため公開できません。

(b) 湿分分離機構

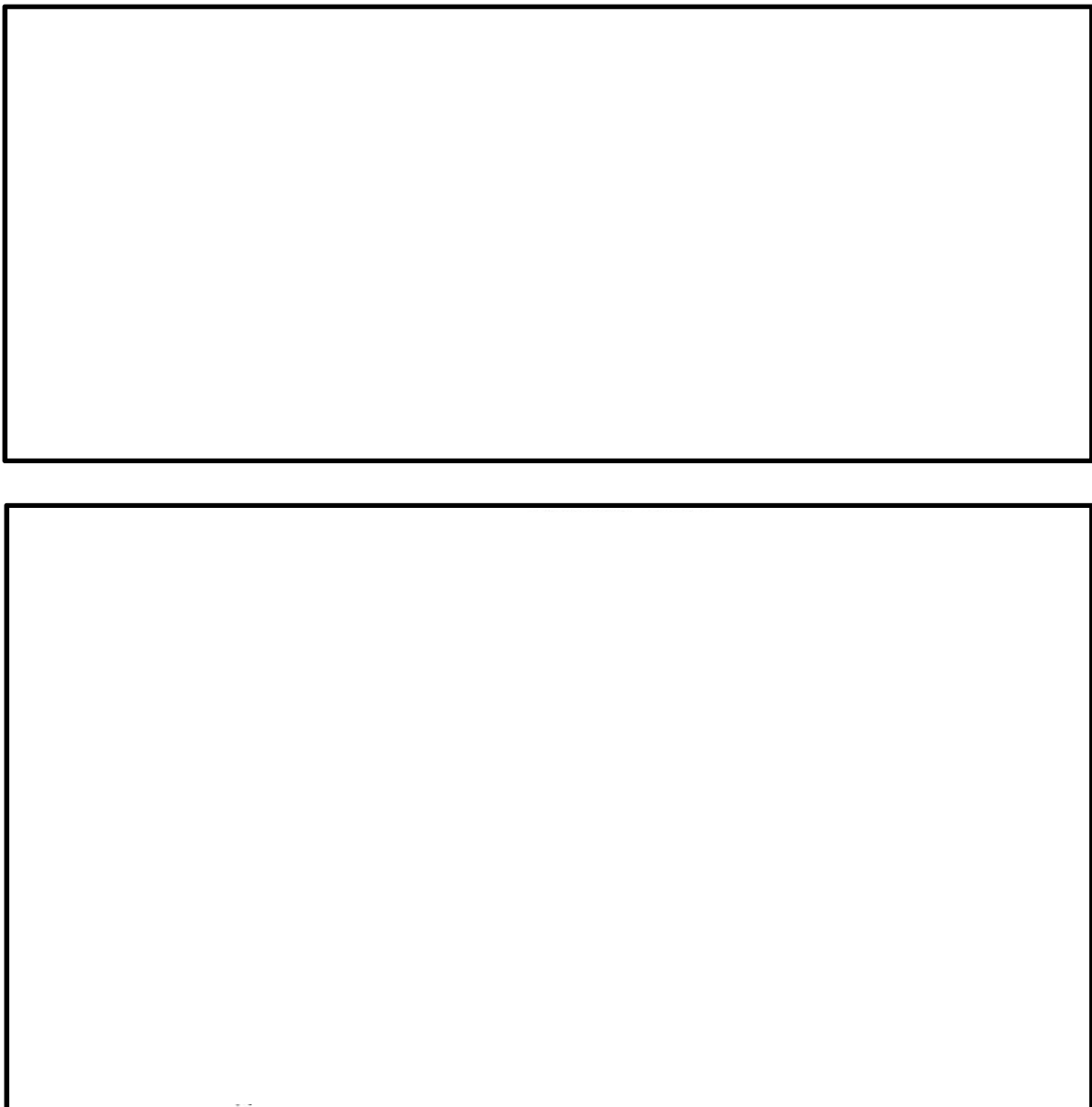


図5 湿分分離機構の概略図

本資料のうち、枠囲みの内容は機密に係る事項のため公開できません。

(c) メインフィルタ

メインフィルタにおけるエアロゾル

の捕集は図 6 に示すように、金属纖維表面への衝突と付着によって行われ、除去原理は「さえぎり効果」、「拡散効果」、「慣性衝突効果」によるものが主である。

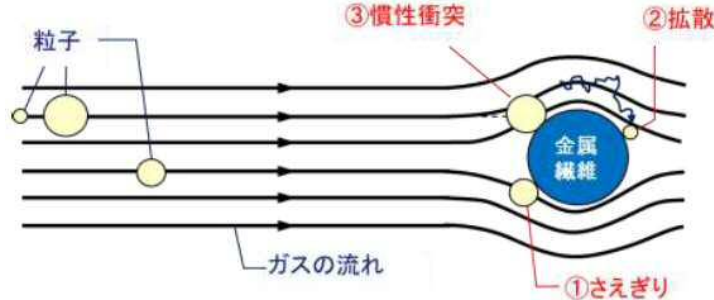


図 6 金属フィルタ（メインフィルタ）における除去原理

① さえぎり効果

さえぎりによるエアロゾルの捕集は、エアロゾルが流線にそって運動している場合に、金属纖維表面から 1 粒子半径以内にエアロゾルが達したときに起こる。エアロゾル粒径が大きい場合、より遠くの流線に乗っていた場合でも金属纖維と接触することが可能であるため、さえぎりによる除去効果は、エアロゾル粒径が大きい程大きくなる傾向にある。

さえぎりによる捕集効率 $E_R$ は、以下のように表すことができる。

(参考図書 2)

$$E_R = \frac{1}{2K} \left( 2(1+R) \ln(1+R) - (1+R) + \left( \frac{1}{1+R} \right) \right) \quad \dots \dots \dots \text{ (式 5)}$$

$$R = \frac{d_p}{d_f} \quad \dots \dots \dots \text{ (式 6)}$$

$$K = -\frac{\ln(\alpha)}{2} - \frac{3}{4} + \alpha - \frac{\alpha^2}{4} \quad \dots \dots \dots \text{ (式 7)}$$

$d_f$  : 繊維径       $d_p$  : エアロゾル粒径      K : 桑原の因子       $\alpha$  : 充填率

桑原の因子Kは他の纖維が近接していることにより生ずる、ある纖維のまわりの流れの場の変形の影響を含んだ無次元の係数であり、充填率 $\alpha$ のみに依存し、また、纖維径 $d_f$ 及び充填率は固有の定数である。さえぎりによる捕集効率に影響を与えるパラメータとして、「エアロゾル粒径」が挙げられる。

本資料のうち、枠囲みの内容は機密に係る事項のため公開できません。

## ② 拡散効果

拡散によるエアロゾルの捕集はエアロゾルが金属纖維をさえぎらない流線上を移動しているときでも、金属纖維近傍を通過する際にブラウン運動によって金属纖維に衝突することで起こる。エアロゾル粒径が小さい場合、ブラウン運動による拡散の度合いが大きくなるため、拡散による除去効果はエアロゾル粒径が小さい程大きくなる傾向にある。また、金属纖維の近傍にエアロゾルが滞在する時間が長い程ブラウン運動により金属纖維に衝突する可能性が高まるため、拡散による除去効果は、ガス流速が遅い程大きくなる傾向にある。

拡散による捕集効率 $E_D$ は、以下のように表すことができる。（参考図書2）

$$E_D = 2P_e^{-\frac{2}{3}} = 2 \left( \frac{D}{d_f U_0} \right)^{\frac{2}{3}} \quad \dots \dots \quad (\text{式 } 8)$$

$$D = \frac{k T C_c}{3\pi\eta d_p} \quad \dots \dots \quad (\text{式 } 9)$$

$d_p$  : エアロゾル粒径       $d_f$  : 纖維径       $D$  : 粒子の拡散係数

$U_0$  : ガス流速       $k$  : ボルツマン定数       $T$  : ガス温度

$C_c$  : すべり補正係数       $\eta$  : ガス粘性係数

ガス粘性係数 $\eta$ はガス温度 $T$ と共に上昇し、運転範囲における変動幅が小さく、互いを打ち消す。拡散による捕集効率に影響を与えるパラメータとして、「エアロゾル粒径」、「ガス流速」、「ガス粘性係数」が挙げられる。

### ③ 慣性衝突効果

慣性衝突によるエアロゾルの捕集は、エアロゾルがその慣性のために金属纖維の近傍で急に変化する流線に対応することができず、流線を横切って金属纖維に衝突するときに起こる。エアロゾル粒径が大きい場合、もしくは、エアロゾルの流れが速い場合にエアロゾルの持つ慣性が大きくなり、金属纖維と衝突する可能性が高まるため、慣性衝突による除去効果は、エアロゾル粒径が大きい程大きく、ガス流速が速い程大きくなる傾向にある。

慣性衝突による捕集効率 $E_I$ は、以下のように表すことができる(参考図書2)。

$$E_I = \frac{JS}{2K^2} \quad \dots \dots \dots \quad (\text{式 } 10)$$

$$J = (29.6 - 28\alpha^{0.62})R^2 - 27.5R^{2.8} \quad \dots \dots \dots \quad (\text{式 } 11)$$

$$S = \frac{\tau U_0}{d_f} = \frac{\rho_p d_p^2 C_c U_0}{18\eta d_f} \quad \dots \dots \dots \quad (\text{式 } 12)$$

$$R = \frac{d_p}{d_f} \quad \dots \dots \dots \quad (\text{式 } 13)$$

S : ストークス数 K : 桑原の因子  $\alpha$  : 充填率,  
 $\rho_p$  : エアロゾル密度  $C_c$  : すべり補正係数  $U_0$  : ガス流速,  
 $\eta$  : ガス粘性係数  $d_p$  : エアロゾル粒径  $d_f$  : 繊維径

ストークス数Sは、前述のベンチュリノズルにおける除去原理と同様、エアロゾルの流線からの外れやすさを示している。慣性衝突による捕集効率に影響を与えるパラメータとして、「エアロゾル粒径」、「ガス流速」、「エアロゾル密度」、「ガス粘性係数」が挙げられる。

### ④ まとめ

以上から、さえぎり、拡散、慣性衝突効果では、ガス流速、エアロゾル粒径が主な影響因子であり、金属フィルタの除去効率に影響を与えるパラメータは、「ガス流速」と「エアロゾル粒径」が挙げられる。

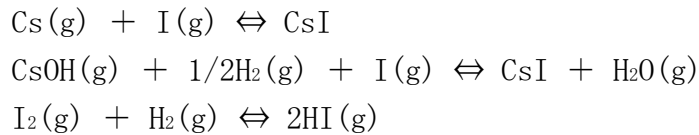
### 《参考図書》

1. OECD/NEA, "STATE-OF-THE-ART REPORT ON NUCLEAR AEROSOLS", (2009)
2. W. C. ハインズ, エアロゾルテクノロジー, (株)井上書院(1985)

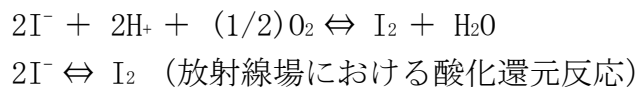
## (参考2) 格納容器内におけるよう素の化学形態

### a. 格納容器内へ放出されるよう素の挙動

重大事故時に溶融炉心から格納容器内へ放出されるよう素は、以下に示す反応が支配的であるとされている。（参考図書1）



TMI事故以降のソースターム研究では、よう素は上記の反応により、主に粒子状よう素（CsI）の形態で格納容器に移行し、一部が無機よう素（I<sub>2</sub>）及びよう化水素（HI）の形態で格納容器に移行すると考えられる。また、粒子状よう素のCsIは可溶性であり、格納容器内で発生する蒸気の移行に伴い、サプレッション・プール水中によう素イオン（I<sup>-</sup>）として溶存する。サプレッション・プール水中に溶存したよう素イオン（I<sup>-</sup>）は、以下に示す反応により、無機よう素（I<sub>2</sub>）となる。（参考図書1）



### b. 有機よう素の発生メカニズム

上記の反応により生成された無機よう素（I<sub>2</sub>）は、サプレッション・プール水中で有機不純物と反応し、気相に移行した無機よう素（I<sub>2</sub>）は格納容器内表面の有機物を含む塗装材と反応することで、有機よう素が生成されると考えられている。（参考図書1）

### 《参考図書》

- NEA/CSNI/R(2007)1 “STATE OF THE ART REPORT ON IODINE CHEMISTRY”,  
23-Feb-2007

## スクラビング水の pHについて

スクラビング水の pHが低下した場合、気相中への無機よう素の再揮発が促進されることが考えられることから、スクラビング水の薬液として [ ] を初期添加することにより、薬剤の補給が不要な設計としている。

スクラビング水の pHを低下させる要因として、重大事故時に格納容器内において発生する酸性物質を含むベントガスのスクラバ容器への流入が挙げられる。

主な酸性物質としては、塩素含有被覆材ケーブルの放射線分解による塩化水素、窒素が溶存するサプレッション・プール水の放射線分解による硝酸等が既往知見により知られている。原子炉圧力容器が破損した場合においては、溶融炉心による加熱でペデスタル内のケーブルが熱分解することによる塩化水素の発生、MCCIによるコンクリート骨材からの炭酸ガスの発生が考えられる（NUREG/CR-5950）。

また、スクラビング水量の変動に伴う希釈も pH低下の要因となる。

以下に、[ ] の初期添加量の算定に資する酸性物質、希釈量についての評価を示す。

### 1. 格納容器内で発生する酸性物質生成量

#### (1) 放射線分解による酸性物質生成量

格納容器内のケーブルについて、放射線分解により発生する塩化水素量を NUREG/CR-5950 の放射線分解モデルに基づき評価した。なお、ケーブル量については、実機調査を行った（参考）。

また、窒素が溶存するサプレッション・プール水が放射線分解することにより生成する硝酸についても評価対象とした。

有効性評価シナリオ「格納容器過圧・過温破損モード（大 LOCA+SB0+ECCS 機能喪失）」において、ベント時（事象発生から 32 時間後）には約 [ ] [mol]、7 日後（168 時間後）では約 [ ] [mol]、60 日後（1440 時間後）では約 [ ] [mol] の酸性物質が格納容器内で生成されると試算した。

放射線分解により生成される酸性物質量の時間変化を図 1 に示す。

本資料のうち、枠囲みの内容は機密に係る事項のため公開できません。



図1 放射線分解で生成する酸性物質量の時間変化

## (2) 热分解による酸性物質生成量

ケーブルは高温環境にさらされると熱分解により塩化水素を放出するが、ケーブルの熱分解は 200°C まではほとんど発生しないため、有効性評価シナリオ「格納容器過圧・過温破損モード（大 LOCA+SBO+ECCS 機能喪失）」においては、熱分解による塩化水素の放出量は無視できる程度と考えられる。

原子炉圧力容器破損を想定した場合は、溶融炉心から熱を直接受けるケーブル、即ちペデスタル内に存在するケーブルが熱分解により塩化水素を放出すると考えられる。また、この際に生じる MCCI により発生する炭酸ガスの発生量は、十分小さく無視できる程度と考えられる。なお、ペデスタル内のケーブル量は、保守的にペデスタル内に接続されるケーブルの全長（ペデスタル外も含む）を集計した。

原子炉圧力容器破損が想定する際に、約 [mol] の酸性物質が熱分解により生成されると試算した。

- ・ペデスタル内ケーブルの熱分解による塩化水素生成量：約 [mol]  
(約 kg)

## (3) スクラビング水中で酸化分解により消費される塩基性物質量

スクラビング水に初期添加している [ ] は、酸素が存在する環境下において、以下の反応により分解して塩基性物質を消費することが知られている。

[ ] ベント直後を除きスクラバ容器に流入するガスはほぼ 100% 蒸気であるため、この影響は小さいと考えられるが、仮に全量の [ ] が酸化分解されると想定して消費される塩基性物質は約 [mol] となる。

本資料のうち、枠囲みの内容は機密に係る事項のため公開できません。

## 2. スクラバ容器での塩基の消費量

重大事故時に格納容器内で発生した酸性物質は、スクラバ容器へ移行する前に格納容器内の自然沈着、格納容器スプレイ及びサプレッション・プールのスクラビング等の除去効果を受けるため、移行量は減少する。また塩酸や硝酸については格納容器内の液相への溶解も考えられる。

以上の事象影響を無視し、格納容器内で生成した酸性物質が保守的に全量移行したとすると、スクラバ容器の塩基の消費量は、7日後（168時間）において約 [mol]、60日後（1440時間）において約 [mol]との試算となる。

【7日後（168時間）の塩基の消費量（約 [mol]）内訳】

- 放射線分解による酸性物質生成量：約 [mol]
- 熱分解による酸性物質生成量：約 [mol]
- スクラビング水中で酸化分解により消費される塩基性物質量：約 [mol]

【60日後（1440時間）の塩基の消費量（約 [mol]）内訳】

- 放射線分解による酸性物質生成量：約 [mol]
- 熱分解による酸性物質生成量：約 [mol]
- スクラビング水中で酸化分解により消費される塩基性物質量：約 [mol]

## 3. 水位変動によるスクラビング水の希釈について

待機時のスクラビング水の通常水位における水量は約 [t] である。スクラビング水の最大水量は約 [t] であるため、ベントガスの凝縮により、スクラビング水の薬液濃度は [倍] 倍に希釈される。

## 4. スクラビング水の pH影響評価

スクラバ容器は無機よう素 ( $I_2$ ) を捕集及び保持するものであるため、2カ月でよう素は十分減衰することを考慮し、スクラビング水には保守的に設定した60日後（1440時間後）の塩基の消費量（約 [mol]）を考慮する。

スクラバ容器においては、上記にさらに余裕をみて水酸化ナトリウム濃度を通常水位（約 [t]）において約 [mol] とすることとしている。

通常水位における [mol] 濃度が [mol] のとき、酸性物質の移行量を考慮し、且つベントガスによるスクラビング水の希釈も考慮した場合のスクラビング水の [mol] 濃度は、

となり、十分にアルカリ性を維持できる。

なお、放射性物質により [ ] 水溶液が放射線分解しても pH はほとんど変化しない。(参考図書3)

事故後のスクラビング水の pH 挙動評価を図 2 に示す。

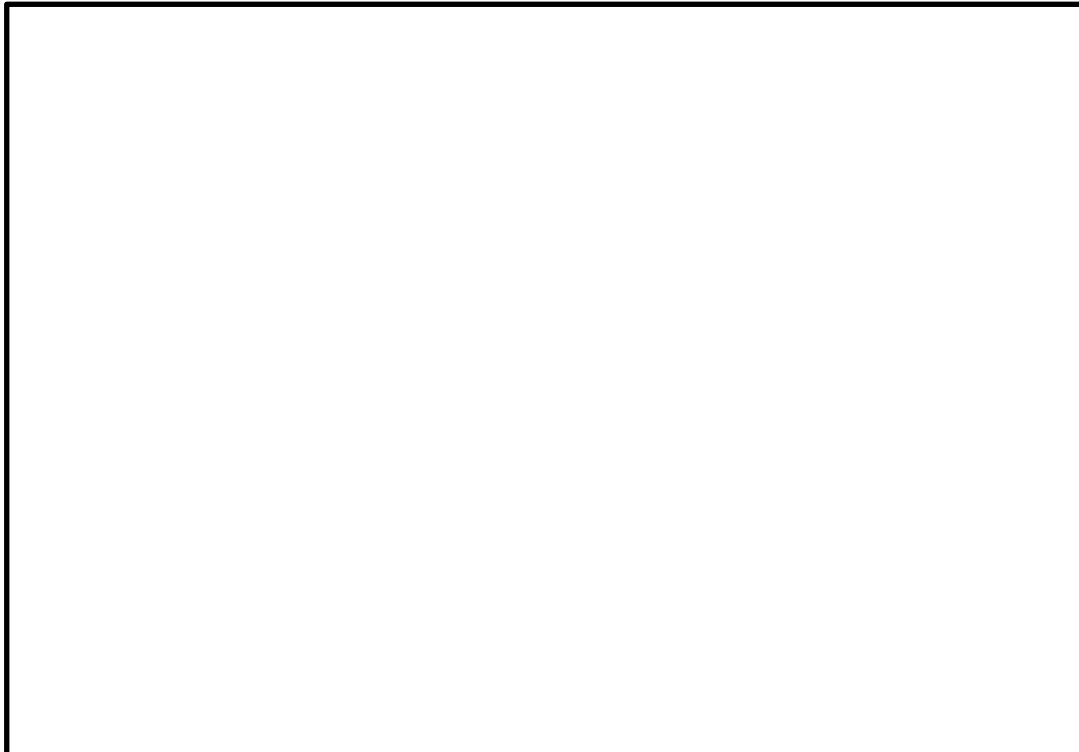


図 2 事故後スクラビング水の pH 挙動評価

ここで、スクラビング水の pH 挙動への影響が小さいとして上記で考慮していない酸性物質について以下のとおり検討した。

格納容器内のケーブルに含まれる全ての酸性物質を想定した場合、追加される酸性物質の発生量は、約 [ ] [mol] となる。



核分裂生成物については酸性物質としてよう化水素が出てくるが、水酸化セシウム等の塩基性物質の生成量の方が大きくなると考えられる。また、格納容器壁面の塗料等の有機物が水中へ溶出した場合は、有機酸を生成する可能性があるが、一般に有機酸は弱酸であり水中でほとんど解離せず、塩酸等の強酸の共存下ではその影響は無視できると考えられる。

上記をさらに保守的に考慮した場合でも、薬液タンクから薬剤を追加することで、ベント後長期に渡ってアルカリ性を維持できる。

本資料のうち、枠囲みの内容は機密に係る事項のため公開できません。

## 5. 薬液の劣化・濃度均一性

スクラビング水に添加する [ ] の水系の相平衡については、『Gmelins Handbuch der anorganischer Chemie, Natrium, 8 Auflage, Verlag Chemie, Berlin 1928』より、図1の通り示されている。図1より、スクラビング水の添加濃度である [wt%] では、水温が 0°C 以上であれば相変化は起こらない（つまり析出することはない）ことがわかる。スクラバ容器は第1ベントフィルタ格納槽内に設置しており、スクラビング水は 0°C 以上となる。よって、格納容器フィルタベント系の待機中に [ ] が析出することはない。

また、 [ ] は非常に安定な化学種であり、格納容器フィルタベント系の待機中、スクラバ容器内部は圧力開放板より外界と隔離され、窒素雰囲気に置かれることから、格納容器フィルタベント系待機中において、薬液が変質することはない。

また、フィルタ装置を使用すると、ベンチュリノズルから噴射されるベントガスによりバブリングされ、 [ ] は均一に拡散されると考えられる。

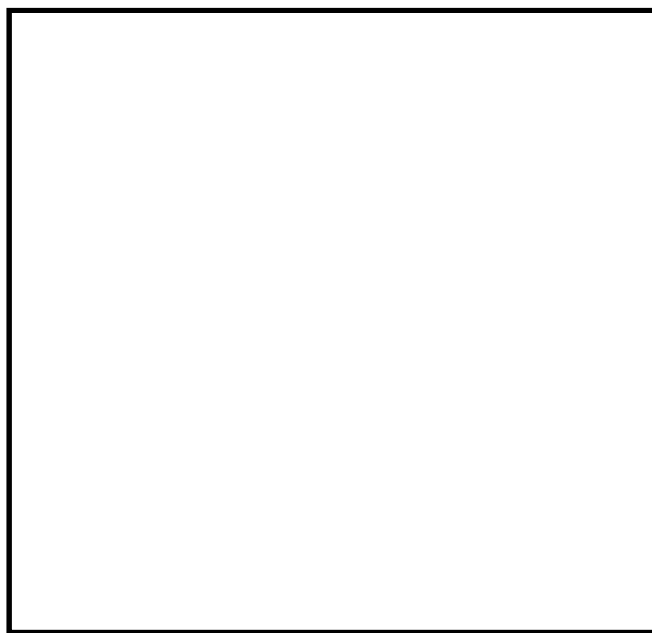


図3 [ ] の水系相平衡図

## 6. スクラビング水の管理について

4. に記載したとおり、スクラビング水は待機時に十分な薬剤の量を確保しておくことで、ベントを実施した際に格納容器から酸が移行した場合においても、スクラビング水は pH 7 以上を維持できる。以上を踏まえ、スクラビング水の管理について以下に示す。なお、系統待機時の管理については、原子炉施設保安規定に規定する。

### a. 系統待機時の管理

- ・施設定期検査時に [ ] の濃度が [ ] であること及び [ ] であることを確認する。
- ・スクラビング水が通常水位の範囲内であることを確認する。

### b. ベント中の管理

- ・スクラビング水の水位を監視し、水位低に至る場合においては、水を補給する。
- ・スクラビング水の水位を監視し、水位高に至る場合においては、スクラビング水をサプレッション・チェンバへ移送した後、薬剤の補給を行う。

### c. ベント停止後（隔離弁閉止後）

- ・ベント停止後において、スクラバ容器に異常がないことを確認するため、スクラバ容器水位計にて、スクラビング水の水位が確保されていること（スクラバ容器のスクラビング水の移送後を除く）を確認する。

### 〈参考図書〉

1. NUREG/CR-5950 “Iodine Evolution and pH Control”, Dec. 1992
2. NUREG/CR-5564 “Core-Concrete Interactions Using Molten UO<sub>2</sub> With Zirconium on A Basaltic Basement”, Apr. 1992
3. 堂前 雅史等 フィルタベントスクラバ水への放射線照射効果, 2016年3月（日本原子力学会 2016年春の大会）

[ ] 本資料のうち、枠囲みの内容は機密に係る事項のため公開できません。

(参考) 島根原子力発電所 2号炉 格納容器内ケーブル量調査

pH低下に寄与する支配的な物質とされるケーブルに含有される塩化水素量を評価するため、格納容器内のケーブル量を建設記録および工事記録により調査を行った。

[ 格納容器内のケーブル量調査フロー ]

- ①建設記録よりケーブル量を調査・集計  
(線種、サイズ毎に本数と長さを集計)  
↓
- ②工事記録におけるケーブル取替、敷設実績を調査・反映  
↓
- ③格納容器ペデスタル内に限定したケーブル量の調査・集計  
(ペデスタル内に接続されるケーブルの全長を保守的に集計)  
↓
- ④ケーブル被覆材毎に表面積、塩化水素含有量を算出  
(今後の設備更新等を想定し、保守的に算出)

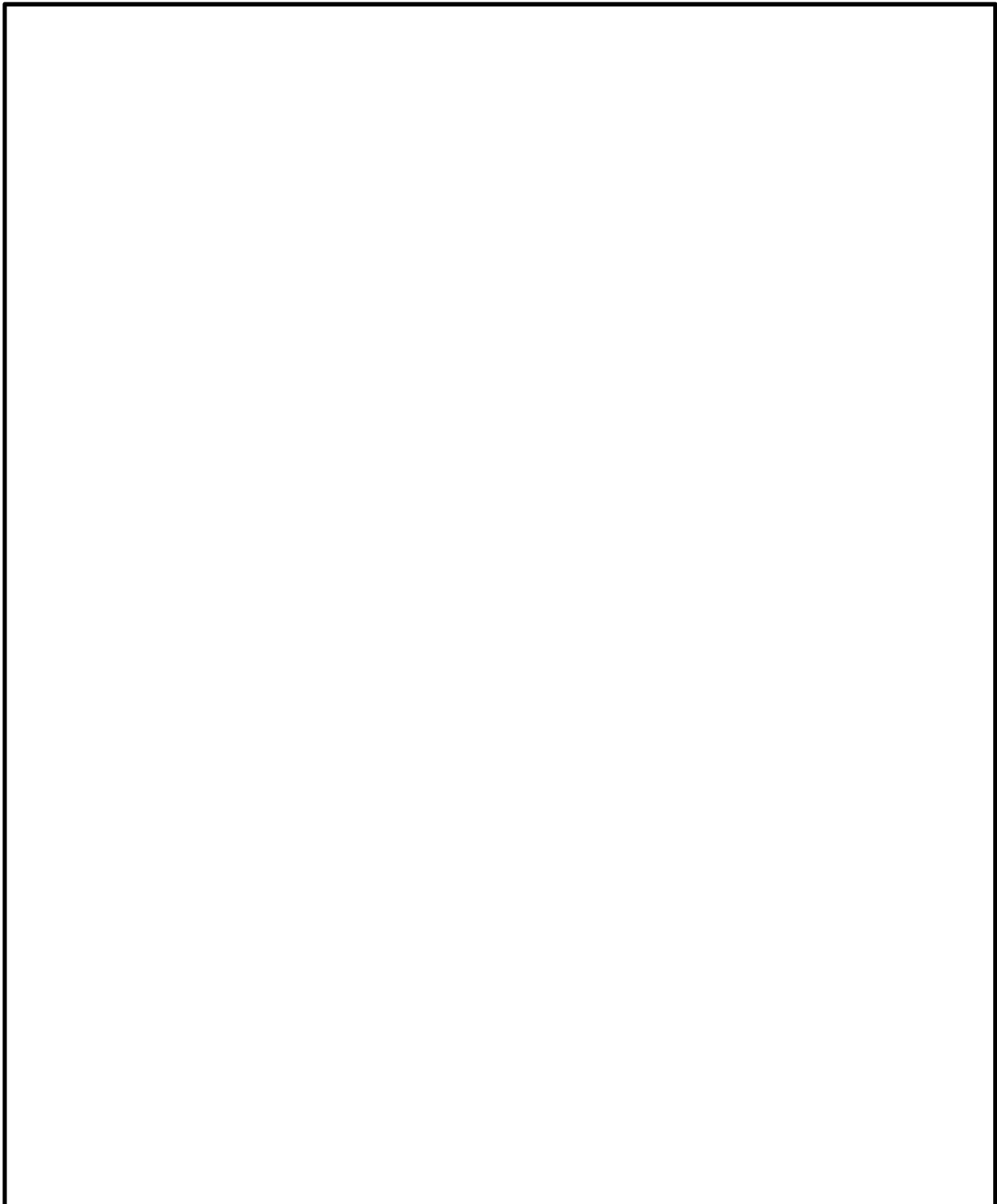
以上により集計した格納容器内のケーブル量調査結果を表1に示す。

表1 格納容器内のケーブル量調査結果

(次頁に続く)

本資料のうち、枠囲みの内容は機密に係る事項のため公開できません。

(前頁の続き)



本資料のうち、枠囲みの内容は機密に係る事項のため公開できません。

金属フィルタ ドレン配管の閉塞及び逆流防止について

金属フィルタは、

金属フィルタの外形図を図 1、主要仕様を表 1 に示す。

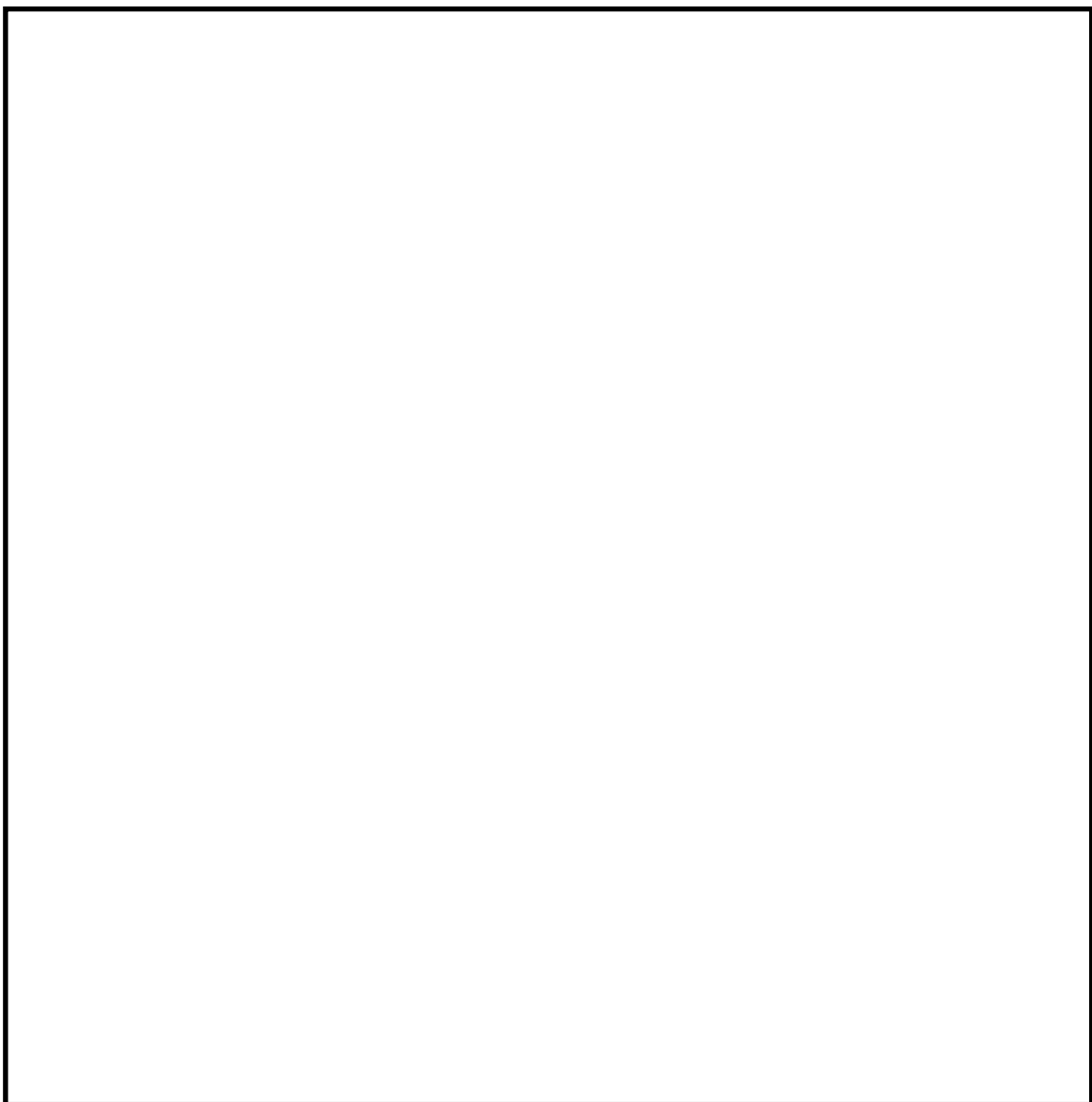


図 1 金属フィルタの外形図

本資料のうち、枠囲みの内容は機密に係る事項のため公開できません。

表1 金属フィルタの主要仕様

種類	金属繊維型フィルタ
材料	[ ]
外径寸法	[ ]
線径	[ ]
フィルタ面積	[ ]
個数	[ ]

金属フィルタでは、メインフィルタでのエアロゾル捕集を効果的に行うため、  
ベントガス中の湿分を

[ ] 湿分分離機構の概略

構造図を図2、ドレン配管接続部の概略図を図3に示す。

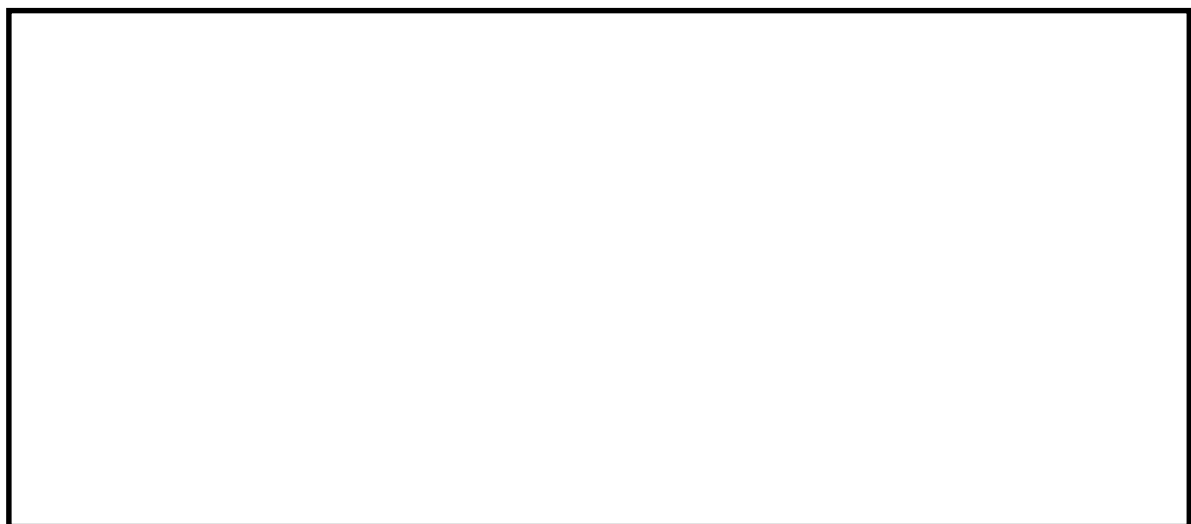


図2 湿分分離機構の概略構造図

[ ] 本資料のうち、枠囲みの内容は機密に係る事項のため公開できません。



図3 ドレン配管接続部の概略図

ここで、金属フィルタのドレン配管において閉塞及び逆流が発生した場合、金属フィルタの機能に影響を与える可能性があることから、ドレン配管における閉塞及び逆流について評価した結果を示す。

(1) ドレン配管における閉塞

金属フィルタのドレン配管の口径は [REDACTED] であり、これに対してスクラバ容器に流入するエアロゾルの粒子径は [REDACTED] で極めて小さく、また、ドレンが排出できる十分な配管口径であることから、ドレン配管において閉塞が発生するおそれはないと評価できる。

(2) ドレン配管における逆流

金属フィルタのプレフィルタ部における圧損が大きい場合、ドレン配管において逆流が発生し、金属フィルタ部にスクラビング水が流入する可能性がある。

[REDACTED]  
実機ではプレフィルタ部の圧損は [REDACTED] であり、ドレン配管における逆流を考慮しても、スクラビング水が金属フィルタ部に流入するおそれないと評価できる。

なお、スクラバ容器水位は、水位計により監視できる設計としている。スクラバ容器水位計の測定範囲を図4に示す。

[REDACTED]  
本資料のうち、枠囲みの内容は機密に係る事項のため公開できません。

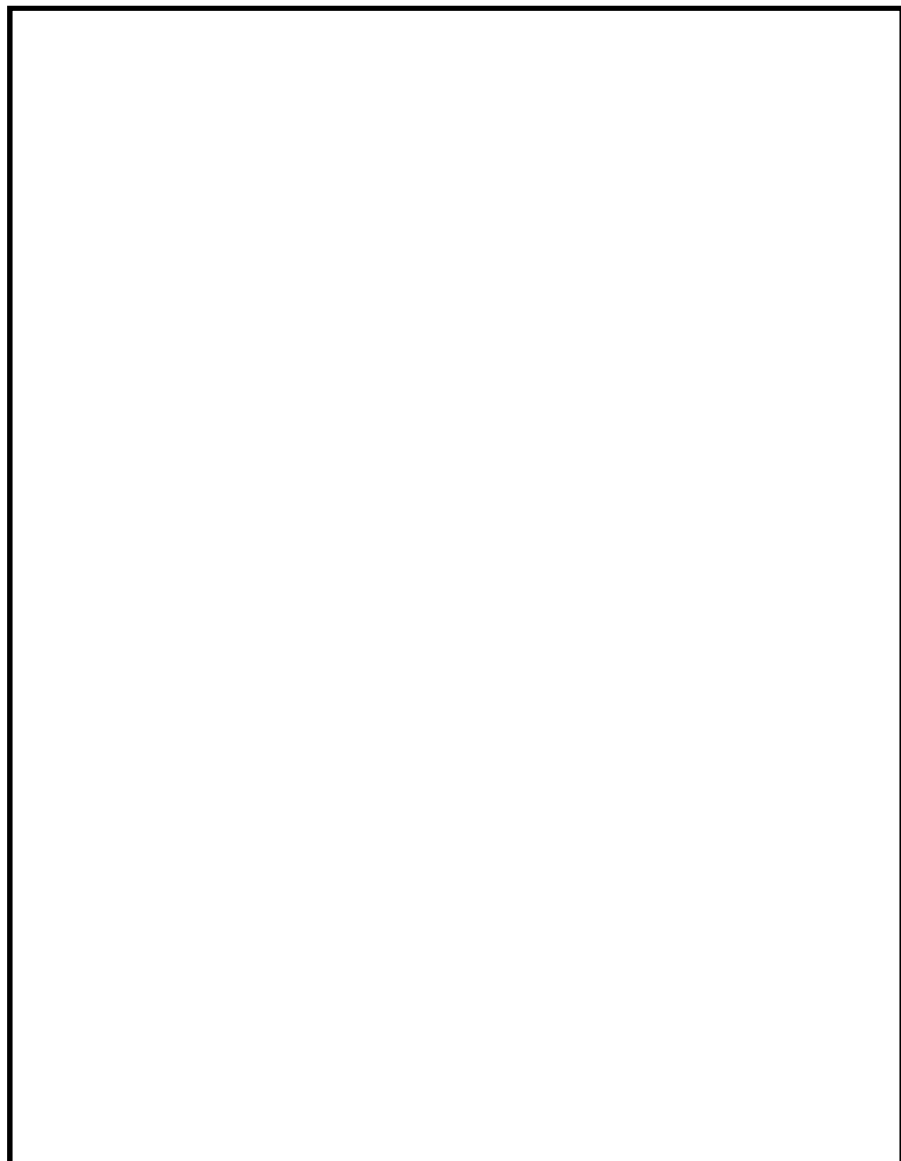


図4 スクラバ容器水位計の測定範囲

本資料のうち、枠囲みの内容は機密に係る事項のため公開できません。

## 流量制限オリフィスの設定方法について

格納容器フィルタベント系は、格納容器の過圧破損を防止するため、格納容器内で発生する蒸気量以上のガスをベントできる必要がある。

格納容器フィルタベント系では、格納容器圧力の上昇に伴い、ベントガスの質量流量が増加する場合においても、ベンチュリノズル部の流速を適正な条件に保持するため、スクラバ容器の下流に流量制限オリフィスを設置することにより、体積流量をほぼ一定に保つ構成としている。

### 1. 流量制限オリフィスの設計手順

格納容器フィルタベント系の系統流量は、原子炉格納容器の最高使用圧力 427 kPa[gage] (1 Pd)において、原子炉定格熱出力の 1 % (原子炉停止後 2 ~ 3 時間相当) の蒸気発生量を排出できるよう以下のとおり設定する。

なお、格納容器圧力 1 Pd で必要量を排出可能な設計としているため、より差圧が大きくなる格納容器圧力 2 Pd によるベントの場合においても必要量は排出できる。



図 1 1 Pd ベント時の圧力勾配概念図

本資料のうち、枠囲みの内容は機密に係る事項のため公開できません。

## 2. 流量制限オリフィスの圧力損失計算

### (1) オリフィス上流側(格納容器からフィルタ装置(スクラバ容器))圧力損失計算

a. オリフィス上流側の計算式

本資料のうち、枠囲みの内容は機密に係る事項のため公開できません。

b. 計算結果

流量制限オリフィス入口圧力（上流側） $P_i$  の計算結果を表 1 に示す。

表 1 流量制限オリフィス入口圧力

条件	計算結果
条件 1	値 1
条件 2	値 2
条件 3	値 3
条件 4	値 4
条件 5	値 5
条件 6	値 6
条件 7	値 7
条件 8	値 8
条件 9	値 9
条件 10	値 10

(2) オリフィス下流側圧力損失計算

a. オリフィス下流側圧力の計算式

b. 計算結果

流量制限オリフィス下流側圧力  $P_a$  の計算結果を表 2 に示す。

表 2 流量制限オリフィス出口圧力

条件	計算結果
条件 1	値 1
条件 2	値 2
条件 3	値 3
条件 4	値 4
条件 5	値 5
条件 6	値 6
条件 7	値 7
条件 8	値 8
条件 9	値 9
条件 10	値 10

本資料のうち、枠囲みの内容は機密に係る事項のため公開できません。

### (3) 流量制限オリフィスの断面積の設定

上記より、格納容器圧力が 1 Pd 時に格納容器フィルタベント系で原子炉定格熱出力 1 %相当の蒸気が系統内を流れた場合のオリフィス上流側の圧力は [ ] , オリフィス下流側の圧力は [ ] である。

そこで、流量制限オリフィスは、上記のオリフィス上流及び下流側の圧力条件で、原子炉定格熱出力 1 %相当の蒸気が排出できるようにオリフィスの断面積を設定する。

ここで、オリフィス上流側圧力と下流側圧力の関係から、[ ] 必要な断面積の評価は以下の式に基づいて実施する。

図 1 に上記設計手順により算出される圧力損失結果から導かれる圧力勾配の概念図を示す。



以上の手順でオリフィスの断面積を算出 [ ] し、設定することにより、格納容器フィルタベント系によるベント開始時の格納容器圧力が 1 Pd の状態においても設計流量が確実に排気できるように設計している。

## 3. 格納容器圧力の変動に対する体積流量

### (1) 格納容器圧力毎の圧力損失

格納容器フィルタベント系は格納容器圧力が 1 Pd～2 Pd (427～853kPa[gage]) の場合において使用を開始し、格納容器圧力はベント後に圧力低下率がほぼ横這いで静定した状態 (約 100kPa[gage]) に至る。格納容器フィルタベント系は格納容器圧力 1 Pd (427kPa[gage]) において、設計流量 9.8kg/s (原子炉停止後約 2～3 時間後の崩壊熱である原子炉定格熱出力の 1%

[ ] 本資料のうち、枠囲みの内容は機密に係る事項のため公開できません。

相当の蒸気量)を排出できるよう、流量制限オリフィスの流出断面積を設定し、系統の圧力損失を計算している。

格納容器フィルタベント系の格納容器圧力に対する圧力損失等を表3、ベント時の圧力勾配概要を図2に示す。

なお、格納容器フィルタベント系ではフィルタ装置(スクラバ容器)のスクラビング水位に相当する水頭圧(約30kPa)以上であれば格納容器内のガスを排気できる。

表3 格納容器圧力に対する体積流量

格納容器圧力 (kPa[gage])	オリフィス上流 圧力損失 (kPa)	オリフィス下 流圧力損 失 (kPa)	質量流量 (kg/s) (相対比) <sup>※1</sup>	体積流量 (m <sup>3</sup> /s) (相対比) <sup>※1</sup>
853				
427				
100				

※1 格納容器圧力1Pdの時の圧力を基準とした値

## (2) 設計の意図

格納容器フィルタベント系は、フィルタ性能に影響を与える可能性のある主要なパラメータとしてベントガス流速(体積流量)が挙げられるため、システム設計の観点からは、想定する圧力変動範囲で出来るだけ体積流量を一定にし、安定したベントガス流速となるよう設計上の配慮を行っている。具体的には、スクラバ容器下流に流量制限オリフィスを設け、オリフィス下流の排気経路は出来るだけ圧損が小さくなるようなルート選定を行っている。

格納容器圧力1Pd(427kPa[gage])時にオリフィス部の流れが臨界流となることを配管設計上の目安としている。

格納容器フィルタベント系の流量特性を図3に示す。格納容器圧力の変動(約100kPa[gage]～約853kPa[gage])に伴う体積流量は、 とほぼ一定の値となる。

本資料のうち、枠囲みの内容は機密に係る事項のため公開できません。

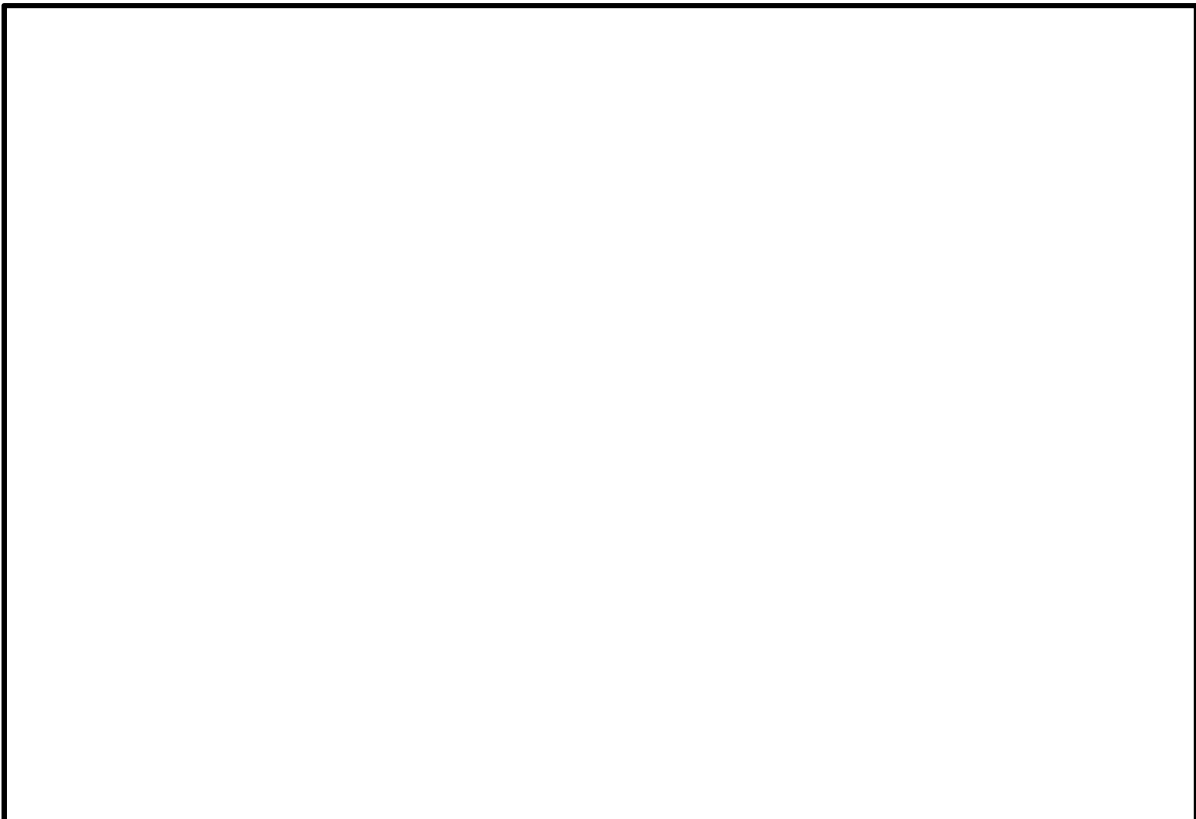


図2 圧力勾配概要



図3 格納容器フィルタベント系の流量特性

本資料のうち、枠囲みの内容は機密に係る事項のため公開できません。

## (参考 1) ベント時の蒸気流量の算出方法について

格納容器フィルタベント系を使用する有効性評価の結果（ベントタイミング）を踏まえ、原子炉定格熱出力 1 %相当（スクラム後 2 ~ 3 時間）の蒸気流量は以下のとおり算出している。

$$W_{vent} = 2436 \times 10^3 \times 0.01 / (h_s - h_w) \doteq 9.8 \text{ (kg/s)}$$

$h_s$  : 2750.55 (kJ/kg) : 飽和蒸気の比エンタルピ (427kPa [gage] 条件)

$h_w$  : 251.15 (kJ/kg) : 飽和水の比エンタルピ (60°C 条件)

ここで  $h_s$  については、格納容器最高使用圧力 1 Pd (=427kPa [gage]) とし、 $h_w$  については外部水源の水温に余裕をみて 60°C と設定した。また、比エンタルピは「1999 日本機械学会蒸気表」の記載値を用いた。

流量制限オリフィスの流出断面積は、格納容器圧力 1 Pd (=427kPa [gage])において、9.8kg/s の蒸気流量が排出できるものを設定している。

設定した流出断面積のオリフィスを用いた場合における運転範囲（格納容器圧力 100kPa [gage] ~ 853kPa [gage]）の体積流量は、以下の式 1 ~ 4 により計算できる。

### ○ 体積流量の計算式

・・・・ (式 1)

・・・・ (式 2)

・・・・ (式 3)

・・・・ (式 4)

$$V[m^3/s] = m_{system}[kg/s] \times \sigma[m^3/kg]$$

本資料のうち、枠囲みの内容は機密に係る事項のため公開できません。

ここで、

$V$  : 体積流量

$m$  : 質量流量

$\sigma$  : 比体積

本資料のうち、枠囲みの内容は機密に係る事項のため公開できません。

## (参考2) 有効性評価と実機モデルの圧損計算の違いについて

有効性評価（MAAP 解析モデル）では、格納容器と放出口（オリフィス）のモデルで評価している。一方、実機の圧力損失計算においては、オリフィス以外にも、配管、容器等のベントラインの機器を想定して評価している。

MAAP 解析モデルと実機設計に用いた圧力損失計算モデル（実機モデル）の比較を図1に示す。

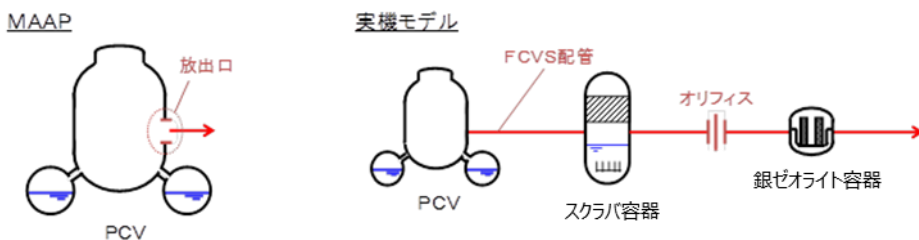


図1 MAAP 解析モデルと実機モデルの比較

いずれのモデルにおいても、「原子炉格納容器圧力1Pdにおいてベントガス流量9.8kg/sがベント可能」となるようにオリフィス穴径等を設定している。このため、MAAP 解析モデルでは、放出口（オリフィス）において格納容器フィルタベント系の系統圧損も考慮するため、オリフィス穴径の大きさは実機モデルに比べて小さくしている。MAAP 解析モデルと実機モデルにおけるベントガス流量を表1に示す。

表1 MAAP 解析モデルと実機モデルにおけるベントガス流量

格納容器圧力	ベントガス流量	
	MAAP 解析モデル	実機モデル
1Pd (427kPa [gage])	9.8kg/s	9.8kg/s
2Pd (853kPa [gage])	[Redacted]	[Redacted]

以上により、有効性評価の解析においては、原子炉格納容器の圧力が1Pdにおいてベントガス流量が9.8kg/sとなるよう放出口（オリフィス）の穴径を設定することで、表1に示すとおり、2Pdでベントする場合のベントガス流量についても実機モデルと同等となる。

本資料のうち、枠囲みの内容は機密に係る事項のため公開できません。

### (参考3) 低圧・低流速状態でのフィルタ性能について

フィルタ装置（スクラバ容器）はベンチュリスクラバ及び金属フィルタの組合せでエアロゾルを除去するものであり、図1に示すとおり、フィルタ装置（スクラバ容器）全体の性能検証試験範囲（①）は全域にわたって [ ] 以上を満足する。

ベント戦略の変更による低圧・低流速状態でのベント実施においてフィルタ性能が要求されるケースとしては、アーリーベント後に炉心損傷する場合が考えられるが、この場合に該当するシナリオとして、仮にTQUVシナリオでアーリーベント後に炉心損傷する場合を想定すると、事故後7日間のベンチュリノズル部のベントガス流速は図中②に示す範囲となり、全範囲にわたり性能検証試験範囲（①）内であるため、フィルタ装置（スクラバ容器）は十分な性能があると評価できる。

なお、アーリーベント後にベンチュリスクラバの設計上考慮している運転範囲（③）を下回る範囲で炉心損傷する場合、金属フィルタの負荷量が大きくなることが考えられるが、仮に有効性評価のうち炉心損傷する代表的な事故シナリオである格納容器過圧・過温破損におけるエアロゾル移行量の全量が金属フィルタに移行すると想定した場合でも、金属フィルタの閉塞が発生することはない。

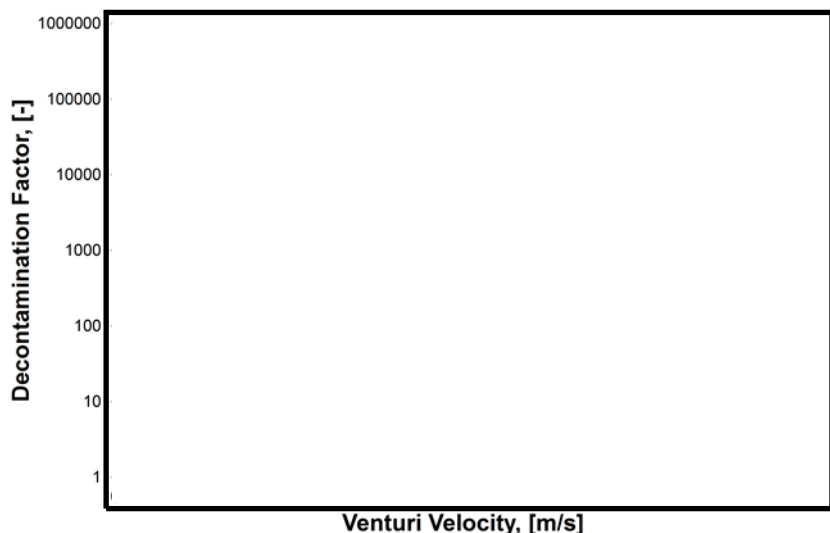


図1 性能検証試験結果（ベンチュリノズル部におけるベントガス流速に対する除去係数）

[ ] 本資料のうち、枠囲みの内容は機密に係る事項のため公開できません。

表1 格納容器圧力に対する質量流量、ベントガス流速

格納容器圧力 (kPa [gage])	質量流量 (kg/s)	ベントガス 流速 <sup>※2</sup> (m/s)	備考
853			ベンチュリスクラバの設計上 考慮している性能範囲上限 【図中①の上限】
427			
100			ベンチュリスクラバの設計上 考慮している性能範囲下限 【図中①の下限】
54 <sup>※1</sup>	2.9 <sup>※1</sup>		TQUV シナリオにおける 事故後 7 日時点 【図中③の下限】
			性能確認試験範囲下限 【図中②の下限】

※1 ベンチュリノズル部におけるベントガス流速

※2 有効性評価 (MAAP) 計算結果

<金属フィルタの閉塞について>

本資料のうち、枠囲みの内容は機密に係る事項のため公開できません。

## 格納容器フィルタベント系の計装設備の網羅性について

格納容器フィルタベント系の計装設備については、以下の考えに基づき網羅性を有する設計としている。

- ①格納容器フィルタベント系の待機時、運転時、事故収束時の各状態で、系統の要求上確認すべき項目の全てが監視可能であること。
- ②上記の各状態において、管理すべき値を網羅した計測範囲であること。

### (1) 確認すべき項目について

格納容器フィルタベント系の待機時、運転時、事故収束時の各状態で確認すべき項目を下記 a ~ e に抽出し、各確認すべき項目に対する計装設備が設置されていることを表 1 に示す。(「2.8.1 計装設備」の記載内容の一部再掲)

#### a . 系統待機時の状態

待機時の状態が、以下のとおり把握可能である。

##### (a) フィルタ装置（スクラバ容器）の性能に影響するパラメータの確認

スクラバ容器水位計にて、スクラビング水の水位が、待機時の設定範囲 [ ] 内にあることを監視することで、要求される放射性物質の除去性能が発揮できることを確認することで把握できる。

系統待機時における水位の範囲は、ベント時のスクラビング水の水位変動を考慮しても放射性物質の除去性能を維持し、ベント開始後 7 日間は水補給が不要となるよう設定している。(別紙 21)

また、スクラバ水 pH 計にて、pH がアルカリ性の状態 [ ] であることを監視することで、フィルタ装置の性能維持に影響がないことを確認することで把握できる。(別紙 23)

##### (b) 系統不活性状態の確認

フィルタ装置出口配管圧力計及びスクラバ容器圧力計にて、封入した窒素圧力 [ ] を継続監視することによって、系統内の不活性状態を確認することで把握できる。

#### b . 系統運転時の状態

運転時の状態が、以下のとおり把握可能である。

##### (a) 格納容器内の雰囲気ガスがフィルタ装置（スクラバ容器）へ導かれていることの確認

スクラバ容器圧力計にて、ベント開始により圧力が上昇し、ベント継続により格納容器の圧力に追従して圧力が低下傾向を示すことで、格納容器内の雰囲気ガスがフィルタ装置に導かれていることを確認することで把握できる。

[ ] 本資料のうち、枠囲みの内容は機密に係る事項のため公開できません。

また、スクラバ容器温度計にて、ベント開始によりスクラビング水が待機状態から飽和温度まで上昇することを監視することで、格納容器のガスがフィルタ装置に導かれていることを確認することで把握できる。さらに、第1ベントフィルタ出口放射線モニタが初期値から上昇することを計測することによりガスが通気されていることを把握できる。

(b) フィルタ装置（スクラバ容器）の性能に影響するパラメータの確認

スクラバ容器水位計にて、スクラビング水の水位が、ベント後の下限水位から上限水位の範囲 [REDACTED] 内にあることを監視することで、要求される放射性物質の除去性能が維持できることを確認することで把握できる。

ベント後における下限水位については、ベンチュリノズルが水没していることを確認するため、上限水位については、金属フィルタの性能に影響がないことを確認するためにそれぞれ設定する。（別紙 21）

(c) ベントガスが放出されていることの確認

第1ベントフィルタ出口放射線モニタにて、フィルタ装置出口を通過するガスに含まれる放射性物質からの $\gamma$ 線強度を計測することで、フィルタ装置出口配管よりベントガスが放出されていることを確認することで把握できる。

c. 事故収束時の状態

事故収束時の状態が、以下のとおり把握可能である。

(a) 系統内に水素が滞留していないことの確認

第1ベントフィルタ装置出口水素濃度計にて、水素が長期的に系統内に滞留していないことを確認することで把握できる。

(b) フィルタ装置（スクラバ容器）の状態確認

フィルタ装置に異常がないことを確認するため、スクラバ容器水位計にて、スクラビング水の水位が確保されていること（フィルタ装置のスクラビング水の移送後を除く）、スクラバ容器温度計にて温度の異常な上昇がないこと及び第1ベントフィルタ出口放射線モニタの指示値が上昇傾向にないことを確認する。（別紙 17）

d. フィルタ装置（スクラバ容器）の水位調整時の確認

格納容器フィルタベント系の待機時、運転時、事故収束時に、フィルタ装置の水位調整を以下のとおり把握可能である。

(a) フィルタ装置（スクラバ容器）の水位調整の確認

スクラバ容器水位計にて、フィルタ装置の排出又は水張りを実施する際に、フィルタ装置の水位を把握できる。

(b) フィルタ装置（スクラバ容器）スクラビング水の水質管理

スクラバ容器水位計にて、フィルタ装置の排出又は水張りを実施する

[REDACTED]  
本資料のうち、枠囲みの内容は機密に係る事項のため公開できません。

際に、フィルタ装置の水位を把握できるとともに、必要な追加薬液量の把握ができる。

また、スクラバ水pH計にて、フィルタ装置へ薬液を補給する際に、スクラビング水のpHを把握できる。

#### e. 想定される機能障害の把握

格納容器フィルタベント系の運転時に、想定される機能障害を以下のとおり把握可能である。

##### (a) フィルタ装置（スクラバ容器）の閉塞

- ・スクラバ容器圧力計にて、ベント実施により待機圧力から上昇した圧力が、低下傾向を示さないことを確認することで、フィルタ装置が閉塞していることを把握できる。
- ・スクラバ容器温度計にて、ベント開始により待機状態から温度が上昇することを監視することで、格納容器のガスがフィルタ装置に導かれていることを確認することにより把握できる。
- ・第1ベントフィルタ出口放射線モニタが初期値から上昇しないことを確認することにより把握できる。

##### (b) 金属フィルタの閉塞

- ・第1ベントフィルタ出口放射線モニタにて、ベント実施により待機状態から上昇した放射線量率が、低下傾向を示さないこと及びスクラバ容器圧力計が上昇傾向を示すことを確認することで、金属フィルタの閉塞を把握できる。

##### (c) フィルタ装置（スクラバ容器）入口配管の破断

- ・スクラバ容器圧力計にて、ベント実施により待機圧力から上昇した圧力が低下傾向を示すが、フィルタ装置出口放射線量率が初期値から上昇しないことを確認することにより把握できる。

##### (d) フィルタ装置（スクラバ容器）スクラビング水の漏えい

- ・スクラバ容器水位計にて、タンクからのスクラビング水漏えいによるフィルタ装置の水位低下を確認することで把握できる。
- ・漏えい検知器により、第1ベントフィルタ格納槽に漏えいしたスクラビング水を検知することで把握できる。（別紙18）

#### (2) 計測範囲について

格納容器フィルタベント系の待機時、運転時、事故収束時の各状態で確認すべき項目について、管理すべき値を網羅した計測範囲であることを表2に示す。

フィルタ装置の状態	確認すべき項目	計装設備	多重性又は多様性
a . 系統待機時	(a) フィルタ装置（スクラバ容器）の性能に影響する バラメータの確認	①スクラバ容器水位 ②スクラバ水 pH	①②で多様性あり ①②は多重性あり
	(b) 統不活性状態の確認	①フィルタ装置出口配管圧力 ②スクラバ容器圧力	①②で多様性あり ①②は多重性あり
b . 系統運転時	(a) 格納容器内の雰囲気ガスがフィルタ装置へ導かれて いることの確認	①スクラバ容器温度 ②スクラバ容器湿度 ③第1ベントフィルタ出口放射線モニタ	①②③で多様性あり ①②③は多重性あり
	(b) フィルタ装置（スクラバ容器）の性能に影響する バラメータの確認	①スクラバ容器水位	①は多重性あり
c . 事故収束時	(c) ベントガスが放出されていることの確認	①第1ベントフィルタ出口放射線モニタ	①は多重性あり
	(a) 系統内に水素が滞留していないことの確認	①第1ベントフィルタ装置出口水素濃度	①は多重性あり
d . フィルタ装置（スクラバ容器）の水位調整の確認	(b) フィルタ装置（スクラバ容器）の状態確認	①スクラバ容器水位 ②スクラバ容器温度 ③第1ベントフィルタ出口放射線モニタ	①②③で多様性あり ①②③は多重性あり
	(a) フィルタ装置（スクラバ容器）の水位調整の確認	①スクラバ容器水位	①は多重性あり
e . 想定される機能 障害	(b) フィルタ装置（スクラバ容器）水質管理	①スクラバ容器水位 ②スクラバ水 pH	①②で多様性あり ①②は多重性あり
	(a) フィルタ装置（スクラバ容器）の閉塞	①スクラバ容器圧力 ②スクラバ容器温度 ③第1ベントフィルタ出口放射線モニタ	①②③で多様性あり ①②③は多重性あり
(c) フィルタ装置（スクラバ容器）入口配管の破断	(b) 金属フィルタの閉塞	①スクラバ容器圧力 ②第1ベントフィルタ出口放射線モニタ	①②で多様性あり ①②は多重性あり
	(d) フィルタ装置（スクラバ容器）スクラビング水の 漏えい、 漏えい、	①スクラバ容器水位 ②漏えい検知器	①②で多様性あり ①は多重性あり

表1 格納容器フィルタベント系 計装設備の網羅性について

監視パラメータ※1	測定範囲	計測範囲の根拠
①スクラババ容器水位	[ ]	系統待機時ににおける水位の範囲 [ ] 及び系統運転時の下限水位から上限水位の範囲 [ ] を計測可能な範囲とする。
②スクラババ容器圧力	0～1MPa[gage]	系統運転時に格納容器フィルタベント系の最高使用圧力である0.853MPa[gage](2Pd)が監視可能。また、系統待機時に、塩素置換 [ ] が維持されていることを計測可能な範囲とする。
③スクラババ容器温度	0～300°C	系統の最高使用温度(200°C)を計測可能な範囲とする。
④フィルタ装置出口配管圧力	0～100kPa[gage]	系統待機時に、塩素置換 [ ] が維持されていることを計測可能な範囲とする。
⑤第1ベントフィルタ装置出口水素濃度	0～20vol%/0～100vol%	事故収束時に、フィルタ装置の配管内に滞留する水素濃度が可燃限界(4vol%)未満であることを計測可能な範囲とする。
⑥第1ベントフィルタ出口放射線モニタ	高レンジ：10 <sup>-2</sup> ～10 <sup>5</sup> Sv/h 低レンジ：10 <sup>-3</sup> ～10 <sup>4</sup> mSv/h	系統運転時(炉心損傷している場合)に、想定される第1ベントフィルタ出口の最大放射線量率(約3×10 <sup>3</sup> Sv/h)を計測可能な範囲とする。 系統運転時(炉心損傷していない場合)に、想定される第1ベントフィルタ出口の最大放射線量率を計測可能な範囲とする。
⑦スクラババ水 pH	pH 0～14	系統待機時に、フィルタ装置スクラビング水のpH(pH 0～14)が計測可能な範囲とする。

※1 監視パラメータの数字は第2.8.1-2図の○数字に対応する。

表2 格納容器フィルタベント系 計装設備の計測範囲の網羅性について

本資料のうち、枠囲みの内容は機密に係る事項のため公開できません。

## 格納容器フィルタベント系の計装設備の概略構成図

格納容器フィルタベント系の計装設備について記載する。

## (1) スクラバ容器水位

スクラバ容器水位は、重大事故等対処設備の機能を有しており、スクラバ容器水位の検出信号は、差圧式水位検出器からの電流信号を中央制御室の指示部にて水位信号へ変換する処理を行った後、スクラバ容器水位を中央制御室に指示し、緊急時対策所にて記録する。また、現場（第1ベントフィルタ格納槽内）にて監視可能な設計としている。（図1「スクラバ容器水位の概略構成図」参照。）

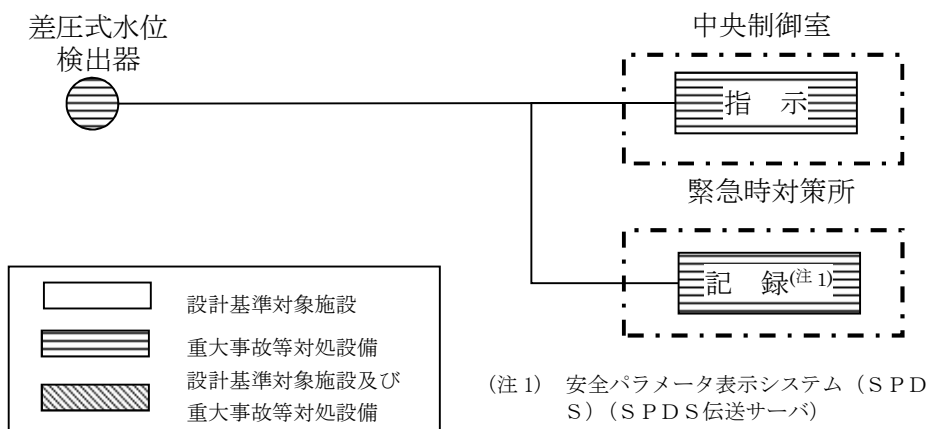


図1 スクラバ容器水位の概略構成図

## (2) スクラバ容器圧力

スクラバ容器圧力は、重大事故等対処設備の機能を有しており、スクラバ容器圧力の検出信号は、弾性圧力検出器からの電流信号を中央制御室の指示部にて圧力信号へ変換する処理を行った後、スクラバ容器圧力を中央制御室に指示し、緊急時対策所にて記録する。(図2「スクラバ容器圧力の概略構成図」参照。)

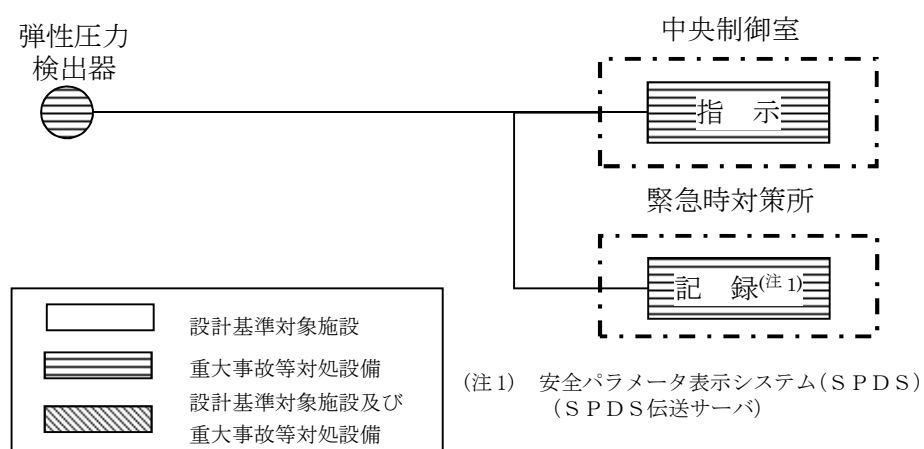


図2 スクラバ容器圧力の概略構成図

## (3) スクラバ容器温度

スクラバ容器温度は、重大事故等対処設備の機能を有しており、スクラバ容器温度の検出信号は、熱電対からの起電力を演算装置にて温度信号へ変換する処理を行った後、スクラバ容器温度を中央制御室に指示し、緊急時対策所にて記録する。(図3「スクラバ容器温度の概略構成図」参照。)

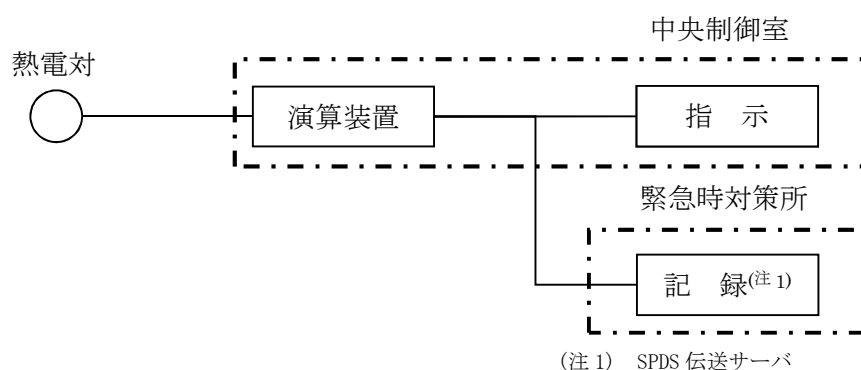


図3 スクラバ容器温度の概略構成図

#### (4) フィルタ装置出口配管圧力

フィルタ装置出口配管圧力（自主対策設備）の検出信号は、弾性圧力検出器からの電流信号を演算装置にて圧力信号へ変換する処理を行った後、フィルタ装置出口配管圧力を中央制御室に指示し、緊急時対策所にて記録する。（図4「フィルタ装置出口配管圧力の概略構成図」参照。）

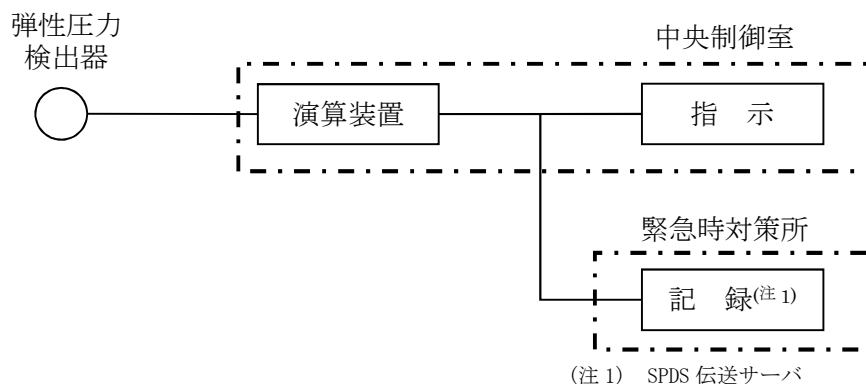


図4 フィルタ装置出口配管圧力の概略構成図

#### (5) 第1ベントフィルタ出口放射線モニタ

第1ベントフィルタ出口放射線モニタは、重大事故対処設備の機能を有しており、第1ベントフィルタ出口放射線モニタの検出信号は、電離箱からの電流信号を前置増幅器で増幅し、中央制御室の指示部にて線量当量率信号へ変換する処理を行った後、線量当量率を中央制御室に指示し、緊急時対策所にて記録する。（図5「第1ベントフィルタ出口放射線モニタの概略構成図」参照。）

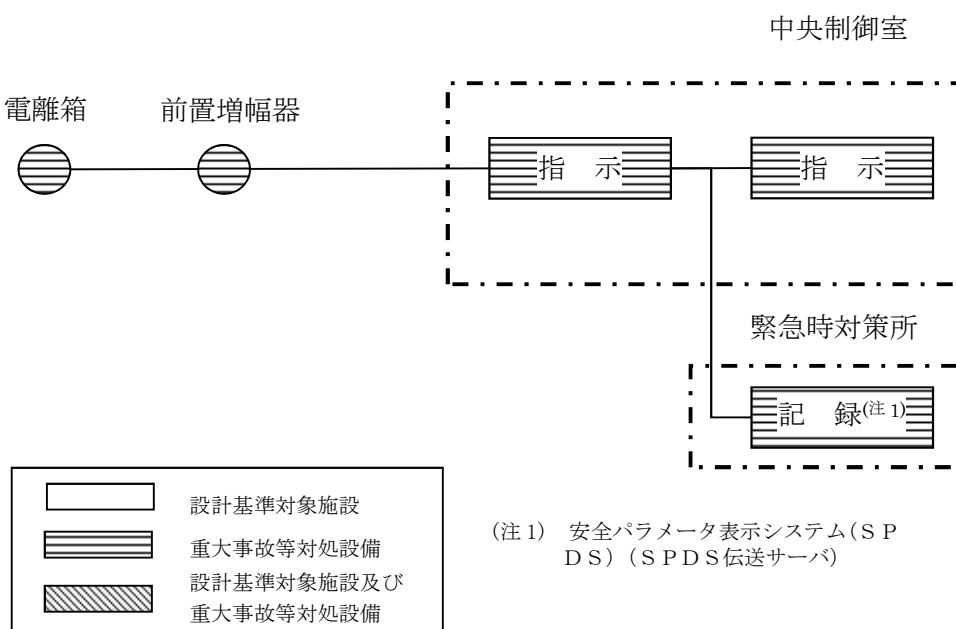


図5 第1ベントフィルタ出口放射線モニタの概略構成図

## (6) 第1ベントフィルタ出口水素濃度

第1ベントフィルタ出口水素濃度は、重大事故等対処設備の機能を有しており、第1ベントフィルタ出口水素濃度の検出信号は、熱伝導式水素検出器からの電流信号を前置増幅器で増幅し、演算装置にて水素濃度信号へ変換する処理を行った後、第1ベントフィルタ出口水素濃度を中央制御室に指示し、緊急時対策所にて記録する。(図6「第1ベントフィルタ出口水素濃度 システム概要図」、図7「第1ベントフィルタ出口水素濃度の概略構成図及び図8「第1ベントフィルタ出口分析車の構成図」参照。)

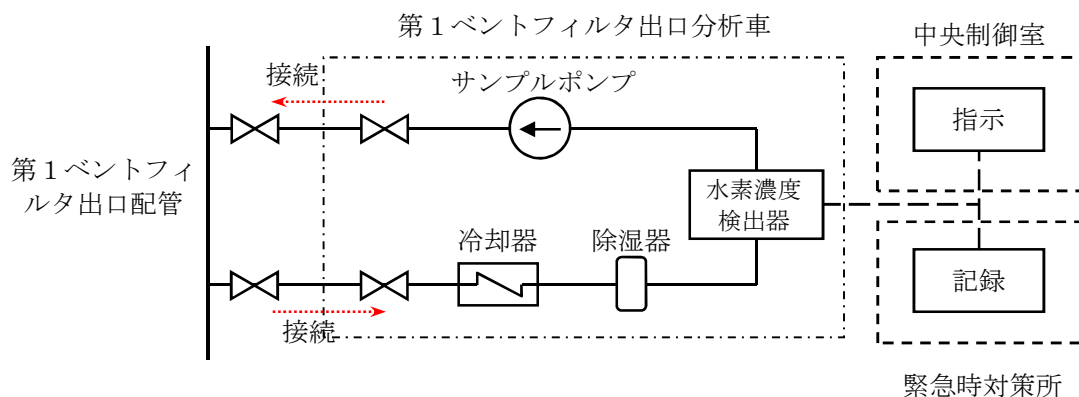


図6 第1ベントフィルタ出口水素濃度 システム概要図

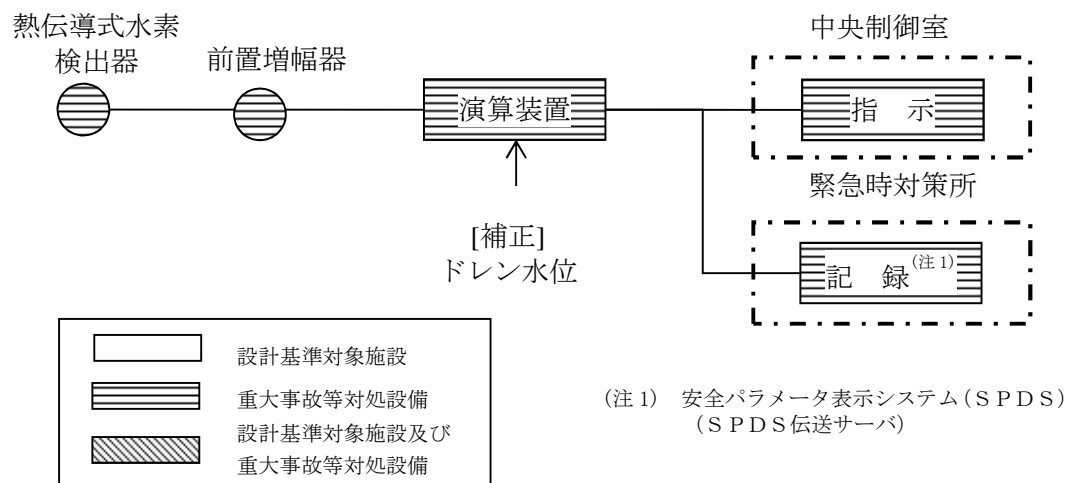


図7 第1ベントフィルタ出口水素濃度の概略構成図

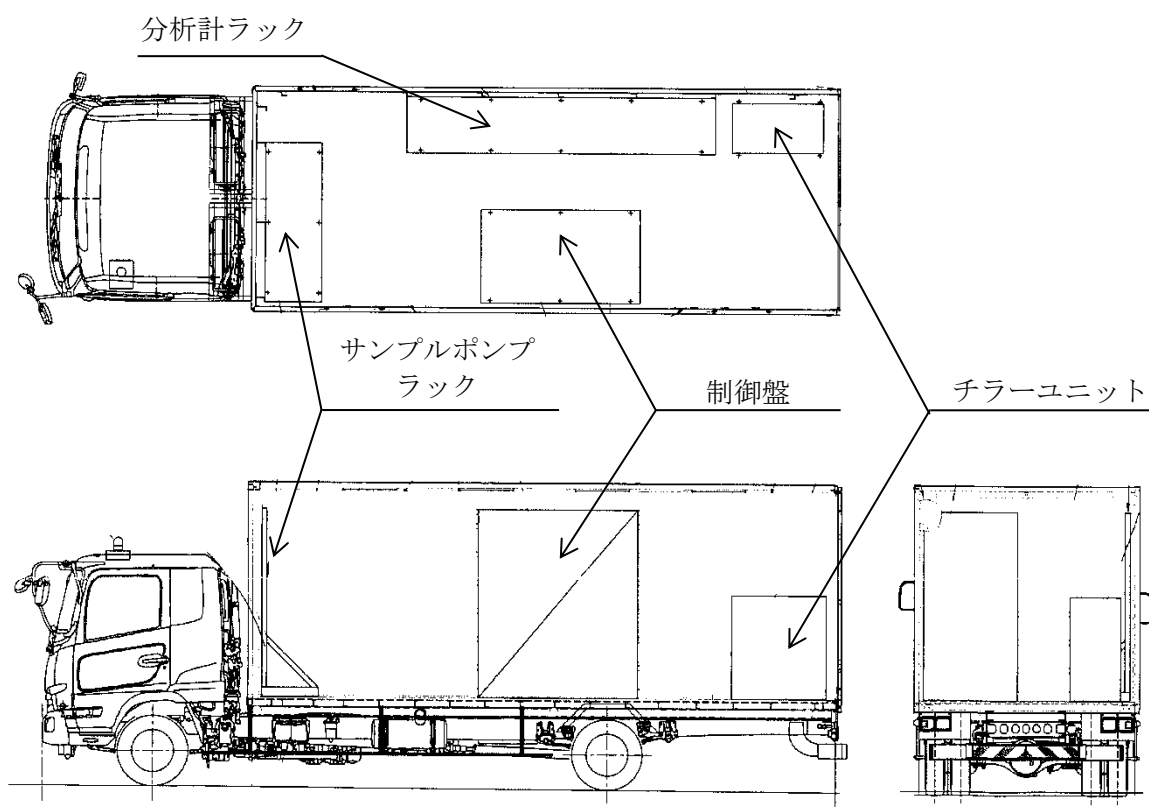


図8 第1ベントフィルタ出口分析車の構造図

(7) スクラバ水 pH

スクラバ水 pHは、スクラバ容器内の水溶液をサンプルポンプで引き込み、pH検出器により計測する。

スクラバ水 pHは、(自主対策設備)の検出信号は、pH検出器からの電流信号を中央制御室の指示部にてpH信号へ変換する処理を行った後、スクラバ水 pHを中央制御室に指示し、緊急時対策所にて記録する。(図9「スクラバ水 pH システム概要図」及び図10「スクラバ水 pH の概略構成図」参照。)

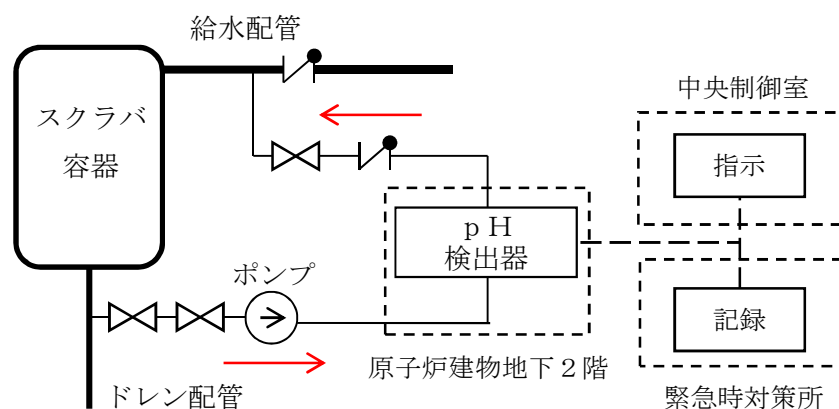


図9 スクラバ水 pHシステム概要図

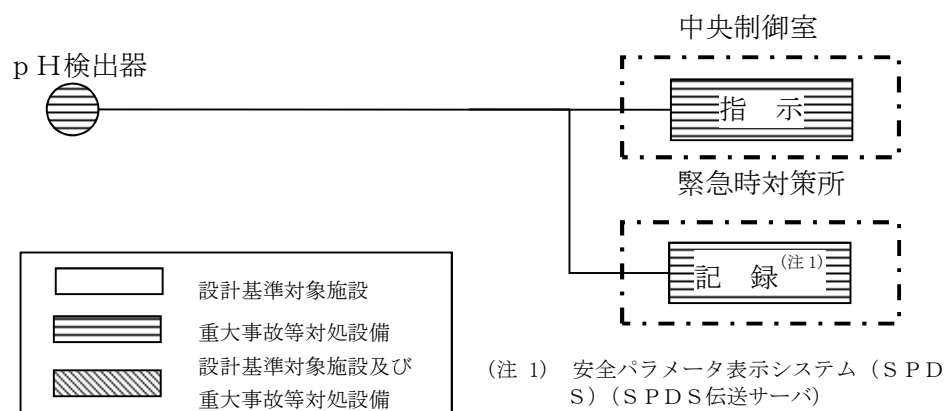


図10 スクラバ水 pHの概略構成図

参考 格納容器フィルタベント系 計装設備の機器配置図

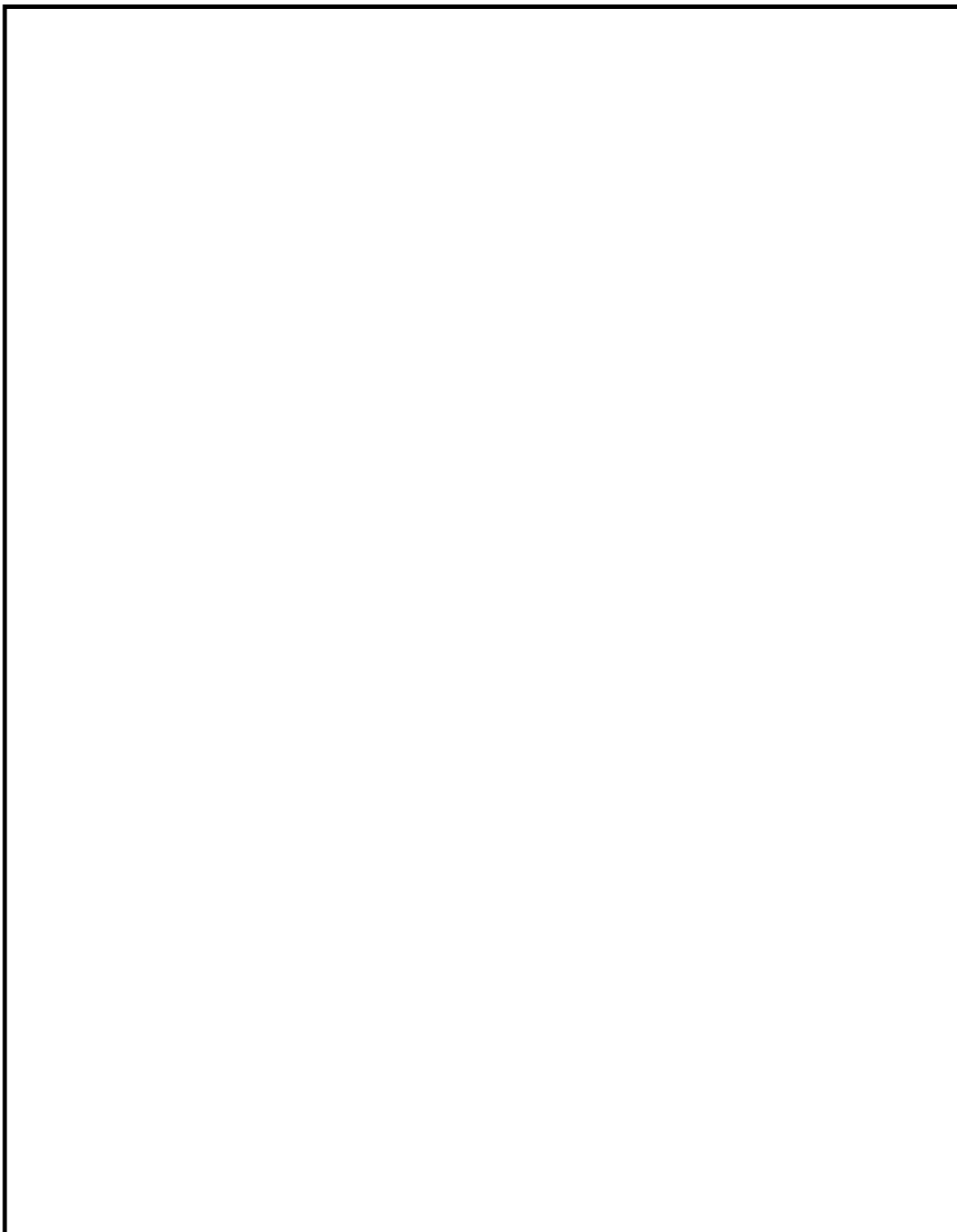


図 11 機器配置図（原子炉建物地下 2 階）

本資料のうち、枠囲みの内容は機密に係る事項のため公開できません。

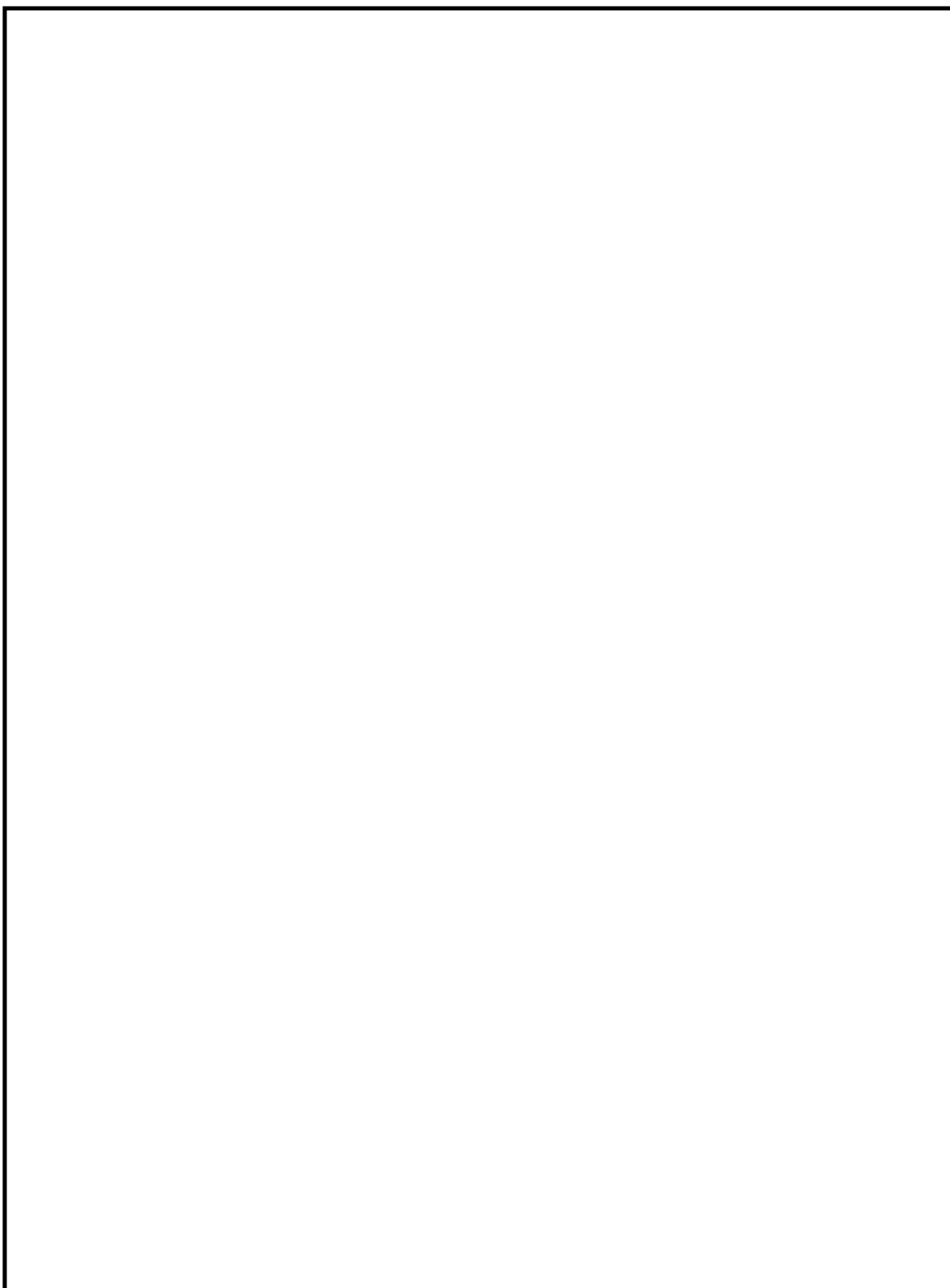


図 12 機器配置図（第 1 ベントフィルタ格納槽）（1/2）

本資料のうち、枠囲みの内容は機密に係る事項のため公開できません。

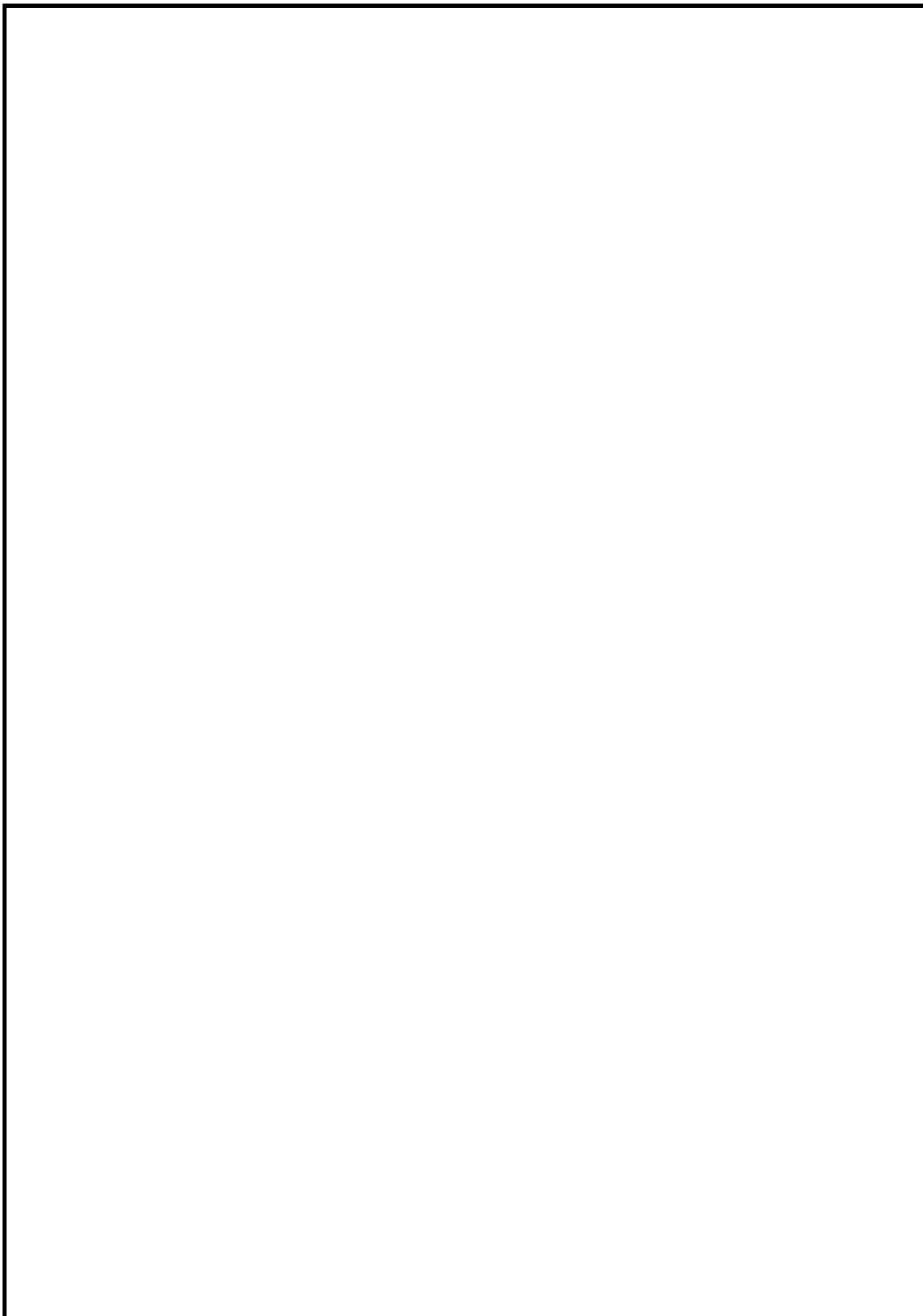


図 13 機器配置図（第 1 ベントフィルタ格納槽）(2/2)

本資料のうち、枠囲みの内容は機密に係る事項のため公開できません。

別紙27-9

1156

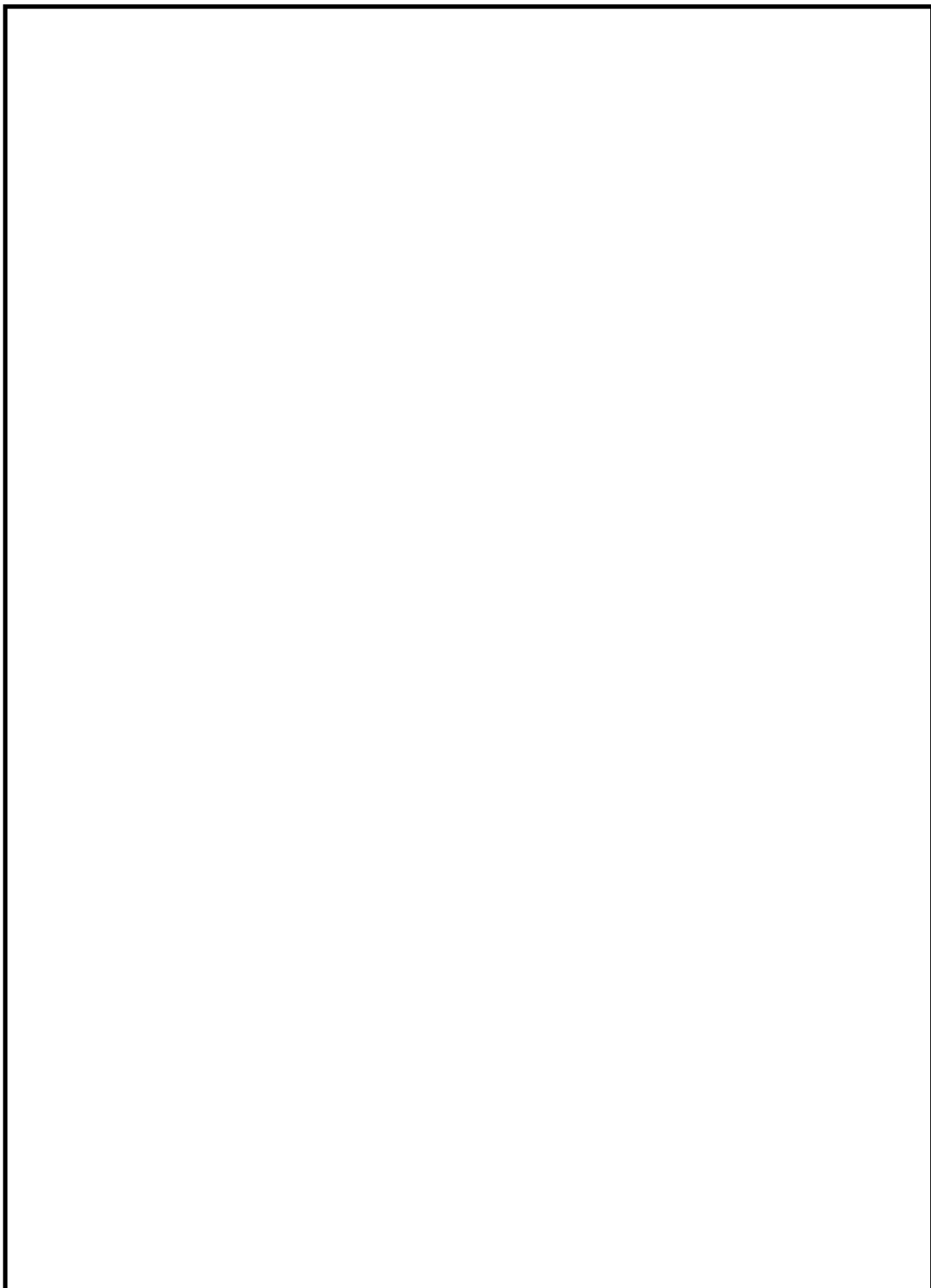


図 14 機器配置図（屋外）

本資料のうち、枠囲みの内容は機密に係る事項のため公開できません。

### 第1ベントフィルタ出口水素濃度計の計測時間遅れについて

第1ベントフィルタ出口水素濃度は、格納容器フィルタベント系の使用後に配管内に水素が残留していないことにより不活性状態が維持されていることを把握するため、第1ベントフィルタ出口配管内のガスをサンプルポンプで引き込み、除湿器で水分が除去されて、水素濃度検出器にて測定されるようにしている。水素計測後のサンプルガスは格納容器フィルタベント系の配管に戻す構成としている。水素濃度検出器からの電流信号を前置増幅器で増幅し、演算装置で水素濃度信号に変換し、中央制御室に指示し、緊急時対策所にて記録する。

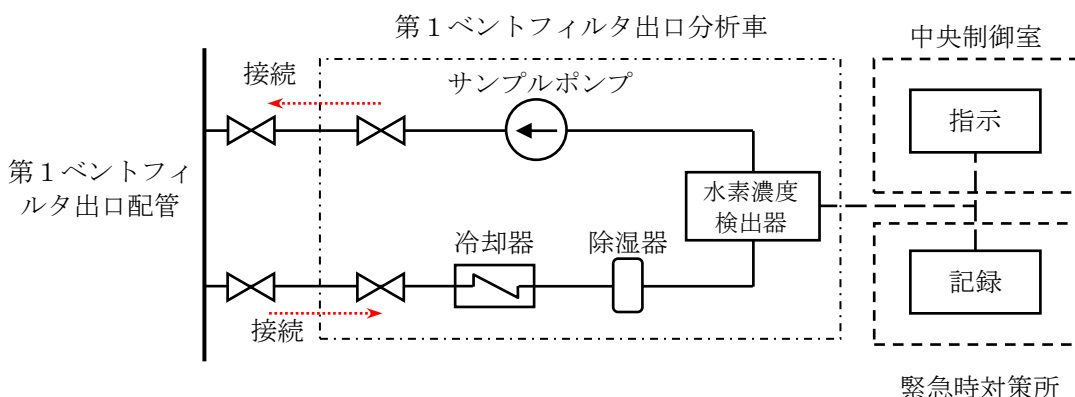


図1 第1ベントフィルタ出口水素濃度 システム概要図

なお、第1ベントフィルタ出口配管内のガスのサンプリング点は、フィルタ装置出口配管の集合部であり、そこから水素濃度検出器までの時間遅れは以下のとおりである。

- ・サンプリング配管長（サンプリング点～水素濃度検出器）：約46m
- ・サンプリング配管の内容積： $11.25 \times 10^{-3} \text{ m}^3$
- ・サンプルポンプの定格流量：約1L/min（約 $1 \times 10^{-3} \text{ m}^3/\text{min}$ ）
- ・時間遅れ（配管内容積÷流量）：約11.25 min

なお、ガスは標準状態（0°C, 101.325kPa [abs]）として算出。

表1 第1ベントフィルタ出口水素濃度の時間遅れ

時間遅れ	約12分
------	------

## <参考>

### a. 水素濃度計の測定原理

水素濃度検出器は、熱伝導度式であり、第2図に示すとおり、検知素子と補償素子（サーミスタ）及び2つの固定抵抗でブリッジ回路が構成されている。検知素子の部分に、サンプリングされたガスが流れるようになっており、補償素子には基準となる標準空気が密閉されており測定対象ガスとは接触しない構造になっている。

水素濃度指示計部より電圧を印加して検知素子と補償素子の両方のサーミスタを加熱した状態で、検知素子側に水素を含む測定ガスを流すと、測定ガスが熱を奪い、検知素子の温度が低下することにより抵抗が変化する。

この検知素子の抵抗の変化によりブリッジ回路の平衡が失われ、第2図のA B間に電位差が生じる。この電位差が水素濃度に比例する原理を用いて、水素濃度を測定する。

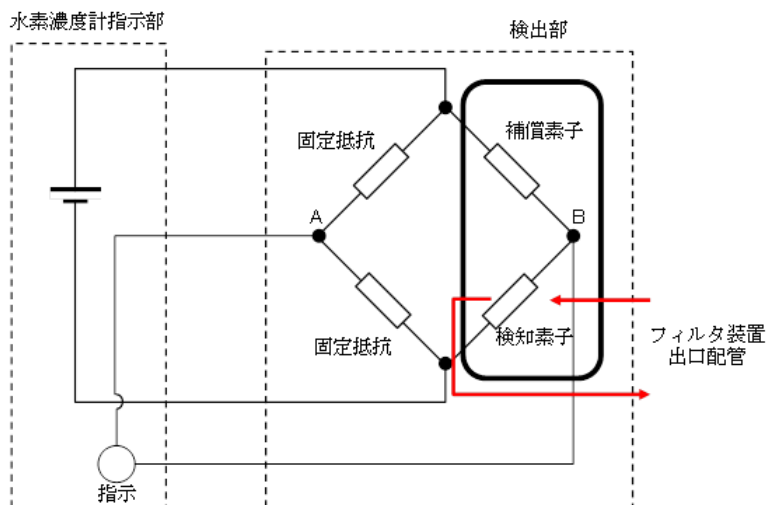


図1 水素濃度計検出回路の概要図

### b. 水素濃度の測定

水素濃度検出器は「a.」で示したとおり標準空気に対する測定ガスの熱伝導の差を検出する方式のものであり、酸素、窒素などの空気中のガスに対し、水素の熱伝導率の差が大きいことを利用しているものである。水素の熱伝導率は、約 $0.18W/(m\cdot K)$  at 27°Cである一方、酸素、窒素は、約 $0.02W/(m\cdot K)$  at 27°Cと水素より1桁小さく、これらのガス成分の変動があっても水素濃度計測に対する大きな誤差にはならない。

### c. 水素濃度測定のシステム構成

第1ベントフィルタ出口配管内のガスをサンプルポンプで引き込み、除湿器で水分が除去されて、ドライ状態で水素濃度検出器にて測定されている。また、測定されたドライ条件の水素濃度からウェット条件の水素

濃度への補正を行う。

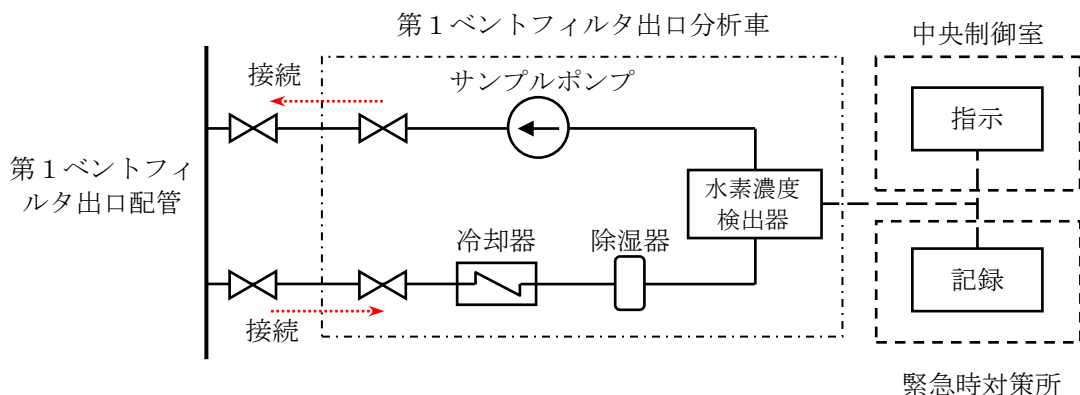


図2 第1ベントフィルタ出口水素濃度 システム概要図

#### d. 水素濃度計の仕様

種類	熱伝導式水素濃度検出器
計測範囲	0~20vol%/0~100vol%
個数	1(予備1)
設置場所	屋外

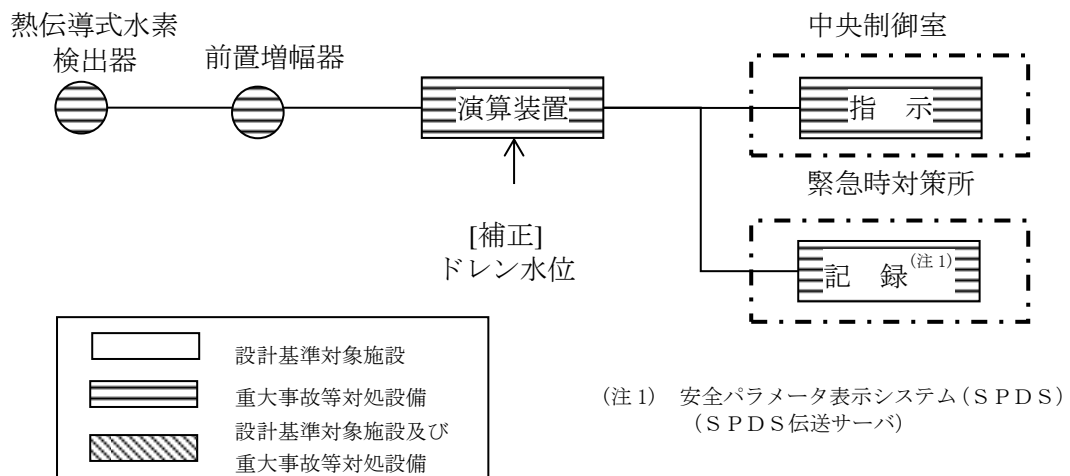


図3 第1ベントフィルタ出口水素濃度の概略構成図

水素濃度計の計測範囲0~100vol%において、計器仕様は最大±3.0vol%の誤差を、計測範囲0~20vol%に切り替えた場合は±0.6vol%の誤差を生じる可能性があるが、この誤差があることを理解した上で、フィルタ装置使用後の配管内の水素濃度の推移、傾向(トレンド)を監視していくことができる。

計装設備が計測不能になった場合の推定方法、監視場所について

(1) 計装設備の個数の考え方について

格納容器フィルタベント系の計装設備は、系統運転時において計装設備の機能喪失が格納容器フィルタベント系の機能維持のための監視及び放射性物質の除去性能の監視に直接係るパラメータについては、計器を多重化する設計としている。

多重化対象の監視パラメータは以下のとおりである。

- ・スクラバ容器水位
- ・スクラバ容器圧力
- ・スクラバ容器温度
- ・第1ベントフィルタ出口放射線モニタ（高レンジ）

(2) 計測不能となった場合の推定方法について

格納容器フィルタベント系の計装設備は、計器の故障等により計測ができない場合においても代替パラメータによる推定が可能である。各主要パラメータに対する代替パラメータ及び代替パラメータによる推定方法を表1に、計装設備概略構成図を図1に示す。

(3) 計装設備の監視場所の考え方について

格納容器フィルタベント系の計装設備は、中央制御室において集中監視を行う設計としている。また、中央制御室の運転員を介さず、事故状態を把握できるよう緊急時対策所においても監視可能とする。なお、スクラバ容器水位は、スクラビング水の補給・移送操作時に現場でも確認できるように、現場計器も設置する。

表1 格納容器フィルタメント系の代替パラメータによる推定方法

監視パラメータ ※1	個数	監視場所	計測範囲	監視目的	代替パラメータ	代替パラメータによる推定方法
①スクラバ容器水位	8	中央制御室 緊急時対策所 現場	[ ]	スクラバ容器性能維持のための水位監視	①スクラバ容器水位	①スクランセルが故障した場合は、他チャンネルのスクラバ容器水位により測定する。
②スクラバ容器圧力	4	中央制御室 緊急時対策所	0~1MPa[gage]	系統運転中に格納容器内雰囲気ガスがフィルタ装置へ導かれていることの確認	①スクラバ容器圧力 ②ドライウェル圧力 (SA) サブレッシュジョン・チエンバジ圧力 (SA)	①スクランセルが故障した場合は、他チャンネルのスクラバ容器圧力により測定する。 ②ドライウェル圧力 (SA) 又はサブレッシュジョン・チエンバジ圧力 (SA) の傾向監視により格納容器圧力逃し装置の健全性を推定する。
③スクラバ容器温度	4	中央制御室 緊急時対策所	0~300°C	スクラバ容器の温度監視	①スクラバ容器温度	①スクランセルが故障した場合は、他チャンネルのスクラバ容器温度により測定する。
④フィルタ装置出口配管圧力 ※3	2	中央制御室 緊急時対策所	0~100kPa[gage]	系統待機時の窒素封入による不活性状態の確認	— <sup>※4</sup>	— <sup>※4</sup>
⑤第1ペントフィルタ装置出口水素濃度	1 (予備1)	中央制御室 緊急時対策所	0~20vol%/ 0~100vol%	事故収束時の系統内の水素濃度の確認	①第1ペントフィルタ装置出口水素濃度 (予備) ②格納容器水素濃度 (SA)	①第1ペントフィルタ装置出口水素濃度が故障した場合は、予備の第1ペントフィルタ出口水素濃度により推定する。 ②原子炉格納容器内の水素ガスが格納容器水素濃度及び格納容器水素濃度 (SA) により推定する。
⑥第1ペントフィルタ出口放射線モニタ	2	中央制御室 緊急時対策所	高レンジ： $10^{-2} \sim 10^5 \text{ Sv/h}$ 低レンジ： $10^{-3} \sim 10^0 \text{ mSv/h}$	系統運転中に放出される放射性物質濃度の確認	①第1ペントフィルタ出口放射線モニタ <sup>※2</sup> ②モニタリング・ポスト又は可搬式モニタリング・ポスト	①第1ペントフィルタ出口放射線モニタの1チャンネルが故障した場合は、他チャンネルの第1ペントフィルタ出口放射線モニタにより測定する。 ②第1ペントフィルタ出口の放射能は系統外に放出されたため、モニタリング・ポスト又は可搬式モニタリング・ポストから放射線量率を推定する。
⑦スクラバ水 pH	2	中央制御室 緊急時対策所	pH 0~14	スクラバ容器性能維持のためのpH監視	— <sup>※4</sup>	— <sup>※4</sup>

※1：監視パラメータの数字は図1の○数字に対応する。

※2：第1ペントフィルタ出口放射線モニタ（高レンジ）のみ多チャンネルによる計測する。

※3：自主対策設備 ※4：自主対策設備のため代替パラメータによる推定は除く。

本資料のうち、枠囲みの内容は機密に係る事項のため公開できません。

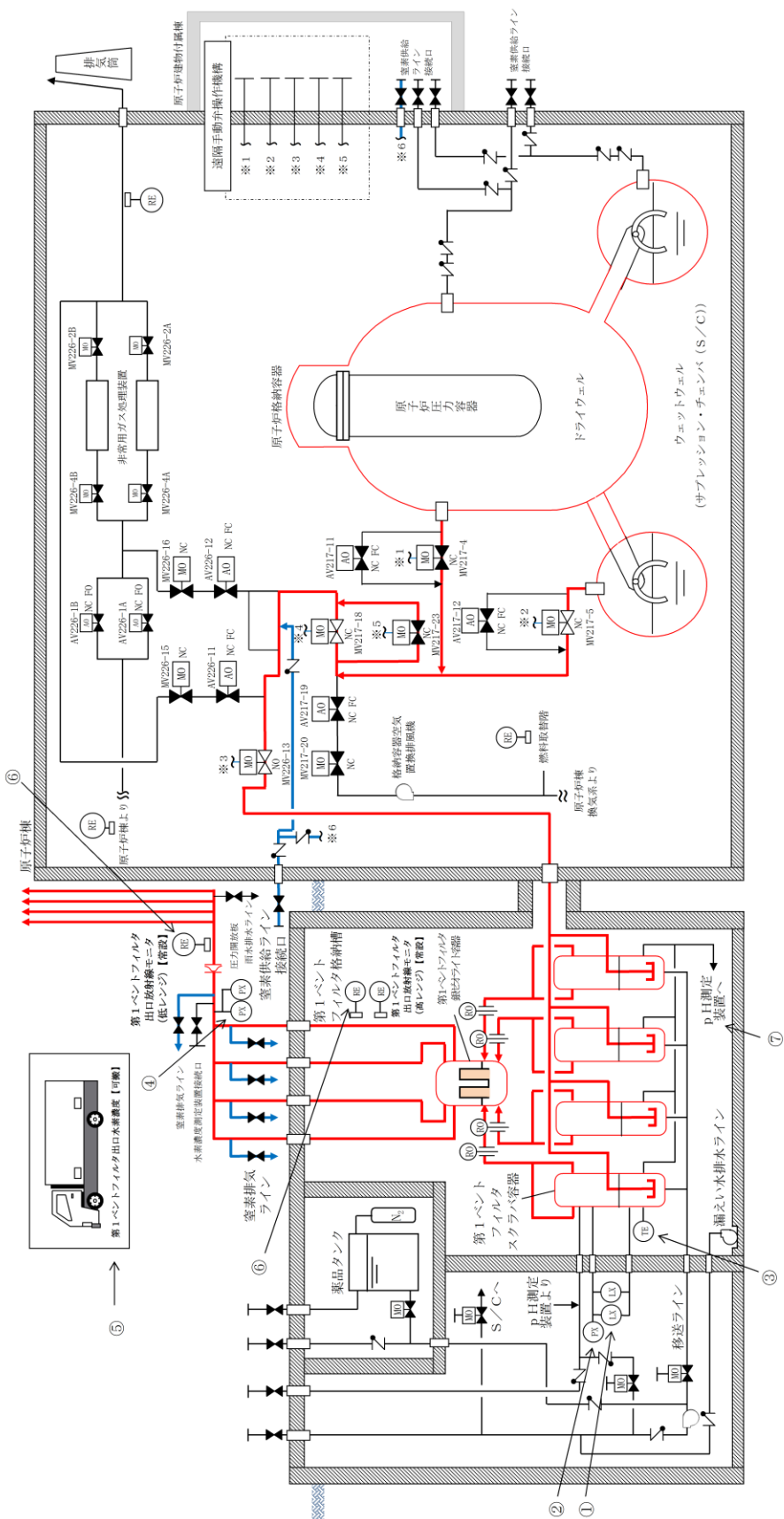


図1 格納容器フィルタベント系 計装設備概略構成図

## ベント実施時の放射線監視測定の考え方について

## (1) 第1ベントフィルタ出口放射線モニタの計測範囲

第1ベントフィルタ出口放射線モニタの計測範囲と計測範囲の設定の考え方は、表1のとおりである。

表1 計測範囲とその考え方

名称	計測範囲	取付箇所	計測範囲の設定の考え方
第1ベントフィルタ 出口放射線モニタ (高レンジ)	$10^{-2}\text{Sv/h} \sim 10^5\text{Sv/h}$	第1ベントフィルタ格納槽内	系統運転中における放射性物質濃度を確認するため、想定される放射性物質がフィルタ装置出口配管に内包された時の最大の放射線量率を計測できる範囲とする。なお、高レンジ用は炉心損傷している場合に、低レンジ用は炉心損傷していない場合を想定して設定する。
第1ベントフィルタ 出口放射線モニタ (低レンジ)	$10^{-3}\text{mSv/h} \sim 10^4\text{mSv/h}$	屋外	

## a. ベント実施に想定される線量率について

ベント実施時に想定される最大の線量率を評価するために必要な評価条件を表2に示す。また、表2の評価条件に基づく評価結果を表3に示す。第1ベントフィルタ出口放射線モニタ(高レンジ)の計測範囲の上限値である $1.0 \times 10^5\text{Sv/h}$ は、ベント実施時に想定される最大線量率 $1.6 \times 10^1\text{Sv/h}$ に対し、余裕があり、計測可能である。

表2 評価条件

項目	評価条件	評価条件の考え方
評価対象核種	希ガス類 (Kr-83m, Kr-85m, Kr-85, Kr-87, Kr-88, Xe-131m, Xe-133m, Xe-133, Xe-135m, Xe-135, Xe-138)	大気に放出される放射性物質のうち、線量率が支配的となる核種を選定 (後述 b 項参照)
炉心状態	平衡炉心 (サイクル末期)	原子炉の放射性物質の内蔵量が最も多くなる状態を選定
炉心から格納容器への移行割合(希ガス)	100%	M A A P 解析結果に基づき設定
格納容器から原子炉建屋への漏えい	考慮しない	格納容器フィルタベント系による大気への放出量を多く見積もるため
ベント開始時間	事象発生から 1 時間後	開始時刻が遅れるほど希ガスが減衰するため、保守的に設定
評価モデル	図 1 のとおり	第 1 ベントフィルタ出口放射線モニタ (高レンジ) の設置位置 (図 2) をモデル化
線量評価コード	Q A D - C G G P 2 R	現行許認可 (添十) と同じ

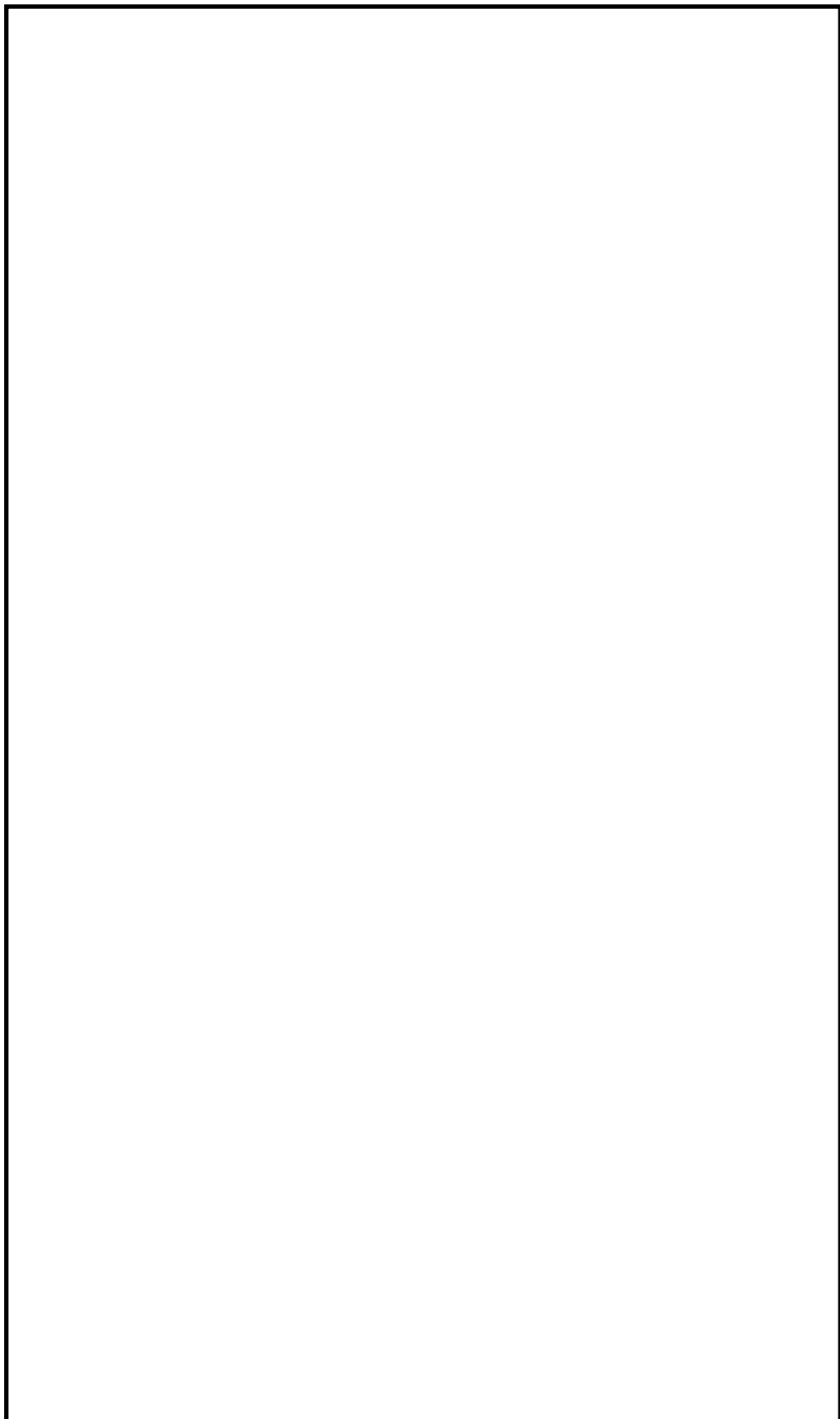


図1 評価モデル

本資料のうち、枠囲みの内容は機密に係る事項のため公開できません。

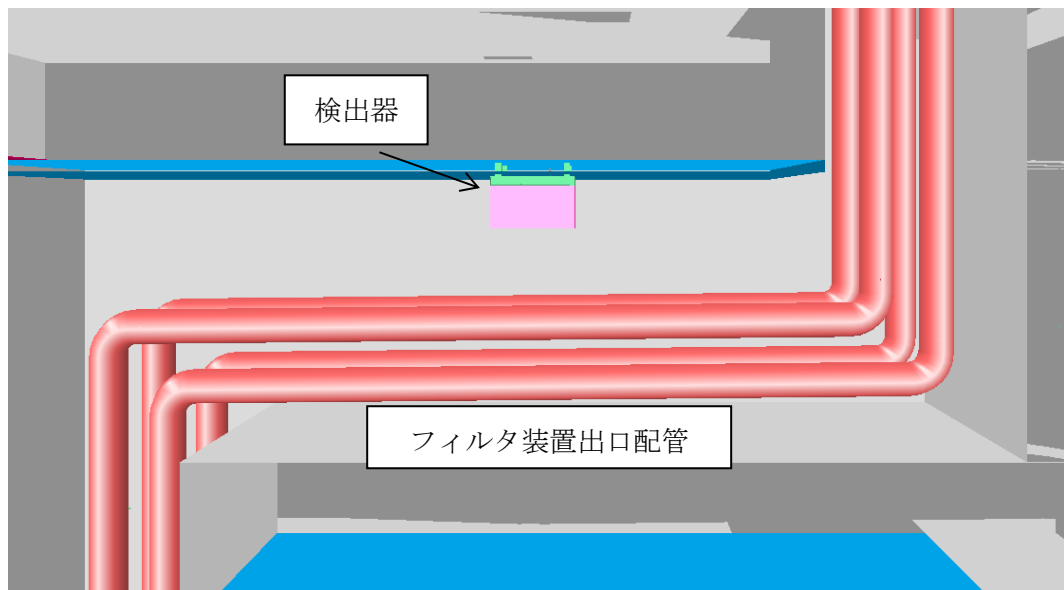


図2 第1ベントフィルタ出口放射線モニタ（高レンジ）位置図

表3 評価結果

評価対象核種	線量率 (Sv/h)
Kr-83m	1.9E-19
Kr-85m	6.0E-01
Kr-85	4.4E-04
Kr-87	2.1E+00
Kr-88	8.7E+00
Xe-131m	4.3E-04
Xe-133m	1.9E-02
Xe-133	1.6E-01
Xe-135m	1.4E+00
Xe-135	2.1E+00
Xe-138	8.8E-01
合 計	1.6E+01

### b. 評価対象核種の考え方

格納容器フィルタベント系を通じて格納容器内の放射性物質が大気へ放出される際、希ガス及びよう素を除く放射性物質はベントフィルタの除去効果を大きく受けるため、大気へ放出される主な放射性物質は希ガス及びよう素となる。

表4に示す評価条件を用いて希ガス及びよう素の線量率を評価した結果、表5のとおり希ガスの線量率は、よう素に比べて60倍程度高く、放射線モニタ測定値は希ガスからの寄与が支配的であるため、希ガスを評価対象核種とする。

表4 評価条件 (1/2)

項目	評価条件	評価条件の考え方
評価事象	「冷却材喪失（大破断L O C A）+ E C C S 注水機能喪失+全交流動力電源喪失」（残留熱代替除去系を使用しない場合）	格納容器破損防止対策の有効性評価で想定する格納容器破損モードのうち、希ガス類及びよう素の放出量が最も多くなる事故シーケンスとして、ベントの実施時間が最も早くなる事故シーケンスを選定
炉心状態	平衡炉心（サイクル末期）	原子炉の放射性物質の内蔵量が最も多くなる状態を選定
評価対象核種	希ガス類 : Kr-83m, Kr-85m, Kr-85, Kr-87, Kr-88, Xe-131m, Xe-133m, Xe-133, Xe-135m, Xe-135, Xe-138 よう素 : I-131, I-132, I-133, I-134, I-135	大気に放出される放射性物質のうち、線量当量率が支配的となる核種を選定
炉心から格納容器への移行割合	希ガス : 100% よう素 : 80%	M A A P 解析結果に基づき設定
よう素の形態	有機よう素 : 4% 無機よう素 : 91% 粒子状よう素 : 5%	R. G. 1.195 <sup>*1</sup> に基づき設定
格納容器内での除去効果（希ガス及び有機よう素）	考慮しない	保守的に設定

項目	評価条件	評価条件の考え方
格納容器内での除去効果（無機よう素）	沈着による除去係数：200	CSE 実験及び Standard Review Plan 6.5.2 <sup>※2</sup> に基づき設定
	サプレッション・プール水でのスクラビングによる除去係数：5	Standard Review Plan 6.5.5 <sup>※3</sup> に基づき設定
格納容器内での除去効果（粒子状よう素）	無機よう素と同じ	無機よう素よりも沈着等による除去効果が大きいが、保守的に無機よう素と同じとする。

表4 評価条件 (2/2)

項目	評価条件	評価条件の考え方
ベント開始時間	事象発生から 32 時間後	M A A P 解析結果
ベントフィルタ除去係数	希ガス : 1 有機よう素 : 50 無機よう素 : 100 粒子状よう素 : 1,000	設計値に基づき設定
評価モデル	図1のとおり	第1ベントフィルタ出口放射線モニタ（高レンジ）の設置位置（図2）をモデル化
線量評価コード	Q A D - C G G P 2 R	現行許認可（添十）と同じ

※1 Regulatory Guide 1.195, “Methods and Assumptions for Evaluating Radiological Consequences of Design Basis Accidents at Light-Water Nuclear Power Reactors”, May 2003

※2 Standard Review Plan6.5.2, “Containment Spray as a Fission Product Cleanup System”, March 2007

※3 Standard Review Plan6.5.5, “Pressure Suppression Pool as a Fission Product Cleanup System”, March 2007

表5 評価結果

ベント 開始時間	希ガス 線量率① (Sv/h)	よう素 線量率② (Sv/h)	①/②
事象発生から 32 時間後	$1.4 \times 10^0$	$2.2 \times 10^{-2}$	$6.4 \times 10^1$

- (2) フィルタを通過した放射性物質が第1ベントフィルタ出口放射線モニタ近傍の配管に付着した場合の影響について

第1ベントフィルタ出口放射線モニタはフィルタ装置出口の配管外側から計測となるため、フィルタ装置出口配管内に付着した放射性物質の影響を受ける。そのため、ベント終了後に残る放射線モニタ指示値から配管付着分を評価し、ベント中の放射線モニタ指示値から差し引くことで配管付着影響を除去することができる。

表4の評価条件（希ガスは配管付着しないため、よう素に係る評価条件のみ）及びフィルタ装置出口配管への放射性物質付着率を「放射性物質の通過量に対して 100m 当たり 10%が配管内に均一に付着する」とした場合の評価結果は、9.6mSv/hである。

- (3) 線量率から放射性物質濃度への換算の考え方

第1ベントフィルタ出口放射線モニタでの計測値（ガンマ線強度）は、フィルタ装置出口配管内の放射性物質の核種及びその放射性物質濃度により決まる値である。あらかじめ、フィルタ装置出口配管内の放射性物質濃度と線量率により、換算係数を定めておくことで、事故時の第1ベントフィルタ出口放射線モニタの指示値からフィルタ装置出口配管内の放射性物質濃度を把握することができる。

表4の評価条件において評価した第1ベントフィルタ出口放射線モニタ（高レンジ）の換算係数を表6に示す。なお、換算係数の算出過程を以下に示す。

- ① 平衡炉心（サイクル末期）における核種ごとの炉内希ガスの総量（①）を解析により算出する。
- ② ベント開始時間までの減衰を考慮した核種ごとの希ガスの総量（②）を算出する。
- ③ 格納容器空間体積（12,600m<sup>3</sup>）から核種ごとの希ガス量を除し、核種ごとの放射性物質濃度の合計（③）を算出する。
- ④ 上記③の核種ごとの放射性物質濃度にγ線放出割合を乗じて算出したγ線線源強度と図1の評価モデルから核種ごとの線量率の合計（④）を算出する。
- ⑤ 上記③で求めた放射線物質濃度の合算値を④で求めた線量率の合算値で除することで、換算係数を算出する。

表6 換算係数の算出

炉停止時 内蔵量① (Bq)	32時間後 減衰値② (Bq)	放射性物質 濃度③ (Bq/cm <sup>3</sup> )	線量率④ (Sv/h)	換算係数 ( (Bq/cm <sup>3</sup> ) / (Sv/h) )
$1.6 \times 10^{19}$	$5.7 \times 10^{18}$	$4.5 \times 10^8$	$1.4 \times 10^0$	$3.3 \times 10^8$

表6の換算係数は、原子炉停止から32時間後にベントを開始した場合の換算係数であり、核種の減衰により換算係数は変化するため、同様の手法で算出した換算係数の時間変化は図3のグラフのとおりとなる。実際の運用では、手順書に代表的な時間における換算係数を表として備えるなどして適切な評価ができるよう準備する。また、建屋外の第1ベントフィルタ出口放射線モニタ(低レンジ)についても、同様の方法で換算係数を算出し、上記の評価ができるよう準備する。

なお、事故後に当該事故の状態を詳細に把握し、換算係数の再評価を実施することにより、第1ベントフィルタ出口放射線モニタの指示値(Sv/h)の記録から、より精度の高い放射性物質濃度(Bq/cm<sup>3</sup>)を評価することが可能である。

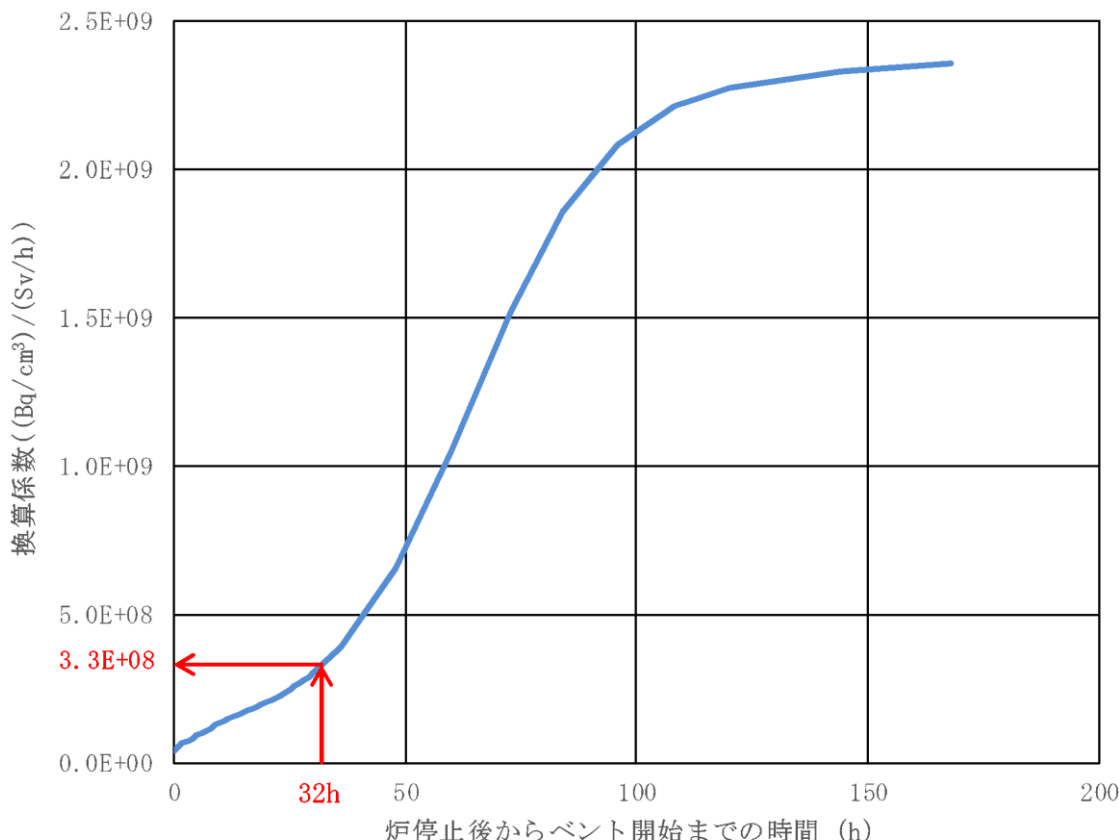


図3 換算係数の時間推移

#### (4) 放射性物質の放出量の推定方法

##### a. 格納容器雰囲気放射線モニタによる推定方法

格納容器雰囲気放射線モニタは、格納容器内に存在する放射性物質からの放射線を測定するものである。格納容器内には、気相部に浮遊している放射性物質と構造物等に沈着した放射性物質が存在しており、ベント時に放出される放射性物質濃度を把握することで、放射性物質の放出量を推定する。以下に格納容器雰囲気放射線モニタによる推定方法を示す。

##### ○事前準備事項

- ① 平衡炉心（サイクル末期）における核種ごとの炉内内蔵量（Bq）を解析にて求める。
- ② ベント開始時間までの減衰を考慮した核種ごとの存在量（Bq）を算出する。
- ③ M A A P コードを用い、代表的な重大事故時想定<sup>\*1</sup>における主要な放射性物質の格納容器内への移行割合（気相部への移行割合、沈着割合）を求め、①及び②で算出した核種ごとの存在量（Bq）より壁面沈着分の放射能量（Bq）及び気相部の放射能量（Bq）を評価する。
- ④ 検出器位置周辺に沈着した放射能量（Bq）及び気相部の放射能量（Bq）から検出器への線量の寄与（Sv／h）について、検出器の周辺の構造を考慮した線量評価モデルを用いて評価する。
- ⑤ 上記の評価結果を用い、「格納容器気相部に存在する放射能量（Bq）及び検出器位置での線量率（Sv／h）」をあらかじめ用意する。

##### ○放射性物質の推定方法

- ① プラントデータを確認し、事前に評価する代表的な重大事故時想定<sup>\*1</sup>の中より最も事象進展が近いものを選定する。
- ② 格納容器雰囲気放射線モニタの指示値（Sv／h）に対し、事前に評価した代表的な重大事故時想定における「格納容器気相部に存在する放射能量（Bq）及び検出器位置での線量率（Sv／h）」を基に、格納容器気相部に浮遊する放射能量（Bq）を比例計算にて求める。
- ③ ②より求めた格納容器気相部内の放射能量（Bq）に格納容器フィルタベント系、サプレッション・プールにおけるスクラビングの除去係数を考慮し放出放射能量（Bq）を求める。

※1 事前に評価する代表的な重大事故時想定として、格納容器内の放射性物質の存在割合に大きく影響する L O C A の発生の有無等を考慮した複数ケースを評価する。事故時においてはプラントデータを確認し、評価ケースの中より最も近い事象進展を選定し評価を行う。なお、上記手順は、格納容器フィルタベント系の使用の可能性があ

ある。そのため、詳細な値は事故後に得られた詳細な事象進展、データを用いて確認する必要がある。

#### b. 第1ベントフィルタ出口放射線モニタによる推定方法

第1ベントフィルタ出口放射線モニタは、フィルタ装置出口配管に設置されており、ベントによる放射性物質からの放射線を測定するものである。ベント中に放出される放射性物質濃度とベントガス流量を把握することで、放射性物質の放出量を推定する。以下に第1ベントフィルタ出口放射線モニタによる推定方法を示す。

##### ○事前準備事項

(3) 項で示す手法で算出した「換算係数  $((\text{Bq}/\text{cm}^3) / (\text{Sv}/\text{h}))$ 」をあらかじめ用意する。なお、核種の減衰により換算係数は変化するため、代表的な時間における同様な手法で算出した換算係数を表として備えるなどの対応をあらかじめ用意する。

##### ○放射性物質の推定方法

- ① 第1ベントフィルタ出口放射線モニタの指示値  $(\text{Sv}/\text{h})$  に対し、事前に評価した「換算係数  $((\text{Bq}/\text{cm}^3) / (\text{Sv}/\text{h}))$ 」を乗じ、放射性物質濃度  $(\text{Bq}/\text{cm}^3)$  を求める。
- ② ①で求めた放射性物質濃度  $(\text{Bq}/\text{m}^3)$  に格納容器圧力から推定されるベントガス流量  $(\text{m}^3/\text{h})$  を乗じ、放出速度  $(\text{Bq}/\text{h})$  を求める。
- ③ ②の放出速度  $(\text{Bq}/\text{h})$  をベント実施期間で積分することにより、放出放射能量  $(\text{Bq})$  を求める。
- ④ 事故後に換算係数を再評価し、また、配管付着分のバックグラウンドを差し引くことで、より精度の高い放出放射能量  $(\text{Bq})$  を求める。

## 電源構成の考え方について

### (1) 電源系統の構成

格納容器フィルタベント系の隔離弁及び計装設備の重大事故等時における電源構成は、以下のとおり。

#### a. 常設代替交流電源設備

常設代替交流電源設備として、ガスタービン機関及び発電機を搭載したガスタービン発電機を設置する。本設備は、ガスタービン発電機の遠隔起動操作スイッチにより中央制御室からの起動を可能とする。

#### b. 可搬型代替交流電源設備

可搬型代替交流電源設備として、ディーゼル機関及び発電機を搭載した高压発電機車を配備する。本設備は、常設代替交流電源設備と異なる場所に分散して配備する。接続口は、原子炉建屋の西側、南側及びガスタービン発電機建物の南側に位置的分散を考慮して設置することで、共通要因により接続することができなくならないようとする。

#### c. 常設代替直流電源設備

常設代替直流電源設備として、SA用 115V 系蓄電池を設置する。本設備は、重大事故等対処設備専用の蓄電池であり、所内常設蓄電式直流電源設備とは位置的分散を図る。本系統は、常設代替交流電源設備、可搬型代替交流電源設備又は可搬型直流電源設備による電源の給電が開始されるまでの期間も格納容器フィルタベント系の計装設備に、24 時間にわたり電源を給電できる容量を有している。

#### d. 可搬型直流電源設備

可搬型直流電源設備として、高压発電機車及び常設充電器を配備し電源を給電する。

### (2) 電源種別ごとの電源給電範囲

#### a. 常設代替交流電源設備による電源給電範囲

常設代替交流電源設備により、ベント弁（第1弁：MV217-4, 第1弁：MV271-5, 第2弁：MV217-18, 第2弁：MV217-23, 第3弁：MV226-13）、ドレン移送ポンプ、格納槽排水ポンプ、ベントフィルタ1次ドレン弁、循環ライン止め弁、ドレン移送ライン連絡弁、薬液貯蔵タンク出口弁、フィルタ装置周り計装設備、第1ベントフィルタ出口水素濃度、スクラバ水 pH 及び第1ベントフィルタ出口放射線モニタ（高レンジ・低レンジ）に給電が可能である。

電源給電範囲を図1～図2に、負荷一覧を表1に示す。

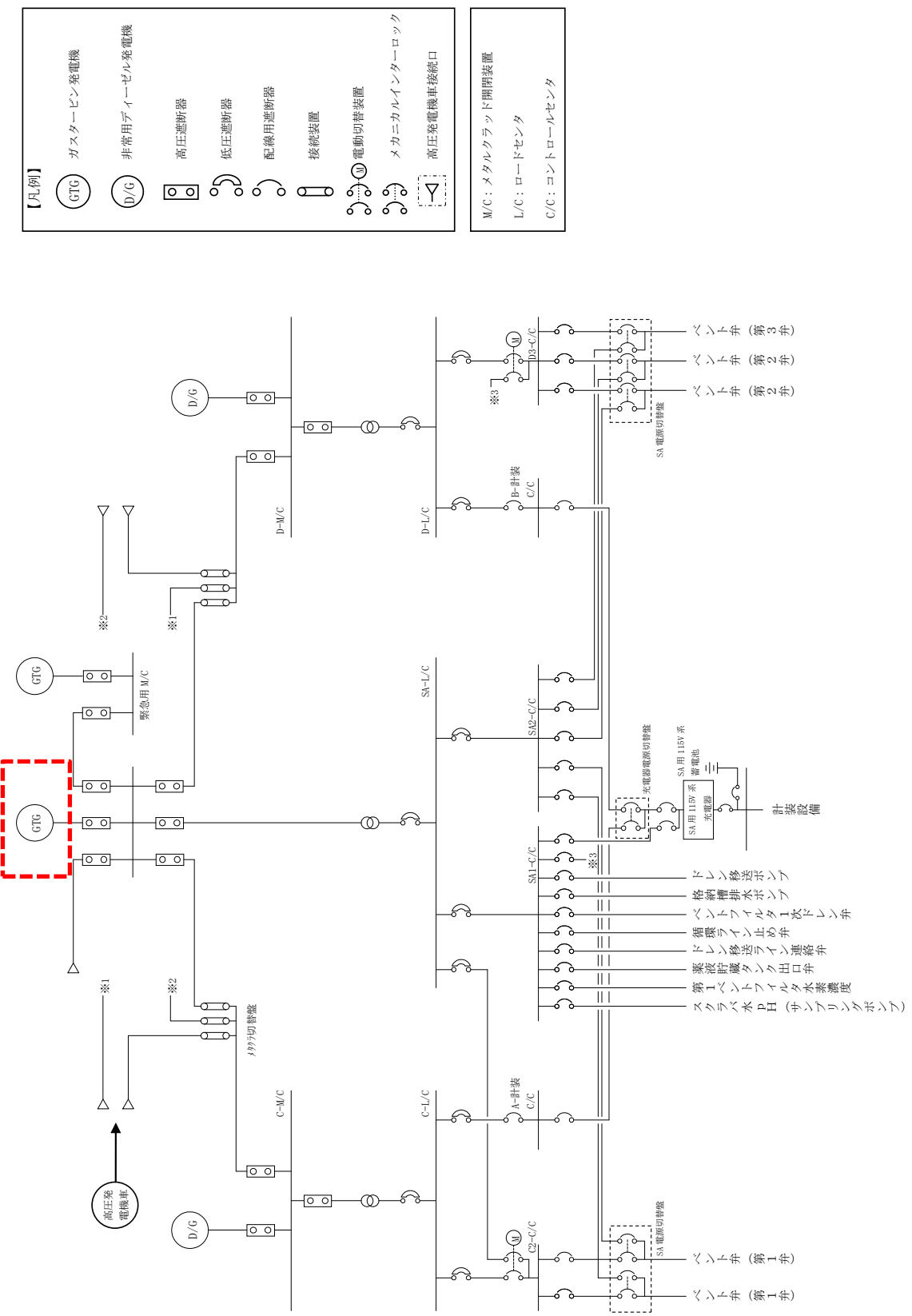


図1 常設代替交流電源設備による電源給電範囲（交流電源）

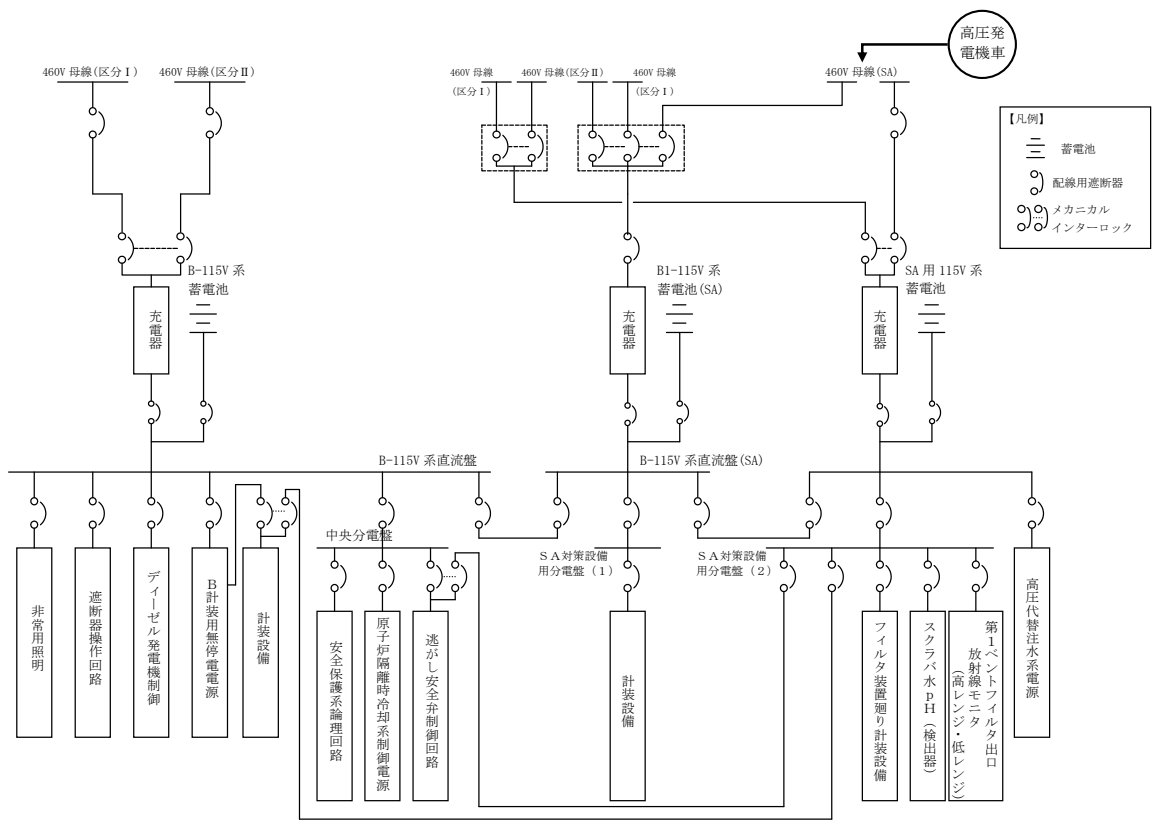


図2 常設代替交流電源設備による電源給電範囲（直流電源）

表1 常設代替交流電源設備による負荷一覧

	負荷	負荷容量 (交流 (kW))	備考
1	ベント弁（第1弁：MV217-4）	1.4kW	
2	ベント弁（第1弁：MV217-5）	1.4kW	
3	ベント弁（第2弁：MV217-18）	0.72kW	
4	ベント弁（第2弁：MV217-23）	0.72kW	
5	ベント弁（第3弁：MV226-13）	0.72kW	
6	ドレン移送ポンプ	約 11kW	
7	格納槽排水ポンプ	約 30kW	
8	ベントフィルタ1次ドレン弁	0.43kW	
9	循環ライン止め弁	0.43kW	
10	ドレン移送ライン連絡弁	0.43kW	
11	薬液貯蔵タンク出口弁	0.13kW	
12	フィルタ装置廻り計装設備	約 0.1kW	
13	第1ベントフィルタ出口水素濃度	約 25kW	
14	スクラバ水pH	約 21kW	サンプリングポンプ含む
15	第1ベントフィルタ出口放射線モニタ (高レンジ・低レンジ)	約 0.2kW	
合 計		約 95kW <sup>※1</sup>	

※1 常設代替交流電源設備の設備容量は 4,800kW (6,000kVA) とし、負荷容量約 95kW に対して必要十分な容量とする。

#### b. 可搬型代替交流電源設備による電源給電範囲

可搬型代替交流電源設備により、ベント弁（第1弁：MV217-4, 第1弁：MV217-5, 第2弁：MV217-18, 第2弁：MV217-23, 第3弁：MV226-13）、ドレン移送ポンプ、格納槽排水ポンプ、ベントフィルタ1次ドレン弁、循環ライン止め弁、ドレン移送ライン連絡弁、薬液貯蔵タンク出口弁、フィルタ装置周り計装設備、第1ベントフィルタ出口水素濃度、スクラバ水pH及び第1ベントフィルタ出口放射線モニタ（高レンジ・低レンジ）に給電が可能である。

電源給電範囲を図3～図4に、負荷一覧を表2に示す。

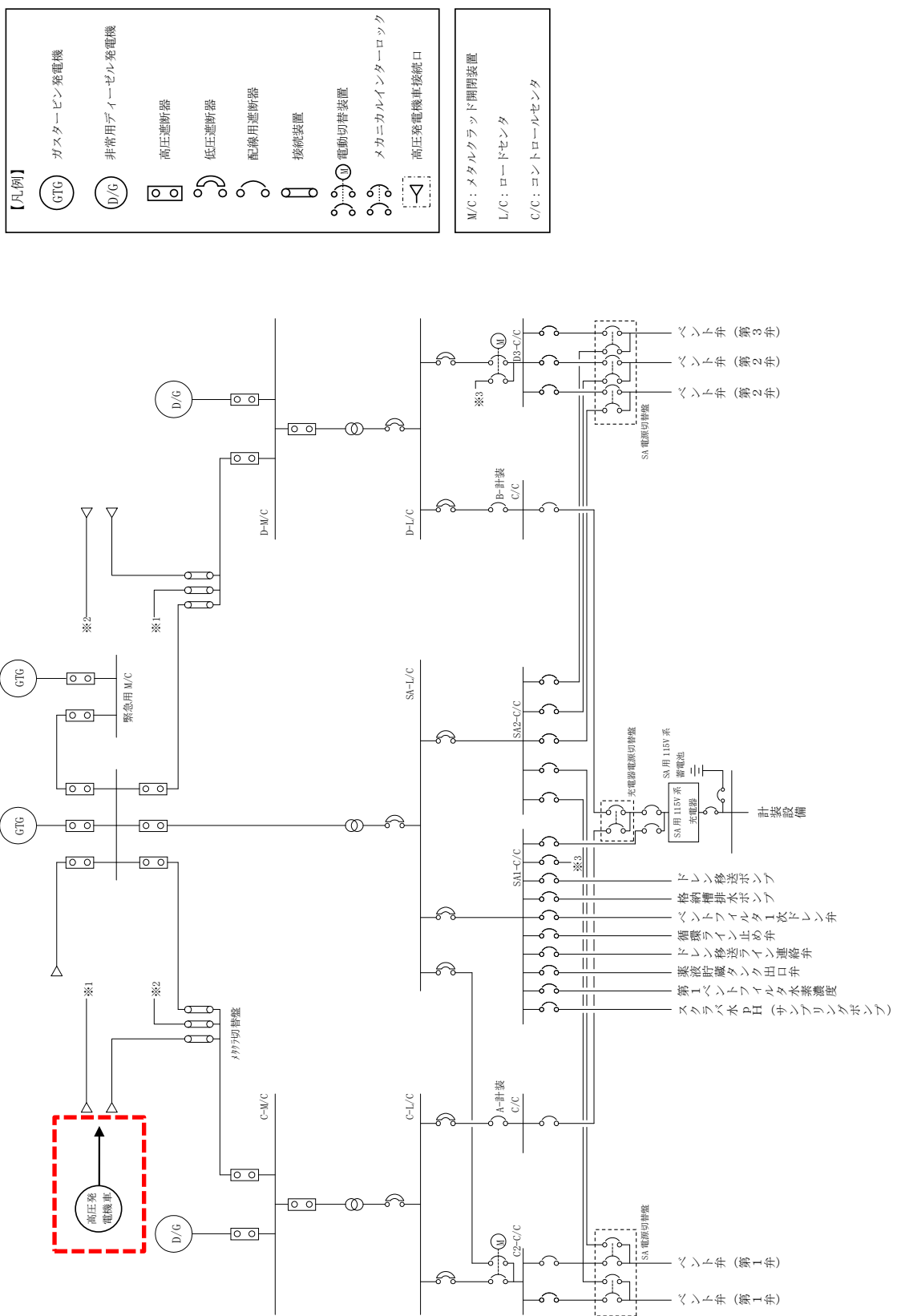


図3 可搬型代替交流電源設備による電源給電範囲（交流電源）

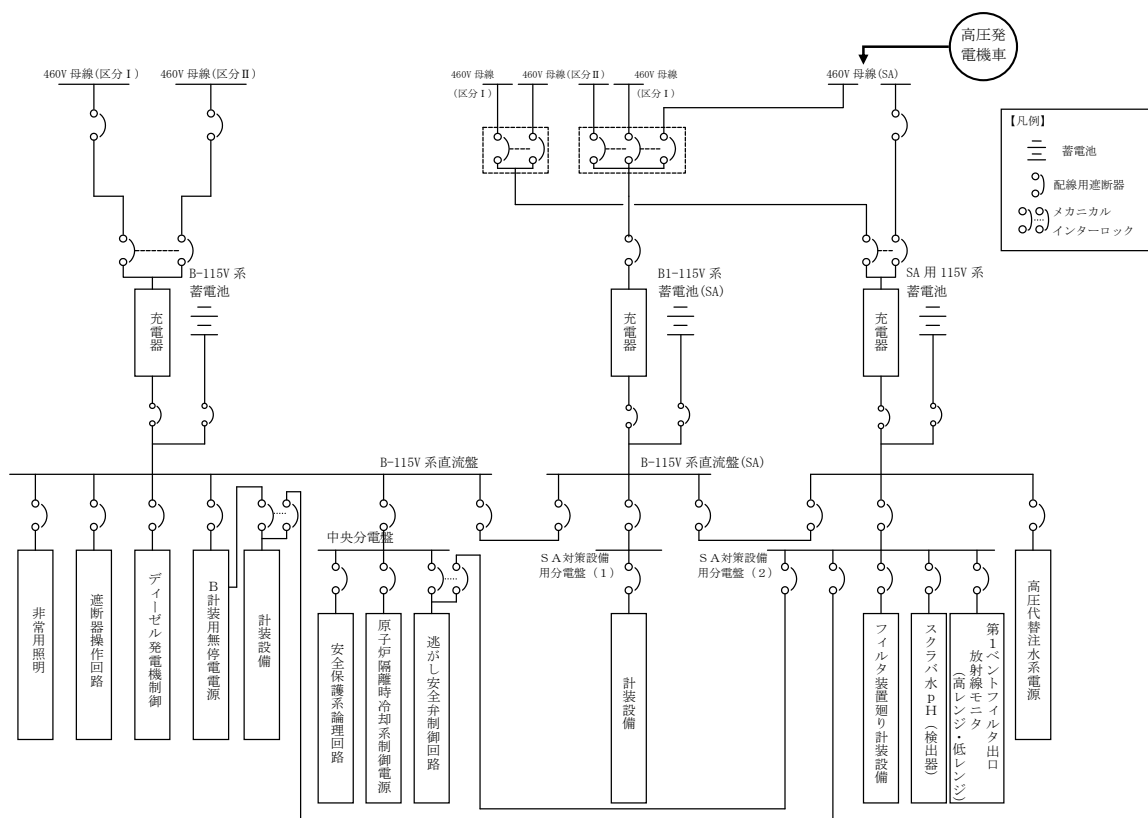


図4 可搬型代替交流電源設備による電源給電範囲（直流電源）

表2 可搬型代替交流電源設備による負荷一覧

	負荷	負荷容量 (交流 (kW))	備考
1	ベント弁 (第1弁 : MV217-4)	1.4kW	
2	ベント弁 (第1弁 : MV217-5)	1.4kW	
3	ベント弁 (第2弁 : MV217-18)	0.72kW	
4	ベント弁 (第2弁 : MV217-23)	0.72kW	
5	ベント弁 (第3弁 : MV226-13)	0.72kW	
6	ドレン移送ポンプ	約 11kW	
7	格納槽排水ポンプ	約 30kW	
8	ベントフィルタ1次ドレン弁	0.43kW	
9	循環ライン止め弁	0.43kW	
10	ドレン移送ライン連絡弁	0.43kW	
11	薬液貯蔵タンク出口弁	0.13kW	
12	フィルタ装置廻り計装設備	約 0.1kW	
13	第1ベントフィルタ出口水素濃度	約 25kW	
14	スクラバ水pH	約 21kW	サンプリングポンプ含む
15	第1ベントフィルタ出口放射線モニタ (高レンジ・低レンジ)	約 0.2kW	
合 計		約 95kW <sup>※1</sup>	

※1 可搬型代替交流電源設備の設備容量は、高圧発電機車3台分の1,200kW(1,500kVA)とし、負荷容量約95kWに対して必要十分な容量とする。

### c. 常設代替直流電源設備による電源給電範囲

常設代替直流電源設備により、フィルタ装置周り計装設備及び第1ベントフィルタ出口放射線モニタ（高レンジ・低レンジ）に給電が可能である。

ベント弁（第1弁：MV217-4, 第1弁：MV271-5, 第2弁：MV217-18, 第2弁：MV217-23, 第3弁：MV226-13), ドレン移送ポンプ, 格納槽排水ポンプ, ベントフィルタ1次ドレン弁, 循環ライン止め弁, ドレン移送ライン連絡弁, 薬液貯蔵タンク出口弁, 第1ベントフィルタ出口水素濃度及びスクラバ水pHについては交流機器であり, 常設代替直流電源設備から給電はできない。

なお, ドレン移送ポンプ, 排水ポンプ及び第1ベントフィルタ出口水素濃度については, 使用時期は事故収束時となり, 時間的余裕があることから, 常設代替交流電源設備又は可搬型代替交流電源設備からの給電が十分可能である。また, スクラバ水pHについては, 系統待機時及び事故収束時に使用すること, ベント弁(第1弁: MV217-4, 第1弁: MV271-5, 第2弁: MV217-18, 第2弁: MV217-23, 第3弁: MV226-13)については, 遠隔手動弁操作機構が付いており, 手動での開閉操作が可能である。

電源給電範囲を図5に, 負荷一覧を表3に示す。

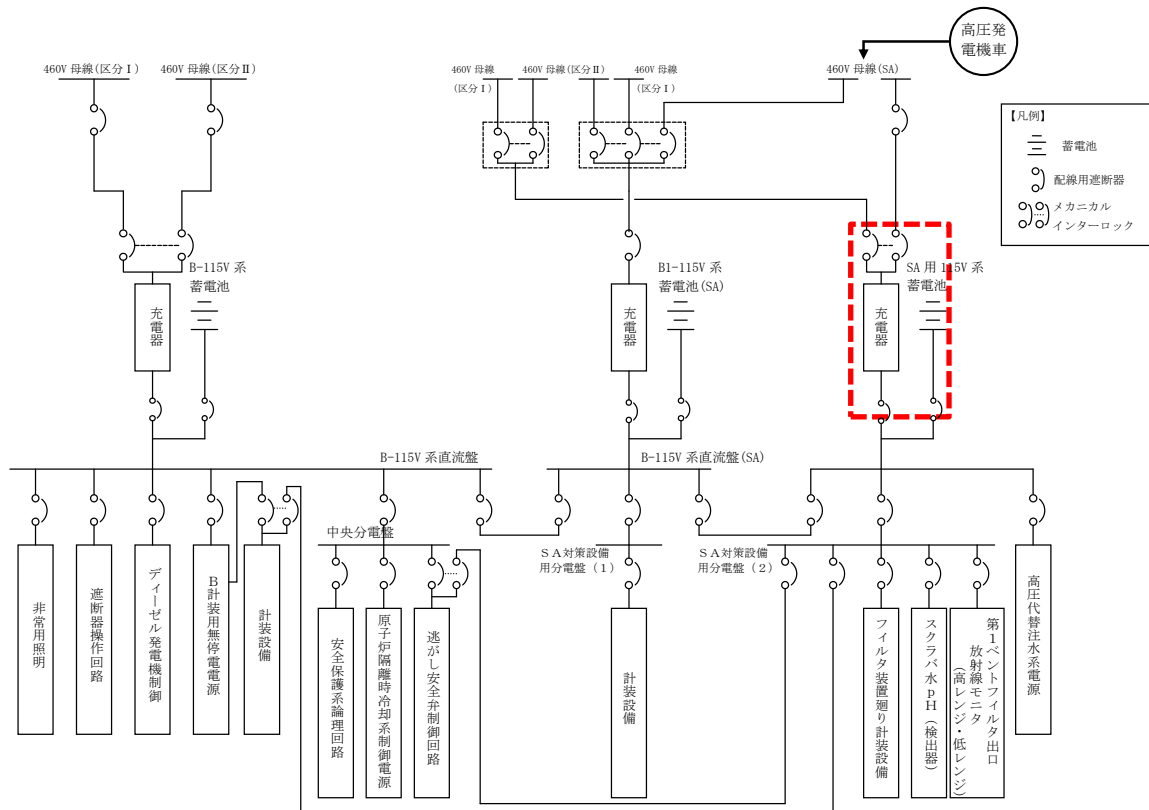


図5 常設代替直流電源設備による電源給電範囲

表3 常設代替直流電源設備による負荷一覧

	負荷	負荷容量 (交流 (kW))	備考
1	ベント弁 (第1弁 : MV217-4)	—	
2	ベント弁 (第1弁 : MV217-5)	—	
3	ベント弁 (第2弁 : MV217-18)	—	
4	ベント弁 (第2弁 : MV217-23)	—	
5	ベント弁 (第3弁 : MV226-13)	—	
6	ドレン移送ポンプ	—	
7	格納槽排水ポンプ	—	
8	ベントフィルタ1次ドレン弁	—	
9	循環ライン止め弁	—	
10	ドレン移送ライン連絡弁	—	
11	薬液貯蔵タンク出口弁	—	
12	フィルタ装置廻り計装設備	約 1 A	
13	第1ベントフィルタ出口水素濃度	—	
14	スクラバ水 pH	—	サンプリングポンプ含む
15	第1ベントフィルタ出口放射線モニタ (高レンジ・低レンジ)	約 2 A	
合 計		約 3 A	約 90Ah <sup>※1</sup>

※1 24時間使用した場合の容量

常設代替直流電源設備の設備容量は 1,500Ah とし、負荷容量 90Ah に対して必要十分な容量とする。

#### d. 可搬型直流電源設備による電源給電範囲

可搬型直流電源設備により、フィルタ装置周り計装設備及び第1ベントフィルタ出口放射線モニタ（高レンジ・低レンジ）に給電が可能である。

ベント弁（第1弁：MV217-4, 第1弁：MV271-5, 第2弁：MV217-18, 第2弁：MV217-23, 第3弁：MV226-13), ドレン移送ポンプ, 格納槽排水ポンプ, ベントフィルタ1次ドレン弁, 循環ライン止め弁, ドレン移送ライン連絡弁, 薬液貯蔵タンク出口弁, 第1ベントフィルタ出口水素濃度及びスクラバ水pHについては交流機器であり, 可搬型代替直流電源設備から給電はできない。

なお, ドレン移送ポンプ, 排水ポンプ及び第1ベントフィルタ出口水素濃度については, 使用時期は事故収束時となり, 時間的余裕があることから, 常設代替交流電源設備又は可搬型代替交流電源設備からの給電が十分可能である。また, スクラバ水pHについては, 系統待機時及び事故収束時に使用すること, ベント弁(第1弁: MV217-4, 第1弁: MV271-5, 第2弁: MV217-18, 第2弁: MV217-23, 第3弁: MV226-13)については, 遠隔手動弁操作機構が付いており, 手動での開閉操作が可能である。

電源給電範囲を図6に, 負荷一覧を表4に示す。

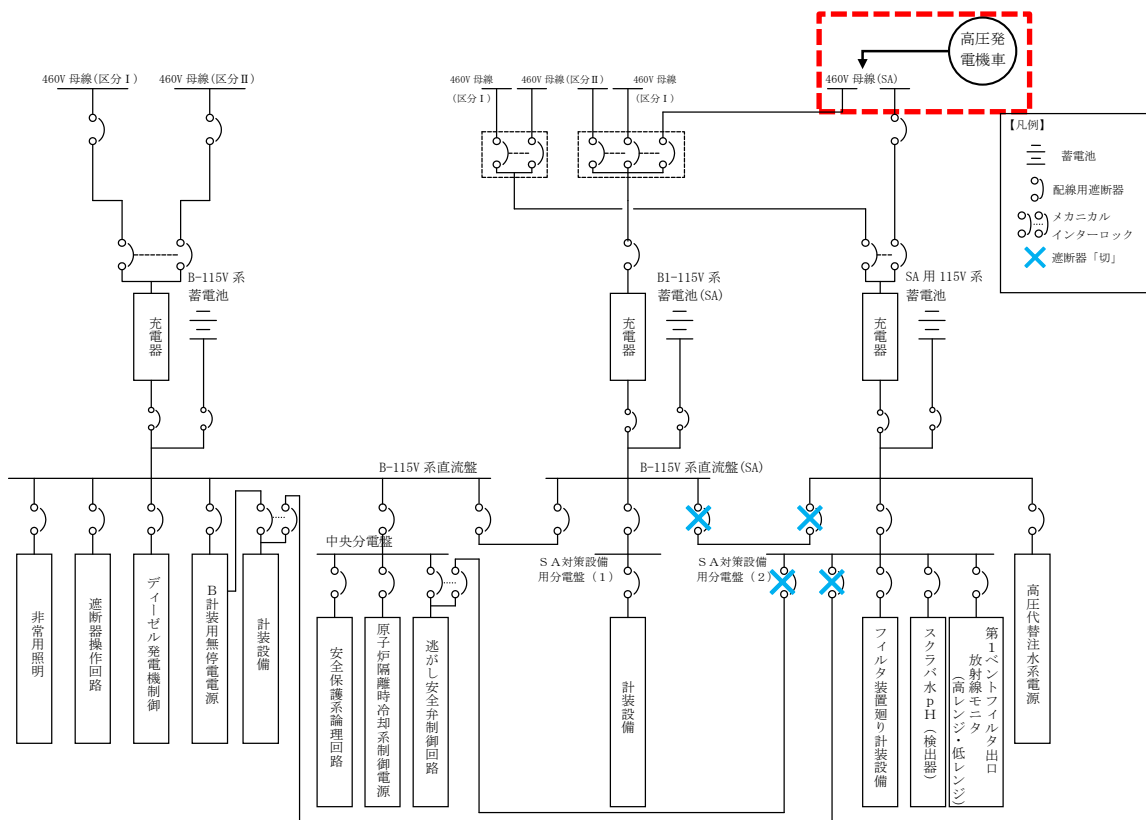


図6 可搬型直流電源設備による電源給電範囲

表4 可搬型代替直流電源設備による負荷一覧

	負荷	負荷容量 (交流 (kW))	備考
1	ベント弁 (第1弁 : MV217-4)	—	
2	ベント弁 (第1弁 : MV217-5)	—	
3	ベント弁 (第2弁 : MV217-18)	—	
4	ベント弁 (第2弁 : MV217-23)	—	
5	ベント弁 (第3弁 : MV226-13)	—	
6	ドレン移送ポンプ	—	
7	格納槽排水ポンプ	—	
8	ベントフィルタ1次ドレン弁	—	
9	循環ライン止め弁	—	
10	ドレン移送ライン連絡弁	—	
11	薬液貯蔵タンク出口弁	—	
12	フィルタ装置廻り計装設備	約 1 A	
13	第1ベントフィルタ出口水素濃度	—	
14	スクラバ水 pH	—	サンプリングポンプ含む
15	第1ベントフィルタ出口放射線モニタ (高レンジ・低レンジ)	約 2 A	
合 計		約 3 A	約 90Ah <sup>※1</sup>

※1 可搬型直流電源設備の設備容量は、常設充電器の定格出力 200A とし、負荷容量 3 A に対して必要十分な容量とする。

(3) 可搬型代替電源設備のアクセス性について

可搬型代替電源設備である高圧発電機車のアクセスルートについては、想定される重大事故等が発生した場合においても、保管場所から使用箇所まで複数のアクセスルートを確保している。

常設設備との接続部についても、共通要因によって接続することができなくなることを防止するため、原子炉建屋西側並びに南側の異なる場所に分散配置している。

#### (4) 電気設備の地絡・短絡対策

電気設備には、ベントに必要な隔離弁及び計測設備とは別の負荷にて地絡又は短絡が発生した場合にも、その影響がベントに必要な隔離弁及び計測設備へ波及しないように保護継電器を設け、地絡又は短絡を検知して電源系統より故障点を隔離するよう設計する。

高圧発電機車を使用している場合に、短絡・地絡や過負荷による過電流が発生した時は、高圧発電機車に設置している地絡過電圧継電器により検知・遮断する設計としている。

保護継電器は、接続先である所内電気設備と保護協調を図った設計としている。

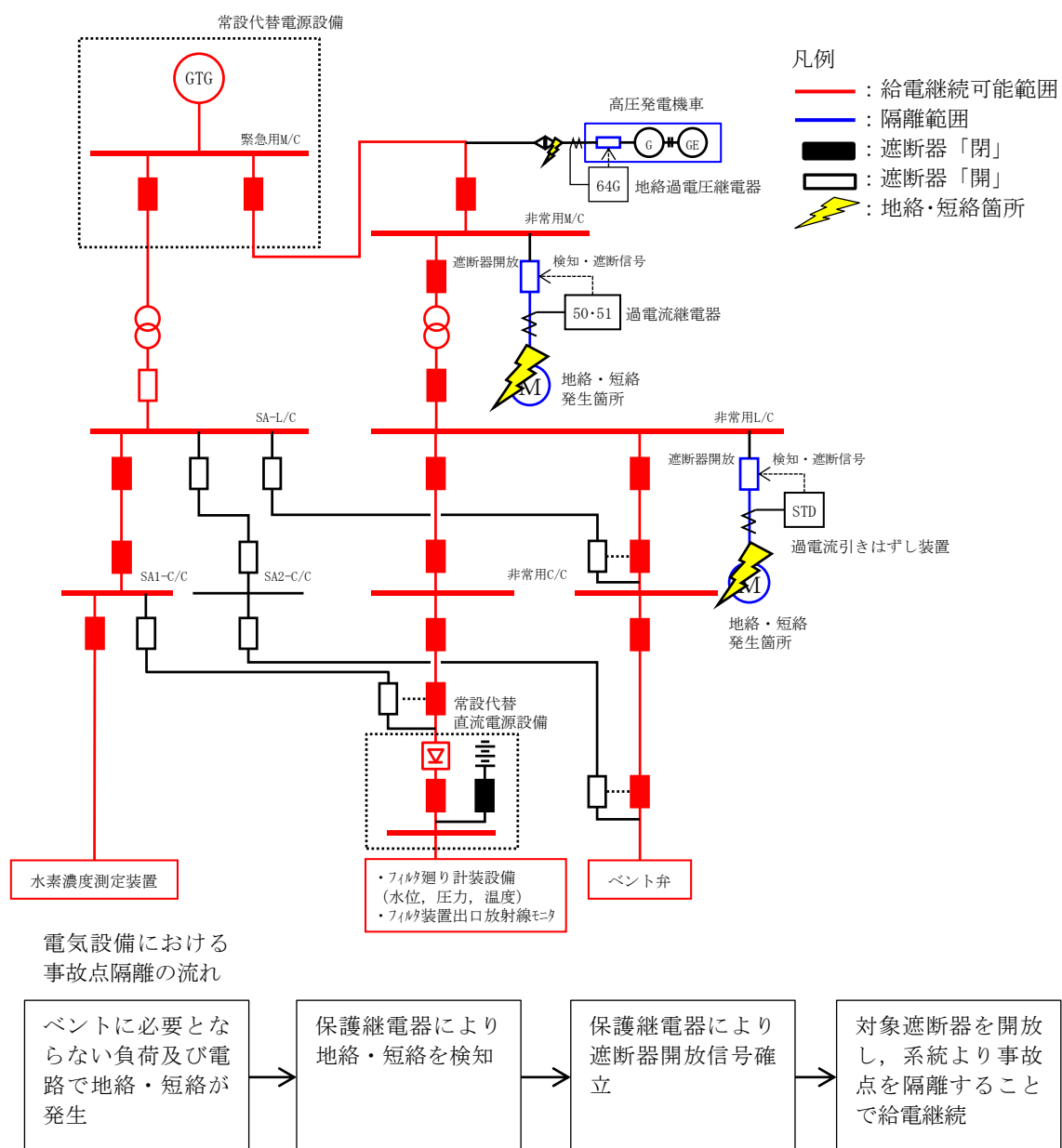


図7 電源設備の地絡、短絡対策

(5) 常設設備との接続部の浸水対策について

発電所は防波壁等を設置することで、基準津波に対して防護されており、基準津波が敷地に遡上して、高圧発電機車の保管場所及び接続口が浸水することはない。

なお、接続口は屋外盤に収納されており、ケーブル接続時も接続口へ雨水等の被水はない設計としている。

## 窒素供給装置の容量について

可搬式窒素供給装置の窒素容量は、下記①②を考慮して設定している。

- ① 残留熱代替除去系による原子炉注水及び原子炉格納容器除熱を実施した場合、可搬式窒素供給装置を用いて原子炉格納容器内へ窒素を注入し、酸素濃度を5%（水素を燃焼させる下限濃度）未満に維持
- ② ベント停止後の格納容器フィルタベント系における水素滞留防止のため、窒素の供給を行い、格納容器フィルタベント系の系統内の水素濃度を4%（水素の可燃限界温度）未満あるいは酸素濃度を5%（水素を燃焼させる下限濃度）未満に維持

可搬式窒素供給装置の主要な仕様を表1に示す。

表1 可搬式窒素供給装置の主要仕様

窒素容量	約100m <sup>3</sup> /h[normal]
窒素純度	約99.9vol%
窒素供給圧力	約600～900kPa[gage]

以下に、可搬式窒素供給装置の窒素供給量の設定について示す。

## (1) 格納容器における可搬式窒素供給装置の容量

可搬式窒素供給装置は、原子炉格納容器内の水の放射線分解によって発生する酸素の濃度上昇を抑制可能な設計とし、有効性評価シナリオである大LOCA+SB0+ECCS故障（残留熱代替除去系を使用する場合）において、事故後7日間（168時間）は原子炉格納容器内のドライ条件の酸素濃度が可燃限界である5.0vol%に到達しない容量である約100Nm<sup>3</sup>/h/台を有する設計とする。

（図1，図2）

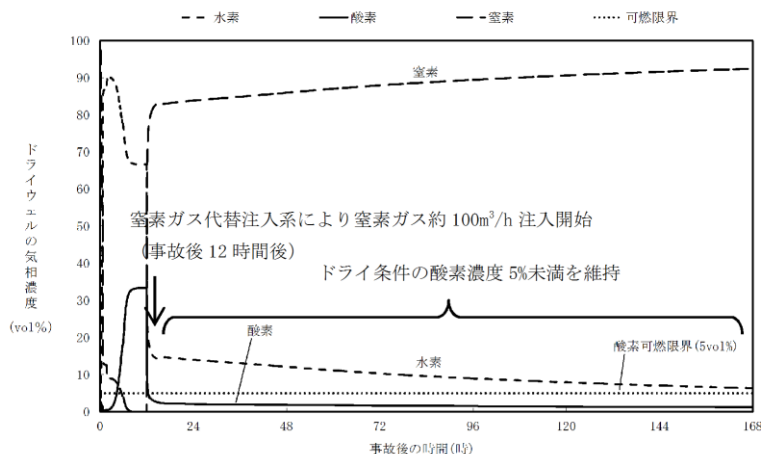


図1 ドライウェル気相濃度推移  
(大LOCA+SBO+ECCS故障(残留熱代替除去系を使用する場合))

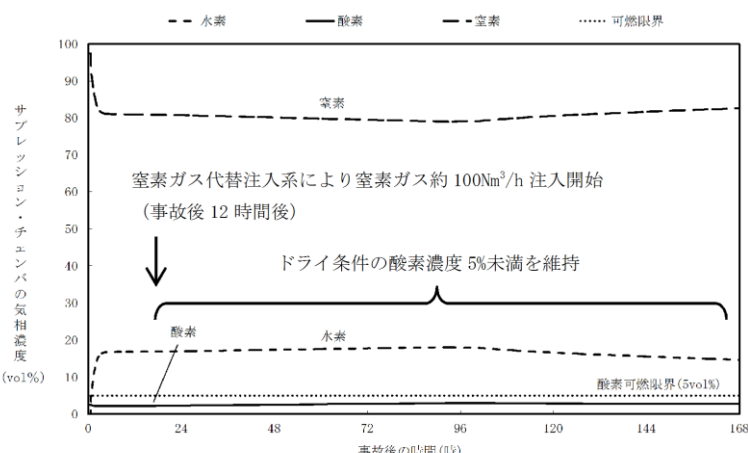


図2 サプレッション・チェンバ気相濃度推移  
(大LOCA+SBO+ECCS故障(残留熱代替除去系を使用する場合))

## (2) 可搬式窒素供給装置の容量設定根拠

可搬式窒素供給装置の容量は、格納容器過圧・過温破損シーケンス(大LOCA + SBO + ECCS機能喪失)における格納容器内の水素発生量に対して、系統内の水素濃度を可燃限界である4%未満に希釈できる十分な窒素供給量とするよう設定している。

計算条件を以下に示す。

- ・水素発生量は事象発生7日後を想定し、約 $1.3 \text{ m}^3/\text{h}$ [normal]とする。
- ・酸素発生量は事象発生7日後を想定し、約 $0.65 \text{ m}^3/\text{h}$ [normal]とする。

$$\begin{aligned}\text{必要窒素供給量} &= (\text{水素発生量} - \text{水素発生量} \times 0.04 - \text{酸素発生量} \times 0.04) / 0.04 \\ &= (1.3 - 1.3 \times 0.04 - 0.65 \times 0.04) / 0.04 \\ &= 30.6 \text{ (m}^3/\text{h}[normal])\end{aligned}$$

可式窒素供給装置の容量は、上記の必要窒素供給量に余裕を見込み、 $100 \text{ m}^3/\text{h}[normal]$ と設定している。容量設定においてはベントガスの蒸気発生量を考慮していないため、十分保守的な設定である。

なお、系統内の全空間容積は約  $202 \text{ m}^3$  であり、窒素供給量  $100 \text{ m}^3/\text{h}[normal]$  で約 7 時間通気することで、系統内の酸素濃度を 5 % から 1 % まで低下させることができる。

## エアロゾルの密度の変化が慣性衝突効果に与える影響について

Framatome 社（旧 AREVA 社）製のフィルタ装置は、ベンチュリスクラバと金属フィルタを組み合わせてエアロゾルを捕集するが、このうちベンチュリスクラバは、慣性衝突効果を利用してエアロゾルを捕集することから、エアロゾルの密度によって、除去効率への影響があらわれることが考えられる。しかし、重大事故等時に格納容器に発生するエアロゾルの密度の変化に対して、ベンチュリスクラバの除去効率の関係式（参考図書 1）を用いて除去効率に与える影響を評価した結果、エアロゾルの密度の変化（[ ] g/cm<sup>3</sup>）に対する除去効率の変化は小さいと評価できること、また、JAVA 試験で複数の種類のエアロゾル（[ ] g/cm<sup>3</sup>）を用いた試験において除去効率に違いが見られていないことから、Framatome 社（旧 AREVA 社）製のフィルタ装置は重大事故等時に発生するエアロゾルの密度の変化に対して除去効率への影響は小さいと評価できる。

### (1) ベンチュリスクラバの除去効率

#### a. エアロゾル密度と除去効率の関係

ベンチュリスクラバでは、ベンチュリノズルを通過するベントガスとベンチュリノズル内に吸い込んだスクラビング水の液滴の速度差を利用し、慣性衝突効果によってベントガスに含まれるエアロゾルを捕集する。参考図書 1において、ベンチュリスクラバにおける除去効率は、以下の式によって表される。

$$P_t = \exp\left(-\frac{V^*}{V_g}\right) = \exp\left(-\frac{V^* Q_L}{V_L Q_g}\right) \quad \dots \dots \dots (1)$$

$$V^* = \int_0^T \eta_d |u_d - u_g| A_d dt \quad \dots \dots \dots (2)$$

$$\eta_d = \frac{K^2}{(K + 0.7)^2} = \frac{1}{\left(1 + 0.7/K\right)^2} \quad \dots \dots \dots (3)$$

$$K = \frac{2\tau_p |u_d - u_g|}{d_d} = \frac{2C\rho_p d_p^2 |u_d - u_g|}{18\mu d_d} \quad \dots \dots \dots (4)$$

本資料のうち、枠囲みの内容は機密に係る事項のため公開できません。

ここで、

$P_t$	: 透過率	$\tau_p$	: 緩和時間
$V^*$	: 液滴通過ガス体積	$A_d$	: 液滴断面積
$V_g$	: ガス体積	$K$	: 慣性パラメータ
$V_L$	: 液滴体積	$C$	: すべり補正係数
$Q_g$	: ガス体積流量	$\mu$	: ガス粘性係数
$Q_L$	: 液滴体積流量	$\rho_p$	: エアロゾル密度
$\eta_d$	: 捕集効率係数	$d_p$	: エアロゾル粒径
$u_g$	: ガス速度	$d_d$	: 液滴径
$u_d$	: 液滴速度		

これらから、透過率  $P_t$  (除去係数 DF の逆数) は、慣性パラメータ K によって決まる捕集効率係数  $\eta_d$  によって影響を受けることが分かる。

(4)式で表される慣性パラメータ K は、曲線運動の特徴を表すストークス数と同義の無次元数であり、その大きさは、エアロゾル密度  $\rho_p$ 、エアロゾル粒径  $d_p$ 、液滴径  $d_d$ 、ガス粘性係数  $\mu$ 、液滴・エアロゾル速度差によって決まる。

エアロゾル粒径  $d_p$  が同じ場合でもエアロゾル密度  $\rho_p$  が増加すると、慣性パラメータ K が増加し、除去効率は増加する。

### b. 重大事故等時に発生するエアロゾルの密度

格納容器に放出されるエアロゾルの密度は、エアロゾルを構成する化合物の割合によって変化する。NUREG1465 に記載されている割合を用いてエアロゾル密度を計算すると表 1 のとおり [ ] g/cm<sup>3</sup> となる。

表 1 格納容器の状態とエアロゾルの密度

代表 化学形態	炉内内蔵量 (kg)	Gap Release	Early-In- Vessel	Ex-vessel	Late-In- vessel	合計
CsI		0.05	0.25	0.30	0.01	0.61
CsOH		0.05	0.20	0.35	0.01	0.61
TeO <sub>2</sub> , Sb※		0	0.05	0.25	0.005	0.305
BaO, SrO※		0	0.02	0.1	0	0.12
MoO <sub>2</sub>		0	0.0025	0.0025	0	0.005
CeO <sub>2</sub>		0	0.0005	0.005	0	0.0055
La <sub>2</sub> O <sub>3</sub>		0	0.0002	0.005	0	0.0052
密度 (g/cm <sup>3</sup> )						

※複数の代表化合物を持つグループでは、各化合物の平均値を使用した

本資料のうち、枠囲みの内容は機密に係る事項のため公開できません。

ここで、各化合物の密度は、以下の通り

CsI : 4.5g/cm<sup>3</sup> (参考図書2)

SrO : 5.1g/cm<sup>3</sup> (参考図書2)

CsOH : 3.7g/cm<sup>3</sup> (参考図書4)

MoO : 6.4g/cm<sup>3</sup> (参考図書2)

TeO<sub>2</sub> : 5.7g/cm<sup>3</sup> (参考図書3)

CeO<sub>2</sub> : 7.3g/cm<sup>3</sup> (参考図書2)

Nb : 6.7g/cm<sup>3</sup> (参考図書2)

La<sub>2</sub>O<sub>3</sub> : 6.2g/cm<sup>3</sup> (参考図書2)

BaO : 6.0g/cm<sup>3</sup> (参考図書5)

### c. エアロゾル密度の変化による影響

エアロゾル密度の変化による捕集効率係数  $\eta_d$  の変化の計算例を以下に示す。エアロゾル密度は、前記 b. のとおり [ ] g/cm<sup>3</sup> 付近であるが、ここでは、エアロゾル密度算出に用いた各化合物の密度から、エアロゾル密度  $\rho_{p1}$  が [ ] g/cm<sup>3</sup> のときの捕集効率係数  $\eta_{d1}$  と、エアロゾル密度  $\rho_{p2}$  が [ ] g/cm<sup>3</sup> のときの捕集効率係数  $\eta_{d2}$  との比を求める。

$$\frac{\eta_{d1}}{\eta_{d2}} = \frac{K_1^2}{K_2^2} \frac{(K_2 + 0.7)^2}{(K_1 + 0.7)^2} \div [ ]$$

ここでは、

とした。この結果から、密度の変化 ([ ]) に対して捕集効率係数変化 (÷ [ ]) は非常に小さく、除去効率に及ぼす影響が非常に小さいと評価できる。

これは、格納容器フィルタベント系の運転範囲において、ベンチュリノズル部における液滴・ガス速度差が大きいことから、重大事故時に想定されるエアロゾル密度の範囲では、速度差が支配的となるためと考えられる。

JAVA 試験では、複数の種類のエアロゾルで試験が行われている。それぞれの化合物の密度を以下に示す。

[ ]	g/cm <sup>3</sup> (参考図書2)
[ ]	g/cm <sup>3</sup> (参考図書6)

本資料のうち、枠囲みの内容は機密に係る事項のため公開できません。

以上より、重大事故時における密度の変化が、フィルタ装置の除去効率に与える影響は小さく、その除去性能の評価は質量中央径（MMD）、空気力学的質量中央径（AMMD）どちらを用いても変わらない。

## (2) JAVA 試験での除去効率

### a . JAVA 試験の結果

JAVA 試験にて使用した [REDACTED] の質量中央径（MMD）の範囲は [REDACTED] となっているが、これら複数の種類のエアロゾルを用いた試験において除去効率に違いが見られていない。エアロゾルの粒径に対する除去係数を図 1 に示す。

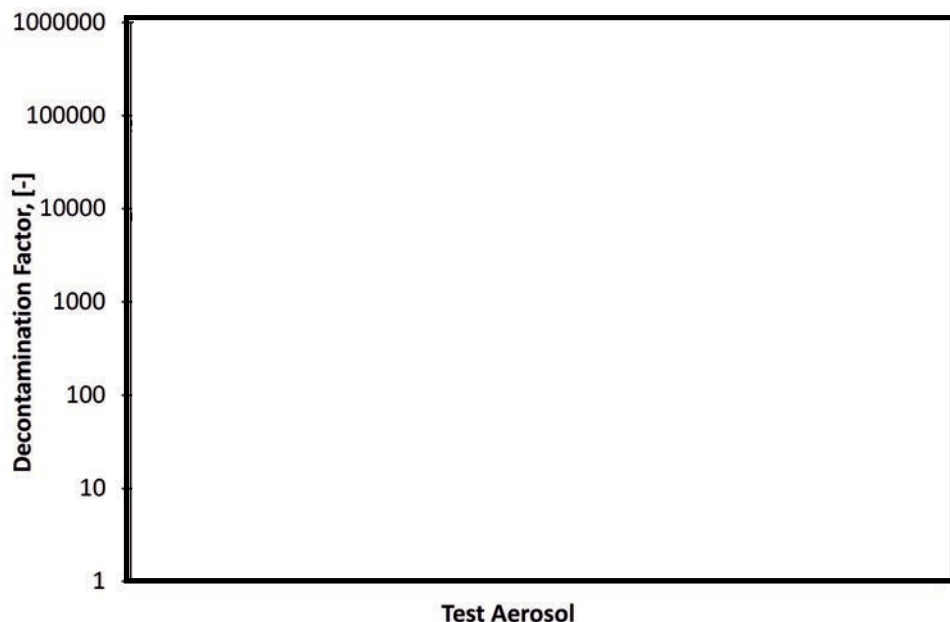


図 1 エアロゾルの粒径に対する除去係数

### b. 試験用エアロゾルと想定されるエアロゾルの空気力学径の比較

#### ・質量中央径（MMD）

全質量の半分がその粒径よりも小さい粒子によって占められ、残りの半分がその粒径よりも大きい粒子によって占められる関係にある粒径

#### ・空気力学径（AMMD）

その粒子と同じ沈降速度を持つ単位密度（ $1 \text{ g/cm}^3$ ）の球の直径であり、形状と密度について基準化したもの

MAAP コードによる評価では MMD を用いることから、以下の式により AMMD を MMD に換算する。

$$AMMD = \rho_p MMD$$

ここで  $\rho_p$  はエアロゾルの密度 (g/cm<sup>3</sup>) である。

MAAP 解析により得られた MMD と AMMD の関係を表 2 に、JAVA 試験で使用した試験用エアロゾルの MMD と AMMD の関係を表 3 に示す。この結果、試験用エアロゾルの MMD (約 [ ] ) と AMMD (約 [ ]) は、実機に想定される MMD (約 [ ]) と AMMD (約 [ ]) のいずれについても、よく代表していると言える。

表 2 実機想定エアロゾルの MMD と AMMD

想定エアロゾル	MMD ( $d_p$ )	密度 ( $\rho_p$ ) g/cm <sup>3</sup>	AMMD ( $d_p\sqrt{\rho_p}$ )
サプレッション・チェンバーからのベント： 約 [ ]		4.5	
		3.7	
		5.7	

表 3 試験用エアロゾルの MMD と AMMD

試験用エアロゾル	MMD ( $d_p$ )	密度 ( $\rho_p$ ) g/cm <sup>3</sup>	AMMD ( $d_p\sqrt{\rho_p}$ )

### 《参考図書》

1. OECD/NEA, "STATE-OF-THE-ART REPORT ON NUCLEAR AEROSOLS", (2009)
2. 理化学辞典第 4 版
3. 理化学辞典第 4 版増補版
4. Hazardous Chemicals Desk Reference
5. 理化学辞典第 3 版増補版
6. Aerosol Measurement: Principles, Techniques, and Applications, Third Edition.  
Edited by P. Kulkarni, P. A. Baron, and K. Willeke (2011)

本資料のうち、枠囲みの内容は機密に係る事項のため公開できません。

## (参考1) エアロゾルの粒径と除去係数の関係について

### (1) 除去係数と重量及び放射能の関係

除去係数（以下、「D F」という。）は、フィルタに流入した粒子の重量とフィルタを通過した粒子の重量の比で表される。エアロゾルに放射性物質が均一に含まれている場合、D Fはフィルタへ流入した粒子の放射能とフィルタを通過した粒子の放射能の比で置き換えることができる。

### (2) 粒径分布（個数分布と累積質量分布）

エアロゾルは一般的に、単一粒径ではなく、粒径に対して分布を持つ。粒径に対する個数分布及び累積質量分布の関係を図1に示す。

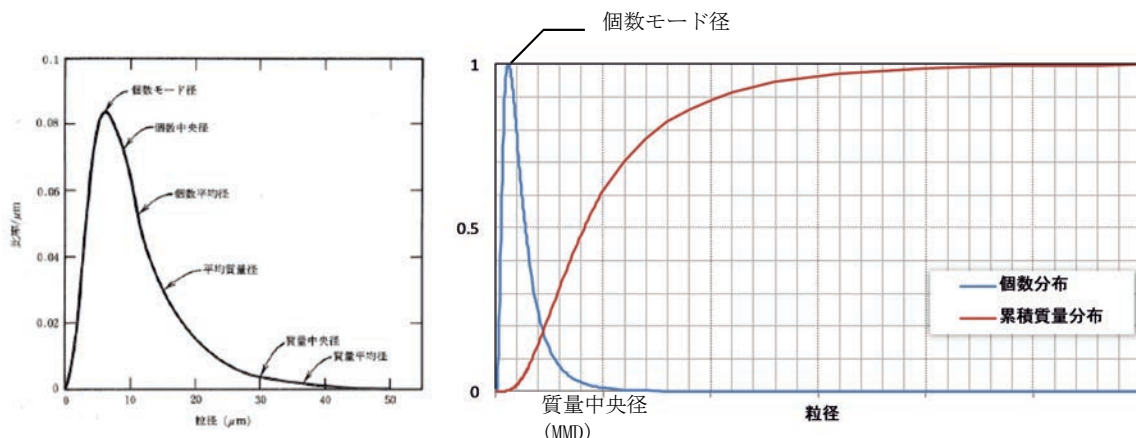


図1 個数分布と累積質量分布

(左図出典：W.C. ハインズ，エアロゾルテクノロジー，(株)井上書院 (1985))

ここで、

個数モード径

最も存在個数の比率の多い粒径

質量中央径 (MMD)

全質量の半分がその粒径よりも小さい粒子によって占められ、残りの半分がその粒径よりも大きい粒子によって占められる関係にある粒径

を表す。図1のような粒径分布の場合、小さい粒径のエアロゾルの個数は多いが、総重量に占める割合は小さいことが分かる。よって、大きい粒径のエアロゾルに比べて小さい粒径のエアロゾルがD Fに与える影響は小さい。

(3) JAVA 試験における除去係数と重量及び放射性物質の関係

ベンチュリスクラバでは、慣性衝突効果を利用しエアロゾルを捕集しており、重大事故等時におけるエアロゾルの密度変化を考慮しても、慣性衝突効果によるDFへの影響は小さいと評価している。また、Framatome社(旧 AREVA社)製のフィルタ装置では、慣性衝突効果、さえぎり効果、拡散効果による除去機構によってエアロゾルを捕集するものであり、JAVA試験において、小さい粒径のエアロゾルを含む□を使用した場合においても、高い除去効率を発揮することを確認している。

本資料のうち、枠囲みの内容は機密に係る事項のため公開できません。

## (参考2) 質量中央径 (MMD) と空気力学的質量中央径 (AMMD)

分布を持つエアロゾルの粒径を表す方法として、質量中央径 (MMD) を使用する場合と、空気力学的質量中央径 (AMMD) を使用する場合があるが、カスケードインパクターのような慣性衝突効果を利用した粒径の測定を行う場合には AMMD で測定され、□のような画像分析を利用した粒径の測定を行う場合には MMD で測定される。Framatome 社（旧 AREVA 社）製のフィルタは、慣性衝突効果の他に、さえぎり効果、拡散効果を利用したエアロゾルの捕集を行っており、フィルタ装置の除去性能の評価には MMD を使用している。

本資料のうち、枠囲みの内容は機密に係る事項のため公開できません。

### (参考3) 想定する事故シナリオについて

粒子状放射性物質の除去性能を確認する上で想定する事故シナリオとして、炉心損傷が発生する「冷却材喪失（大破断L O C A）+ E C C S 注水機能喪失+全交流動力電源喪失」を選定する。

#### 1. 事象の概要（格納容器ベント時）

- (1) 大破断L O C Aが発生し、原子炉格納容器内に冷却材が大量に漏えいする。
- (2) 更に非常用炉心冷却系（以下、E C C Sという。）喪失、全交流動力電源喪失（以下、S B Oという。）を想定するため、原子炉圧力容器への注水ができず炉心損傷に至る。事象発生から30分後に低圧原子炉代替注水系（常設）による原子炉圧力容器への注水を開始することで、原子炉圧力容器破損は回避される。
- (3) その後、原子炉圧力容器への注水及び原子炉格納容器へのスプレイを実施するが、事象発生から約32時間後に外部注水量制限値に到達し、格納容器フィルタベント系を用いたベントを実施する。

#### 2. 想定事故シナリオ選定

想定事故シナリオ選定については事故のきっかけとなる起因事象の選定を行い、起因事象に基づく事故シナリオの抽出および分類を行う。その後、重大事故等対策の有効性評価および事故シナリオの選定を行う。

##### (1) 起因事象の選定

プラントに影響を与える事象について内部で発生する事象と外部で発生する事象（地震、津波、その他自然現象）をそれぞれ分析し、事故のきっかけとなる事象（起因事象）について選定する。

プラント内部で発生する事象についてはプラントの外乱となる事象として、従前より許認可解析の対象としてきた事象である運転時の異常な過渡変化（外部電源喪失等）及び設計基準事故（原子炉冷却材喪失等）を選定する。また、原子炉の運転に影響を与える事象として、非常用交流電源母線の故障、原子炉補機冷却系の故障等を選定する。

プラント外部で発生する事象については、地震・津波に加え、地震・津波以外の自然現象の53事象から地域性等を考慮して12事象（洪水、風（台風）、竜巻、凍結、降水、積雪、落雷、地滑り、火山の影響、生物学的事象、森林火災、高潮）を選定する。また、設計基準を超える規模の事象発生を想定した上で、プラントに有意な頻度で影響を与えると考えられる場合は、考慮すべき起因事象とする。

## (2) 起因事象に基づく事故シナリオの抽出及び分類

イベントツリー等により、事故のきっかけとなる事象（起因事象）を出発点に、事象がどのように進展して最終状態に至るかを、安全機能を有する系統の動作の成否を分岐として樹形状に展開し、事故シナリオを漏れなく抽出する。

抽出した事故シナリオを事故進展の特徴によって、表1のとおりグループ別に分類する。

表1 運転中の炉心損傷に係る事故シナリオグループ

運転中の炉心損傷に係る 事故シナリオグループ	概要
崩壊熱除去機能喪失	崩壊熱の除去に失敗して炉心損傷に至るグループ
高圧・低圧注水機能喪失	低圧注水に失敗して炉心損傷に至るグループ
高圧注水・減圧機能喪失	高圧注水に失敗して炉心損傷に至るグループ
全交流動力電源喪失	電源を失うことにより炉心損傷に至るグループ
原子炉停止機能喪失	止める機能を喪失して炉心損傷に至るグループ
LOCA時注水機能喪失	LOCA時に注水に失敗して炉心損傷に至るグループ

## (3) 重大事故等対策の有効性評価及び事故シナリオの選定

(2)で分類した事故シナリオのうち、出力運転中の原子炉における崩壊熱除去機能喪失、高圧・低圧注水機能喪失、高圧注水・減圧機能喪失、全交流動力電源喪失、原子炉停止機能喪失については、炉心損傷に至らないため、重大事故等対処施設が機能しても炉心損傷を避けられない事故シナリオは、LOCA時注水機能喪失のみとなる。

以上より、炉心損傷が発生するLOCA時注水機能喪失を想定事故シナリオとして選定した。なお、想定事故シナリオにおいてはサプレッション・チャンバの排気ラインを使用した格納容器ベント（以下、W/Wベントという。）を実施した場合と、ドライウェルの排気ラインを使用した格納容器ベント（以下、D/Wベントという。）を実施した場合の両方を想定するものとする。

また、発生するエアロゾルの量や粒径分布の不確かさを考慮しても格納容器フィルタベント系が性能を発揮できることを確認するために、原子炉圧力容器が破損するケース（高圧・低圧注水機能喪失シナリオでさらに事象が進展し、炉心損傷及び原子炉圧力容器破損した後にD/Wベントを実施した場合）（※1）についても参考として示す。

### ※1 高圧・低圧注水機能喪失シナリオを選定した理由

原子炉圧力容器が破損し溶融炉心がペデスタルに落下すると、溶融炉心・コンクリート相互作用によりコンクリートのエアロゾル粒子が大量に生成さ

れ、格納容器ベント時に放出されるエアロゾル量や粒径分布に影響を与える。ここでは、溶融炉心・コンクリート相互作用の観点で厳しくなるシナリオを参考ケースとして選定するものとした。

溶融炉心・コンクリート相互作用の観点からは、ペデスタルに落下する溶融炉心の割合が多くなる原子炉圧力容器が低圧で破損に至るシーケンスが厳しくなる。表1に示す各事故シナリオグループのうち、高圧注水・減圧機能喪失、全交流動力電源喪失シナリオは、高圧の状態が維持されることから、参考ケースから除外した。

崩壊熱除去機能喪失シナリオ及び原子炉停止機能喪失シナリオは、重大事故等対処施設の機能喪失または機能の遅延を仮定した場合において、原子炉格納容器が先行して破損するシナリオであり、格納容器フィルタベント系の性能を確認する上では適切なシナリオではないと考えられるため、参考ケースから除外した。

LOCA時注水機能喪失は、ペデスタルへの原子炉冷却材の流入の可能性があることから、溶融炉心・コンクリート相互作用の観点で厳しい事象ではないと考えられるため、参考ケースから除外した。

以上のことから、原子炉格納容器が健全な状態で原子炉圧力容器が低圧で破損に至り、また、ペデスタルへの原子炉冷却材の流入のない高圧・低圧注水機能喪失シナリオを参考ケースとして採用した。

高圧・低圧注水機能喪失シナリオは、重大事故等対処施設が機能すれば炉心損傷に至らず事象が収束するが、ここでは、原子炉圧力容器内の注水に失敗し、さらに溶融炉心・コンクリート相互作用が発生した場合の影響も確認するため、あえて原子炉圧力容器破損前のペデスタルへの水張りも行わない状態を想定する。また、原子炉圧力容器が破損して溶融炉心がペデスタルに落下した後は、ペデスタルへの注水を行った後にD/Wベントを実施するものとする。

なお、本評価では、コリウムシールドがない状態を仮定し、保守的に溶融炉心からプールへの熱流束は  $800\text{kW/m}^2$  相当で一定（圧力依存なし）としている。

(参考4) 発生するエアロゾルの種類について

格納容器ベント実施時には、核分裂生成物（安定核種を含む）やコンクリート、構造材の一部が格納容器フィルタベント系に流入する。これらは格納容器フィルタベント系に流入する際は、希ガスや気体状のよう素を除き、固体（エアロゾル粒子）として存在する。

想定するエアロゾルの種類及び想定事故シナリオ（W/Wベント）時に格納容器フィルタベント系に流入する粒子状物質量を表1に示す。また、想定事故シナリオ（D/Wベント）時や、原子炉圧力容器が破損するケースで格納容器フィルタベント系に流入する粒子状物質量を表2に示す。

表1 想定するエアロゾルの種類及び想定シナリオ（W/Wベント）時に  
格納容器フィルタベント系に流入する粒子状物質量

核種グループ	各核種グループに対応する主な化学物質例	炉内内蔵量[kg] (安定核種を含む) <sup>※1</sup>	格納容器フィルタベント系に流入する粒子状物質量[kg] (安定核種を含む) <sup>※2</sup>
希ガス	Xe,Kr		—
CsI	CsI, RbI		約 $1.3 \times 10^{-4}$
TeO <sub>2</sub> , Te <sub>2</sub> <sup>※3, ※4</sup>	TeO <sub>2</sub> , Te <sub>2</sub>		約 $1.2 \times 10^{-4}$
SrO	SrO		約 $4.7 \times 10^{-5}$
MoO <sub>2</sub>	MoO <sub>2</sub> , RuO <sub>2</sub> , TcO <sub>2</sub> , RhO <sub>2</sub>		約 $4.4 \times 10^{-5}$
CsOH	CsOH,RbOH		約 $1.9 \times 10^{-3}$
BaO	BaO		約 $6.7 \times 10^{-5}$
La <sub>2</sub> O <sub>3</sub>	La <sub>2</sub> O <sub>3</sub> , Pr <sub>2</sub> O <sub>3</sub> , Nd <sub>2</sub> O <sub>3</sub> , S <sub>m</sub> <sub>2</sub> O <sub>3</sub> , Y <sub>2</sub> O <sub>3</sub> , ZrO <sub>2</sub> , NbO <sub>2</sub> , AmO <sub>2</sub> , CmO <sub>2</sub>		約 $5.6 \times 10^{-6}$
CeO <sub>2</sub>	CeO <sub>2</sub> , NpO <sub>2</sub> , PuO <sub>2</sub>		約 $1.3 \times 10^{-5}$
Sb	Sb		約 $1.6 \times 10^{-6}$
UO <sub>2</sub>	UO <sub>2</sub>		約 $1.4 \times 10^{-3}$
コンクリート/構造材	—		約 $2.1 \times 10^{-5}$

※1 炉内内蔵量[kg]は、ORIGENコードを用いて評価した核種ごとの停止時炉内内蔵量に基づき、評価した値

※2 格納容器フィルタベント系に流入する粒子状物質量は、炉内内蔵量[kg]と、格納容器フィルタベント系への放出割合(MAAP解析結果をNUREG-1465の知見を用いて補正)から評価した。想定シナリオ(W/Wベント時)ではTe<sub>2</sub>及びUO<sub>2</sub>の放出割合のMAAP解析結果はゼロであることから、後述するMAAP解析の保守性は顕在化しておらず、NUREG-1465の知見を用いた補

本資料のうち、枠囲みの内容は機密に係る事項のため公開できません。

正は必ずしも必要ないものと考えられる。しかしながら、ここでは、格納容器フィルタベント系に流入する粒子状物質量を保守的に評価するために  $\text{Te}_2$  及び  $\text{UO}_2$  の放出割合として MAAP 解析結果(ゼロ)そのものではなく、MAAP 解析結果を NUREG-1465 の知見を用いて補正した放出割合を採用した。

- ※3 表中の  $\text{Te}_2$  の炉内内蔵量[kg]は、 $\text{Te}$  の全量が  $\text{Te}_2$  の形態で存在する場合の値に相当する。
- ※4 ここでは  $\text{TeO}_2$  と  $\text{Te}_2$  の存在比率を考慮せず、 $\text{TeO}_2$  と  $\text{Te}_2$  の各々が表中の炉内内蔵量[kg]をもつものとして格納容器フィルタベント系に流入する粒子状物質量を評価した( $\text{Te}$  の停止時炉内蔵量を、ORIGEN コードを用いて評価した値よりも大きい値として想定することに対応)。本評価は格納容器フィルタベント系の設備設計に係る評価であることから、このような保守的な評価方法を採用した。なお、放出放射能量の評価に当たっては、より現実的な想定として停止時炉内蔵量は ORIGEN コードを用いて評価した値そのものを採用している。

表 2 想定事故シナリオ (D/Wベント) 時及び原子炉圧力容器が破損するケース時に格納容器フィルタベント系に流入する粒子状物質量

核種グループ	格納容器フィルタベント系に流入する粒子状物質量 (安定核種を含む) <sup>※1</sup>	
	想定事故シナリオ (大LOCA+SBO+全ECCS 機能喪失シナリオ) (D/Wベント)	原子炉圧力容器が破損する ケース(高圧・低圧注水機能喪失シナリオ) (D/Wベント)
希ガス	—	—
CsI	約 $9.7 \times 10^{-2}$	約 $3.9 \times 10^{-6}$
$\text{TeO}_2$ , $\text{Te}_2$ <sup>※2</sup>	約 $2.0 \times 10^{-1}$	約 $8.1 \times 10^{-5}$
SrO	約 $7.9 \times 10^{-2}$	約 $3.1 \times 10^{-5}$
MoO <sub>2</sub>	約 $7.3 \times 10^{-2}$	約 $2.9 \times 10^{-5}$
CsOH	約 3.2	約 $1.3 \times 10^{-3}$
BaO	約 $1.1 \times 10^{-1}$	約 $4.4 \times 10^{-5}$
La <sub>2</sub> O <sub>3</sub>	約 $9.4 \times 10^{-3}$	約 $3.7 \times 10^{-6}$
CeO <sub>2</sub>	約 $2.1 \times 10^{-2}$	約 $8.3 \times 10^{-6}$
Sb	約 $2.7 \times 10^{-3}$	約 $1.1 \times 10^{-6}$
UO <sub>2</sub>	約 2.3	約 $9.1 \times 10^{-4}$
コンクリート/構造材	約 $1.2 \times 10^{-2}$	約 $3.9 \times 10^{-7}$

- ※1 格納容器フィルタベント系に流入する粒子状物質量は、炉内内蔵量[kg]と、格納容器フィルタベント系への放出割合(MAAP 解析結果を NUREG-1465 の知見を用いて補正)から評価した。想定シナリオ(W/W ベント時)では  $\text{Te}_2$  及び  $\text{UO}_2$  の放出割合の MAAP 解析結果はゼロであることから、後述する MAAP 解析の保守性は顕在化しておらず、NUREG-1465 の知見を用いた補正

は必ずしも必要ないものと考えられる。しかしながら、ここでは、格納容器フィルタベント系に流入する粒子状物質量を保守的に評価するために  $\text{Te}_2$  及び  $\text{UO}_2$  の放出割合として MAAP 解析結果（ゼロ）そのものではなく、MAAP 解析結果を NUREG-1465 の知見を用いて補正した放出割合を採用した。

- ※2 ここでは  $\text{TeO}_2$  と  $\text{Te}_2$  の存在比率を考慮せず、 $\text{TeO}_2$  と  $\text{Te}_2$  の各々が表中の炉内内蔵量 [kg] をもつものとして格納容器フィルタベント系に流入する粒子状物質量を評価した（ $\text{Te}$  の停止時炉内内蔵量を、ORIGEN コードを用いて評価した値よりも大きい値として想定することに対応）。本評価は格納容器フィルタベント系の設備設計に係る評価であることから、このような保守的な評価方法を採用した。なお、放出放射能量の評価に当たっては、より現実的な想定として停止時炉内内蔵量は ORIGEN コードを用いて評価した値そのものを採用している。

#### a. 炉心状態の想定

格納容器フィルタベント系に流入するエアロゾルを評価する際は、炉心状態として平衡炉心（サイクル末期）を想定している。

以下の (a), (b) に示す通り、平衡炉心（サイクル末期）を想定して格納容器フィルタベント系に流入する核分裂生成物量を評価することで、その他の炉心状態を想定した場合の流入量を包絡することができる。

のことから、格納容器フィルタベント系に流入する核分裂生成物量の評価を行う際、炉心状態として平衡炉心（サイクル末期）を想定することは適切であると考えられる。

##### (a) 停止時炉内内蔵量

停止時炉内内蔵量は、平衡炉心の燃焼サイクル末期を想定して評価を実施している。

核分裂生成物（エアロゾル粒子として放出される可能性のある核分裂生成物も含む）の量は、運転が進み燃焼度が大きくなるに従い多くなる。平衡炉心（サイクル末期）の燃焼度はその他の炉心状態（初期装荷炉心や取替炉心）の燃焼度に比べ大きいため、平衡炉心（サイクル末期）の炉内の核分裂生成物内蔵量は、その他の炉心状態の核分裂生成物内蔵量を包絡する値を示す。

##### (b) 崩壊熱

燃料デブリからの放射性物質の放出割合は崩壊熱が大きいほど多くなり、崩壊熱は核分裂生成物内蔵量が多いほど大きくなる。（a）と同様の理由により、平衡炉心（サイクル末期）の崩壊熱はその他の炉心状態の崩壊熱を包絡する値を示す。このため、平衡炉心（サイクル末期）を想定した場合の、燃料デブリからの放射性物質の放出割合は、他の炉心状態を想定した場合の放出割合を包絡する値を示す。

## b. 評価に用いる放出割合

格納容器フィルタベント系に流入するエアロゾル量は、炉内内蔵量[kg]と、格納容器フィルタベント系への放出割合を用いて評価している。

炉内内蔵量 [kg] は、ORIGEN コードを用いて評価した核種ごとの停止時炉内内蔵量に基づき評価しており、放出割合は、MAAP コードと NUREG-1465 の知見を利用し評価している。

MAAP コードでは、原子炉格納容器内における振る舞いの違い（揮発のし易さの違い等）を考慮し、放射性物質を複数の MAAP 核種グループに分類しており、格納容器フィルタベント系への放出割合を MAAP 核種グループごとに評価している。

大 LOCA+SB0+全 ECCS 機能喪失シナリオ (W/Wベント) での MAAP 解析による放出割合の評価結果(事故発生から 168 時間後時点)を表 4 に示す。ただし、以下に示すとおり、表 4 の値は格納容器フィルタベント系に流入するエアロゾル量の評価に使用していない。

表 4 によると、高揮発性核種 (CsI や CsOH) の放出割合 ( $10^{-6}$  オーダー) と比べ、中・低揮発性核種の放出割合が極めて大きい ( $10^{-5}$  オーダー) という結果となっている。

一方、TMI 事故や福島第一原子力発電所事故での観測事実から、事故が起きた場合に最も多く放出される粒子状の物質は、よう素やセシウム等の高揮発性の物質であり、中・低揮発性の物質の放出量は高揮発性の物質と比べ少量であることが分かっている。

表 5 は、TMI 事故後に評価された放射性核種の場所ごとの存在量であるが、希ガスや高揮発性核種 (セシウムやよう素) が原子炉圧力容器外に全量のうち半分程度放出されている一方で、中・低揮発性核種はほぼ全量が原子炉圧力容器内に保持されているという評価となっている。

さらに、表 6 は、福島第一原子力発電所事故後に実施された発電所敷地内の土壤中放射性核種のサンプリング結果であるが、最も多く検出されているのは高揮発性核種 (セシウムやよう素) であり、多くの中・低揮発性核種は不検出という結果となっている。

また、燃料からの核分裂生成物の放出及び移動挙動に関する実験結果より、各元素の放出挙動は以下のように整理されており<sup>※1</sup>、希ガスが高温で燃料からほぼ全量放出されるのに対し、それ以外の核種の放出挙動は雰囲気条件に依存するとしている。

希ガス：高温にて燃料からほぼ全量放出される。

I, Cs：高温にて燃料からほぼ全量放出される。放出速度は希ガスと同等。

Sb, Te：高温にて燃料からほぼ全量放出される。また、被覆管と反応した後、被覆管の酸化に伴い放出される。

Sr, Mo, Ru, Rh, Ba : 霧囲気条件（酸化条件 or 還元条件）に大きな影響を受ける。

Ce, Np, Pu, Y, Zr, Nb : 高温状態でも放出速度は低い。

※1 「化学形に着目した破損燃料からの核分裂生成物及びアクチニドの放出挙動評価のための研究(JAEA-Review2013-034, 2013年12月)」

表4評価結果は、これらの観測事実及び実験結果と整合が取れていない。これは、大LOCA+SB0+全ECCS機能喪失シナリオにおいては、MAAP解析が中・低揮発性核種の放出割合を過度に大きく評価しているためであると考えられる。

MAAP解析の持つ保守性としては、炉心が再冠水し溶融炉心の外周部が固化した後でも、燃料デブリ表面からの放射性物質の放出評価において溶融プール中心部の温度を参考し放出量を評価していることや、炉心冠水時において燃料デブリ上部の水によるスクラビング効果を考慮していないことが挙げられる。MAAPコードの開発元であるEPRIからも、再冠水した炉心からの低揮発性核種の放出についてMAAP解析が保守的な結果を与える場合がある旨の以下の報告がなされている。

- ・炉心が再冠水した場合の低揮発性核種(Ru及びMo)の放出について、低温の溶融燃料表面付近ではなく、溶融燃料の平均温度を基に放出速度を算出しているため、MAAP解析が保守的な結果を与える場合がある。
- ・Moの放出量評価について、NUREG-1465よりもMAAPコードの方が放出量を多く評価する。

なお、高揮発性核種(セシウムやよう素)については、炉心溶融初期に炉心外に放出されるため、上述の保守性の影響は受けにくいものと考えられる。

以上のことから、大LOCA+SB0+全ECCS機能喪失シナリオにおいて中・低揮発性核種の放出割合を評価する際、単にMAAP解析による評価結果を採用すると、放出割合として過度に保守的な結果を与える可能性があるため、他の手法を用いた評価が必要になると考えられる。

そこで、格納容器フィルタベント系に流入するエアロゾル量を評価する際は、MAAP解析による放出量の評価結果以外に、海外での規制等にも活用されているNUREG-1465(米国の原子力規制委員会(NRC)で整備されたものであり、米国でもシビアアクシデント時の典型的な例として、中央制御室の居住性等の様々な評価で使用されている)の知見を利用するものとした。このことにより、TMI事故や福島第一原子力発電所事故の実態により見合った評価が可能となる。

なお、事故シーケンス「大LOCA+SB0+全ECCS機能喪失」において、原子炉注水機能が使用できないものと仮定した場合における、炉心損傷開始から、原子炉圧力容器が破損するまでのMAAP解析事象進展(格納容器フィルタベント系に流入するエアロゾル量評価における想定事故シナリオでは、当該事故シー

ケンスにおいて原子炉注水機能を使用することにより原子炉圧力容器破損には至らない)と NUREG-1465 の想定の比較は表 3 のとおりであり, NUREG-1465 の想定と MAAP 解析の事象進展に大きな差はなく, 本評価において間 REG1465 の知見は使用可能と判断した。

NUREG-1465 の知見を利用した場合の放出割合の評価結果を表 7 に示す。

表 3 MAAP 解析事象進展と NUREG-1465 の想定の比較

	燃料被覆管の損傷が開始し, ギヤップから放射性物質が放出出される期間	炉心溶融が開始し, 溶融燃料が原子炉圧力容器破損するまでの期間
MAAP	約 5 分～約28分 <sup>※1</sup>	約28分～約3.2時間 <sup>※2</sup>
NUREG-1465	～30分	30分～2時間

※1 炉心損傷開始 (燃料被覆管温度 1000K) ～炉心溶融開始 (燃料被覆管温度 2500K)

※2 原子炉注水機能が使用できないものと仮定した場合における原子炉圧力容器破損時間

各 MAAP 核種グループの放出割合の具体的な評価手法は以下に示す通り。

(a) 希ガスグループ, CsI グループ, CsOH グループ

希ガスを含めた高揮発性の核種グループ。については、MAAP 解析の結果得られた放出割合を採用する。

なお、Cs の放出割合は、CsI グループと CsOH グループの放出割合<sup>※1※2</sup>, 及び、I 元素と Cs 元素の停止時炉内内蔵量より、以下の式を用いて評価する (詳細は別紙 50 参照)。

$$F_{Cs}(T) = F_{CsOH}(T) + M_I / M_{Cs} \times W_{Cs} / W_I \times (F_{CsI}(T) - F_{CsOH}(T))$$

ここで、

$F_{Cs}(T)$  : 時刻 T におけるセシウムの放出割合

$F_{CsOH}(T)$  : 時刻 T における CsOH グループの放出割合

$F_{CsI}(T)$  : 時刻 T における CsI グループの放出割合

$M_I$  : I 元素の停止時炉内内蔵量

$M_{Cs}$  : Cs 元素の停止時炉内内蔵量

$W_I$  : I の原子量     $W_{Cs}$  : Cs の原子量

※1 MAAP コードでは化学的・物理的性質を考慮し核種をグループ分けしており、各グループの放出割合は、当該グループの停止時炉内内蔵量と放出重量の比をとることで評価している。

※2 各核種グループの停止時炉内内蔵量は以下の手順により評価している。

- ① ORIGEN コードにより核種ごとの初期重量を評価
- ② ①の結果をもとに、同位体の重量を足し合わせ、各元素の重量を評価する。
- ③ ②の結果を MAAP コードにインプットし、MAAP コードにて、各元素の化合物の重量を評価する。
- ④ 各化合物は表 1 に示す核種グループに属するものとして整理している。核種グループの炉内内蔵量は、当該の核種グループに属する化合物の炉内内蔵量の和として評価している。

(b) それ以外の核種グループ。

中・低揮発性の核種グループについては、MAAP 解析の結果得られた放出割合は採用せず、MAAP 解析の結果から得られた Cs の放出割合と、希ガスグループの放出割合、及び、NUREG-1465 の知見を利用し放出割合を評価する。

ここで、放出割合の経時的な振る舞いは希ガスと同一（※1）とし、Cs の放出割合に対する当該核種グループの放出割合の比率は、168 時間経過時点において、NUREG-1465 で得られた比率に等しいとして、以下の評価式に基づき評価した。表 8 及び表 9 に、NUREG-1465 で評価された原子炉格納容器内への放出割合を示す。

$$F_i(T) = F_{\text{noble gass}}(T) \times \gamma_i / Y_{\text{Cs}} \times F_{\text{Cs}}(168\text{hr}) / F_{\text{noble gass}}(168\text{hr})$$

$F_i(T)$  : 時刻 T における i 番目の MAAP 核種グループの放出割合

$F_{\text{noble gass}}(T)$  : 時刻 T における希ガスグループの放出割合

$\gamma_i$  : NUREG-1465 における i 番目の MAAP 核種グループに相当する核種グループの原子炉格納容器への放出割合

$\gamma_{\text{Cs}}$  : NUREG-1465 における Cs に相当する核種グループの原子炉格納容器への放出割合

※1 中・低揮発性の核種グループは、事故初期の燃料が高温となっているとき以外は殆ど燃料外に放出されないものと考えられる。そのため、ベント後の燃料からの追加放出はほとんど無く、事故初期に原子炉格納容器内に放出され、原子炉格納容器気相部に浮遊しているものだけが大気中に放出され得ると考えられる。

ベントに伴い低揮発性核種は原子炉格納容器気相部からベントラインに流入するが、その流入の仕方、すなわち放出割合の経時的な振る舞いは、同じく原子炉格納容器気相部に浮遊しており壁面等からの追加放出がない希ガスの放出割合の振る舞いに近いと考えられる。

以上のことから、中・低揮発性の核種グループの「各時刻における放出割合」は、「各時刻における希ガスグループの放出割合」に比例するものとした。

表4 MAAP 解析による放出割合の評価結果  
(エアロゾル量の評価に使用しない)

核種グループ	格納容器フィルタベント系への放出割合 [-] (事故発生から168時間後時点。格納容器フィルタベント系に流入するエアロゾル量の評価には使用しない)
希ガス	約 $9.0 \times 10^{-1}$
CsI	約 $4.4 \times 10^{-6}$
TeO <sub>2</sub>	約 $2.5 \times 10^{-8}$
SrO	約 $2.4 \times 10^{-4}$
MoO <sub>2</sub>	約 $7.1 \times 10^{-6}$
CsOH	約 $7.0 \times 10^{-6}$
BaO	約 $1.7 \times 10^{-4}$
La <sub>2</sub> O <sub>3</sub>	約 $3.3 \times 10^{-5}$
CeO <sub>2</sub>	約 $3.3 \times 10^{-5}$
Sb	約 $3.8 \times 10^{-6}$
Te <sub>2</sub>	0
UO <sub>2</sub>	0
Cs <sup>*</sup> 1	約 $6.8 \times 10^{-6}$

\*1 CsI グループと CsOH グループの放出割合から評価 (評価式は別紙 50 参照)

表5 TMI 事故後に評価された放射性核種の場所ごとの存在量

(単位 : %)

核種	低揮発性			中揮発性			高揮発性		
	<sup>144</sup> Ce	<sup>144</sup> Eu	<sup>155</sup> Eu	<sup>90</sup> Sr	<sup>106</sup> Ru	<sup>125</sup> Sb	<sup>137</sup> Cs	<sup>129</sup> I	<sup>85</sup> Kr
原子炉建屋									
原子炉容器	105.4	122.7	109.5	89.7	93.2	117.2	40.1	42	30
原子炉冷却系	—	—	—	1	—	0.2	3	1	—
地階水、気相タンク類	0.01	—	—	2.1	0.5	0.7	47	(47) <sup>†</sup>	54
補助建屋	—	—	—	0.1	—	0.7	5	7	—
合計	105	122	110	93	94	119	95	97	85

<sup>†</sup> 広範囲の I 濃度測定値と多量のデブリ(特に地階水沈殿物)のため、ここでの保持量は炉心インペントリーを大きく上回る分析結果となってしまう。したがって、ここに保持された I のインペントリーは Cs と同等であると考える。

出典: TMI-2 号機の調査研究成果 (渡会健祐, 井上康, 榎田藤夫日本原子力学会誌 Vol. 32, No. 4 (1990))

表6 福島第一原子力発電所事故後に検出された土壤中の放射性核種

試料採取場所	【定点①】*1 グランド (西北西約500m)*2			【定点②】*1 野鳥の森 (西約500m)*2			【定点③】*1 産廃処分場近傍 (南南西約500m)*2			④5,6号機サービスビル前 (北約1,000m)*2	⑤簡体廻業物貯蔵庫1棟近傍 (北約500m)*2	⑥南南西 約500m*2	⑦南南西 約750m*2	⑧南南西 約1,000m*2
	試料採取日	3/21	3/25	3/28	3/25	3/28	3/25	3/28	3/25					
分析機関	JAEA	JAEA	日本分析 センター*3	JAEA	日本分析 センター*3	JAEA	日本分析 センター*3	JAEA	JAEA	JAEA	JAEA	JAEA	JAEA	
測定日	3/24	3/28	3/30	3/28	3/30	3/28	3/30	3/28	3/25	3/25	3/25	3/24	3/25	
I-131(約8日)	5.8E+06	5.7E+06	3.8E+06	3.0E+06	3.9E+04	1.2E+07	2.6E+06	4.6E+05	3.1E+06	7.9E+05	2.2E+06	5.4E+06		
I-132(約2時間)	*4	*4	2.3E+05	*4	1.3E+02	*4	1.5E+05	*4	*4	*4	*4	*4	*4	
Cs-134(約2年)	3.4E+05	4.9E+05	5.3E+05	7.7E+04	3.2E+02	3.5E+06	9.7E+05	6.8E+04	9.5E+05	8.7E+03	1.7E+04	1.6E+05		
Cs-136(約13日)	7.2E+04	6.1E+04	3.3E+04	1.0E+04	2.8E+01	4.6E+05	6.9E+04	8.6E+03	1.1E+05	1.9E+03	2.2E+03	2.5E+04		
Cs-137(約30年)	3.4E+05	4.8E+05	5.1E+05	7.6E+04	3.2E+02	3.5E+06	9.3E+05	6.7E+04	1.0E+06	2.0E+04	1.6E+04	1.6E+05		
Te-129m(約34日)	2.5E+05	2.9E+05	8.5E+05	5.3E+04	ND	2.7E+06	6.0E+05	2.8E+04	8.9E+05	9.5E+03	1.9E+04	1.7E+05		
Te-132(約3日)	6.1E+05	3.4E+05	3.0E+05	6.5E+04	1.4E+02	3.1E+06	2.0E+05	3.2E+04	1.9E+06	2.1E+04	3.9E+04	3.8E+05		
Ba-140(約13日)	1.3E+04	1.5E+04	ND	2.5E+03	ND	ND	ND	ND	8.0E+04	ND	ND	ND		
Nb-95(約35日)	1.7E+03	2.4E+03	ND	ND	ND	5.3E+03	ND	ND	8.1E+03	ND	ND	7.9E+02		
Ru-106(約370日)	5.3E+04	ND	ND	6.4E+03	ND	2.7E+05	ND	ND	6.8E+04	1.9E+03	ND	3.2E+04		
Mo-99(約68時間)	2.1E+04	ND	ND	ND	ND	6.6E+04	ND	ND	ND	ND	ND	ND		
Tc-99m(約8時間)	2.3E+04	2.0E+04	ND	ND	ND	4.5E+04	ND	1.8E+03	2.3E+04	ND	ND	8.3E+03		
La-140(約2日)	3.3E+04	3.7E+04	ND	2.3E+03	ND	9.7E+04	ND	2.5E+03	2.1E+05	4.2E+02	6.2E+02	7.8E+03		
Be-7(約53日)	ND	ND	ND	ND	ND	ND	ND	ND	3.2E+04	ND	ND	ND		
Ag-110m(約250日)	1.1E+03	2.6E+03	ND	ND	ND	ND	ND	1.7E+02	1.8E+04	ND	ND	ND		

出典：東京電力 HP (<http://www.tepco.co.jp/cc/press/11040609-j.html>)

表7 NUREG-1465 の知見を用いた補正後の放出割合  
(格納容器フィルタベント系に流入するエアロゾル量を評価する際に使用)

核種グループ	格納容器フィルタベント系への放出割合 [-] (事故発生から168時間後時点)
希ガス	約 $9.0 \times 10^{-1}$
CsI	約 $4.4 \times 10^{-6}$
TeO <sub>2</sub>	約 $1.4 \times 10^{-6}$
SrO	約 $5.4 \times 10^{-7}$
MoO <sub>2</sub>	約 $6.8 \times 10^{-8}$
CsOH	約 $7.0 \times 10^{-6}$
BaO	約 $5.4 \times 10^{-7}$
La <sub>2</sub> O <sub>3</sub>	約 $5.4 \times 10^{-9}$
CeO <sub>2</sub>	約 $1.4 \times 10^{-8}$
Sb	約 $1.4 \times 10^{-6}$
Te <sub>2</sub>	約 $1.3 \times 10^{-8}$
UO <sub>2</sub>	約 $1.3 \times 10^{-8}$
Cs <sup>※1</sup>	約 $6.8 \times 10^{-6}$

※1 CsI グループと CsOH グループの放出割合から評価（評価式は別紙 50 参照）

表8 NUREG-1465での原子炉格納容器内への放出割合

核種グループ	原子炉格納容器への放出割合※1
Cs	0.25
TeO <sub>2</sub> , Sb, Te <sub>2</sub>	0.05
SrO, BaO	0.02
MoO <sub>2</sub>	0.0025
CeO <sub>2</sub> , UO <sub>2</sub>	0.0005
La <sub>2</sub> O <sub>3</sub>	0.0002

※1 NUREG-1465のTable3.12「Gap Release」の値と「Early In-Vessel」の値の和を参照  
 (NUREG-1465では、「Gap Release」, 「Early In-Vessel」, 「Ex-Vessel」及び「Late In-Vessel」の各事象進展フェーズに対して原子炉格納容器内への放出割合を与えており。格納容器フィルタベント系に流入するエアロゾル量評価における想定事故シナリオでは、原子炉圧力容器が健全な状態で事故収束するため、原子炉圧力容器損傷前までの炉心からの放出を想定する「Gap Release」及び「Early In-Vessel」の値の和を用いる。)

表9 NUREG-1465(抜粋)

Table 3.8 Revised Radionuclide Groups

Group	Title	Elements in Group
1	Noble gases	Xe, Kr
2	Halogens	I, Br
3	Alkali Metals	Cs, Rb
4	Tellurium group	Te, Sb, Se
5	Barium, strontium	Ba, Sr
6	Noble Metals	Ru, Rh, Pd, Mo, Tc, Co
7	Lanthanides	La, Zr, Nd, Eu, Nb, Pm, Pr, Sm, Y, Cm, Am
8	Cerium group	Ce, Pu, Np

Table 3.12 BWR Releases Into Containment\*

	Gap Release***	Early In-Vessel	Ex-Vessel	Late In-Vessel
Duration (Hours)	0.5	1.5	3.0	10.0
Noble Gases**	0.05	0.95	0	0
Halogens	0.05	0.25	0.30	0.01
Alkali Metals	0.05	0.20	0.35	0.01
Tellurium group	0	0.05	0.25	0.005
Barium, Strontium	0	0.02	0.1	0
Noble Metals	0	0.0025	0.0025	0
Cerium group	0	0.0005	0.005	0
Lanthanides	0	0.0002	0.005	0

\* Values shown are fractions of core inventory.

\*\* See Table 3.8 for a listing of the elements in each group

\*\*\* Gap release is 3 percent if long-term fuel cooling is maintained.

## JAVA 試験及び JAVA PLUS 試験の適用性について

Framatome 社（旧 AREVA 社）製のフィルタ装置は、JAVA 試験及び JAVA PLUS 試験により、実機使用条件を考慮した性能検証試験を行っており、その結果に基づき装置設計を行っている。実機フィルタ装置については、使用条件において所定の性能が発揮されるように、JAVA 試験及び JAVA PLUS 試験条件に包絡されるよう設計されている。

ACE 試験は、米国 EPRI が中心となって行った ACE シビアアクシデント国際研究計画の中で実施している。

これらの試験について、実機フィルタ装置とのスケール適用性について以下に示す。

## 性能検証試験の概要

## (1) JAVA 試験

JAVA 試験は、Framatome 社（旧 AREVA 社）により、ドイツのカールシュタインにある大規模試験施設（以下、「JAVA 試験施設」という。）にて実施された。JAVA 試験では、実機の想定事象における種々のパラメータ（圧力・温度・ガス流量等の熱水力条件、エアロゾル粒径等のエアロゾル条件）について試験を行うことにより、フィルタ装置の使用条件において所定の性能が発揮されることを確認している。

図 1 に実機フィルタ装置と試験フィルタ装置の比較を示す。試験フィルタ装置は、高さ約 [ ] m、直径約 [ ] m の容器の中に、実機と同形状のベンチュリノズル（[ ]），及び実機と同構造の金属フィルタを内蔵している。

また、これら試験のフィルタ装置に流入したベントガスは、ベンチュリスクラバ、気相部、金属フィルタ、流量制限オリフィスの順に通過し、装置外部へ放出される経路となっており、実機と同じ順に各部を通過する。

## (2) JAVA PLUS 試験

JAVA PLUS 試験は、実規模を想定した有機よう素の除去性能を確認するため、Framatome 社（旧 AREVA 社）により、JAVA 試験施設を改造した施設にて実施された。

JAVA PLUS 試験では、実機と同仕様の銀ゼオライトを充填したフィルタを設置し、有機よう素の除去性能試験を実施している。

フィルタ装置に流入したベントガスは、ベンチュリスクラバ、気相部、金属フィルタ、流量制限オリフィス、銀ゼオライトフィルタの順に通過し、装置外部へ放出される経路となっており、実機と同じ順に各部を通過する。

本資料のうち、枠囲みの内容は機密に係る事項のため公開できません。

### (3) ACE 試験

ACE 試験は、EPRI が中心となって行った ACE シビアアクシデント国際研究計画の中でエアロゾル及び無機よう素の除去性能検証試験が実施された。

図 2 に実機フィルタ装置と試験フィルタ装置の比較を示す。

試験フィルタ装置は、高さ [ ] m、直径 [ ] m の容器の中に、実機と同形状のベンチュリノズル ( ) と、実機と同構造（同一金属メッシュ構造、同一充填率）の金属フィルタを内蔵している。

なお、ACE 試験の試験装置の詳細な仕様、試験条件及び試験結果は、EPRI 及び Framatome 社（旧 AREVA 社）の知的財産（Intellectual Property）として開示が不可能であることから、フィルタ装置の設計及び性能検証には使用しない。

### (4) スケール性の確認

JAVA 試験、JAVA PLUS 試験のスケール性を確認することで、実機への適用性を確認する。図 2 に実機と JAVA 試験装置（JAVA PLUS 試験でも同一の容器を使用）及び参考に ACE 試験装置の主要寸法の比較を示す。

試験フィルタ装置へ流入したガスは、装置の下端に設置されたベンチュリノズルを経由し、上部に設置された金属フィルタ、その後段に設置された銀ゼオライトフィルタ（JAVA PLUS 試験のみ）へ流れる構成であり、実機と同様の構成となる。

フィルタ装置の性能に影響を与える可能性のある主要なパラメータとしてガス流速が挙げられるが、ベンチュリノズルのガス流速を試験で確認された範囲内となるように実機のベンチュリノズルの個数を設定していることから、ベンチュリノズルの個数の違いによる影響はない。また、実機の金属フィルタの表面積についても、金属フィルタ内のガス流速を試験で確認された範囲内となるように設定していることから、金属フィルタの表面積の違いによる影響はない。JAVA 試験及び実機における物理パラメータと試験条件を表 2、ベンチュリノズル部及び金属フィルタにおけるガス流速に対する除去係数を図 3、4 に示す。

実機の銀ゼオライトフィルタについては、JAVA PLUS 試験で得られた試験結果に基づき、想定されるよう素量を捕集するためベントガスが適切な滞留時間となるように銀ゼオライトの充填量を設定している。

以上より、試験の実機への適用性は確保できていると考えられる。

表 3 に JAVA 試験及び JAVA PLUS 試験の実機への適用性について、構成要素別にまとめる。

### (5) 評価

以上より、JAVA 試験及び JAVA PLUS 試験のスケール性については性能に影響する範囲について実機を模擬できていると評価できる。これらの試験は実機

本資料のうち、枠囲みの内容は機密に係る事項のため公開できません。

の使用条件についても模擬できており、試験結果を用いて実機の性能を評価することが可能であると考える。



図 1 ACE 試験の設備概要

本資料のうち、枠囲みの内容は機密に係る事項のため公開できません。

表1 ACE 試験の試験条件及び結果

PROJECT	YEARS	Materials tested	Conditions Tested			Measured retention Efficiency %
			Pressure [bar abs]	Temperature [°C]	Gas composition % steam	
ACE	1989-1990	Cs	1.4	145	42	99.9999
		Mn	1.4	145	42	99.9997
		Total iodine (particles and gaseous)	1.4	145	42	99.9997
		DOP	1.2-1.7	ambient	0	99.978 - 99.992

出典：OECD／NEA, “Status Report on Filtered Containment Venting”, (2014)



図2 実機フィルタ装置と試験フィルタ装置の比較

表2 JAVA 試験及び実機における運転範囲

項目	JAVA 試験	実機運転範囲
ベンチュリノズル部ガス流速		
金属フィルタ部ガス流速		

本資料のうち、枠囲みの内容は機密に係る事項のため公開できません。

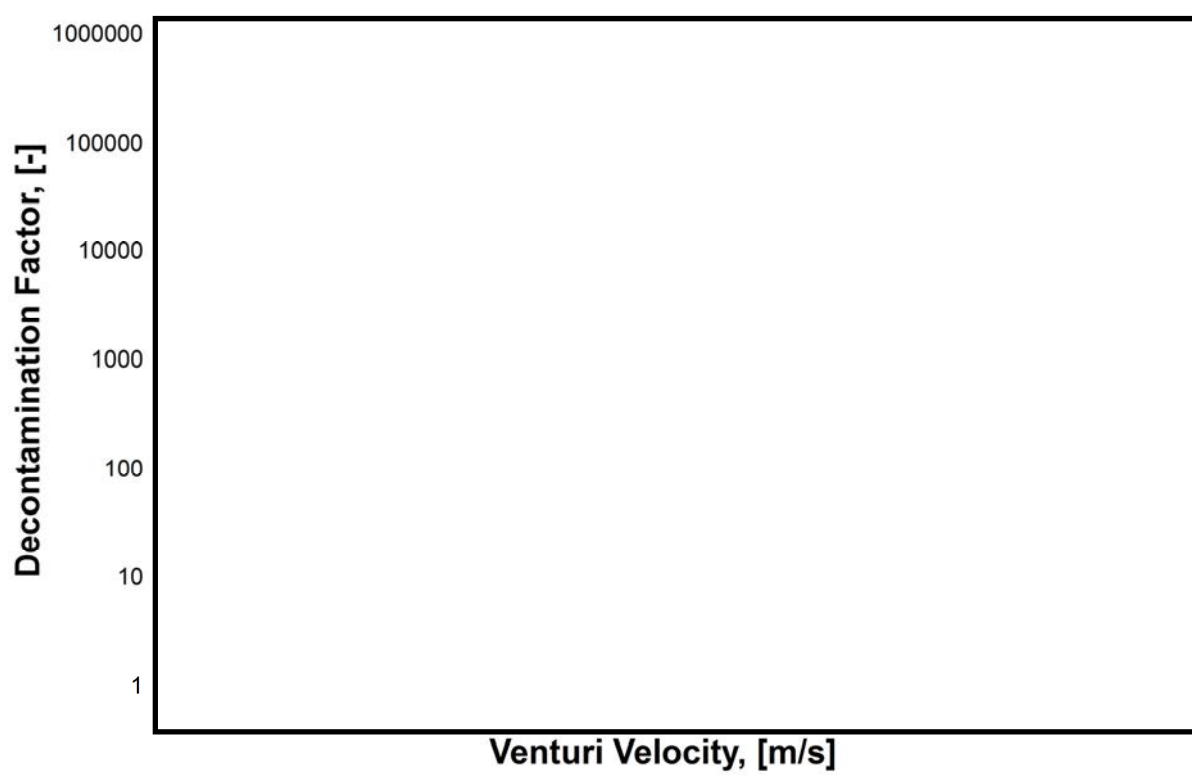


図3 ベンチュリノズル部におけるガス流速に対する除去係数

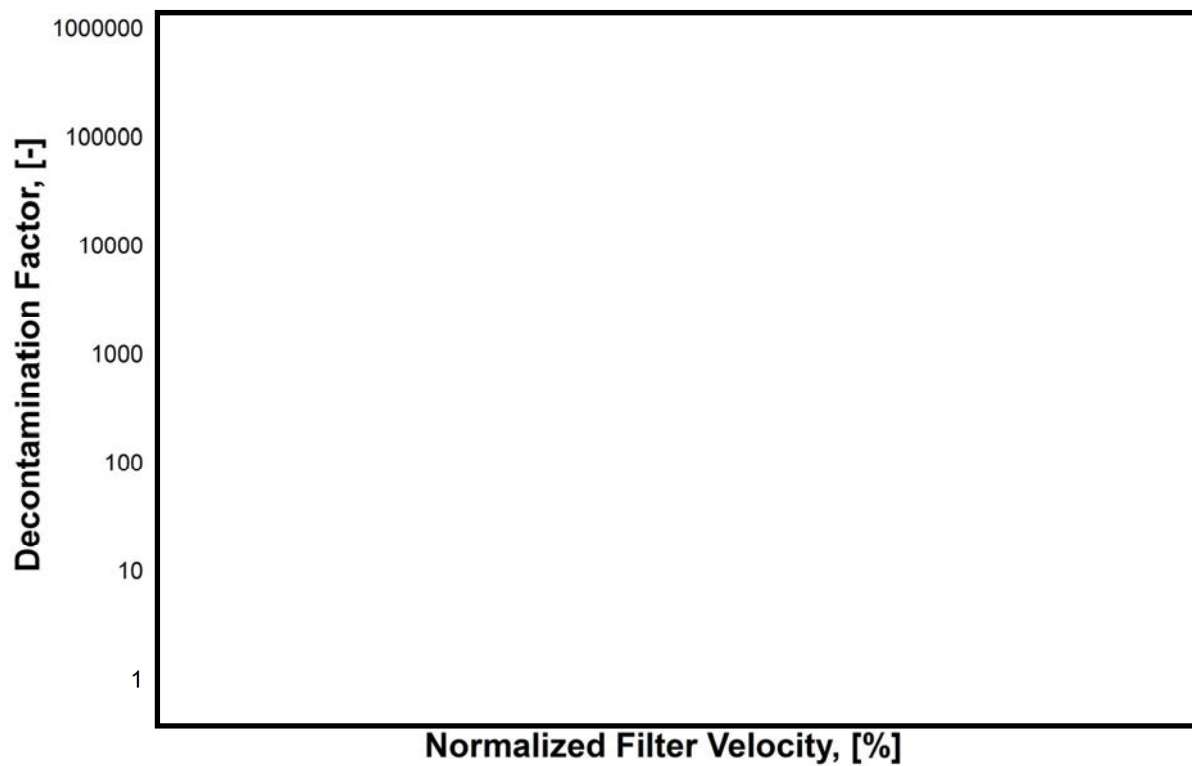


図4 金属フィルタにおけるガス流速に対する除去係数

本資料のうち、枠囲みの内容は機密に係る事項のため公開できません。

表3 実機に対するJAVA及びJAVA PLUS試験装置の適用性のまとめ

構成要素		相違			適用性
		有 無	JAVA (PLUS)	実機	
全体構成 (基数を含む)		無	—	—	<ul style="list-style-type: none"> <li>試験フィルタ装置へ流入したガスは、ベンチュリノズルを経由し、金属フィルタ、後段に設置された銀ゼオライトフィルタ (JAVA PLUS 試験のみ) へ流れれる構成であり、実機と同様の構成である。</li> <li>試験装置は、実機と同様に、銀ゼオライトフィルタがスクラバ容器の外に設置されている。</li> </ul>
		有	—	—	<ul style="list-style-type: none"> <li>実機では、同一のスクラバ容器を4基並列に設置するが、ベントガスは均等に分配されるよう設計しているため、分離設置による影響はない。</li> </ul>
スクラバ 容器	高さ	無	約□ m	約□ m	<ul style="list-style-type: none"> <li>試験装置と実機は、同じ高さの容器を使用している。</li> </ul>
	断面積	有	約□ m <sup>2</sup> 又は 約□ m <sup>2</sup>	約□ m <sup>2</sup>	<ul style="list-style-type: none"> <li>ベンチュリノズル部においてエアロゾル及び無機よう素の大部分を捕集するため、断面積の違いによる影響は小さい。なお、ベンチュリノズル1個あたりの断面積は、実機が約□ m<sup>2</sup>、JAVA 試験が約□ m<sup>2</sup> (□) 又は約□ m<sup>2</sup> (□) である。</li> </ul>
ベンチュリ ノズル	構造	無	—	—	<ul style="list-style-type: none"> <li>試験装置と実機は同一形状(寸法)のベンチュリノズルを使用している。</li> </ul>
	個数	有	□	□	<ul style="list-style-type: none"> <li>実機のベンチュリノズルの個数は、ベンチュリノズルのガス流速を試験で確認された範囲内となるように設定していることから、ベンチュリノズルの個数の違いによる影響はない。</li> <li>実機のガス流速は約□ m/s であり、JAVA 試験のガス流速は□ m/s である。</li> </ul>
金属 フィルタ	構造	無	—	—	<ul style="list-style-type: none"> <li>試験装置と実機は同一仕様 (□) の金属フィルタを使用している。</li> </ul>
	表面積	有	約□ m <sup>2</sup> (□)	約□ m <sup>2</sup> (□)	<ul style="list-style-type: none"> <li>実機の金属フィルタの表面積は、金属フィルタ内のガス流速を試験で確認された範囲内となるように設定していることから、金属フィルタの表面積の違いによる影響はない。</li> </ul>
スクラビング 水	薬剤	無	—	—	<ul style="list-style-type: none"> <li>試験装置と実機は同じ薬剤を使用している。なお、実機のpHは、試験で確認された性能を十分発揮できるよう、高アルカリに設定している。</li> </ul>
	水位	有	※	※	<ul style="list-style-type: none"> <li>試験では、ベンチュリノズル頂部近傍の水位において所定の性能が発揮できることを確認しているため、水位の違いによる影響はない。</li> </ul>
銀ゼオライト 容器	吸着剤	無	—	—	<ul style="list-style-type: none"> <li>試験装置と実機は、同仕様の吸着材(銀ゼオライト)を使用している。</li> </ul>
	厚さ	有	約□ mm	約□ mm	<ul style="list-style-type: none"> <li>ベントガスが適切な滞留時間となるように銀ゼオライトの充てん量を設定している。</li> </ul>

※適用性の欄に相違点を記載

本資料のうち、枠囲みの内容は機密に係る事項のため公開できません。

#### (6) ベンチュリスクラバ及び金属フィルタにおける除去係数

Framatome 社（旧 AREVA 社）製のフィルタ装置（スクラバ容器）は、ベンチュリスクラバ及び金属フィルタを組み合わせることにより、所定の除去性能（DF）を満足するよう設計されている。

スクラバ容器におけるエアロゾルに対する除去効率は、ベンチュリスクラバと金属フィルタを組み合わせた体系で評価を行っており、JAVA 試験結果では、試験を実施した全域にわたって DF1,000 以上を満足していることを確認している。

JAVA 試験ではベンチュリスクラバ単独でのエアロゾル除去性能を確認している試験ケースもあり、実機運転範囲のガス流速において、ベンチュリスクラバ単独でも DF [ ] 以上と評価される。ベンチュリスクラバ単独でのエアロゾル除去性能を表4に示す。

ベンチュリスクラバによるエアロゾル除去の主な原理は慣性衝突効果であり、一般的にガス流速が大きい方が除去効率は高く、ガス流速が小さい方が除去効率は低くなることから、実機運転範囲以下のガス流速におけるベンチュリスクラバ単独での除去性能は、実機運転範囲と比較して低下することが見込まれるが、後段の金属フィルタによる除去により、スクラバ容器全体としては試験を実施した全域にわたって要求される DF1,000 以上の除去性能を満足していると考えられる。

表4 ベンチュリスクラバ単独でのエアロゾル除去性能

ガス流速 (m/s)	除去率 (%)
10	[ ]
20	[ ]
30	[ ]
40	[ ]
50	[ ]
60	[ ]
70	[ ]
80	[ ]
90	[ ]
100	[ ]
110	[ ]
120	[ ]
130	[ ]
140	[ ]
150	[ ]
160	[ ]
170	[ ]
180	[ ]
190	[ ]
200	[ ]
210	[ ]
220	[ ]
230	[ ]
240	[ ]
250	[ ]
260	[ ]
270	[ ]
280	[ ]
290	[ ]
300	[ ]
310	[ ]
320	[ ]
330	[ ]
340	[ ]
350	[ ]
360	[ ]
370	[ ]
380	[ ]
390	[ ]
400	[ ]
410	[ ]
420	[ ]
430	[ ]
440	[ ]
450	[ ]
460	[ ]
470	[ ]
480	[ ]
490	[ ]
500	[ ]
510	[ ]
520	[ ]
530	[ ]
540	[ ]
550	[ ]
560	[ ]
570	[ ]
580	[ ]
590	[ ]
600	[ ]
610	[ ]
620	[ ]
630	[ ]
640	[ ]
650	[ ]
660	[ ]
670	[ ]
680	[ ]
690	[ ]
700	[ ]
710	[ ]
720	[ ]
730	[ ]
740	[ ]
750	[ ]
760	[ ]
770	[ ]
780	[ ]
790	[ ]
800	[ ]
810	[ ]
820	[ ]
830	[ ]
840	[ ]
850	[ ]
860	[ ]
870	[ ]
880	[ ]
890	[ ]
900	[ ]
910	[ ]
920	[ ]
930	[ ]
940	[ ]
950	[ ]
960	[ ]
970	[ ]
980	[ ]
990	[ ]
1000	[ ]

本資料のうち、枠囲みの内容は機密に係る事項のため公開できません。

## (参考 1) 性能検証試験に係る品質保証について

フィルタ装置の放射性物質除去性能は、JAVA 試験及び JAVA PLUS 試験で用いたベンチュリノズル、金属フィルタ及び銀ゼオライトと同じ仕様・構造のものを、ISO9001 等に適合した品質保証体制を有する Framatome 社（旧 AREVA 社）において設計・製作することにより、JAVA 試験及び JAVA PLUS 試験と同じ性能を保証する。

### (1) ベンチュリノズル

ベンチュリノズルの性能試験は、発注単位毎に □ % の抜取にて行われる。試験ノズル 1 個に対して同じ試験を □ 回実施した上で、大きな差異がないことを確認している。

### (2) 金属フィルタ

金属フィルタは製品毎に性能試験を実施している。

### (3) 銀ゼオライト

銀ゼオライトの性能試験は、納入品と同一のロット番号のものによる性能試験を実施している。

以上(1)～(3)より、個別の単体性能試験を評価しており、実機についても JAVA 試験、JAVA PLUS 試験結果と同じ性能が出ることを確認している。

### ➤ Framatome 社（旧 AREVA 社）品質保証体制

ベンチュリノズル、金属フィルタ及び銀ゼオライトフィルタを製作する Framatome 社（旧 AREVA 社）は、フィルタベントシステム納入実績を多数有しており、原子力プラントメーカーとして下記の品質保証体制を有している。

- ・ フィルタベントシステムの性能保証する Framatome 社（旧 AREVA 社）は、品質管理システムとして ISO9001 を 2008 年に SGS 社から取得している。また、世界中の顧客要求品質要求に対応できるよう、ASME NPT, N. S Stamp, KTA1401, 1408, RCCM, RCC-E, EN ISO9001 などの認証も取得している。
- ・ Framatome 社（旧 AREVA 社）は、システム設計・製作に際し、品質保証含めてプロジェクトを横断的に管理する部門を設置しており、技術要求仕様、品質要求仕様を指示し製作仕様に盛り込む体制が整えられている。
- ・ Framatome 社（旧 AREVA 社）は、原子力製品のエンジニアリング及びプロジェクト管理を世界レベルで展開している。また、各種品質管理手順に従い外注先の品質管理を実施している。

また、Framatome 社（旧 AREVA 社）は海外での先行 FCVS 実績を多数有している。納入実績を表 1 に示す。

本資料のうち、枠囲みの内容は機密に係る事項のため公開できません。

表1 Framatome社（旧 AREVA社）のフィルタベント納入実績

Country	Name	Type	Status	Since
Germany				
Finland				
Switzerland				
Netherlands				
Korea, RO				
Canada				
Bulgaria				
P. R. China				

本資料のうち、枠囲みの内容は機密に係る事項のため公開できません。

(参考2) 隣接するベンチュリノズルから噴出されるガスの相互影響について

ベンチュリノズルは、分配管に対して直行する向きに設置されており、ノズル上部に設けた1本あたり2ヶ所の噴出口から、ベントガスを水平下向きに噴き出す。その噴出口を隣接するベンチュリノズルに向けないことで、隣接するベンチュリノズルに影響を与えない設計としている。ベンチュリノズルの配置図を図1に示す。

なお、JAVA試験において、2本の隣接するベンチュリノズルを設置した試験を実施した結果、1本の場合と比較して有意な性能差は見られず、試験を実施した全域にわたって、DF1,000以上の除去効率が得られている。ベンチュリノズル部におけるガス流速に対する除去係数を図2に示す。

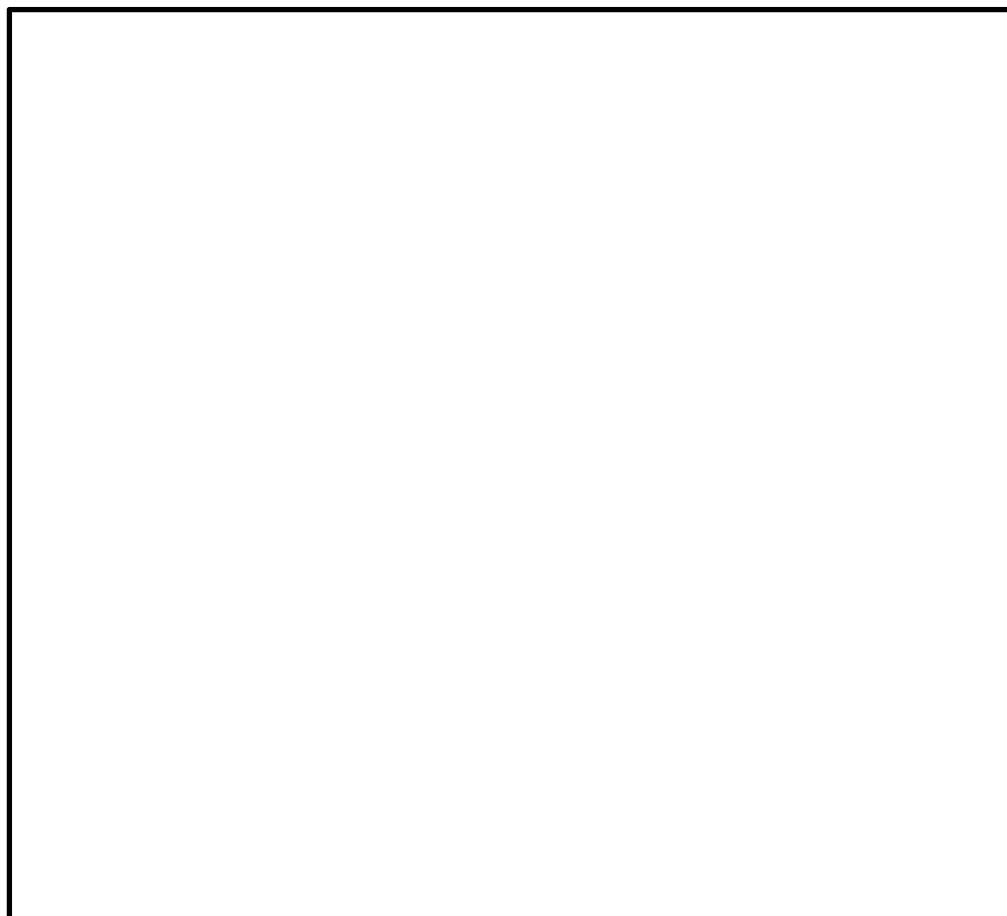


図1 ベンチュリノズルの配置図

本資料のうち、枠囲みの内容は機密に係る事項のため公開できません。

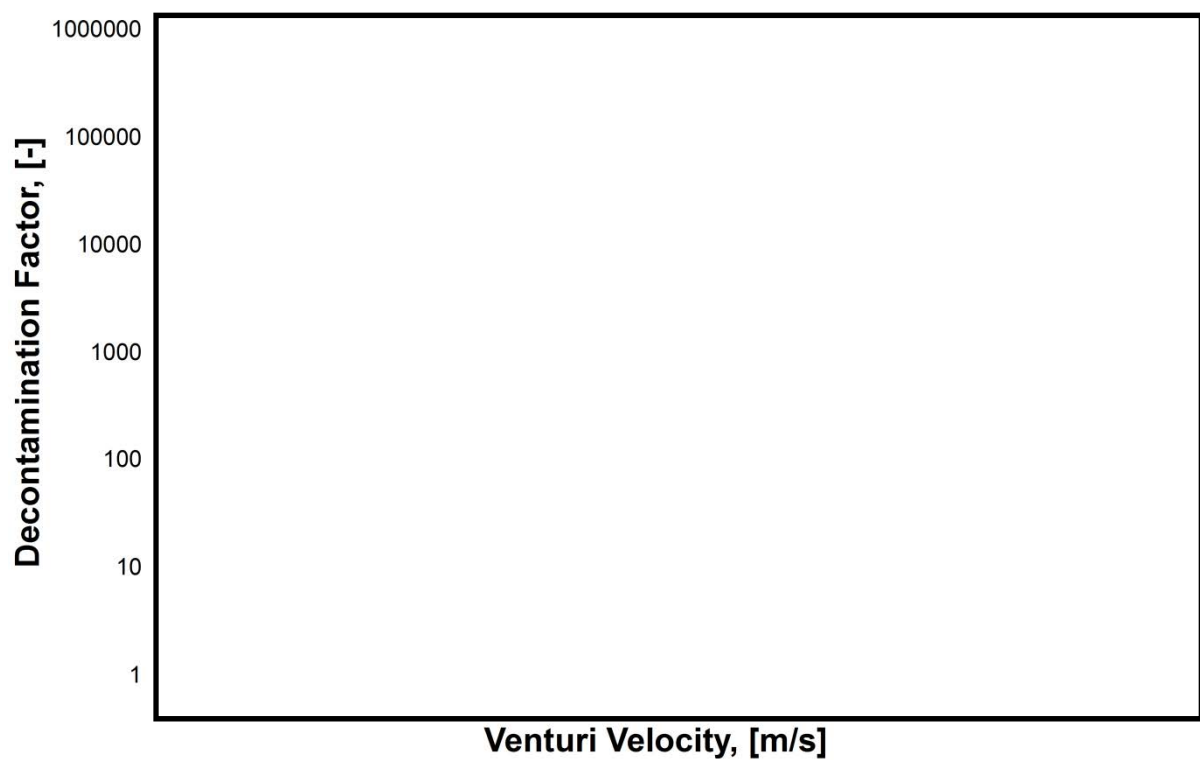


図2 ベンチュリノズル部におけるガス流速に対する除去係数

《参考図書》

1. 理化学辞典第4版

本資料のうち、枠囲みの内容は機密に係る事項のため公開できません。

## JAVA PLUS 試験結果を踏まえた銀ゼオライトフィルタの設計

ベントガスに含まれるガス状放射性よう素（無機よう素及び有機よう素）は、流量制限オリフィス下流に設置する銀ゼオライトフィルタを通過する際の化学反応にて捕集する。実機の銀ゼオライトフィルタの設計において、除去係数と滞留時間の関係式、JAVA PLUS 試験により得られた除去係数及び滞留時間を用いることから、JAVA PLUS 試験結果の実機への適用性について、以下にまとめた。

### a. 銀ゼオライトフィルタにおけるガス状放射性よう素の捕集

ベントガスに含まれるガス状放射性よう素は、流量制限オリフィス下流に設置する銀ゼオライトフィルタを通過する際の化学反応にて捕集する。銀ゼオライトフィルタにおけるガス状放射性よう素の吸着速度は、総括物質移動係数  $K$  を用いて以下のように表せる（参考図書 1, 2）。

$$r \frac{\partial q}{\partial t} = K(C - C^*) \quad \dots \dots \quad (\text{式 } 1)$$

$r$  : 吸着剤充填密度     $q$  : よう素吸着量     $K$  : 総括物質移動係数  
 $C$  : よう素濃度     $C^*$  : よう素平均濃度

ここで、化学反応による吸着（不可逆反応）であることから、 $C^* = 0$  とみなし、式 1 は以下のように表せる。

$$r \frac{\partial q}{\partial t} = KC \quad \dots \dots \quad (\text{式 } 2)$$

### b. 除去係数と滞留時間

ガス状放射性よう素が銀ゼオライトフィルタを通過する際の物質収支は、吸着剤の微小ベッド厚さ  $\Delta z$  に対して、単位時間あたりのよう素濃度の低下率と吸収量が等しいとする式 3 で表すことができる（参考図書 3）。

銀ゼオライトフィルタ通過前後における物質収支のイメージを図 1 に示す。

$$-u A \Delta t \Delta C = r A \Delta z \Delta q \quad \dots \dots \quad (\text{式 } 3)$$

$u$  : ガス流速     $A$  : ガス通過断面積     $\Delta t$  : 単位時間  
 $\Delta C$  : よう素濃度変化     $r$  : 吸着剤充填密度     $\Delta z$  : ベッド厚さ  
 $\Delta q$  : 単位質量あたりのよう素吸着量

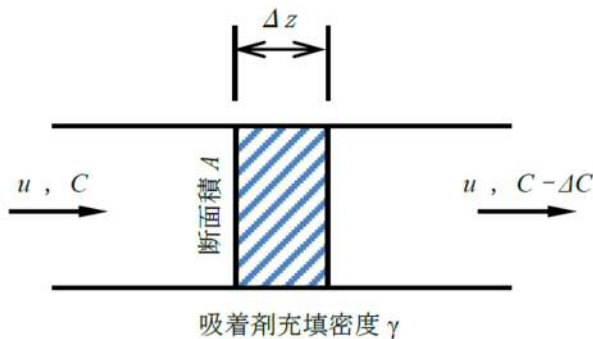


図1 銀ゼオライトフィルタ通過前後における物質収支のイメージ

ここで、左辺はガスに含まれる放射性よう素の変化量、右辺は銀ゼオライトフィルタで捕集した放射性よう素量を表す。 $\Delta z = u \Delta t$  より、両辺を  $A \Delta t \Delta z$  で除し、微小変化を $\Delta \rightarrow \partial$  とすると、式3は以下のように表せる。

$$-\frac{\partial C}{\partial t} = r \frac{\partial q}{\partial t} \quad \dots \dots \quad (\text{式4})$$

式4に式2を代入すると、以下のように表せる。

$$\frac{\partial C}{\partial t} = -KC \quad \dots \dots \quad (\text{式5})$$

式5を積分し、 $C_0$  を初期よう素濃度とすると、以下のように表せる。

$$\frac{\log(\frac{C_0}{C})}{t} = \frac{\log(DF)}{t} = K \quad \dots \dots \quad (\text{式6})$$

式6は銀ゼオライトフィルタをベントガスが通過する時間（滞留時間）に除去係数が依存することを示している。また、銀ゼオライトフィルタの厚さが一定であることを考慮すると、除去係数が銀ゼオライトフィルタを通過するベントガスの流速に依存することを示している。

### c. 除去係数と滞留時間

銀ゼオライトフィルタの除去性能に影響を与えるベントガス条件として、ベントガスの流速以外に、過熱度、蒸気割合、銀ゼオライトフィルタ温度、銀ゼオライトフィルタ圧力が考えられることから、これらの条件が式6の総括物質移動係数へ与える影響について JAVA PLUS 試験結果により評価する。

#### ① 蒸気割合、銀ゼオライトフィルタ温度及び過熱度の影響

本資料のうち、枠囲みの内容は機密に係る事項のため公開できません。

表1 蒸気割合、銀ゼオライトフィルタ温度及び過熱度が  
総括移動係数に与える影響

蒸気割合	銀ゼオライトフィルタ温度	過熱度	総括移動係数
10%	400°C	100°C	0.012
20%	450°C	150°C	0.015
30%	500°C	200°C	0.018
40%	550°C	250°C	0.020
50%	600°C	300°C	0.022
60%	650°C	350°C	0.024
70%	700°C	400°C	0.026
80%	750°C	450°C	0.028
90%	800°C	500°C	0.030
100%	850°C	550°C	0.032

② 銀ゼオライトフィルタ圧力及び過熱度の影響

銀ゼオライトフィルタ圧力	過熱度	総括移動係数
1 atm	100°C	0.012
2 atm	150°C	0.015
3 atm	200°C	0.018
4 atm	250°C	0.020
5 atm	300°C	0.022
6 atm	350°C	0.024
7 atm	400°C	0.026
8 atm	450°C	0.028
9 atm	500°C	0.030
10 atm	550°C	0.032

表2 銀ゼオライトフィルタ圧力及び過熱度が  
総括移動係数に与える影響(1)

銀ゼオライトフィルタ圧力	過熱度	総括移動係数
1 atm	100°C	0.012
2 atm	150°C	0.015
3 atm	200°C	0.018
4 atm	250°C	0.020
5 atm	300°C	0.022
6 atm	350°C	0.024
7 atm	400°C	0.026
8 atm	450°C	0.028
9 atm	500°C	0.030
10 atm	550°C	0.032

銀ゼオライトフィルタ圧力	過熱度	総括移動係数
1 atm	100°C	0.012
2 atm	150°C	0.015
3 atm	200°C	0.018
4 atm	250°C	0.020
5 atm	300°C	0.022
6 atm	350°C	0.024
7 atm	400°C	0.026
8 atm	450°C	0.028
9 atm	500°C	0.030
10 atm	550°C	0.032

表3 銀ゼオライトフィルタ圧力及び過熱度が  
総括移動係数に与える影響(2)

銀ゼオライトフィルタ圧力	過熱度	総括移動係数
1 atm	100°C	0.012
2 atm	150°C	0.015
3 atm	200°C	0.018
4 atm	250°C	0.020
5 atm	300°C	0.022
6 atm	350°C	0.024
7 atm	400°C	0.026
8 atm	450°C	0.028
9 atm	500°C	0.030
10 atm	550°C	0.032

本資料のうち、枠囲みの内容は機密に係る事項のため公開できません。

③まとめ

ベントガス条件（過熱度、蒸気割合、銀ゼオライトフィルタ温度及び銀ゼオライトフィルタ圧力）が、総括物質移動係数へ与える影響について JAVA PLUS 試験結果に基づき評価した結果、総括物質移動係数が過熱度に依存することを確認した。なお、蒸気割合、銀ゼオライトフィルタ温度及び銀ゼオライトフィルタ圧力は、銀ゼオライトフィルタを通過するベントガスの過熱度を決定する因子となり得るものであり、これらのベントガス条件が総括物質移動係数へ与える影響は、過熱度による影響に帰着するものと考えられる。

以上から、銀ゼオライトフィルタの除去性能の評価や設計においては、式 6 に示される滞留時間、ベントガスの過熱度への考慮が重要である。

d. JAVA PLUS 試験結果の実機への適用

銀ゼオライトフィルタの設計（必要ベッド厚の設計）においては、式 6 と JAVA PLUS 試験で得られた除去係数及び滞留時間を用い、実機の過熱度の運転範囲について、式 7 の関係から実機に要求する除去係数を得るために必要な滞留時間を算出し、銀ゼオライトの必要ベッド厚を設定する。上記のとおり設計した島根 2 号炉の銀ゼオライトフィルタの有機よう素除去係数を図 2 に示す。過熱度の運転範囲全域において、要求する除去係数（DF50 以上）を満足している。

本資料のうち、枠囲みの内容は機密に係る事項のため公開できません。

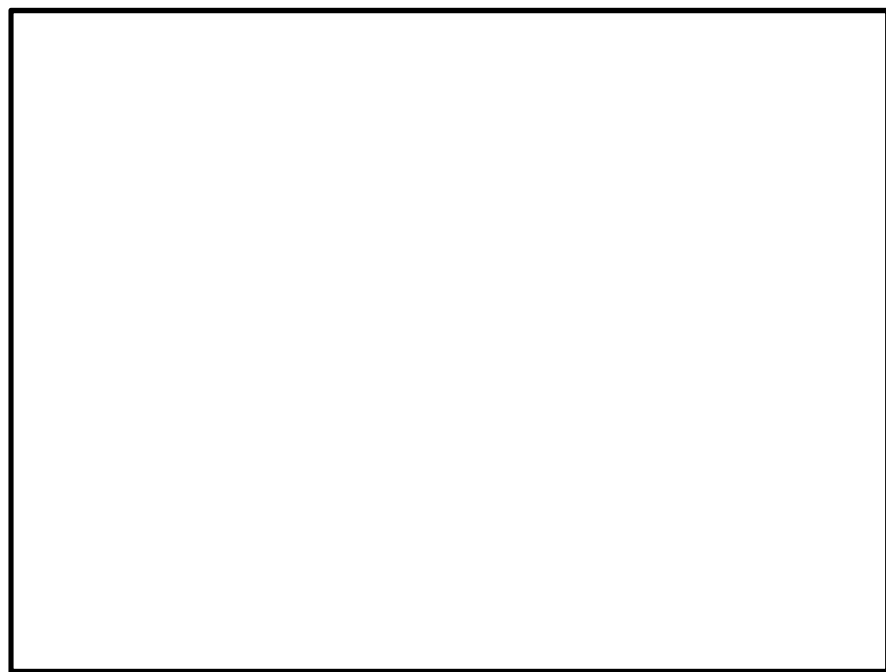


図2 JAVA PLUS 試験結果（実機条件補正）

《参考図書》

1. 佐藤 忠正等（北海道大学） 充填層における吸着速度について， 1958-12-18
2. 古谷英二等 単成分吸着における固定層吸着破過曲線と粒内有効拡散係数について， 1978 年 9 月（明治大学工学部研究報告）
3. 竹内 「吸着分離－入門から操作設計まで」（2000 年）

本資料のうち、枠囲みの内容は機密に係る事項のため公開できません。

## エアロゾルの再浮遊・フィルタの閉塞について

フィルタ装置を継続使用する際、粒子状放射性物質（エアロゾル）の除去に影響を与える可能性のある因子として以下の点を考慮する必要がある。

- ・ 粒子状放射性物質（エアロゾル）の再浮遊
- ・ フィルタの閉塞

## (1) 粒子状放射性物質（エアロゾル）の再浮遊

## a. ベンチュリスクラバにおけるエアロゾルの再浮遊

## (a) 想定する状態

ベンチュリスクラバにおいて捕集されたエアロゾルが蓄積すると、ベンチュリスクラバ内のエアロゾル濃度は徐々に上昇する。ベンチュリスクラバでは、スクラビング水の沸騰やベントガスの気流により細かい液滴が発生し、その液滴に内包されるエアロゾルがフィルタ装置（スクラバ容器）下流側に放出されることが考えられる。

## (b) 影響評価

フィルタ装置（スクラバ容器）は、ベンチュリスクラバの後段に金属フィルタが設置されている。この金属フィルタには、ベンチュリスクラバからの液滴を除去するための機構（プレフィルタ、湿分分離機構）及びドレンをベンチュリスクラバ内に戻すためのドレン配管が設置されている。そのため、ベンチュリスクラバで発生した液滴はメインフィルタに到達する前に除去される。また、液滴の微細化や蒸発によってエアロゾルが放出される可能性があるが、これはメインフィルタにて捕集される。

以上のとおり、フィルタ装置（スクラバ容器）は、ベンチュリスクラバでのエアロゾルの再浮遊に対して考慮した設計としている。

なお、JAVA 試験では、液滴が発生しやすいガス流速が大きい場合について試験を行っており、エアロゾルの除去係数が低下しないことを確認している。ベンチュリノズル部におけるガス流速に対する除去係数を図 1 に示す。

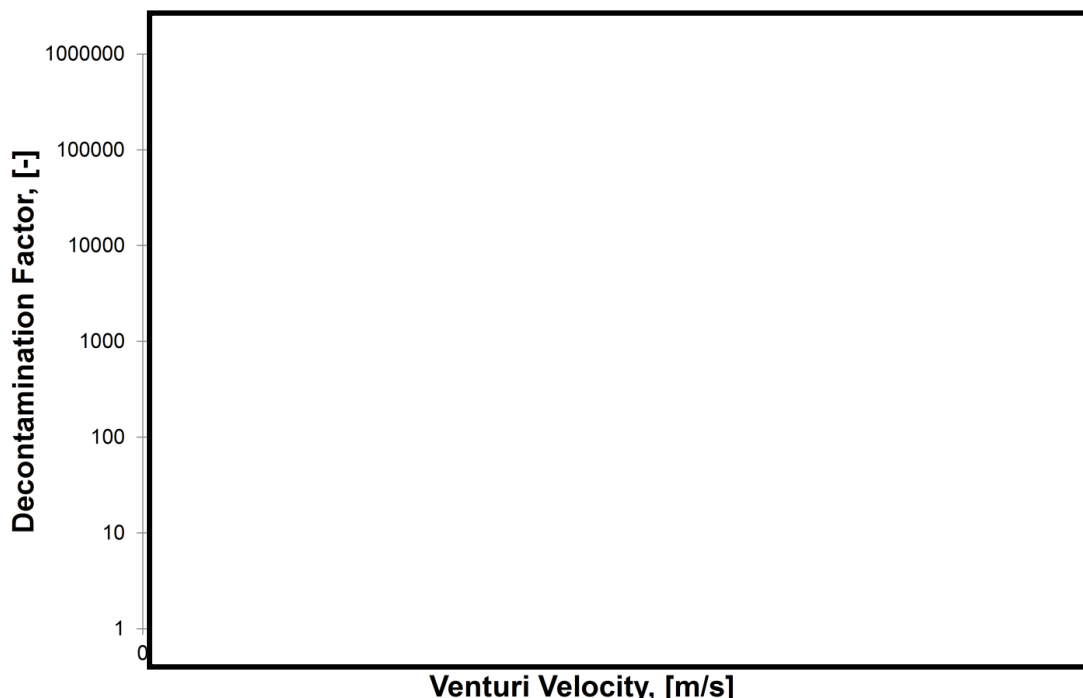


図1 ベンチュリノズル部におけるガス流速に対する除去係数

b. 金属フィルタにおけるエアロゾルの再浮遊

(a) 想定する状態

金属フィルタにおいて捕集されたエアロゾルが蓄積すると、崩壊熱によりフィルタ部の温度が上昇し、放射性物質の融点・沸点を超えた場合に液体・気体となる。これらの液体・気体がベントガスに流された場合、金属フィルタ下流側にエアロゾルが放出されることが考えられる。

(b) 影響評価

金属フィルタに捕集されたエアロゾルの崩壊熱による金属フィルタの上昇温度を、エアロゾルが再浮遊に至る温度と比較することで、この影響について確認した。

以下に評価に用いた条件とその結果を示す。

① 金属フィルタへのエアロゾル移行割合

フィルタ装置（スクラバ容器）では、ベンチュリスクラバにより大部分のエアロゾルが捕集される。このベンチュリスクラバによる除去性能を考慮して、金属フィルタへのエアロゾル移行割合は、フィルタ装置に移行する総量の [ ] とする。(別紙34表4)

② 冷却ガス条件

a. ベント後短期

金属フィルタに捕集されたエアロゾルの崩壊熱は、膨大な流量のベントガスによって冷却される。

本資料のうち、枠囲みの内容は機密に係る事項のため公開できません。

b. ベント後長期

ベントガス流量が低下するベント後長期においては、原子炉格納容器を不活性化するために供給する窒素ガス及びスクラビング水に捕集されるエアロゾルの崩壊熱による蒸気によって冷却される。

c. ベント停止後

ベント停止後においては、格納容器フィルタベント系を不活性化するために供給する窒素ガス及びスクラビング水に捕集されるエアロゾルの崩壊熱による蒸気によって冷却される。

したがって、冷却源となるガス流量が最も小さくなるような条件を想定するため、スクラビング水に捕集される崩壊熱による蒸気量は考慮せず、系統を不活性化するために供給する窒素ガス流量のみを冷却ガス条件とする。圧力・温度条件はベント後長期を想定して大気圧及びその飽和温度とする。

- ・窒素ガス流量 = 100 Nm<sup>3</sup>/h
- ・窒素ガス比熱 = 1040 J/kg・°C
- ・窒素ガス密度 = 1.25 kg/Nm<sup>3</sup>

③ 評価結果

金属フィルタに捕集されたエアロゾルの崩壊熱による冷却ガスの上昇温度を評価することで簡易的に金属フィルタの上昇温度を評価する。金属フィルタ内で発生する崩壊熱の全量 [ ] が冷却ガスに移行したと仮定し、以下の評価式にて金属フィルタの上昇温度を評価した。

$$\text{上昇温度(}^{\circ}\text{C)} = \frac{\text{金属フィルタ内の発熱量(W)}}{\text{比熱(J/kg}^{\circ}\text{C)} \cdot \text{窒素ガス流量(m}^3\text{/s)} \cdot \text{窒素ガス密度(kg/m}^3\text{)}}$$

- ・上昇温度 ≈ [ ] °C

したがって、金属フィルタの温度はエアロゾルの再浮遊が起こるような温度 [ ] に対して十分に低く抑えることができる。

なお、長期的には、窒素ガスを停止することも考えられることから、窒素ガスを停止した場合の評価を実施した結果、問題ないことを確認している。(参考1)

[ ] 本資料のうち、枠囲みの内容は機密に係る事項のため公開できません。

## (2) フィルタの閉塞

### a. 想定する状態

#### (a) ベンチュリノズルにおけるエアロゾルによる閉塞

炉心損傷後のベント時には、放射性エアロゾルに加えて、炉内構造物の過温等により発生する非放射性エアロゾル、コアコンクリート反応により発生する CaO 等の非放射性エアロゾル等がフィルタ装置（スクラバ容器）に移行する可能性がある。これらのエアロゾルがベンチュリノズルの狭隘部を閉塞することが考えられる。

#### (b) 金属フィルタにおけるエアロゾルによる閉塞

炉心損傷後のベント時には、放射性エアロゾルに加えて、炉内構造物の過温等により発生する非放射性エアロゾル、コアコンクリート反応により発生する CaO 等の非放射性エアロゾル等がフィルタ装置（スクラバ容器）に移行する可能性がある。これらのエアロゾルが金属フィルタに付着して閉塞することが考えられる。

#### (c) 金属フィルタにおける液滴による閉塞

金属フィルタに移行するベントガスに含まれる液滴（湿分）は、

液滴を分離しているが、低流速では慣性力による衝突により液滴を分離する機能が低下することが考えられる。

### b. 影響評価

#### (a) ベンチュリノズルにおけるエアロゾルによる閉塞

ベンチュリノズルにおける狭隘部は [ ] であり、これに対して流入するエアロゾルの粒径は [ ] と極めて小さい。ベンチュリノズルにおける狭隘部を通過するガス流速も高速であることから、閉塞が発生することはない。また、機械的破損によって生じる断熱材の破片等を含む [ ] 以上の粒径については速やかに格納容器内に落下するため、フィルタ装置へ流入することはない。

#### (b) 金属フィルタにおけるエアロゾルによる閉塞

フィルタ装置（スクラバ容器）において、ベンチュリスクラバで捕集されなかったエアロゾルは後段の金属フィルタに移行する。この金属フィルタに移行するエアロゾル量と金属フィルタの設計負荷量を比較し、閉塞が発生しないことを以下のとおり確認した。

本資料のうち、枠囲みの内容は機密に係る事項のため公開できません。

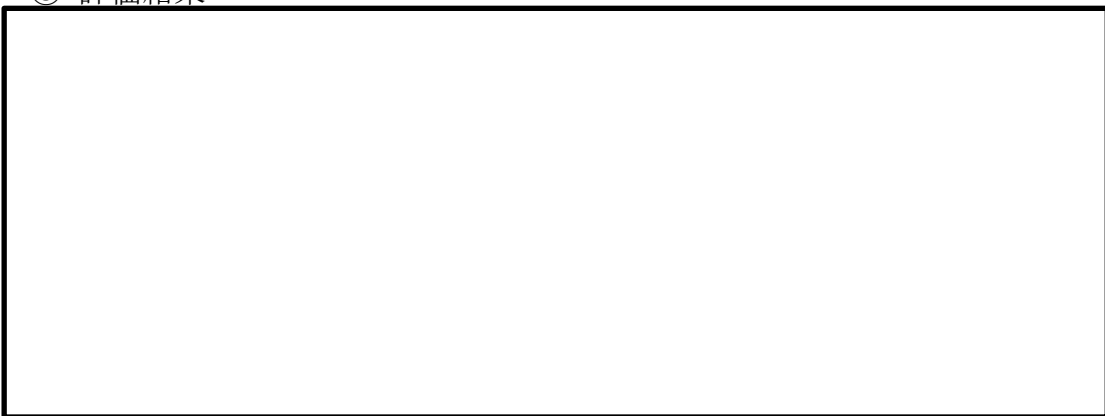
① 金属フィルタの設計負荷量

金属フィルタは、エアロゾルを供給した場合、[ ] g/m<sup>2</sup>まで閉塞によるリスクが極めて低い運用が可能であり、[ ] g/m<sup>2</sup>まで急速な差圧の上昇が起こらず、金属フィルタの機能が確保できることが Framatome 社（旧 AREVA 社）により検証されている。

② エアロゾル量

格納容器からのエアロゾル移行量を保守的に 300 kg とし、このエアロゾル重量に金属フィルタへのエアロゾル移行割合 [ ] を考慮すると、金属フィルタに移行するエアロゾル重量の最大は [ ] となる。

③ 評価結果



(c) 金属フィルタにおける液滴による閉塞

JAVA 試験による金属フィルタにおけるガス流速に対する除去係数を図 2 に示す。金属フィルタにおけるエアロゾルの除去性能は運転範囲を下回る低速範囲 [ ] においても低下していない。

したがって、プレフィルタ及び湿分分離機構における、液滴分離が十分に実施でき、液滴（湿分）によるメインフィルタの閉塞が発生することはない。

本資料のうち、枠囲みの内容は機密に係る事項のため公開できません。

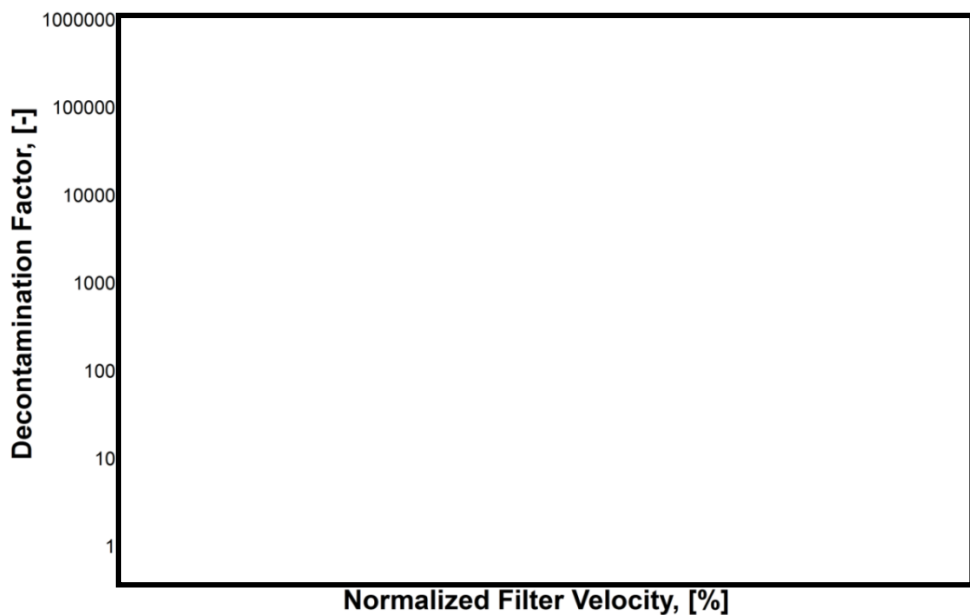


図2 金属フィルタにおけるガス流速に対する除去係数

本資料のうち、枠囲みの内容は機密に係る事項のため公開できません。

## (参考1) ベント停止後の金属フィルタにおけるエアロゾルの再浮遊について

フィルタ装置を使用すると、金属フィルタは捕捉した放射性物質の崩壊熱により発熱する。万一、金属フィルタの温度が捕捉した放射性物質の融点よりも高くなってしまうと、捕捉した放射性物質が金属フィルタより再浮遊してしまう恐れがある。このため、金属フィルタの温度は、金属フィルタに捕捉された放射性物質の融点以下である必要がある。

フィルタ装置使用中は、金属フィルタにはベントガスが通気されることから、金属フィルタに捕捉された放射性物質の崩壊熱は除去される。一方、フィルタ装置使用後においては、ベントガスによる熱の除去はできないことから、金属フィルタの温度は上昇する。そこで、フィルタ装置使用後におけるフィルタ装置金属フィルタ部の温度評価を行った。

### 1. 評価条件

#### (1) 金属フィルタの発熱量

有効性評価シナリオ（大LOCA+SB0+ECCS機能喪失、D/Wベント）における金属フィルタに捕捉される放射性物質の崩壊熱を評価する。本シナリオにてフィルタ装置に流入する粒子状放射性物質の総崩壊熱は約 [ ] となる。

ベンチュリスクラバのDF100以上を考慮し、ベンチュリスクラバの後段に設置する金属フィルタに捕捉される崩壊熱は [ ] となる。

そこで、金属フィルタ部の温度評価を実施する際の金属フィルタ捕捉崩壊熱を、[ ] に対して、放射性物質の不均一な付着等を考慮しても十分保守的な [ ] に設定する。

また、崩壊熱は保守的に全量がメインフィルタのみから発熱するものとする。

#### (2) 解析モデル

解析モデルを図1に示す。解析モデルは2次元モデルとし、対称性を考慮して金属フィルタ部半分をモデル化範囲とした。解析モデルは金属フィルタ周辺部を模擬し、保温材、自然対流及び輻射を考慮した境界条件とした。また、スクラビング水が無い状況（流体は空気）を想定し、スクラバ容器内の初期温度60°C、周囲雰囲気温度60°C(一定)の温度条件とした。なお、発熱による温度上昇が保守的になる（周辺に熱が逃げにくく、金属フィルタ内に発熱した熱がこもる）よう、湿分分離機構はモデル化していない。

メインフィルタ及びプレフィルタはステンレス製メッシュであり、本解析ではステンレスの体積比率 [ ] %として密度、比熱、熱伝導率を設定した。

本資料のうち、枠囲みの内容は機密に係る事項のため公開できません。

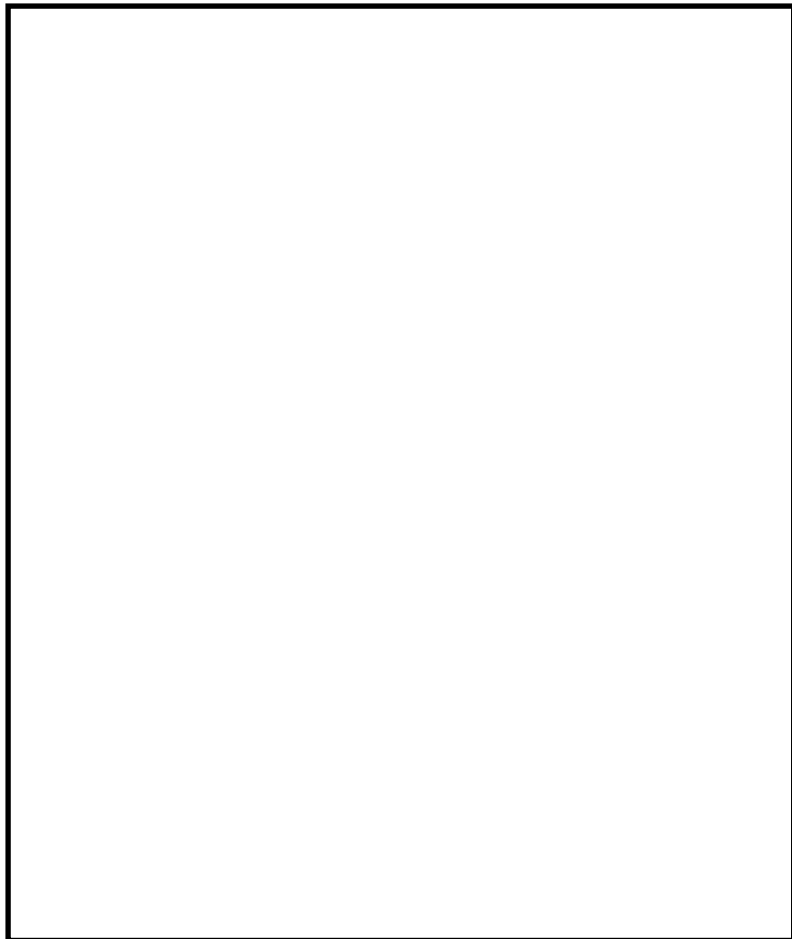
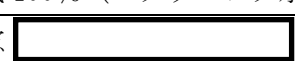


図1 解析モデル

### (3) 解析条件

金属フィルタ部の発熱温度解析の条件を表1に示す。

表1 金属フィルタ部の発熱温度解析条件

項目	条件
解析コード	STAR-CCM+ (Ver. 10.06)
解析タイプ	定常計算 (自然対流)
乱流モデル	Realizable k- $\epsilon$ 2層モデル
差分スキーム	風上2次
雰囲気温度	60°C
圧力	101325Pa (大気圧) (ベント後, スクラビング水ドレン後を想定)
流体	空気 100% (スクラビング水無し)
保温材	考慮 
輻射	考慮

本資料のうち、枠囲みの内容は機密に係る事項のため公開できません。

## 2. 解析結果

金属フィルタ部の発熱解析結果を図2に示す。発熱源としたメインフィルタの最大温度は約 □ ℃となった。

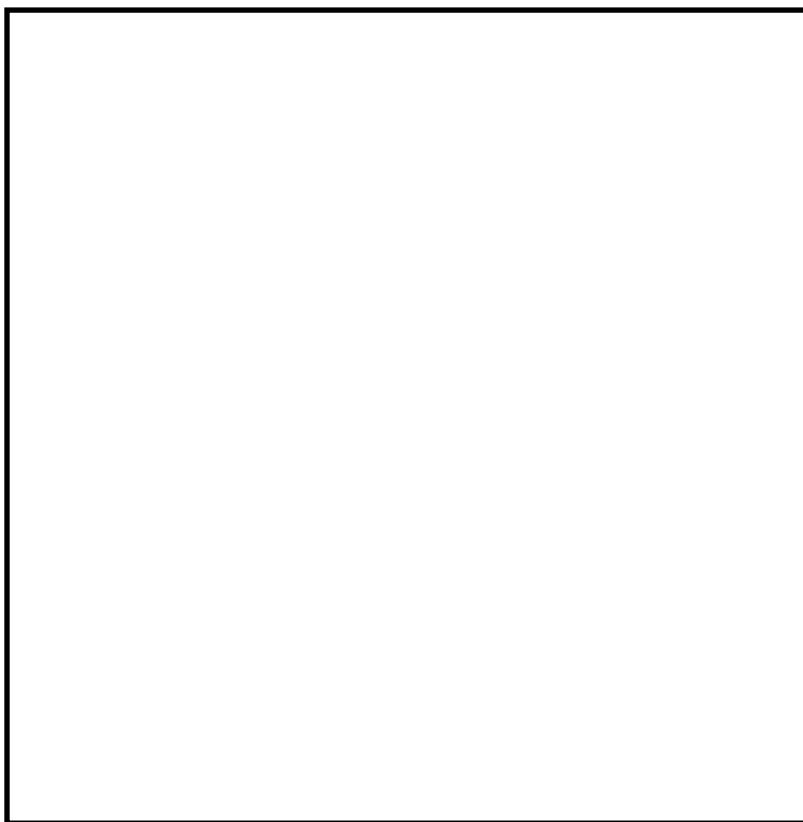


図2 温度分布解析結果

フィルタ装置使用時に格納容器から飛来する放射性物質のうち、高揮発性の水酸化セシウムの融点は約 272°Cである。このため、金属フィルタに捕捉される放射性物質の崩壊熱が □ kW の場合、金属フィルタのメインフィルタ部の温度は放射性物質の融点以下となり、捕捉された放射性物質が再浮遊する可能性は低いと考えられる。

本資料のうち、枠囲みの内容は機密に係る事項のため公開できません。

(参考2) ベンチュリノズルの脱落防止対策について

ベンチュリノズルは、図1に示す通り、取付ボルトにより接続されている。ベント中は、ベンチュリノズルからベントガスが勢いよく噴射され、それによる流力振動によりベンチュリノズルの取付ボルトが緩む恐れがある。取付ボルトが緩み、ベンチュリノズルが脱落してしまった場合、ベンチュリスクラバの除去効率が低下すると考えられる。

そこで、図2に示す通り、ベンチュリノズルの取付ボルトに舌付き座金を施し、フィルタ装置使用時のベンチュリノズルの取付ボルトの緩みを防止することとする。



図1 ベンチュリノズル構造図



図2 舌付き座金の取付け状態

本資料のうち、枠囲みの内容は機密に係る事項のため公開できません。

## ベンチュリスクラバにおける無機よう素の再揮発・薬剤の容量不足について

フィルタ装置を継続使用する際、ガス状放射性よう素の除去に影響を与える可能性のある因子として以下の点を考慮する必要がある。

- ・ガス状放射性よう素の再揮発
- ・薬剤の容量不足

それぞれの因子について、影響評価を実施する。

### (1) ガス状放射性よう素の再揮発

#### a. ベンチュリスクラバにおけるガス状放射性よう素の再揮発

##### (a) 想定する状態

気液界面における無機よう素の平衡については温度依存性があり、温度の上昇に伴い気相中に移行する無機よう素が増えることが知られている。高温のベントガスによりスクラビング水の温度が上昇した場合、スクラビング水中に捕集された無機よう素が気相中へ再揮発することが考えられる。

##### (b) 影響評価

ベンチュリスクラバでの無機よう素の除去係数の温度依存性について、NUREG/CR-5732 に類似の影響評価に関する知見が得られている（参考図書 1）。

NUREG/CR-5732 によると、格納容器内のような素の化学形態について、気相中のよう素と液相中のよう素の挙動は以下の 2 つの効果が組み合わさったものであることが知られている。

① 液相中における無機よう素 ( $I_2$ ) とよう化物イオン ( $I^-$ ) の平衡  
放射線環境下において、液相中の無機よう素 ( $I_2$ ) とよう化物イオン ( $I^-$ ) の存在比は以下のように表される。

$$F(pH) = \text{equilibrium fraction} = \frac{[I_2]}{[I_2] + [I^-]} \quad \dots (1)$$

(1) 式の  $[I_2]$  及び  $[I^-]$  は無機よう素 ( $I_2$ ) 及びよう化物イオン ( $I^-$ ) の濃度を表す。この平衡反応は pH に強く依存し、pH に対して図 1 の関係を持つ。

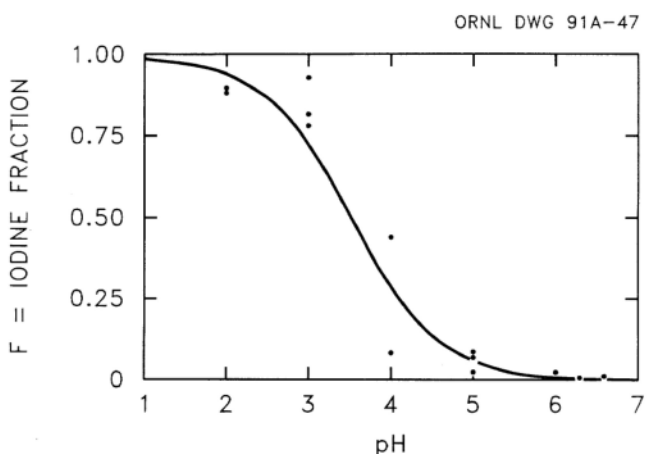


図1 液相中における  $I_2$  と  $I^-$  の平衡と pH の関係

## ② 液相と気相の無機よう素 ( $I_2$ ) の平衡

液相中における無機よう素 ( $I_2(aq)$ ) と気相中における無機よう素 ( $I_2(g)$ ) の存在比は以下のように表される。

$$P = \frac{[I_2(aq)]_{eq}}{[I_2(g)]_{eq}} \quad \dots \quad (2)$$

(2) 式の P は気液分配係数,  $[I_2(aq)]$  及び  $[I_2(g)]$  は液相中の無機よう素濃度及び気相中の無機よう素濃度を表す。この平衡は、以下の関係で温度に依存する。

$$\log_{10} P = 6.29 - 0.0149 T \quad \dots \quad (3)$$

(3) 式での T は絶対温度 [K] である。

以上①, ②より、格納容器内のような素の化学形態については、pHが低いと液相中の無機よう素の割合が増え、温度が高い方が気相中の無機よう素の割合が増える関係にある。

ベンチュリスクラバでの気液界面における無機よう素の平衡についても、②の温度依存性があり、温度の上昇に伴い気相中に移行する無機よう素が増える（以下、「気液分配係数の影響」という。）関係にあるものの、アルカリ性環境下では、①よりスクラビング水中に存在する無機よう素 ( $I_2$ ) が極めて少なくなるため、無機よう素の気相部への移行量はスクラビング水の温度が上昇したとしても十分小さい値となる。

JAVA 試験では、気液分配係数の影響を受けやすい高温状態での実験を行っており、スクラビング水の温度上昇による影響を配慮したものとなっている。表1にベンチュリスクラバにおける無機よう素除去性能試験結果（JAVA 試験結果）、図2に除去係数と温度の関係を示す。

これより、アルカリ性環境下であれば、高温状態でも除去係数が100以上であることが確認されており、また、有意な除去係数の温度依存性は確認できない。

表1 ベンチュリスクラバにおける無機よう素除去性能試験結果

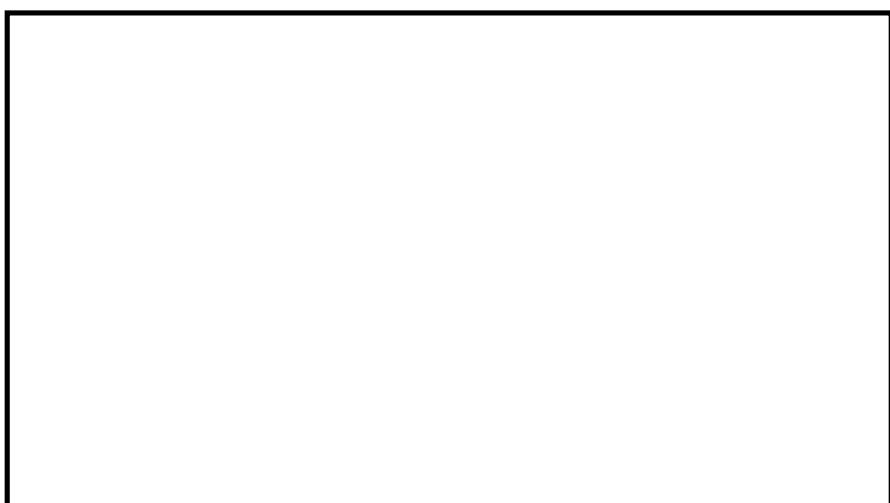
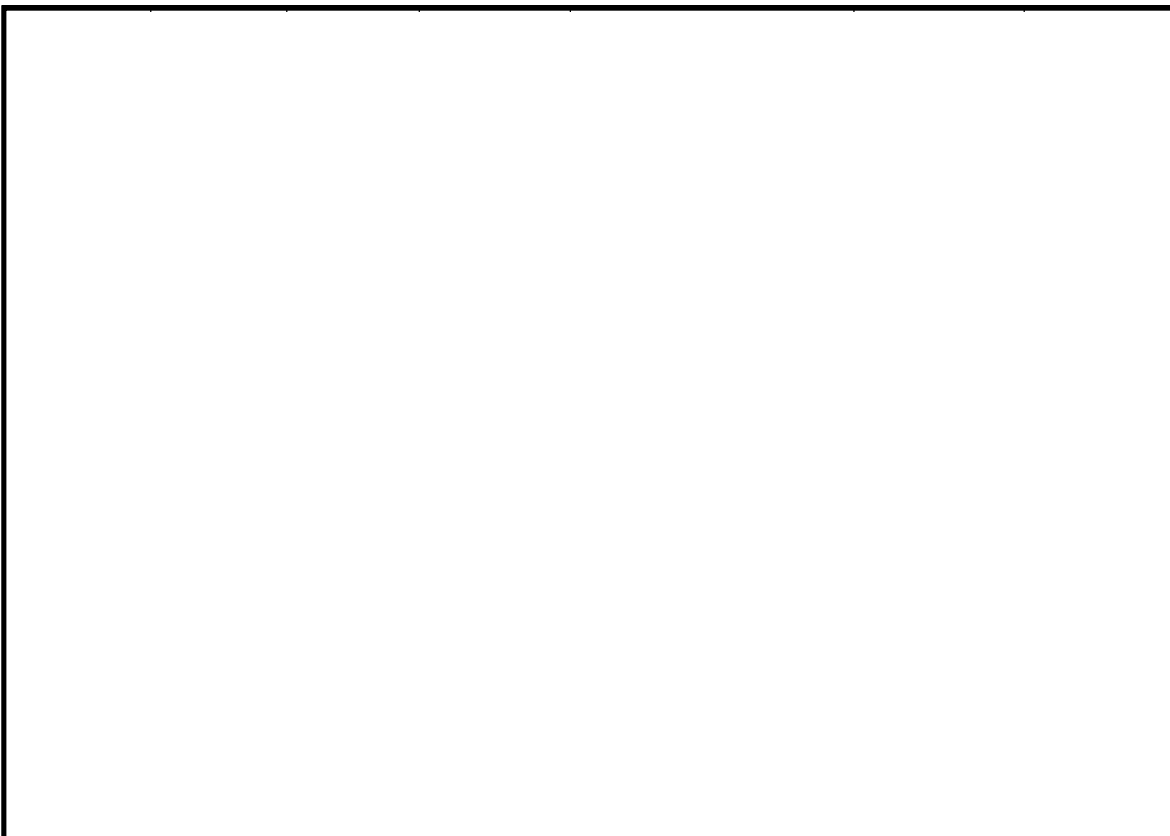


図2 無機よう素の除去係数と温度の関係(図中の数値は pH)

本資料のうち、枠囲みの内容は機密に係る事項のため公開できません。

(2) 薬剤の容量不足

a. 想定する状態

(1) 式に示すとおり、無機よう素はベンチュリスクラバにて薬剤 ( [ ] ) との反応により捕集されるが、薬剤の容量を超える無機よう素が流入した場合には、無機よう素は捕集されずに下流に流出されることが考えられる。

[ ] . . . (1)

b. 影響評価

スクラビング水に含まれる [ ] の量は、格納容器から放出される無機よう素の量に対して十分大きいことから、容量に達することはないことを以下のとおり確認した。

(a) スクラビング水の薬剤の保有量

スクラビング水に含まれる [ ] の割合は、ベント運転時の上限水位に対して [ ] であるため、[ ] となり [ ] の量は [ ] となる。

(b) 無機よう素の流入量

ベンチュリスクラバに流入する無機よう素の量を以下のとおり設定した。

・事故時に炉内に内蔵されるよう素元素量

BWR プラントにおける代表炉心 (ABWR) の平衡炉心末期を対象とした ORIGEN2 コードの計算結果に対して、島根 2 号炉の熱出力 (2,436MW) を考慮して算出した結果、約 18.1kg とする。

・格納容器への放出割合

NUREG-1465 に基づき、格納容器内へのよう素の放出割合を 61% とする (参考図書 2)。

・格納容器に放出されるよう素の元素割合

Regulatory Guide 1.195 に基づき、よう化セシウム 5 %、無機よう素 91 %、有機よう素 4 % とする (参考図書 3)。

以上より、ベンチュリスクラバに流入する無機よう素 (分子量 253.8g/mol) [ ] の量は [ ] となる。

[ ] 本資料のうち、枠囲みの内容は機密に係る事項のため公開できません。

(c) 評価結果

ベンチュリスクラバにおける無機よう素の反応はアルカリ環境下において(1)式に示すとおりであることから、ベンチュリスクラバに流入する無機よう素 [ ] の反応に必要な [ ] の量は [ ] となる。スクラビング水に含まれる [ ] の量は [ ] であることから、[ ] が容量不足となることはない。

(3) 薬剤の管理について

[ ] は化学的に安定しており、系統待機中において、変質することがないことから、PWRにおける同目的の薬品タンクの水質確認頻度を考慮し、[ ] の濃度が [ ] であることを施設定期検査ごとに確認する。

また、上記管理について、原子炉施設保安規定に規定する。

〈参考図書〉

1. NUREG/CR-5732/ORNL/TM-11861 Iodine Chemical Forms in LWR Severe Accidents
2. NUREG-1465 "Accident Source Terms for Light-Water Nuclear Power Plants" Feb. 1995
3. Regulatory Guide 1.195, "Methods and assumptions for evaluating radiological consequences of design basis accidents at light-water nuclear power reactors"

[ ] 本資料のうち、枠囲みの内容は機密に係る事項のため公開できません。

## (参考1) Regulatory Guide 1.195の適用について

有機よう素の生成割合は、Regulatory Guide 1.195 “Methods and Assumptions for Evaluating Radiological Consequences of Design Basis Accidents at Light Water Nuclear Power Reactors” で示されたよう素の存在割合を用い、4%を仮定している（参考図書1）。

格納容器中の無機よう素等から有機よう素への転換割合、重大事故時におけるpH調整と有機よう素の生成割合に関する評価を以下に示す。

### a. 格納容器中の無機よう素等から有機よう素への転換割合

WASH-1233 “Review of Organic Iodide Formation Under Accident Conditions in Water-Cooled Reactors” では、粒子状よう素 (CsI) を除く無機よう素等 ( $I_2$ , HI, I) から有機よう素 ( $CH_3I$ ) への転換に関して、格納容器内を模擬した種々の実験結果に基づいて提案している（参考図書2）。

一方、NUREG-0772 “Technical Basis for Estimating Fission Product Behavior during LWR Accidents”において、上記のWASH-1233 の実験結果を再度評価し、WASH-1233 で示される有機よう素への転換割合は、有機よう素の生成を導くメカニズムの定義付けが十分ではなく、保守的としている（参考図書3）。

WASH-1233及びNUREG-0772に示されている、それぞれの有機よう素への転換割合を表1に示す。

表1 格納容器中の無機よう素等から有機よう素への転換割合

有機よう素	WASH-1233	NUREG-0772
非放射線場	1%未満	0.01%未満
放射線場	2.2%未満	0.02%未満
合計	3.2%未満	0.03%未満

NUREG-1465 “Accident Source Terms for Light-Water Nuclear Power Plants” では、無機よう素等から生成される有機よう素の転換割合として、WASH-1233 で示される3.2%（合計）に基づき決定している（参考図書4）。しかし、WASH-1233では有機よう素の生成反応のみを考慮し、放射線による分解反応については考慮していないこと、格納容器内での有機よう素の生成割合を評価していることなどから、NUREG-0772 のレビュー結果と同様、相当な保守性を持った値としている。

### b. 重大事故時におけるpH調整と有機よう素の生成割合

NUREG/CR-5732 “Iodine Chemical Forms in LWR Severe Accidents” では、pHとよう素の存在割合について、pHの低下に伴って無機よう素等への生

成割合が増加する知見が示されており、pH調整が実施されている場合とpH調整が実施されていない場合のそれぞれについて、重大事故時のように素形態に関して、複数のプラントに対するよう素の発生量を評価している（参考図書5）。pH調整が実施されている場合の結果を表2に、pH調整が実施されていない場合の結果を表3に示す。BWRプラント（Grand Gulf, Peach Bottom）では、重大事故時において、pH調整の実施の有無に限らず、有機よう素の生成割合は1%以下となっている。

表2 重大事故時にpH調整を実施した場合の有機よう素の生成割合

Table 3.6 Distribution of iodine species for pH controlled above 7

Plant	Accident	Fraction of total iodine in containment (%)			
		I <sub>2</sub> (g)	I <sub>2</sub> (t)	I <sup>-</sup> (t)	
Grand Gulf	TC γ	0.05	0.03	99.92	
	TQUV γ	0.01	0.03	99.96	
Peach Bottom	AE γ	0.002	0.03	99.97	
	TC2 γ	0.02	0.03	99.95	

表3 重大事故時にpH調整を実施しない場合の有機よう素の生成割合

Table 3.7 Distribution of iodine species for uncontrolled pH

Plant	Accident	Fraction of total iodine in containment (%)			
		I <sub>2</sub> (g)	I <sub>2</sub> (t)	I <sup>-</sup> (t)	
Grand Gulf	TC γ	26.6	15.3	58.0	
	TQUV γ	6.6	18.3	75.1	
Peach Bottom	AE γ	1.6	21.6	76.8	
	TC2 γ	10.9	18.0	71.0	

以上より、有機よう素の生成割合については不確定さがあるものの、Regulatory Guide 1.195で示されている4%は十分な保守性を有していると考えられることから、設計値として採用している。

本資料のうち、枠囲みの内容は機密に係る事項のため公開できません。

『参考図書』

1. Regulatory Guide 1.195, "Methods and assumptions for evaluating radiological consequences of design basis accidents at light-water nuclear power reactors"
2. WASH-1233, "Review of Organic Iodide Formation Under Accident Conditions in Water-Cooled Reactors"
3. NUREG-0772, "Technical Basis for Estimating Fission Product Behaviour during LWR Accidents"
4. NUREG-1465 "Accident Source Terms for Light-Water Nuclear Power Plants" Feb. 1995
5. NUREG/CR-5732\_0RNL/TM-11861 Iodine Chemical Forms in LWR Severe Accidents

## 銀ゼオライトフィルタにおけるよう素の再揮発、吸着材の容量減少及び変質について

フィルタ装置を継続使用する際、ガス状放射性元素の除去に影響を与える可能性のある因子として以下の点を考慮する必要がある。

- ・ガス状放射性よう素の再揮発
  - ・銀ゼオライトフィルタの吸着飽和
  - ・吸着剤の変質

それぞれの因子について、影響評価を実施する。

### (1) 銀ゼオライトフィルタにおけるガス状放射性よう素の再揮発

#### a. 想定する状態

ゼオライトからのように素の脱離反応は、400 °C以上の高温状態において、数時間程度水素を通気した場合に起こることが知られている。炉心損傷後のベント時には、水—金属反応及び水の放射線分解等により発生した水素を含むベントガスがフィルタ装置（銀ゼオライト容器）に流入し、銀ゼオライトフィルタに捕集されたガス状放射性よう素の崩壊熱によりフィルタ部の温度が上昇した場合、捕集されたガス状放射性よう素の脱離が生じ再揮発することが考えられる。

### b. 影響評估

ガス状放射性よう素の発熱による銀ゼオライトフィルタの上昇温度を、捕集したガス状放射性よう素が再揮発に至る温度(400 °C)と比較することで、この影響について確認した。

以下に評価に用いた条件とその結果を示す。

(a) 銀ゼオライトフィルタへのガス状放射性よう素移行割合

NUREG-1465に基づき、格納容器内へのよう素の放出割合を61 %,

Regulatory Guide 1.195に基づき、有機よう素生成割合を4%，無機よう素生成割合を91%とする（参考図書1,2）。また、フィルタ装置（スクラバ容器）では、ベンチュリスクラバにより大部分の無機よう素が捕集される。このベンチュリスクラバによる除去性能を考慮して、銀ゼオライトフィルタの無機よう素移行割合は、フィルタ装置に移行する総量の

とする

ここで、銀ゼオライトフィルタ内の発熱量については、可搬式窒素供給装置により窒素を供給する場合として事象発生7日後を想定し、事故時に炉内に内蔵されるよう素元素量に相当する崩壊熱約7MWに対して時間

本資料のうち、枠囲みの内容は機密に係る事項のため公開できません。

減衰及び銀ゼオライトフィルタへのガス状放射性よう素移行割合を考慮し、ガス状放射性よう素は全て銀ゼオライトフィルタに吸着すると想定した。

(b) 冷却ガス条件

( i ) ベント後短期

銀ゼオライトフィルタに捕集されたガス状放射性よう素の崩壊熱は、膨大な流量のベントガスによって冷却される。

( ii ) ベント後長期

ベントガス流量が低下するベント後長期においては、銀ゼオライトフィルタに捕集されたガス状放射性よう素の崩壊熱は、減衰したガス状放射性よう素の崩壊熱に比べて流量が十分多いベントガスによって冷却される。

( iii ) ベント停止後

ベント停止後においては、格納容器フィルタベント系を不活性化するために供給する窒素ガス及びスクラビング水に捕集されるエアロゾルの崩壊熱による蒸気によって冷却される。

したがって、冷却源となるガス流量が最も小さくなるような条件を想定し、スクラビング水に捕集される崩壊熱による蒸気量は考慮せず、系統を不活性化するために供給する窒素ガス流量のみを冷却ガス条件とする。圧力・温度条件はベント後長期を想定して大気圧及びその飽和温度とする。

- ・ 窒素ガス流量 = 100 Nm<sup>3</sup>/h
- ・ 窒素ガス比熱 = 1040 J/kg · °C
- ・ 窒素ガス密度 = 1.25 kg/Nm<sup>3</sup>

(c) 評価結果

銀ゼオライトフィルタに吸着されたガス状放射性よう素の崩壊熱による冷却ガスの上昇温度を評価することで簡易的に銀ゼオライトフィルタの上昇温度を評価する。銀ゼオライトフィルタ内で発生する崩壊熱の全量が冷却ガスに移行したと仮定し、以下の評価式にて銀ゼオライトフィルタの上昇温度を評価した。

$$\text{上昇温度(}^{\circ}\text{C)} = \frac{\text{銀ゼオライトフィルタ内の発熱量(W)}}{(\text{比熱(J/kg}^{\circ}\text{C)} \cdot \text{窒素ガス流量(m}^3\text{/s)} \cdot \text{窒素ガス密度(kg/m}^3\text{)})}$$

銀ゼオライトフィルタでの発熱量及び冷却ガスの上昇温度の結果を表1に示す。

表1 銀ゼオライトフィルタでの発熱量及びガス上昇温度

銀ゼオライトフィルタでの発熱量（有機よう素）	
銀ゼオライトフィルタでの発熱量（無機よう素）	
上昇温度	

したがって、銀ゼオライトフィルタの温度はガス状放射性よう素の再揮発が起こるような温度（400 °C以上（参考図書3））に対して十分に低く抑えることができる。

なお、長期的には、窒素ガスを停止することも考えられることから、窒素ガスを停止した場合の評価を実施した結果、問題ないことを確認している。（参考1）

また、事象発生約32時間後の希ガスによる照射線量を計算すると、希ガスの崩壊熱エネルギーは $8.05 \times 10^6$ [J]と見積もられ、よう素による崩壊熱 $6.81 \times 10^9$ [J]よりも3桁低い値となるため、ほとんど影響はない。

## (2) 銀ゼオライトフィルタの吸着飽和

### a. 想定する状態

銀ゼオライトフィルタにおいて捕集されたガス状放射性よう素が蓄積すると、銀ゼオライトフィルタ内のガス状放射性よう素量が徐々に増加する。多量のガス状放射性よう素により銀ゼオライトフィルタが吸着飽和に達した場合、ガス状放射性よう素が捕集されずに系外へ放出されることが考えられる。

### b. 影響評価

銀ゼオライトフィルタに流入するガス状放射性よう素量と銀ゼオライトフィルタの許容負荷量を比較し、吸着飽和に達することがないことを以下のとおり確認した。

#### (a) 銀ゼオライトフィルタへのガス状放射性よう素流入量

事故時に炉内に内蔵されるよう素元素量は約 [ ] であり、

NUREG-1465に基づき、格納容器内へのよう素の放出割合を61 %, Regulatory Guide 1.195に基づき、有機よう素生成割合を4 %、無機よう素生成割合を91 %とする（参考図書1, 2）。また、ベンチュリスクラバにおける無機よう素の除去性能を考慮し、銀ゼオライトフィルタへの無機よう素移行割合を [ ] とする。

本資料のうち、枠囲みの内容は機密に係る事項のため公開できません。

銀ゼオライトフィルタに流入するガス状放射性よう素量を表2に示す。ガス状放射性よう素量は約 [ ] である。

表2 銀ゼオライトフィルタに流入するガス状放射性よう素量

有機よう素流入量	[ ]
無機よう素流入量	[ ]

(b) 銀ゼオライトフィルタの許容負荷量

JAVA PLUS試験において、有機よう素 ( $\text{CH}_3\text{I}$ ) を用いて銀ゼオライトの性能検証を行っている。JAVA PLUS試験では、銀ゼオライトを交換することなく有機よう素を [ ] 以上注入しているが、銀ゼオライトの性能劣化は確認されていない。

JAVA PLUS試験における銀ゼオライトの充填量と有機よう素の注入量を表3に示す。

表3 JAVA PLUS試験における銀ゼオライトの充填量と有機よう素の注入量

銀ゼオライト充填量	[ ]
有機よう素注入量	[ ]

銀ゼオライトフィルタの吸着剤の充填量は約 [ ] であり、表3に示すJAVA PLUS試験における銀ゼオライトの充填量との比から、有機よう素 ( $\text{CH}_3\text{I}$ ) の性能の劣化が確認されていない量を許容負荷量と仮定すると約 [ ] となる。

(c) 評価結果

銀ゼオライトフィルタへのガス状放射性よう素流入量は約 [ ] であり、銀ゼオライトフィルタにおける許容負荷量約 [ ] に対して十分小さいことから、銀ゼオライトフィルタは吸着飽和に達することはない。

(3) 吸着材の変質

a. 想定する状態

銀ゼオライトフィルタの吸着材として使用する銀ゼオライトは、光照射又は高湿度の環境に長期間晒されると、変質してよう素除去性能が低下することが考えられる。

b. 影響評価

銀ゼオライトは、ステンレス鋼製の銀ゼオライト容器内に充填されるため、光が照射されることではなく、変質するおそれはない。

また、湿分による銀ゼオライトのよう素除去性能への影響については、密

本資料のうち、枠囲みの内容は機密に係る事項のため公開できません。

閉容器内にスクラビング水 [REDACTED]

[REDACTED] と銀ゼオライトを保管し、6カ月後及び15カ月後の除去効率の測定試験を行い、性能基準 [REDACTED] を満たしていることを確認した。  
(別紙 45)

〈参考図書〉

1. NUREG-1465 "Accident Source Terms for Light-Water Nuclear Power Plants" Feb. 1995
2. Regulatory Guide 1.195, "Methods and assumptions for evaluating radiological consequences of design basis accidents at light-water nuclear power reactors"
3. ORNL/TM-6607 "Literature Survey of Methods to Remove Iodine from Off-gas Streams Using Solid Sorbents" , Apr/10/1979

[REDACTED]  
本資料のうち、枠囲みの内容は機密に係る事項のため公開できません。

(参考1) ベント停止後の銀ゼオライトフィルタにおけるよう素の再揮発について

フィルタ装置を使用すると、銀ゼオライトフィルタは捕捉した放射性物質の崩壊熱により発熱する。万一、スクラビング水の放射性分解により発生した水素が銀ゼオライトフィルタに流入し、銀ゼオライトフィルタの温度が400°Cを超えててしまうと、捕集したガス状放射性よう素が銀ゼオライトフィルタから再揮発してしまう恐れがある。このため、銀ゼオライトフィルタの温度は400°C以下である必要がある。

フィルタ装置使用中は、銀ゼオライトフィルタにはベントガスが通気されるところから、銀ゼオライトフィルタに捕捉された放射性物質の崩壊熱は除去される。一方、フィルタ装置使用後においては、ベントガスによる熱の除去はできないところから、銀ゼオライトフィルタの温度は上昇する。そこで、フィルタ装置使用後における銀ゼオライトフィルタの温度評価を行った。

## 1. 評価条件

### (1) 銀ゼオライトフィルタの発熱量

銀ゼオライトフィルタ内の発熱量については、事象発生7日後を想定し、事故時に炉内に内蔵されるよう素元素量に相当する崩壊熱約7MWに対して時間減衰及び銀ゼオライトフィルタへのガス状放射性よう素移行割合を考慮し、ガス状放射性よう素は全て銀ゼオライトフィルタに吸着すると想定した発熱量3,684Wを保守側に切り上げた4,000Wとする。

### (2) 解析モデル

解析モデルを図1に示す。解析モデルは対称性を考慮して2次元軸対称モデルとした。解析モデルは銀ゼオライトフィルタ周辺部を模擬し、保温材、自然対流及び輻射を考慮した境界条件とした。また、流体は空気を想定し、銀ゼオライト容器内の初期温度60°C、周囲雰囲気温度60°C(一定)の温度条件とした。なお、発熱による温度上昇が保守的になる(周辺に逃げにくく、金属フィルタ内に発熱した熱がこもる)よう、大気開放している出口配管を模擬していない。

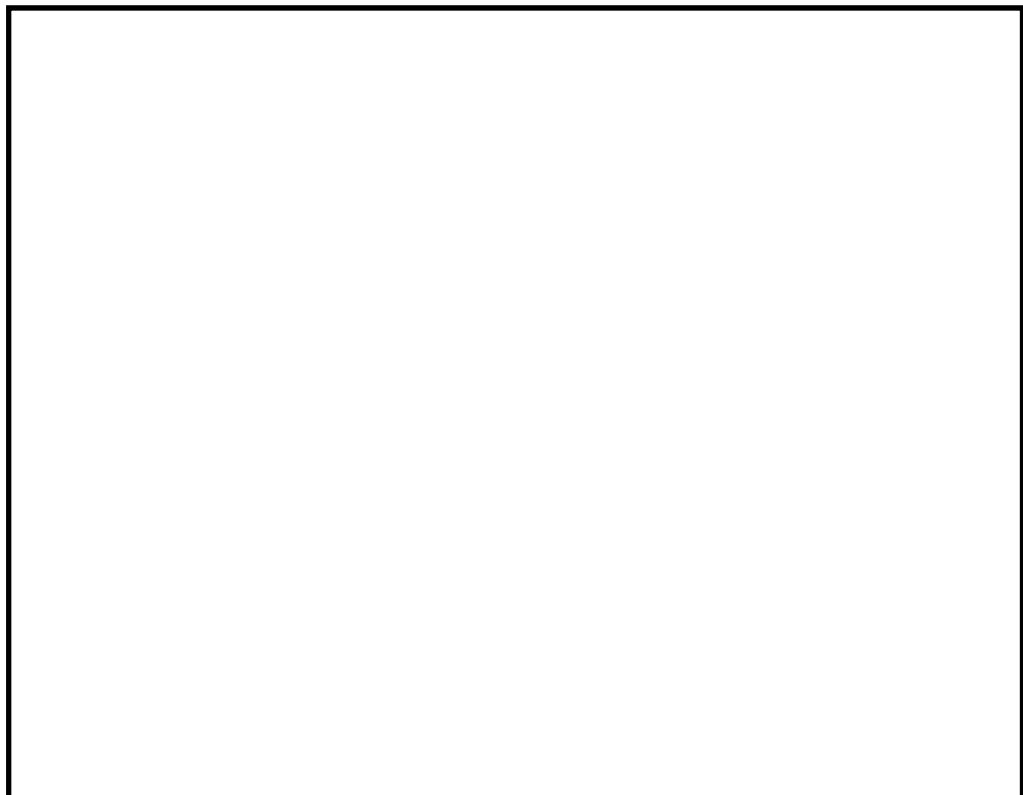


図 1 解析モデル

(3) 解析条件

金属フィルタ部の発熱温度解析の条件を表 1 に示す。

表 1 金属フィルタ部の発熱温度解析条件

項目	条件
解析コード	STAR-CCM+ (Ver. 10. 06)
解析タイプ	定常計算 (自然対流)
乱流モデル	Realizable k- $\epsilon$ 2 層モデル
差分スキーム	風上 2 次
雰囲気温度	60°C
圧力	101325Pa (大気圧) (ベント後, スクラビング水ドレン後を想定)
流体	空気 100%
保溫材	考慮
輻射	考慮

本資料のうち、枠囲みの内容は機密に係る事項のため公開できません。

## 2. 解析結果

銀ゼオライトフィルタ部の発熱解析結果を図2に示す。発熱源とした内側フィルタ温度約□℃、外側フィルタ温度約□℃となり、水素がある場合放射性よう素が再揮発する温度400度以下となることを確認した。



図2　温度分布解析結果

本資料のうち、枠囲みの内容は機密に係る事項のため公開できません。

### 格納容器内の圧力が計測できない場合の運用について

格納容器内の圧力が計測できない場合には、格納容器雰囲気温度を計測し、飽和圧力に換算することにより操作判断を行うこととする。このため、表1及び図1に示すような飽和温度と飽和圧力の換算表等を手順書類に記載する。

具体的には、重大事故等発生時に格納容器への注水等が十分である場合においては、格納容器雰囲気は飽和状態に近い状態であることから、図2に示す格納容器雰囲気温度計のうち、より飽和状態に近いと考えられるサプレッション・チャンバ空間部に設置した格納容器雰囲気温度計（図2の⑩及び⑪）の計測値を飽和圧力に換算する。

ただし、有効性評価で想定する範囲を超える場合ではあるが、重大事故等発生時に格納容器への注水等が不十分な場合は、格納容器雰囲気温度が格納容器圧力に対する飽和温度以上になるとともに、溶融炉心からの輻射熱等によって局所的に格納容器雰囲気温度が大きく上昇する可能性がある。

このような場合は、全ての格納容器雰囲気温度計の最大値を圧力換算する。この運用により、格納容器雰囲気温度に対する圧力換算値は実際の格納容器圧力と同等又はそれ以上となることから、格納容器の限界圧力を下回る最高使用圧力の2倍（853kPa [gage]）に到達する前のベントが可能であると考える。

表1 飽和温度と飽和圧力の換算表

飽和温度 [°C]	飽和圧力 [kPa]	
	絶対圧力	ゲージ圧力
100	101	0
105	121	20
110	143	42
115	169	68
120	199	97
125	232	131
130	270	169
135	313	212
140	362	260
145	416	314
150	476	375
153.9	528	427 (1Pd)
155	543	442
160	618	517
165	701	599
170	792	691
175	892	791
177.8	954	853 (2Pd)
180	1003	901

参考：日本機械学会蒸気表 [1999年]

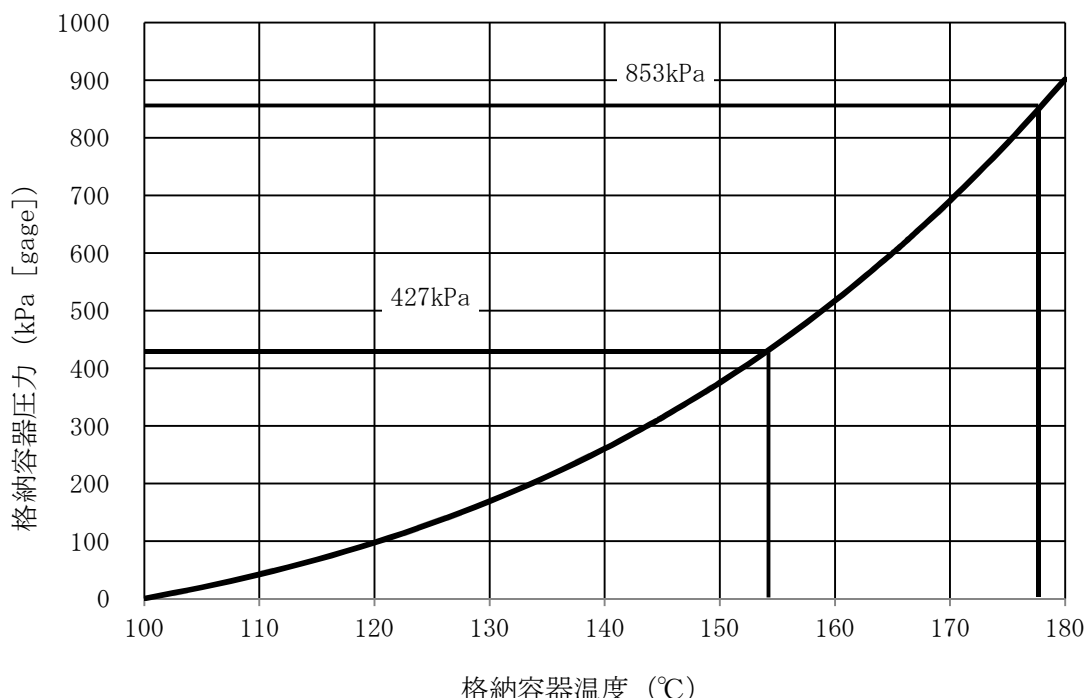
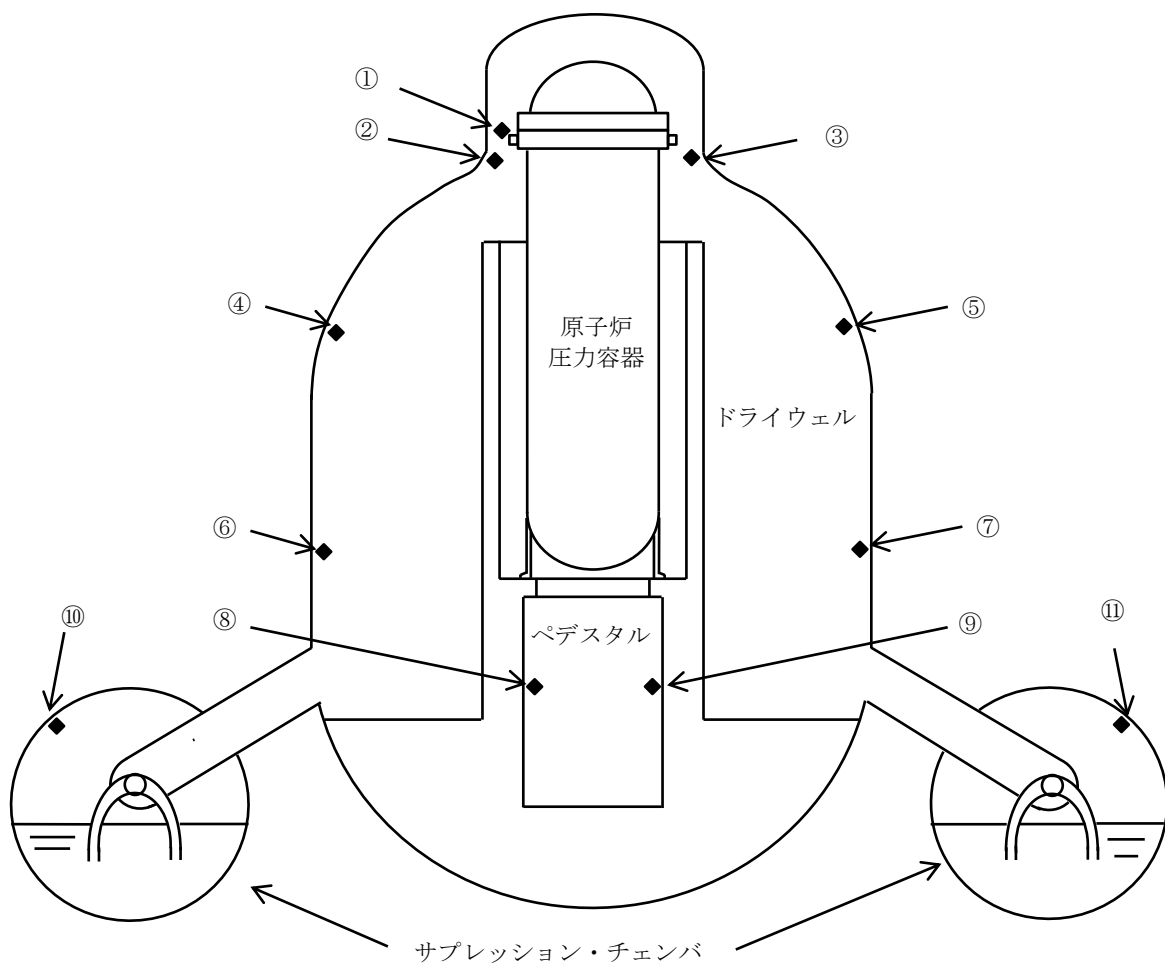


図1 飽和温度と飽和圧力の換算グラフ



番号	名称	設置場所	測定範囲
①, ②, ③	ドライウェル温度 (SA)	法兰ジ高さ近傍	0~300°C
④, ⑤	ドライウェル温度 (SA)	TAF 高さ近傍	0~300°C
⑥, ⑦	ドライウェル温度 (SA)	RPV 底面高さ近傍	0~300°C
⑧, ⑨	ペデスタル温度 (SA)	ペデスタル上部	0~300°C
⑩, ⑪	サプレッション・チェンバ温度 (SA)	サプレッション・チェンバ 頂部近傍	0~200°C

図2 格納容器雰囲気温度計の計測点

## 有効性評価における炉心損傷の判断根拠について

炉心損傷の判断基準は、設計基準事故の状態を有意に超えるとともに、炉心損傷の判断が遅くならないよう、追加放出量の 10 倍に相当する F P が燃料から放出された状態を設定しており、以下の理由から妥当と考えている。

- ① 島根 2 号炉では、設計基準事故における原子炉冷却材喪失時の評価では燃料棒の破裂は発生していない。そのため、設計基準事故時の追加放出量を超える放出量を確認した場合には、設計基準事故を超える状態と判断されること。
- ② 炉心冷却が不十分な事象において、格納容器雰囲気放射線モニタのガンマ線線量率が追加放出量の 10 倍に相当する値に至る場合には、その後、ごく短時間で 10 倍に相当する値を大きく上回る線量率に至っていること。また、これは、大量の F P が格納容器内に放出されたことを意味しており、これ以降、格納容器の健全性を確保することが極めて重要となること(図 1 の線量率の上昇を参考<sup>※1)</sup>)。
- ③ 追加放出量の 10 倍の F P が放出された時点では、有効性評価における評価項目(燃料被覆管最高温度 1,200°C 以下、酸化量 15% 以下)に至っていない可能性もあるが、上記②のとおり、炉心冷却が不十分な事象において、追加放出量の 10 倍に相当する F P が放出された以降の事象進展は非常に早く、有効性評価において炉心損傷と判断する時間との差異が小さいと考えられること。

なお、「炉心損傷」と判断した場合は、格納容器内に放出される希ガスの影響を考慮し、格納容器スプレイ及びベントの運用を変更することとしている。(表 1) また、格納容器雰囲気放射線モニタの使用不能の場合は、「原子炉圧力容器表面温度：300°C 以上」を炉心損傷の判断基準として手順に追加する方針である。

原子炉圧力容器表面温度は、炉心が冠水している場合には、逃がし安全弁動作圧力(安全弁機能の最大 8.35MPa [gage])における飽和温度約 299°C を超えることはなく、300°C 以上にはならない。一方、原子炉水位の低下により炉心が露出した場合には過熱蒸気雰囲気となり、温度は飽和温度を超えて上昇するため、300°C 以上になると考えられる。上記より、炉心損傷の判断基準を 300°C 以上としている。

表 1 炉心損傷の有無による格納容器スプレイ及びベント運用

炉心損傷の有無	格納容器スプレイ実施基準	ベント実施基準
炉心損傷がない場合	格納容器圧力 334kPa [gage] ~ 384kPa [gage]	サプレッション・プール 通常水位 + 約 1.3m 到達
炉心損傷を判断した場合	格納容器圧力 588kPa [gage] ~ 640kPa [gage]	サプレッション・プール 通常水位 + 約 1.3m 到達

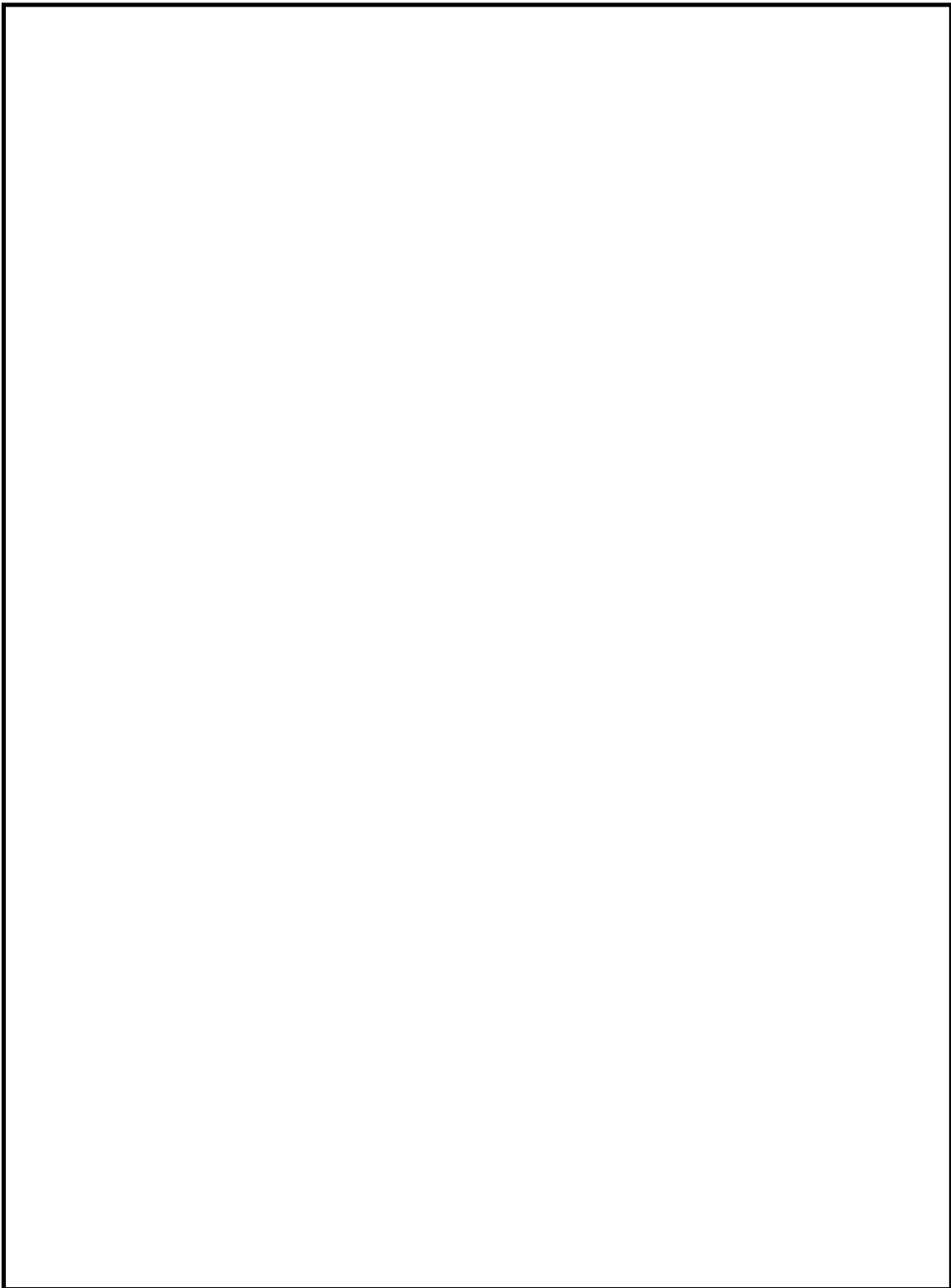


図1 炉心損傷判定図

本資料のうち、枠囲みの内容は機密に係る事項のため公開できません。

別紙40-2

1258

### 格納容器スプレイが実施できない場合のベント運用について

#### (1) 格納容器スプレイが実施できない場合における対応について

炉心損傷を判断した場合、格納容器圧力が 640kPa [gage] (1.5Pd) に到達した時点で格納容器代替スプレイを実施することで、格納容器圧力の上昇を抑制し、ベント実施するまでの格納容器内に存在する希ガスの減衰期間を確保することとしている。

ただし、万が一、何らかの要因により格納容器スプレイが実施できない場合には、希ガスの減衰時間が十分に確保されていない場合においても、格納容器破損の緩和のため、ベント操作に移行する。

#### (2) 格納容器スプレイが実施できない場合のベント判断基準

格納容器スプレイの手段として、重大事故等対処設備（設計基準拡張）である、残留熱除去系、重大事故等対処設備である、格納容器代替スプレイ系（常設）、残留熱代替除去系及び格納容器代替スプレイ系（可搬型）があるが、これら全ての機能喪失を確認した時点でベント実施を判断し、速やかにベント操作を開始するため、第1弁及び第2弁の開操作を実施する。なお、格納容器スプレイの失敗については、系統流量が必要流量以上流れないこと又は必要流量以上流れていた場合においても格納容器の圧力抑制ができない場合に判断する。

### ベント停止手順について

#### (1) 格納容器フィルタベント系によるベント停止の判断について

格納容器フィルタベント系によるベントを停止した後は、以下の機能が必要となるため、以下の機能が全て使用可能と判断した場合にベント停止の判断を実施する。

##### a. 格納容器の除熱機能（残留熱除去系等）

- ・格納容器内に残存する核分裂生成物から発生する崩壊熱を除去し、最終的な熱の逃がし場へ熱を輸送するため

##### b. 格納容器への窒素供給機能（窒素供給設備）

- ・残留熱除去系の運転に伴う蒸気凝縮により、格納容器内が負圧になることを防止するため
- ・水の放射線分解によって発生する水素及び酸素の濃度が可燃限界濃度に到達することを防止するため

##### c. 格納容器内の可燃性ガス濃度制御機能（可燃性ガス濃度制御系）

- ・水の放射線分解によって発生する水素及び酸素の濃度が可燃限界濃度に到達することを防止するため

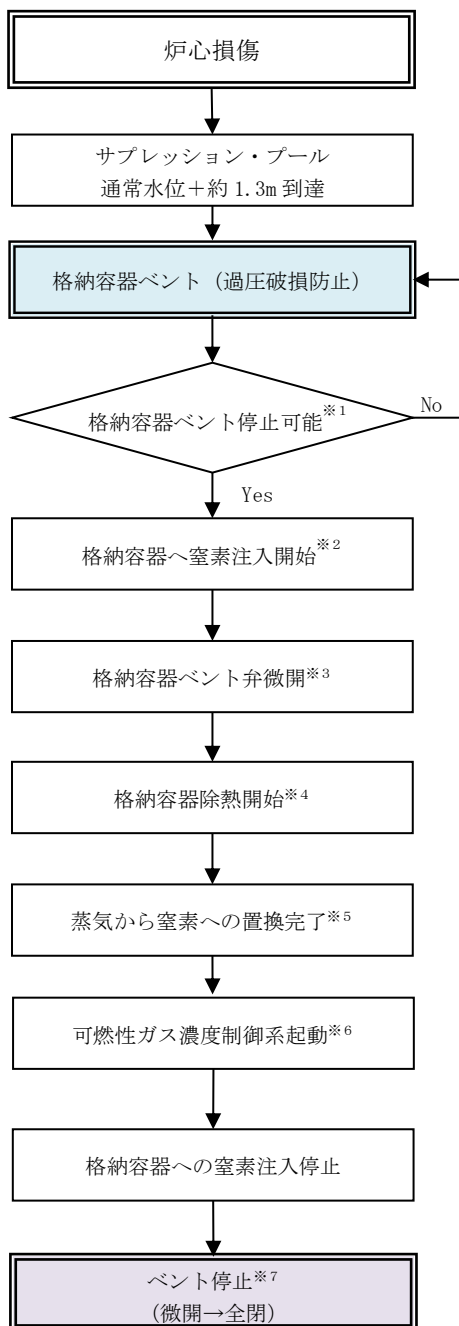
#### (2) ベント停止手順について

ベント停止フローを図1に示す。

#### (3) ベント停止手順の有効性について

ベント停止手順の有効性を確認するために、「雰囲気圧力・温度による静的負荷（格納容器過圧・過温破損）」において事象発生後約1ヶ月まで格納容器フィルタベント系による除熱を行った後、可搬型格納容器除熱系による除熱とした場合の格納容器パラメータ推移を評価した。ここで可搬型格納容器除熱系の流量は、事故発生30日後の崩壊熱を上回る $60\text{m}^3/\text{h}$ とし、格納容器フィルタベント系を微開（流路面積3%開）とするとともに、可搬式窒素供給装置より窒素ガスを $100\text{Nm}^3/\text{h}$ 注入する。図2に格納容器圧力、図3にサプレッション・チェンバ水温並びに図4及び図5に格納容器内気相濃度の推移を示す。

図2に示すとおり、窒素ガスを注入することにより、可搬型格納容器除熱系による原子炉格納容器除熱後の格納容器圧力は負圧に至ることなく、また格納容器ベントを微開とすることにより、格納容器圧力は上昇しない。また、図4及び図5に示すとおり、原子炉格納容器内の水素ガス及び酸素ガスの濃度は、可燃限界未満で推移する。



- ※1：格納容器の除熱機能、格納容器への窒素供給機能及び可燃性ガス濃度制御機能が使用可能であると判断した場合、格納容器ベント停止の判断を実施する。
- ※2：格納容器除熱時に格納容器内が負圧に至ることを防止する観点から、ドライウェル又はサプレッション・チャンバに窒素を供給する。
- ※3：ベント弁の開度を微開することにより、窒素封入による格納容器の圧力上昇を抑制するとともに、可燃性ガス濃度の上昇を抑制することが可能。
- ※4：格納容器内気相はほぼ蒸気であるため、除熱による蒸気凝縮量が窒素供給量を上回った場合、格納容器圧力が負圧となる可能性があるため、格納容器圧力13.7kPa [gage] - 245kPa [gage] の間となるように熱交換器への通水量を調整することで格納容器圧力が負圧になることを防止しながら窒素置換を実施する。また、格納容器圧力が13.7kPa [gage] まで低下した場合には、負圧を防止するため格納容器除熱を停止する。
- ※5：サプレッション・プール水温が100°C未満となり、除熱量を調整しても格納容器圧力が245kPa [gage] に到達する場合には、蒸気分圧がほとんど失われ、窒素によって格納容器圧力が上昇している状況であると判断する。
- ※6：残留熱除去系又残留熱代替除去系による格納容器除熱により可燃性ガス濃度制御系の起動可能な圧力まで格納容器圧力を低下させる。
- ※7：格納容器の状態は、窒素置換されることによって負圧のおそれではなく、水の放射線分解によって発生する水素及び酸素は可燃性ガス濃度制御系によって処理され、残留熱除去系又は残留熱代替除去系による格納容器除熱が継続されている状態である。

図1 格納容器ベント停止フロー

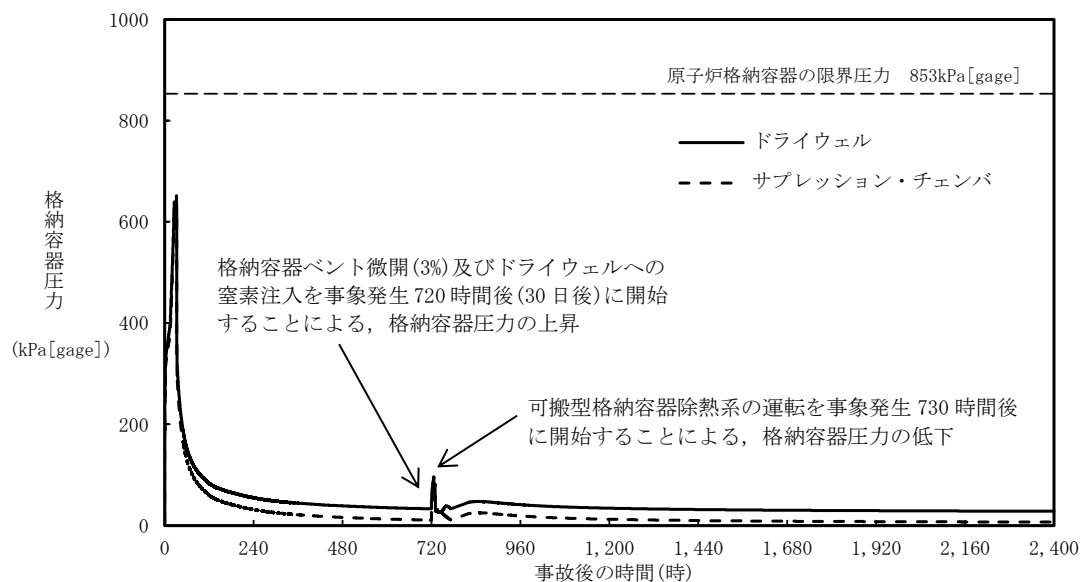


図2 格納容器圧力の推移

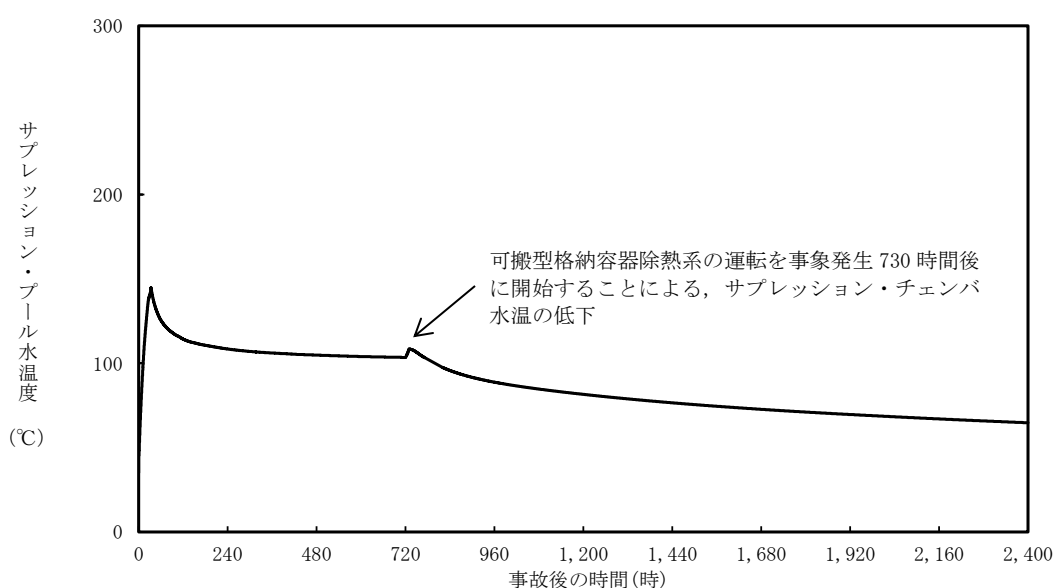


図3 サプレッション・プール水温度の推移

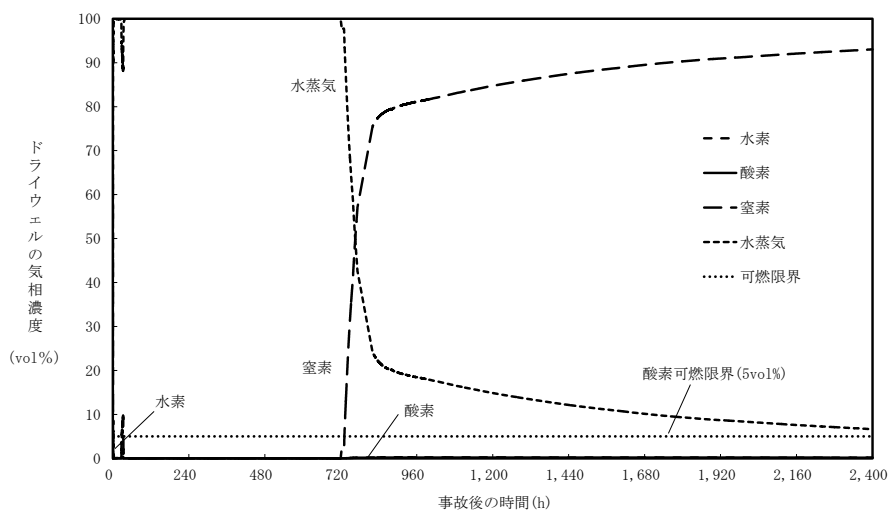


図4 ドライウェルの気相濃度の推移(ウェット条件)

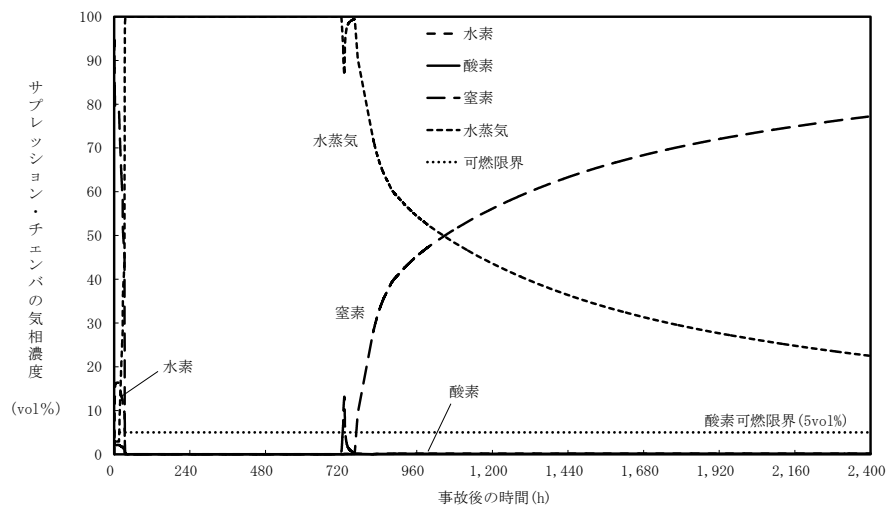


図5 サプレッション・チェンバの気相濃度の推移(ウェット条件)

#### (4) 可燃性ガス濃度制御系について

可燃性ガス濃度制御系については、設計基準事故対処設備として位置付けており、重大事故等発生時の格納容器雰囲気における耐性を有さないものである。可燃性ガス濃度制御系の仕様を表1に、系統概略図を図6に、設置場所を図7に示す。

表1 可燃性ガス濃度制御系の主な仕様

項目	設計	備考
耐震クラス	Sクラス	
入口ガス条件	運転温度	<121°C 運転許可インターロック設定値
	運転圧力	<177kPa 運転許可インターロック設定値
	水素濃度	≤4.0vol%
	酸素濃度	≤2.0vol%
再結合効率	95%	水素濃度 2.0vol%時

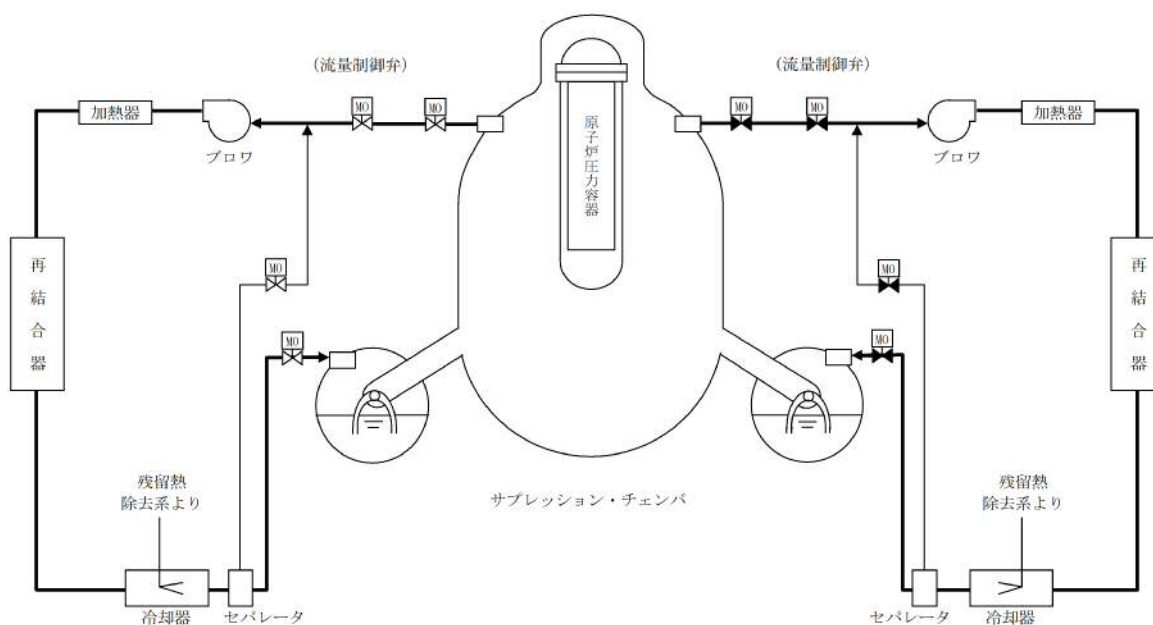


図6 可燃性ガス濃度制御系の系統概略図

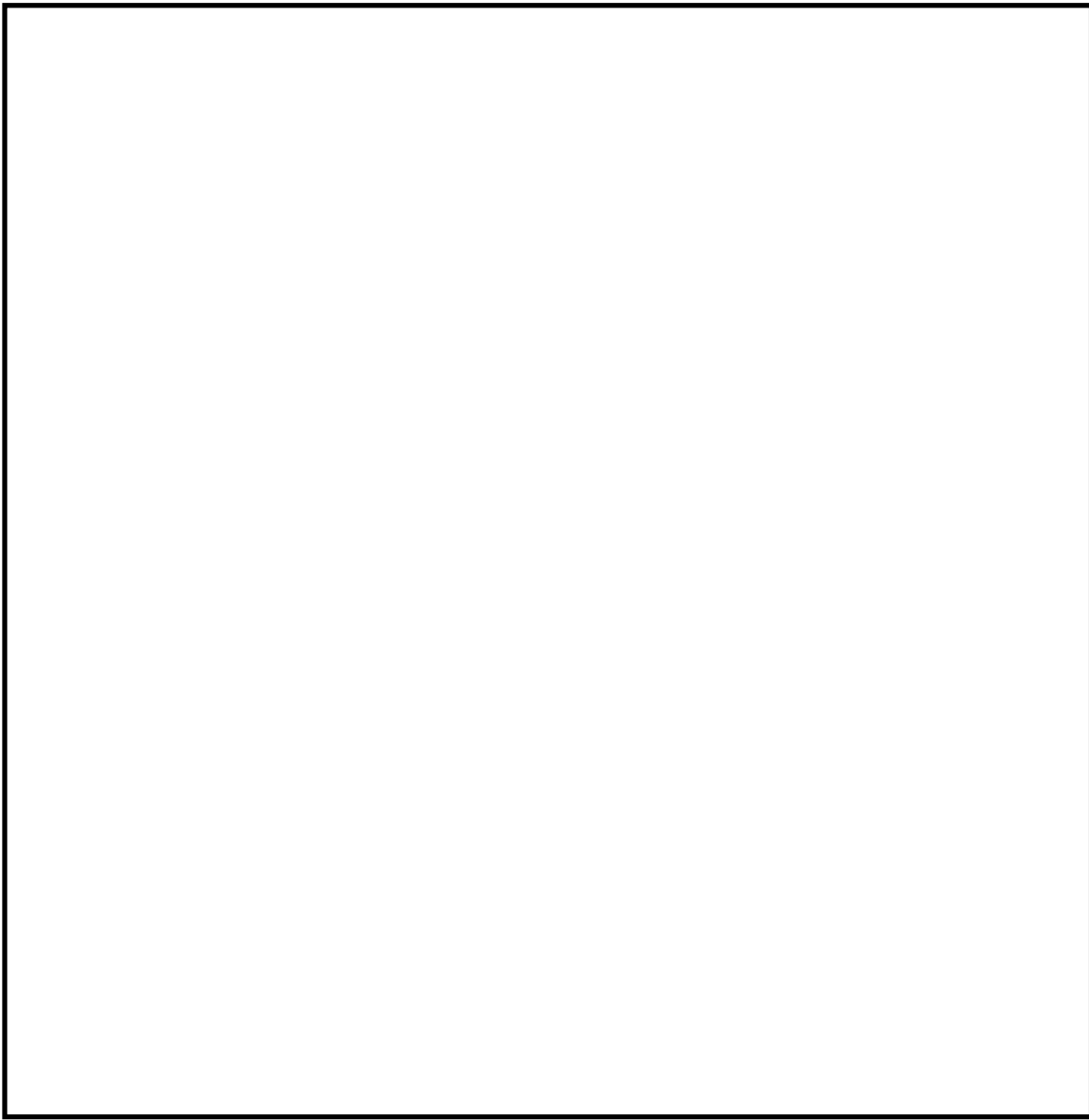


図7 可燃性ガス濃度制御系の設置場所

(5) ベント実施中及びベント停止後の格納容器負圧防止対策について

a. ベント実施中における格納容器負圧防止対策について

通常運転中は格納容器内に窒素を封入しているが、ベント実施中は窒素を含む格納容器内の非凝縮性ガスが排出され、格納容器内は崩壊熱により発生する蒸気で満たされた状態となる。その状態で格納容器代替スプレイ系（可搬型）による格納容器スプレイを実施すると、蒸気の凝縮により格納容器圧力が負圧になるおそれがあるが、ベント実施前に格納容器代替スプレイ系（可搬型）を停止する運用としているため、ベント実施中に格納容器圧力が負圧になることはない。

本資料のうち、枠囲みの内容は機密に係る事項のため公開できません。

#### b. ベント停止後における格納容器負圧防止対策について

ベント停止時は、最初に可搬式窒素供給装置により格納容器内に窒素注入を開始し、その後、残留熱除去系又は残留熱代替除去系を用いた格納容器除熱を開始する。除熱による蒸気凝縮量が窒素供給量を上回った場合、格納容器圧力が負圧に至る可能性があるため、除熱量（熱交換器のバイパス流量）を調整し格納容器圧力を13.7kPa [gage] – 245kPa [gage] の間でコントロールすることで格納容器圧力を正圧に維持しつつ、格納容器気相部を蒸気雰囲気から窒素雰囲気へ置換する。また、格納容器圧力が13.7kPa [gage] まで低下した場合には、負圧を防止するため格納容器除熱を停止する。格納容器内気相部が窒素雰囲気へ置換された以降は、格納容器が負圧となることはない。

また、窒素供給装置以外の手段として、設計基準対象施設ではあるが、窒素ガス制御系による格納容器への窒素供給が可能である。格納容器への窒素供給手段の概略図を図8に示す。

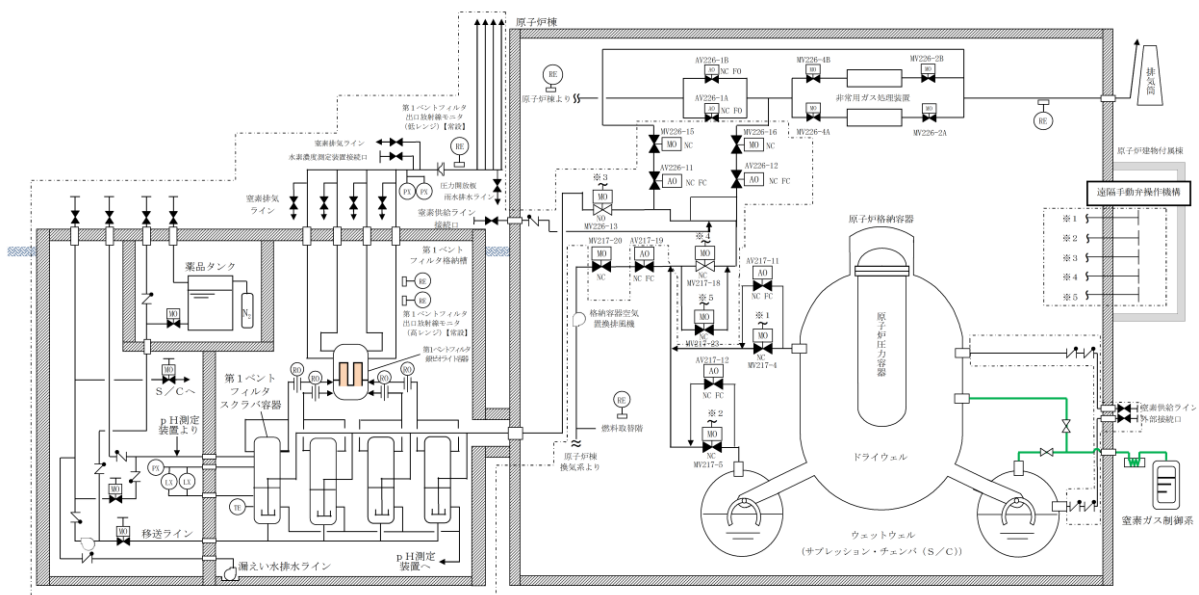


図8 格納容器への窒素供給手段の概略図

## 格納容器 pH 制御について

格納容器フィルタベント系を使用する際、原子炉格納容器内が酸性化することを防止し、サプレッション・プール水中に捕集されたよう素の再揮発を抑制するために、サプレッション・プール水 pH 制御系等により原子炉格納容器内に薬液を注入する手段を整備している。

サプレッション・プール水 pH 制御系は、図 1 に示すように、圧送用窒素ボンベにより薬液タンクから水酸化ナトリウムを圧送し、サプレッション・チャンバーにスプレイする構成とする。

サプレッション・プール水 pH 制御系使用後に、残留熱代替除去ポンプを使用することにより、サプレッション・プール水を薬液として、ドライウェルスプレー配管からドライウェルにスプレーすることが可能である。また、通常運転中より予めペデスタル内にアルカリ薬剤を設置することにより、原子炉冷却材喪失事故発生直後においても原子炉格納容器内の酸性化を防止することが可能である。

更に、次項に示す通り、原子炉格納容器内に水酸化ナトリウムを注入することにより、原子炉格納容器へ及ぼす悪影響はないことを確認している。

薬液タンクに貯蔵する薬液は、原子炉格納容器内に敷設された全てのケーブルが溶融し、ケーブルに含まれる酸性物質（塩素）が溶出した際でも、原子炉格納容器内のサプレッション・プール水が酸性化することを防止するために必要な容量を想定し、水酸化ナトリウム (□ [wt%] 水溶液) □ [m<sup>3</sup>] とする。また、ペデスタル内に設置するアルカリ薬剤は、ペデスタル内に敷設された全てのケーブルが溶融し、ケーブルに含まれる酸性物質（塩素）が溶出した際でも、ペデスタル内の蓄水が酸性化することを防止するために必要な容量とする。

本資料のうち、枠囲みの内容は機密に係る事項のため公開できません。

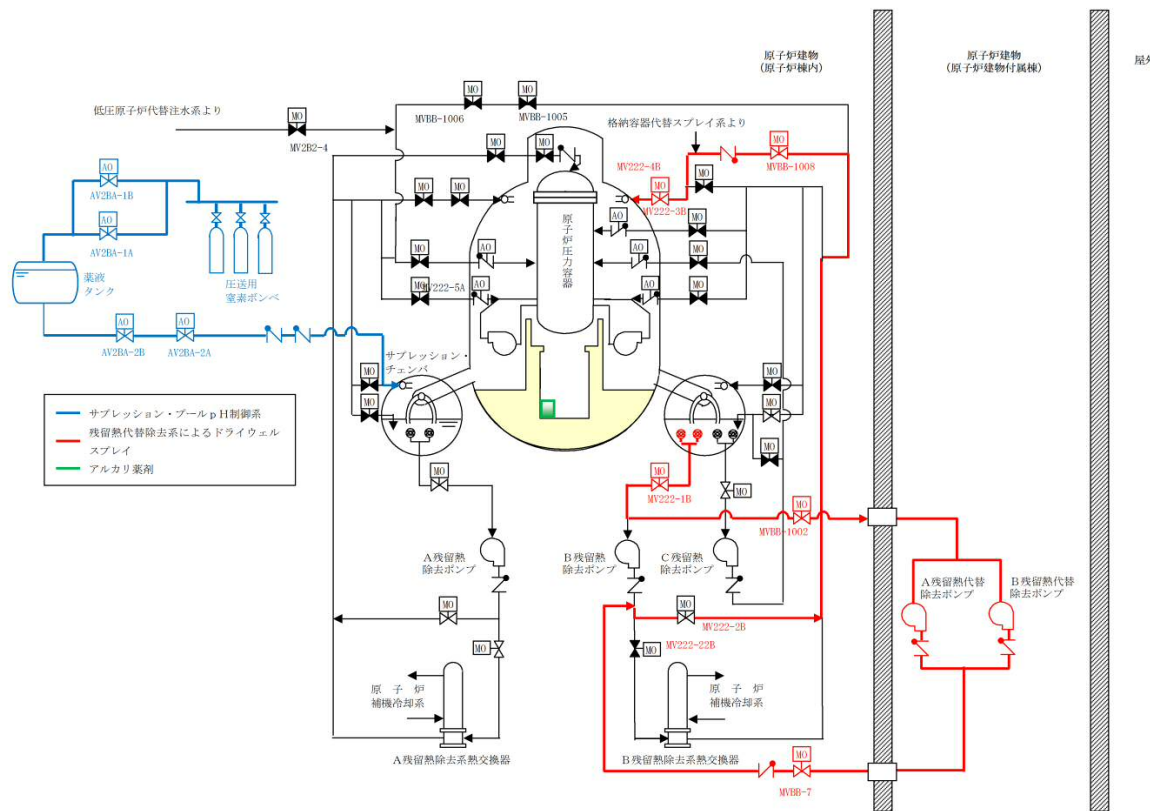


図1 格納容器pH制御 概略系統図

### (1) 格納容器バウンダリに対する影響

薬液をサプレッション・チェンバに注入した場合、サプレッション・プール水の水酸化ナトリウム濃度は最大で [ ] wt%，pHは約 [ ] となる。

またサプレッション・チェンバへ所定量の薬液を注入した後には、薬液を含まない低圧原子炉代替注水槽、輪谷貯水槽（西1）及び輪谷貯水槽（西2）の水を低圧原子炉代替注水ポンプ又は大量送水車により注水することで、薬液注入配管のうち材質が炭素鋼である残留熱除去系配管について、薬液が局所的に滞留・濃縮することはない。

原子炉格納容器の鋼材として使用している炭素鋼のアルカリ腐食への耐性を図2、3に示す。pH制御操作時の濃度ではアルカリ腐食割れは発生せず、また、塩化物による孔食、すきま腐食、SCCの発生を抑制することができる。

また、原子炉格納容器バウンダリで主に使用しているシール材は、耐熱性能に優れた改良EPM材に変更しているが、この改良EPM材について事故環境下でのシール性能を確認するため、表1の条件で蒸気暴露後の気密試験を実施し、耐アルカリ性能を確認した。

なお、サプレッション・チェンバにある電気配線貫通部は低圧用のみであり、モジュール部がサプレッション・チェンバ外にあること及びサプレッション・チェンバ内外とも接続箱に覆われていることから、pH制御による影響はない。

一方、ドライウェルに設置されている高圧用電気配線貫通部については、低圧用電気配線貫通部と同様に、原子炉格納容器内外とも接続箱に覆われていることから、pH制御による影響はない。

表1 改良EPM材耐アルカリ性確認試験

これらから、pH制御薬液による原子炉格納容器バウンダリへの悪影響は無いことを確認した。

なお、水酸化ナトリウムの相平衡を図4に示すが、本系統使用後の濃度である [ ] wt%では、水温が0°C以上であれば相変化は起こらず、析出することはない。

本資料のうち、枠囲みの内容は機密に係る事項のため公開できません。

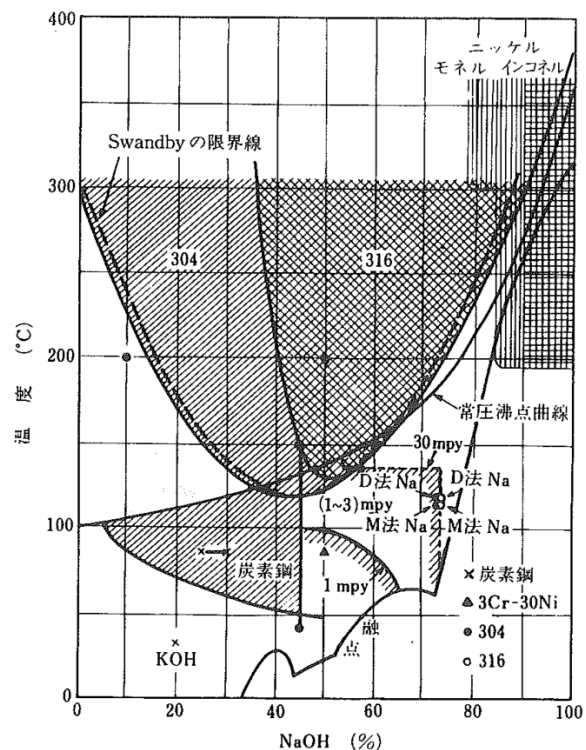


図2 アルカリ腐食割れに及ぼす温度、濃度の影響<sup>[1]</sup>

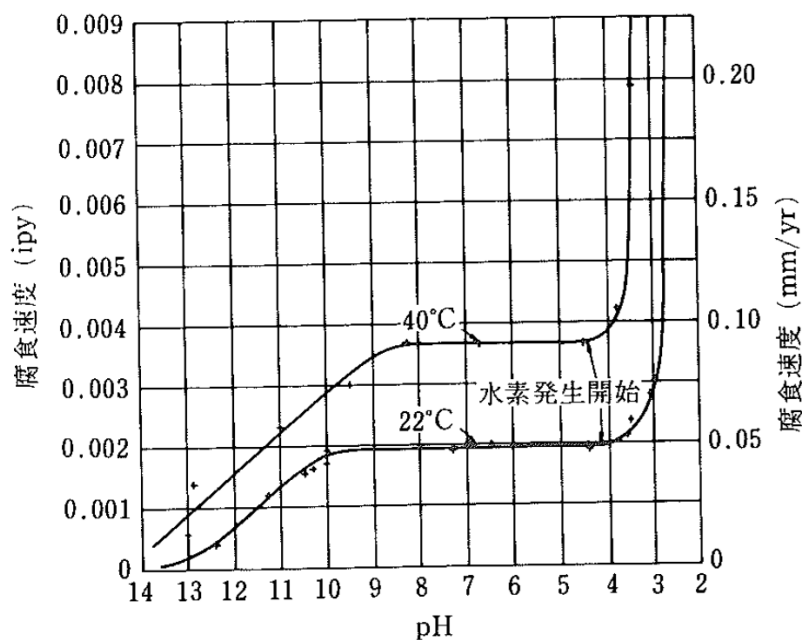


図3 炭素鋼の腐食に及ぼすpHの影響<sup>[1]</sup>

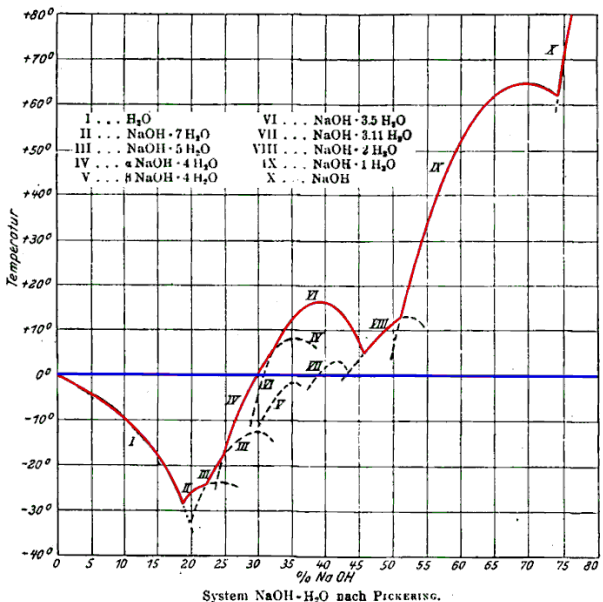


図4 水酸化ナトリウムの水系相平衡図<sup>[2]</sup>

## (2) 水素の発生について

原子炉格納容器内では、配管の保温材等にアルミニウムを使用している。アルミニウムは両性金属であり、水酸化ナトリウムに被水すると式①に示す反応により水素が発生する。

また、原子炉格納容器内のグレーチングには、亜鉛によるめっきが施されている。亜鉛も両性金属であり、式②に示すとおり、水酸化ナトリウムと反応することで水素が発生する。

これらを踏まえ、事故時に想定されるサプレッション・チェンバ内の水素の発生量を評価する。なお、実際に薬液と反応する金属はスプレーの飛散範囲内と考えられるが、保守的に格納容器内の全ての亜鉛とアルミニウムが反応し水素が発生するとして評価を行う。



### a. 亜鉛による水素発生量

格納容器内の亜鉛の使用用途はグレーチングの亜鉛メッキである。そのためグレーチングの亜鉛メッキ量を調査し、これらの全てが薬液と反応した場合の水素発生量を評価した。

#### 【算出条件】

- ドライウェル グレーチング表面積：約 3,135m<sup>2</sup>
- サプレッション・チェンバ グレーチング表面積：約 930m<sup>2</sup>

- ・亜鉛メッキ膜厚： $80 \mu\text{m}$   
(JIS H8641-2007 溶解亜鉛メッキ厚判定基準値(最大値) $76 \mu\text{m}$  より)
- ・亜鉛密度： $7.2 \text{g/cm}^3$
- ・亜鉛原子量： $65.38$

### 【計算結果】

上記条件より、亜鉛量はドライウェルで約  $1,806 \text{kg}$ , サプレッション・チェンバで約  $536 \text{kg}$  となり、合計約  $2,350 \text{kg}$  となる。そして、式②よりこの亜鉛が全量反応すると、水素の発生量は約  $73 \text{kg}$  となる。

### b. アルミニウムによる水素発生量

格納容器内のアルミニウムの使用用途は保温材の外装材やドライウェルクーラー(DWC)のアルミフィンである。そのため、これらの全てが薬液と反応した場合の水素発生量を評価した。

### 【算出条件】

- ・保温材に含まれるアルミニウムの体積：約  $0.5843 \text{m}^3$
- ・アルミニウム密度： $2.7 \text{g/m}^3$
- ・DWCに含まれるアルミニウムの質量：約  $1,761 \text{kg}$

### 【計算結果】

上記条件より、原子力格納容器内に存在するアルミニウム量は、約  $3,339 \text{kg}$  となる。そして、式②よりこの亜鉛が全量反応すると、水素の発生量は約  $374 \text{kg}$  となる。

### c. 水素発生による影響について

水-ジルコニア反応等により格納容器内で発生する水素量は、有効性評価上の大LOCASシナリオで約  $210 \text{kg}$  であり、薬液注入により亜鉛とアルミニウムが全量反応したとしても、事故時の格納容器内の気相は水蒸気が多くを占めていることから、格納容器の圧力制御には影響がない。

また、格納容器内は窒素ガスにより不活性化されており、本反応では酸素の発生がないことから、水素の燃焼は発生しない。

これらのことから、pH制御に伴って格納容器内に水素が発生することを考慮しても、影響はないものと考える。

## 《参考文献》

- [1] 小若正倫「金属の腐食損傷と防食技術」アグネ承風社, 2000 年
- [2] Gmelins Handbuch der anorganischer Chemie, Natrium, 8 Auflage, Verlag Chemie, Berlin 1928

## 設備の維持管理についての補足事項

### 1. 機能確認における外観点検の確認内容について

機能確認における外観点検の確認内容を表 1 に示す。

**表 1 開放点検における点検の確認内容**

対象機器	機能	点検の確認内容
ベンチュリノズル	フィルタ性能	<ul style="list-style-type: none"> <li>■表面に強度に影響を及ぼす恐れのあるき裂、変形、腐食及び摩耗がないこと。</li> <li>■性能に影響を及ぼす恐れのあるノズル穴の異物による閉塞、ノズル穴の変形がないこと。</li> </ul>
金属フィルタ		<ul style="list-style-type: none"> <li>■表面に強度に影響を及ぼす恐れのあるき裂、変形、腐食及び摩耗がないこと。</li> <li>■性能に影響を及ぼす恐れのある金属フィルタの異物による閉塞、溶接部の割れ、腐食がないこと。</li> </ul>
多孔板	整流機能	<ul style="list-style-type: none"> <li>■表面に強度に影響を及ぼす恐れのあるき裂、変形、腐食及び摩耗がないこと。</li> <li>■性能に影響を及ぼす恐れのある整流板穴の異物による閉塞、穴の変形がないこと。</li> </ul>
オリフィス	流量調整機能	<ul style="list-style-type: none"> <li>■表面に強度に影響を及ぼす恐れのあるき裂、変形、腐食及び摩耗がないこと。</li> <li>■性能に影響を及ぼす恐れのあるオリフィス穴の異物による閉塞、穴の変形がないこと。</li> </ul>

### 2. フィルタ性能の確認方法

待機中、定期的に、以下の(1)～(3)の項目を確認することでのフィルタ性能が維持されていることを確認する。

#### (1) 窒素封入圧力確認

窒素封入圧力を [gage] 程度に維持することで、容器内部の不活性状態が維持され、ベンチュリノズル及び金属フィルタの腐食の発生を防止していることを確認する。

#### (2) スクラビング水水位確認

スクラビング水水位を通常水位 ( [ ] ) で維持していることを確認する。

#### (3) スクラビング水性状確認

スクラビング水をサンプリング測定することで、[ ] が規定

本資料のうち、枠囲みの内容は機密に係る事項のため公開できません。

の pHを維持している事を確認する。

### 3. 点検周期の考え方

4.5 格納容器フィルタベント系の維持管理の表 4.5-1 に示す点検周期は、表 2 に示すように機能や設置環境の類似した既設類似機器を踏襲して決定する。なお、この点検周期は、今後の保全活動を実施する中で適切な周期の見直しを行うこととする。

容器及び容器内部構造物に対する、アルカリ性の薬液を注入することによる腐食の影響対策としては、本装置が通常待機状態であること、及び、耐腐食にすぐれたステンレス材等の材料を使用していることから、窒素封入による不活性状態を維持することにより容器内部構造物の腐食の発生を防止していることの確認を定期的に行うことで適切に維持できると考えられる。

表2 点検周期の決定根拠

対象機器	機能／設置環境			類似機器	点検周期
	型式／機能	材料	内部流体		
スクラバ容器	フィルタ等	ステンレス鋼	スクラビング水／窒素ガス	原子炉冷却材淨化系 ろ過脱塩器	65M
内部構造物 ・ベンチュリノズル ・金属フィルタ ・多孔板	フィルタ等	ステンレス鋼	スクラビング水／窒素ガス	原子炉冷却材淨化系 ろ過脱塩器 内部構造物	65M
銀ゼオライト容器	フィルタ等	銀ゼオライト	窒素ガス	非常用ガス処理系活性炭フィルタ	1C (機能確認)
伸縮継手	変位吸収機構	ステンレス鋼	窒素ガス／外気	—	10C
流量制限オリフィス	配管類	ステンレス鋼	窒素ガス	—	10C
圧力開放板	弁類	ステンレス鋼	窒素ガス／外気	窒素ガス制御系 圧力開放板	5C
配管	配管類	炭素鋼	窒素ガス／外気	窒素ガス制御系 配管	10C
		ステンレス鋼	スクラビング水／窒素ガス	気体廃棄物処理系 配管	10C
弁	弁類	炭素鋼	窒素ガス／外気	窒素ガス制御系 弁類	1C (機能確認) 78M (分解点検)
		ステンレス鋼	スクラビング水／窒素ガス	気体廃棄物処理系 弁類	1C (機能確認) 78M (分解点検)

※点検周期のMは「月」，Cは「サイクル」を示す。

### 銀ゼオライトフィルタへのスクラビング水の影響について

格納容器フィルタベント系の待機時のフィルタ装置内の環境が、スクラビング水により飽和蒸気となることが想定されるが、この環境で銀ゼオライトフィルタの有機よう素の除去性能が低下することがないかを確認する。

#### (1) 系統待機時における銀ゼオライトフィルタへのスクラビング水の影響について

プラント運転中を通して格納容器フィルタベント系の系統待機時は、スクラバ容器内がスクラビング水によって飽和蒸気の環境となり、銀ゼオライトは長期間、湿分環境下で保管される。

この保管状況において湿分による銀ゼオライトのよう素除去性能への影響を確認するため、密閉容器内にスクラビング水（[REDACTED]）と銀ゼオライトを表1に示す環境で保管し、よう素除去効率を6カ月後及び15カ月後に測定を実施した結果と銀ゼオライトの保管の様子を各々表2と図1に示す。

本資料のうち、枠囲みの内容は機密に係る事項のため公開できません。

表1 銀ゼオライトの試験条件

項目	試験条件	実機環境を考慮した適用性
温度	室温	実機のフィルタ装置は、地下の第1ベントフィルタ格納槽に設置され、温度変化は小さいと考えられることから、実機を包絡する条件であり、適用性がある。
圧力	大気圧	実機の圧力は [ ] 程度であり、圧力が低い方がスクラビング水が蒸発しやすく湿度が高くなると考えられることから、実機を包絡する条件であり、適用性がある。
封入ガス組成	窒素 95%以上 (酸素 5%未満)	実機の系統は、格納容器内雰囲気と同等の酸素濃度 4%以下と考えられることから、実機を包絡する条件であり、適用性がある。
スクラビング 水組成	[ ]	実機の濃度は [ ] であり、濃度が低い方がスクラビング水は蒸発しやすく湿度が高くなると考えられることから、実機を包絡する条件であり、適用性がある。
	[ ]	実機の濃度と同等であり適用性がある。

表2 銀ゼオライトの除去効率経時変化

有機よう素の除去効率		
初期	6か月後	15か月後
[ ]	[ ]	[ ]

本資料のうち、枠囲みの内容は機密に係る事項のため公開できません。

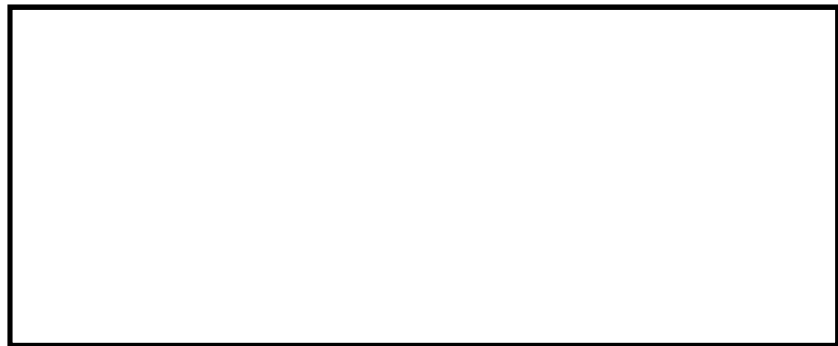


図1 銀ゼオライトの保管の様子

試験結果によると6カ月及び15カ月後における銀ゼオライトの除去効率は、性能基準（除去効率99%）を満たしており、実機においてもプラント運転中を通して性能は維持されると考える。

本資料のうち、枠囲みの内容は機密に係る事項のため公開できません。

## 格納容器からの異常漏えい時における対応について

### (1) 格納容器からの異常漏えい時における対応方針

事故時に炉心損傷を判断した際は、格納容器の過圧破損の防止又は格納容器内での水素燃焼を防止するため、サプレッション・プール水位が通常水位 + 約 1.3m に到達した場合又は格納容器酸素濃度がドライ条件で 4.4vol% 及びウェット条件で 1.5vol% に到達した場合は、格納容器フィルタベント系におけるベントを実施することとしている。

一方、万が一、ベントを実施する前に、格納容器からの異常な漏えいにより、原子炉棟（以下「R／B」という。）内に放射性物質が放出されるような状況になれば、大気へ放出される放射性物質の総量を可能な限り防止する対応として、格納容器フィルタベント系によるベントを実施することとしている。この対応により、フィルタ装置を介した放射性物質の放出経路を形成することで、大気へ放出される放射性物質の総量を低減し、公衆への影響を緩和する運用とする。

また、異常な漏えい発生時において、格納容器から漏えいする水素により、R／B 水素濃度が上昇する場合には、原子炉建物水素爆発を防止する観点から、格納容器フィルタベント系によるベントを実施し、格納容器内の水素を排出することによって水素漏えいを抑制し、水素爆発防止を図る運用とする。

### (2) 格納容器の異常漏えい時における運用方法

可搬式モニタリング・ポスト及び原子炉建物内放射線モニタの指示値が急激な上昇が発生した場合又は原子炉建物水素濃度計指示値が 2.5vol% に到達した場合には、格納容器からの異常な漏えいが発生していると判断し、格納容器フィルタベント系によるベントを実施する。

ベントについては、ドライウェル内に存在する粒子状物質のサプレッション・プール水でのスクラビングによる捕集効果に期待するため、サプレッション・チェンバ側からのベントを実施する。仮に格納容器からの漏えい発生個所がドライウェル側であっても、サプレッション・チェンバからのベントによりドライウェル圧力を低下させることで、格納容器からの漏えいを抑制することが可能である。

また、非常用ガス処理系については、当該系統内での水素爆発発生防止の観点から、R／B 水素濃度計指示値が 1.8vol% に到達した時点で停止する。

### (3) ベント実施基準設定の考え方

可搬式モニタリング・ポスト及び原子炉建物内放射線モニタの指示値が急激に上昇する場合には、格納容器から異常な漏えいが発生していると判断する。また、R／B水素爆発防止の観点からは、水素の可燃限界（4vol%）に計器誤差（±1.1vol）及び運転操作の余裕時間を踏まえ、R／B水素濃度計指示値が2.5vol%に到達した時点でベント実施を判断する。

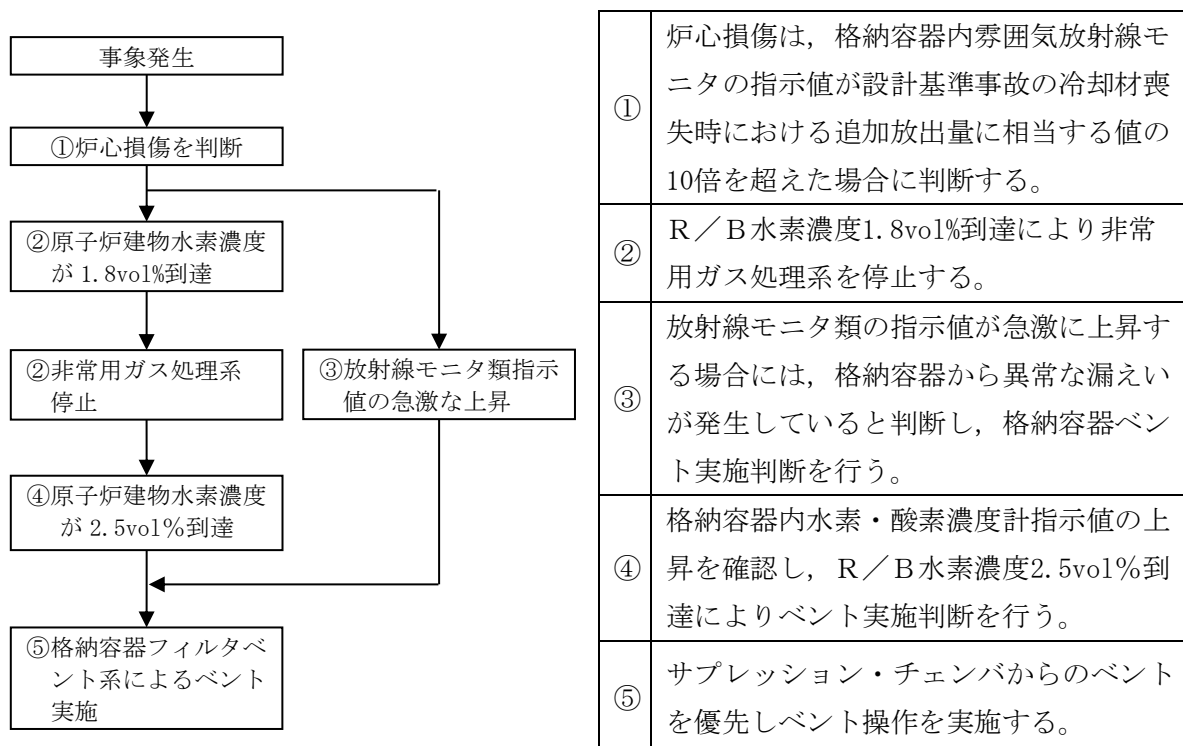


図1 格納容器の異常な漏えいによるベント実施フロー

## ベント実施によるプルーム通過時の要員退避について

### (1) プルーム通過時における要員退避の考え方

炉心損傷後のベント実施時には、放出されるプルームの影響によって発電所周辺の放射線線量率が上昇する。そのため、プルーム通過時において、緊急時対策要員は、緊急時対策所及び中央制御室待避室で待避又は発電所構外へ一時退避する。緊急時対策所及び中央制御室待避室については、空気加圧することでプルームの流入を抑え、放射線影響を低減させる。発電所構外への一時退避については、発電所から離れることでプルームの拡散効果により放射線影響を低減させる。

### (2) 必要要員数

発電所にて重大事故等対応を行う要員は 101 名である。プルーム通過時の必要要員である 69 名は緊急時対策所又は中央制御室待避室で待機することとしており、それ以外の 32 名については発電所構外へ退避する。

### (3) 移動時間

発電所構外へ一時退避する場合には、原子力事業所災害対策支援拠点等へ退避することとしている。これらの施設は、発電所から約 12~13km の地点に立地しており、最も遠い施設まで徒歩による一時退避を行う場合の所要時間は約 4 時間と評価している。

緊急時対策所へ待避する場合の移動時間については、アクセスルートのうち、緊急時対策所から最も距離のある地点（放水接合槽）から緊急時対策所へ図 1 に示すアクセスルートを徒歩移動によって待避した場合の移動時間は約 50 分である。

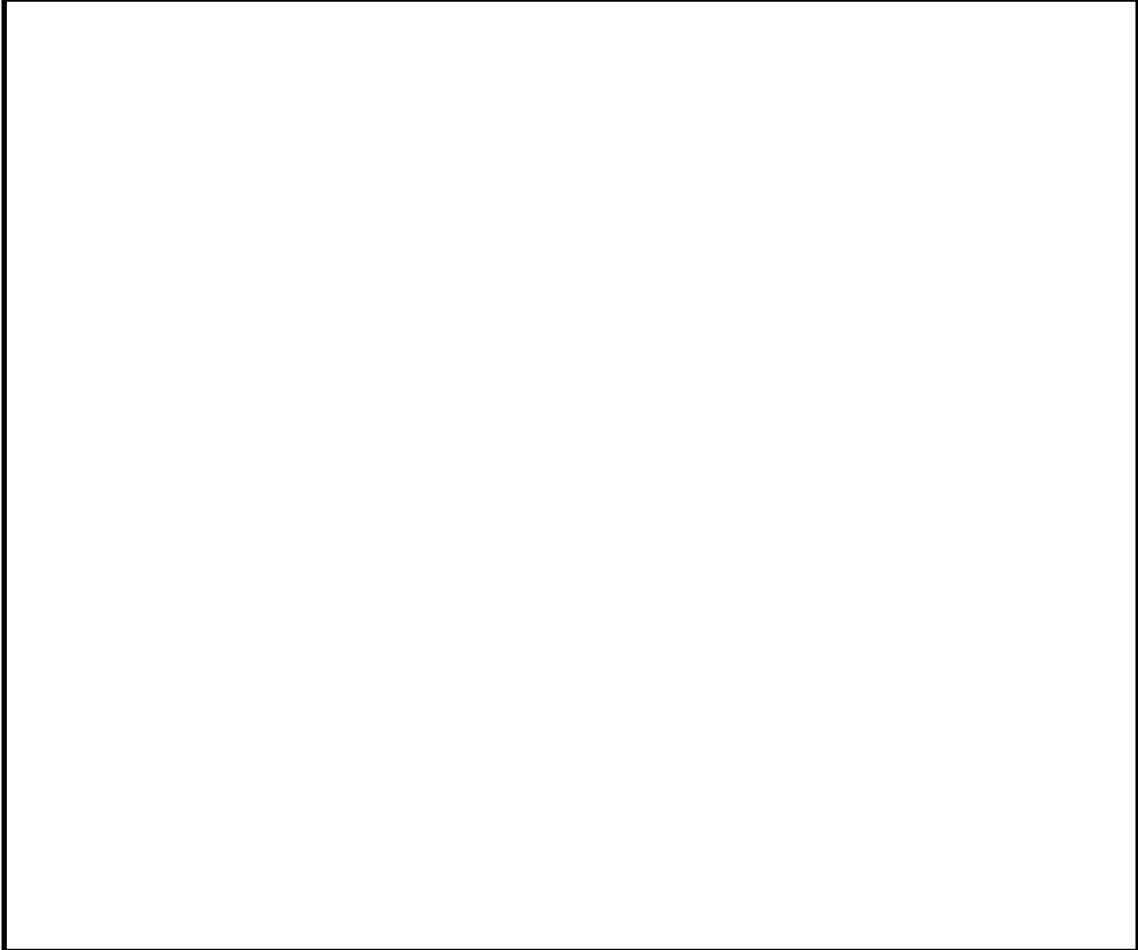


図1 放水接合槽から緊急時対策所への最も距離のあるアクセスルート

(4) 有効性評価シナリオでの退避タイミング

a. サプレッション・プール通常水位+約1.3m到達によるベント

有効性評価のうち、炉心損傷後のベントシナリオである「雰囲気圧力・温度による静的負荷（格納容器過圧・過温破損）（残留熱代替除去系を使用できない場合）」における要員一時退避及び待避開始時間及びベント時間の関係を表1に、ベント実施に係る対応の流れを図2に示す。

表1 静的負荷におけるベント準備時間及びベント時間の退避

項目	基準	事象発生からの到達時間
発電所構外への一時退避	格納容器圧力 640kPa[gage]到達	約27時間後
緊急時対策所への待避	サプレッション・プール 通常水位+約1.2m到達	約31時間
ベント操作	サプレッション・プール 通常水位+約1.3m到達	約32時間後

本資料のうち、枠囲みの内容は機密に係る事項のため公開できません。

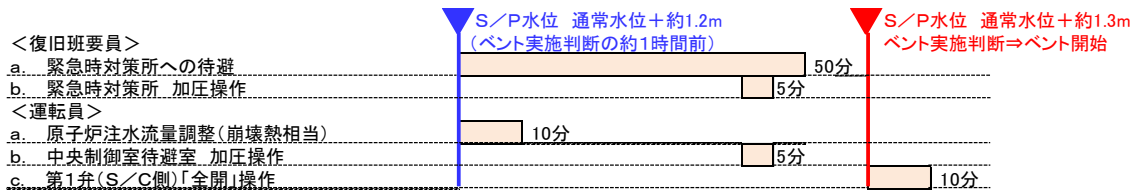


図2 ベント実施に係る対応の流れ

表1に示すとおり、発電所構外への一時退避及び緊急時対策所への待避について、移動開始からベント操作まで約5時間あることから最も遠い退避施設への退避が可能であり、緊急時対策所への待避については、移動開始からベント操作まで約1時間※あることからベント実施判断基準到達までに緊急時対策所への待避可能である。そのため、ベント操作開始に影響を与えることはない。また、中央制御室の運転員については、ベント実施後速やかに中央制御室待避室へ待避する。

※復旧班要員：待避時間（約50分）及び緊急時対策所の加圧操作時間（約5分）に

余裕を考慮し設定

運転員：原子炉への注水流量調整（約10分）及び中央制御室待避室の加圧操作時間（約5分）を踏まえ、復旧班要員の待避開始と同じタイミングに設定

表2及び図3に示すとおり、プルーム通過時の待避期間（評価上10時間）において、燃料補給を実施する必要がある。プルーム通過中に燃料補給を実施した場合でも、約8mSvであり作業実施は可能である。

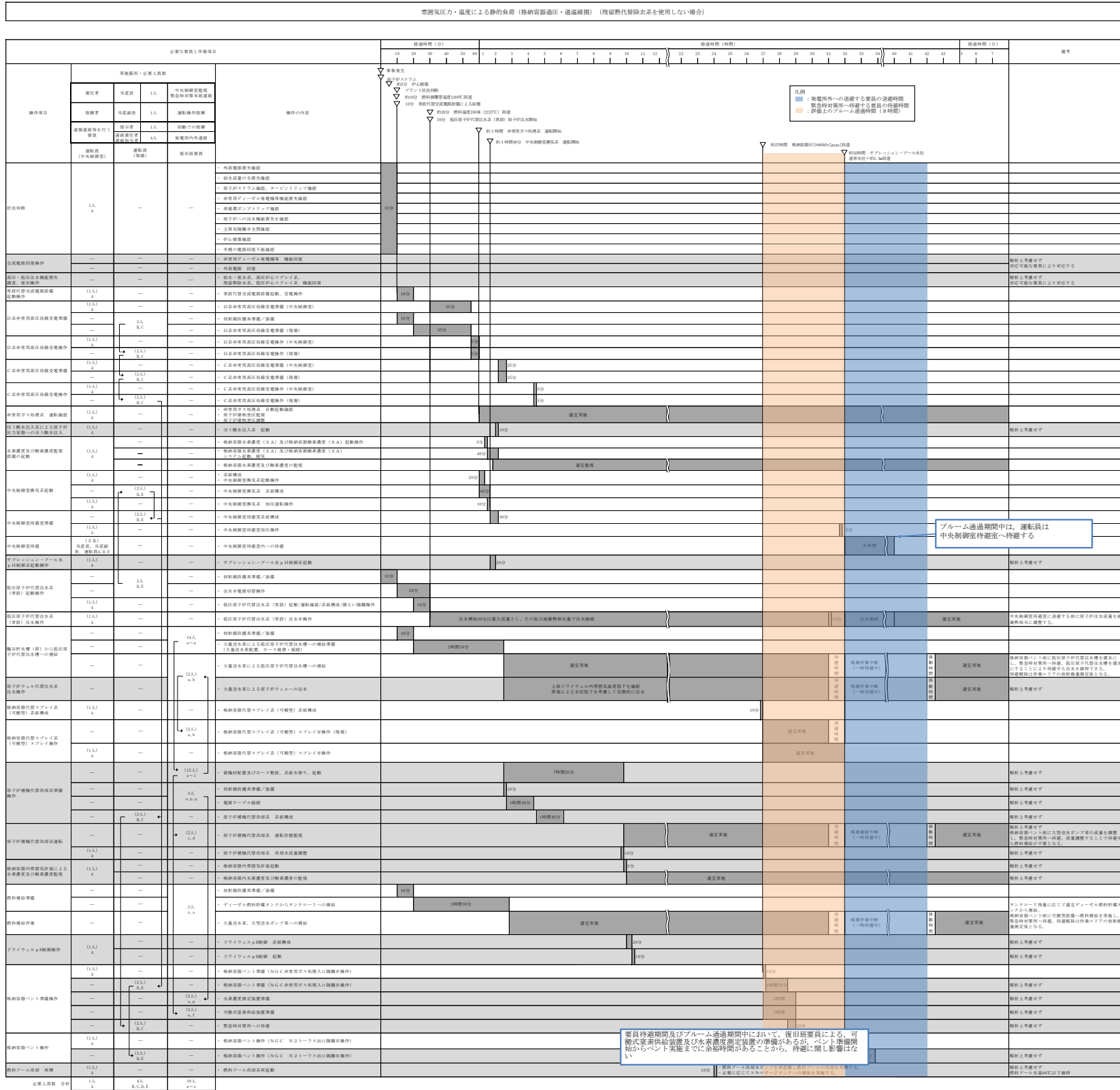
表2 ベント実施の待避期間中における格納容器の状態及び操作

作業項目	待避期間中における状況	作業の要否
原子炉注水	低圧原子炉代替注水系（常設）による注水を継続	待避期間における流量調整（崩壊熱相当）は不要
格納容器スプレイ	ベント実施前に停止	—
電源	ガスタービン発電機により給電	自動燃料補給により作業不要
水源	低圧原子炉代替注水槽の水を使用	待避期間中の水源補給は不要
燃料	大型送水ポンプ車を使用	待避期間中の運転継続のため燃料補給が必要

b. 格納容器酸素濃度ドライ条件で4.4vol%及びウェット条件で1.5vol%到達によるベント

炉心損傷後においては、格納容器内の水素燃焼を防止する観点から、格納容器酸素濃度がドライ条件において4.4vol%及びウェット条件で1.5vol%に到達した場合、ベント操作を実施することとしている。

雰囲気圧力・温度による静的負荷（格納容器過圧・過温破損）（残留熱代替除去系を使用する場合）においては、水素及び酸素の発生割合（G値）の不確かさが大きく、あらかじめ待避基準を設定できないため、酸素濃度の上昇速度からドライ条件で4.4vol%及びウェット条件で1.5vol%到達時間を予測し、退避を実施する。また、退避開始からプルーム通過時の退避時において、実施する必要のある現場操作及び作業がないため、要員が退避することに対する影響はない。



## エアロゾルの粒径分布が除去性能に与える影響について

JAVA 試験における試験用エアロゾルの粒径は、JAVA 試験装置からエアロゾルをサンプリングし、[ ] で観察することにより、粒径分布を測定している。過酷事故解析コード（M A A P コード）より得られる粒径について、JAVA 試験において得られたエアロゾルの粒径との比較検証を行い、想定される粒径分布の全域を包絡できていることを確認することで、重大事故等時に想定されるエアロゾルの粒径分布においても、JAVA 試験と同様の除去性能（D F 1,000 以上）が適用可能であることを確認した。

### (1) エアロゾルの粒径分布の妥当性

#### a . JAVA 試験における粒径分布

JAVA 試験においては、[ ] を試験用エアロゾルとして用いており、それぞれの質量中央径（MMD）は以下のとおりである。



JAVA 試験に用いられた試験用エアロゾルの粒径の測定は、JAVA 試験装置のフィルタ装置前段の配管部からサンプリングしたエアロゾルを、[ ] [ ] 観測を用いてエアロゾル粒子の量と粒径を測定し、粒径分布を求めている。[ ] [ ] による測定誤差は、[ ] である。試験用エアロゾルの粒径分布を図 1 に、JAVA 試験装置のサンプリングラインを図 2 に、サンプルガスの取り出し部分の概要を図 3 に示す。

[ ] 本資料のうち、枠囲みの内容は機密に係る事項のため公開できません。



図1 試験用エアロゾルの粒径分布

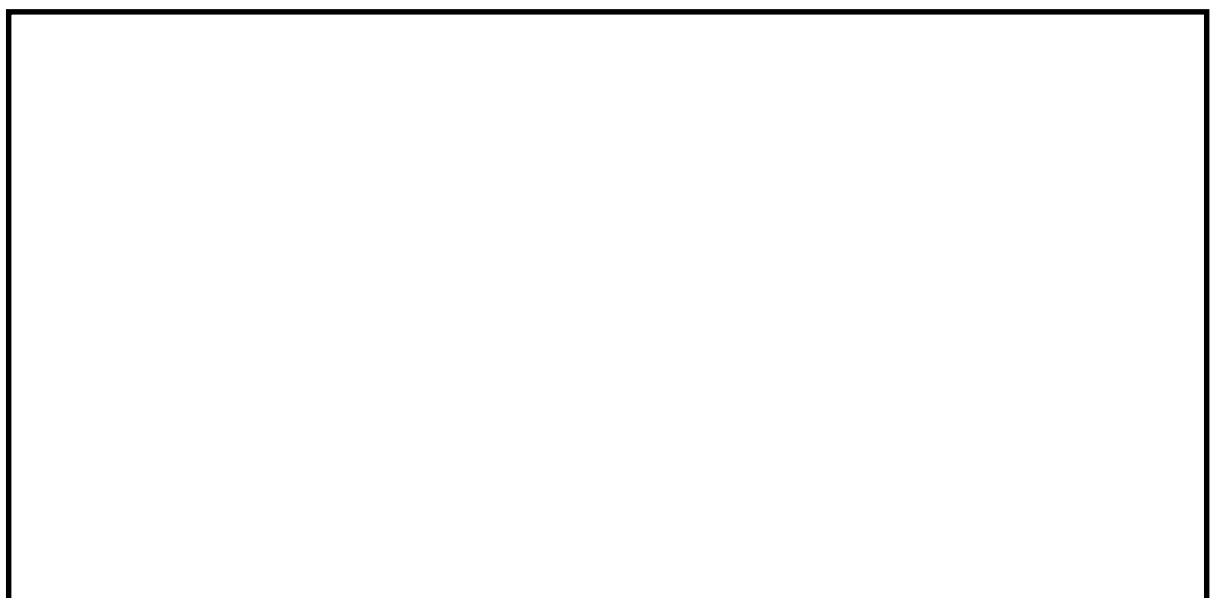


図2 JAVA 試験装置のサンプリングライン

本資料のうち、枠囲みの内容は機密に係る事項のため公開できません。



図3 サンプルガスの取り出し部分概要図

(2) 重大事故時に想定される粒径分布

重大事故が発生した際に格納容器に放出されるエアロゾルの粒径は、凝集効果及び沈着効果の自然現象に加えて、格納容器スプレイ効果やサプレッション・プール水におけるスクラビング効果といった除去機構により粒径分布の幅が限定される。

MAAPコードではこれらの効果を考慮してエアロゾルの粒径分布を評価している。

(a) 凝集効果及び沈着効果

エアロゾルの粒径分布は、凝集効果及び沈着効果により、安定状態では、ある粒径を中心をもつような分布が形成される（参考図書1）。エアロゾルの粒径分布形成のイメージを図4に示す。以下に、凝集効果及び沈着効果について示す。

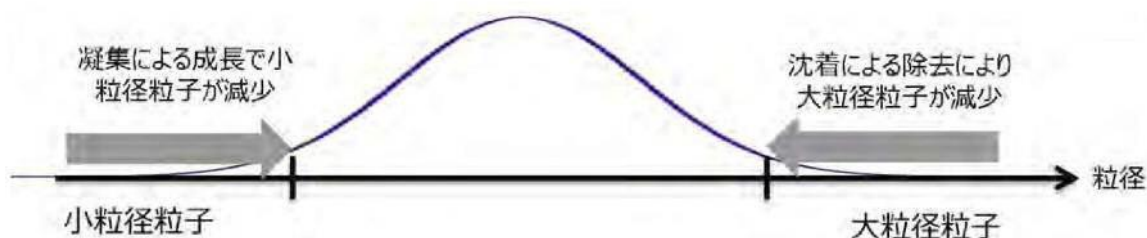


図4 エアロゾル分布形成のイメージ

本資料のうち、枠囲みの内容は機密に係る事項のため公開できません。

## 1) 凝集効果

小粒径の粒子はランダムな運動（ブラウン運動：Brownian Diffusion）により、他の粒子と衝突し凝集することでより大きな粒子へと成長する。小粒径の粒子は特に大粒径の粒子と衝突し凝集する傾向が見られる。凝集効果の例を図5に示す。

横軸は粒径 ( $D_{p_1}$ )、縦軸はブラウン運動による凝集係数 (Brownian coagulation coefficient) を表しており、凝集係数が大きい場合に凝集効果が大きいことを意味する。凝集係数は凝集する相手の粒子の粒径 ( $D_{p_2}$ ) により変化するため、 $D_{p_2}$ の違いによる凝集係数が複数の曲線で示されている。 $D_{p_2} > D_{p_1}$ の場合、 $D_{p_1}$ が小さくなると凝集係数は大きくなる。

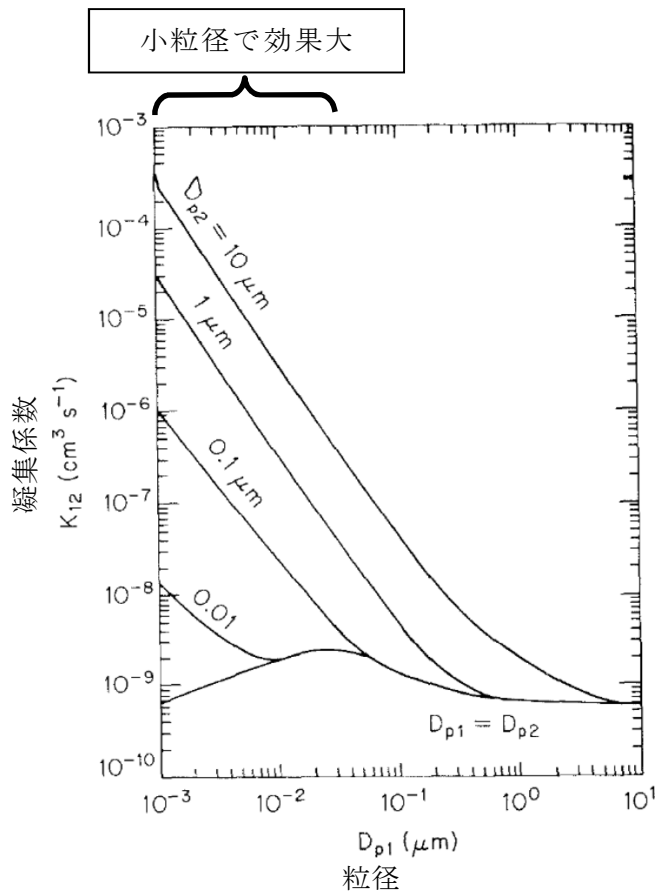


図 5 凝集効果の例 (参考図書 2)

## 2) 沈着効果

大粒径の粒子は重力の影響によって比較的沈着し易く、床・壁に付着することで減少する傾向が見られる。粒子の密度が一定と仮定した場合には、粒子径が大きいほど沈着効果を期待することができる。沈着効果の例を図 6 に示す。

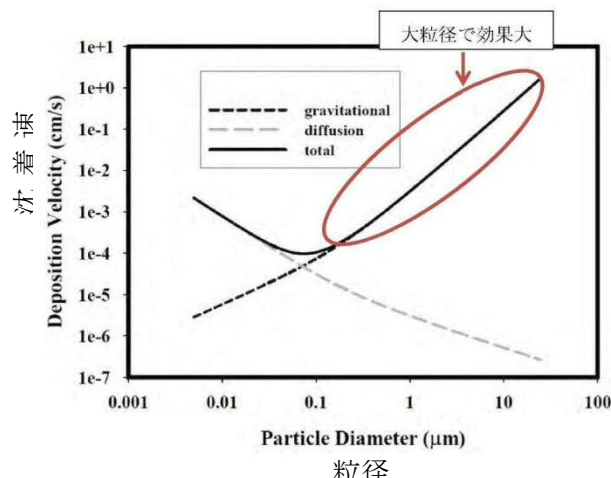


図 6 沈着効果の例 (参考図書 1)

(b) 格納容器内のエアロゾル除去

格納容器内では、格納容器スプレイ効果やサプレッション・プール水におけるスクラビング効果によって、エアロゾルが除去される。以下に、格納容器スプレイ効果及びサプレッション・プール水におけるスクラビング効果について示す。

1) 格納容器スプレイ効果

格納容器スプレイでは、水滴が落下する間に、さえぎり効果、拡散効果及び慣性衝突効果の除去メカニズムが働く。

図7では格納容器スプレイを継続することによる格納容器内のエアロゾルの粒径分布の変化の例を示す。初期の段階 ( $DF=1.1$ ) では、エアロゾル粒径は最大値が約 $1\text{ }\mu\text{m}$ で幅の広い分布を持っているが、格納容器スプレイを継続すると、大粒径の粒子と小粒径の粒子が効率的に除去され、粒径分布の最大値は小さくなり、また分布の幅も小さくなる。

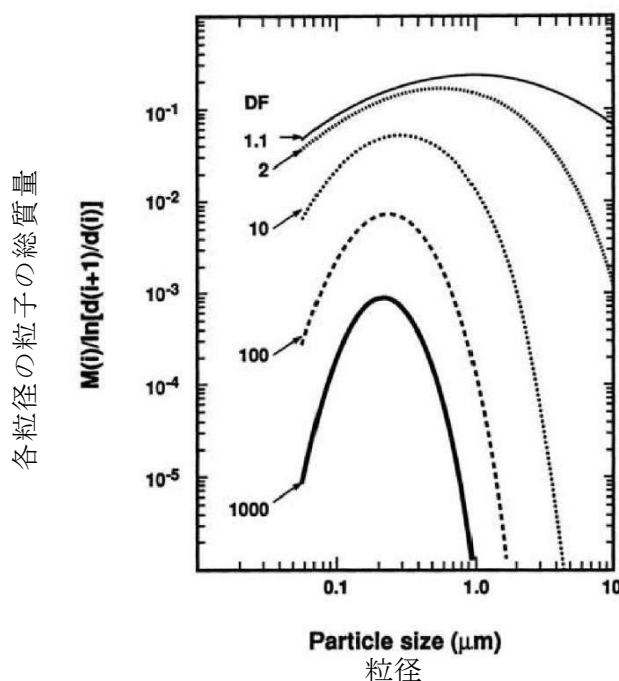


図7 格納容器スプレイ継続による格納容器内の粒径分布の変化（参考図書1）

## 2) サプレッション・プール水におけるスクラビング効果

サプレッション・プール水におけるスクラビングでは、気泡が上昇する間に図8に示すような種々の除去メカニズムが働く。安定した気泡内のエアロゾル除去は、重力沈降、慣性衝突が支配的となるため、粒径が大きいエアロゾルが効果的に除去される。サプレッション・プール水におけるスクラビングによるエアロゾル除去原理のイメージを図8に、サプレッション・プール水におけるスクラビングによる除去性能の実験結果の例を図9に示す。

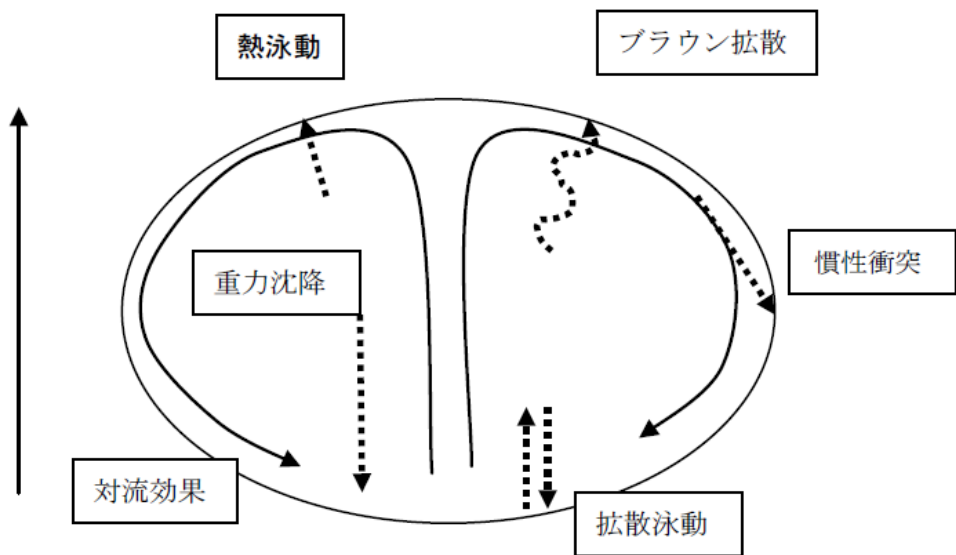


図8 サプレッション・プール水におけるスクラビングによるエアロゾル除去原理

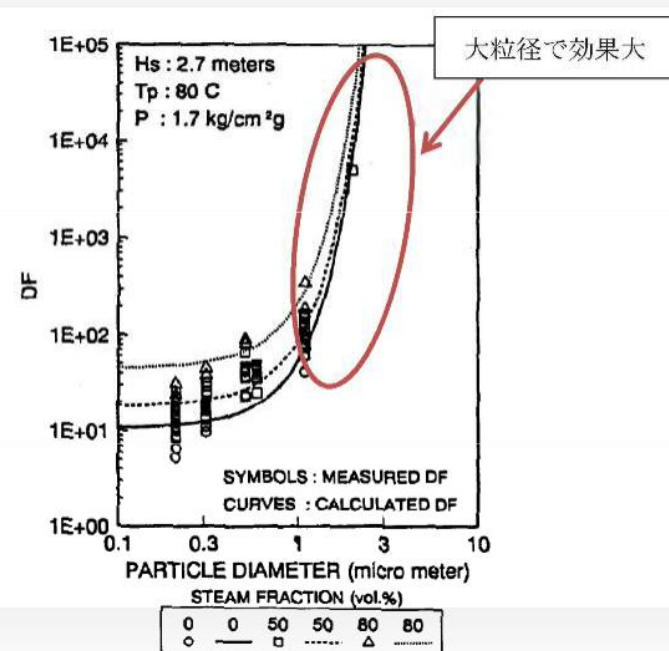


図9 サプレッション・プール水のスクラビングによる除去性能の例（参考図書3）

### 3) 重大事故等時に想定される粒径分布

重大事故等時に想定される粒径は、上記 1), 2) に示したエアロゾルの除去効果により主にサブミクロン ( $0.1$  から  $1 \mu\text{m}$  程度) になると考えられる。その代表径として、粒径分布の MMD を  $0.5 \mu\text{m}$  にもつ粒径分布を重大事故等時に想定される粒径分布とした。

(参考1) エアロゾル粒径と除去係数の関係

除去係数（以下、「DF」という。）は、フィルタ装置に流入したエアロゾル重量とフィルタ装置から放出したエアロゾル重量の比として、以下の式で表される。また、表1にベント位置の違いによる粒径分布を示す。

$$DF = \frac{M_{\text{流入したエアロゾル重量}}}{M_{\text{放出したエアロゾル重量}}} = \frac{\int M(\phi)_{\text{流入したエアロゾル粒径}} d\phi}{\int M(\phi)_{\text{放出したエアロゾル粒径}} d\phi}$$

表1 想定事故シナリオのエアロゾル粒径分布

想定事故シナリオ	ベント時間 [h]	ベント位置	質量中央径 (MMD) [μm]	幾何標準偏差 σ g [-]	エアロゾル量[g]
雰囲気圧力・温度による静的負荷(格納容器過圧・過温破損)	32	W/W		0.19	1.8
		D/W		0.27	3,500

ドライウェルからのベントを行う場合は、サプレッション・プール水におけるスクラビング効果による大粒径のエアロゾルの除去が行われないことから、上式のフィルタ装置に流入したエアロゾルの重量が大きくなる。このため、ドライウェルからのベントを行う場合は、サプレッション・チェンバからのベントを行う場合と比較して、高いDFが確保される。

本資料のうち、枠囲みの内容は機密に係る事項のため公開できません。

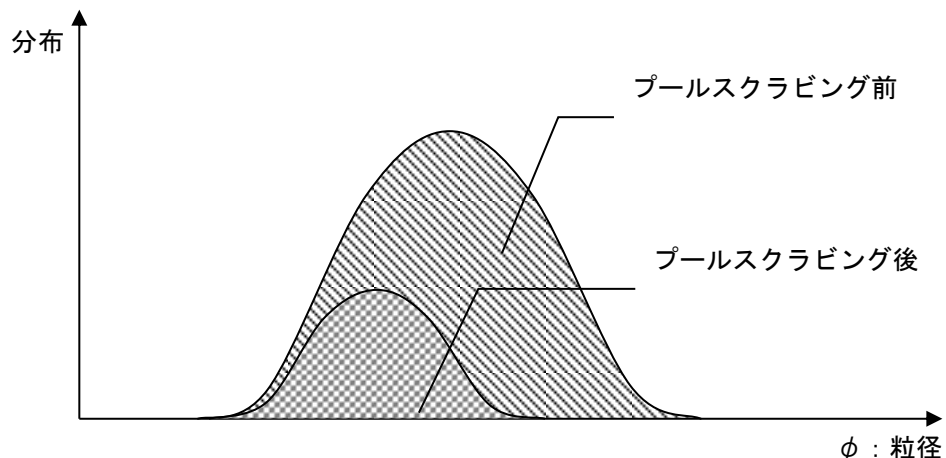


図1 プールスクラビングによる粒径分布の変化のイメージ

#### a. 試験用エアロゾル粒径分布の妥当性

JAVA試験では、様々な分布を持つ複数のエアロゾルを使用している。これらの試験用エアロゾルとMAAPにより想定される粒径分布の比較を図2に示す。

一方、ウェットウェルベントでは、サプレッション・プール水でのスクラビング効果により粒径の大きいエアロゾルが除去されるため、ドライウェルベントに比べフィルタ装置のDFが低くなることが考えられる。

この比較により、使用した試験用エアロゾルにて、MAAPにより想定される粒径分布の全域を包絡できていることが確認でき、これらの試験用エアロゾルで試験を行うことで、想定粒径全体の性能を確認することができる。また、図2からサプレッション・チェンバからのベントと比較し、ドライウェルからのベントでは、より大きな粒径のエアロゾルが存在することから、高いDFが期待できる。



図2 試験用エアロゾルとMAAPより想定される粒径分布の比較

本資料のうち、枠囲みの内容は機密に係る事項のため公開できません。

《参考図書》

1. NEA/CSNI/R(2009)5 STATE-OF-THE-ART REPORT ON NUCLEAR AEROSOLS
2. California Institute of Technology FUNDAMENTALS OF AIR POLLUTION ENGINEERING
3. 22nd DOE/NRC Nuclear Air Cleaning and Treatment Conference  
Experimental study on Aerosol removal effect by pool scrubbing,  
Kaneko et al. (TOSHIBA)

## (参考2) 粒径分布の妥当性について

JAVA 試験の試験用エアロゾルと MAAP により想定される粒径分布を、図1のとおり比較することにより、使用した試験用エアロゾルにて MAAP により想定される粒径分布の全域を包絡できていることを確認している。

一方、MAAP により想定される粒径分布は、炉心状態、事故後の経過時間及び原子炉核格納容器内におけるエアロゾル粒子の濃度の違いにより、変化することが考えられるため、その影響について考察した。



図1 試験用エアロゾルと MAAP より想定される粒径分布

### (a) 炉心状態

MAAP 解析においては、エアロゾル量を保守的に評価するため、炉心状態として燃焼サイクル末期を想定している。

炉心状態としてサイクル末期を想定した場合、初装荷炉心と比べ、原子炉格納容器内に放出される核分裂生成物の総量は大きくなり、原子炉格納容器内のエアロゾル粒子の濃度が高くなる。エアロゾル粒子の濃度が高くなると、エアロゾル粒子同士の衝突の頻度が高くなり、より大きい粒径のエアロゾル粒子が生成されやすくなる。その結果として、原子炉格納容器内の粒径分布はより大きい方向にシフトすることになる。

ウェットウェルベントの場合、エアロゾルはスクラバ容器に流入する前にサプレッション・プールでスクラビングされ、より粒径の大きい粒子が特に多く除去されるため、初装荷炉心の粒径分布との差異が小さくなることから、炉心状態が粒径分布に与える影響は限定的と考える。

### (b) 事故後の経過時刻

エアロゾルの流入量が多い時間帯はベント直後であることから、粒径分布としてベント直後を想定している。

本資料のうち、枠囲みの内容は機密に係る事項のため公開できません。

ベント後長期においては、ベント直後と比較して、格納容器内の粒径分布が変化することが考えられるが、前項に示したとおり、ウェットウェルベントの場合、エアロゾルはスクラバ容器に流入する前にサプレッション・プールでスクラビングされ、より粒径の大きい粒子が特に多く除去されるため、スクラビング前の粒径分布の差異が、スクラビング後はより小さくなることとなる。

したがって、ベント時間帯の違いが粒径分布に与える影響は限定的と考える。

#### (c) 中・低揮発性核種の放出割合の変更

別紙 33（参考 4）に示したとおり、スクラバ容器に流入するエアロゾル量を評価する際、放出割合として単に MAAP 解析により得られた放出割合の評価結果を採用するのではなく、NUREG-1465 の知見を利用している。このことは、原子炉圧力容器から原子炉格納容器内に流入する中・低揮発性核種のエアロゾル量をより少なく評価していることに相当している。そのため、上記の評価手法を取り入れることで、原子炉格納容器内のエアロゾル濃度は小さく評価され、エアロゾル粒子の粒径分布は小さい方向にシフトすると考えられるが、前項に示したとおり、ウェットウェルベントの場合、エアロゾルはスクラバ容器に流入する前にサプレッション・プールでスクラビングされ、より粒径の大きい粒子が特に多く除去されるため、スクラビング前の粒径分布の差異が、スクラビング後はより小さくなることとなる。

したがって、中・低揮発性核種の放出割合の変更することが粒径分布に与える影響は限定的と考える。

適合性審査において確認を行う事項（第 50 条等、 F C V S）  
に対する記載事項について

適合性審査において確認を行う事項に対する各資料の回答記載箇所について次  
項に示す。

## 目次(概要)

□サブチーム

基準規則 (本文)	基準規則 (解釈)	基準規則 (本文)	確認ポイント	確認ポイント
	a-1. 設置目的		b-1-4. 試験のスケール性	
	a-2. 位置、構造、設備		b-1-5. 待機中の除去性能維持 ・水位、pH	b-5-1. 対象弁 v) 人力 b-5-2. アクセス性及び作業環境
	a-3. 設計条件		b-1-6. 使用時の除去性能維持 ・水位、pH	b-5-3. 人力操作の妥当性 D-6-1. 放射線防護対策
	a-3-1. 条件			
	a-3-2. 材料			
	a-3-3. 必要となる資機材			
	a-4. 隔離弁等の信頼性 ・隔離弁としての信頼性 ・ベント弁としての信頼性		b-1-7. 長時間使用時の性能維持 ・長期使用時の検討事項 ・崩壊熱の影響	b-6-1. ラブチャーティスクの設定圧の確認 b-6-2. 線量評価
	a-5. ベント手順		b-1-8. 使用後の保持性能の維持 ・再揮発、再浮遊	
第1項 a) 設置	a-5-1. 手順着手の判断基準		b-1-9. その他	
	a-5-2. ベント実施の判断基準		b-2-1. 防爆に対する基本方針	
	a-5-3. 操作手順		b-2-2. 系統内の可燃性ガスの滞留防止 ・配管の設計 ・容器の設計 ・監視設備	b-9-1. フィルタ装置の放射線防護対策 vii) CVと の接続 ・線量低減目標 ・線量低減対策
	a-6. 操作性			
	a-7. 用途後の考慮事項			
	a-8. 監視・計測			
	a-9. 保守管理			
	a-10. 海外の先進事例との比較			
	a-11. 引用文献、品質保証の妥当性			
	a-12. その他			
50条				

基準規則 (本文)	基準規則 (解釈)	基準規則 (本文)	確認ポイント	確認ポイント
	a-1. 設置目的		b-1-4. 試験のスケール性	
	a-2. 位置、構造、設備		b-1-5. 待機中の除去性能維持 ・水位、pH	b-5-1. 対象弁 v) 人力 b-5-2. アクセス性及び作業環境
	a-3. 設計条件		b-1-6. 使用時の除去性能維持 ・水位、pH	b-5-3. 人力操作の妥当性 D-6-1. 放射線防護対策
	a-3-1. 条件			
	a-3-2. 材料			
	a-3-3. 必要となる資機材			
	a-4. 隔離弁等の信頼性 ・隔離弁としての信頼性 ・ベント弁としての信頼性		b-1-7. 長時間使用時の性能維持 ・長期使用時の検討事項 ・崩壊熱の影響	b-6-1. ラブチャーティスクの設定圧の確認 b-6-2. 線量評価
	a-5. ベント手順		b-1-8. 使用後の保持性能の維持 ・再揮発、再浮遊	
	a-5-1. 手順着手の判断基準		b-1-9. その他	
	a-5-2. ベント実施の判断基準		b-2-1. 防爆に対する基本方針	
	a-5-3. 操作手順		b-2-2. 系統内の可燃性ガスの滞留防止 ・配管の設計 ・容器の設計 ・監視設備	b-9-1. フィルタ装置の放射線防護対策 vii) CVと の接続 ・線量低減目標 ・線量低減対策
第1項 b) 運転範囲	a-6. 操作性			
	a-7. 用途後の考慮事項			
	a-8. 監視・計測			
	a-9. 保守管理			
	a-10. 海外の先進事例との比較			
	a-11. 引用文献、品質保証の妥当性			
	a-12. その他			

基準規則 (本文)	基準規則 (解釈)	基準規則 (本文)	確認ポイント	確認ポイント
	a-1. 設置目的		b-1-4. 試験のスケール性	
	a-2. 位置、構造、設備		b-1-5. 待機中の除去性能維持 ・水位、pH	b-5-1. 対象弁 v) 人力 b-5-2. アクセス性及び作業環境
	a-3. 設計条件		b-1-6. 使用時の除去性能維持 ・水位、pH	b-5-3. 人力操作の妥当性 D-6-1. 放射線防護対策
	a-3-1. 条件			
	a-3-2. 材料			
	a-3-3. 必要となる資機材			
	a-4. 隔離弁等の信頼性 ・隔離弁としての信頼性 ・ベント弁としての信頼性		b-1-7. 長時間使用時の性能維持 ・長期使用時の検討事項 ・崩壊熱の影響	b-6-1. ラブチャーティスクの設定圧の確認 b-6-2. 線量評価
	a-5. ベント手順		b-1-8. 使用後の保持性能の維持 ・再揮発、再浮遊	
	a-5-1. 手順着手の判断基準		b-1-9. その他	
	a-5-2. ベント実施の判断基準		b-2-1. 防爆に対する基本方針	
	a-5-3. 操作手順		b-2-2. 系統内の可燃性ガスの滞留防止 ・配管の設計 ・容器の設計 ・監視設備	b-9-1. フィルタ装置の放射線防護対策 vii) CVと の接続 ・線量低減目標 ・線量低減対策
第1項 b) 運転範囲	a-6. 操作性			
	a-7. 用途後の考慮事項			
	a-8. 監視・計測			
	a-9. 保守管理			
	a-10. 海外の先進事例との比較			
	a-11. 引用文献、品質保証の妥当性			
	a-12. その他			

NPP設置許可基準規則 (本文)	設置許可基準規則(解釈)	確認ポイント	具体的な確認内容	審査資料記載箇所
(原子炉格納容器の過圧破損を防止するための設備) 第50条(原子炉格納容器の過圧破損を防止するための設備) 第50条に規定する「原子炉格納容器内の圧力及び温度を低下させるために必要な設備」 発電用原子炉施設には、炉心の着しい損傷が発生した場合において原子炉格納容器の破損を防止するため、原子炉格納容器内の圧力及び温度を低下させるために必要な設備」とは、以下に掲げる措置又はこれらと同等以上の効果を有する措置を行うための設備をいう。	a-1. 設置目的 a-2. 位置、構造、設備 a-3. 設計条件 a-3-1. 条件	①原子炉格納容器内の圧力及び温度を低下させるために格納容器圧力逃がし装置を設置する方針を確認。 →具体的な低下は、有効性評価で確認。 ① 設備範囲が特定された上で設備構成が妥当なものか。 ②設置場所、排気位置、原子炉建屋との接合関係を確認。 ③基本仕様(主配管、主要弁、フィルタ装置、圧力開放板、オリフィス、伸縮継手のスペック)の確認。 ①設計条件として、以下の項目が示されているか。 ☆フィルタベント装置のスペック ☆フィルタベント装置の最高使用温度 ・静的・動的負荷を踏まえたフィルタベントの最高使用圧力及び耐圧条件 ・設計条件がリスト化され、設定根拠の妥当が妥当か。特に、フィルタベントの最高使用温度及び圧力、設計流量、除去性能、除圧性能 ・フィルタ装置のエアロソル最大保持量 ・フィルタ装置の有機、無機ヨウ素最大保持量 ・熱負荷条件(設置区画のコンクリートの耐久性、局部的な温度上昇含む) ・機器クラス ・耐震クラス ☆格納容器側の条件 ・格納容器内の旁開気制御 ・格納容器内で発生する最大熱量及び水蒸気量 ・発生最大エアロソル量及びガス状物質の量 ・発生可燃性ガスの種類と最大量 ・発生化学種の種類	①本文 1 概要 ①本文 3.1 系統設計 ②本文 3.1 系統設計 本文 3.2 配管及び弁類 ③本文 3.2 機器設計 ① ☆フィルタベント装置のスペック ・本文 3.1 系統設計 【最高使用温度・圧力、耐圧設計方針、設計流量 熱負荷条件】 ・本文 3.2.1 フィルタ装置【除去性能】 ・別紙 24 フィルタ装置継続使用時の粒子状放射性物質除去に与える影響について【エアロソル保持量】 ・別紙 25 フィルタ装置継続使用時のガス状放射性元素除去に与える影響について【ヨウ素保持量】 ・別紙 7 フィルタベント設備の漏えいに対する考慮 【機器・耐震クラス】 ☆格納容器側の条件 ・別紙 1 フィルタベント設備の系統設計条件の考え方 方について【旁開気制御・熱量・水蒸気量】 ・別紙 24 フィルタ装置継続使用時の粒子状放射性物質除去に与える影響について【発生エアロソル量】 ・別紙 25 フィルタ装置継続使用時のガス状放射性元素除去に与える影響について【ガス状物質の量】 ・別紙 3 水素の滞留に対する設計上の考慮について【発生可燃性ガスの種類と最大量】 ・別紙 1 フィルタベント設備の系統設計条件の考え方 方について【発生化学種の種類】	

		<p>②各設計条件の設定根拠を確認し、妥当なものとなっているか。</p> <p>特に、以下を確認。</p> <p>②-1 フィルタベントの最高使用温度の設定の考え方の妥当性の確認。</p>	<p>②-1別紙1 フィルタベント設備の系統設計条件の考え方について</p>
		<p>②-2耐圧設計方針において、対象部位がリスト化され(配管、容器、内部構造物)、動的・静的の負荷が適切に考慮する方針(部品の固定を含む)としているか。(特に、低温のスクラビング水、低温の入口及び出口配管、ウォーターハンマーなどの蒸気緊縮の効果の考慮が妥当か。)また、フィルタベントを長期使用した場合の振動を考慮したスクラビングノズルの構造健全性を確認。</p> <p>②-3格納容器圧力逃がし装置の排出可能な蒸気量が重大事故等の発生時に格納容器内で発生する蒸気量よりも大きいことを確認。</p>	<p>②-2本文3.2 機器設計【耐圧対象部位】 別紙1 フィルタベント設備の系統設計条件の考え方について 【慎重の考慮】</p> <p>別紙24 フィルタ装置継続使用時の粒子状放射性物質除去に与える影響について 【スクラビングノズルの健全性】</p> <p>②-3別紙1 フィルタベント設備の系統設計条件の考え方について</p>
		<p>②-4ベント系の圧損</p> <p>格納容器圧力が最高使用圧力において要求流量以上確保できることを確認。</p> <p>②-5格納容器側の条件の不確かさを踏まえた最高使用温度及び圧力どなつているか。</p> <p>②-6熱が設置区画に移行する場合には、区画の温度制限、他の機器への悪影響を考慮しているか。</p>	<p>②-4別紙14 汎量制限オリフィスの設定方法について</p> <p>②-5本文3.1 系統設計 別紙1 フィルタベント設備の系統設計条件の考え方について</p> <p>②-6本文3.1 系統設計</p>
a-3-2. 材料 ・強度 ・耐食性		<p>①フィルタベントシステムが使用又は待機中の圧力、温度、荷重、放射線、腐食の条件に対して耐性のある材料を用いる設計とされているか。(特に、ヨウ素化合物による金属フィルタの腐食について検討しているか。)</p> <p>②既設とのとりあい部等に炭素鋼配管を使用する場合は、腐食等の影響の検討がなされ、適切に対応しているか。</p>	<p>①本文3.2 機器設計 別紙7 フィルタベント設備の漏えいに対する考慮 について 別紙10 材料選定の技術的根拠について</p> <p>②別紙7 フィルタベント設備の漏えいに対する考慮 について 別紙33 設備の維持管理についての補足事項</p>
a-3-3. 必要となる資機材		<p>①運転に必要となる動力源(電源、加圧空気)、水源、薬剤などが適切に準備されるか。</p>	<p>①本文3.3.4 补給設備 別紙9 スクラビング水の設定について 別紙21 フィルタベント設備の電源構成の考え方について</p>
a-4. 隔離弁等の信頼性 ・隔離弁としての信頼性 ・ペント弁としての信頼性		<p>①隔離弁として信頼性の高い構造であるか、多重化されていることを確認。</p> <p>②ペント弁として信頼性の高い構造、並列化。 ・開放手段をリスト化し、各自について信頼性を確認。 ・並列化(例:ウェットウェルラインとドライウェルライン、</p>	<p>①本文3.1 系統設計 別紙4 他系統との隔離について ②別紙17 フィルタベント設備の弁選定の考え方</p>

		各弁でバイパスラインを設ける)	
a-5. ベント手順 a-5-1. 手順着手の判断基準	①ベント手順着手の判断基準が適切に設定されているか。 以下の観点から確認を行なう。 ・利用可能なパラメータを使用しているか。 ・余裕時間を考慮して作業可能な時間に手順着手の判断が可能か。	①本文 5.1 フィルタベント設備の運用方法 5.1.1 ベント準備について 5.1.2 ベント実施について	
a-5-2. ベント実施の判断基準	②炉心損傷の判断根拠が妥当であるか。 ①ベント実施の判断の考え方方が適切に設定されているか。 特に、事象発生からの時間的な観点と、炉心損傷前か後かの観点。 ☆炉心損傷前の判断の妥当性。→（その後に炉心損傷にいたつてしまふ場合、再度隔壁弁を開められるか。） ☆炉心損傷後の判断の妥当性。	②別紙 28 炉心損傷判断について ①本文 5.1.2 ベント実施について ☆炉心損傷前ベント中に炉心損傷に至った場合のベント停止について 本文 5.1.3 ベント停止について ☆炉心損傷の判断の妥当性 別紙 28 炉心損傷判断について	
a-5-3. 操作手順 ・事前準備 ・ベント実施 ・ベント実施後	①ベント準備手順が妥当か。 ・ベント実施後の状況を考慮した整然供給設備の準備 ・スクラバ水供給準備 ・PHの確認 ・ベント使用時に他系統と隔壁する弁が確實に閉とする手順となっているか。 ②耐圧強化ベント、フィルタベント、代替フィルタベントの運用方法、優先順位が妥当か確認。また、耐圧強化ベントの位置付けが明確にされているか。 ③隔壁弁操作の順番が示され、その順番が妥当か。 ④隔壁弁の操作内容の確認。（調整開運又は全開。限界圧力までに実施される手順となっているか。） ⑤ベント停止までの流れが示され、それが妥当か。	①本文 5.1.1 ベント準備について 5.1.2 ベント実施について 別紙 4 他系統との隔離について ②本文 5.1.2 ベント実施について 別紙 4 他系統との隔離について ③本文 5.1.2 ベント実施について ④本文 5.1.2 ベント実施について ⑤本文 5.1.3 ベント停止について	
a-6. 操作性	①手順上必要な作業の妥当性が掲げられているか確認。主な作業（は次のとおり）。 ・可搬設備の移動（寄りつき） ・可搬設備の接続作業 ・現場で計器を確認する作業 ②隔壁弁の人力操作以外の作業（可搬設備の寄りつき、接続作業）のアクセス性、作業環境（温度、湿度、線量）が示されているか。	①本文 5.1.1 ベント準備について 5.1.4 付帯設備の運用 ②本文 5.1.1 ベント準備について 5.1.4 付帯設備の運用	

		<p>③②の作業環境を踏まえて給水操作、pH管理の作業性を確認。 及び予想される注水、補充等の作業に要する時間とペント操作への影響評価の確認。</p> <p>④中央制御室からの操作の妥当性を確認。</p>	<p>③本文 5.1.4 付帯設備の運用</p> <p>④本文 5.1.1 ベント準備について 5.1.2 ベント実施について</p>
a-7. 使用後の考慮事項		<p>①使用後のスクラバ水の S / Cへの移送方針を確認。 ②フィルタベントからの漏えい対策(排水水を含めて)が適切に検討されているか確認。また、フィルタベント設置の漏えい対策として配管接続部や弁などに用いられるガスケットについて材質などの選定の考え方を確認。</p>	<p>①本文 5.1.4 付帯設備の運用 別紙 32 フィルタベント設備 使用後の保管方法について ②別紙 7 フィルタベント設備の漏えいに対する考慮について</p>
a-8. 監視・計測		<p>③格納容器内に水が溜まっている状態において耐震上の考慮から格納容器内の水を抜く場合の排水口が設けられているかを確認。</p> <p>④窒素供給設備の使用のタイミング、使用期間の確認。</p>	<p>③サフレッシュ・ブルー水を陸運物処理建物に送るための手順を整備している。なお、事象以降後においては、耐震上の要求はないものと考えている。 ④別紙 3 水素の滞留に対する設計上の考慮について</p>
		<p>①監視項目毎の目的が挙げられ、以下の項目がリスト化されているか。 ☆フィルタ装置の性能を確認するための監視 ☆放出量の監視 ☆防爆のための監視 ・フィルタ装置水位、圧力、温度、スカラバ水の pH、保持された FP の確認のためのフィルタ装置の放射線量、通気されているかの確認のためのラブチャーデスク前後の圧力</p>	<p>①☆フィルタ装置の性能を確認するための監視 ☆放出量の監視 ☆防爆のための監視 ・別紙 19 フィルタベント設備の計装設備の考え方について 別紙 20 ベント実施時の放射線監視測定の考え方</p>
a-9. 保守管理		<p>・測定項目 ・測定位置 ・多重性、多様性 ・中保以外での監視 ・計装電源</p> <p>☆放出量の監視 ・装置下流側の放射線量、装置下流側の流量 ☆防爆のための監視 ・水素濃度</p> <p>②測定位置、計測範囲が妥当か。</p> <p>③監視計器について、多重性・多様性の観点が適切に検討されているか。</p> <p>④中央制御室以外での状態監視の考え方を確認。</p> <p>⑤計装設備の電源について、容量を踏まえ必要な期間にわたり別定が可能であることを確認。</p> <p>①点検及び試験方法（弁開閉試験、ドレンボンプ作動試験、漏えい試験）が妥当であることを確認。</p>	<p>②別紙 19 フィルタベント設備の計装設備の考え方について 別紙 20 ベント実施時の放射線監視測定の考え方について ③別紙 19 フィルタベント設備の計装設備の考え方について ④本文 3.3.1 計装設備 ⑤別紙 21 フィルタベント設備の電源構成の考え方について</p> <p>①本文 5.3 フィルタベント設備の維持管理 別紙 33 設備の維持管理についての備足事項</p>

			<p>②点検周期の考え方を確認。特にラブチャーディスクの交換頻度 が妥当か。</p>	<p>②本文 5.3 フィルタベント設備の維持管理 別紙 33 設備の維持管理についての補足事項</p> <p>③本文 5.3 フィルタベント設備の維持管理 別紙 33 設備の維持管理についての補足事項</p>
a-10. 海外の先進事例との比較			<p>③どの程度の寿命を想定しているか。(減内発生時の対処方針等)</p> <p>①海外のFCISと比べて、遜色ない設備となつていいか確認。(NEA レポート(例:フィルタベント装置上流側の逆止弁、バイパスラインのラブチャーディスク)、諸外国の規制基準との比較)</p> <p>①引用している文献が適切なものか。</p> <p>②性能検証等にかかる品質保証は確立されているか。</p>	<p>①別紙 17 フィルタベント設備の弁選定の考え方 ②別紙 22 性能検証試験の適用性について</p>
a-11. 引用文献、品質保証の妥当性			<p>①検討していくと、ヨウ素放出低減対策は、今回の審査範囲に含まれているか。</p> <p>②フィルタへの熱吸収(スクラバタイプの水への熱吸収など)やフィルタ容器、配管での熱損失などを考慮(メント時の水蒸気/非凝縮性ガス生成、出力、圧力レベルなどに依存)して、CV 減圧速度の評価が妥当か。</p> <p>→有効性評価、解析コードでの確認予定。</p>	<p>①本文 1 概要 ②有効性評価、解析コードで回答予定 ③別紙 14 流量制限オリフィスの設定方法について</p>
a-12. その他 ・ヨウ素対策の許認可上の位置付け ・CV 減圧速度 ・基数の違いによる考察 ・凝縮水の排水 ・間欠運転実施時の考慮事項			<p>③系統内にフィルタ容器が複数ある場合の考慮事項の確認。 ・スクラバ水のロットの均一性 ・水位(連結管) ・容器毎の非均一なエアロゾルの流入による影響(線量の偏り。)</p> <p>④管内の凝縮水の排水対策を確認。</p> <p>⑤間欠運転を実施する場合には、一般公衆被ばくの可能な限りの低減や再浮遊の観点などが考慮されているか。</p>	<p>④本文 3.3.5 排水設備 ⑤対象外(間欠運転は想定していない)</p>
b-1-1. 除去対象及び除去原理			<p>①除去対象種と形態を明確にしているか。</p> <p>②エアロゾル除去プロセスを複数のステージに分解し、それぞれについて物理メカニズムを考慮した除去原理となっているか。</p> <p>③②と同様にヨウ素の除去についても物理メカニズムを考慮した除去原理となつているか。</p>	<p>①別紙 15 フィルタ装置の各構成要素における機能について ②別紙 15 フィルタ装置の各構成要素における機能について ③別紙 15 フィルタ装置の各構成要素における機能について 別紙 23 JAVA PLUS 試験結果を踏まえた銀ゼオライトフィルタの設計</p>
b-1-2. 性能試験方法			<p>①除去性能試験の条件が妥当なものか。</p> <ul style="list-style-type: none"> <li>・蒸気条件</li> <li>・スクラバ水温、</li> <li>・金属フィルタ、ヨウ素フィルタについては、当該部位の温度。</li> </ul>	<p>①本文 4.2 運転範囲 本文 4.3.1 性能検証試験の概要 別紙 22 性能検証試験の適用性について</p>

		・ pH	②別紙 22 性能検証試験の適用性について
			<p>②試験用エアロソルの妥当性の確認。特に、実験に用いたエアロソル粒径について、不確かさを踏まえてエアロソルの粒径分布の妥当性を確認。また、ドライエバーベントを想定した粒径分布も確認。(エアロソル負荷量も同様に確認。)</p> <p>③粒径同じでも質量が違うと慣性衝突効果がDFに及ぼす影響についての考え方を確認。</p> <p>④試験における燃粒子の粒径測定等について確認。</p>
b-1-3. 性能試験結果 ・条件毎の除去効率 ・部位毎の除去効率 ・粒径分布による影響 ・運転範囲との関係の確認。	<p>①流量、蒸気割合、水位、水温、エアロソル粒子特性の閾数としてのエアロソル除去効率を示しているか。</p> <p>②フィルタベント装置の性能に關し、各部位毎の除去効率を確認。</p> <p>③エアロソル除去性能について、DFの粒径依存性(低粒径でDFが下がる)や粒径分布の影響も踏まえて、確実に目標DF値を確保できることを確認。</p> <p>④試験範囲と運転範囲が整合しているか確認。工学的な判断で運転範囲の妥当性を判断している場合、その根拠が示されているか確認。</p> <p>⑤間欠運転を行う場合には、浮遊/溶融エアロソルが除去効率に与える影響を検討し、妥当な対応をしているか。配管への付着または配管内の凝縮水の影響について検討し、妥当な対応をしているか。</p> <p>⑥ベント開始時に流入する酸性物質(塩酸、窒素酸化物、二酸化炭素)に対するpHへの影響。</p> <p>⑦海外における実験結果との比較を行っている場合、適切な比較となっているか確認。</p>	<p>①本文 4.3.2 粒子状放射性物質の除去性能検証試験結果及び評価</p> <p>別紙 15 フィルタ装置の各構成要素における機能について</p> <p>②別紙 15 フィルタ装置の各構成要素における機能について</p> <p>③別紙 22 性能検証試験の適用性について</p> <p>④別紙 22 性能検証試験の適用性について</p> <p>⑤対象外(間欠運転は想定していない)</p> <p>⑥別紙 9 スクラビング水の設定について</p> <p>⑦対象外(海外における実験結果との比較を行っていない)</p>	<p>③別紙 22 性能検証試験の適用性について</p> <p>別紙 22 性能検証試験の適用性について</p> <p>①実際の運用方法を考慮しても当該試験の結果が成立するかを確認。また、試験規範から実規模へスケールアップした際に想定される問題点及びその対策が整理されているか確認。</p> <p>②スクラバノズルからの吹き出しが隣接ノズルに影響を与えるいか確認。</p>
b-1-4. 試験のスケール性			

b-1-5. 待機中の除去性能維持 ・水位、pH	①スクラバ水のpH、水位の管理を確認。(薬液補給によるpH管 理値を設け、適切に管理可能か確認。) ②13ヶ月の待機状態を考えたスクラバ水質の経時変化を考慮 したフィルタベント装置の性能の維持の妥当性を確認。	①別紙9 スクラビング水の設定について ②本文5.3 フィルタベント設備の維持管理
b-1-6. 使用時の除去性能維持 ・水位、pH ・目詰まり、圧損	①不介在時間(例:24時間)についての考え方を確認。 ②使用時の凝縮、蒸発による水位変動を考慮したpH管理に対する考え方を確認。 ③スクラビング水の水位上昇に与える悪影響を適切に検討し、液滴セパレータ及び金属フィルタが水没しない設計となつているか。 ④フィルタの目詰まりの発生の可能性を検討し、適切な容量等を設定することを確認。(スクラバノズルや金属フィルタ表面積の妥当性も確認。)また、空中に漂った断熱材も考慮し、フィルタベント装置の入口及び出口の閉塞がないことが示されているか。さらに、保持されたエアロソルに埋もったスパイチャユニットの除去可能性について検討しているか。 ⑤液滴セパレータを用いる場合、いかなる流動条件においても、液滴セパレータの能力を超える液滴を発生しないことを確認。さらに、液滴セパレータの液滴除去性能を全運転条件範囲で示しているか確認。 ⑥金属フィルタでの温分による圧損への影響を検討し、問題がないことを確認。 ⑦銀ゼオライトを使用する場合、通常運転条件よりも、面速度がかなり高い熱流動条件を含めて、蒸気の凝縮、温分による吸収特性への影響を検討しているか。(銀ゼオライトを使用する場合、高温やウェット運転での不調がないことを確認。)	①本文2.2 機器設計 別紙9 スクラビング水の設定について ②別紙9 スクラビング水の設定について ③別紙9 スクラビング水の設定について ④別紙24 フィルタ装置継続使用時の粒子状放射性物質除去に与える影響について ⑤別紙24 フィルタ装置継続使用時の粒子状放射性物質除去に与える影響について ⑥別紙24 フィルタ装置継続使用時の粒子状放射性物質除去に与える影響について ⑦別紙23 JAVA PLUS 試験結果を踏まえた銀ゼオライトフィルタの設計
b-1-7. 長時間使用時の除去性能の維持 ・長期使用時の検討事項 ・前凍結の影響	①長時間使用し続けた場合のDFへの影響、耐久時間等のスペックについて確認。 ②フィルタベントを長期に使用する場合に検討すべき項目(例えば、スクラバ水の粘性のDFへの影響、水位変動によるpHへの影響等)について考慮されているか。	①別紙24 フィルタ装置継続使用時の粒子状放射性物質除去に与える影響について 別紙25 フィルタ装置継続使用時のガス状放射性 よう素除去に与える影響について ②別紙24 フィルタ装置継続使用時の粒子状放射性物質除去に与える影響について【粘性のDFへの影響】 別紙9 スクラビング水の設定について【水位変動に

		<p>③ペント燃焼時間を検討されているか。(フィルタベントの使用時間の想定も確認。)</p> <p>④銀ゼオライトを使用する場合、長期連続運転においても蒸気の凝縮・水分による吸収特性への影響を検討しているか。(銀ゼオライトを使用する場合、高溫やウェット運転での不調がないことを確認。)</p> <p>⑤FP 保持部での崩壊熱の温度上昇、局所的な温度上昇による影響が設備、除去性能に悪影響を及ぼさないことを検討しているか。本影響を検討する際に、格納容器圧力が急上昇、ペント流量が大幅に増加すること、水スクラバを想定し、感度解析を実施しているか。</p>	<p>③本文 5.1.4 付帯設備の運用 別紙 9 スクラビング水の設定について 別紙 24 フィルタ装置継続使用時の粒子状放射性物質除去に与える影響について ④別紙 23 JAVA PLUS 試験結果を踏まえた銀ゼオライトフィルタの設計</p> <p>⑤別紙 24 フィルタ装置継続使用時の粒子状放射性物質除去に与える影響について</p>
b-1-8. 使用後の保持性能の維持 ・再揮発、再浮遊		<p>①捕集若是くは吸着した FP の再揮発、再浮遊の可能性(移動特性)を検討し、それらの対応が適切になされているか。(特に、物理特性、化学特性に言及し、検討していることを確認。また、銀と化学的に結びついたヨウ素の水素による剥離効果、放射性ヨウ素と希ガスの局所 β 線照射による影響も考慮しているか。)</p>	<p>①別紙 24 フィルタ装置継続使用時の粒子状放射性物質除去に与える影響について ②別紙 25 フィルタ装置継続使用時のガス状放射性元素除去に与える影響について</p>
b-1-9. その他		<p>①エアロソルの非均一な沈着はないか。仮にあつた場合、どのように対応しているか。</p> <p>②装置内の化学反応について、発熱反応が吸熱反応かを示すとともに、装置の性能への影響について評価し、適切な対応がとられているか。また、反応生成物の影響の有無も確認する。</p> <p>③格納容器からの最大のエアロソル発生量 (MCCI) を考慮しても除去性能が維持されることを確認。</p> <p>④異なる圧力における流量、そして種々の気体組成に対して感度を評価しているか。</p> <p>⑤除去性能の結果を示す上で、ウェットウェルベン条件、ドライウェルベン条件、格納容器スプレイ条件(スプレイあり、なし、沈着率など含め。)を明確化しているか。</p>	<p>①別紙 24 フィルタ装置継続使用時の粒子状放射性物質除去に与える影響について ②別紙 26 フィルタ装置における化学反応熱及び化学反生成物の影響について ③別紙 24 フィルタ装置継続使用時の粒子状放射性物質除去に与える影響について ④別紙 22 性能検証試験の適用性について ⑤別紙 22 性能検証試験の適用性について</p>
ii ) 格納容器圧力逃がし装置は、可燃性ガスの爆発防止等の対策が講じられていること。	b-2-1. 防爆に対する基本方針	<p>①防爆に対する対象設備が明確に示され、それが妥当か。 ②対処すべき可燃性ガスを明確に示され、それが妥当か。</p>	<p>別紙 3 水素の滞留に対する設計上の考慮について</p>
b-2-2. 系統内の可燃性ガスの滞留防止 ・配管の設計 ・容器の設計		<p>①水素の滞留対策として、連続上り勾配にすることや、U字管などの滞留箇所がないことを確認。 ②フィルタベント装置、銀ゼオライト容器内の水素滞留がないことを確認。</p>	<p>①別紙 3 水素の滞留に対する設計上の考慮について ②別紙 3 水素の滞留に対する設計上の考慮について</p>

	・監視設備 ・窒素供給設備	<p>③ベンツシステム内に発火源（動的機器、静電気）のないこと、及び自己点火温度に到達するのを越えるなどシステムの点火源をできる限り減らす対策を検討し、対応しているか。</p> <p>④水素濃度計設置の目的を確認。</p> <p>⑤水素濃度計の原理及び誤差を確認し、水素濃度計設置の目的にあつてはいるか。</p> <p>⑥水素濃度測定位置は妥当か。</p> <p>⑦フィルタベント装置の交流電源を必要とする設備（水素濃度のサンプリングに用いる交流電源駆動のポンプ等）について交流電源喪失時の考え方を確認。</p> <p>⑧可燃性ガス制御のため、モニタリング装置は測定機能を果たし、信頼でき経験的に測定できるか。</p> <p>⑨計測の時間遅れを考慮しているか。</p> <p>⑩窒素ガス供給装置の供給原理、供給流量の妥当性を確認。</p>	<p>③別紙3 水素の滞留に対する設計上の考慮について</p> <p>④本文3.3.1 計装設備</p> <p>⑤別紙19 フィルタベント設備の計装設備の考え方について</p> <p>⑥別紙3 水素の滞留に対する設計上の考慮について</p> <p>⑦別紙3.3.2 電源設備</p> <p>別紙21 フィルタベント設備の電源構成の考え方について</p> <p>⑧別紙19 フィルタベント設備の計装設備の考え方</p> <p>⑨別紙19 フィルタベント設備の計装設備の考え方について</p> <p>⑩本文3.3.3 可搬式窒素供給装置</p> <p>別紙3 水素の滞留に対する設計上の考慮について</p>
b-2-3.	ベンツ使用前 ・窒素ページ ・計測	<p>①窒素ガスによる系統内の置換を行う手順となっているか。</p> <p>②ページ完了の判断基準の妥当性を確認。また、N2 置換が維持されるかどうかの妥当性を確認。</p>	<p>①別紙3 水素の滞留に対する設計上の考慮について</p> <p>②別紙19 フィルタベント設備の計装設備の考え方について</p>
b-2-4.	ベンツ使用初期 ・系統内の水蒸気凝縮 ・装置下流側の対向 流	<p>①配管内での水蒸気凝縮による水素濃度の上昇及び燃焼の可能性を適切に検討しているか。</p> <p>②放出端における水素対策を検討し、適切に対応しているか。（もし juga; における 1F 事故後の水素対策及び一般化学プラントを参考。）（圧力開放板が開放されたときの過渡的な状態でも問題ないか。ベンツ初期の濃度の高い水素を排出する際に排気側の対向流に対する考え方が妥当か。）</p>	<p>別紙3 水素の滞留に対する設計上の考慮について</p>
b-2-5.	ベンツ使用長期及 び使用後	<p>①放射線分解で発生する水素濃度等を定量的に示しているか。</p> <p>②①の発生量で水素濃度が燃焼領域に至らないことを確認。</p> <p>③窒素ガスによる水素バージの方法とタイミングの妥当性を確認。また、ベンツ装置停止時の隔離弁の操作が水素滞留を起こさないように順番での操作となっていることを確認。</p> <p>④窒素ガスによるバージ操作完了の判断基準を確認。</p>	<p>別紙3 水素の滞留に対する設計上の考慮について</p>
b-3-1.	他への悪影響の確認 (SGS、耐圧強化ベンツ)	<p>①SGS、耐圧強化ベンツラインを含めた全体系図を示し、フィルタベントの系統と他の系統が分離され、意図しないところに放射性物質が回り込まないことを確認。特に、FCVS からの隔離弁が 2 弁用意されていることを確認。</p>	<p>①本文3.1 系統設計</p> <p>別紙4 他系統との隔離について</p>
b-3-2.	格納容器圧力逃がし装置の配置等は、他の系統・機器（例えば SGTS）や他号機の格納容器圧力逃がし装置等と共に用いないこと。ただし、他		

への悪影響がない場合を除く。		②耐圧強化メントライン等への水素のリークの検知性やAO弁、 MO弁の開閉の考え方を確認。
iv) また、格納容器圧力逃がし装置の使用に対しては、必要に応じて、原子炉格納容器の負圧破損を防止する設備を整備すること。	b-4-1. 負圧破損防止の確認	<p>①使用に際して原子炉格納容器が負圧に至ることはないか確認。 →有効性評価、格納容器破損防止で確認</p> <p>②炉心損傷後のベントでは、ベント後大量の冷たい水が格納容器内の圧力容器貫通後の溶融物へ注入されると格納容器内が負圧になる可能性がある。そのような負圧破損防止のための、スプレイの禁止が手順に明確化されているか。</p>
v) 格納容器圧力逃がし装置の隔離弁は、人力により容易かつ確実に開閉操作ができるること。	b-5-1. 対象弁 環境	<p>①人力操作が必要な对象弁として、フィルタベントシステムの全ての弁が対象となっているか確認。</p> <p>①人力でベントする場合のアクセス性、作業環境（温度、湿度、線量）を確認し、人力での操作が成立するか確認。（間欠運転を行うことを考えている場合、そのときの成立性も同様に確認。）</p>
b-5-2. アクセス性及び作業環境	b-5-3. 人力操作の妥当性	<p>①トルクは弁前後の差压を考慮する等、実際の現場操作に即した条件での評価を行っているか確認。</p> <p>③余裕時間を考慮した作業開始時間と作業時間になつているか確認。</p>
vi) 炉心の著しい損傷時ににおいても、現場において、人力で格納容器圧力逃がし装置の隔離弁の操作ができるよう遮蔽又は離隔等の放射線防護対策がなされていること。	b-6-1. 放射線防護対策	<p>①隔離弁操作に対する遮蔽又は隔離等の放射線防護対策の詳細を確認。</p>
vii) ラブチャーティスクを使用する場合は、バイパス弁を併置すること。ただし、格納容器圧力逃がし装置の使用の妨げにならないよう十分に低い圧力に設定されたラブチャーティスク（原子炉格納容器の隔壁機能を目的としたもの）を使用しているか確認。	b-6-2. 線量評価	<p>①隔離弁操作場所の線量評価方法の妥当性を確認。</p> <p>②力操作が可能な線量範囲となつているか確認。</p>
	b-7-1. ラブチャーティスクの設定圧の確認	<p>①格納容器圧力逃がし装置の使用の妨げにならないよう、十分に低い圧力に設定されたラブチャーティスク（原子炉格納容器の隔壁機能を目的としたもの）を使用しているか確認。</p>
		<p>②ラブチャーティスクの信頼性を確認。</p> <p>③ベント配管内の結露水等の凍結によるラブチャーティスクへの影響を確認。</p>
		<p>②別紙18圧力開放板の信頼性について</p> <p>③別紙18圧力開放板の信頼性について</p>

viii) 格納容器圧力逃がし装置は、長期的にも溶融炉心及び水没の悪影響を受けない場所に接続されること。	b-8-1. ベントラインの取り出し位置及び水没評価	①ドライウェルベントラインの取り出し位置が炉心を水没させる位置よりも上に設置されているか。 ②ウェットウェルベントラインの水没評価について、減圧時のブル水の体積膨張を考慮しているか。	①別紙 2 格納容器からの取り出し位置について ②別紙 30 ベントタイミングに係る外部水源からの総注水量について
	ix) 使用後に高線量となるフィルタ一等からの被ばくを低減するための遮蔽等の放射線防護対策がなされていること。	①被ばくを低減すべき目標値が妥当か。 ②使用後のフィルタ及び配管の遮蔽等の放射線防護対策の詳細を確認。 ③フィルタ装置内のFP量、配管のFP量の妥当性を確認。 ④スクラバ水の漏えいによる放射線防護対策が講じられていることを確認。 ⑤フィルタベントの格納槽の壁の貫通口も妥当な設計となつているか確認。	①別紙 31 弁の現場操作地點等における被ばく評価について ②別紙 31 弁の現場操作地點等における被ばく評価について ③別紙 31 弁の現場操作地點等における被ばく評価について ④対象外(フィルタ装置は地下格納槽に設置しているため) ⑤本文 3.2 配管及び弁類
b-9-1. フィルタ装置の放射線防護対策	・線量低減目標 ・線量低減対策	① フィルタ装置遮蔽壁周辺の線量評価方法の妥当性を確認。 ②低減すべき目標値に照らして被ばく結果が妥当であるか。	①別紙 31 弁の現場操作地點等における被ばく評価について ②別紙 31 弁の現場操作地點等における被ばく評価について
b-9-2. 線量評価		① フィルタ装置遮蔽壁周辺の線量評価方法の妥当性を確認。 ②低減すべき目標値に照らして被ばく結果が妥当であるか。	①別紙 31 弁の現場操作地點等における被ばく評価について ②別紙 31 弁の現場操作地點等における被ばく評価について
審査会における主要な論点	一般公衆被ばくを低減対策	①一般公衆の被ばくをできる限り低減する方策がとられていることを確認。特に、水で除去が困難なガス状放射性物質の低減対策について検討の上、説明されているか。(放出高さ及び水で除去が困難なガス状放射性物質の低減対策について検討がなされているか。)(排気筒ではなく原子炉建屋から放出を行う場合、その理由について、定量的に確認。)	①本文 5.2 フィルタベント設備の運用に係る考慮事項 ②別紙 5 放出位置、放出時間の違いによる被ばくへの影響について
外的事故に対する耐性	一般公衆被ばくを低減対策	①収納建屋等の外部事象に対する耐性を確認。(原子炉建屋外に施設するフィルタベントについて、自然現象・航空機衝突といった外部事象に対し原子炉建屋内に施設することと同等以上の耐性を有するか。)特に、ドライウェル側からベントする場合に、フィルタ装置と同等と言えるか。	①別紙 8 フィルタベント設備の外部事象に対する考慮について ②別紙 5 放出位置、放出時間の違いによる被ばくへの影響について
事故後の周辺作業の成立性		①事故後の周辺作業環境等復旧作業を制約する要因がないことを確認。	①別紙 31 弁の現場操作地點等における被ばく評価について
(最終ヒートシンクへ熱を輸送するための設備)	第48条(最終ヒートシンクへ熱を輸送するための設備)	①有効性評価における敷地境界での線量評価方法及び結果が妥当なものか確認。(ソースターム、評価日数等)特に、フィルタベント時の被ばく評価について、放出条件を総合的に検討しているか。	①別紙 5 放出位置、放出時間の違いによる被ばくへの影響について
第四十八条 発電用原子炉施設には、設計基準事故対応設備が有する最終ヒートシンクへ熱を輸送するためには、以下に掲げる措置又はこれらと同等以上の効果を有する措置を行うための設備	1 第48条に規定する「最終ヒートシンクへ熱を輸送するための設備」	②炉心損傷前にフィルタベント、または耐圧強化ベントを使用した場合の線量評価も確認。	②別紙 5 放出位置、放出時間の違いによる被ばくへの影響について

<p>において炉心の著しい損傷及び原子炉格納容器の破損（炉心の著しい損傷が発生する前に生ずるものに限る。）を防止するため、最終ヒートシンクへ熱を輸送するために必要な设备を設けなければならない。</p>	<p>をいう。      a) 炉心の著しい損傷等を防止するため、重大事故防止設備を整備すること。      b) 重大事故防止設備は、設計基準事故対処設備に対して、多重性又は多様性及び独立性を有し、位置的分散を図ること。      c) 取水機能の喪失により最終ヒートシンクが喪失することを想定した上で、BWRにおいては、サブレーションプールへの熱の蓄積により、原子炉冷却機能が確保できる一定の期間内に、十分な余裕を持つて所内車載代替の最終ヒートシンクシステム(UHSS)の繋ぎ込み及び最終的な熱の逃がし場への熱の輸送ができる。加えて、残留熱除去系(RHR)の使用が不可能な場合について考慮すること。      d) 格納容器圧力逃がし装置を整備する場合は、本規程第50条1b)に準ずること。また、その使用に際しては、敷地境界での線量評価を行うこと。</p>	<p>（重大事故等対処設備） 第4.3条（重大事故等対処設備）      第四十三条 重大事故等対処設備は、次に掲げるものでなければならない。      一 想定される重大事故等が発生した場合における温度、放射線、荷重その他の使用条件において、重大事故等に対処するためには、計画された対策が想定するもの。( )、想定する格納容器破損モード、使用済燃料貯蔵槽内における想定事故及び想定する運転停止中事故シーケンスグループをいう。</p> <p>（重大事故等対処設備） 第4.3条（重大事故等対処設備）      第4-1-1. 環境条件      1 第1項から第3項までに規定する「想定される重大事故等」とは、本規程第3.7条において想定する事故シーケンスグループ(炉心の著しい損傷後の原子炉格納容器の機能に期待できるものにあつては、計画された対策が想定するもの。)、想定する格納容器破損モード、使用済燃料貯蔵槽内における想定事故及び想定する運転停止中事故シーケンスグループをいう。</p>
--	--	---

二 想定される重大事故等が発生した場合において離実に操作できるものであること。	43-1-2. 操作性	①a-6 の操作性及び人力操作の妥当性の項目で確認。	—
三 健全性及び能力を確認するため、発電用原子炉の運転中又は停止中の試験又は検査ができるものであること。	2 第1項第3号の適用に当たつては、第12条第4項の解釈に準ずるものとする。	43-1-3. 試験又は検査	①a-9 の項目で確認。
四 本来の用途以外の用途として重大事故等に対処するために使用する設備にあっては、通常時に使用する系統から速やかに切り替える機能を備えるものであること。	43-1-4. 切り替え性	①系統内の取り合い箇所がペント使用時のラインナップ可能な設計となっていることを確認。(例えば、常時閉及び電源喪失時にはフェイルクローズとなるなど。)	①本文6.1.5 第43条 重大事故等対処設備別紙4 他系統との隔離について
五 工場等内の他の設備に対して悪影響を及ぼさないものであること。	3 第1項第5号に規定する「他の設備」とは、設計基準対象施設だけではなく、当該重大事故等対処設備以外の重大事故等対処設備も含む。	43-1-5. 悪影響防止	①b-3-1 の項目で確認。
六 想定される重大事故等が発生した場合において重大事故等対処設備の操作及び復旧作業を行うことができるよう、放射線量が高くなるおそれが少ない設置場所の選定、設置場所への遮蔽物の設置その他の適切な措置を講じたものであること。	43-1-6-1. 使用時の操作性	①a-6 の操作性及び人力操作の妥当性の項目で確認。	—
2 重大事故等対処設備のうち常設のもの（重大事故等対処設備のうち可搬型のもの（以下「可搬型重大事故等対処設備」という。）と接觸するものにあつては、当該可搬型	43-2-1. 容量の妥当性	①a-3 の設計条件の妥当性で確認。	—

重大事故等対処設備と接続するために必要な発電用原子炉施設内の常設の配管、弁、ケーブルその他の機器を含む。以下「常設重大事故等対処設備」という。)は、前項に定めるもののほか、次に掲げるものでなければならない。 一 想定される重大事故等の収束に必要な容量を有するものであること。		①本文 6.1.5 第 43 条 重大事故等対処設備	
二 二以上の発電用原子炉施設において共用するものでないこと。ただし、二以上の発電用原子炉施設と共用することによつて当該二以上の発電用原子炉施設の安全性が向上する場合であつて、同一の工場等内の他の発電用原子炉施設に対して悪影響を及ぼさない場合は、この限りでない。	43-2-2. 共用の禁止	①号機毎に設置されることを確認。	
三 常設重大事故防止設備は、共通要因によつて規定する「適切な措置を講じたもの」とは、可能な限り多様性を考慮したものをいう。	4 第 2 項第 3 号及び第 3 項第 7 号 43-2-3. DB 設備との同時の機能喪失	①本文 6.1.5 第 43 条 重大事故等対処設備別紙 8 フィルタベント設備の外部事象に対する考慮について ①D 日 設備との同時の機能喪失にいたる可能性のある共通要因が網羅的に挙げられ、それらに對して妥当な設計となつてゐるか。	

## セシウムの放出割合の評価方法

## 1. セシウムの放出割合

## (1) CsI の形態で存在しているセシウム

全よう素が CsI の形態で存在するものとして整理する。CsI の形態で存在しているセシウムの重量は以下のとおりとなる。

CsI の初期重量[kg]

$$\begin{aligned} &= \text{よう素元素初期重量}[kg] + \text{CsI 初期重量中のセシウム重量}[kg] \\ &= MI + MI/WI \times WCs \end{aligned}$$

CsI 初期重量中のセシウム重量[kg] =  $MI/WI \times WCs$

ここで、

MI : よう素元素初期重量[kg]

WI : よう素原子量[-]

WCs : セシウム原子量[-]

## (2) CsOH の形態で存在しているセシウム

全セシウムが CsI と CsOH の形態で存在するものとして整理する。CsOH の形態で存在しているセシウムの重量は以下のとおりとなる。

CsOH 初期重量中のセシウム重量[kg]

$$\begin{aligned} &= MCs - CsI \text{ 初期重量中のセシウム重量}[kg] \\ &= MCs - MI/WI \times WCs \end{aligned}$$

ここで、

MCs : セシウム元素初期重量[kg]

## (3) セシウムの放出量

MAAP 解析により CsI と CsOH の原子炉格納容器外への放出割合を評価

セシウムの放出重量[kg] =  $MI/WI \times WCs \times X + (MCs - MI/WI \times WCs) \times Y$

X : CsI 放出割合 (MAAP 解析により得られる)

Y : CsOH 放出割合 (MAAP 解析により得られる)

(4) セシウムの放出割合

1. (3)で得られたセシウムの放出量から、セシウムの放出割合を評価

$$\text{セシウムの放出割合} = \text{セシウムの放出量} / \text{セシウム元素初期重量}$$

$$= MI / WI \times WCs / MCs \times X + (1 - MI / WI \times WCs / MCs) \times Y$$

$$= Y + MI / MCs \times WCs / WI (X - Y)$$

## 高温使用時におけるフランジ漏えい評価について

格納容器フィルタベント系の使用状態において、最高使用圧力に対するフランジ部の強度評価については、「発電用原子力設備規格設計・建設規格(2005年度版)」の「PPD-3414 フランジ」において既に評価済みである。

本資料においては、高温・高圧環境下(200°C, 0.853MPa)にて配管と配管をつなぐフランジ間からの漏えい評価について示す。

「高圧ガス設備等耐震設計指針(2012)」を用いて配管内圧及びフランジに接続する配管から受ける反力を考慮してフランジボルト締付圧力が十分に必要な面圧を満足していることを評価する。なお、フランジに接続する配管からの反力については、自重、地震荷重、配管の熱膨張が同時に負荷されたものとし、フランジの片当たりの原因となるモーメント及び両側からの引張力について考慮するものとする。(図1)

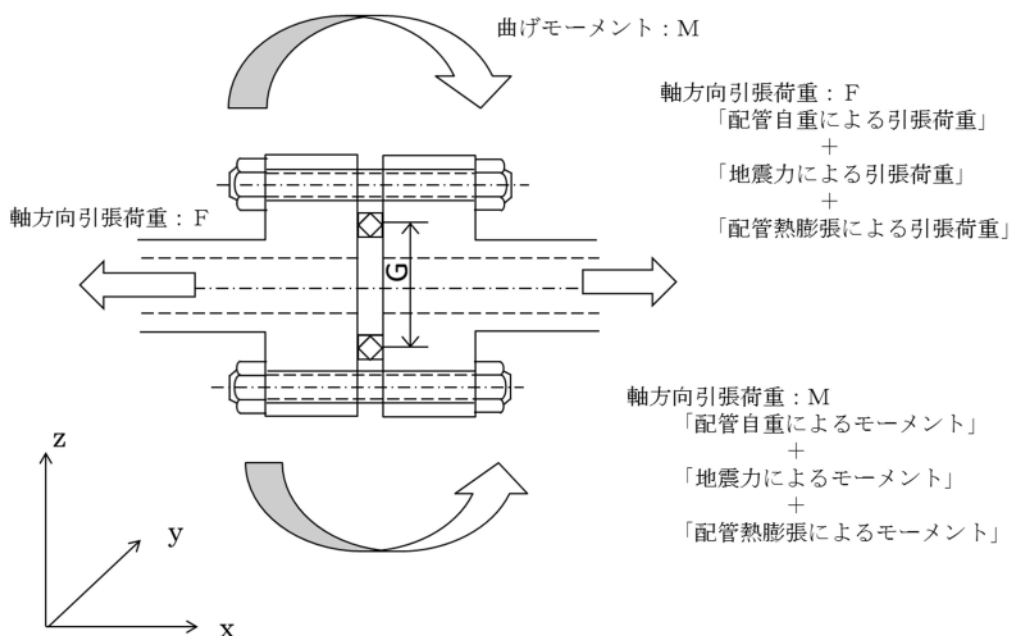


図1 フランジにかかる配管荷重

「高圧ガス設備等耐震設計指針（2012） レベル2耐震性能評価 解説編）に基づき、フランジ漏えい評価を実施した。以下に評価式を示す。

$$\sigma = mp + \alpha P_e \leq \sigma_a \quad \dots \quad (1)$$

$\sigma$  : ガスケット開口圧力 [MPa]

$m$  : ガスケット係数 [-]

$p$  : 内圧 [MPa]

$\alpha$  : 等価内圧に対する漏えい影響度補正係数で、0.75m[-]

$\sigma_a$  : ボルトの初期締付け力によるガスケット面圧 [MPa]

$P_e$  : 地震力等に係る軸方向引張力  $F$  及び曲げモーメント  $M$  に対する等価内圧であり、以下の式で算出する。

$$P_e = \frac{4F}{\pi G^2} + \frac{16M}{\pi G^3} \quad \dots \quad (2)$$

$G$  : ガスケット接触面の平均直径 [mm]

$F$  : 軸引張力 [N]

$M$  : 曲げモーメント [N・mm]

ここで、軸引張力  $F$  は配管応力解析における配管軸方向の引張荷重  $F_x$  であり、曲げモーメント  $M$  は同様に配管応力解析における配管軸直角2方向のモーメント  $M_y$  及び  $M_z$  の二乗和平方根で算出する。

なお、フランジの熱膨張係数がボルトよりも大きいため、フランジーボルト間の熱膨張差によりガスケットの面圧が増加するが、安全側に働くため本評価においては考慮しない。

今回、格納容器フィルタベント系の配管応力解析モデルにて、自重、地震荷重、最高使用温度(200°C)における配管熱膨張が作用した場合の各節点におけるxyz各成分の反力とモーメントを算出し、各節点の反力とモーメントの中から、成分毎の最大値をそれぞれ抽出した。

この抽出された成分毎の反力とモーメントの最大値がフランジに作用し、さらに内圧として最高使用圧力(0.853MPa)が印加されているという非常に保守的な条件にて、上記(1)式に基づきフランジ漏えい評価を実施した。

評価の結果、(1)式の判定条件を満足することを確認した(表1参照)。よって、格納容器フィルタベント系使用時の高温状態においても、配管フランジからの漏えいは発生しない。

表1 フランジ漏えい評価結果

項目	内容
評価結果	漏えいなし
評価基準	漏えいなし
評価方法	漏えいなし
評価者	漏えいなし
評価日付	漏えいなし

本資料のうち、枠囲みの内容は機密に係る事項のため公開できません。

## 格納容器雰囲気温度によるベントの運用について

### (1) 格納容器雰囲気温度の監視について

格納容器雰囲気温度計は、ドライウェルに31点、サプレッション・チェンバーに6点の計37点を設置しており、各所に分散して配置することにより格納容器全体の雰囲気温度を監視することができる。このうち、重大事故等発生時における監視を確実なものとするため、重大事故等発生時の格納容器内の環境条件においても計測可能な温度計を、ドライウェルに7点、サプレッション・チェンバーに2点に分散し、格納容器内の雰囲気温度を一様に計測することとしている。

重大事故等発生時の格納容器内の環境条件においても計測可能な温度計の計測点を第1図に示す。

### (2) 局所的な温度上昇

格納容器雰囲気温度が局所的に大きく上昇する要因としては、原子炉圧力容器が高圧状態で破損する際に溶融炉心が飛散し、格納容器内に溶融炉心が付着することなどが考えられるが、原子炉圧力容器破損前に原子炉圧力容器を減圧することにより、このような状況に至る可能性を低減する。また、原子炉圧力容器が破損した場合には、溶融炉心がペデスタル部に落下するが、ペデスタル（ドライウェル部）はドライウェル床面より掘り下げられた構造となっているため、溶融炉心はペデスタル（ドライウェル部）に保持され、ドライウェル床面に流出することはない。さらに、格納容器スプレイ実施時には格納容器雰囲気が冷却されること及び格納容器への注水等による溶融炉心の冷却に伴い発生する蒸気により格納容器内では自然対流が起きていることを踏まえると、溶融炉心からの輻射熱等により格納容器雰囲気温度が局所的に大きく上昇する可能性は低い。また、格納容器圧力限界圧力を下回る最高使用圧力の2倍（853kPa [gage]）到達までにベントを実施することとしているが、853kPa [gage]に対する飽和温度が約178°Cであることを踏まえると、過温破損に至ることはないと考えられる。

なお、格納容器圧力が計測できない場合は、「別紙39. 格納容器内の圧力が計測できない場合の運用について」に記載のとおり、格納容器雰囲気温度によりベントを判断することとしている。

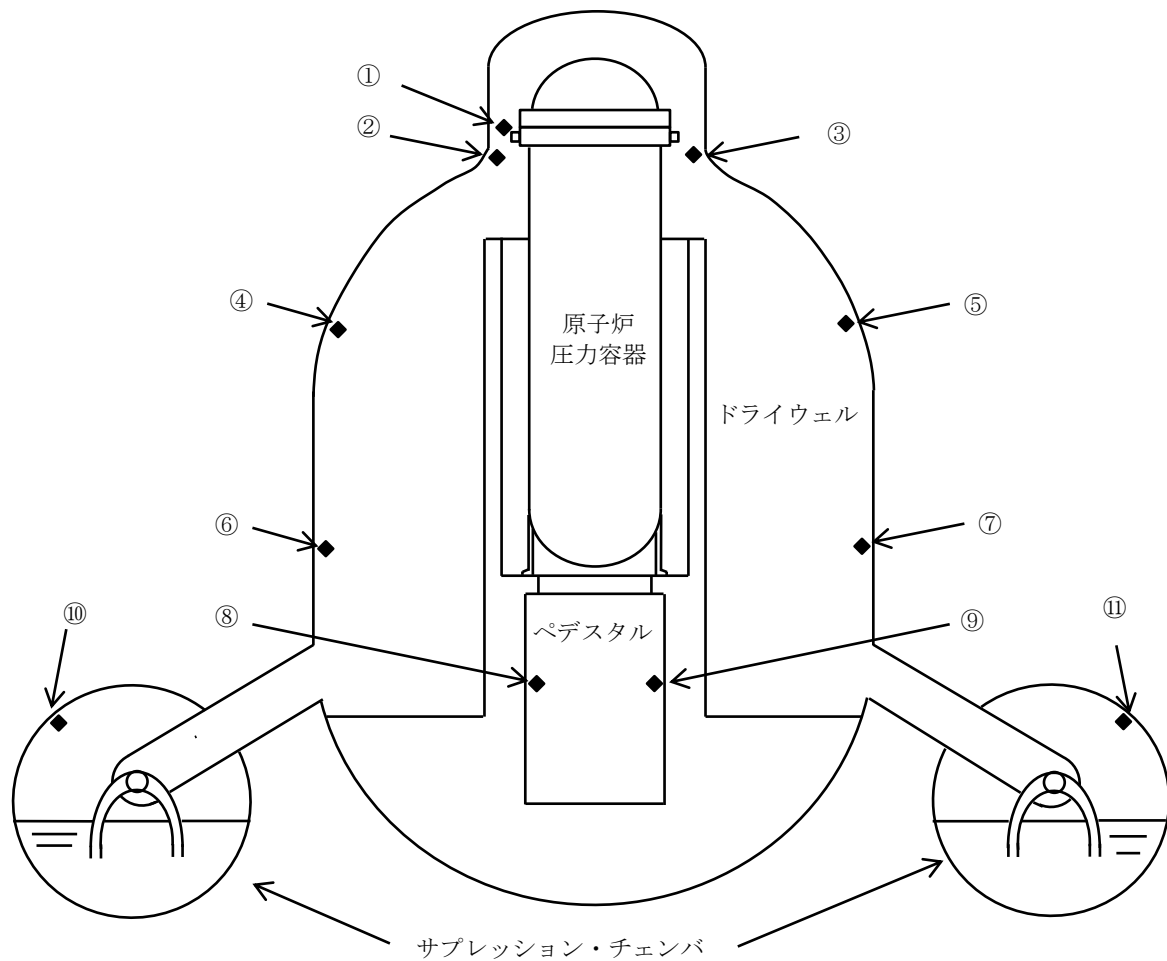
### (3) 格納容器破損のおそれがある場合の影響緩和のためのベント実施について

炉心部の燃料、ペデスタル（ドライウェル部）に落下した燃料デブリ及び格納容器内を冷却するため、格納容器への注水等に期待するが、十分な注水等ができない場合には、格納容器雰囲気が過熱状態になり、格納容器雰囲気温度が格納容器圧力に対する飽和温度以上になるとともに、溶融炉心からの輻射熱等により格納容器雰囲気温度が局所的に大きく上昇し、格納容器が過

温破損に至るおそれがある。このように、重大事故等対処設備が健全に機能せず、格納容器の健全性が脅かされる可能性が高い状況では、格納容器フィルタベント系からのベントを実施し、フィルタ装置を介した放射性物質の放出経路を形成することで、格納容器の過温破損時に大気へ放出される放射性物質の総量を低減させる運用とする。

ベントの実施は過圧破損防止の観点では有効な手段であるが、格納容器雰囲気の過熱状態による温度上昇に対しては一定の抑制効果はあるものの過温破損そのものを防止できる手段ではない。したがって、格納容器温度上昇に対するベントにおいて、過温破損の観点では可能な限り格納容器内に存在する希ガスの減衰に期待するため、格納容器の限界温度に到達するおそれのある「格納容器温度 200°C以上において温度上昇が継続している場合」をベント実施判断基準として設定した。格納容器温度の上昇継続を判断基準として設定した理由は、200°C以上にて温度上昇が継続する場合には、格納容器過温破損に至る可能性があり、事前に環境緩和のための格納容器ベントを実施するためである。

なお、格納容器が過温破損するような状況では、格納容器温度が全体的に上昇することが考えられること及び計器故障等による誤ベントを防止する観点から、第1図に示すドライウェルに設置した温度計の指示値のうち2点が200°C以上にて温度上昇が継続する場合において、格納容器フィルタベント系からのベントを実施することとする。



番号	名称	設置場所	測定範囲
①, ②, ③	ドライウェル温度 (S A)	法兰ジ高さ近傍	0~300°C
④, ⑤	ドライウェル温度 (S A)	T A F 高さ近傍	0~300°C
⑥, ⑦	ドライウェル温度 (S A)	R P V 底面高さ近傍	0~300°C
⑧, ⑨	ペデスタル温度 (S A)	ペデスタル上部	0~300°C
⑩, ⑪	サプレッション・チェンバ 温度 (S A)	サプレッション・チェンバ 頂部近傍	0~200°C

図1 格納容器雰囲気温度計の計測点

### ベント実施時の影響を踏まえた接続口の優先順位について

ベント実施後は、ベントガスに含まれる放射性物質が格納容器フィルタベント系出口配管に付着するため、出口配管立ち上がり部周辺での作業及び移動に影響が出る可能性がある。

このため、格納容器フィルタベント系出口配管立ち上がり部周辺の線量評価を実施するとともに、評価結果を踏まえた優先順位の考え方を以下に示す。

#### 1. 格納容器フィルタベント系出口配管立ち上がり部周辺での作業について

R/B 南側に設置してある格納容器フィルタベント系出口配管立ち上がり部周辺で、ベント実施後に想定される作業を考慮した可搬型設備の配置図を図 1 に示す。



図 1 ベント実施後に想定される可搬型設備の配置について

#### 2. 格納容器フィルタベント系出口配管立ち上がり部周辺の被ばく評価について

R/B 南側の格納容器フィルタベント系出口配管立ち上がり部周辺で、ベント実施直後に実施する作業は無いが、出口配管立ち上がり部から 10m 地点 (R/B 南側接続口付近)において事故後約 43 時間(ベント後 10 時間)及び事故後 7 日時点、出口配管立ち上がり部から 1 m 地点において事故後 7 日、30 日、60 日後の線量率を評価した。なお、作業エリアの比較のため、R/B 西側接続口付近についても評価した。線源には有効性評価（格納容器過圧・過温破損）の「冷却材喪失（大破断 L O C A）+ E C C S 注水機能喪失+全交流動力電源喪失」シナリオにおけるW/Wベント使用時の放出量を用いている。

表 1 に示す評価結果のとおり、短時間のアクセス等は可能な線量率であると考えられる。

本資料のうち、枠囲みの内容は機密に係る事項のため公開できません。

表1 格納容器フィルタベント系出口配管立ち上がり部周辺の線量評価結果

評価場所	事故後時間	線量率 (mSv/h) (*1 (うち、配管寄与分))
評価点 A (格納容器フィルタベント系出口配管立ち上がり部 (雨水排水ライン) ) から 10m 地点 (R/B 南側接続口付近)	約 43 時間 (ベント後 10 時間)	約 13 (約 2.5)
	7 日 (168 時間)	約 5.0 (約 0.8)
評価点 A (格納容器フィルタベント系出口配管立ち上がり部 (雨水排水ライン) ) から 1m 地点	7 日 (168 時間)	約 85 (約 81)
	30 日	約 9.2 (約 5.1)
	60 日	約 6.2 (約 2.1)
評価点 B (R/B 西側接続口付近)	約 43 時間 (ベント後 10 時間)	約 9.0 (約一) *2
	7 日 (168 時間)	約 3.7 (約一) *2

\*1 R/B からの直接線・スカイシャイン線、クラウドシャイン、グランドシャイン、吸入摂取 (PF50 全面マスク着用) に加えて、W/W ベントに伴い格納容器フィルタベント系出口配管立ち上がり部に浮遊する放射性物質及び雨水排水ライン配管に蓄積する放射性物質 (格納容器フィルタベント系出口配管立ち上がり部に付着する放射性物質が全て地上近くの雨水排水ライン配管に移動するものと想定) を考慮して評価している。格納容器フィルタベント系出口配管立ち上がり部に付着する放射性物質量は、配管を流れる放射性物質 (希ガスを除く) が、配管長 100mあたり 10%の割合で付着するものとした。

\*2 格納容器フィルタベント系出口配管を直視できない場所のため、配管による線量はない。

### 3. 可搬型設備を使用した接続口の優先順位について

表1の線量評価結果から、R/B 南側接続口付近の線量率に対して格納容器フィルタベント系出口配管の影響はあるが、R/B 南側のアクセスルートの通行及び南側接続口エリアでの作業は可能である。また、R/B 西側接続口エリアでの作業も可能であることから、接続口の優先順位については作業員被ばくを考慮せず、以下に示す考え方をもとに設定している。なお、可搬型設備の設置については、ベント実施前に完了している。

#### ①大量送水車：原子炉注水流量が多い配管を優先して使用する。

- (1) 南側接続口 (残留熱除去系 (A) 注入配管)
- (2) 西側接続口 (残留熱除去系 (B) 注入配管)

#### ②原子炉補機代替冷却系 (移動式代替熱交換設備)

：運転員の系統構成 (屋内) における操作対象弁が少ないものを優先して使用する。

- (1) 南側接続口 (原子炉補機冷却系 (B 系 : 2 弁) )
- (2) 西側接続口 (原子炉補機冷却系 (A 系 : 4 弁) )

その他、R/B 南側においては、長期的な対応として可搬式窒素供給装置による FCVS ラインへの窒素ページのための可搬型設備の起動操作等の作業が考えられるが、R/B 南側接続口エリアでの作業と同様、可搬型設備の設置エリアでの作業は可能である。

## (参考1) 蒸気凝縮によるドレンについて

格納容器フィルタベント系を使用した際には、ベント開始直後から系統内で蒸気凝縮によるドレンが発生するが、ベントガス流量が約 [ ] 以上であればベントガスがドレンを随伴し排出するため、ベント後はフィルタ装置下流で発生するドレンについては出口配管の放出端より排出されるが、ベントガス流量が少なくなるとドレンは排出できなくなり、出口配管立ち上がり部の雨水排水ラインにドレンが溜まることとなる。

雨水排水ラインが満水となった場合、溢れたドレンは格納容器フィルタベント系配管を通って銀ゼオライト容器まで戻る構成としており（図1参照），その後、銀ゼオライトフィルタ出口側のドレンラインからスクラバ容器連結管（液相部）に流入する（図2，3参照）。また、銀ゼオライトフィルタのドレンラインには逆止弁を設置していることから、スクラバ容器連結管からスクラバ容器の金属フィルタ及び銀ゼオライトフィルタを通らずにベントガスが流出することがない構成としている（図3参照）。

なお、格納容器フィルタベント系配管は、フィルタ装置下流は放出端に向かって連続上り勾配としていることからドレンが配管の途中で溜まることはない。

また、「2. 格納容器フィルタベント系出口配管立ち上がり部周辺の被ばく評価について」表1の線量評価結果から、線量率のうち出口配管寄与分は短半減期核種が支配的であり、60日後には線量率が減衰するため、基本的に雨水排水ラインのドレンについては処理する必要はないが、事故収束後に雨水排水ラインのフランジに可搬ホースを接続し、ドレンをスクラバ容器等に移送することで処理可能である。



図1 格納容器フィルタベント系立ち上がり部（雨水排水ライン）

本資料のうち、枠囲みの内容は機密に係る事項のため公開できません。

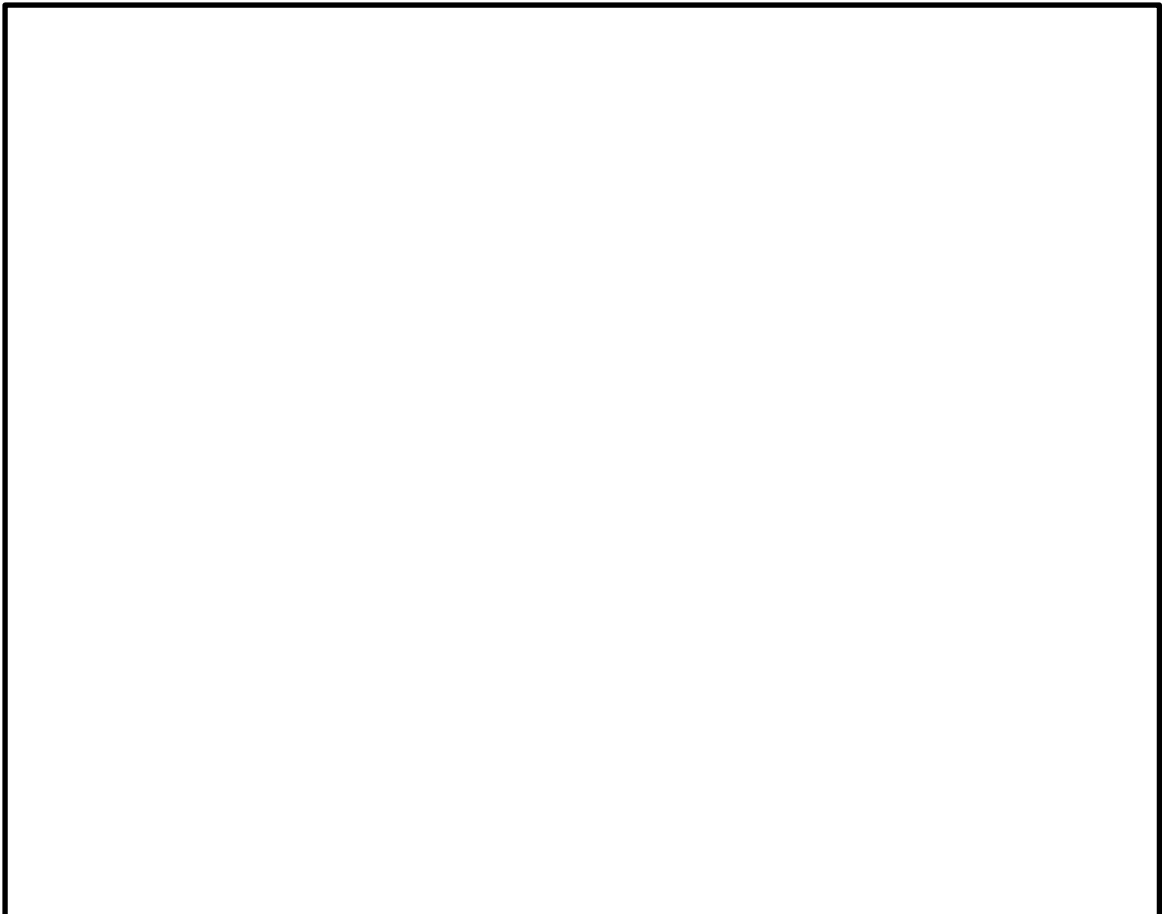


図2 銀ゼオライト容器内のドレンの流れ



図3 銀ゼオライト容器からスクラバ容器間のドレンライン

本資料のうち、枠囲みの内容は機密に係る事項のため公開できません。

<銀ゼオライト容器からスクラバ容器へのドレンの排出について>

ベント後にはスクラバ容器と銀ゼオライト容器には圧力差が生じるため、銀ゼオライトフィルタ出口側ドレンラインにおいて、以下の水位が形成される。

$$H = h_1 + h_2 + h_3 \cdots \text{ (式1)}$$

H：銀ゼオライトフィルタ出口側ドレンラインに形成される水位

$h_1$ ：スクラバ容器のスクラビング水位

$h_2$ ：スクラバ容器と銀ゼオライト容器の圧力差に相当する水位

$h_3$ ：ドレンラインで発生する圧力損失に相当する水位

格納容器破損防止対策の有効性評価のうち、「雰囲気圧力・温度による静的負荷（格納容器過圧・過温破損）（残留熱代替除去系を使用しない場合）」において、ベントガスによりドレンを出口配管の放出端から排出できなくなる時点の圧力差で水位を評価した結果、図4に示すとおり、ドレンラインに形成される水位は、最大でも銀ゼオライトフィルタ下端以下となる。

ドレン発生量は少ないため、ドレンラインで発生する圧力損失はほぼゼロであり、式1に示す $h_3$ に相当する水位は無視できるため、 $h_1$ 及び $h_2$ に相当する水位までドレンが溜まれば、ドレンはスクラバ容器に排出される。



図4 銀ゼオライトフィルタドレンラインに形成される水位の評価結果

本資料のうち、枠囲みの内容は機密に係る事項のため公開できません。

## (参考2) ドレン排出可能なベントガス流速について

島根2号機の格納容器フィルタベント系出口配管で発生するドレンをベントガスによって排出できるかどうかは、以下の考え方に基づいて判断することができる。

### 1. 出口配管からドレン排出可能なベントガス流速について

垂直管内で上向きにガスが流れる場合に、ガスに随伴してドレンが排出される現象については、配管口径が小さい場合には気相流速 ( $j_G$ ) に依存するが、配管口径が約 [ ] 以上の領域では Ku 値 (Kutateladze 数[-]) に依存し、[ ] となる（参考図書1）。

ここで、Ku 値は以下の式で表される。

$$Ku = \frac{\rho_G^{0.5} \cdot j_G}{(g \cdot \sigma(\rho_L - \rho_G))^{0.25}}$$

$\rho_G$  : 気相密度 ( $0.598[\text{kg}/\text{m}^3]$ )<sup>※1</sup>

$\rho_L$  : 液相密度 ( $958.1[\text{kg}/\text{m}^3]$ )<sup>※1</sup>

$g$  : 重力加速度 ( $9.80665[\text{m}/\text{s}^2]$ )

$j_G$  : 気相流速 [ $\text{m}/\text{s}$ ]

$\sigma$  : 表面張力 ( $0.0589[\text{N}/\text{m}]$ )<sup>※1</sup>

※1 : 括弧内は大気圧のときの値を表す。

島根2号炉の格納容器フィルタベント系出口配管（立ち上がり部）は300Aの配管であるため、ベントガス流速が [ ] を満足する [ ] より大きい場合に、出口配管内のドレンがベントガスに随伴されて排出されることとなる。

### 2. ベントガスによって凝縮水を排出できなくなるタイミングについて

ベントガス流速は以下の式で表される。

$$v = W_{\text{vent}} / (\rho \times A)$$

$v$  : ベントガス流速 [ $\text{m}/\text{s}$ ]

$W_{\text{vent}}$  : ベントガス流量 [ $\text{kg}/\text{s}$ ]

$\rho$  : ベントガス密度 [ $\text{kg}/\text{m}^3$ ]

$A$  : 配管断面積 [ $\text{m}^2$ ]

島根2号炉の格納容器フィルタベント系出口配管におけるベントガス流速とベントガス流量の関係を図1に示す。図1より、ベントガス流速 [ ] に対応するベントガス流量は約 [ ] となる。

本資料のうち、枠囲みの内容は機密に係る事項のため公開できません。

格納容器破損防止対策の有効性評価のうち、「雰囲気圧力・温度による静的負荷（格納容器過圧・過温破損）（残留熱代替除去系を使用しない場合）」のベントガス流量の水位を図2に示す。図2より、島根2号炉のベントガス流量が□となる時点は事故後約97時間となるため、ベントガスによってドレンを排出できなくなるのは事故後約97時間後と評価できる。



図1 出口配管におけるベントガス流速および質量流量の関係

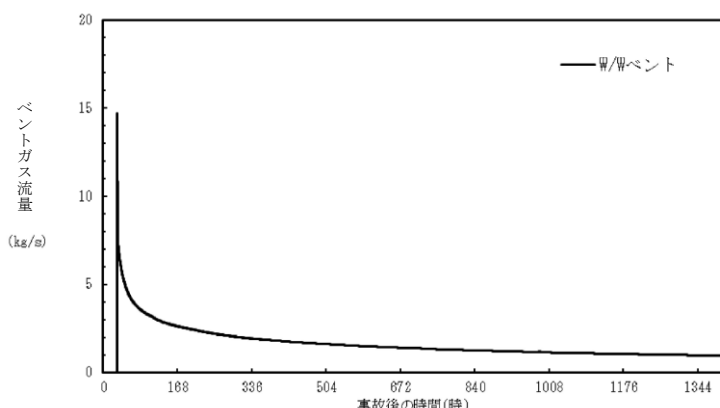


図2 「雰囲気圧力・温度による静的負荷（格納容器過圧・過温破損）（残留熱代替除去系を使用しない場合）」におけるベントガス流量の推移

#### 《参考図書》

1. Richter H. J, Flooding in tubes and annuli, Int. J. Multiphase flow, 7, 647-658 (1981)

本資料のうち、枠囲みの内容は機密に係る事項のため公開できません。

## 別添資料－2

残留熱代替除去系を用いた代替循環冷却  
の成立性について

## <目次>

1. 残留熱代替除去系の構成	1
1.1 設置目的	1
1.2 設備構成の概略	2
1.3 系統設計仕様	4
1.3.1 機械設備	4
1.3.2 計測制御設備	5
1.3.3 電源設備	24
2. 残留熱代替除去系の成立性確認	28
2.1 有効性評価シナリオの成立性	28
2.1.1 残留熱代替除去系の運用について	28
2.1.2 残留熱代替除去系の有効性について	28
2.2 残留熱代替除去系の操作性	29
2.2.1 残留熱代替除去系運転のために必要な系統・機器とアクセス性	29
2.2.2 操作の概要について	36
2.3 系統運転時の監視項目	43
2.3.1 水素ガス及び酸素ガス発生時の対応について	43
3. 本系統の運用にあたって考慮すべき項目	49
3.1 放射線による影響について	49
3.2 系統の健全性について	50

### 別紙

1. 格納容器水素濃度・酸素濃度の測定原理と適用性について
2. 循環流量の確保について
3. 長期的に維持される格納容器の状態(温度・圧力)での適切な地震力に対する格納容器の頑健性の確保の考え方について
4. 系統のバウンダリに対する影響評価について
5. 系統が高線量となった場合の影響について

### 参考

- 重大事故等時の長期安定冷却手段について

## 1. 残留熱代替除去系の構成

### 1.1 設置目的

残留熱代替除去系は、「実用発電用原子炉及びその附属施設の位置、構造及び設備の基準に関する規則の解釈」の第50条（原子炉格納容器の過圧破損を防止するための設備）のうち、原子炉格納容器内の圧力及び温度を低下させるために必要な設備であり、格納容器ベントを実施する場合においても、ベント時間を遅延させることが可能な設備である。

重大事故等時においては、サプレッション・チェンバを水源とした残留熱除去系が使用できない状況も想定されるが、格納容器フィルタベント系を使用する場合は、外部水源による原子炉注水及び格納容器スプレイを継続し、ベントラインの水没を防止するため、サプレッション・プール通常水位+約1.3m到達により、格納容器スプレイを停止し、格納容器ベント操作を実施することにより、ファード・アンド・ブリード冷却を継続することとなる。

上記に対し、残留熱代替除去系を使用する場合、残留熱代替除去系の原子炉格納容器除熱機能により、格納容器圧力の上昇を抑制でき、かつ、サプレッション・チェンバを水源とすることにより、水位上昇を抑制できることから、原子炉格納容器の過圧破損を防止することができ、また、有効性評価の範囲においてはベント回避が可能となる。残留熱代替除去系による原子炉格納容器除熱を継続中において、水の放射線分解によって発生する水素ガス及び酸素ガスの濃度が上昇し、原子炉格納容器内の酸素ガス濃度がドライ条件において4.4vol%及びウェット基準において1.5vol%に到達した場合には、原子炉格納容器内の水素燃焼を防止する観点から格納容器ベントを実施するが、残留熱代替除去系を使用しない場合と比較し、大幅にベント時間を遅延させることができる。

## 1.2 設備構成の概略

残留熱代替除去系の系統概要は以下のとおりである。

- ・本系統は、サプレッショ・・・・ンバを水源とし、残留熱代替除去ポンプによる原子炉及び格納容器の循環冷却を行うことができる系統である。
- ・系統水は、サプレッショ・・・・ンバから、残留熱除去系の配管を通り、残留熱代替除去ポンプに供給される。残留熱代替除去ポンプにより昇圧された系統水は、残留熱除去系熱交換器及び残留熱除去系配管を通り、原子炉圧力容器への注水及び格納容器スプレイに使用される。また、原子炉圧力容器への注水ができず、原子炉圧力容器の破損を判断した場合は、格納容器スプレイ及び格納容器スプレイによる格納下部の溶融炉心の冷却を行うことも可能とする。
- ・原子炉圧力容器及び格納容器内に注水された系統水は、原子炉本体や格納容器内配管の破断口等から、ベント管を経てサプレッショ・・・・ンバに流出することにより、循環冷却ラインを形成する。
- ・なお、重大事故等時における想定として、非常用炉心冷却系等の設計基準事故対処設備に属する動的機器は、機能を喪失していることが前提条件となっていることから、本系統は、全交流動力電源が喪失した場合でも、代替交流電源設備からの給電が可能な設計とする。
- ・前述のとおり、本系統はサプレッショ・・・・ンバを水源として、原子炉圧力容器への注水及び格納容器スプレイとして使用する系統であるが、重大事故等時におけるサプレッショ・・・・ンバのプール水の温度は100 °Cを超える状況が想定され、高温水を用いて原子炉圧力容器又は原子炉格納容器へ注水を行った場合、格納容器に対して更なる過圧の要因となりえる。

このため、残留熱代替除去系の使用においては、原子炉補機代替冷却系からの冷却水の供給により、残留熱除去系熱交換器を介した冷却機能を確保する。

残留熱代替除去系の機能を確保する際に使用する系統からの核分裂生成物の放出を防止するため、残留熱代替除去系による循環ラインは閉ループにて構成する。

なお、残留熱代替除去ポンプの有効吸込水頭確保の観点から、残留熱代替除去ポンプ設置場所に近いB-残留熱除去系に接続する設計とする。

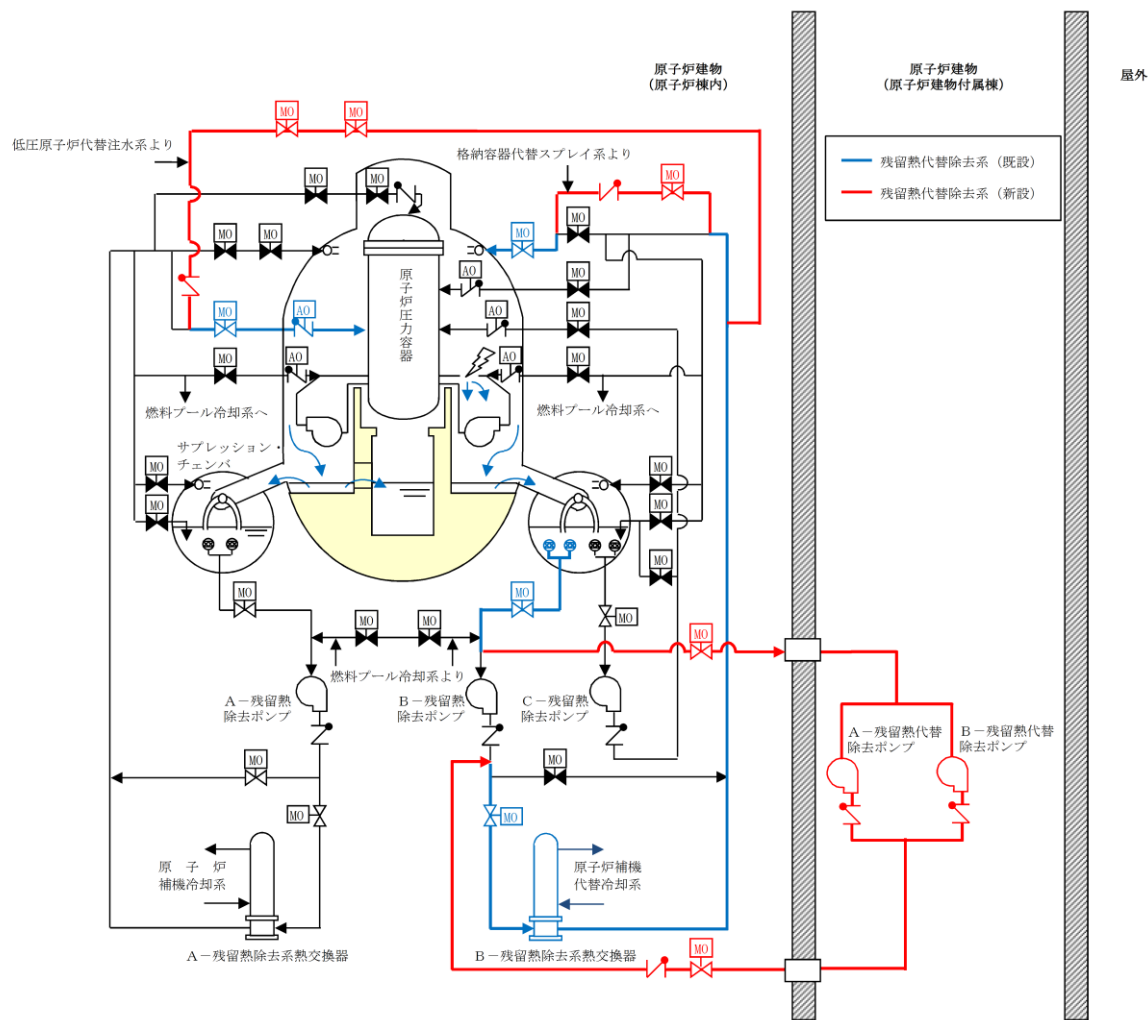


図 1.2-1 残留熱代替除去系の設備概要※

※上図は原子炉冷却材喪失事故（L O C A）を想定しているため原子炉圧力容器へ注水した水は破断口から溢れ出しサプレッション・チェンバに流入する。L O C A以外の場合は逃がし安全弁の排気管を通してサプレッション・チェンバに流入することになる。

## 1.3 系統設計仕様

### 1.3.1 機械設備

残留熱代替除去系について、格納容器過圧・過温破損を防止するとともに、格納容器ベントを実施することなく、格納容器からの除熱を行うことができるよう設計する。

#### <設計条件>

当該系統起動後、原子炉格納容器限界温度・圧力 (200°C・0.853MPa) を超えないようサプレッション・チェンバを水源とし、原子炉への注水及び格納容器スプレイができること。

#### <主要仕様>

主要仕様は、以下に示すとおりである。

##### 残留熱代替除去系

系統流量 : 150m<sup>3</sup>/h

(原子炉注水流量:30m<sup>3</sup>/h、格納容器スプレイ流量:120m<sup>3</sup>/h)

水源 : サプレッション・チェンバ

除熱手段 : 原子炉補機代替冷却系

### 1.3.2 計測制御設備

残留熱代替除去系について、使用時の状態を監視するため、流量計、温度計、水位計及び圧力計を設置する（図1.3.2-1参照）。これらの監視パラメータは、中央制御室及び緊急時対策所で監視可能な設計としている。

#### ①設計方針

残留熱代替除去系により有効に除熱できていることを確認するため、原子炉格納容器の熱バランスを把握できる監視設備を設置する。残留熱代替除去系運転時の原子炉格納容器の熱バランスは、原子炉格納容器内部の温度と、残留熱代替除去系統により除熱される量を確認することで把握が可能である。よって、サプレッション・プール水温度及び水位、原子炉格納容器内の温度及び圧力並びに除熱量を確認するための残留熱代替除去系の系統流量（原子炉圧力容器への注水量及び原子炉格納容器へのスプレイ流量）、残留熱除去系出口温度を監視できる設計とする。

また、原子炉格納容器へのスプレイによる格納容器下部への注水を確認するための残留熱代替除去系の系統流量（原子炉格納容器への注水流）を監視できる設計とする。

以上より、下記で示す①～⑥の計器を設置する。

- ・系統流量：①残留熱代替除去系原子炉注水流  
②残留熱代替除去系格納容器スプレイ流量
  - ・残留熱除去系熱交換器入口温度：③サプレッション・プール水温度（S A）
  - ・残留熱除去系熱交換器出口温度：④残留熱除去系熱交換器出口温度
  - ・原子炉格納容器内の温度：⑤ドライウェル温度（S A）
  - ・原子炉格納容器内の圧力：⑥ドライウェル圧力（S A）  
⑦サプレッション・チェンバ圧力（S A）
  - ・残留熱代替除去系の水源：⑧サプレッション・プール水位（S A）
- また、残留熱代替除去ポンプの運転状態を監視するため、下記で示す①の計器を設置する。
- ・残留熱代替除去ポンプの運転状態：⑨残留熱代替除去ポンプ出口圧力

なお、上記に加え、残留熱除去系熱交換器二次側の温度、流量等を原子炉補機代替冷却系側で確認することにより、システム全体の熱バランスを把握することが可能である。

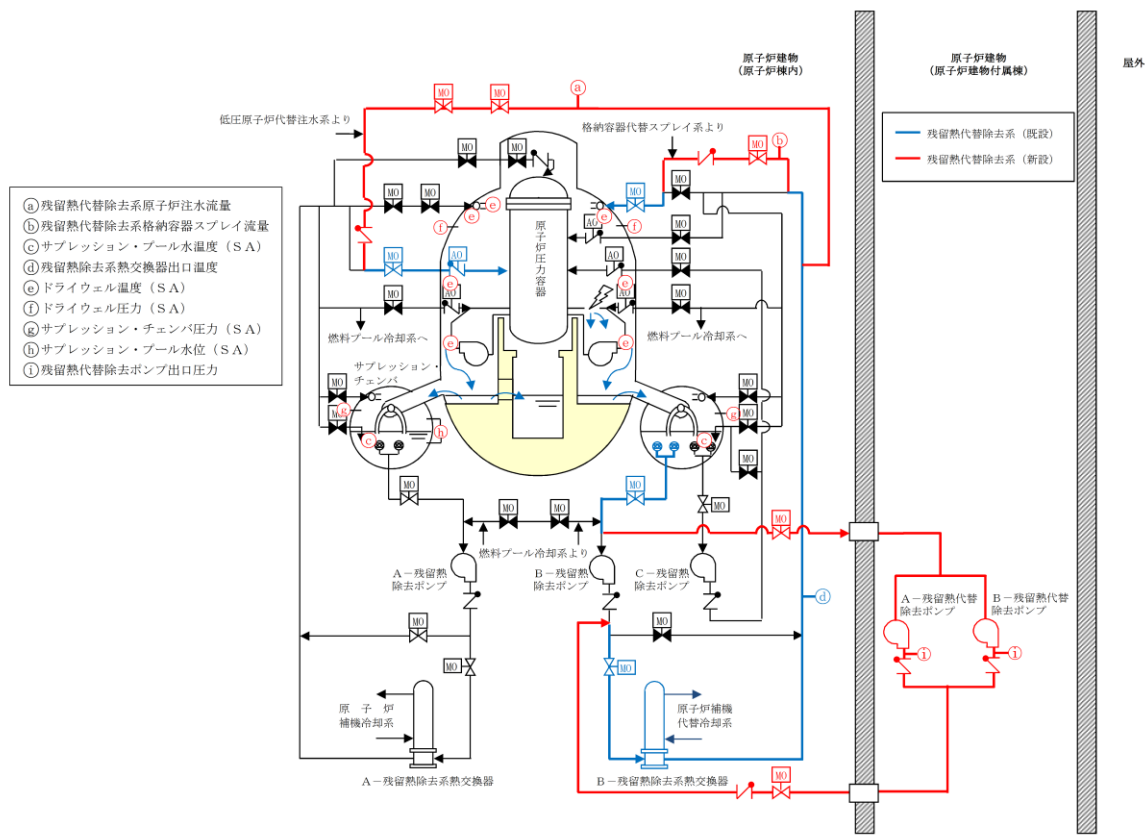


図 1.3.2-1 残留熱代替除去系使用時の概略図

## ②計測設備の仕様について

### a. 機器仕様

計測設備の主要仕様を表 1.3.2-1 に示す。

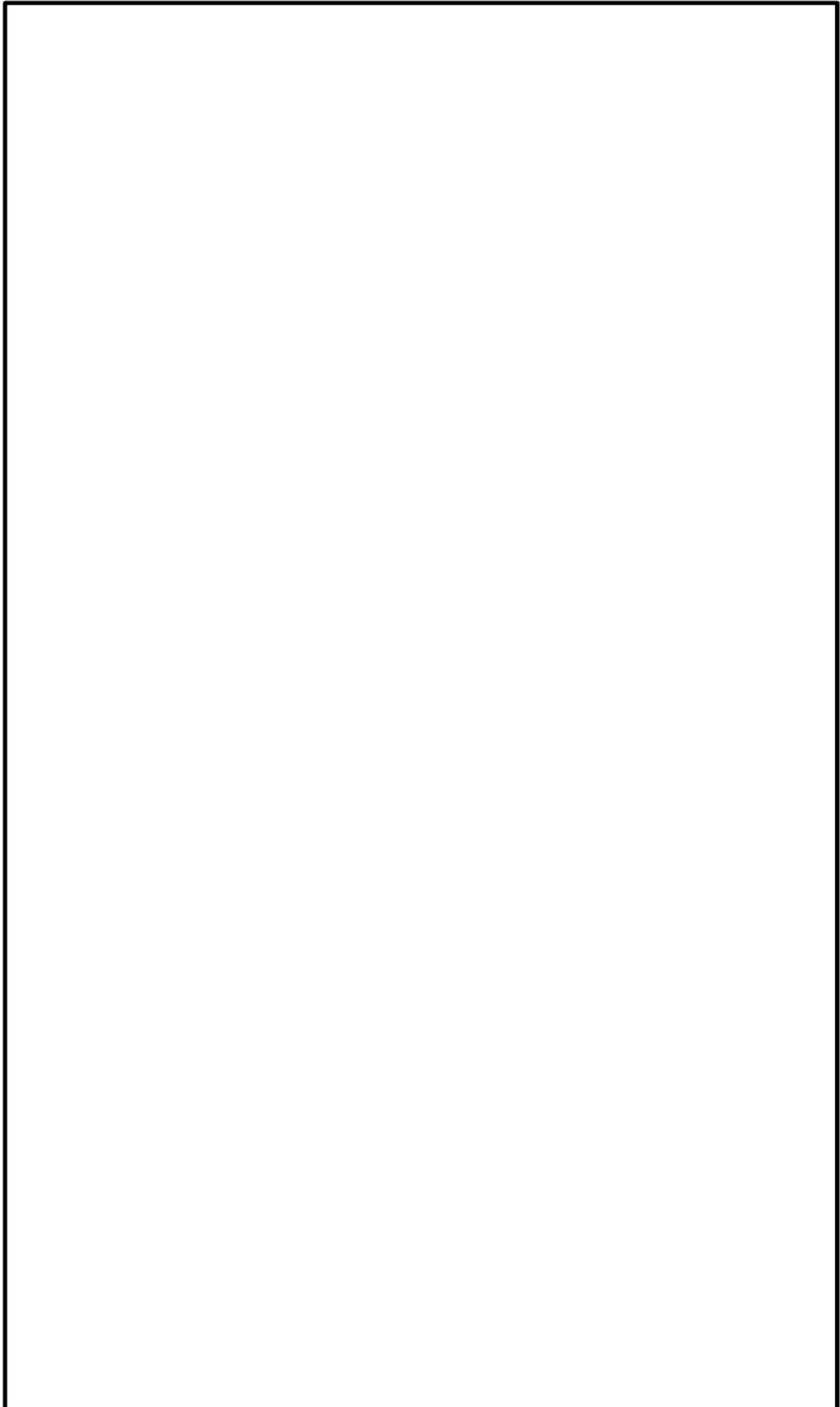
表 1.3.2-1 残留熱代替除去系運転に必要な計測設備の主要仕様

監視計器		計測範囲	計測範囲の根拠	個数	監視場所
Ⓐ	残留熱代替除去系原子炉注水流量 <sup>*1</sup>	0～50m <sup>3</sup> /h	残留熱代替除去系原子炉注水の最大注水量 (30 m <sup>3</sup> /h) を監視可能。	1	中央制御室 (緊急時対策所)
Ⓑ	残留熱代替除去系格納容器スプレイ流量 <sup>*1</sup>	0～150m <sup>3</sup> /h	残留熱代替除去系格納容器スプレイの最大注水量 (120m <sup>3</sup> /h) を監視可能。	1	中央制御室 (緊急時対策所)
Ⓒ	サプレッション・プール水温度 (S A) <sup>*1</sup>	0～200°C	原子炉格納容器の限界圧力 (2 Pd : 853kPa [gage]) におけるサプレッション・プール水の飽和温度 (約 178°C) を監視可能。	2	中央制御室 (緊急時対策所)
Ⓓ	残留熱除去系熱交換器出口温度	0～200°C	残留熱代替除去系の運転時における、残留熱除去系熱交換器出口温度の最高使用温度 (185°C) を監視可能。	1	中央制御室 (緊急時対策所)
Ⓔ	ドライウェル温度 (S A) <sup>*1</sup>	0～300°C	原子炉格納容器の限界温度 (200°C) を監視可能。	7	中央制御室 (緊急時対策所)
Ⓕ	ドライウェル圧力 (S A) <sup>*1</sup>	0～1000kPa (abs)	原子炉格納容器の限界圧力 (2Pd : 853kPa [gage]) を監視可能。	2	中央制御室 (緊急時対策所)
Ⓖ	サプレッション・チャンバ圧力 (S A) <sup>*1</sup>	0～1000kPa (abs)	原子炉格納容器の限界圧力 (2Pd : 853kPa [gage]) を監視可能。	2	中央制御室 (緊急時対策所)
Ⓗ	サプレッション・プール水位 (S A) <sup>*1</sup>	-0.80～5.50m <sup>*2</sup>	ウェットウェルベント操作可否判断を把握できる範囲を監視可能。	1	中央制御室 (緊急時対策所)
Ⓘ	残留熱代替除去ポンプ出口圧力 <sup>*1</sup>	0～3 MPa [gage]	重大事故等時における、残留熱代替除去系ポンプの最高使用圧力 (2.5MPa [gage]) を監視可能。	2	中央制御室 (緊急時対策所)

\*1:新規設置する監視計器

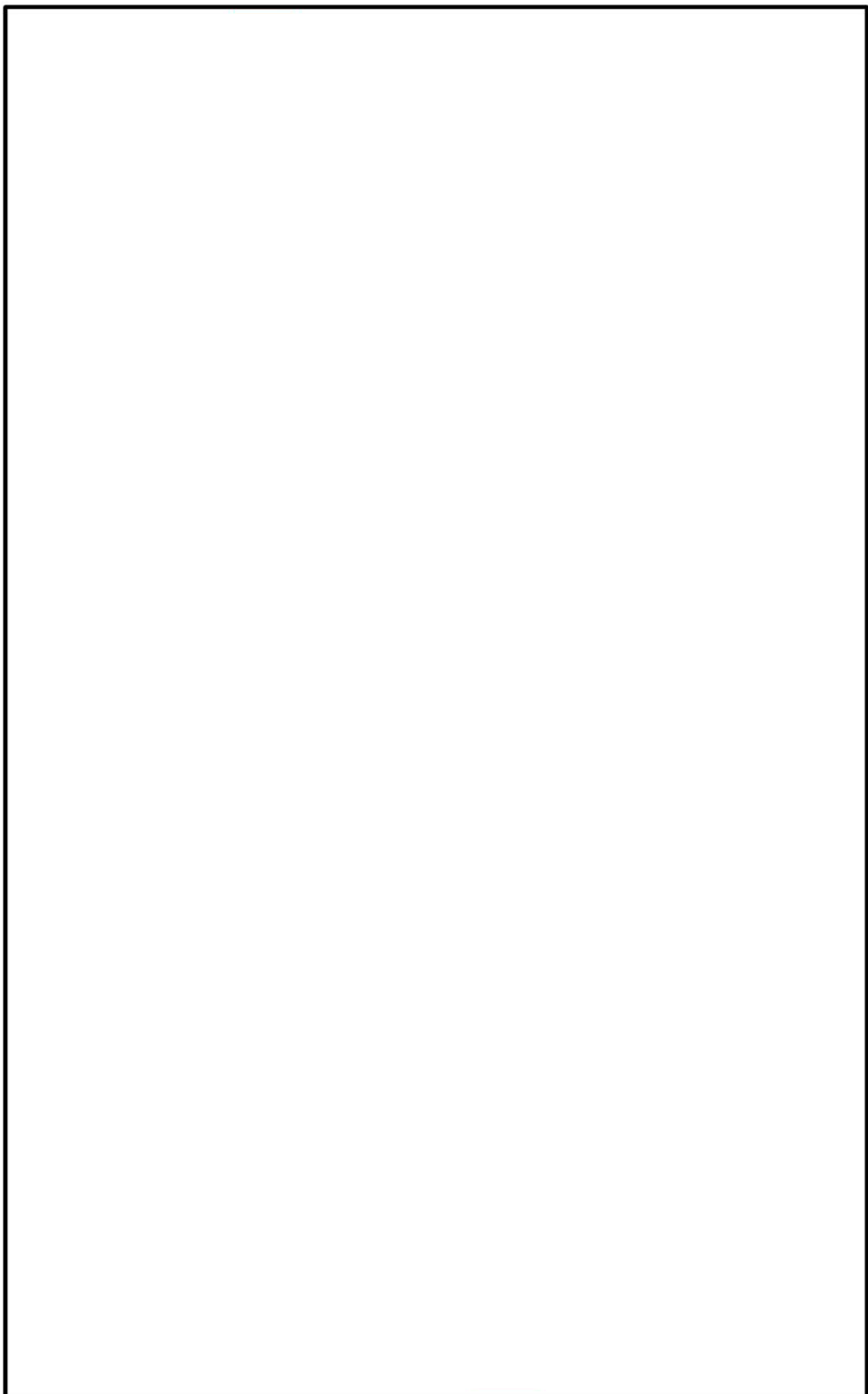
\*2:基準点はサプレッション・プール通常水位(EL5610)

図 1.3.2-2 機器配置図 (原子炉建物地下 2 階)



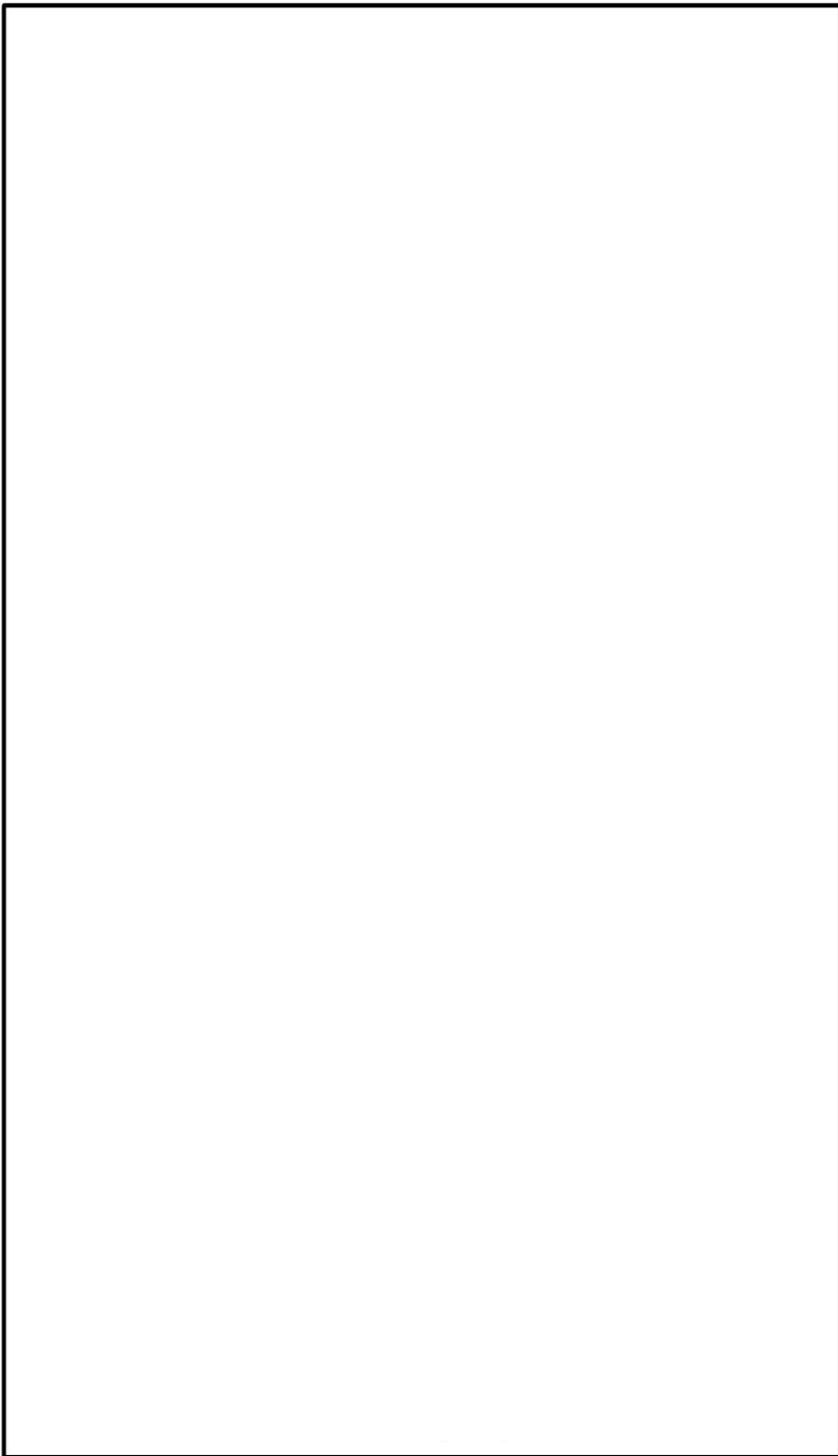
本資料のうち、枠囲みの内容は機密に係る事項のため公開できません。

図 1.3.2-3 機器配置図（原子炉建物地下 1 階）



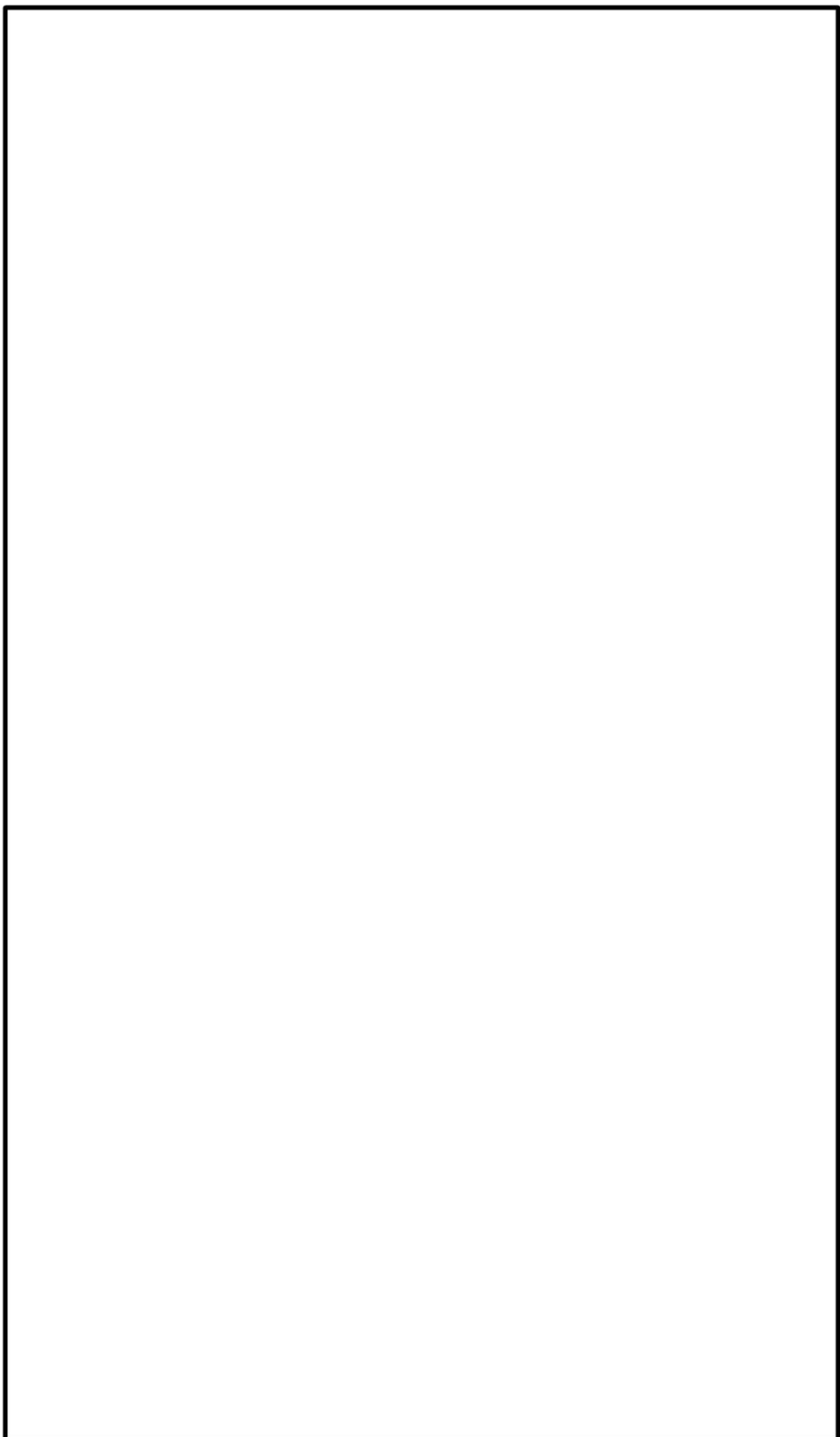
本資料のうち、枠囲みの内容は機密に係る事項のため公開できません。

図 1.3.2-4 機器配置図 (原子炉建物 1 階)



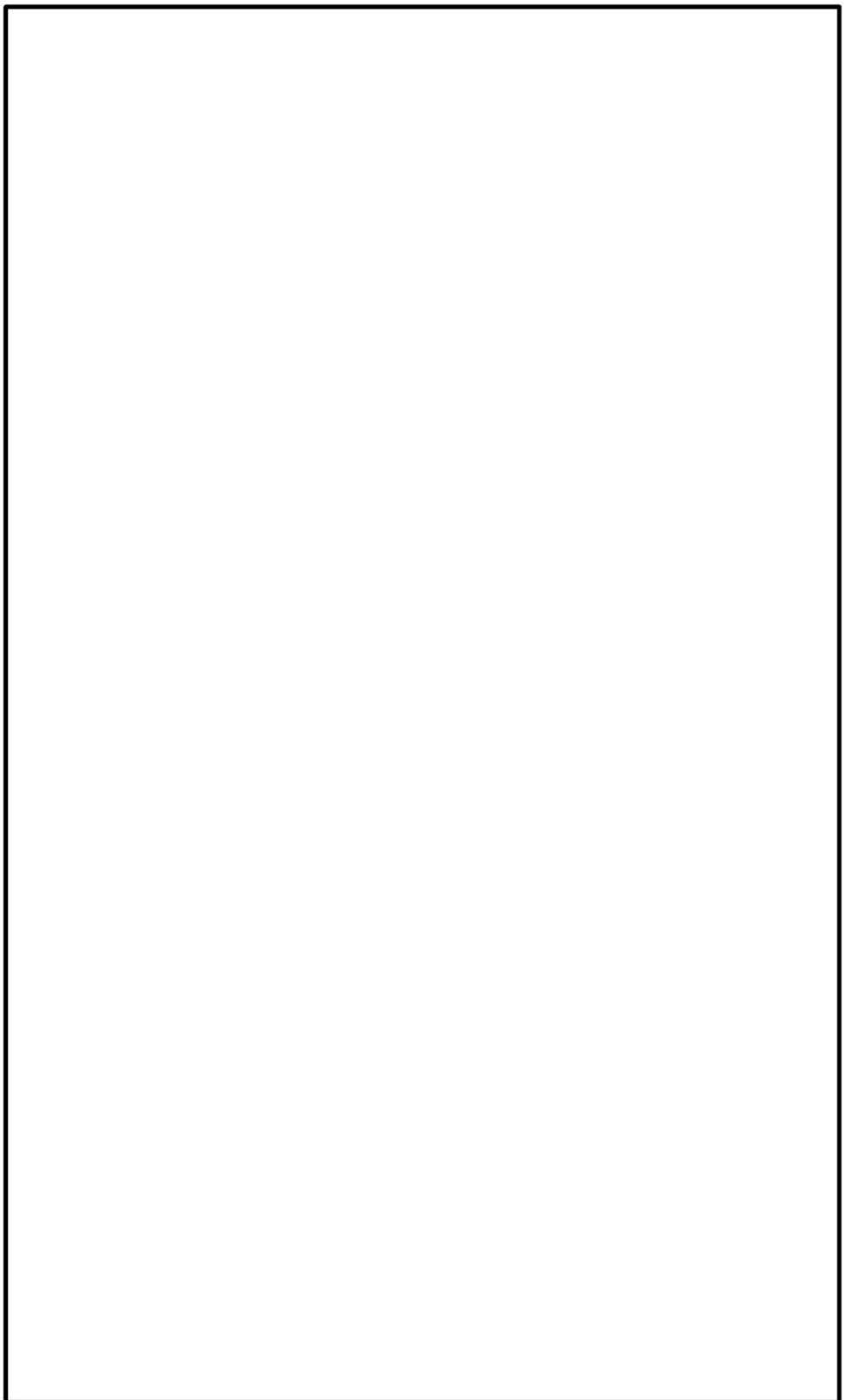
本資料のうち、枠囲みの内容は機密に係る事項のため公開できません。

図 1.3.2-5 機器配置図 (原子炉建物 2 階)



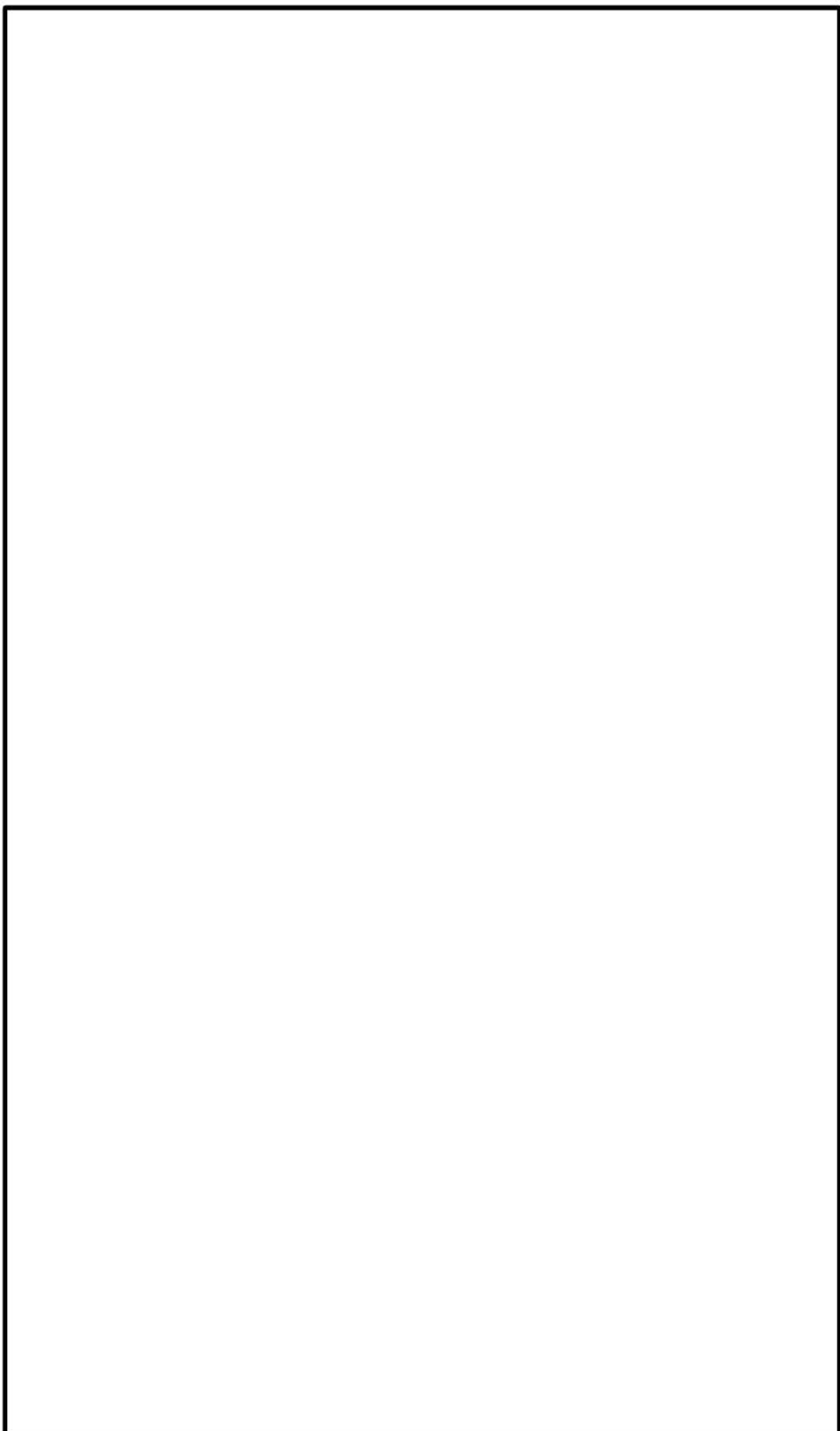
本資料のうち、枠囲みの内容は機密に係る事項のため公開できません。

図 1.3.2-6 機器配置図 (原子炉建物中 2 階)



本資料のうち、枠囲みの内容は機密に係る事項のため公開できません。

図 1.3.2-7 機器配置図（原子炉建物 3 階）



本資料のうち、枠囲みの内容は機密に係る事項のため公開できません。

原子炉格納容器内における、サプレッション・プール水温度（S A）の位置を図 1.3.2-8 に示す。

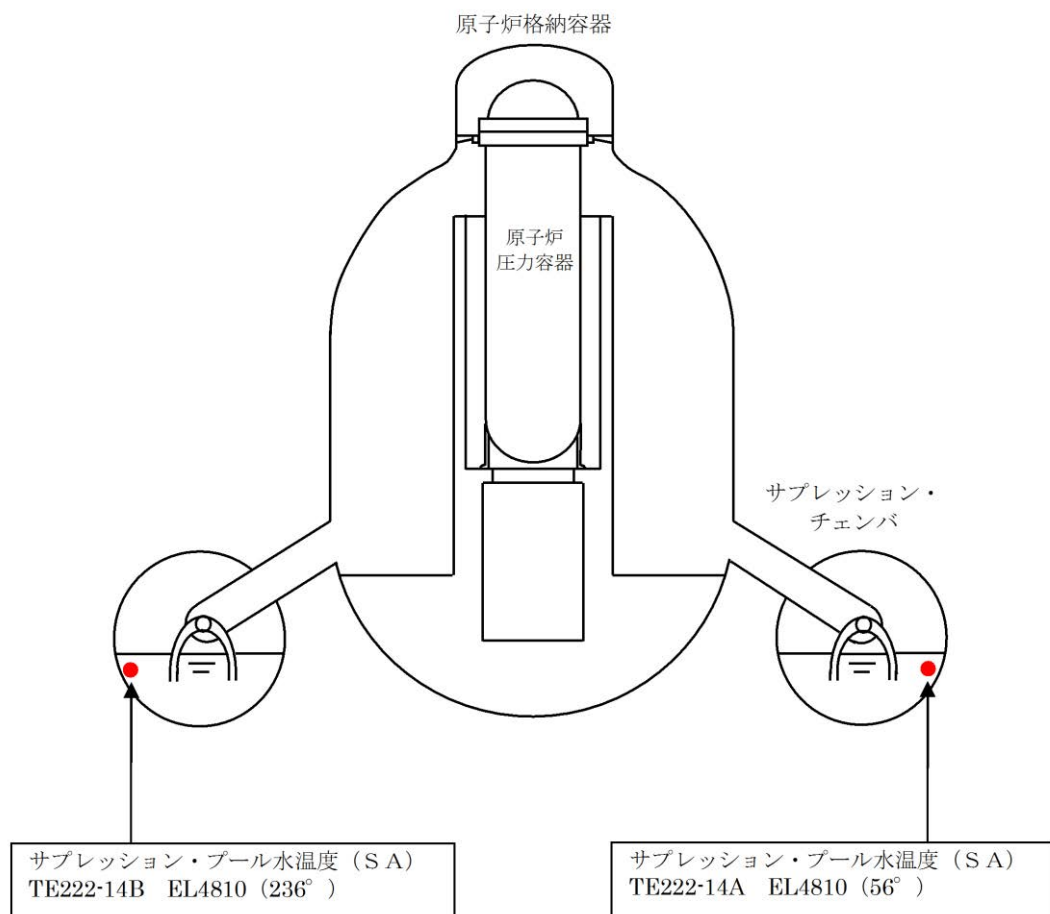


図 1.3.2-8 サプレッション・プール水温度（S A）の位置

### c. システム構成

#### ④ 残留熱代替除去系原子炉注水流量

残留熱代替除去系原子炉注水流量は、重大事故等対処設備の機能を有しており、残留熱代替除去系原子炉注水流量の検出信号は、差圧式流量検出器からの電流信号を演算装置にて流量信号へ変換する処理を行った後、残留熱代替除去系原子炉注水流量を中央制御室に指示し、緊急時対策所にて記録する。（図1.3.2-9「残留熱代替除去系原子炉注水流量の概略構成図」参照。）

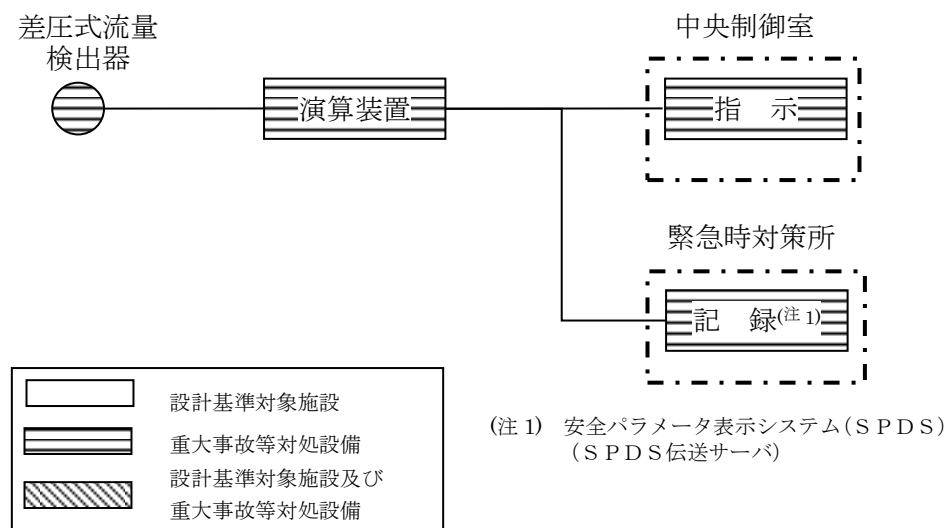


図 1.3.2-9 残留熱代替除去系原子炉注水流量の概略構成図

##### ⑥残留熱代替除去系格納容器スプレイ流量

残留熱代替除去系格納容器スプレイ流量は、重大事故等対処設備の機能を有しており、残留熱代替除去系格納容器スプレイ流量の検出信号は、差圧式流量検出器からの電流信号を演算装置にて流量信号へ変換する処理を行った後、残留熱代替除去系格納容器スプレイ流量を中央制御室に指示し、緊急時対策所にて記録する。(図 1.3.2-10「残留熱代替除去系格納容器スプレイ流量の概略構成図」参照。)

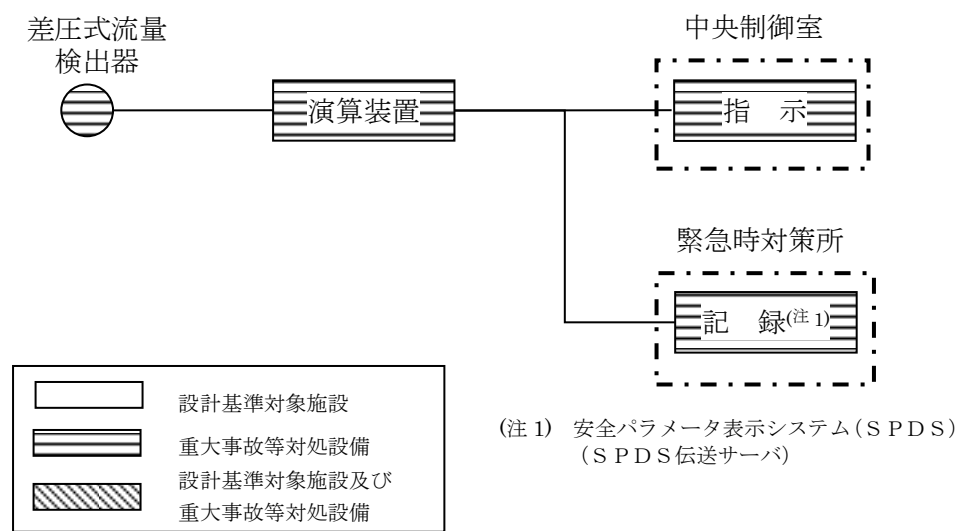


図 1.3.2-10 残留熱代替除去系格納容器スプレイ流量の概略構成図

◎サプレッション・プール水温度（S A）

サプレッション・プール水温度（S A）は、重大事故等対処設備の機能を有しており、サプレッション・プール水温度（S A）の検出信号は、測温抵抗体の抵抗値を演算装置にて温度信号に変換する処理を行った後、サプレッション・プール水温度（S A）を中央制御室に指示し、緊急時対策所にて記録する。  
(図 1.3.2-11 「サプレッション・プール水温度（S A）の概略構成図」参照。)

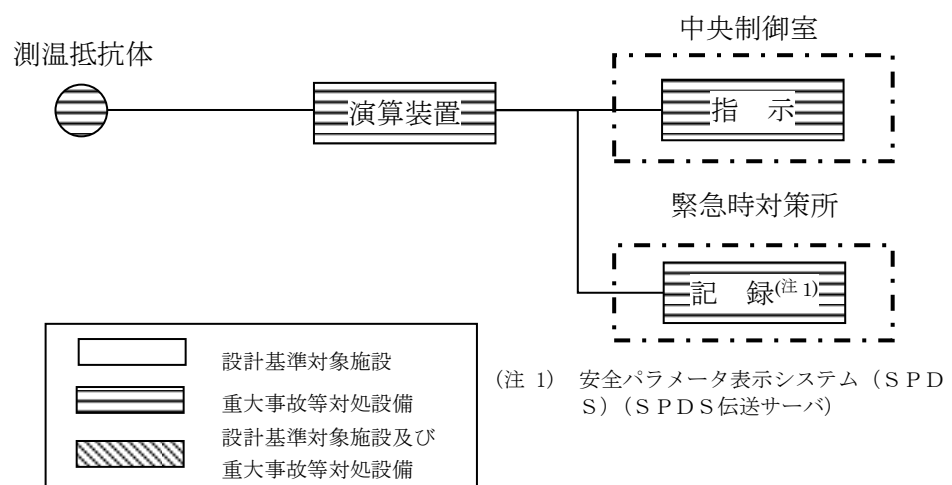


図 1.3.2-11 サプレッション・プール水温度（S A）の概略構成図

④ 残留熱除去系熱交換器出口温度

残留熱除去系熱交換器出口温度は、設計基準対象施設及び重大事故等対処設備の機能を有しており、残留熱除去系熱交換器出口温度の検出信号は、熱電対からの起電力を、演算装置にて温度信号に変換する処理を行った後、残留熱除去系熱交換器出口温度を中央制御室に指示し、緊急時対策所にて記録する。(図 1.3.2-12 「残留熱除去系熱交換器出口温度の概略構成図」参照。)

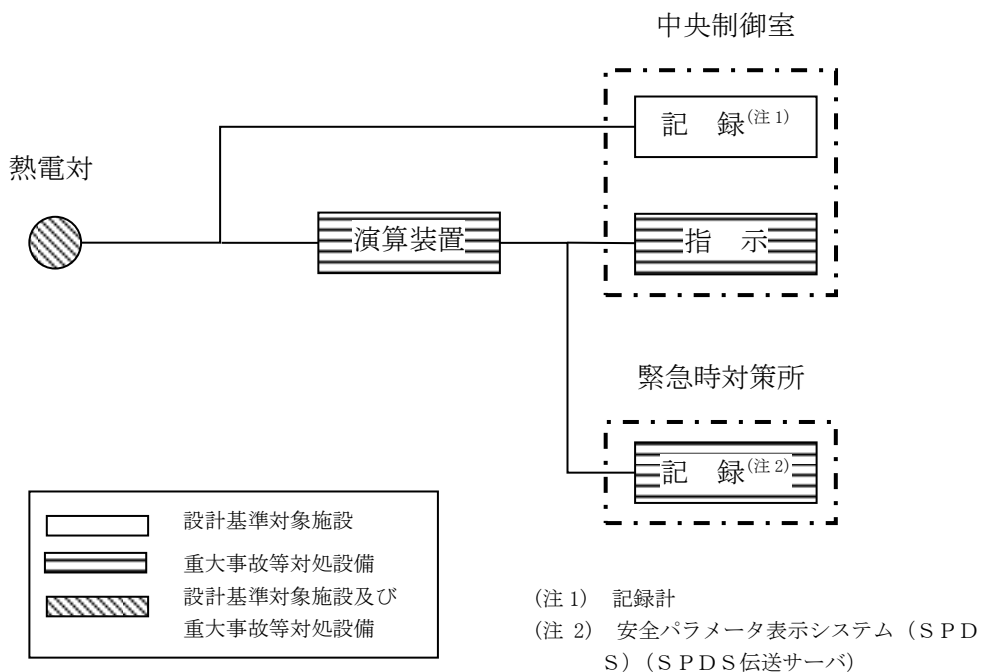


図 1.3.2-12 残留熱除去系熱交換器出口温度の概略構成図

④ ドライウェル温度（S A）

ドライウェル温度（S A）は、重大事故等対処設備の機能を有しており、ドライウェル温度（S A）の検出信号は、熱電対からの起電力を、演算装置にて温度信号に変換する処理を行った後、ドライウェル温度（S A）を中央制御室に指示し、緊急時対策所にて記録する。（図 1.3.2-13「ドライウェル温度（S A）の概略構成図」参照。）

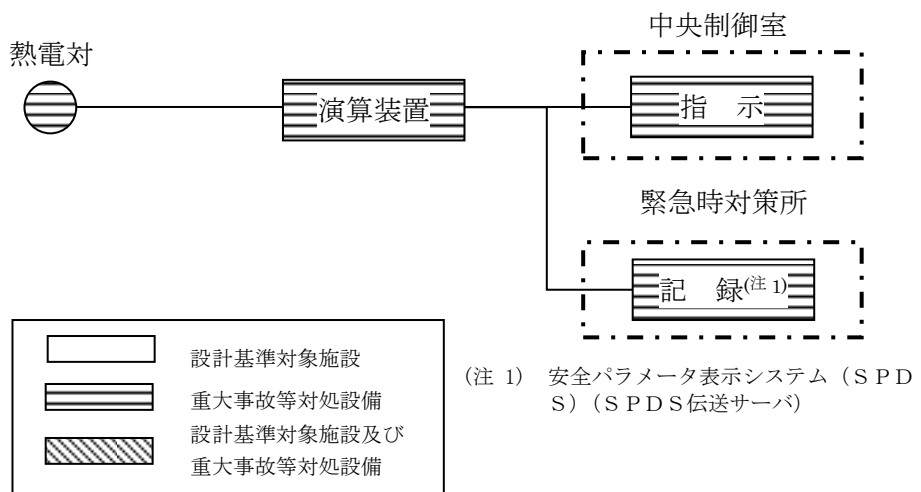


図 1.3.2-13 ドライウェル温度（S A）の概略構成図

#### ① ドライウェル圧力 (S A)

ドライウェル圧力 (S A) は、重大事故等対処設備の機能を有しており、ドライウェル圧力 (S A) の検出信号は、弾性圧力検出器からの電流信号を中央制御室の指示部にて圧力信号へ変換する処理を行った後、ドライウェル圧力 (S A) を中央制御室に指示し、緊急時対策所にて記録する。(図 1.3.2-14 「ドライウェル圧力 (S A) の概略構成図」 参照。)

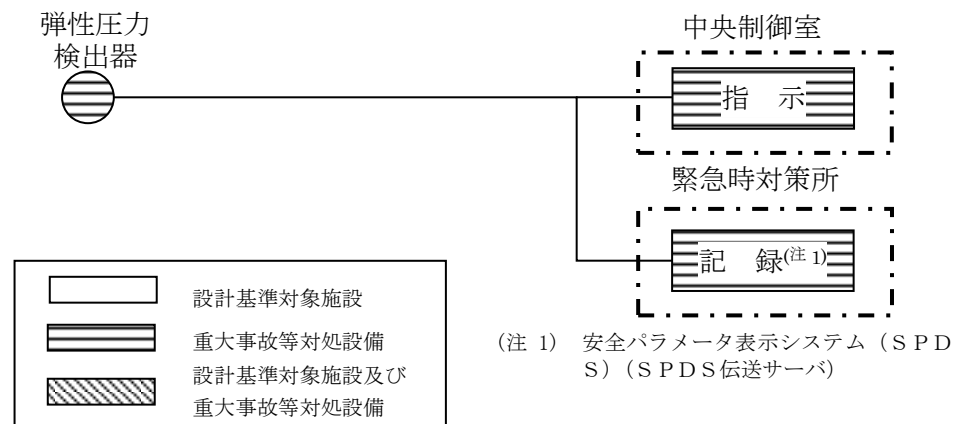


図 1.3.2-14 ドライウェル圧力 (S A) の概略構成図

⑧サプレッション・チェンバ圧力（S A）

サプレッション・チェンバ圧力（S A）は、重大事故等対処設備の機能を有しており、サプレッション・チェンバ圧力（S A）の検出信号は、弾性圧力検出器からの電流信号を中央制御室の指示部にて圧力信号へ変換する処理を行った後、サプレッション・チェンバ圧力（S A）を中央制御室に指示し、緊急時対策所にて記録する。（図 1.3.2-15「サプレッション・チェンバ圧力（S A）の概略構成図」参照。）

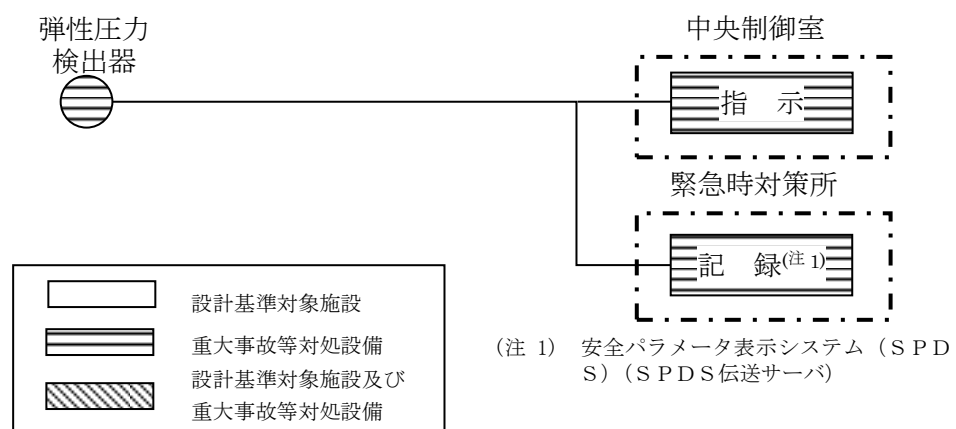


図 1.3.2-15 サプレッション・チェンバ圧力（S A）の概略構成図

#### ④ サプレッション・プール水位 (S A)

サプレッション・プール水位 (S A) は、重大事故等対処設備の機能を有しており、サプレッション・プール水位 (S A) の検出信号は、差圧式水位検出器からの電流信号を中央制御室の指示部にて水位信号へ変換する処理を行った後、サプレッション・プール水位 (S A) を中央制御室に指示し、緊急時対策所にて記録する。(図 1.3.2-16 「サプレッション・プール水位 (S A) の概略構成図」参照。)

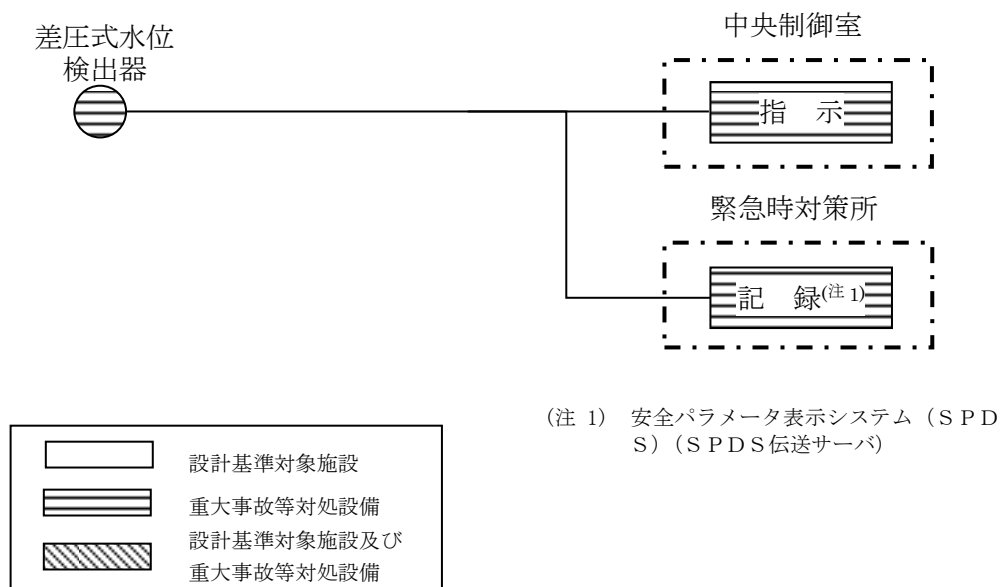


図 1.3.2-16 サプレッション・プール水位 (S A) の概略構成図

①残留熱代替除去ポンプ出口圧力

残留熱代替除去系ポンプ出口圧力は、重大事故等対処設備の機能を有しており、残留熱代替除去系ポンプ出口圧力の検出信号は、弾性圧力検出器からの電流信号を中央制御室の指示部にて圧力信号へ変換する処理を行った後、残留熱代替除去系ポンプ出口圧力を中央制御室に指示し、緊急時対策所にて記録する。（図1.3.2-17「残留熱代替除去ポンプ出口圧力の概略構成図」参照。）

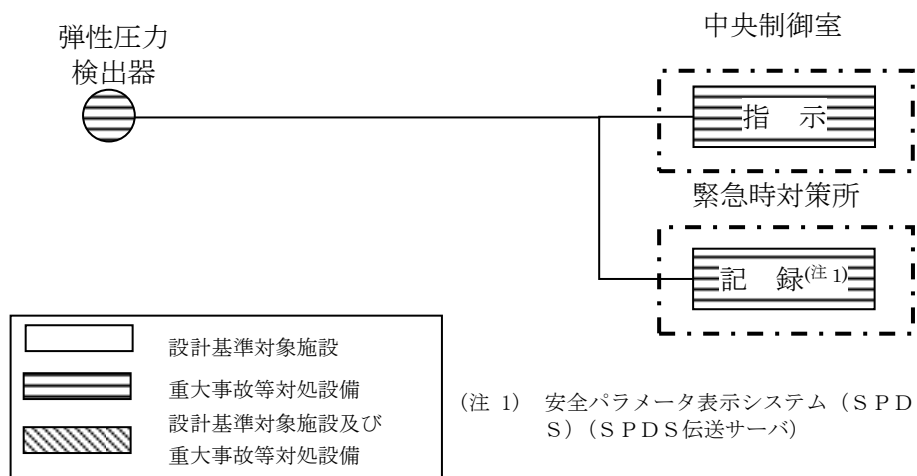


図 1.3.2-17 残留熱代替除去ポンプ出口圧力の概略構成図

### 1.3.3 電源設備

#### ① 概要

残留熱代替除去系の使用時に必要な電動機、計測制御設備、電動駆動弁を作動させるため、代替交流電源設備から代替所内電気設備を経由して必要な電力を供給する設計としており、既設非常用所内電気設備が使用不能の場合においても、必要な電力を供給できる設計としている。

#### ② 電源供給負荷

残留熱代替除去系の使用時に必要な負荷は図 1.3.3-1 及び表 1.3.3-1 に示すとおりである。

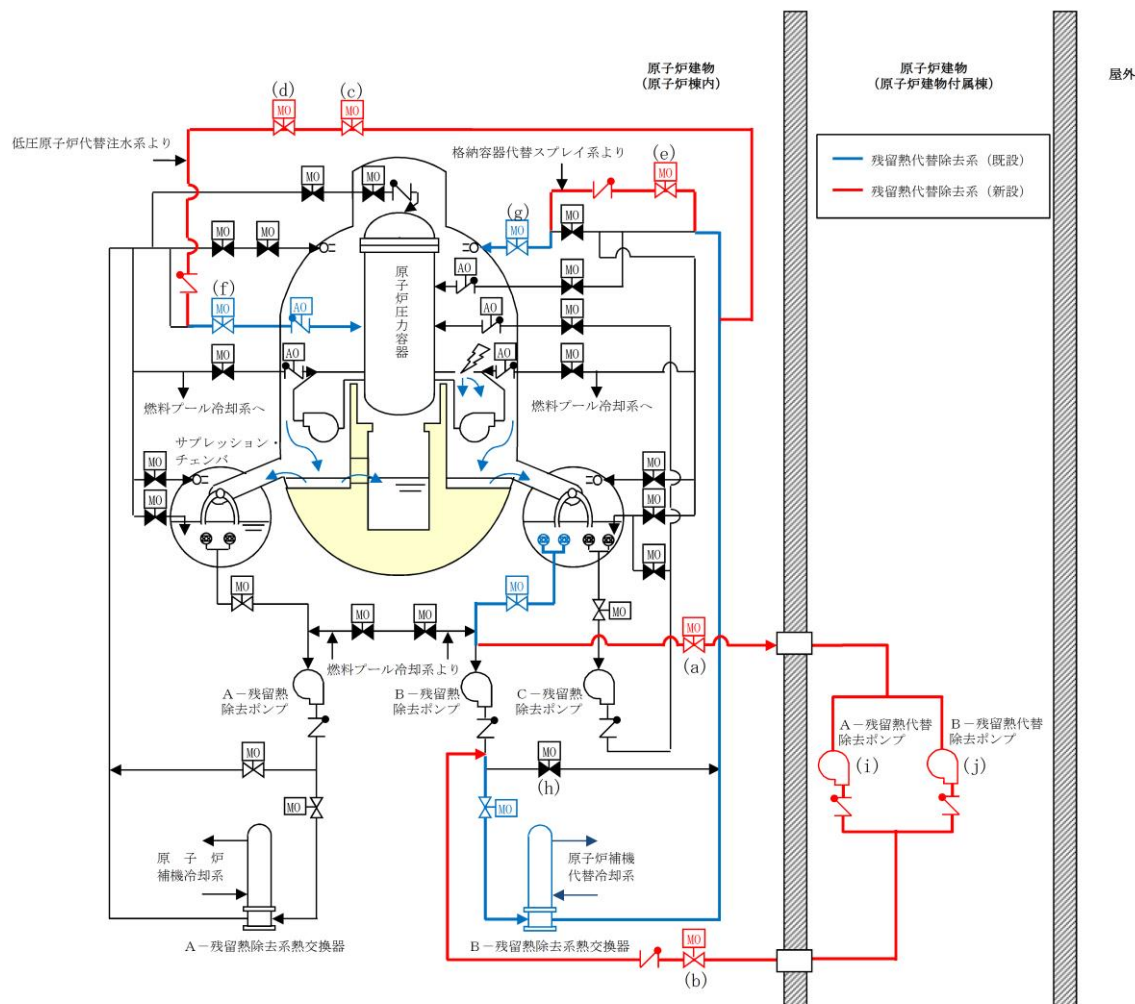


図 1.3.3-1 残留熱代替除去系概略図

表 1.3.3-1 残留熱代替除去系の電源供給負荷

図番	負荷	通常時の 電源供給元	代替所内電気設備 使用時の電源供給元
(a)	R H R R H A R ライン入口止 め弁 <sup>※3</sup>	SA2-C/C <sup>※1</sup>	SA2-C/C <sup>※1</sup>
(b)	R H A R ライン流量調節弁 <sup>※3</sup>	SA2-C/C <sup>※1</sup>	SA2-C/C <sup>※1</sup>
(c)	R H R A-F L S R 連絡ライ ン止め弁 <sup>※3</sup>	SA2-C/C <sup>※1</sup>	SA2-C/C <sup>※1</sup>
(d)	R H R A-F L S R 連絡ライ ン流量調節弁 <sup>※3</sup>	SA2-C/C <sup>※1</sup>	SA2-C/C <sup>※1</sup>
(e)	R H R P C V スプレイ連絡ラ イン流量調節弁 <sup>※3</sup>	SA2-C/C <sup>※1</sup>	SA2-C/C <sup>※1</sup>
(f)	A-R H R 注水弁	C2-C/C	SA2-C/C <sup>※1</sup>
(g)	B-R H R ドライウェル第2ス プレイ弁	D2-C/C	SA2-C/C <sup>※1</sup>
(h)	B-R H R 熱交バイパス弁	D2-C/C	SA2-C/C <sup>※1</sup>
(i)	A-残留熱代替除去ポンプ <sup>※3</sup>	SA2-C/C <sup>※1</sup>	SA2-C/C <sup>※1</sup>
(j)	B-残留熱代替除去ポンプ <sup>※3</sup>	SA2-C/C <sup>※1</sup>	SA2-C/C <sup>※1</sup>
—	計測制御設備 <sup>※2</sup>	SA1-C/C <sup>※1</sup>	SA1-C/C <sup>※1</sup>

※ 1 : SA-L/C より受電する。

※ 2 : 以下のパラメータを監視する。

- ・ 残留熱代替除去系原子炉注水流量
- ・ 残留熱代替除去系格納容器スプレイ流量
- ・ サプレッション・プール水温度 (S A)
- ・ 残留熱除去系熱交換器出口温度
- ・ ドライウェル温度 (S A)
- ・ ドライウェル圧力 (S A)
- ・ サプレッション・チェンバ圧力 (S A)
- ・ サプレッション・プール水位 (S A)
- ・ 残留熱代替除去ポンプ出口圧力

※ 3 : 残留熱代替除去系設置に伴い設置する設備

### ③単線結線図

残留熱代替除去系の単線結線図は図 1.3.3-2 に示す通りである。

外部電源喪失時における残留熱代替除去系の電源供給元は、次のとおりとする。

- a . 常設代替交流電源設備（ガスタービン発電機）から代替所内電気設備（緊急用 M/C, SA-L/C, SA1-C/C, SA2-C/C）を経由して、残留熱代替除去系の運転に必要な設備に電源供給を行う。（図 1.3.3-2 図）

なお、通常時に非常用所内電気設備の負荷である設備については、代替所内電気設備からの電源供給に切替えて電源供給を行う。

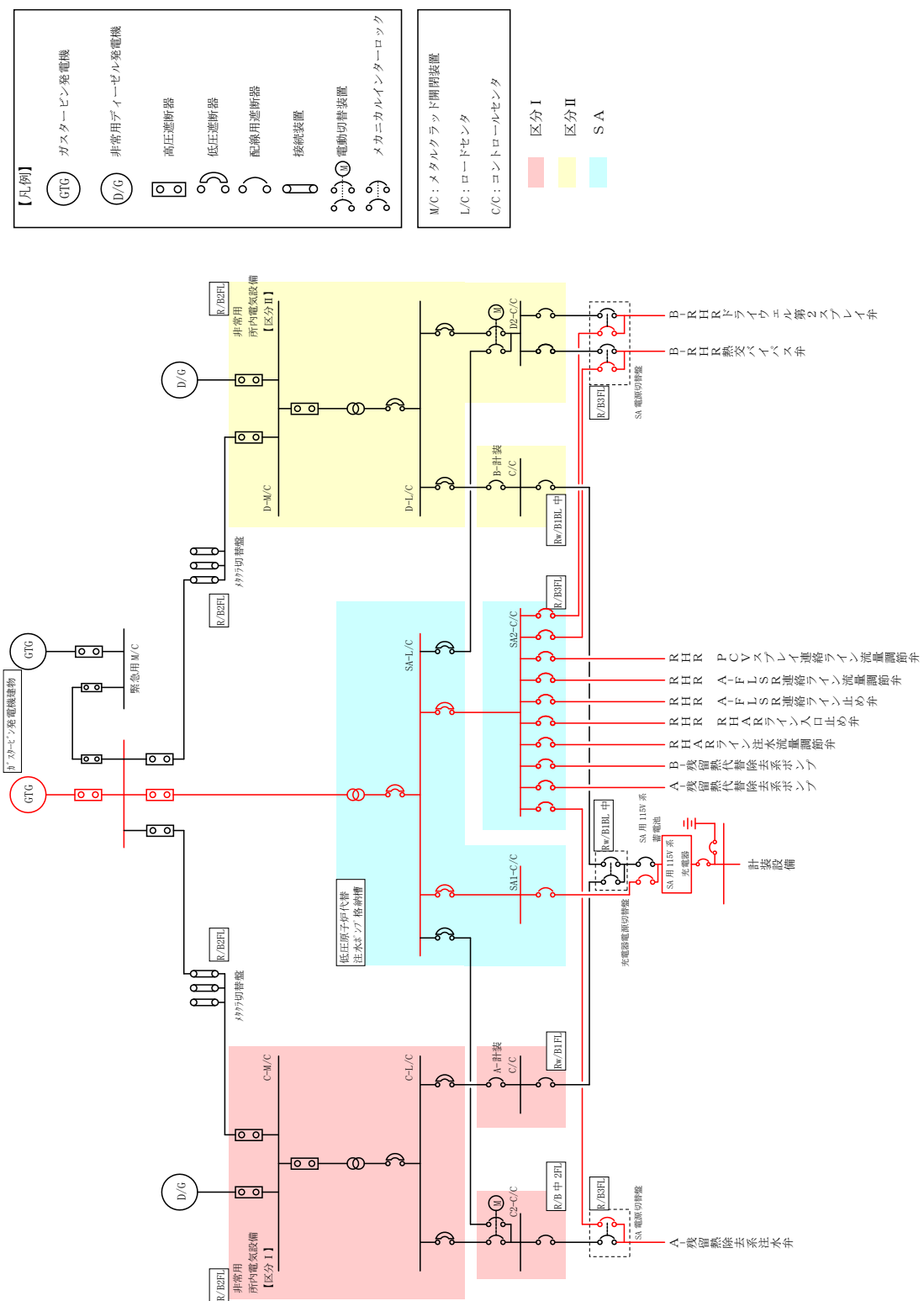


図 1.3.3-2 残留熱代替除去系の単線結線図

## 2. 残留熱代替除去系の成立性確認

### 2.1 有効性評価シナリオの成立性

#### 2.1.1 残留熱代替除去系の運用について

残留熱代替除去系は、1.2に示すとおりサプレッション・チャンバを水源とした原子炉注水及び原子炉格納容器の除熱が可能な系統であり、サプレッション・チャンバの水位上昇を抑制できる。

残留熱代替除去系の運転に当たり、原子炉補機冷却系（原子炉補機冷却海水系を含む）又は原子炉補機代替冷却系による冷却水供給を必要とするが、格納容器フィルタベント系による原子炉格納容器の除熱が必要となるまでに残留熱代替除去系への冷却水供給を確保することが可能であることから、原子炉格納容器の除熱に当たっては残留熱代替除去系を優先して使用する運用としている。

#### 2.1.2 残留熱代替除去系の有効性について

残留熱代替除去系の有効性については、「島根原子力発電所2号炉重大事故等対策の有効性評価」の「3.1 雰囲気圧力・温度による静的負荷(格納容器過圧・過温破損)」における、「冷却材喪失（大破断LOCA）+ECCS注水機能喪失+全交流動力電源喪失」シナリオにて事象を通じて限界圧力に到達することなく、格納容器ベントを回避することが可能となることを確認している。また、「3.2 高圧溶融物放出／格納容器雰囲気直接加熱」における、「過渡事象+高圧炉心冷却失敗+原子炉減圧失敗+炉心損傷後の原子炉減圧失敗+原子炉注水失敗+DCH発生」シナリオにおいても事象を通じて限界圧力に到達することなく、格納容器ベントを回避できることを確認している。

なお、高圧・低圧注水機能喪失に対しては、重大事故等対処設備である高圧原子炉代替注水系による原子炉注水を行うことで、原子炉減圧を実施することなく、炉心損傷は回避可能である。また、格納容器フィルタベント系によるベント実施により格納容器の健全性は維持され、周辺の公衆に対して著しい放射線被ばくのリスクを与えることはない。高圧原子炉代替注水系の有効性については、「島根原子力発電所2号炉重大事故等対策の有効性評価」の「2.3.2 全交流動力電源喪失（外部電源喪失+DG失敗）+高圧炉心冷却失敗」にて確認している。

## 2.2 残留熱代替除去系の操作性

### 2.2.1 残留熱代替除去系運転のために必要な系統・機器とアクセス性

残留熱代替除去系運転時あるいは運転後において、以下の操作並びに作業が確實に実施できることが必要である。

- (1) 残留熱代替除去系運転継続に必要な操作、監視ができること
- (2) 格納容器ベント操作ができること

#### (1) 残留熱代替除去系運転継続に必要な操作、監視

残留熱代替除去系運転開始前の系統構成は、中央制御室からの電動駆動弁の遠隔操作のため、操作への放射線による大きな影響はない。

また、運転開始時の残留熱代替除去ポンプの起動は中央制御室から遠隔で操作が可能な設計としているため、操作への放射線による大きな影響はない。

残留熱代替除去系運転を開始した後は、残留熱代替除去ポンプの運転状態を残留熱代替除去ポンプ出口圧力により監視する。また、系統流量の監視は、原子炉注水流量を残留熱代替除去系原子炉注水流量で、格納容器スプレイ流量を残留熱代替除去系格納容器スプレイ流量にて監視する。

残留熱代替除去系運転による系統水冷却状況を、残留熱除去熱交換器出口温度及びサプレッション・プール水温度（S A）により確認する。

残留熱代替除去系運転の効果を、原子炉水位・格納容器内圧力・格納容器内温度・サプレッション・プール水位により確認する。

これらのパラメータは中央制御室及び緊急時対策所で監視が可能な設計としているため、残留熱代替除去系運転により配管廻りの放射線量が上昇した場合においても監視が可能である。

また、残留熱代替除去系運転時には原子炉注水流量及び格納容器スプレイ流量を調整する場合は、流量調整弁の操作により行うが中央制御室からの遠隔で操作が可能な設計としているため、放射線量が上昇した場合においても操作が可能である。（表 2.2.1-1 及び図 2.2.1-1 参照）

その他の作業としては、原子炉補機代替冷却系の運転状態確認及び大型送水ポンプ車への給油作業がある。これらは屋外作業であり格納容器ベント操作前であるため高線量になることはなく、温度・湿度等についても問題になることはなく作業環境は維持されている。

表 2.2.1-1 残留熱代替除去系における操作対象弁・監視対象機器

対象弁・監視機器	実施時期	操作概要	場所	図番
RHR R HAR ライン入口止め弁	運転開始前	弁開	中央制御室	(a)
R HAR ライン流量調節弁	運転開始前	弁開	中央制御室	(b)
RHR A-FLSR 連絡ライン止め弁	運転開始前	弁開	中央制御室	(c)
RHR A-FLSR 連絡ライン流量調節弁	運転開始前	弁開	中央制御室	(d)
RHR PCV スプレイ連絡ライン流量調節弁	運転開始前	弁開	中央制御室	(e)
A-RHR 注水弁	運転開始前	弁開	中央制御室	(f)
B-RHR ドライウェル第2スプレイ弁	運転開始前	弁開	中央制御室	(g)
B-RHR 熱交バイパス弁	運転開始前	弁閉	中央制御室	(h)
計測制御設備※1	運転時		中央制御室 緊急時対策所	—

※1：以下のパラメータを監視する。

- ・残留熱代替除去系原子炉注水流量
- ・残留熱代替除去系格納容器スプレイ流量
- ・残留熱除去系熱交換器出口温度
- ・サプレッション・プール水温度 (SA)
- ・残留熱代替除去ポンプ出口圧力
- ・原子炉水位
- ・格納容器内圧力
- ・格納容器内温度
- ・サプレッション・プール水位

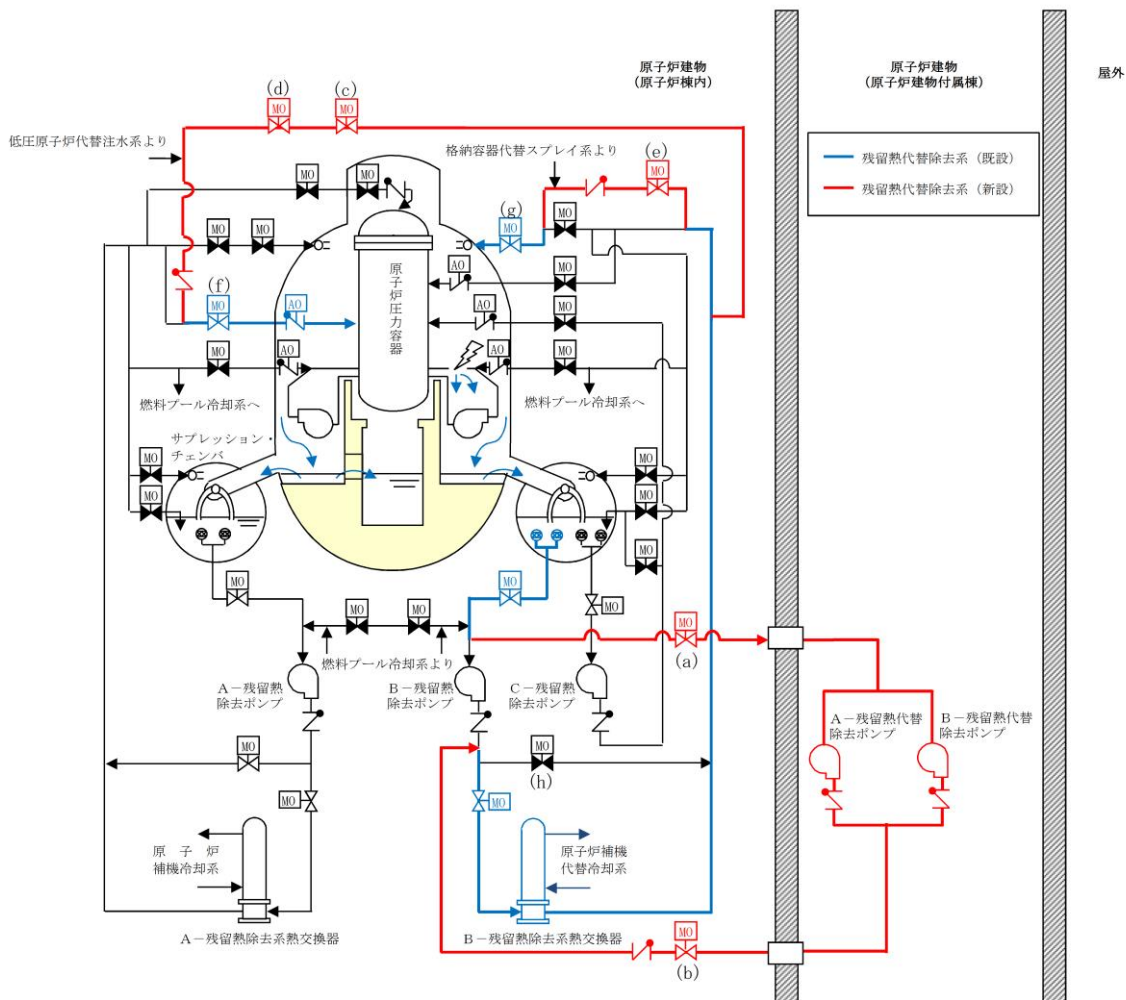


図 2.2.1-1 残留熱代替除去系概要図

## (2) 格納容器ベント操作

格納容器ベント操作について、操作対象弁は図 2.2.1-2 のとおりであり、これらの操作対象弁と残留熱代替除去系配管の主たる流路の位置関係を表 2.2.1-2 及び図 2.2.1-3～図 2.2.1-5 に示す。これらの操作弁は中央制御室から遠隔操作可能な設計であるため、残留熱代替除去系運転後の放射線量上昇による操作への影響はない。なお、何らかの理由によりベント操作弁が中央制御室から遠隔操作不能となる場合は、放射線量上昇による影響が小さい原子炉建物付属棟において遠隔手動操作で開閉する方法を備えている。なお、これらの操作位置は原子炉建物付属棟であっても、残留熱代替除去系運転により高線量となる配管との位置が比較的近い箇所もあるため、放射線量上昇によるアクセス性及び弁操作性を考慮し、必要に応じて放射線防護対策を施す。

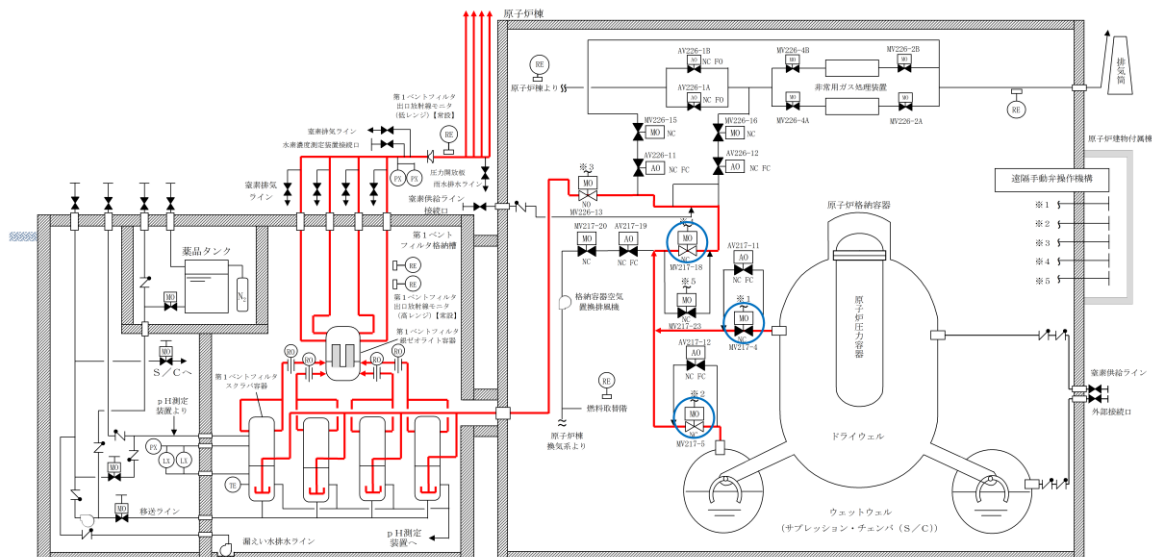


図 2.2.1-2 格納容器フィルタベント系系統概要図

表 2.2.1-2 ベント操作に必要な操作弁と配置

MV217-5 (第1弁 S/C)	弁①(第2.2.1-3図)
MV217-4 (第1弁 D/W)	弁②(第2.2.1-4図)
MV217-18 (第2弁)	弁③(第2.2.1-4図)

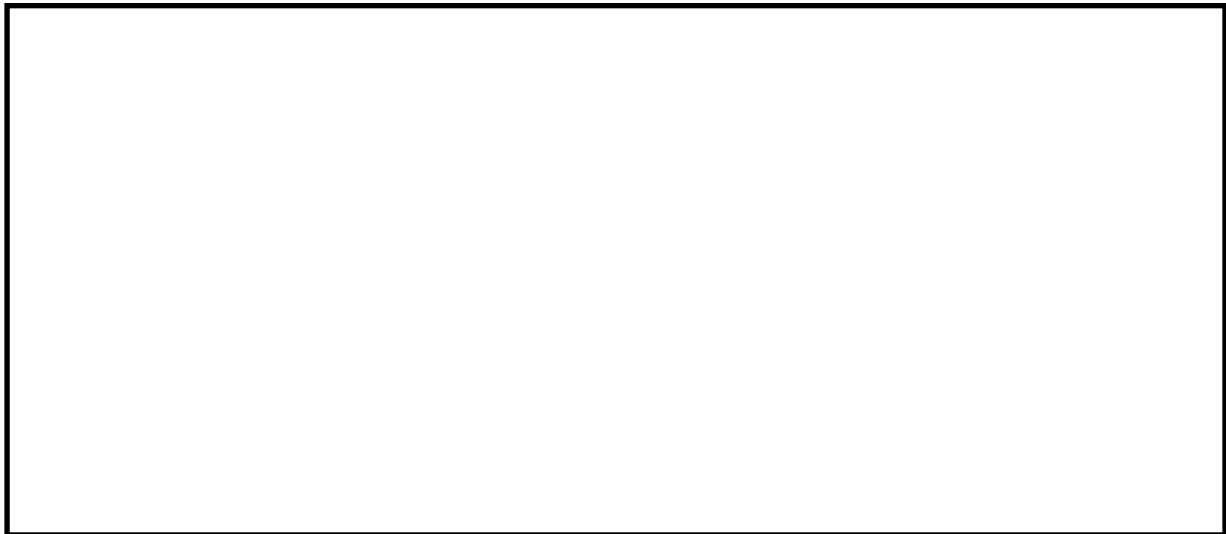


図 2.2.1-3 機器配置図



図 2.2.1-4 機器配置図

本資料のうち、枠囲みの内容は機密に係る事項のため公開できません。

### (3) 残留熱除去系の復旧作業

残留熱代替除去系は、残留熱除去系による冷却機能を喪失した場合に使用する系統であり、残留熱除去系が復旧するまで運転継続することを目的としている。よって、残留熱代替除去系運転による放射線量上昇の影響があつても、残留熱除去系復旧作業ができることを示す。

残留熱代替除去系では、サプレッション・チェンバからの吸込み及び原子炉格納容器内へのスプレイとして、残留熱除去系のB系を使用することを想定（原子炉への注水はA系を想定）している。このため、残留熱除去系の復旧に際しては、残留熱代替除去系運転の影響を受ける可能性が最も低いA系を復旧することを想定する。

A－残留熱除去ポンプ類の復旧のためには、機能喪失要因にもよるが原子炉建物地下2階のA－残留熱除去ポンプ室又は原子炉建物地下1階のA－残留熱除去ポンプ室の上部ハッチまでアクセスすることができる必要がある。

図2.2.1-5に示すとおり、残留熱代替除去系により高線量となる配管は、A－残留熱除去ポンプ室及び上部ハッチ付近から十分離れていることから、アクセスは可能である。

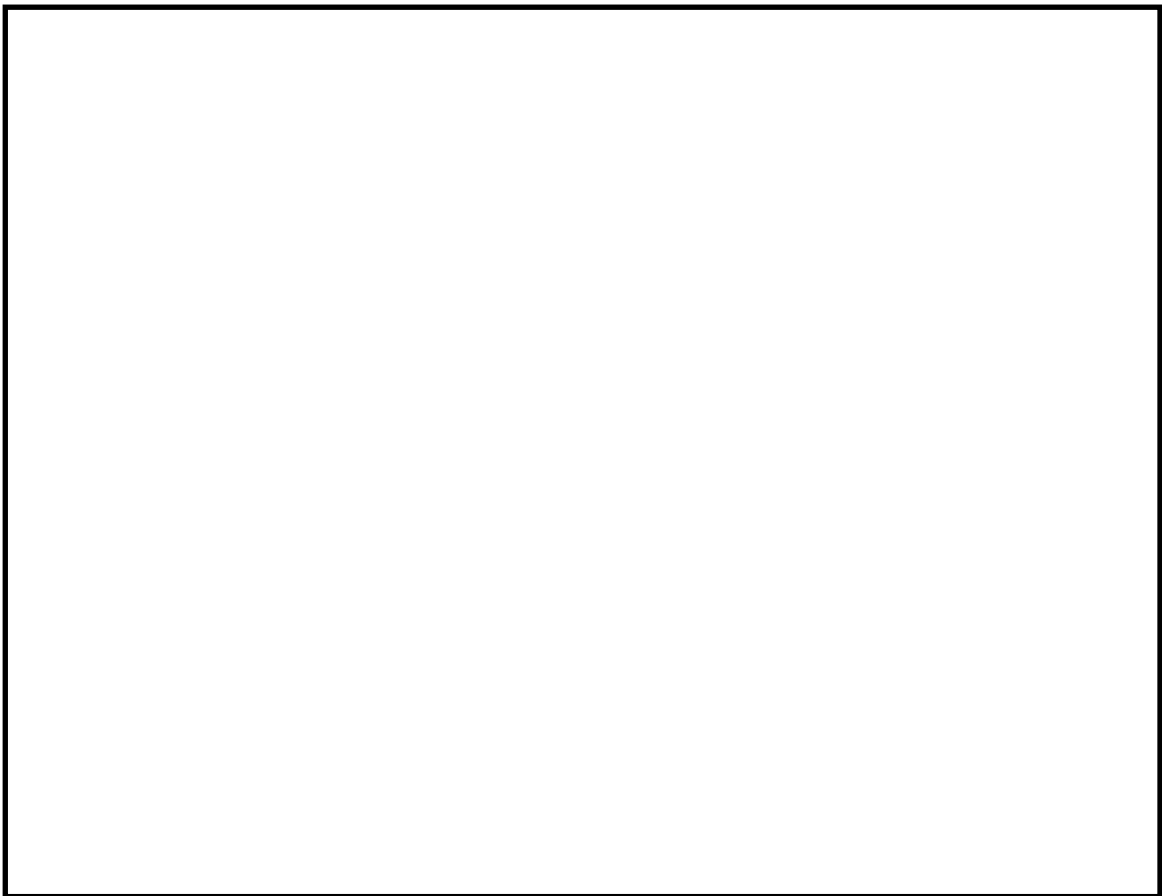


図 2.2.1-5 機器配置図（原子炉建物地下 2 階）（1／2）



図 2.2.1-5 機器配置図（原子炉建物地下 2 階）（2／2）

本資料のうち、枠囲みの内容は機密に係る事項のため公開できません。

## 2.2.2 操作の概要について

格納容器破損モード「雰囲気圧力・温度による静的負荷（格納容器過圧・過温破損）」（残留熱代替除去系を使用する場合）及び「高圧溶融物放出／格納容器雰囲気直接加熱」の手順の概要を図 2.2.2-1～3 に、必要な要員と作業項目を図 2.2.2-4～6 に示す。

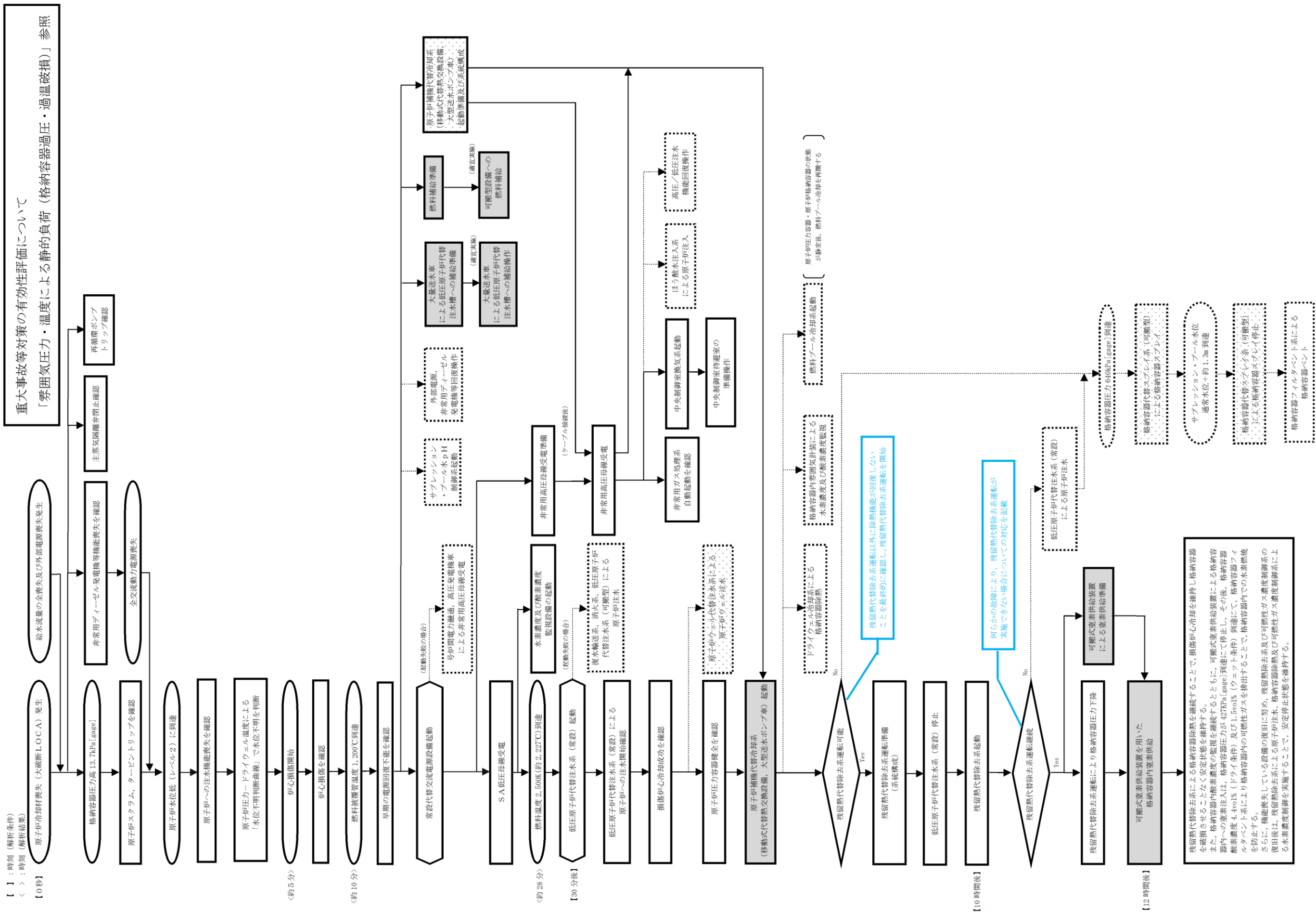


図 2.2.2-1 残留熱代替除去系運転の手順概要（「霧氷圧力・温度による静的負荷（格納容器過圧・過温破損」の場合）「全体図」

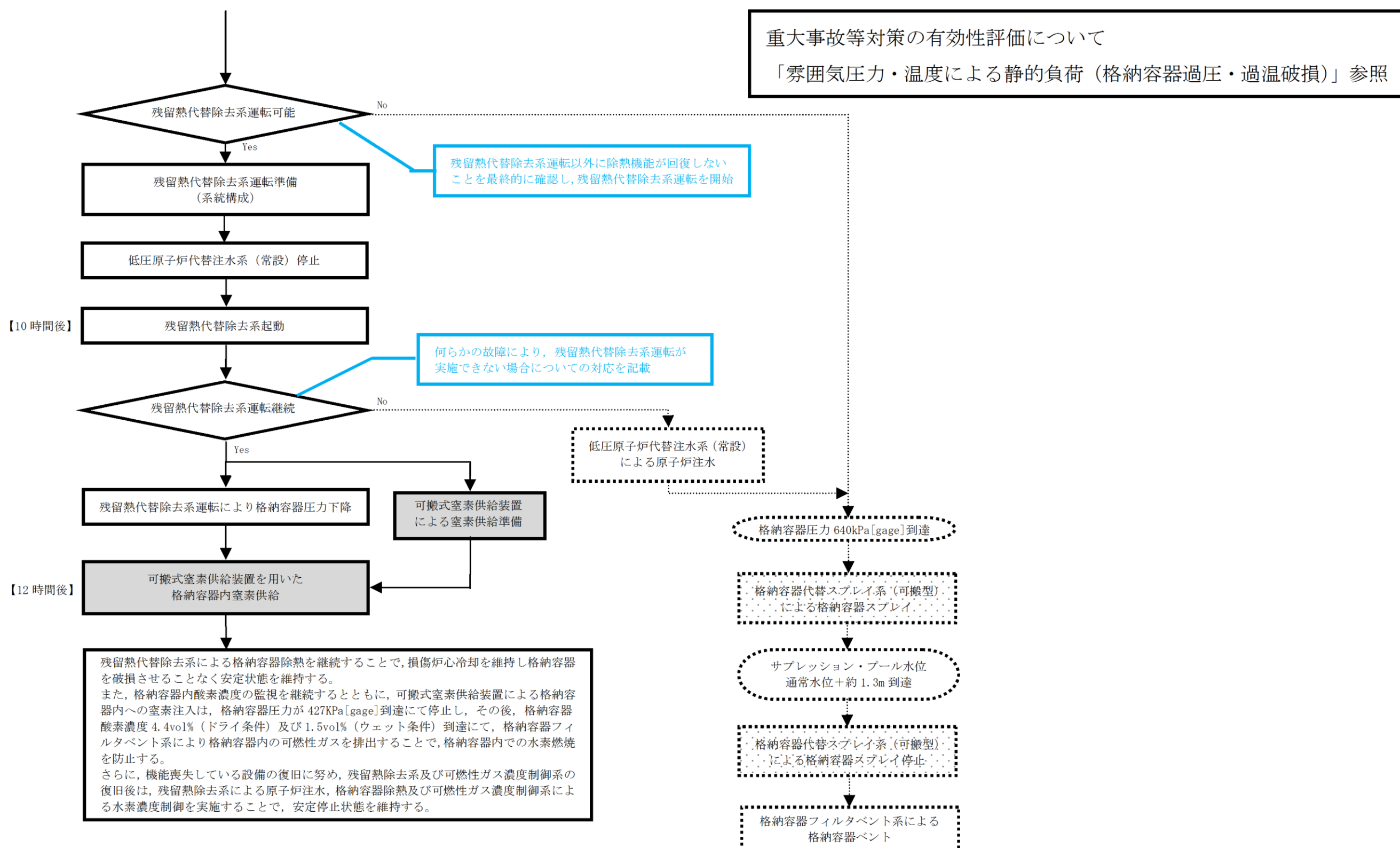


図 2.2.2-2 残留熱代替除去系運転の手順概要（「雰囲気圧力・温度による静的負荷（格納容器過圧・過温破損）の場合」「抜粋図」）

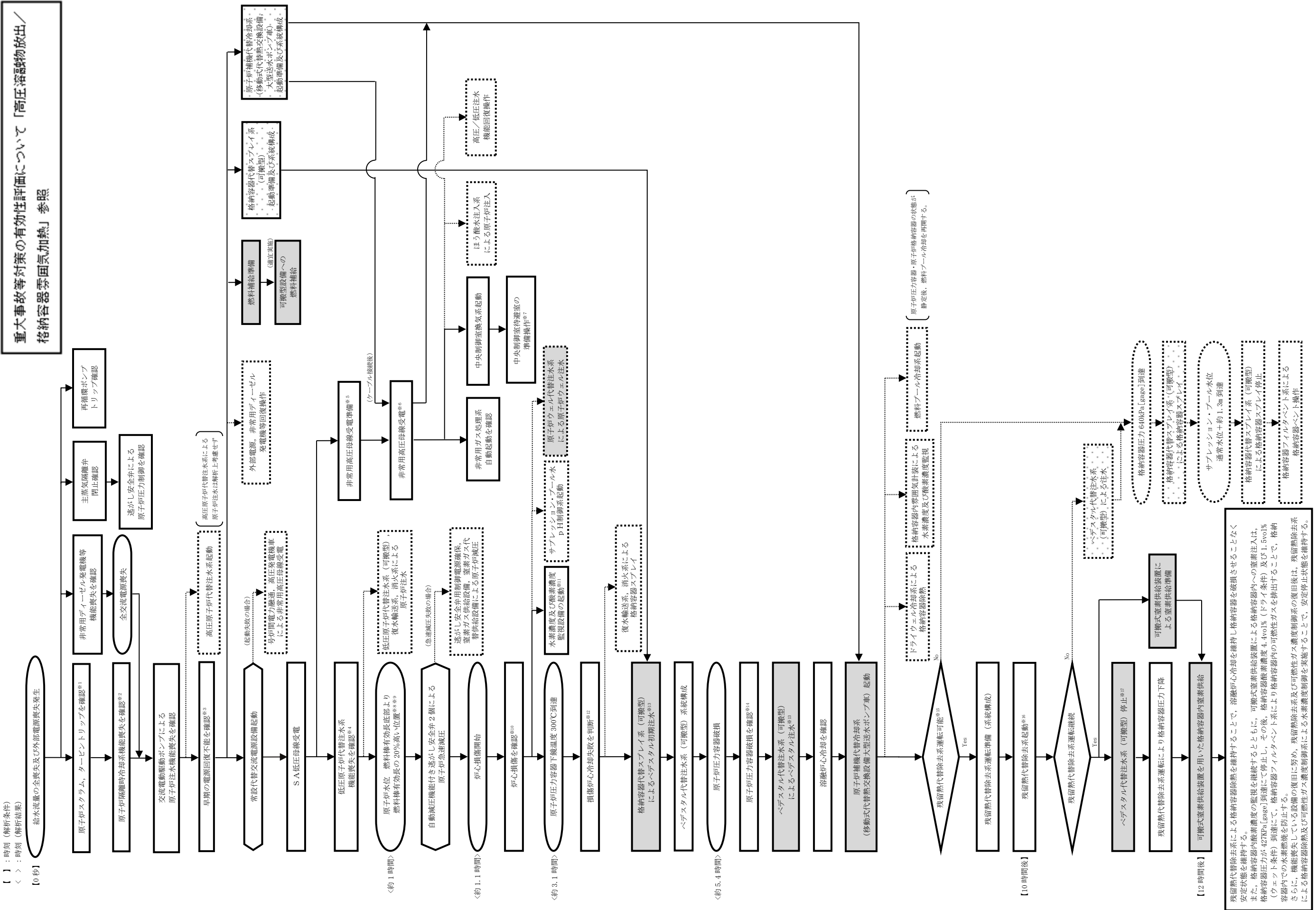


図 2.2.2-3 残留熱代替除去除運転の手順概要（「高圧溶融物放出／格納容器緊急直接加熱」の場合）

重大事故等対策の有効性評価について「雰囲気圧力・温度による静的負荷(格納容器過圧・過温破損)」参照

図2.2.2-4 残留熱代替除系運転の作業と所要時間（0分～5時間後）  
「霧圧気圧力・温度による静的負荷（格納容器過圧・過温破損）」の場合

重大事故等対策の有効性評価について「零圧気圧力・温度による静的負荷(格納容器過圧・過温破損)」参照

以上が、残留熱代替除系運転による格納容器ベント回避のシナリオ  
以下は、残留熱代替除系運転による格納容器ベントに至るシナリオ  
(10時間後に残留熱代替除系運転に失敗し、事象発生32時間後に格納容器ベントに至ることを想定)

図 2.2.2-5 残留熱代替除去系運転の作業と所要時間（0分～7日後）

重大事故等対策の有効性評価について「高压溶融物放出／格納容器雰囲気直接加熱」参照

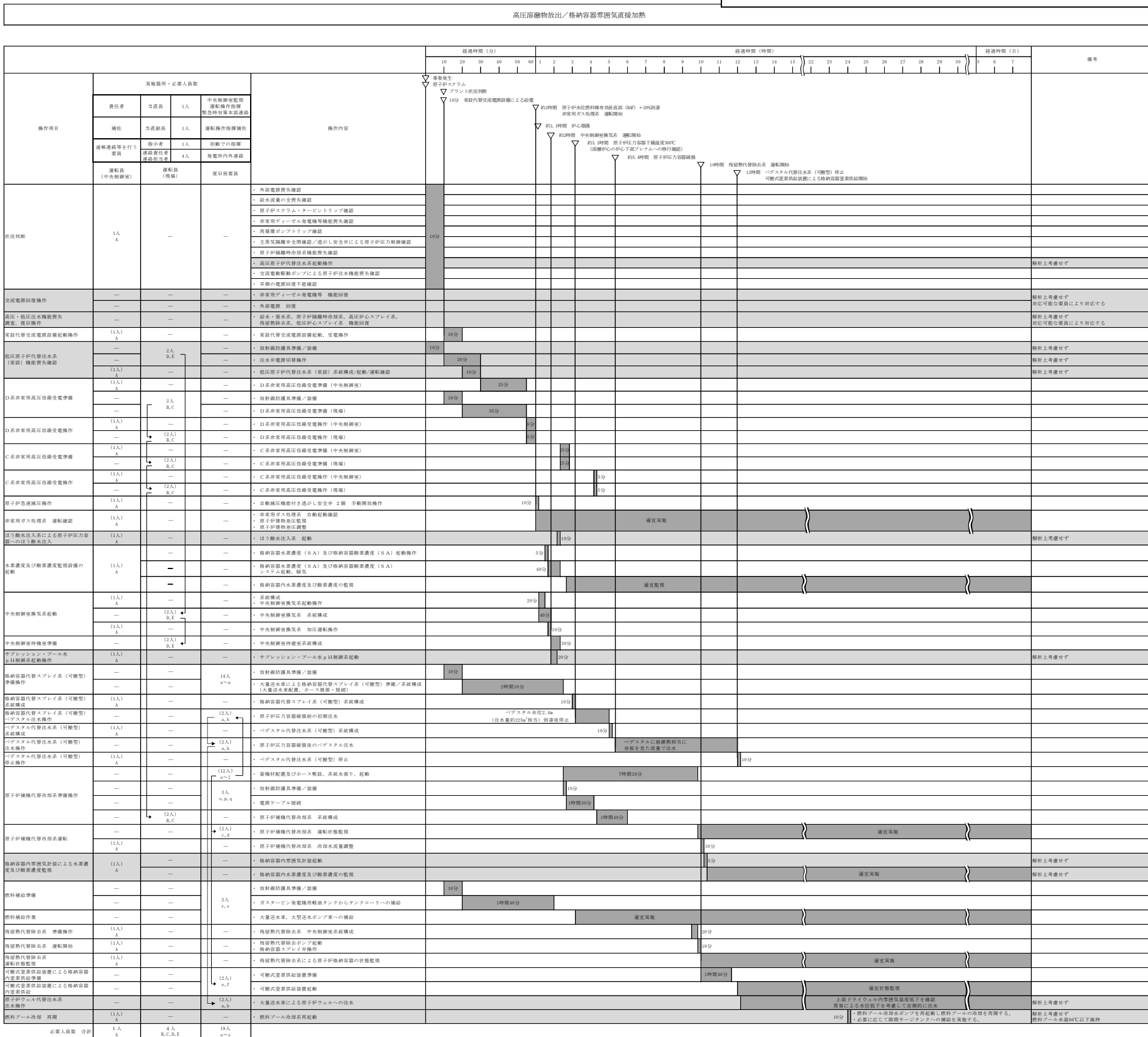


図 2.2.2-6 残留熱代替除去系運転の作業と所要時間「高圧溶融物放出／格納容器零用気直接加熱の場合」

## 2.3 系統運転時の監視項目

### 2.3.1 水素ガス及び酸素ガス発生時の対応について

#### (1) 想定水素ガス及び酸素ガス発生量

##### a. 監視が必要となる状況と監視計器に求められる性能

有効性評価の事故シーケンス選定のプロセスにおいて、重大事故等対処設備に期待しても炉心損傷を回避できず、有効性評価の対象とすべき評価事故シーケンスとしては、現状、「冷却材喪失（大破断LOCA）+ECCS注水機能喪失+全交流動力電源喪失」のみを選定している。

よって、この「冷却材喪失（大破断LOCA）+ECCS注水機能喪失+全交流動力電源喪失」への対応の中で想定される水素濃度及び酸素濃度を監視できる能力を備えることが、重大事故等時の水素濃度及び酸素濃度の監視に最低限要求される性能となる。

##### b. 重大事故等時の原子炉格納容器内の環境と水素濃度及び酸素濃度

「冷却材喪失（大破断LOCA）+ECCS注水機能喪失+全交流動力電源喪失」事故時における各パラメータの推移は、雰囲気圧力・温度による静的負荷（格納容器過圧・過温破損）（残留熱代替除去系を使用する場合）の有効性評価において示すとおりである。これに加え、必要な水素濃度及び酸素濃度の監視能力を決定する上で必要な情報であるドライウェル及びサブレッショング・チャンバの気体の組成の推移を図2.3.1-1及び図2.3.1-2に示す。

##### c. 重大事故等時の水素濃度及び酸素濃度の監視計器に求められる性能

###### ①計測目的について

一般に気相中の体積割合で5 vol%以上の酸素ガスと共に水素ガスが存在する場合、水素濃度4 vol%で燃焼、13 vol%で爆轟が発生すると言われている。この観点から、少なくとも水素濃度は4 vol%，酸素濃度は5 vol%までの測定が可能であることが必要である。

###### ②測定が必要となる時間

図2.3.1-1及び図2.3.1-2のとおり、解析上は事象発生から12時間後に格納容器への窒素供給を実施することで、事象発生から約168時間後まで酸素濃度が可燃限界である5 vol%を超えることは無く、原子炉格納容器内での水素燃焼は生じない。

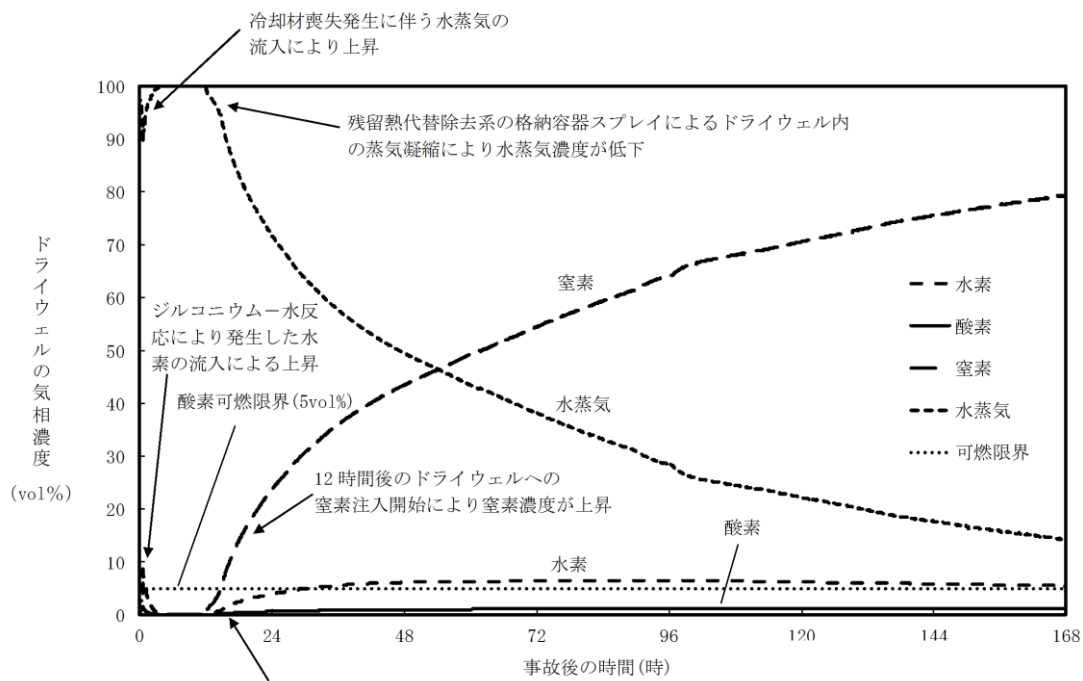
しかしながら、徐々にではあるが、水の放射線分解により水素濃度及び酸素濃度は上昇し続けることから、格納容器内水素濃度（SA）及び格納容器内酸素濃度（SA）起動後（事象発生から約2時間）、水素濃度及び酸素濃度を継続して監視可能としている。

なお、「冷却材喪失（大破断LOCA）+ECCS注水機能喪失+全交流動力電源喪失」事故時において、G値を設計基準事故対処設備である可燃性ガス濃度制御系の性能を評価する際に用いたG値（沸騰状態： $G(H_2)=0.4$ ,  $G(O_2)=0.2$ , 非沸騰状態： $G(H_2)=0.25$ ,  $G(O_2)=0.125$ ）とした場合についても、原子炉格納容器内の酸素濃度が4.4vol%（ドライ条件）に到達するのは、事象発生から約85時間後である。また、窒素封入の切替え操作（原子炉格納容器内の酸素濃度4vol%到達時）は、事象発生から約49時間後である（図2.3.1-3及び図2.3.1-4参照）。これより、格納容器内酸素濃度（SA）を起動する事象発生から約2時間までに原子炉格納容器内の酸素濃度が可燃限界（5vol%）に到達することはない。

さらに、過圧破損の回避を目的とした格納容器ベントを実施することにより、発生する蒸気とともに原子炉格納容器内の非凝縮性ガスのほとんどは格納容器ベントを通じて排出されることとなることから、酸素濃度の監視は必要とはならない。

### ③耐環境条件

「冷却材喪失（大破断L O C A）+ E C C S 注水機能喪失+全交流動力電源喪失」事故時における各パラメータの推移を踏まえても測定可能であることが必要である。



残熱代替除去系の格納容器スプレイによるドライウェル内の蒸気凝縮により、サプレッショ n・チェンバ内の非凝縮性ガスがドライウェルへ流入し、非凝縮性ガスの濃度が上昇

図 2.3.1-1 ドライウェルの気相濃度の推移（ウェット条件）  
格納容器過圧・過温破損（残留熱代替除去系を使用する場合）

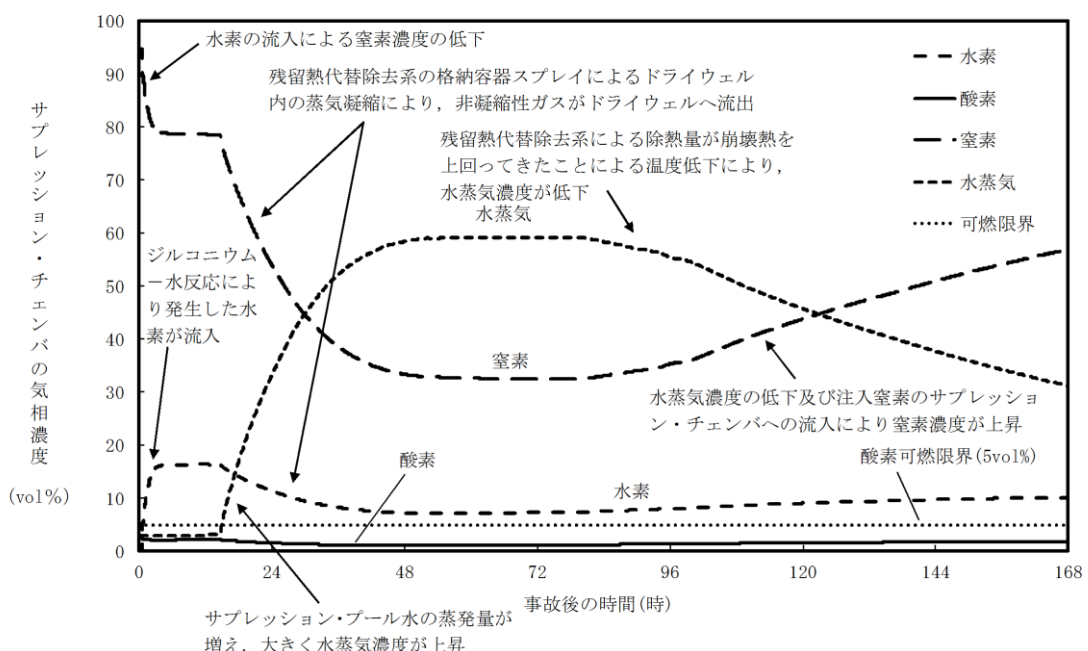
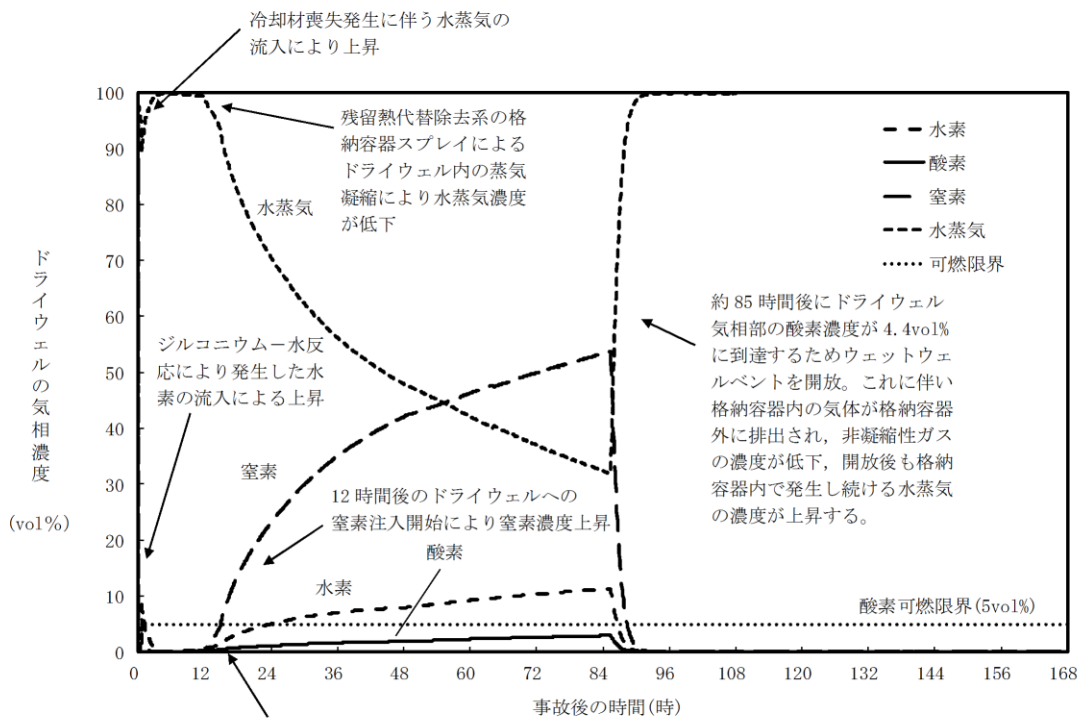


図 2.3.1-2 サプレッション・チェンバの気相濃度の推移（ウェット条件）  
格納容器過圧・過温破損（残留熱代替除去系を使用する場合）



残留熱代替除去系の格納容器スプレイによるドライウェル内の蒸気凝縮により、サプレッション・チェンバ内の非凝縮性ガスがドライウェルへ流入し、非凝縮性ガスの濃度が上昇

図 2.3.1-3 G 値を設計基準事故ベースとした場合のドライウェルの気相濃度の推移（ウェット条件）

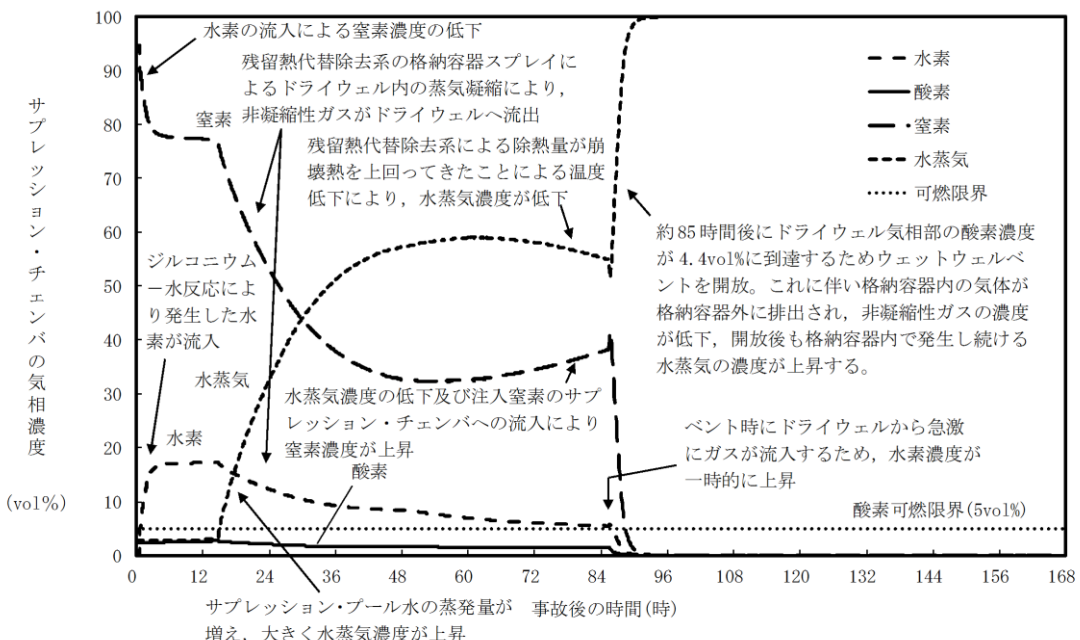


図 2.3.1-4 G 値を設計基準事故ベースとした場合のサブレッショングルーム・チャンバの気相濃度の推移（ウェット条件）

## (2) 水素濃度及び酸素濃度の監視方法

水素濃度は4 vol%, 酸素濃度は5 vol%までの測定が可能であることが必要であることから、「冷却材喪失（大破断 L O C A）+ E C C S 注水機能喪失+全交流動力電源喪失」（残留熱代替除去系を使用する場合）における原子炉格納容器内の水素濃度及び酸素濃度の監視は、以下の設備により実施する。

表 2.3.1-1 計装設備の主要仕様

名称	検出器の種類	計測範囲	個数	取付箇所
格納容器水素濃度 (S A)	熱伝導式 水素検出器	0~100vol%	1	原子炉建物中2階
格納容器酸素濃度 (S A)	磁気力式 酸素検出器	0~25vol%	1	原子炉建物中2階
格納容器水素濃度	熱伝導式 水素検出器	0~5%/ 0~100%	1	原子炉建物3階
格納容器酸素濃度	熱磁気風式 酸素検出器	0~5%/ 0~25%	1	原子炉建物3階

## (3) 水素ガス及び酸素ガスの処理方法

有効性評価では、機能喪失を仮定した設備の復旧には期待せず、重大事故等時の環境下におけるG値に基づき、7日間以内に水素ガスと酸素ガスの両方の濃度が可燃限界に到達しないことを確認している。

しかしながら、ここでは7日間以内に水素ガスと酸素ガスの両方の濃度が可燃限界に達した場合と事象発生後8日目以降の水素ガス及び酸素ガスの扱いについて以下に示す。

### a. 7日間以内に水素ガスと酸素ガスの両方の濃度が可燃限界に到達した場合

機能喪失を仮定した設備の復旧には期待しないという前提においては、原子炉格納容器内の水素ガス及び酸素ガスを処理する方法は格納容器ベントによって原子炉格納容器外へ放送出する手段となる。よって、酸素濃度が5 vol%に至るまでに格納容器ベントを実施する。なお、格納容器ベントの実施により蒸気と共に非凝縮性ガスは排出され、その後の原子炉格納容器内の気体組成は水蒸気がほぼすべてを占めることとなる。

残留熱代替除去系等が復旧し、格納容器圧力制御が可能になった場合にあっても、仮に酸素濃度が5 vol%に到達するおそれがある場合、格納容器ベントを通じて非凝縮性ガスを原子炉格納容器外へ排出することとなる。このとき格納容器スプレイによって、格納容器内圧力が低い状態での排出となるが、炉心崩壊熱による蒸気発生は長時間継続するため、その蒸気とともに非凝縮性ガスは同時に排出され、原子炉格納容器内に残る水素ガス及び酸素ガ

スは無視し得る程度となり、可燃限界に至ることはない（「重大事故等対策の有効性評価、3.4 水素燃焼、添付資料 3.4.1 G 値を設計基準事故ベースとした場合の評価結果への影響」参照）。

b. 事象発生後 8 日目以降の水素ガス及び酸素ガスの処理方法

この場合、機能喪失を仮定した設備の復旧又は外部からの支援等に期待することができ、多様な手段を確保することができる。

まず、可燃性ガス濃度制御系の復旧を試みることで、水の放射線分解により発生する酸素ガスを処理する。また、a. と同様に格納容器ベントによる排出も可能であり、水素ガス及び酸素ガスの処理については多様な手段を有する。

(4) 原子炉補機代替冷却系復旧以前における原子炉格納容器内の酸素濃度の測定

原子炉格納容器内の酸素濃度を把握する目的としては、事故後の原子炉格納容器内の水素ガスが燃焼を生じる可能性の把握である。

有効性評価においては、約 10 時間以前に原子炉格納容器内の酸素濃度が可燃限界 (5 vol%) に至らないことを確認しているが、約 10 時間以前において原子炉格納容器内の酸素濃度を把握する方法として、格納容器水素濃度 (S A) 及び格納容器酸素濃度 (S A) で測定する。格納容器水素濃度 (S A) 及び格納容器酸素濃度 (S A) は、原子炉補機代替冷却系等による冷却水を必要とせず、常設代替交流電源設備による給電後の事故初期（重大事故等発生から約 2 時間後）から、原子炉格納容器内の水素濃度及び酸素濃度の計測が可能である。

### 3. 本系統の運用にあたって考慮すべき項目

#### 3.1 放射線による影響について

##### ①耐放射線に関する設計考慮について

残留熱代替除去系は、重大事故等時に炉心損傷した場合の放射線影響を考慮して設計を行う。具体的には、放射線による劣化影響が懸念される有機材（シール材等）が使用されている機器について、残留熱代替除去系を運転する環境における放射線影響を考慮して設計する。

残留熱代替除去系を運転する際の放射線量については、簡易解析評価の結果、運転時間90日とした場合に、代表的な配管表面部において積算放射線量は約□kGyであることが目安としてある。よって、残留熱代替除去系の運転操作に必要な機器で、放射線による劣化影響が懸念される機器（電動機、ケーブル、シール材等）については、運転環境下における当該部位の放射線量を考慮して機能確保可能な設計とする。

##### ②水の放射線分解による水素影響について

炉心損傷後の冷却水には、放射性物質が含まれていることにより、水の放射線分解による水素等の可燃性ガスの発生が想定されるが、残留熱代替除去系運転中は配管内に流れがあり、また、冷却水が滞留する箇所がないことから、配管内に水素が大量に蓄積されることは考えにくい。

残留熱代替除去系の運転を停止した後は、可燃性ガスの爆発防止等の対策として、系統水を入れかえるためにフラッシングを実施することとしており、水の放射線分解による水素発生を防止することが可能となる。具体的には残留熱除去ポンプのB-RHRポンプトーラス水入口弁を閉じ、残留熱代替除去系に大量送水車から外部水源を供給することにより、系統のフラッシングを実施する。

本資料のうち、枠囲みの内容は機密に係る事項のため公開できません。

### 3.2 系統の健全性について

#### (1) 残留熱代替除去系運転時の系統水漏えいの可能性

残留熱代替除去系は残留熱除去系と組み合せて重大事故等対処設備として系統を構成しているものである。

残留熱代替除去系を使用する場合に流路となる残留熱除去系の配管、弁及び熱交換器については、残留熱除去系として使用する場合と同様に流路として使用する設計であること及び残留熱除去系の設計条件を超えない範囲で使用するため、系統水が漏えいすることはない。残留熱代替除去系の流路を図3.2-1に示す。

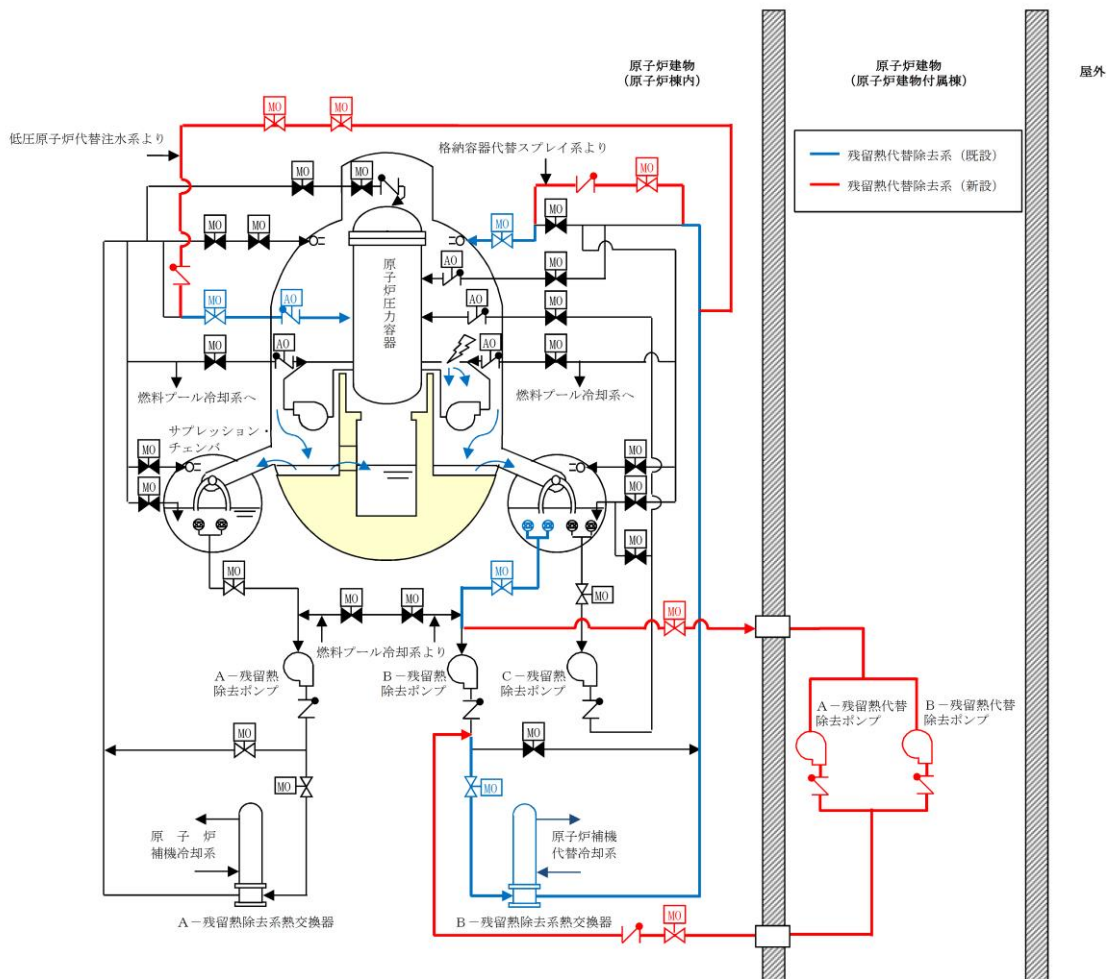


図 3.2-1 残留熱代替除去系系統概要図

## 格納容器水素濃度・酸素濃度の測定原理と適用性について

## 1. 格納容器水素濃度（S A）について

## (1) システム構成

格納容器水素濃度（S A）のシステム概要を図 1 に示す。格納容器水素濃度（S A）は、重大事故等対処設備の機能を有しており、格納容器水素濃度（S A）の検出信号は、熱伝導式水素検出器からの電流信号を演算装置にて水素濃度信号へ変換する処理を行った後、格納容器水素濃度（S A）を中央制御室に指示し、緊急時対策所にて記録する。（図 2 「格納容器水素濃度（S A）の概略構成図」参照。）

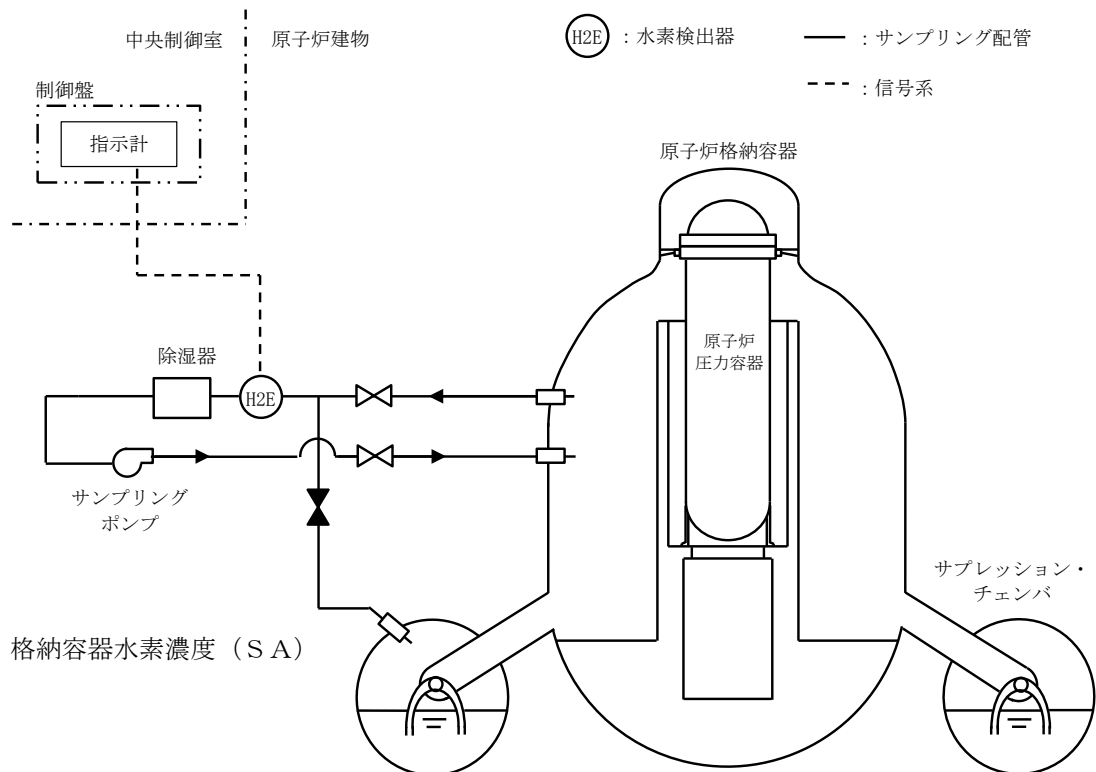


図 1 格納容器水素濃度（S A）システム概要

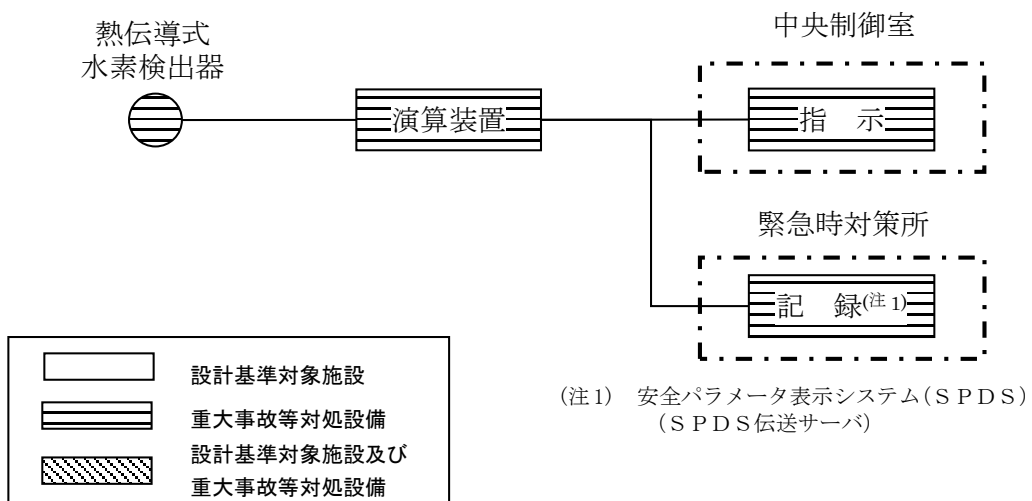


図2 格納容器水素濃度（SA）の概略構成図

## (2) 測定原理

原子炉格納容器内の水素濃度を測定するために用いる格納容器水素濃度（SA）は、熱伝導式のものを用いる。熱伝導式の水素検出器は、図3に示すとおり、検知素子と補償素子（サーミスタ）でブリッジ回路が構成されている。検知素子の部分のみに測定対象ガスが流れ、補償素子に測定対象ガスが流れない構造としている。

水素濃度の測定部より電圧を印加して検知素子と補償素子の両方のサーミスタを一定温度に加熱した状態で、検知素子側に水素を含む測定ガスを流すと、測定ガスが熱を奪い、検知素子の温度が低下することにより抵抗が低下する。

この検知素子の抵抗が低下することによりブリッジ回路の平衡が失われ、図3のA B間に電位差が生じる。この電位差が水素濃度に比例する原理を用いて、水素濃度を測定する。

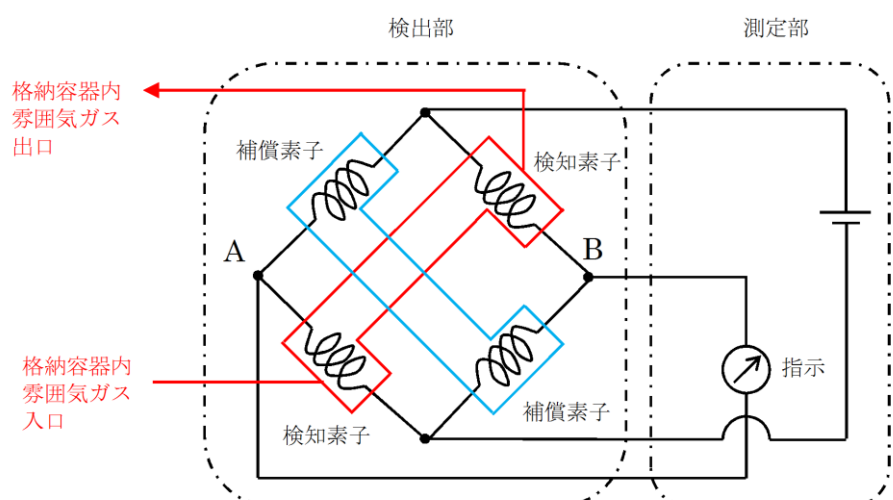


図3 格納容器水素濃度（SA）検出回路の概要図

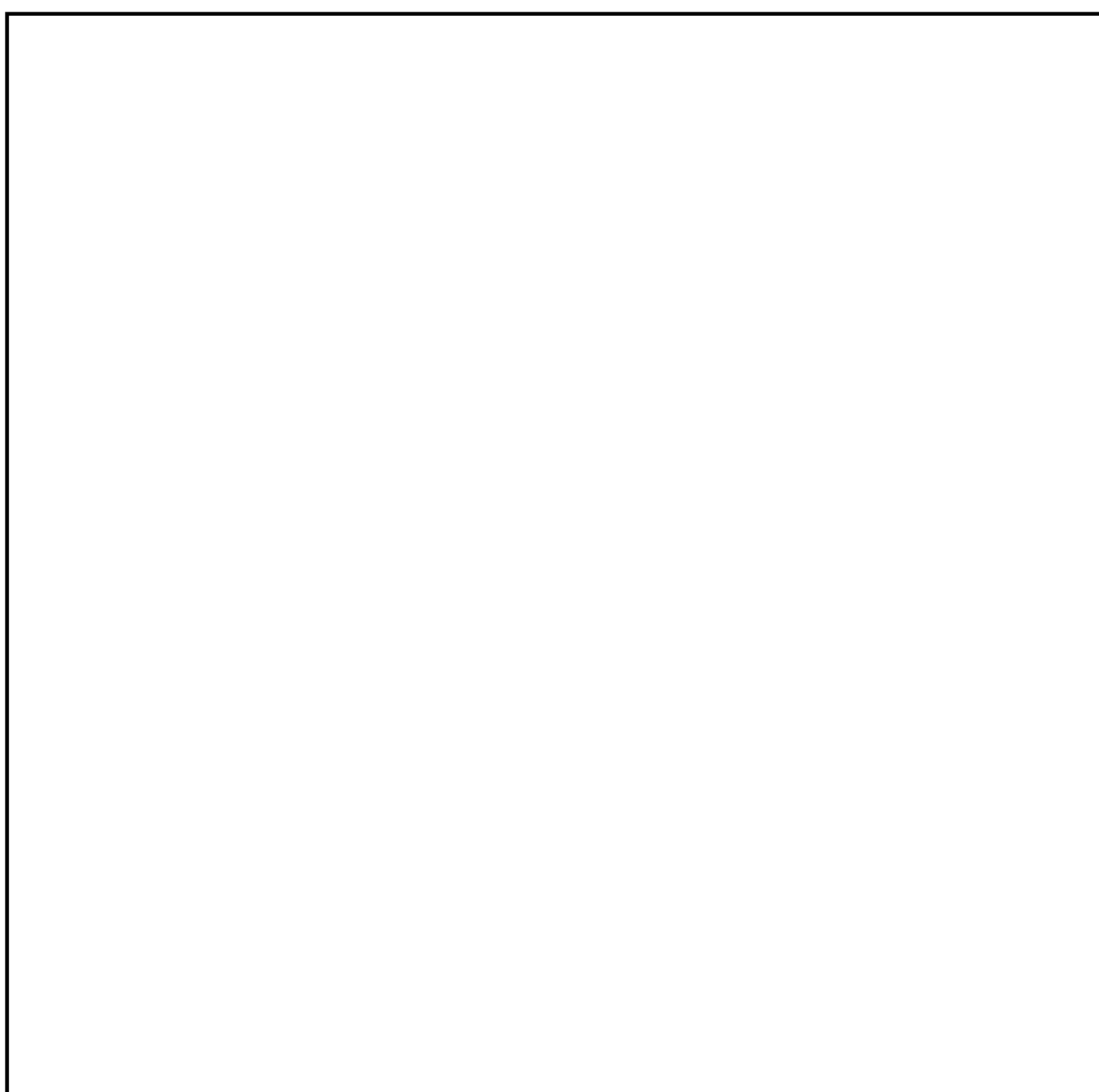


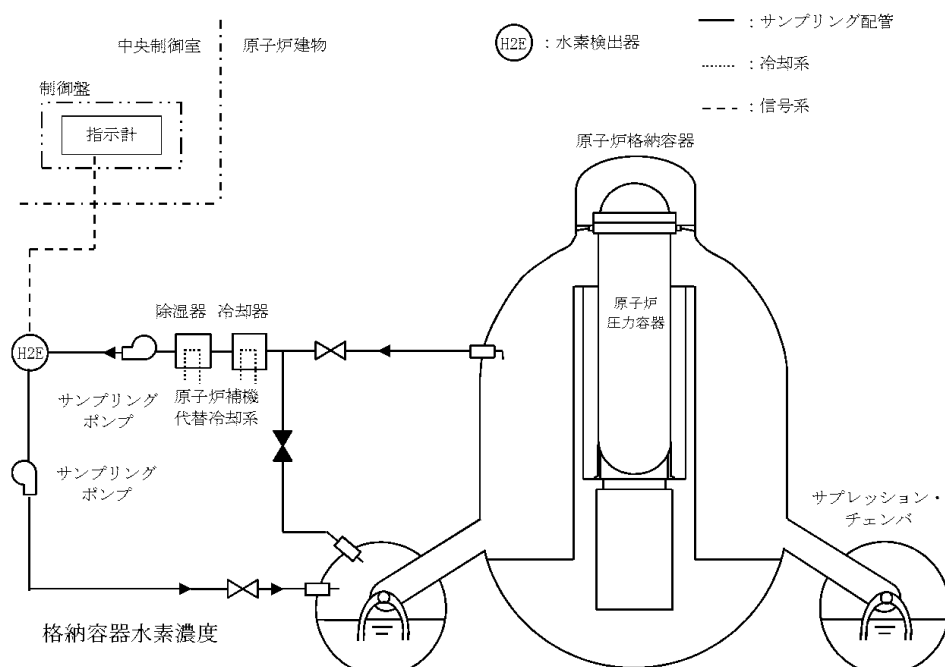
図4 機器配置図（原子炉建物中2階）

本資料のうち、枠囲みの内容は機密に係る事項のため公開できません。

## 2. 格納容器水素濃度について

### (1) システム構成

格納容器水素濃度のシステム概要を図5に示す。格納容器水素濃度は、設計基準対象施設及び重大事故等対処設備の機能を有しており、格納容器水素濃度の検出信号は、熱伝導式水素検出器からの電圧信号を、前置増幅器で増幅し、中央制御室の演算装置にて水素濃度信号へ変換する処理を行った後、格納容器水素濃度を中央制御室に指示し、緊急時対策所にて記録する。(図6「格納容器水素濃度の概略構成図」参照。)



※2系列のうちB系を示す。

図5 格納容器水素濃度システム概要

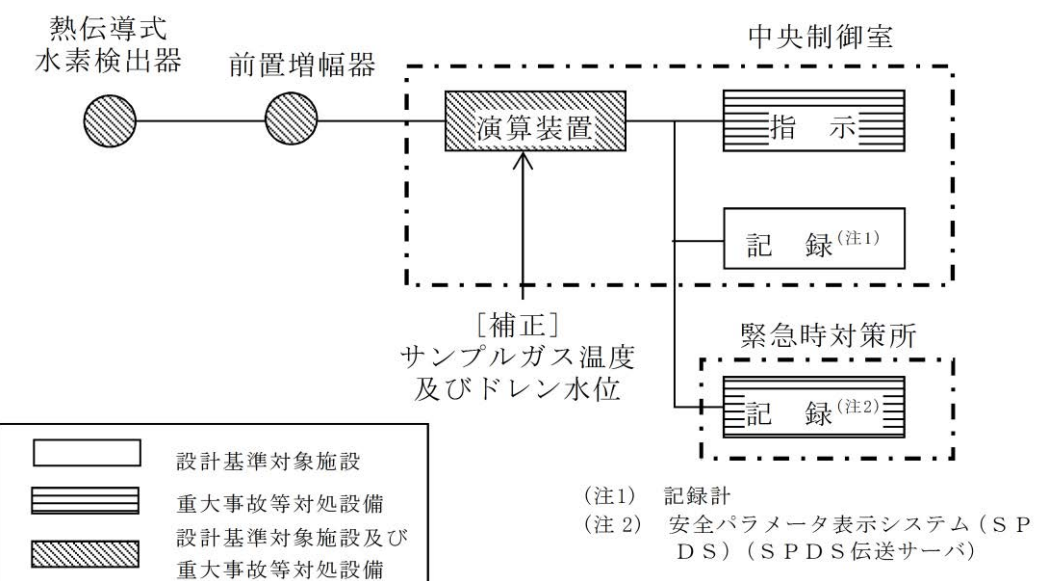


図6 格納容器水素濃度の概略構成図

## (2) 測定原理

原子炉格納容器内の水素濃度を測定するために用いる格納容器水素濃度は、熱伝導式のものを用いる。熱伝導式の水素検出器は、図7に示すとおり、検知素子と補償素子（サーミスタ），及び2つの固定抵抗でブリッジ回路が構成されている。検知素子の部分に、サンプリングされたガスが流れるようになっており、補償素子には基準となる標準空気が密閉されており測定対象ガスとは接触しない構造になっている。

水素濃度計指示部より電圧を印加して検知素子と補償素子の両方のサーミスタを約150°Cに加熱した状態で、検知素子側に水素を含む測定ガスを流すと、測定ガスが熱を奪い、検知素子の温度が低下することにより抵抗が低下する。この検知素子の抵抗が低下するとブリッジ回路の平衡が失われ、図7のA B間に電位差が生じる。この電位差が水素濃度に比例する原理を用いて、水素濃度を測定する。

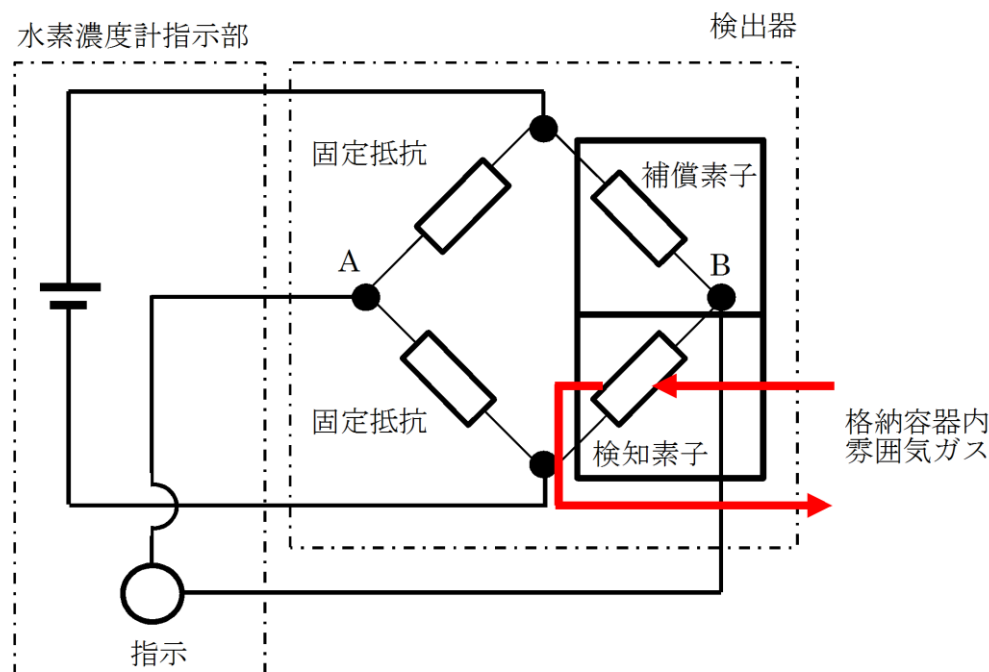


図7 格納容器水素濃度検出回路の概要図

(3) 設置場所

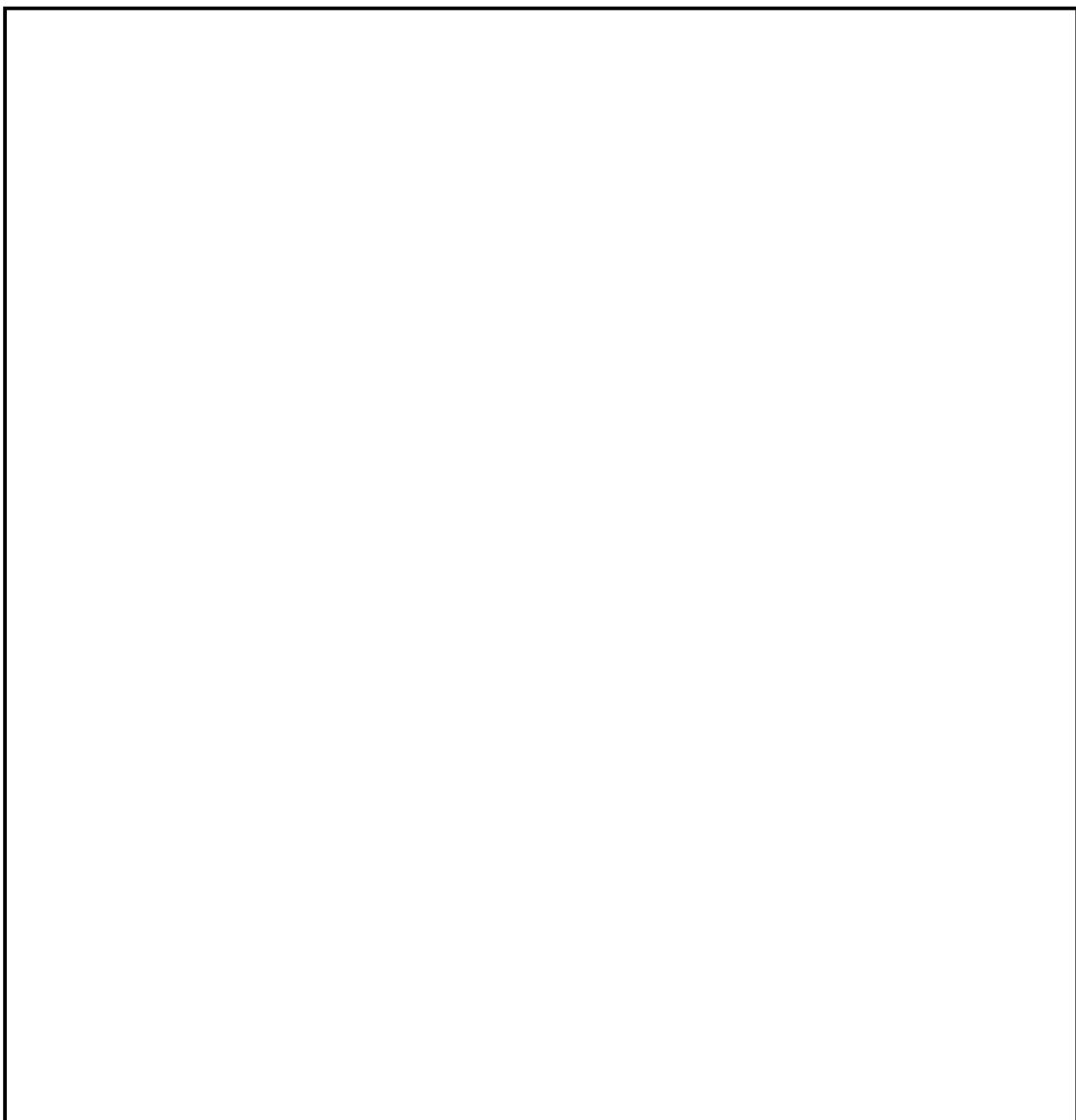


図8 機器配置図（原子炉建物3階）

本資料のうち、枠囲みの内容は機密に係る事項のため公開できません。

### 3. 格納容器酸素濃度（S A）について

#### (1) システム構成

格納容器酸素濃度（S A）のシステム概要を図9に示す。格納容器酸素濃度（S A）は、重大事故等対処設備の機能を有しており、格納容器酸素濃度（S A）の検出信号は、磁気力式酸素検出器からの電流信号を演算装置にて酸素濃度信号へ変換する処理を行った後、格納容器酸素濃度（S A）を中央制御室に指示し、緊急時対策所にて記録する。（図10「格納容器酸素濃度（S A）の概略構成図」参照。）

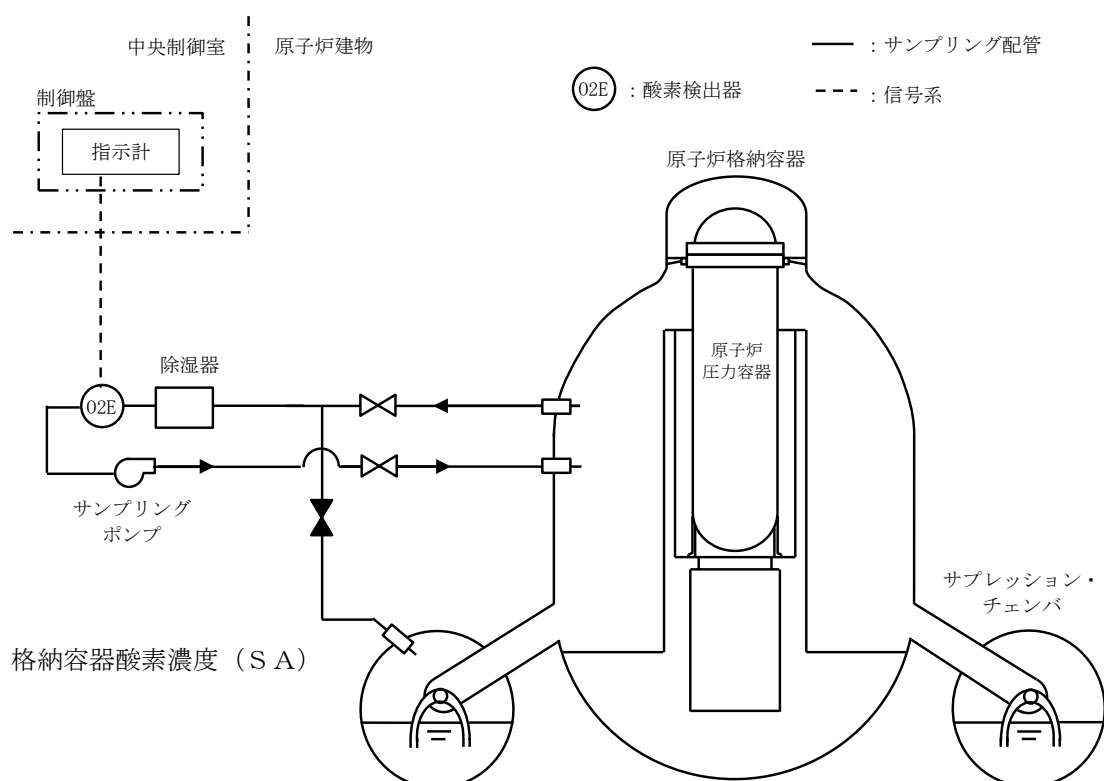


図9 格納容器酸素濃度（S A）システム概要

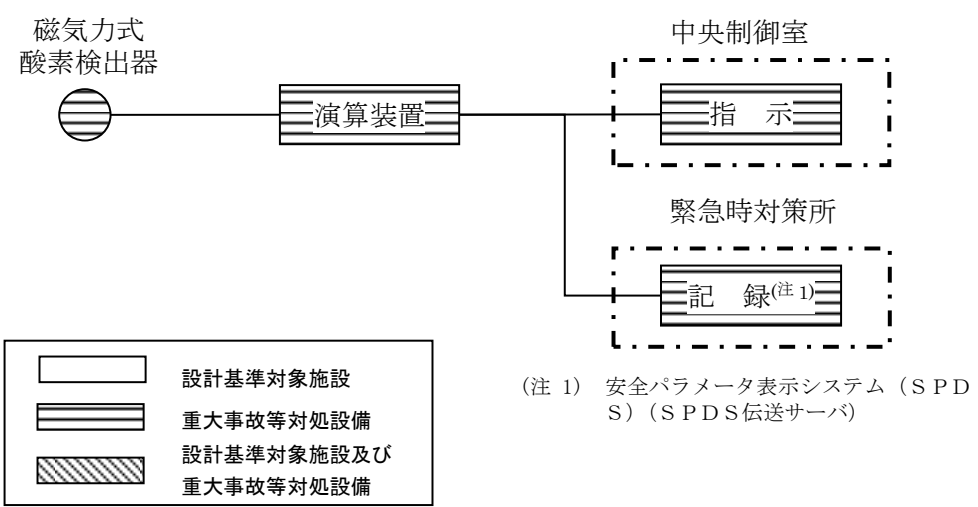


図 10 格納容器酸素濃度 (S A) の概略構成図

## (2) 測定原理

原子炉格納容器内の酸素濃度を測定するために用いる格納容器酸素濃度（S A）は、磁気力式のものを用いる。

磁気力式の酸素検出器は、図 11「格納容器酸素濃度（S A）の概要図」に示すとおり、吊るされた2つの球体、くさび型状の磁極片、LEDからの光を受光素子へ反射する鏡等で構成されている。また、格納容器酸素濃度（S A）の検出回路を図 12「格納容器酸素濃度（S A）検出回路図」に示す。

初期状態において球体は上から見て右回りに傾いた位置で静止している。ガラス管内に強い磁化率を持つ酸素分子が流れ込むと、磁場に引き寄せられ、磁極片の先端部に酸素分子が吸引されることで、先端部周辺の酸素密度が上昇する。吊るされた2つの球体は磁極片の先端部側と端部側の密度差によって生じた浮力により右回りに回転する。これにより、LEDからの光を受光素子への光量が一定となるように制御しており、受光素子への光量が変化する。增幅器は受光素子への光量の変化を検知するとフィードバック電流を増加させる。球体はフィードバック電流がコイルを流れることで発生するカウンターモーメントを受けて光量が一定となる初期位置で静止する。このフィードバック電流が酸素濃度に比例する原理を用いて酸素濃度の測定を行う。

（図 13「格納容器酸素濃度（S A）の動作原理イメージ」参照）。

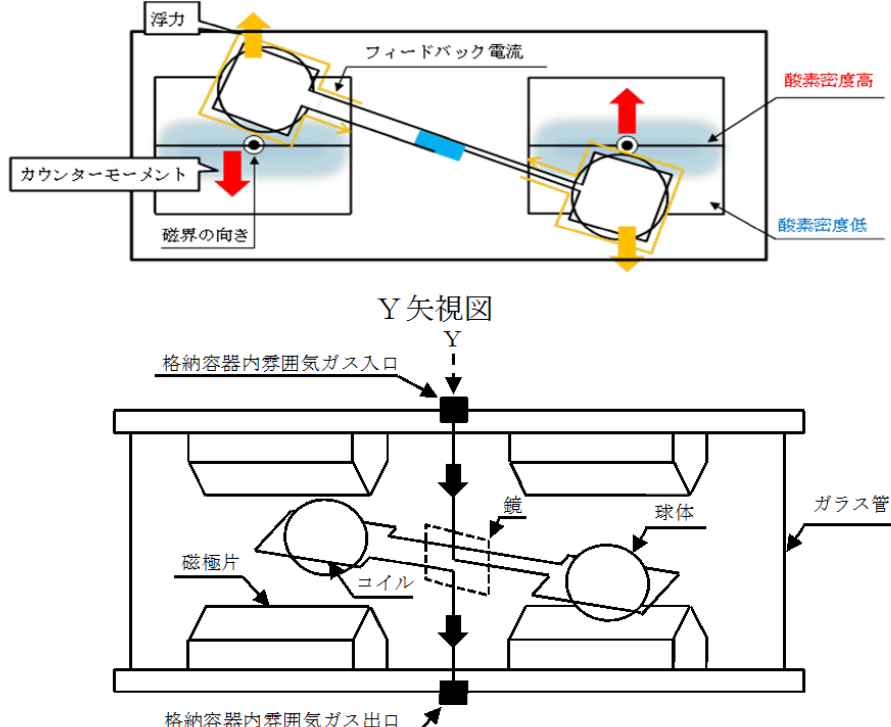


図 11 格納容器酸素濃度（S A）の概要図

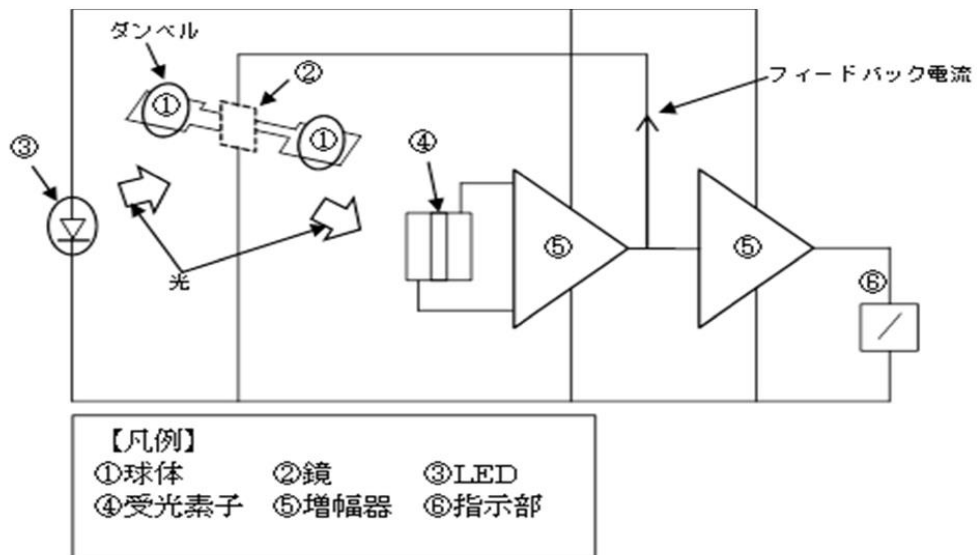


図 12 格納容器酸素濃度 (S A) の検出回路図

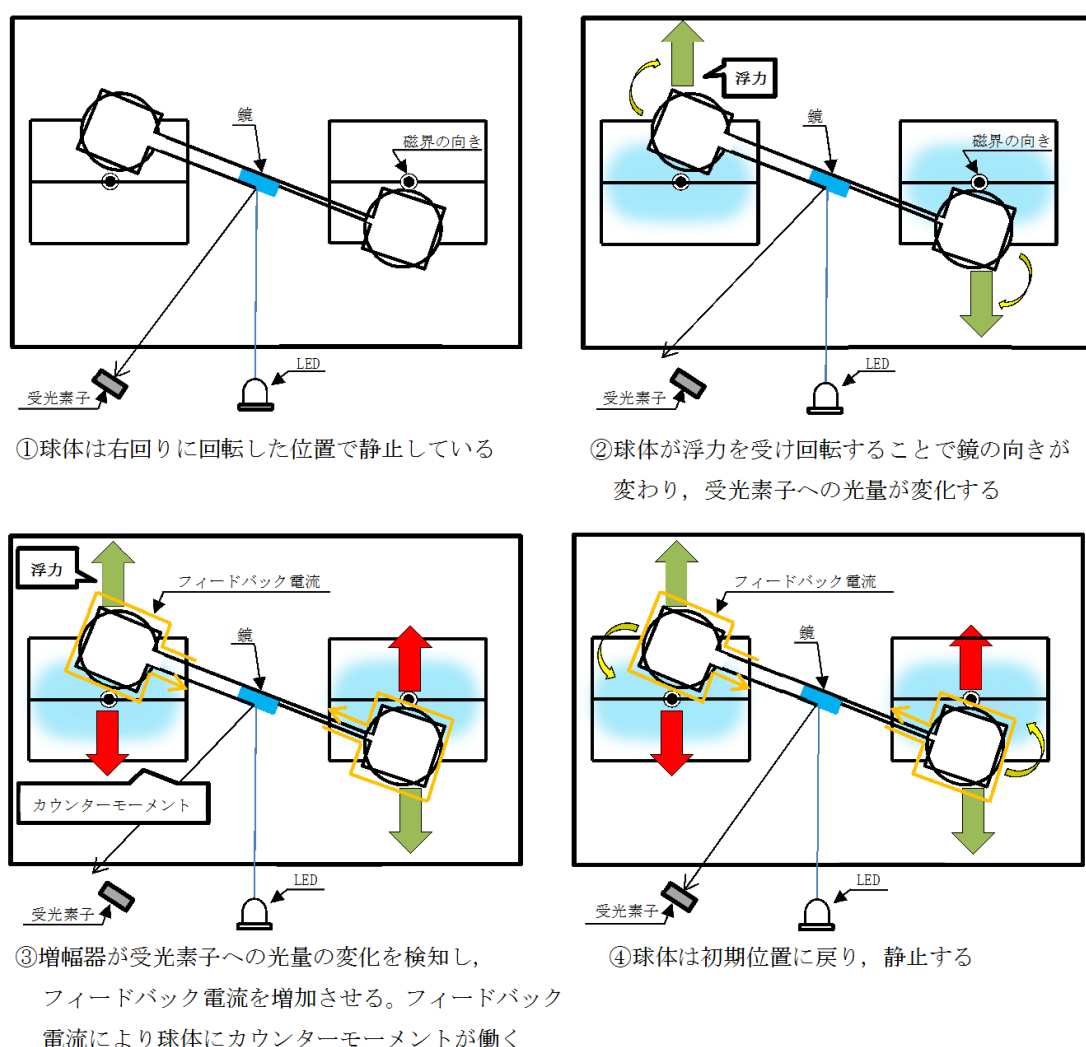


図 13 格納容器酸素濃度 (S A) の動作原理イメージ

(3) 設置場所

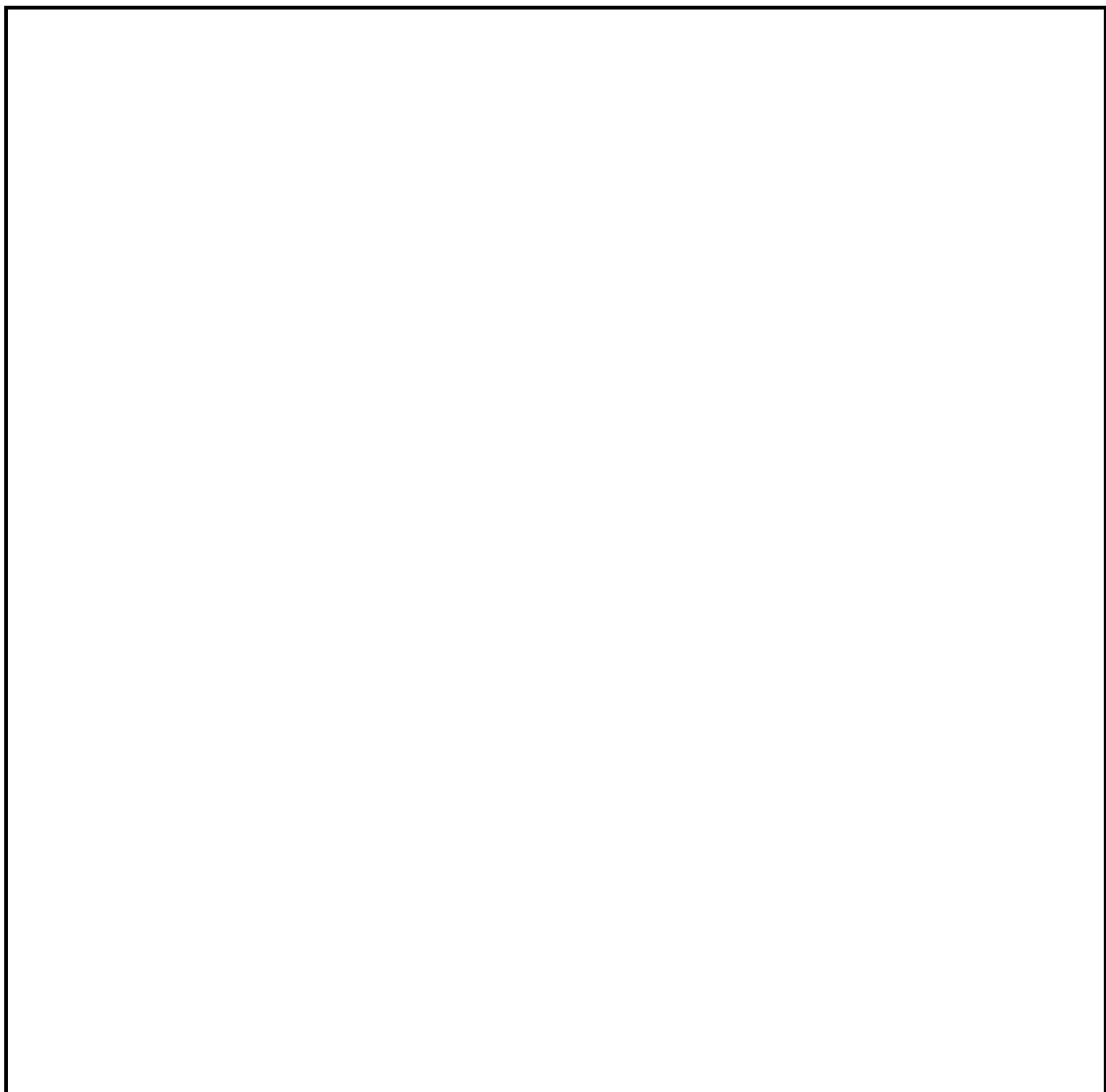


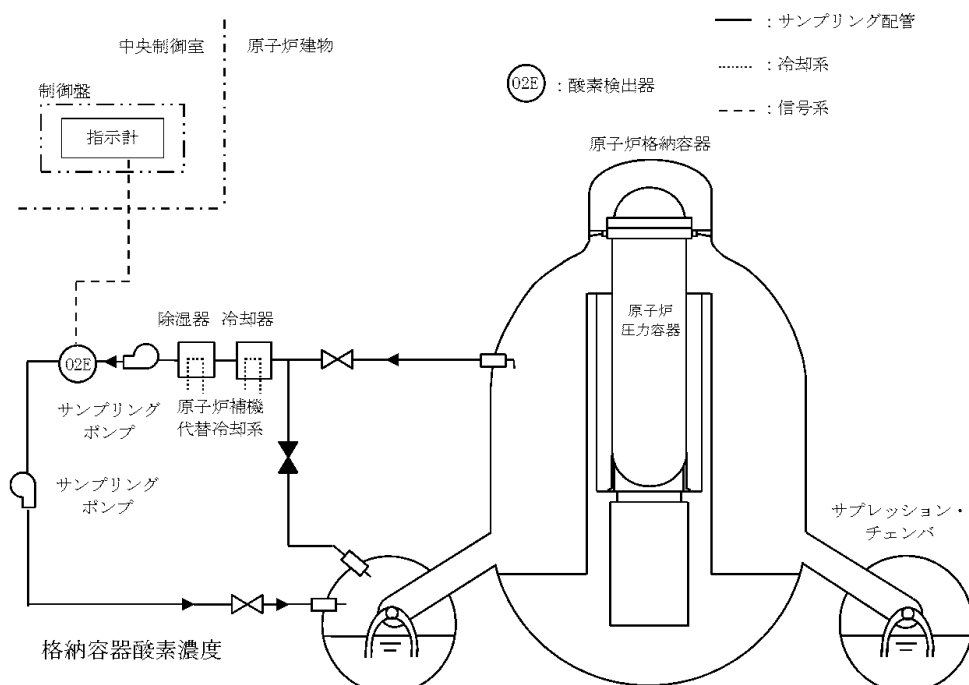
図 14 機器配置図（原子炉建物中 2 階）

本資料のうち、枠囲みの内容は機密に係る事項のため公開できません。

## 4. 格納容器酸素濃度について

### (1) システム構成

格納容器酸素濃度のシステム概要を図 15 に示す。格納容器酸素濃度は、設計基準対象施設及び重大事故等対処設備の機能を有しており、格納容器酸素濃度の検出信号は、熱磁気風式酸素検出器からの電圧信号を、前置増幅器で増幅し、中央制御室の演算装置にて酸素濃度信号へ変換する処理を行った後、格納容器酸素濃度を中央制御室に指示し、緊急時対策所にて記録する。(図 16「格納容器酸素濃度の概略構成図」参照。)



※2 系列のうちB系を示す。

図 15 格納容器酸素濃度システム概要

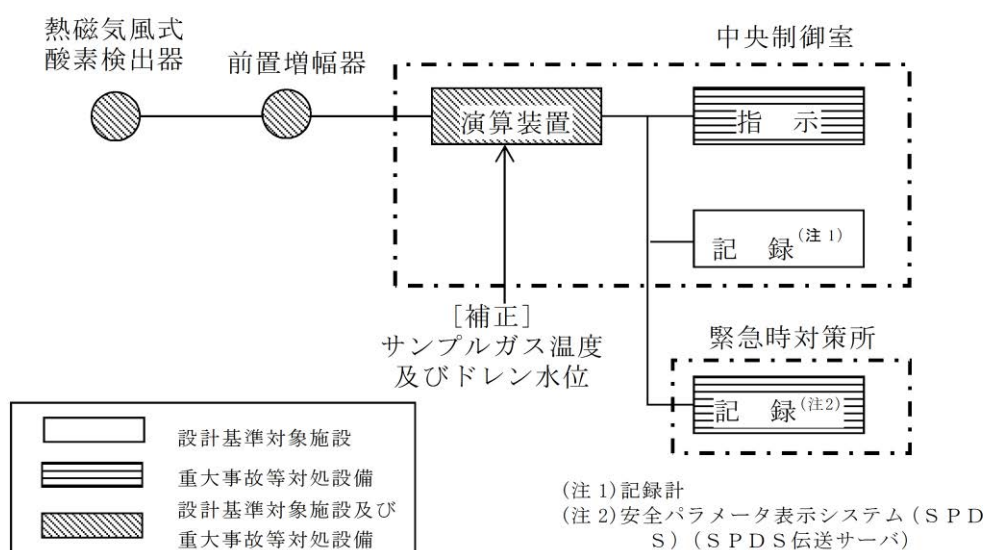


図 16 格納容器酸素濃度の概略構成図

## (2) 測定原理

原子炉格納容器内の酸素濃度を測定するために用いる格納容器酸素濃度は、熱磁気風式のものを用いる。熱磁気風式の酸素検出器は、図 17 に示すとおり、サーミスタ温度素子（発風側素子、受風側素子）及び 2 つの固定抵抗でブリッジ回路が構成されており、検出素子及び補償素子は一定温度で保温されている。

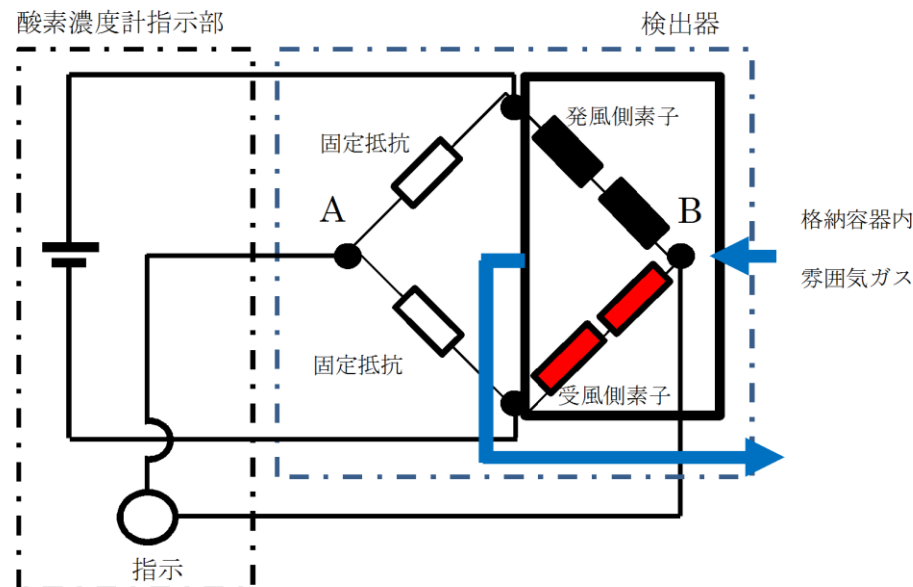


図 17 格納容器酸素濃度の概要図

酸素含有ガスの流れを図 18 に示す。酸素濃度計は 2 層構造のチャンバーで構成されており、サンプル入口より下部流入チャンバー内にサンプルガスが流入する。サンプルガスの大部分は下部流入チャンバーを通過しサンプル出口へ流出するが、少量のサンプルガスは上部測定チャンバー内に流入する。酸素は極めて強い常磁性体であることから、上部測定チャンバーに流入したサンプルガスは磁界中心部に引き寄せられ、加熱された発風側素子により温度が上昇する。磁化率は温度に反比例することから、後から流入してくる低温のサンプルガスにより、高温となったサンプルガスは磁界中心部から追い出されることとなる。発風側素子は低温のサンプルガスに熱を奪われることで冷やされることとなり、磁界外の受風側素子は発風側素子が奪われた熱を受け取り、暖められることとなる。

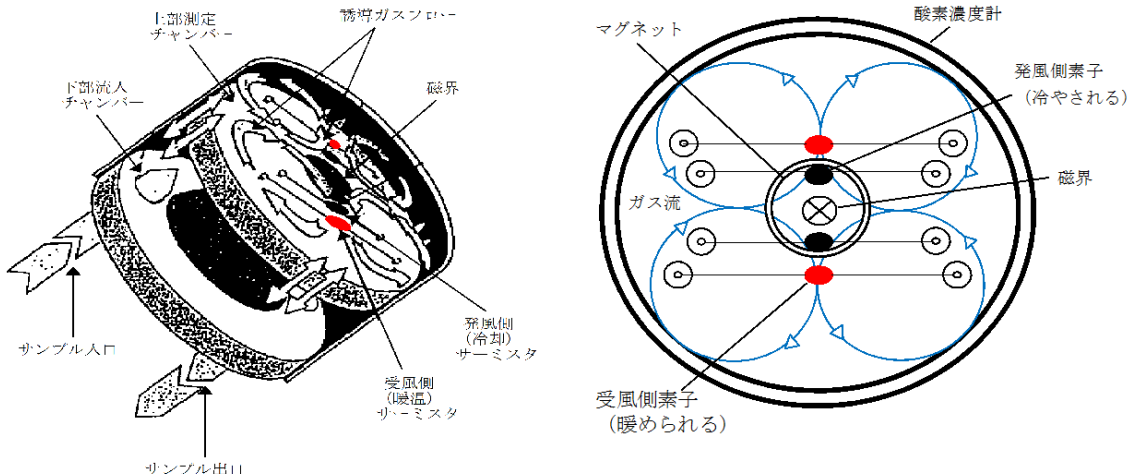


図 18 酸素含有ガスの流れ

チャンバー内に酸素を含む原子炉格納容器内雰囲気ガスを流すと、磁気風により発風側素子の温度が下がることで、発風側素子の抵抗は小さくなる。一方、受風側素子の温度が上がることで、受風側素子の抵抗は大きくなる。発風側素子と受風側素子の抵抗値が変化することで、ブリッジ回路の平衡が変化し、図 17 の A B 間に電位差（電流）が生じる。この電位差が酸素濃度に比例する原理を用いて、酸素濃度を測定する。

(3) 設置場所

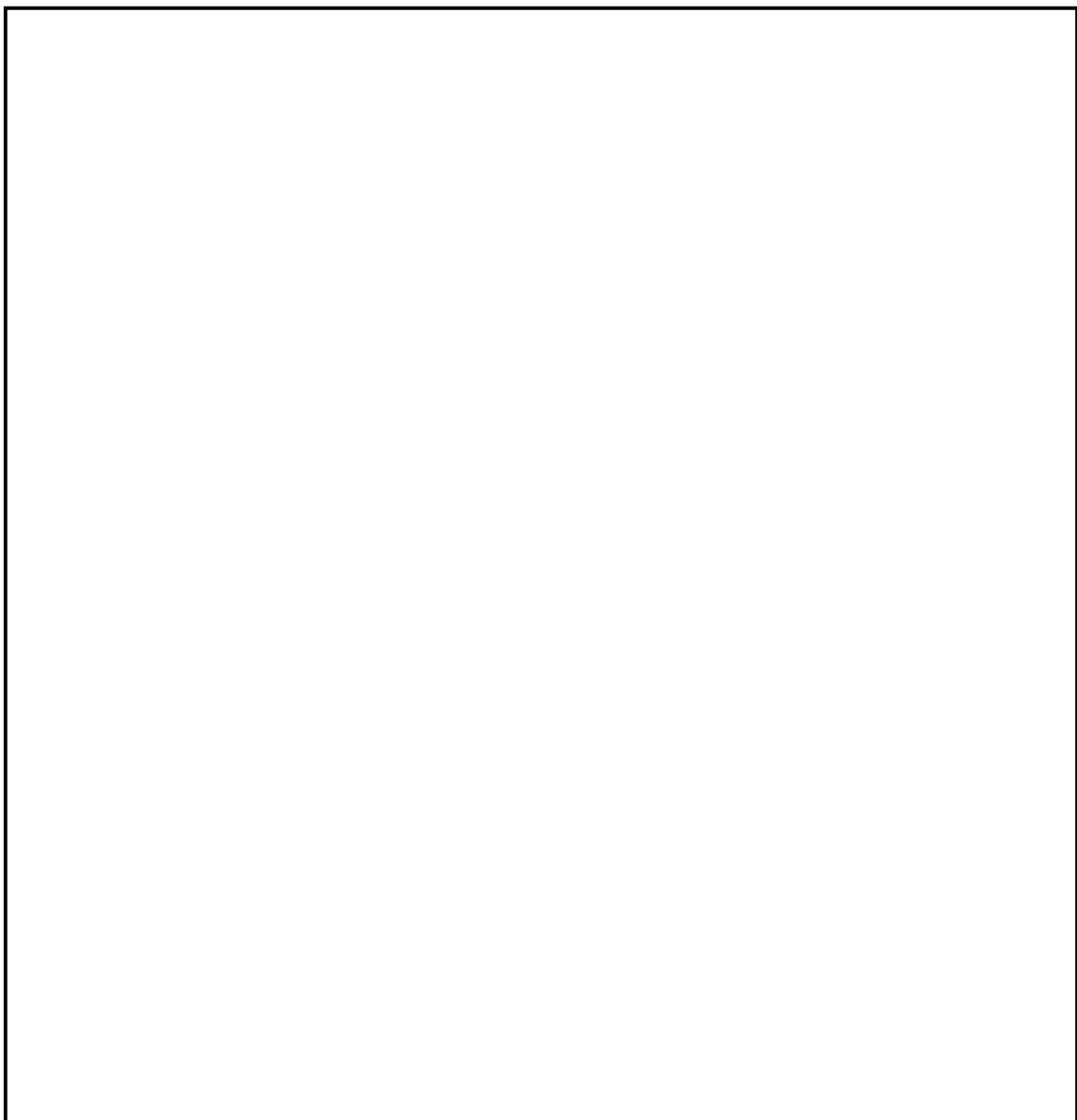


図 19 機器配置図（原子炉建物 3 階）

本資料のうち、枠囲みの内容は機密に係る事項のため公開できません。

## 循環流量の確保について

残留熱代替除去系の必要容量は、「2.1 有効性評価シナリオの成立性」で有効性が確認できている循環流量  $150\text{m}^3/\text{h}$ （原子炉注水： $30\text{m}^3/\text{h}$  及び格納容器スプレイ： $120\text{m}^3/\text{h}$ ）以上とする。よって、残留熱代替除去系は循環流量  $150\text{m}^3/\text{h}$  以上を確保する。残留熱代替除去ポンプは、補足説明資料 50-7 に示すとおり、循環流量  $150\text{m}^3/\text{h}$  以上を確保できるものを設置する。評価にあたっては「(1) ポンプの NPSH(Net Positive Suction Head) 評価」で系統圧力損失を考慮した有効 NPSH が残留熱代替除去ポンプの必要 NPSH を満足することを確認する。また、残留熱代替除去系運転時の系統閉塞による性能低下を防止するために「(2) 系統の閉塞防止対策」で閉塞防止対策を示す。

### (1) ポンプの NPSH 評価

ポンプがキャビテーションを起こさず正常に動作するためには、流体圧力や吸込配管圧力損失等により求められる「有効 NPSH」が、ポンプの「必要 NPSH」と同等かそれ以上であること（有効 NPSH  $\geq$  必要 NPSH）を満足する必要があり、有効 NPSH と必要 NPSH を比較する NPSH 評価により確認を行う。

本評価では、図 1 の系統構成を想定し、格納容器内圧力、サプレッション・プール水位と残留熱代替除去ポンプ軸レベル間の水頭差及び吸込配管圧力損失（残留熱除去系ストレーナの圧力損失を含む）により求められる有効 NPSH と、残留熱代替除去ポンプの必要 NPSH を比較することで評価する。

残留熱代替除去系においては、格納容器内圧力が変動することが想定され、これに伴い有効 NPSH が変動することとなるため、ここでは、有効 NPSH を満足できる格納容器内圧力の下限を示す。評価条件を図 2、表 1 に示す。

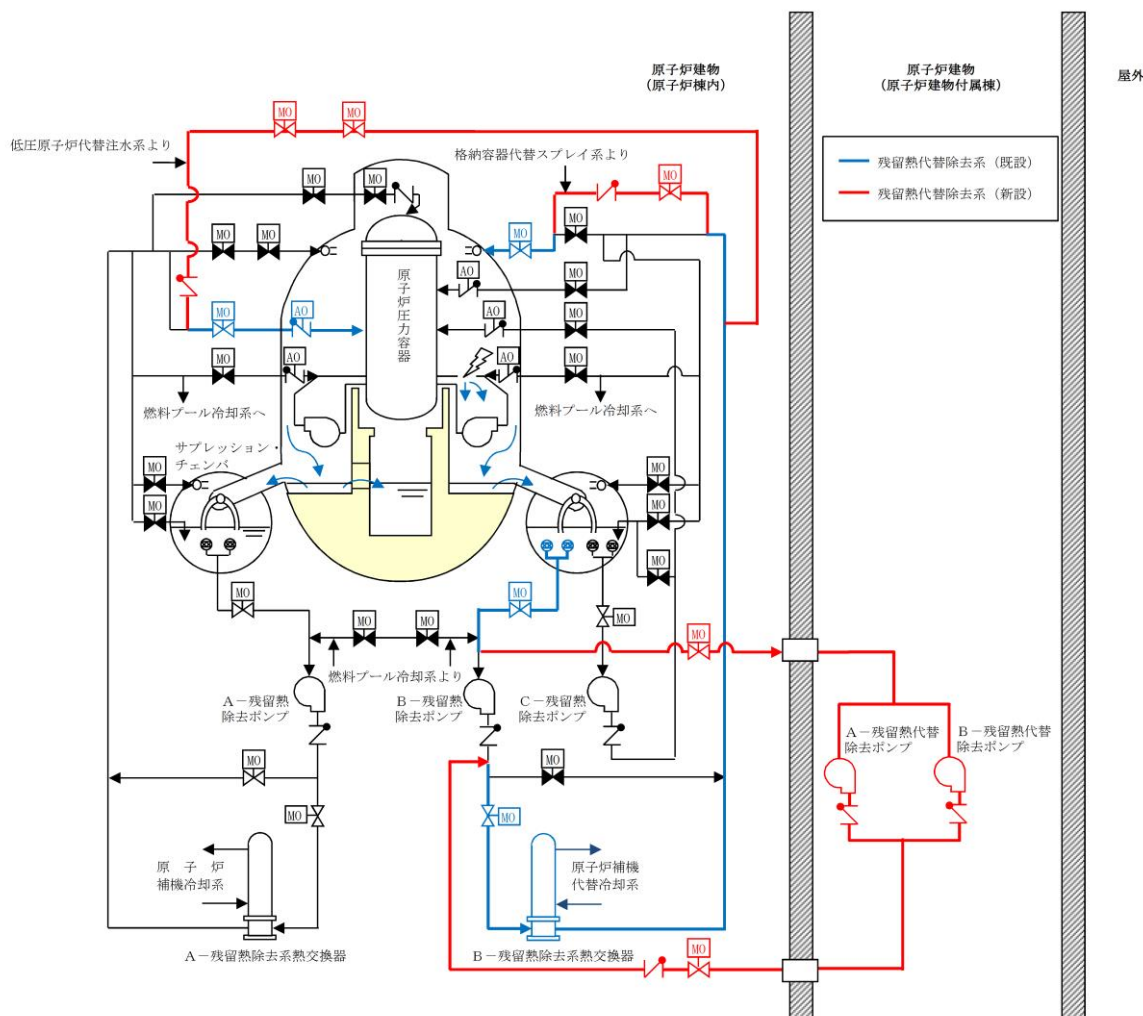


図1 残留熱代替除去系系統概要図

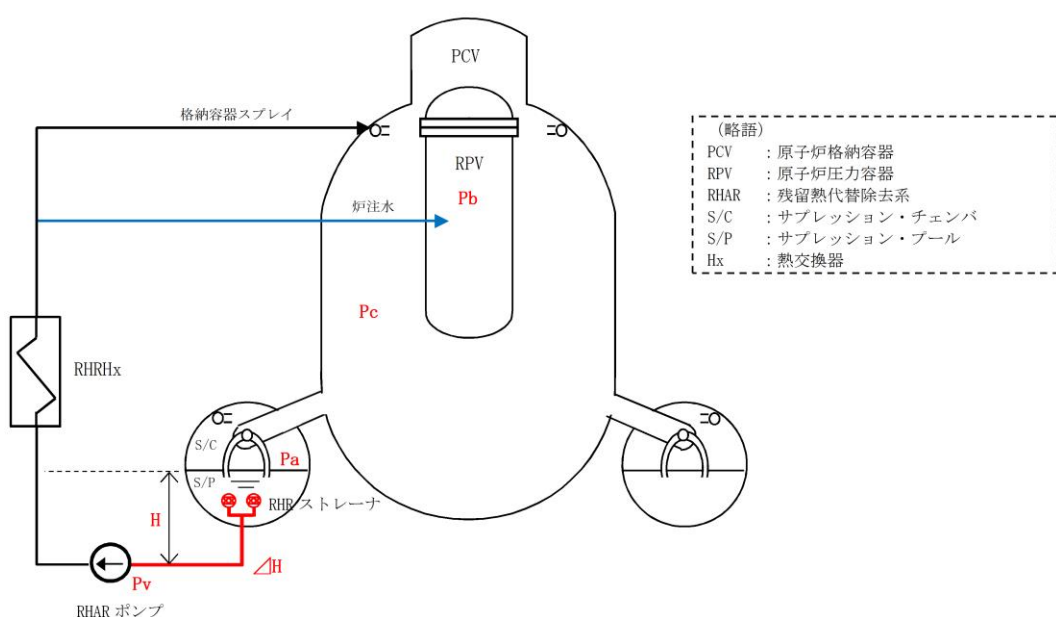


図2 NPSH評価条件図

表 1 NPSH 評価条件

項目		2号炉	設定根拠
Pa	S/C 壓力		(本評価では、NPSH 評価を成立させる S/C 壓力の下限を求めるものである)
Pv	残留熱代替除去ポンプ入口温度での飽和蒸気圧(水頭換算値)		有効性評価解析値であるピーク温度 132°C の飽和蒸気圧力
H	S/P 水位と残留熱代替除去ポンプ軸レベル間の水頭差		S/P 水位レベル(LWL) : [ ] とポンプ軸レベル: [ ] の差
ΔH	吸込配管圧損 (ストレーナ込)		ポンプ流量 150m³/h における圧損値
	残留熱代替除去ポンプの必要 NPSH		ポンプ定格流量時の必要 NPSH

表 1 の条件を元に、(有効 NPSH)  $\geq$  (必要 NPSH) の式より、有効 NPSH が必要 NPSH を満足できるか確認する。

$$( \text{有効 NPSH} ) = Pa - Pv + H - \Delta H \geq ( \text{必要 NPSH} )$$

$$Pa \geq [ ] \text{ MPa [gage]}$$

上記の結果を踏まえ、格納容器内圧力が [ ] MPa [gage] 以上の状態であれば残留熱代替除去ポンプの必要 NPSH を満足する。重大事故等時においては、格納容器内圧力が [ ] MPa [gage] 以上であることから、残留熱代替除去系は成立する。

また、残留熱代替除去系の運転が長期的に継続可能なことの例として、「残留熱代替除去系運転を 30 日間継続した場合の評価結果例」を示す。

#### 〈残留熱代替除去系運転を 30 日間継続した場合の評価結果例〉

「2.1 有効性評価シナリオの成立性」の格納容器過圧・過温破損(残留熱代替除去系を使用する場合)において、循環流量 150m³/h にて残留熱代替除去系を 30 日間運転継続した場合の格納容器圧力の推移の評価結果例を図 3 に示す。

図 3 より、事故 30 日後の格納容器圧力は約 0.4MPa [gage] であるため、上記 NPSH 評価結果の [ ] MPa [gage] 以上であり、残留熱代替除去系の運転は継続可能である。

本資料のうち、枠囲みの内容は機密に係る事項のため公開できません。

なお、長期的に安定状態を維持するにあたり、原子炉格納容器が隔離されている又は隔離した場合、水-放射線分解により発生する可燃性ガスの濃度制御が必要となる。この濃度制御は、事故後 12 時間後において、可搬式窒素供給装置により、格納容器内に窒素ガスを注入し酸素濃度を抑制することにより、水素が可燃限界濃度に到達することなく長期安定停止状態を維持することが可能となる。

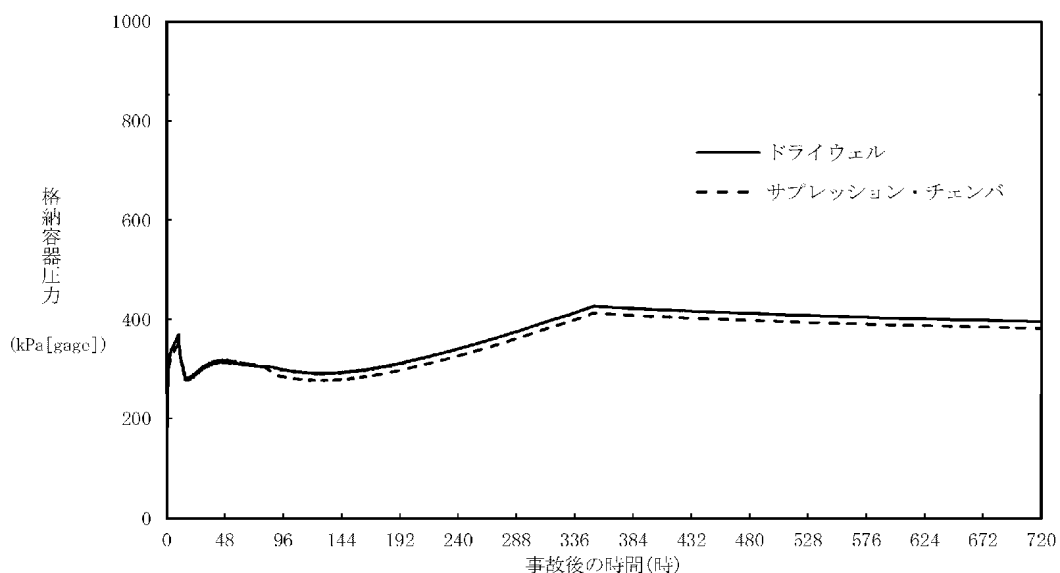


図 3 格納容器圧力の推移(循環流量  $150\text{m}^3/\text{h}$  にて残留熱代替除去系を 30 日間運転継続した場合)

## (2) 系統の閉塞防止対策

### a. 系統の閉塞評価について

残留熱代替除去系において系統機能喪失に繋がる閉塞事象が懸念される箇所は、流路面積が小さくなる残留熱除去系ストレーナ、格納容器スプレイノズル部が考えられる。

格納容器スプレイノズル部については、最小流路面積部に異物が詰まることを防止するために、残留熱除去系ストレーナ孔径が最小流路面積以下になるように設計している(表 2 参照)。

表 2 残留熱除去系ストレーナについて

残留熱除去系ストレーナ孔径	
格納容器スプレイノズル最小流路サイズ	

よって、残留熱代替除去系の閉塞防止に関する説明は、「b. 残留熱除去系ストレーナの閉塞防止対策について」に記載する。

本資料のうち、枠囲みの内容は機密に係る事項のため公開できません。

## b. 残留熱除去系ストレーナの閉塞防止対策について

残留熱除去系ストレーナの閉塞防止対策として、多孔プレートを組み合わせた大型ストレーナを採用するとともに、格納容器内の保温材のうち事故時に破損が想定される纖維質保温材は撤去することとしているため、纖維質保温材の薄膜効果<sup>\*1</sup>による異物の捕捉が生じることはない。

また、重大事故等時に格納容器内において発生する可能性のある異物としては保温材(パーライト等)、塗装片、スラッジが想定されるが、LOCA時のブローダウン過程等のサプレッション・プール水の流動により粉碎され粉々になった状態でストレーナに流れ着いたとしても、纖維質保温材がなく、薄膜効果による異物の捕捉が生じる可能性がないことから、これら粉状の異物がそれ自体によってストレーナを閉塞させることはない。

なお、本系統の成立性評価として「(1) ポンプの NPSH 評価」で NPSH 評価を実施しているが、この評価はストレーナを設置した際の工事計画書において評価した手法と同様の手法を用いて評価したものである。評価においては、纖維質の付着を考慮したストレーナの圧損評価を実施しており、残留熱代替除去ポンプ定格流量時の必要 NPSH を満足していることから、本系統の成立性に問題がないことを確認している(表 1 参照)。

また、残留熱代替除去系を使用開始する時点ではサプレッション・チェンバ内の流況は十分に静定している状態であり、ストレーナメッシュの通過を阻害する程度の粒径を有する異物はサプレッション・チェンバ底部に沈着している状態であると考えられる<sup>\*2</sup>。

重大事故等時には、損傷炉心を含むデブリが生じるが、仮に原子炉圧力容器外に落下した場合でも、原子炉圧力容器下部のペデスタルに蓄積することからサプレッション・チェンバへの流入の可能性は低い。

万が一、ペデスタルからオーバフローし、ベント管を通じてサプレッション・チェンバに流入する場合であっても、金属を含むデブリが流動により巻き上がることは考えにくく<sup>\*3</sup>、ストレーナを閉塞させる要因になることはないと考えられる。

このため、苛酷事故環境下においても残留熱除去系ストレーナが閉塞する可能性を考慮する必要はないと考えている。

さらに、仮にストレーナ表面にデブリが付着した場合においても、ポンプの起動・停止を実施することによりデブリは落下するものと考えられ<sup>\*4</sup>、加えて、長期冷却に対する更なる信頼性の確保を目的に、次項にて示すストレーナの逆洗操作が可能な設計としている。

### ※1：薄膜形成による粒子状デブリの捕捉効果について

「薄膜形成による粒子状デブリの捕捉効果」とは、ストレーナの表面のメッシュ(約 1 ~ 2 mm)を通過するような細かな粒子状のデブリ(スラッジ等)が、纖維質デブリにより形成した膜により捕捉され圧損を上昇させ

るという効果をいう。(図4参照)

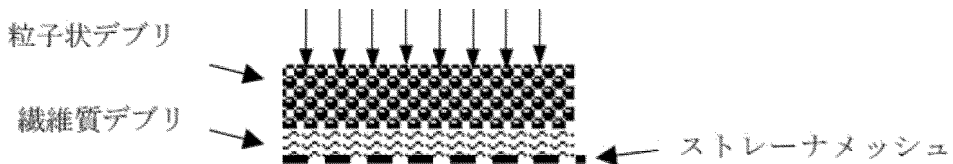


図4 薄膜形成による粒子状デブリの補足効果のイメージ

繊維質保温材の薄膜形成については、NEDO-32686に対するNRCの安全評価レポートのAppendix Eで実験データに基づく考察として、「 $1/8$  inch以下のファイバ層であれば、ファイバ層そのものが不均一であり、圧力損失は小さいと考えられる」と記載されている。また、R.G.1.82においても「 $1/8$  inch. (約3.1 mm)を十分下回るファイバ層厚さであれば、安定かつ均一なファイバ層ではないと判断される」との記載がされており、薄膜を考慮した圧力損失評価は必要ないと考えられる。LA-UR-04-1227においても、この効果の裏付けとなる知見が得られており、理論厚さ0.11inch(2.79mm)において、均一なベッドは形成されなかったという見解が示されている。故に、繊維質保温材の堆積厚さを評価し十分薄ければ、粒径が極めて微細な塗装片等のデブリは全てストレーナを通過することとなり、繊維質保温材と粒子状デブリの混合状態を仮定した圧損評価は不要であると考えられる。

また、GSI-191において議論されているサンプスクリーン表面における化学的相互作用による圧損上昇の知見に関して、上述のとおり繊維質保温材は使用されておらず、ストレーナ表面におけるデブリベット形成の可能性がないことから、化学的相互作用による圧損上昇の影響はないと考えられ、残留熱代替除去系による長期的な冷却の信頼性に対して影響を与えることはないと考えられる。

表3 NUREG/CR-6224において参考されるスラッジ粒径の例

Table B-4 BWROG-Provided Size Distribution of the Suppression Pool Sludge		
Size Range μm	Average Size μm	% by weight
0-5	2.5	81%
5-10	7.5	14%
10-75	42.5	5%

※2：残留熱代替除去系の使用開始は事故後約10時間後であり、LOC A後のブローダウン等の事故発生直後のサプレッション・チャンバ内の攪拌は十分に静止しており、大部分の粒子状異物は底部に沈着している状態であると考える。また、粒子径が $100\text{ }\mu\text{m}$ 程度である場合に浮遊す

るために必要な流体速度は、理想的な球形状において  $0.1\text{m/s}$  程度必要であり（原子力安全基盤機構(H21.3), PWR プラントの L O C A 時長期炉心冷却性に係る検討），仮にストレーナメッシュを閉塞させる程度の粒子径を有する異物がプール内に存在していた場合においても、ストレーナ表面流速は約  $0.008\text{m/s}$  ( $150\text{m}^3/\text{h}$  の時) 程度であり、底部に沈降したデブリがストレーナの吸い込みによって生じる流況によって再浮遊するとは考えられない。

※3 : RPV 破損後の溶融炉心の落下先は格納容器下部（ペデスタル部）であり、残留熱代替除去系の水源となるサプレッション・チェンバへ直接落下することはない。RPV へ注水された冷却水は下部ペデスタルへ落下し、ベント管を通じてサプレッション・チェンバへ流入することとなる（図 5 参照）。粒子化した溶融炉心等が下部ペデスタル内に存在している場合にストレーナメッシュを閉塞させる程度の粒子径を有する異物が流動によって下部ペデスタルから巻き上げられ、更にベント管からストレーナまで到達するとは考えにくく、溶融した炉心等によるストレーナ閉塞の可能性は極めて小さいと考えられる。

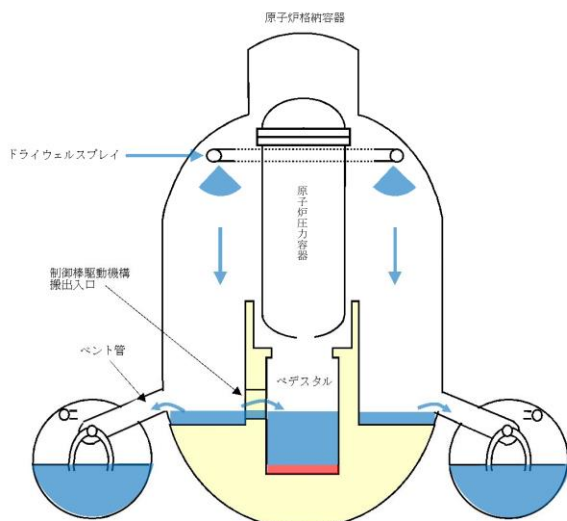


図 5 原子炉圧力容器破損後の残留熱代替除去系による冷却水の流れ

※4 : GSI-191 における検討において、サンプスクリーンを想定した試験においてポンプを停止させた際に付着したデブリは剥がれ落ちるとの結果が示されている（図 6 参照）。

当該試験は PWR サンプスクリーン形状を想定しているものであるが、BWR のストレーナ形状は円筒形であり（図 7 参照）、ポンプの起動・停止によるデブリ落下の効果は更に大きくなるものと考えられ、注水流量の低下を検知した後、ポンプの起動・停止を実施することでデブリが落下し、速やかに冷却を再開することが可能である。

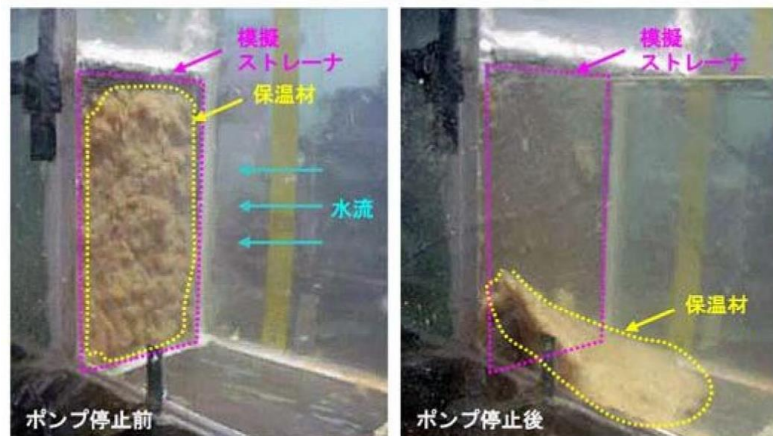


図6 ポンプ停止により模擬ストレーナから試験体が剥がれ落ちた試験  
(April 2004, LANL, GSI-191: Experimental Studies of Loss-of-Coolant-Accident-Generated Debris Accumulation and Head Loss with Emphasis on the Effects of Calcium Silicate Insulation)



図7 島根2号炉残留熱除去系ストレーナ

本資料のうち、枠囲みの内容は機密に係る事項のため公開できません。



図8 島根2号炉残留熱除去系ストレーナ(据付状態)

### c. 閉塞時の逆洗操作について

前述b. の閉塞防止対策に加えて、残留熱代替除去系運転中に、仮に何らかの異物により残留熱除去系ストレーナが閉塞したことを想定し、残留熱除去系ストレーナを逆洗操作できる系統構成にしている。系統構成の例を図9に示しているが、外部接続口から構成される逆洗ラインの系統構成操作を行い、大量送水車を起動することで逆洗操作が可能な設計にしている。

したがって、残留熱代替除去系運転継続中に流量監視し、流量傾向が異常に低下した場合は残留熱代替除去ポンプを停止し、逆洗操作を実施する。

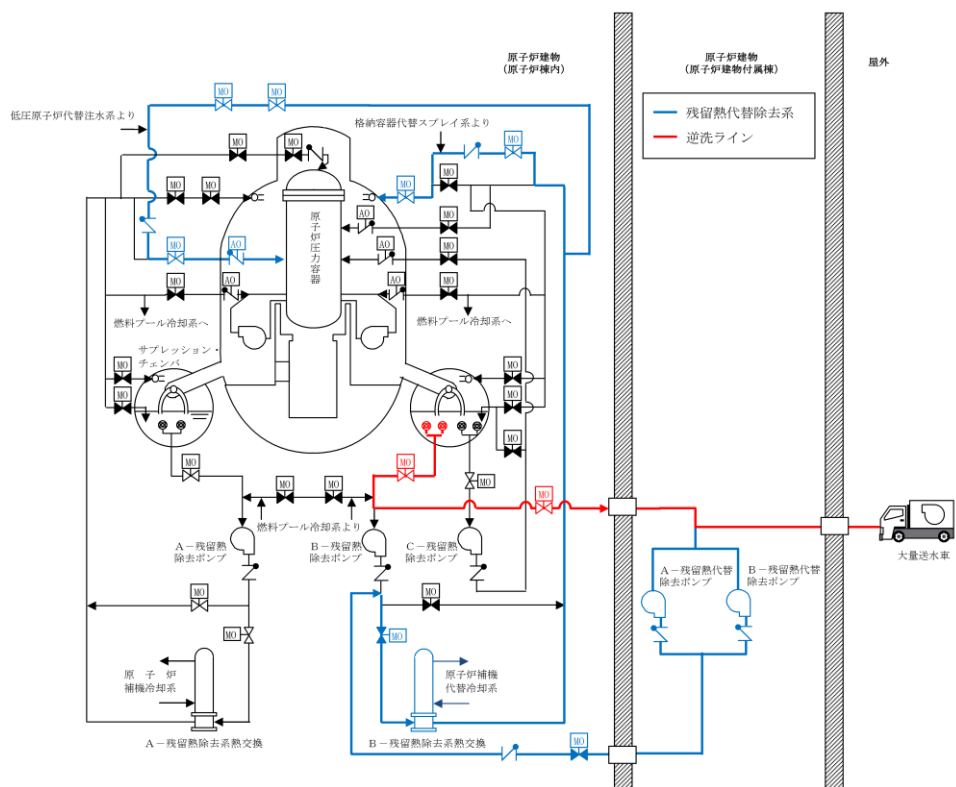


図9 残留熱除去系ストレーナ逆洗操作の系統構成について

本資料のうち、枠囲みの内容は機密に係る事項のため公開できません。

## 長期的に維持される格納容器の状態(温度・圧力)での適切な地震力に対する格納容器の頑健性の確保の考え方について

重大事故等時における格納容器の耐震評価にあたって、対象となる事故シーケンスは、格納容器温度・圧力条件が厳しい格納容器破損防止の事故シーケンスである、「雰囲気圧力・温度による静的負荷(格納容器過圧・過温破損)残留熱代替除去系を使用する場合」及び「雰囲気圧力・温度による静的負荷(格納容器過圧・過温破損) 残留熱代替除去系を使用しない場合」が対象となる。

「別紙－2 循環流量の確保」で示したとおり、残留熱代替除去系の運転は長期的に継続可能と考えられるが、この場合、格納容器の温度・圧力が比較的高い状態で長期的に維持されることから、適切な地震力に対する格納容器の頑健性の確保が必要である。

よって、格納容器の耐震評価に際しては、

- ①事故後の運転状態  $V(L)^{*1}$  ( $10^{-2} \sim 2 \times 10^{-1}$  年)における適切な地震力との組合せ評価
- ②事故後の運転状態  $V(LL)^{*2}$  ( $2 \times 10^{-1}$  年以降)における適切な地震力との組合せ評価

を行うこととなる。

\*1 : 運転状態  $V(L)$  : 重大事故等の状態のうち長期的(過渡状態を除く一連の期間)に荷重が作用している状態

\*2 : 運転状態  $V(LL)$  : 重大事故等の状態のうち  $V(L)$  よりさらに長期的に荷重が作用している状態

## 系統のバウンダリに対する影響評価について

### 1. はじめに

残留熱代替除去系を使用する場合に、系統内の弁、配管及びポンプのバウンダリに使用されているシール材について、放射線影響や化学影響によって材料が劣化し、漏えいが生じる可能性がある。これらの影響について、下記のとおり評価を行った。

### 2. シール材の影響評価

#### (1) 評価対象

残留熱代替除去系を使用する場合に、サプレッション・チェンバからの流体が流れる経路として、配管、弁及びポンプがあるため、これらの機器においてバウンダリを構成する部材である「配管フランジガスケット」、「弁グランドシール」「ポンプメカニカルシール」「ポンプケーシングシール」を対象に評価を行った。

#### (2) 放射線による影響

残留熱代替除去系は、重大事故時に炉心損傷した状況で系統を使用することとなる。このため、系統内を高放射能の流体が流れることとなり、放射線による劣化が懸念される。

上記(1)に示す部材のうち、配管フランジガスケット及び弁グランドシールには、膨張黒鉛又はステンレス等の金属材料が用いられている。これらは無機材料であり、高放射線下においても劣化の影響はないか、又は極めて小さい。このため、これらについては放射線による影響はないか、又は耐放射線性能が確認されたシール材を用いることにより、シール性能が維持されるものと考える。

また、残留熱代替除去ポンプのバウンダリを構成する部材（メカニカルシール、ケーシングシール等）のシール材についても同様に、耐放射線性に優れた材料を選定する。

#### (3) 化学種による影響

炉心損傷時に発生する核分裂生成物の中で化学的な影響を及ぼす可能性がある物質として、アルカリ金属であるセシウム及びハロゲン元素であるよう素が存在する。このうち、アルカリ金属のセシウムについては、水中でセシウムイオンとして存在しアルカリ環境の形成に寄与するが、膨張黒鉛ガスケット及び金属ガスケットはアルカリ環境において劣化の影響はない。このため、セシウムによる化学影響はないものと考える。

一方、ハロゲン元素のよう素については、無機材料である膨張黒鉛ガスケットや金属ガスケットには影響がないため、漏えい等が生じることはないも

のと考える。

また、残留熱代替除去ポンプのバウンダリを構成する部材（メカニカルシール、ケーシングシール等）のシール材についても同様に、化学種に対する耐性に優れた材料を選定する。

### 3. まとめ

以上より、残留熱代替除去系の流路においてバウンダリを構成する部材である「配管フランジガスケット」「弁グランドシール」を対象に評価を行った結果、無機材料である膨張黒鉛及び金属ガスケットには影響がないと評価できる。

また、残留熱代替除去系に使用する「ポンプメカニカルシール」「ポンプケーシングシール」についても耐性に優れた材料を選定する。

これにより、流路からの漏えいの発生を防止する。

以上

### 系統が高線量となった場合の影響について

残留熱代替除去系の運転に伴い、系統が高線量となることが想定されるが、高線量となった場合には、放射線による「操作性・アクセス性」の影響、及び「機器」に対する放射線劣化影響が考えられる。

「操作性・アクセス性」に関する影響としては以下の影響が考えられる。

- ・残留熱代替除去系の系統構成、起動操作、運転継続に必要な操作・監視への影響
- ・残留熱代替除去系が機能喪失した場合に必要な操作への影響
- ・残留熱代替除去系運転時に必要な復旧作業（残留熱除去系の復旧作業）への影響

「機器」に対する放射線劣化影響としては以下の影響が考えられる。

- ・残留熱代替除去系において使用する機器のうち、放射線劣化影響が懸念される機器（シール材、電動機、計器、ケーブル）への影響

上記の影響について、確認結果を表1に示す。

表1 高線量となった場合の操作性・アクセス性、機器への影響

確認項目		放射線影響
操作性・アクセス性	残留熱代替除去系の系統構成、起動操作、運転継続に必要な操作・監視	系統構成 運転開始前の系統構成は、中央制御室からの電動駆動弁の遠隔操作の他、原子炉補機代替冷却系の操作が必要であるが、弁操作は運転開始前の実施であり、原子炉補機代替冷却系操作は屋外作業であり、格納容器ベント操作前であるため、アクセス及び操作への放射線による影響はない。 (29, 30頁参照)
		残留熱代替除去ポンプの起動 運転開始時の残留熱代替除去ポンプの起動は中央制御室から遠隔で操作が可能な設計としているため、操作への放射線による大きな影響はない。(29, 30頁参照)
		パラメータ監視 運転を開始した後の運転パラメータの監視は、中央制御室及び緊急時対策所で監視が可能な設計としているため、放射線による大きな影響はない。 (29, 30頁参照)
		流量調整 残留熱代替除去系運転時の原子炉注水及び格納容器スプレイの流量を調整する場合は、流量調整弁の操作により行うが、中央制御室から遠隔で操作が可能な設計としているため、放射線による大きな影響はない。(29, 30頁参照)
		その他操作 その他の作業として、原子炉補機代替冷却系の運転状態確認及び大型送水ポンプ車への給油作業があるが、これらは屋外作業であり格納容器ベント操作前であるため、放射線による大きな影響はない。 (29, 30頁参照)

確認項目		放射線影響
操作性・アクセス性	残留熱代替除去系が機能喪失した場合に必要な操作	格納容器ベントの操作弁は中央制御室から遠隔操作可能な設計であるため、残留熱代替除去系運転後の放射線量上昇による操作への影響はない。なお、何らかの理由によりベント操作弁が中央制御室から遠隔操作不能となる場合は、放射線量上昇による影響が小さい原子炉建物付属棟において遠隔手動操作で開閉する方法を備えている。なお、これらの操作位置は原子炉建物付属棟であっても、残留熱代替除去系運転により高線量となる配管との位置が比較的近い箇所もあるため、放射線量上昇によるアクセス性及び弁操作性を考慮し、必要に応じて遮蔽体設置等の放射線防護対策を施す。 (32, 33頁参照)
	残留熱代替除去系運転時に必要な復旧作業(残留熱除去系の復旧作業)	残留熱代替除去系運転時の放射線影響を受ける可能性が最も低いA-残留熱除去ポンプ類の復旧のためには、機能喪失要因によるが原子炉建物地下2階のA-残留熱除去ポンプ室又は原子炉建物地下1階のA-残留熱除去ポンプ室の上部ハッチまでアクセスすることができる必要がある。なお、現場操作時は放射線量を測定し適切な防護装備を装備した上でアクセスすることとしている。(34, 35頁参照)
機器	シール材(配管、弁、ポンプ、熱交換器)	放射線による劣化影響が懸念される左記の機器については、運転環境下における当該部位の放射線量を考慮して残留熱代替除去系の系統機能確保可能な設計とする。(49頁参照)
	電動機(弁、ポンプ)	
	ケーブル	
	計器	

### [参考 9] 重大事故等時の長期安定冷却手段について

重大事故等時の原子炉格納容器除熱としては、原子炉格納容器を最高使用温度以下に除熱することを基本としている。炉心損傷に至る重大事故等時、残留熱代替除去系により格納容器内温度は緩やかに低下し約177時間後には、サプレッション・チェンバ水温度が最高使用温度の104°Cを下回る（「重大事故等対策の有効性評価について「2.1 高圧・低圧注水機能喪失」（別紙1）安定状態の維持について」参照）。

しかし、残留熱除去系熱交換器が使用できない場合は、残留熱代替除去系が使用できないため格納容器フィルタベント系により格納容器の除熱を行う。格納容器フィルタベント系による除熱では、格納容器圧力の低下は早いものの、格納容器温度の低下は残留熱代替除去系より遅く、サプレッション・チェンバ水温度が最高使用温度の104°Cを下回るのは約587時間後となる（「重大事故等対策の有効性評価について「2.1 高圧・低圧注水機能喪失」（別紙1）安定状態の維持について」参照）。

そのため、格納容器内温度低減対策として残留熱除去系熱交換器が使用できない場合の除熱手段を検討した。検討にあたっては事故発生約30日後の崩壊熱が除熱可能であることを目標とした。重大事故等時において、格納容器フィルタベント系による格納容器除熱を実施している場合、残留熱除去系の補修による原子炉格納容器の除熱機能を復旧する。また、残留熱除去系の機能回復が長期間実施できない場合、可搬ポンプ及び可搬熱交換器を用いた除熱手段である「1. 可搬型格納容器除熱系による格納容器除熱」を構築する。既設設備である残留熱除去系の使用を優先するが、復旧が困難な場合はこの可搬型格納容器除熱系による除熱を実施する。本書では、それらの実現可能性と実施した場合の効果について確認している。

なお、これらに加え原子炉格納容器を直接除熱することはできないが原子炉圧力容器を除熱することにより間接的に原子炉格納容器を除熱する「原子炉補機代替冷却系を用いた原子炉浄化系（以下、CUWという）による原子炉除熱」を構築する。CUW系による原子炉除熱については〔参考9－補足1〕に示す。

参考1表 重大事故等時における格納容器除熱

除熱手段	備考
残留熱代替除去系による除熱	
格納容器フィルタベント系による除熱	
残留熱除去系の補修による除熱復旧	
可搬型格納容器除熱系による格納容器除熱	本資料1. で成立性を示す
原子炉補機代替冷却系を用いたCUWによる原子炉除熱	補足1で成立性を示す

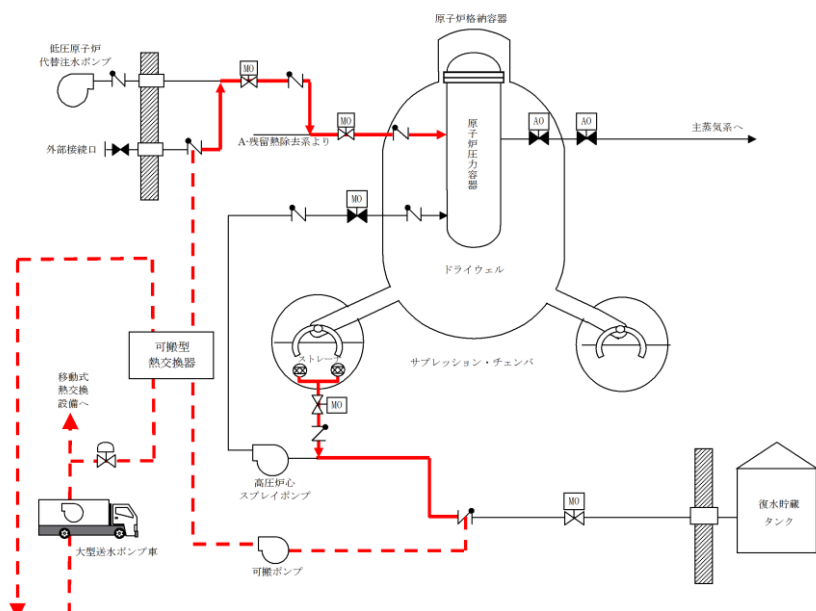
本表は事故時における除熱手段の配備状況を示すものであり、除熱手段の優先順位を示すものではない

## 1. 可搬型格納容器除熱系による格納容器除熱

### <実現可能性>

重大事故等時において、格納容器ベントによる格納容器除熱を実施している場合、残留熱除去系の補修によるサプレッション・プール水冷却モードの復旧を実施する。また、残留熱除去系の復旧が困難な場合に可搬設備等により構成される可搬型格納容器除熱系による格納容器除熱を構築する。可搬型格納容器除熱系は、高圧炉心スプレイ系（以下、HPCSという）配管から耐熱ホース・可搬ポンプを用いて可搬熱交換器にサプレッション・チェンバのプール水を供給し、そこで除熱した水を低圧原子炉代替注水系の原子炉注水ラインで原子炉圧力容器に注水するライン構成であり、可搬設備を運搬・設置する等の作業があるが、長納期品については事前に準備しておくことにより、1ヵ月程度で系統を構築することが可能であると考えられる。

可搬型格納容器除熱系について、可搬ポンプの吸込み箇所は、HPCSポンプの吸込配管にある「HPCSポンプ復水貯蔵タンク水入口逆止弁」とし、耐熱ホースで接続する構成とする。可搬ポンプの吐出については、耐熱ホースを用いて原子炉建物大物搬入口に設置する可搬熱交換器と接続する構成とし、可搬熱交換器の出口側については低圧原子炉代替注水系の原子炉注水配管にある「FLSR可搬式設備 A-注水ライン逆止弁」と耐熱ホースで連結する構成とする。これらの構成で、可搬ポンプによりサプレッション・チェンバのプール水を可搬熱交換器に送水し、そこで除熱した水を原子炉圧力容器に注水する系統を構築する。なお、可搬熱交換器の二次系については、大型送水ポンプ車により海水を通水できる構成とする。



参考1 図 可搬型格納容器除熱系の系統概略図

参考2表 可搬型格納容器除熱系構築に必要な作業

作業	所用時間
H P C S ポンプ吸込みラインの逆止弁と低圧原子炉代替注水系注水ラインの逆止弁の上蓋取り外し、耐熱ホース取付	これらの作業は、1ヶ月程度で準備可能と考えている。
可搬ポンプ準備	
可搬熱交換器準備	
通水試験等	

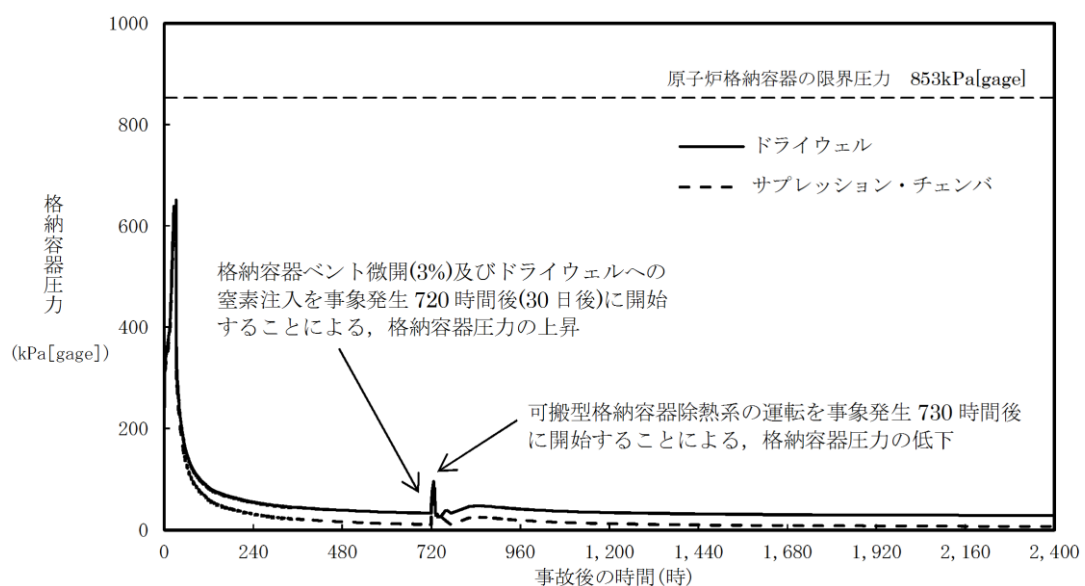
<効果>

「雰囲気圧力・温度による静的負荷（格納容器過圧・過温破損）」において事象発生後約1ヶ月まで格納容器フィルタベント系による除熱を行った後、可搬型格納容器除熱系による除熱とした場合の格納容器パラメータ推移を評価した。ここで可搬型格納容器除熱系の流量は、事故発生30日後の崩壊熱を上回る  m<sup>3</sup>/h とし、格納容器フィルタベント系は微開（流路面積3%開）とするとともに可搬式窒素供給装置より窒素ガスを100m<sup>3</sup>/h注入する。

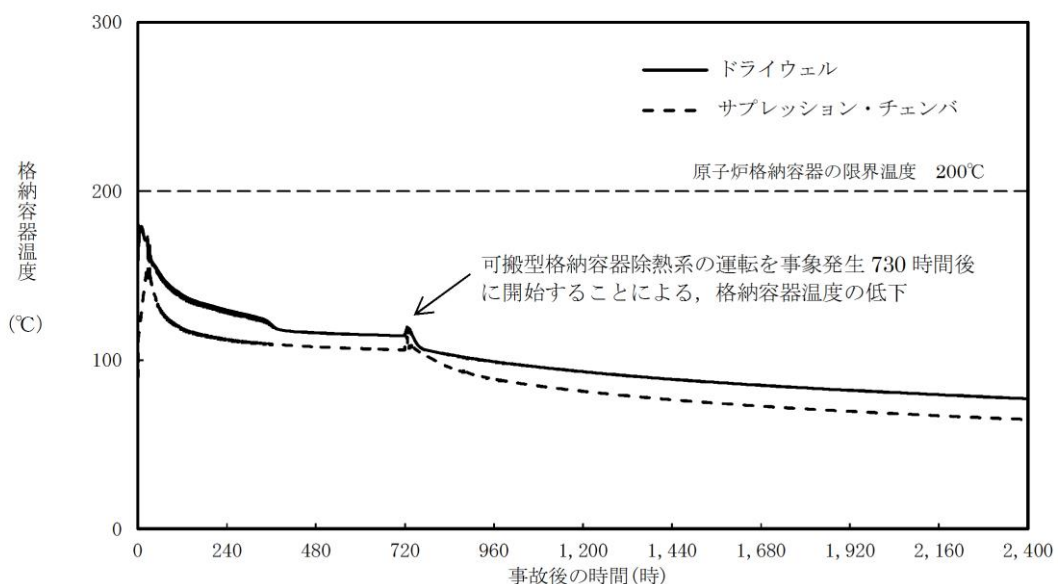
参考2～4図に格納容器圧力、格納容器気相部温度、サプレッション・チェンバ水温の推移を示す。参考3図及び参考4図に示すとおり、格納容器気相部温度、サプレッション・チェンバ水温を低減させることができる。

なお、本評価のように、格納容器フィルタベント系により格納容器圧力が低下している状態では、格納容器ベント実施時に原子炉格納容器内の非凝縮性ガスが排出され、原子炉格納容器内は崩壊熱により発生する蒸気で満たされる状態となる。こうした状況において除熱系（可搬型格納容器除熱系）の運転を開始する場合、サプレッション・チェンバ水温が100°Cを下回ると、飽和蒸気圧に従い格納容器圧力は負圧となる可能性がある。よって、可搬型格納容器除熱系の運転を開始する際には、格納容器フィルタベント系は微開とした上で、可搬式窒素供給装置より窒素ガスを注入し、格納容器圧力が負圧とならないよう制御する運用とする。

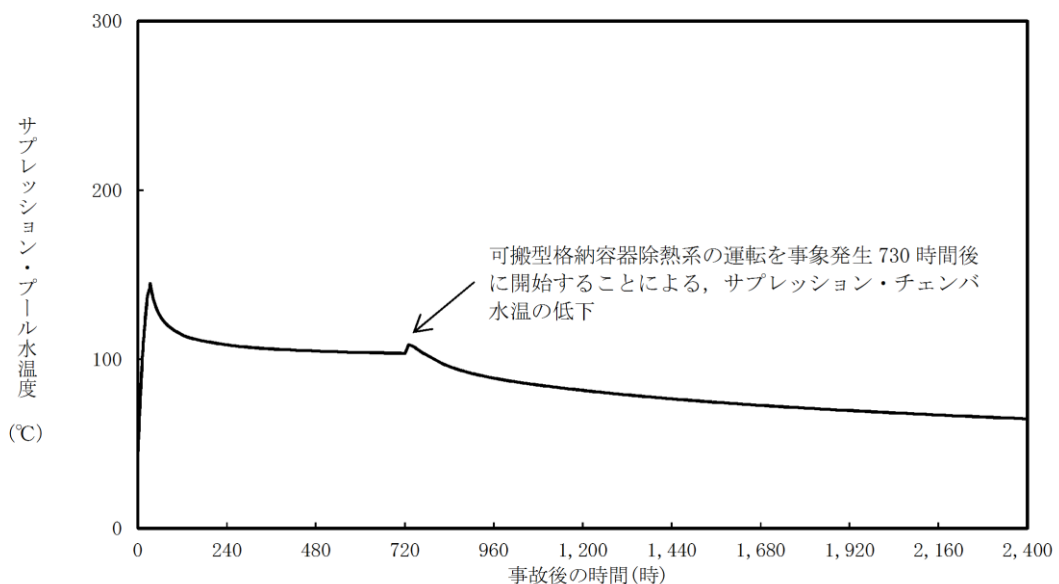
本資料のうち、枠囲みの内容は機密に係る事項のため公開できません。



参考2図 格納容器圧力の推移



参考3図 格納容器気相部温度の推移



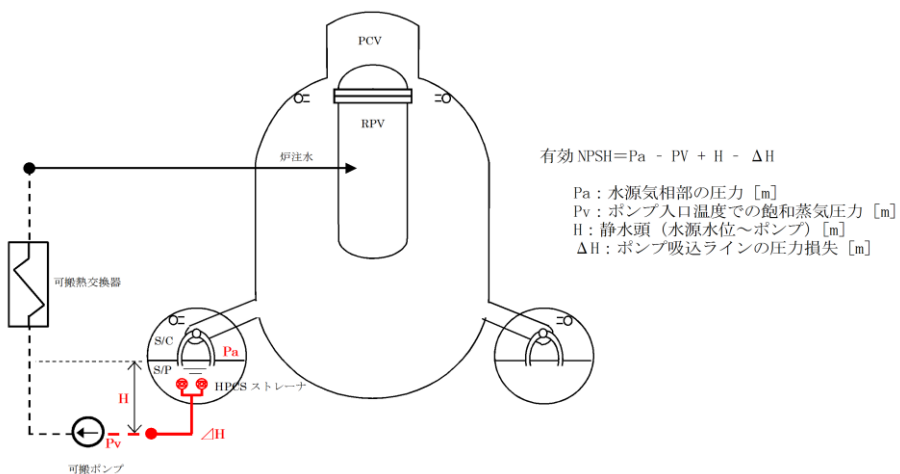
参考4図 サプレッション・チェンバ水温の推移

#### <系統成立性評価>

可搬型格納容器除熱系は、事故発生30日後の崩壊熱相当（約3.9MW）を除熱できる設計とし、本章ではその系統成立性評価を示す。評価にあたっては「①可搬ポンプのNPSH(Net Positive Suction Head)評価」で原子炉建物地下2階に設置する可搬ポンプの必要NPSHが系統圧力損失を考慮して有効NPSHを満足することを確認する。次に「②流量評価」で系統圧力損失を考慮して、本系統で確保可能な系統流量を評価し、その流量で可搬熱交換器による除熱可能な除熱量を「③除熱量評価」で示し、本系統が事故発生30日後の崩壊熱相当（約3.9MW）を除熱できることを確認し、系統成立性を示す。

#### ① ポンプのNPSH評価

ポンプがキャビテーションを起こさず正常に動作するためには、流体圧力や吸込配管圧力損失等により求められる「有効NPSH」が、ポンプの「必要NPSH」と同等かそれ以上であること（有効NPSH $\geq$ 必要NPSH）を満足する必要があります。有効NPSHと必要NPSHを比較するNPSH評価によりポンプの成立性を確認する。本評価では参考5図の系統構成を想定し、格納容器内圧力（S/C）、サプレッション・チェンバのプール水位と可搬ポンプ吸込口レベル間の水頭差、吸込配管（HPCS常設配管及び耐熱ホース）圧力損失により求められる有効NPSHと、可搬ポンプの必要NPSHを比較することで評価する。有効NPSHの評価式は以下の通りであり、評価結果は参考3表に示す通り、ポンプのNPSH評価は成立する。



参考5図 可搬型格納容器除熱系のNPSH評価

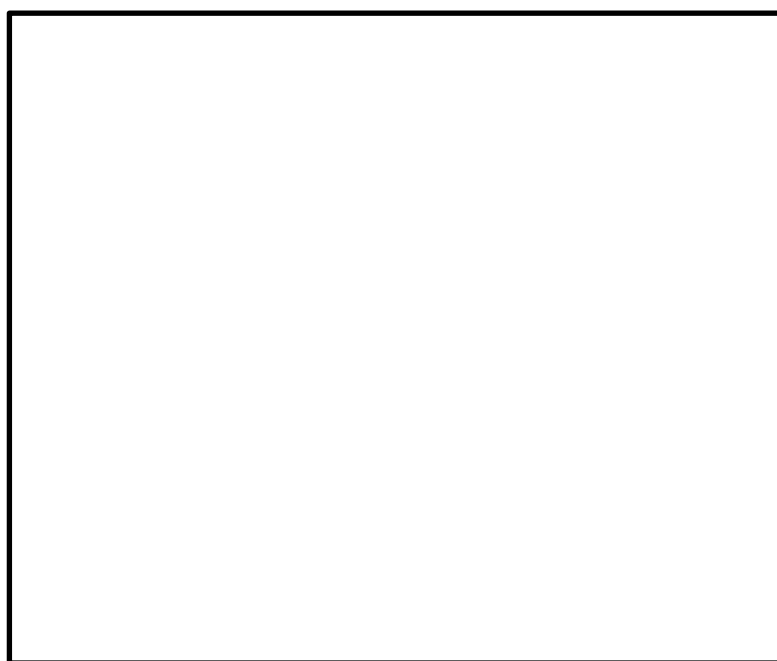
参考3表 NPSH評価結果

項目		2号炉	設定根拠
Pa	サプレッション・チャンバ圧力 (水頭圧換算値)	11.6m	安全解析における事故発生30日後のS/C圧力の水頭圧換算
Pv	可搬ポンプ入口温度での飽和蒸気圧 (水頭圧換算値)	12.0m	安全解析における事故発生30日後のS/P水温105°Cでの飽和蒸気圧
H	S/P水位と可搬ポンプ軸レベル間の水頭差	3.9m	安全解析における事故発生30日後のS/P水位 (EL. 5778) とし、可搬ポンプ吸込口レベルは原子炉建物地下2階床上0.5mを想定しEL. 1800とする。
$\Delta H$	吸込配管圧損 (HPCS配管)		HPCSストレーナ～耐圧ホース取付箇所までの配管の圧損 ( $\square\text{m}^3/\text{h}$ )
	吸込配管圧損 (耐圧ホース)		可搬ポンプ吸込み側の耐熱ホースの圧損 ( $\square\text{m}^3/\text{h}$ )
	HPCSストレーナ圧損 合計		HPCSストレーナの圧損
	有効NPSH		$Pa - Pv + H - \Delta H$
必要NPSH		可搬ポンプの必要NPSH	
成立性評価		○	有効NPSH $\geq$ 必要NPSH

本資料のうち、枠囲みの内容は機密に係る事項のため公開できません。

## ② 流量評価

可搬ポンプ及び可搬熱交換器を用いた可搬型格納容器除熱系の系統流量は、後述する評価により  $\square \text{ m}^3/\text{h}$  以上確保可能であることを確認している。本章では、その評価結果について示す。流量確認方法としては、可搬ポンプの「性能曲線」（揚程と流量の関係図）と参考 1 図の系統構成を想定した場合の「システム抵抗曲線」との交点がポンプの動作点となるため、ポンプの動作点の流量を確認する。その結果は参考 6 図に示す通り、 $\square \text{ m}^3/\text{h}$  以上確保可能であることを確認した。参考として、系統流量  $\square \text{ m}^3/\text{h}$  時の圧力損失を参考 4 表に示す。



参考 6 図 可搬型格納容器除熱系の流量評価結果

本資料のうち、枠囲みの内容は機密に係る事項のため公開できません。

参考4表 圧力損失内訳

除熱手段（評価ルート）		2号炉
流量		
配管・弁類圧力損失	常設ライン	
	耐圧ホース	
	可搬熱交換器	
静水頭	水源	EL. 5778 (安全解析における事故発生30日後のS/P 水位)
	注入先	
圧力差	水源	1.4m
	注入先	2.9m
		1.5m
システム抵抗（圧力損失）		

### ③ 除熱量評価

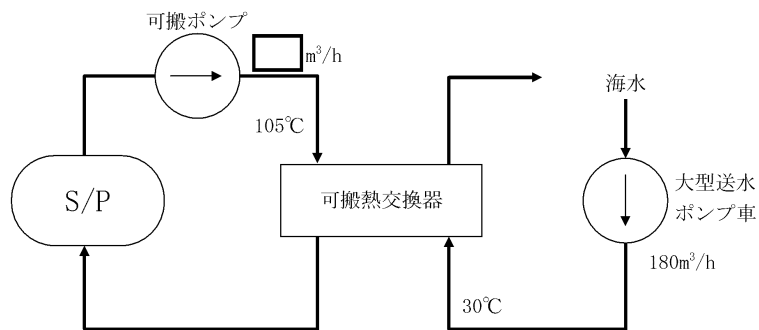
上述②の評価結果の通り、可搬型格納容器除熱系の流量は  m<sup>3</sup>/h以上が確保可能であることから、その時の系統の除熱量を評価した。

評価条件は参考5表に示す通りであり、可搬熱交換器の性能及び大型送水ポンプ車による海水側の条件を踏まえて本系統の除熱量を評価したところ、事故発生30日後の崩壊熱相当（約3.9MW）を除熱できることを確認した。

参考5表 可搬熱交換器の除熱量評価条件

可搬熱交換器	淡水系	1次側入口温度	105°C
		1次側流量	<input type="text"/> m <sup>3</sup> /h
	海水系	海水温度	30°C
		海水流量	180m <sup>3</sup> /h

本資料のうち、枠囲みの内容は機密に係る事項のため公開できません。



参考7図 可搬型格納容器除熱系の除熱量評価図

以上の「①ポンプのNPSH評価」，「②流量評価」，「③除熱量評価」の結果から，可搬型格納容器除熱系は事故発生30日後の崩壊熱相当（約3.9MW）を除熱するための系統流量が確保可能なシステムであることを確認した。

#### <具体的な手順の概要>

##### (1) 可搬型格納容器除熱系の概要

可搬ポンプ、可搬熱交換器を用いた可搬型格納容器除熱系の概要を以下に示す。

H P C S ポンプ室 (EL. 1300) のH P C S ポンプ復水貯蔵タンク水入口逆止弁の上蓋を取り外し，上蓋フランジに耐熱ホースが接続できる仮蓋を取り付け，その仮蓋に耐熱ホースを接続する。

H P C S ポンプ復水貯蔵タンク水入口逆止弁に取り付けた耐熱ホースを，H P C S ポンプ室に設置した可搬ポンプの吸込側フランジに連結し，可搬ポンプ吐出側フランジに取り付けた耐熱ホースを原子炉建物1階大物搬入口 (EL. 15300) に設置した可搬熱交換器の入口側フランジに連結する。また，原子炉建物1階

(EL. 15300) のF L S R 可搬式設備A－注水ライン逆止弁の上蓋を取り外し，上蓋フランジに耐熱ホースが接続できる仮蓋を取り付け，その仮蓋に耐熱ホースを接続し，可搬熱交換器出口側フランジに連結する。このように系統を構成することで，サプレッション・チェンバのプール水を可搬ポンプ及び可搬熱交換器を用いて原子炉圧力容器に注水することが可能となる。可搬型格納容器除熱系を構成する耐熱ホース等は，作業時の被ばく線量を考慮した配置に設置する。

なお，可搬型格納容器除熱系の使用にあたっては，サプレッション・チェンバのプール水からの汚染水を通水する前に復水輸送ポンプで非汚染水による水張りを実施し，可搬部位の健全性確認を行う。参考8図に系統水張りの概要図を示す。

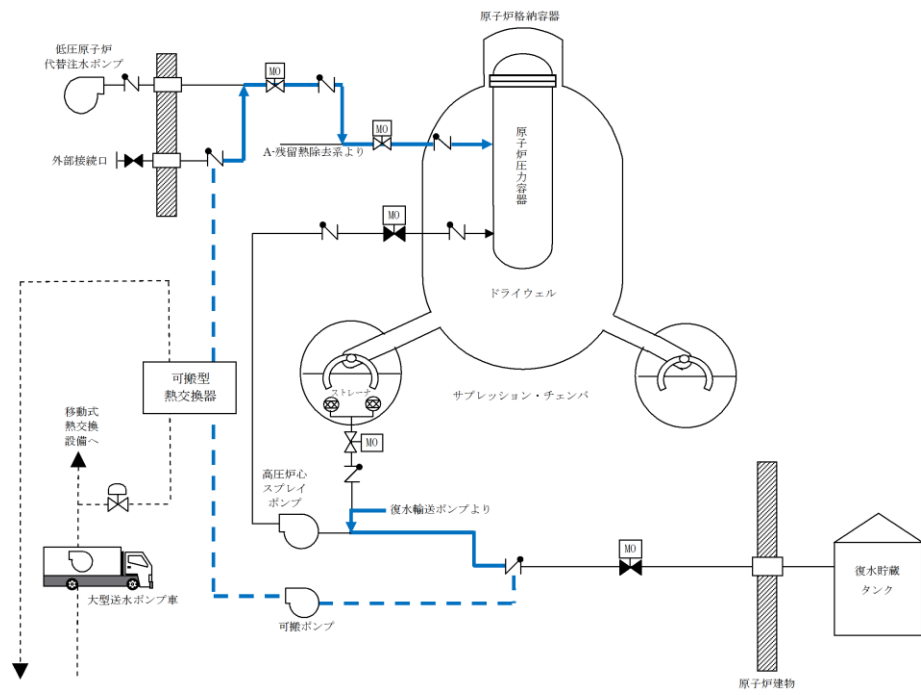
また，可搬熱交換器の二次系については，屋外に大型送水ポンプ車とホースを配備して連結し，大型送水ポンプ車を起動することで海水を通水する。

系統水張りによる健全性確認が完了した後，H P C S ポンプトーラス水入口弁を開操作し，低圧原子炉代替注水系から原子炉圧力容器へ注水し循環することにより除熱する。

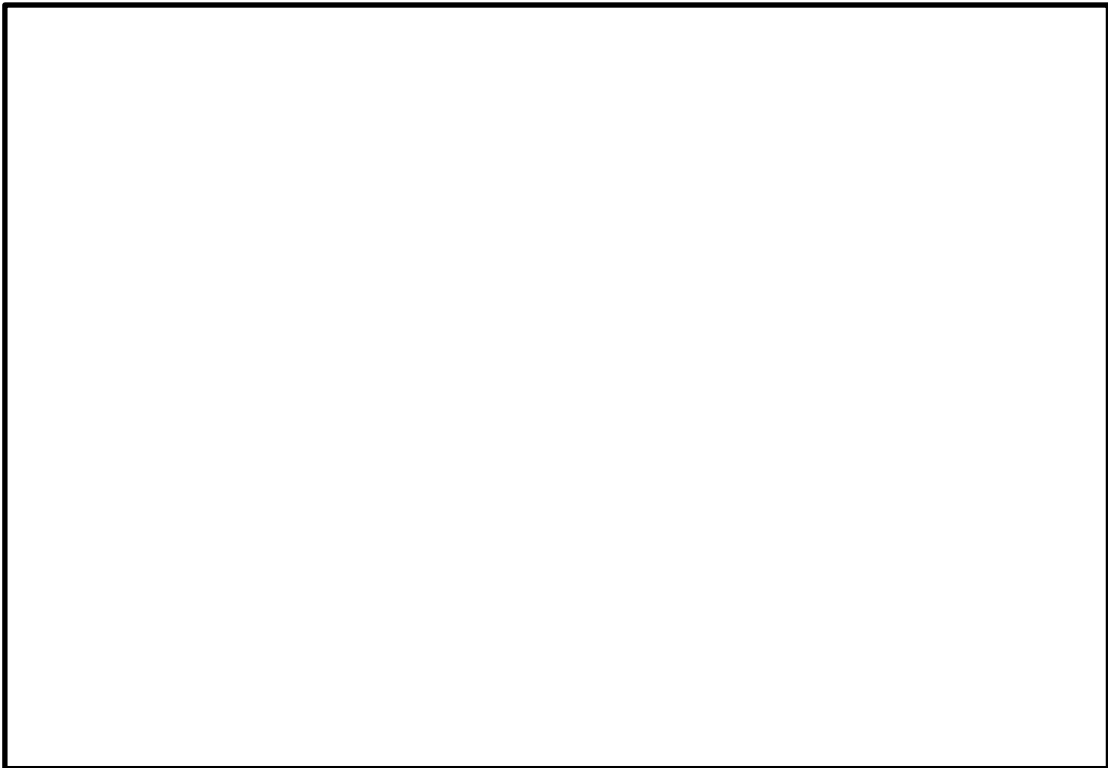
本資料のうち，枠囲みの内容は機密に係る事項のため公開できません。

可搬ポンプ、可搬熱交換器を用いた可搬型格納容器除熱系の除熱可能量は、事故発生30日後の崩壊熱「約3.9MW」を上回る系統設計とする。

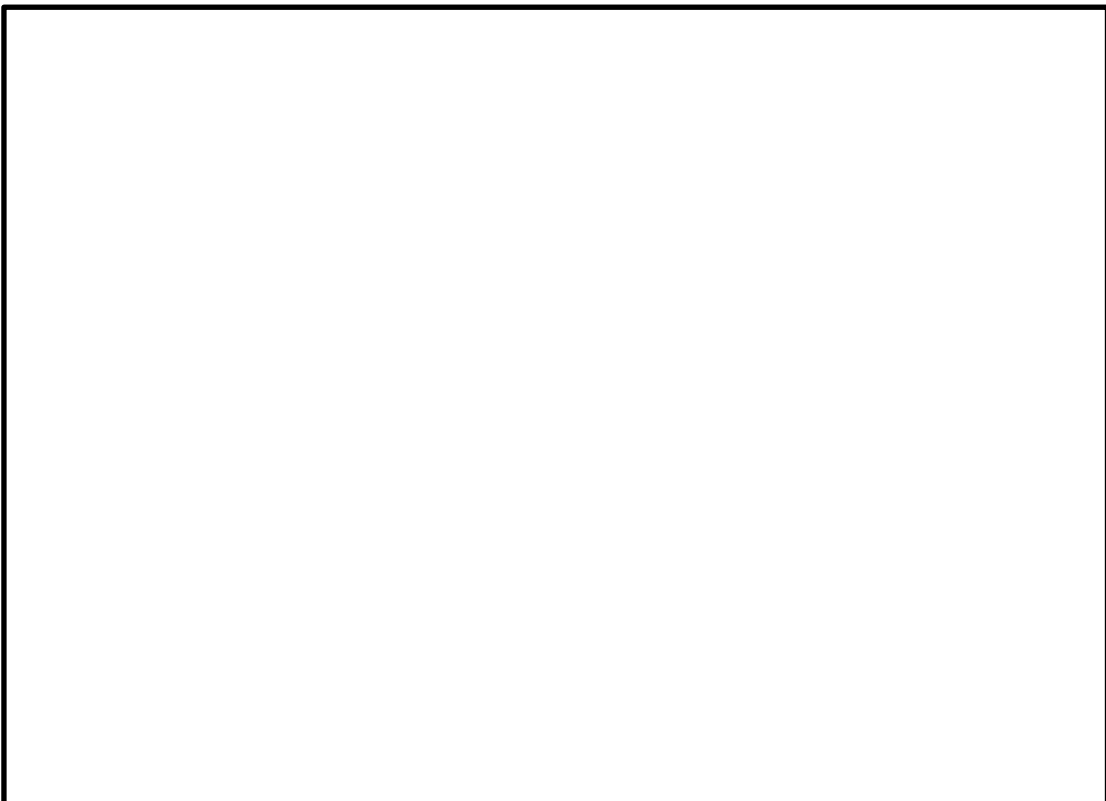
系統を構成する機器の配置イメージを以下に示す。また、系統を構成する機器の仕様等は参考6表の通りである。



参考8図 復水輸送系を用いた系統水張り概要図



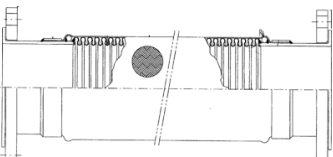
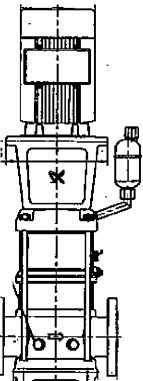
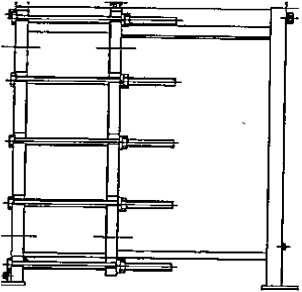
参考9図 原子炉建物下2階 機器配置図



参考10図 原子炉建物1階 機器配置図

本資料のうち、枠囲みの内容は機密に係る事項のため公開できません。

参考6表 可搬型格納容器除熱系の機器仕様

構成機器	仕様等	備考
可搬機器		
耐熱ホース（フレキシブルメタルホース） ※弁接続部の仮蓋含む	口径 150A 圧力 1.6MPa 温度 450°C  口径 100A 圧力 1.7MPa 温度 450°C	
可搬ポンプ	容量 約60m³/h 全揚程 約86m	
可搬熱交換器	除熱量 3.9MW以上	
大型送水ポンプ車	容量 1,800m³/h 吐出圧力 1.4MPa	
既設機器		
復水輸送ポンプ	容量 85m³/h 全揚程 70m	— 復水輸送系

※機器図は一般例を示すものである。

※詳細設計に伴い機器仕様の変更が必要な場合は、仕様を変更する。

## (2) 作業に伴う被ばく線量

炉心損傷により発生する汚染水はサプレッション・チェンバ内にあるが、HPCSポンプおよびHPCSポンプ復水貯蔵タンク水入口逆止弁はサプレッションプール側隔離弁により常時隔離されているため直接汚染水に接することはない。

また、FLSR可搬式設備 A-注水ライン逆止弁は低圧原子炉代替注水槽を水源とする低圧原子炉代替注水系で満たされているため直接汚染水に接することはない。

HPCSポンプ室内 (EL. 1300) におけるHPCSポンプ復水貯蔵タンク水入口逆止弁付近の雰囲気線量は、格納容器からの漏えいに起因する室内の空間線量率及び線源配管からの直接線による線量率により約12.8mSv/h となる。〔参考9-補足2〕

HPCSポンプ復水貯蔵タンク水入口逆止弁への耐熱ホース接続作業については、準備作業、後片付けを含めて作業時間は約10 時間程度（5人1班で作業）と想定しており、遮蔽等の対策を行い、作業員の交代要員を確保し、交代体制を整えることで実施可能である。

原子炉建物1階 (EL. 15300) におけるFLSR可搬式設備A-注水ライン逆止弁付近の雰囲気線量は、格納容器からの漏えいに起因する室内の空間線量率により約3.7mSv/hとなる。〔参考9-補足2〕

FLSR可搬式設備A-注水ライン逆止弁への耐熱ホース接続作業については、準備作業、後片付けを含めて作業時間は約10 時間程度（5人1班で作業）と想定しており、遮蔽等の対策を行い、作業員の交代要員を確保し、交代体制を整えることで実施可能である。

原子炉建物大物搬入口における可搬熱交換器配備箇所の雰囲気線量は、格納容器からの漏えいに起因する室内の空間線量率により約5.2mSv/h となる。〔参考9-補足2〕

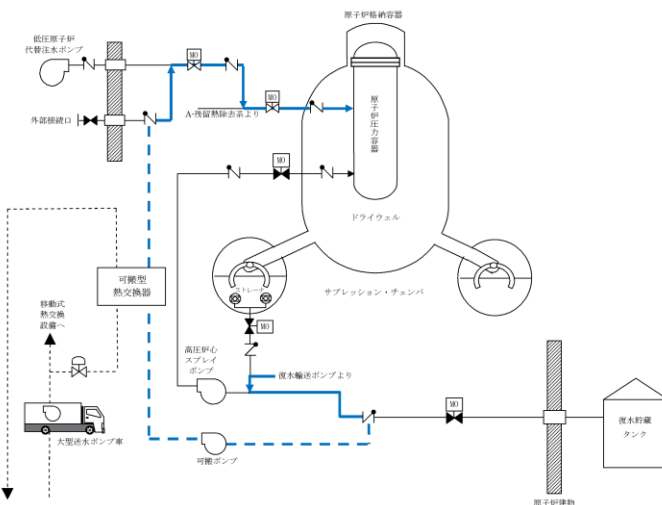
可搬熱交換器への耐熱ホース接続作業については、準備作業、後片付けを含めて作業時間は約10 時間程度（5人1班で作業）と想定しており、遮蔽等の対策を行い、作業員の交代要員を確保し、交代体制を整えることで実施可能である。

### (3) フランジ部からの漏えい発生時の対応

系統のフランジ部からの漏えい発生等の異常を検知した場合は、直ちに可搬ポンプを停止し復水輸送ポンプからの非汚染水によりフラッシングを実施する。

フラッシングにより現場へのアクセスが可能になった後、増し締め等の補修作業を実施する。

非汚染水によるフラッシングの系統イメージを以下に示す。



参考11図 復水補給水系からの洗浄水ラインを使用したフラッシング

- I. 可搬型格納容器除熱系の循環運転で使用した弁を全て全閉とする
- II. 高圧炉心スプレイ系の洗浄水弁, F L S R 注水隔離弁, A - R H R 注水弁を開操作し、復水輸送系の水が耐熱ホース、可搬ポンプ及び可搬熱交換器を経由し、原子炉圧力容器へ流入することで、系統をフラッシングする
- III. サプレッション・チャンバのプール水位に影響しない範囲で、空間線量が下がるまでフラッシングを実施する
- IV. フラッシングにより漏えいフランジ近辺の空間線量が十分低下した場合、漏えいフランジ部にアクセスする
- V. 漏えいフランジの増し締めを行い、系統を復旧する

[参考9－補足1] 長期安定性の維持のためにFPCとCUW補助熱交換器使用の可能性について

長期安定性の維持のためにFPC熱交換器又はCUW補助熱交換器による格納容器除熱が可能であるかの検討を行った。ただし、FPC熱交換器については、これを用いて格納容器除熱を実施するラインを構成することで燃料プールの冷却が行えなくなるため、格納容器除熱としては使用しないこととする。なお、FPC熱交換器を用いてサプレッション・チェンバのプール水を除熱するためには、FPCポンプを使用する必要があるが、FPCポンプは原子炉建物3階に設置されており、水源であるサプレッション・チェンバとのレベル差が大きく、ポンプNPSH評価が成立しないため、使用は困難と考えている。一方で、CUW補助熱交換器による格納容器除熱手段については系統成立性が確認できたため使用可能と判断した。詳細の成立性評価について以下に示す。なお、CUW非再生熱交換器は原子炉補機冷却系の常用負荷に接続されているため、より実現可能性の高い格納容器除熱系として非常用負荷に接続されているCUW補助熱交換器を用いた系統を検討する。

(1)原子炉補機代替冷却系を用いたCUW系による原子炉除熱  
〈実現可能性〉

CUW系は通常運転中に原子炉冷却材の浄化を行う系統であり、重大事故等時に原子炉水位の低下（レベル3）により隔離状態になる。

また、通常は原子炉補機冷却系を冷却水として用いているが、本除熱手段では原子炉補機代替冷却系を用いることで冷却水を確保する。

耐熱ホース等はCUW系では使用する必要がなく、弁操作による系統構成のみで運転可能である。

CUW系は原子炉圧力容器が水源であり、CUW補助ポンプは原子炉圧力が低圧時にも冷却材の循環を行うことが可能であるが、大LOC A事象のように原子炉水位を十分に確保できない場合は運転することができない。

CUW系による原子炉除熱の条件を満たした上で、原子炉補機代替冷却系を用いたCUW系による除熱可能量は事故発生30日後の崩壊熱「約3.9MW」を上回る。

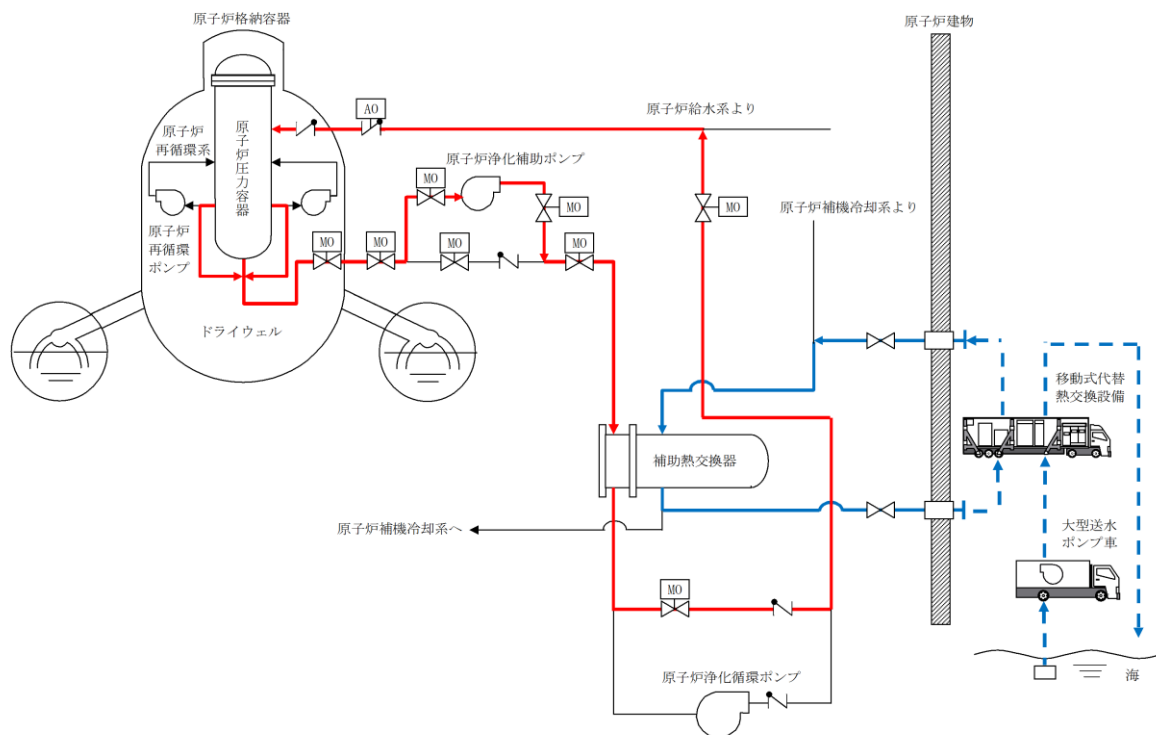


図1 原子炉補機代替冷却系を用いたC UW系による原子炉除熱 系統概要図

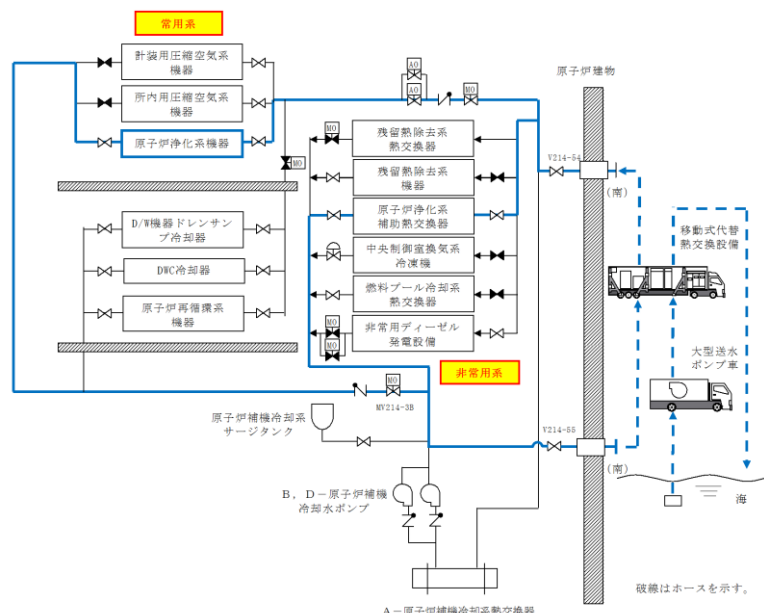


図2 原子炉補機代替冷却系 (C UW除熱ライン) 系統概要図

## ＜効果＞

除熱量は事故発生30日後の崩壊熱「約3.9MW」を上回ることから「1. 可搬型格納容器除熱系による格納容器除熱」の参考2～4図にて示した同等の除熱効果が得られる。

## ＜系統成立性評価＞

原子炉補機代替冷却系を用いたCUW系による原子炉除熱は、事故発生30日後の崩壊熱相当（約3.9MW）を除熱できることとし、本章ではその系統成立性評価を示す。評価にあたっては「①CUW補助ポンプのNPSH（Net Positive Suction Head）評価」で原子炉建物地下1階に設置されているCUW補助ポンプの必要NPSHが系統圧力損失を考慮して有効NPSHを満足することを確認する。次に「②流量評価」で系統圧力損失を考慮して、本系統で確保可能な系統流量を評価する。このとき、CUW補助ポンプについては基本的に通常運転時と使用条件が変わらないため定格流量は確保可能であり、改めて評価する必要はない。一方で、従来流路として考慮していなかった常用系ラインを通水することとなる原子炉補機代替冷却水ポンプについては流量評価を行い、その流量で原子炉補機代替冷却系による除熱可能な除熱量を「③除熱量評価」で示し、本系統が事故発生30日後の崩壊熱相当（約3.9MW）を除熱できることを確認し、系統成立性を示す。

### ①CUW補助ポンプのNPSH評価

ポンプがキャビテーションを起こさず正常に動作するためには、流体圧力や吸込配管圧力損失等により求められる「有効NPSH」が、ポンプの「必要NPSH」と同等かそれ以上であること（有効NPSH $\geq$ 必要NPSH）を満足する必要があり、有効NPSHと必要NPSHを比較するNPSH評価によりポンプの成立性を確認する。本評価では図3の系統構成を想定し、原子炉圧力、原子炉水位とCUW補助ポンプ軸レベル間の水頭差、吸込配管圧力損失により求められる有効NPSHと、CUW補助ポンプの必要NPSHを比較することで評価する。有効NPSHの評価式は以下の通りであり、評価結果は表1に示す通り、ポンプのNPSH評価は成立する。

$$\text{有効 NPSH} = Pa - Pv + H - \Delta H$$

$Pa$  : 水源気相部の圧力 [m]

$Pv$  : ポンプ入口温度での飽和蒸気圧力 [m]

$H$  : 静水頭（水源水位～ポンプ）[m]

$\Delta H$  : ポンプ吸込ラインの圧力損失 [m]

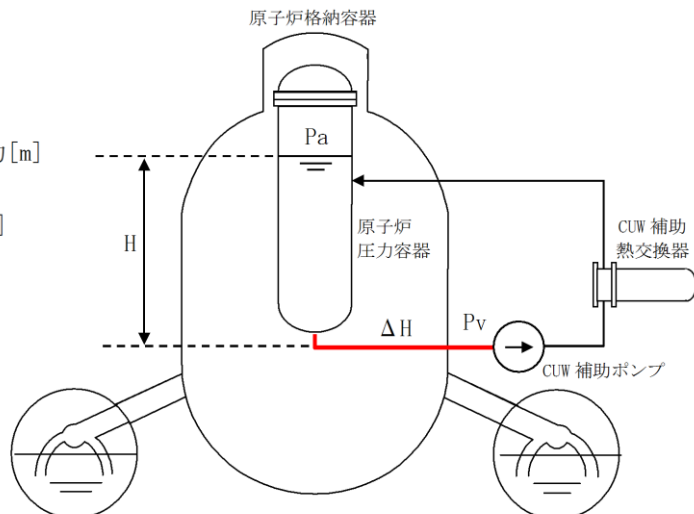


図3 CUW系による原子炉除熱のNPSH評価

表1 NPSH評価結果

項目		2号炉	設定根拠
$Pa$	原子炉圧力	13.2m	安全解析における事故発生30日後の原子炉圧力(0.028MPa)の水頭圧換算値
$Pv$	CUWポンプ入口温度での飽和蒸気圧力(水頭圧換算)	12.0m	安全解析における事故発生30日後の原子炉冷却材温度(105°C)の飽和蒸気圧
$H$	原子炉水位とCUWポンプ軸レベル間の水頭差		原子炉水位は「原子炉水位低(レベル3)(EL. 29840)」とし、ポンプ軸レベルはEL. [ ]とする。
$\Delta H$	吸込配管圧損(CUW配管)		定格流量228m³/h時のポンプ吸込配管圧損
有効NPSH		$Pa - Pv + H - \Delta H$	
必要NPSH		CUW補助ポンプの必要NPSH	
成立性評価		○	有効NPSH > 必要NPSH

本資料のうち、枠囲みの内容は機密に係る事項のため公開できません。

## ② 流量評価

原子炉補機代替冷却系を用いたCUW系による原子炉除熱の、原子炉補機代替冷却系の系統流量は、後述する評価により□ m<sup>3</sup>/h以上確保可能であることを確認している。本章では、その評価結果について示す。

流量確認方法としては、原子炉補機代替冷却水ポンプの「性能曲線」（揚程と流量の関係図）と図2の系統構成を想定した場合の「システム抵抗曲線」との交点がポンプの動作点となるため、ポンプの動作点の流量を確認する。その結果は図4に示す通り、ポンプ動作点が□ m<sup>3</sup>/h以上であることから、本系統流量は□ m<sup>3</sup>/h以上確保可能であることを確認した。

参考として、系統流量□ m<sup>3</sup>/h時の圧力損失を表2に示す。



図4 CUW系による原子炉除熱 原子炉補機代替冷却系 系統流量評価結果

本資料のうち、枠囲みの内容は機密に係る事項のため公開できません。

表2 壓力損失内訳

除熱手段（評価ルート）		2号炉
流量		
配管・弁類圧力損失	常設ライン	
	淡水ホース	
	代替熱交換器	
静水頭	水源	—
	注入先	—
		0（閉ループ）
圧力差	水源	—
	注入先	—
		0（閉ループ）
システム抵抗（圧力損失）		

### ③ 除熱量評価

上述②の評価結果の通り、CUWによる原子炉除熱の、原子炉補機代替冷却系系統流量は  m<sup>3</sup>/hが確保可能であることから、系統の除熱量を評価した。

評価条件は表3に示す通りであり、CUW補助熱交換器及び移動式代替熱交換設備の性能、大型送水ポンプ車による海水側の条件を踏まえて本系統の除熱量を評価したところ、事故発生30日後の崩壊熱相当（約3.9MW）を除熱できることを確認した。

表3 移動式熱交換設備の除熱量評価条件

移動式代替熱交換設備	淡水系	淡水側入口温度	<input type="text"/> °C
		淡水側流量	<input type="text"/> m <sup>3</sup> /h
	海水系	海水温度	30°C
		海水流量	780m <sup>3</sup> /h

本資料のうち、枠囲みの内容は機密に係る事項のため公開できません。

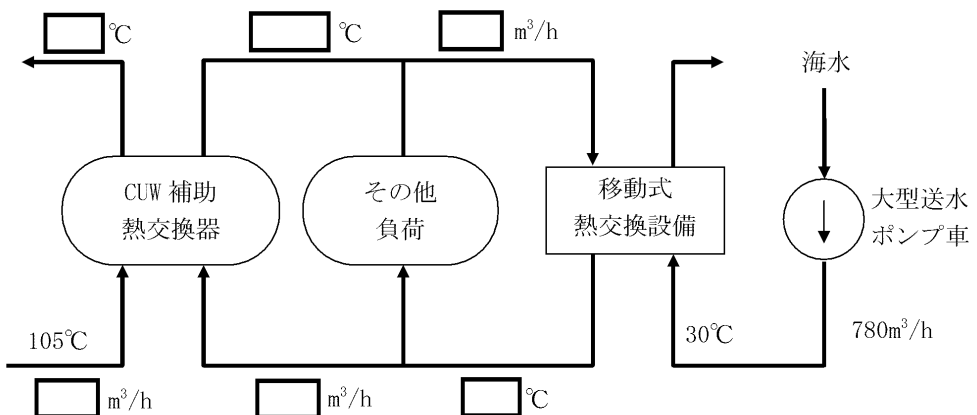


図6 CUW系による原子炉除熱の除熱量評価図

以上の「①ポンプのNPSH評価」，「②流量評価」，「③除熱量評価」の結果から，原子炉補機代替冷却系を用いたCUW系による原子炉除熱は事故発生30日後の崩壊熱相当（約3.9MW）を除熱するための系統流量が確保可能なシステムであることを確認した。

本資料のうち、枠囲みの内容は機密に係る事項のため公開できません。

[参考9－補足2] 作業エリアの線量評価について

各作業エリアにおける線量評価は「格納容器からの漏えいに起因する室内の線量率」と「線源配管からの直接線による線量率」の寄与を合わせて評価するものとする。

### 1. 評価の方法

#### (1) 格納容器からの漏えいに起因する線量率

原子炉棟内の線量率は、「雰囲気圧力・温度による静的負荷（格納容器過圧・過温）」において、格納容器ベントを実施した場合の事故発生30日後の原子炉建物内の放射能量を考慮し、サブマージョンモデルにより計算する。格納容器から漏えいした放射性物質は原子炉棟内に一様に分散しているものとし、原子炉棟内から環境中への漏えいはないものとして計算した。表1に各作業エリア空間容積を示す。

$$— \quad \{1\}$$

ここで、

：外部被ばくによる実効線量率 (Sv/h)

：サブマージョンモデルによる換算係数(—)※1

※1 Gy から Sv への換算係数は 1 を使用。

：原子炉建物内の存在量 (Bq : ガンマ線実効エネルギー 0.5MeV 換算値)

V : 原子炉建物内の空間容積 (101,300m<sup>3</sup>)

E : γ 線エネルギー (0.5MeV/dis)

μ : 空気に対する γ 線のエネルギー吸収係数 ( $3.9 \times 10^{-3}/m$ )

R : 評価対象エリアの空間と等価な半球の半径 (m)

：評価対象エリアの空間容積 (m<sup>3</sup>)

$$\sqrt{\frac{1}{2\pi}}$$

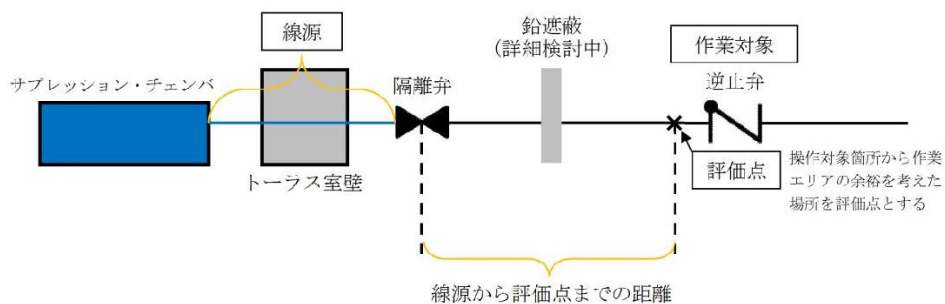
表1 各作業エリア空間容積

作業エリア	作業エリアの空間容積 V <sub>F</sub> (m <sup>3</sup> )
HPCSポンプ室	600
大物搬入口	3800
原子炉建物 1 階(F L S R 可搬式設備 操作対象弁付近)	1400

## (2) 線源配管からの直接線による線量率

図1に示すとおり、炉心損傷により発生する汚染水は、格納容器貫通部とサブレッショングール側一次隔離弁までの配管に存在することになるため、当該配管は線源となる。線源配管からの直接線による線量率は、必要な遮蔽対策を実施することによって、約10mSv/h以下に低減させる。線量率はQADコードを用いて図1中の評価モデルの体系により評価を実施した。表2に線源配管からの直接線の寄与を10mSv/h以下とするために必要な鉛遮蔽の厚さを示す。

<作業対象、評価点、線源配管の配置概要図>



<評価モデル図>

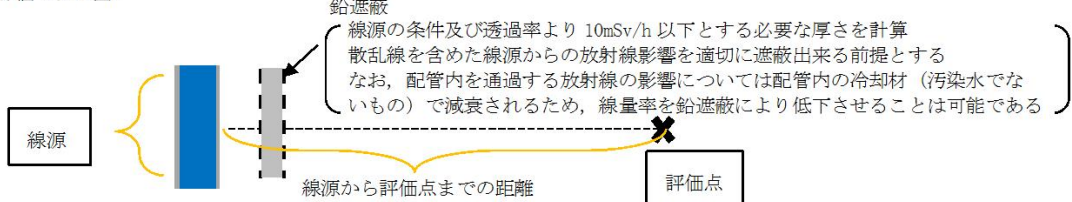


図1 線量評価概念図

表2 線量率評価条件及び必要な鉛遮蔽体厚さ

作業エリア	線源 (S/P～隔離弁までの配管長さ)	線源から評価点までの距離	線源配管からの直接線による線量率を10mSv/h以下にするために必要な鉛遮蔽厚さ
HPCSポンプ室	約3.3m	約2.9m	約8cm

## 2. 評価結果

「1. 評価方法」に基づき、各作業エリアにおける線量率を評価した。表3に各作業エリアにおける線量率を示す。

表3 各作業エリアにおける線量率

作業エリア	格納容器からの漏えいに起因する線量率	線源配管からの直接線による線量率	合計線量率
HPCSポンプ室	約2.8mSv/h	約10mSv/h	約12.8mSv/h
大物搬入口	約5.2mSv/h	-※1	約5.2mSv/h
原子炉建物1階(F L S R可搬式設備 操作対象弁付近)	約3.7mSv/h	-※1	約3.7mSv/h

※1：線源配管が存在しないため、考慮不要

[参考9－補足3] 窒素ガス制御系 系統概要図

可搬型格納容器除熱系をインサービスする場合は、格納容器ベントを微開とし、窒素ガス制御系の窒素ガス供給装置あるいは可搬式の窒素供給装置により窒素ガスを注入し格納容器除熱による格納容器圧力低下を抑制する。図1に窒素ガス制御系の窒素ガス供給装置により窒素ガスを格納容器に注入する系統の例を示す。

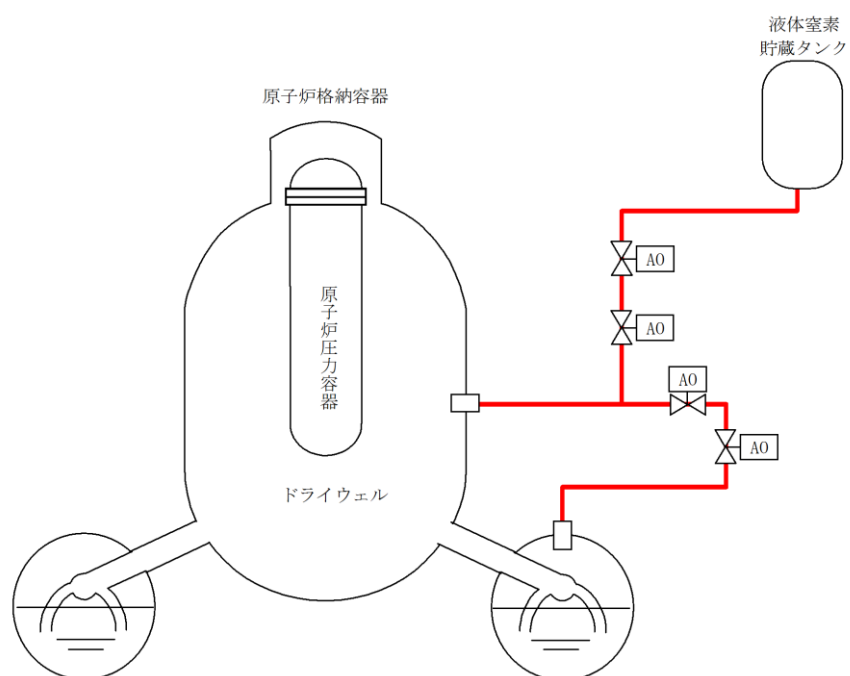


図1 窒素ガス制御系 系統概要図